

การควบคุมการเริ่มหมุนแบบนิ่มนวลให้กับมอเตอร์เหนี่ยวนำหนึ่งเฟส  
ด้วยการควบคุมกระแสเริ่มต้นโดยใช้เทคนิคอะซิงโครนัส พิตับเบิลยูเอ็ม  
เอซี ช็อบเปอร์

SOFT START CONTROL FOR A SINGLE-PHASE INDUCTION MOTOR WITH  
STARTING CURRENT CONTROL USING AN ASYNCHRONOUS PWM AC  
CHOPPER TECHNIQUE



โกวิท ภูฉลาด  
KOWIT PHUCHALAD

วิทยานิพนธ์นี้เป็นส่วนหนึ่งของการศึกษาตามหลักสูตรปริญญาวิศวกรรมศาสตรมหาบัณฑิต  
สาขาวิชาวิศวกรรมไฟฟ้า  
คณะวิศวกรรมศาสตร์  
สถาบันเทคโนโลยีพระจอมเกล้าเจ้าคุณทหารลาดกระบัง  
พ.ศ.2568

KMITL-2025-EN-M-027-087

เอกสารนี้เป็นเอกสารที่สงวนไว้สำหรับการใช้งานเพื่อการศึกษาเท่านั้น ไม่อนุญาตให้นำไปใช้ประโยชน์ด้านการค้า  
ไม่ว่ากรณีใดๆทั้งสิ้น อีกทั้งห้ามมิให้ดัดแปลงเนื้อหา และต้องอ้างอิงถึงเจ้าของเอกสารทุกครั้งที่มีการนำไปใช้

SOFT START CONTROL FOR A SINGLE-PHASE INDUCTION MOTOR  
WITH STARTING CURRENT CONTROL USING AN ASYNCHRONOUS  
PWM AC CHOPPER TECHNIQUE



A THESIS SUBMITTED IN PARTIAL FULFILLMENT OF THE REQUIREMENT FOR THE  
DEGREE OF MASTER OF ENGINEERING IN ELECTRICAL ENGINEERING  
SCHOOL OF ENGINEERING  
KING MONGKUT'S INSTITUTE OF TECHNOLOGY LADKRABANG  
2025  
KMITL-2025-EN-M-027-087

เอกสารนี้เป็นเอกสารที่สงวนไว้สำหรับการใช้งานเพื่อการศึกษาเท่านั้น ไม่อนุญาตให้นำไปใช้ประโยชน์ด้านการค้า  
ไม่ว่ากรณีใดๆทั้งสิ้น อีกทั้งห้ามมิให้ดัดแปลงเนื้อหา และต้องอ้างอิงถึงเจ้าของเอกสารทุกครั้งที่มีการนำไปใช้



**COPYRIGHT 2025**

**SCHOOL OF ENGINEERING**

**KING MONGKUT'S INSTITUTE OF TECHNOLOGY LADKRABANG**

เอกสารนี้เป็นเอกสารที่สงวนไว้สำหรับการใช้งานเพื่อการศึกษาเท่านั้น ไม่อนุญาตให้นำไปใช้ประโยชน์ด้านการค้า  
ไม่ว่ากรณีใดๆทั้งสิ้น อีกทั้งห้ามมิให้ดัดแปลงเนื้อหา และต้องอ้างอิงถึงเจ้าของเอกสารทุกครั้งที่มีการนำไปใช้

หัวข้อวิทยานิพนธ์	การควบคุมการเริ่มหมุนแบบนิ่มนวลให้กับมอเตอร์เหนี่ยวนำหนึ่งเฟสด้วยการควบคุมกระแสเริ่มต้นโดยใช้เทคนิคอะซิงโครนัสพีดับเบิลยูเอ็ม เอช ซี อี ซี อี
Thesis Title	SOFT START CONTROL FOR A SINGLE-PHASE INDUCTION MOTOR WITH STARTING CURRENT CONTROL USING AN ASYNCHRONOUS PWM AC CHOPPER TECHNIQUE
นักศึกษา	ว่าที่ร้อยเอกโกวิท ภูฉลาด
รหัสประจำตัว	59601176
ปริญญา	วิศวกรรมศาสตรมหาบัณฑิต
สาขาวิชา	วิศวกรรมไฟฟ้า
พ.ศ.	2568
อาจารย์ที่ปรึกษาวิทยานิพนธ์	รศ.ดร.เฉลิมชาติ มานพ
อาจารย์ที่ปรึกษาวิทยานิพนธ์ (ร่วม)	ศ.ดร.วิจิตร กิณเรศ

### บทคัดย่อ

วิทยานิพนธ์เล่มนี้ได้นำเสนอการควบคุมกระแสขณะเริ่มหมุนแบบนิ่มนวลของมอเตอร์เหนี่ยวนำหนึ่งเฟสชนิดตัวเก็บประจุสตาร์ทขนาด 0.5 แอมป์ 230 โวลต์ 4.3 แอมป์ 50 เฮิร์ตซ์ 4 ขั้ว ด้วยการควบคุมกระแสเริ่มต้นให้คงที่ตามที่ต้องการโดยใช้เทคนิคอะซิงโครนัส พีดับเบิลยูเอ็ม เอช ซี อี ซี อี ซี อี ข้อดีของเทคนิคนี้สามารถลดความผิดเพี้ยนของกระแสฮาร์มอนิกและสามารถถอดออกตัวได้เมื่อมีแรงบิดทางกลเริ่มต้น และลดกระแสกระชากเมื่อเปรียบเทียบกับ การต่อตรง อีกทั้งไม่มีความจำเป็นซึ่งโครโนสกับแหล่งจ่ายไฟฟ้ากระแสสลับทำให้ง่ายในการควบคุม โดยการจำลองและทดสอบการทำงานของระบบด้วยโปรแกรม MATLAB/Simulink Version R2024a และไมโครคอนโทรลเลอร์ C2000 Microcontroller เบอร์ TMS320F28379D เพื่อกำหนดสัญญาณพีดับเบิลยูเอ็มแบบอะซิงโครนัสใช้ในการควบคุมวงจรกำลังไฟฟ้ากระแสสลับหนึ่งเฟสที่มีสวิตช์กำลัง 2 ตัวโดยสัญญาณแรงดันไฟตรงอ้างอิง 1 สัญญาณถูกนำมาเปรียบเทียบกับสัญญาณพาหะคลื่นฟันเลื่อยความถี่สูง 1 สัญญาณทำให้ได้สัญญาณพีดับเบิลยูเอ็มสำหรับการควบคุมสวิตช์ 1 คู่ที่ทำงานสลับกัน ด้วยเทคนิคนี้ทำให้สัญญาณพีดับเบิลยูเอ็มสามารถสร้างได้ง่ายเนื่องจากสัญญาณพีดับเบิลยูเอ็มทั้งคู่ไม่จำเป็นต้องซิงโครไนซ์กับแหล่งจ่ายไฟฟ้ากระแสสลับหนึ่งเฟส นอกจากนี้ยังได้ทำการสร้างการควบคุมการเริ่มหมุนแบบนิ่มนวลโดยการควบคุมตัวที่ไซเคิลตามเวลา เพื่อให้มีการเพิ่มแรงดันมูลฐานของมอเตอร์เป็นแบบเชิงเส้นในช่วงเวลาการเริ่มหมุนที่กำหนดซึ่งจะมีการกำหนดรูปแบบการเปลี่ยนความชันแรงดันตามเวลามีค่าต่างๆทำให้มีการลดลงของกระแสขณะเริ่มหมุนอย่างเห็นได้เด่นชัด จากการทดสอบเมื่อทำการเปรียบเทียบกระแสขณะเริ่มหมุนแบบต่อตรงกับ การเริ่มหมุนแบบนิ่มนวลด้วยการปรับอัตรา การเปลี่ยนแปลงเปอร์เซ็นต์ค่าตัวที่ไซเคิลที่ค่า 20%-90% ตามเวลาที่กำหนดแบบมีโหลดเริ่มต้น 1.3 Nm สามารถลดกระแสช่วงเริ่มหมุนได้ 38% และการเริ่มหมุนแบบนิ่มนวลด้วยการควบคุมกระแสเริ่มต้นแบบมีโหลด 1.3 Nm ที่ค่าควบคุมกระแส 200% และ 150% ของกระแสที่กีดสามารถลดกระแสช่วงเริ่มหมุนได้ 63% และ 75% ตามลำดับผลที่ได้จากการจำลองและการทดสอบสอดคล้องกันดีแสดงให้เห็นถึงกระแสมอเตอร์ขณะเริ่มหมุนพบว่าการควบคุมการเริ่มหมุนโดยเทคนิคอะซิงโครนัส พีดับเบิลยูเอ็ม เอช ซี อี ซี อี ซี อี ซี อี ที่นำเสนอสามารถทำงานได้อย่างมีประสิทธิภาพและมีความเหมาะสมสำหรับการเริ่มหมุนแบบนิ่มนวลให้กับมอเตอร์เหนี่ยวนำหนึ่งเฟสที่ต้องการควบคุมแรงบิดได้ในขณะมีโหลดทางกลตอนเริ่มต้น เนื่องจากสามารถลดค่ากระแสขณะเริ่มหมุนและรูปคลื่นกระแสยังเข้าใกล้รูปคลื่นไซน์นั้นทำให้องค์ประกอบฮาร์มอนิกลดลงส่งผลทำให้ลดการกระเพื่อมของแรงบิด

เอกสารนี้เป็นเอกสารที่สงวนไว้สำหรับการใช้งานเพื่อการศึกษาเท่านั้น ไม่อนุญาตให้นำไปใช้ประโยชน์ด้านการค้า

ไม่ว่ากรณีใดๆทั้งสิ้น อีกทั้งห้ามมิให้ตัดแปลงเนื้อหา และต้องอ้างอิงถึงเจ้าของเอกสารทุกครั้งที่มีการนำไปใช้

<b>Thesis Title</b>	SOFT START CONTROL FOR A SINGLE-PHASE INDUCTION MOTOR WITH STARTING CURRENT CONTROL USING AN ASYNCHRONOUS PWM AC CHOPPER TECHNIQUE
<b>Student</b>	Acting Captain Kowit Phuchalad
<b>Student ID.</b>	59601176
<b>Degree</b>	Master of Engineering
<b>Program</b>	Electrical Engineering
<b>Year</b>	2025
<b>Thesis Advisor</b>	Assoc. Prof. Dr. Chalermchat Manop
<b>Co-Thesis Advisor</b>	Prof. Dr. Vijit Kinnares

### ABSTRACT

This thesis presents the soft start control of a 0.5 HP, 230 V, 4.3 A, 50 Hz, 4 Pole single-phase capacitor start induction motor with constant starting current control as required using an asynchronous PWM AC chopper technique. The advantages of this technique is capability of a reduction in harmonic distortion of motor current, starting with inertial mechanical load and a decrease in inrush current when compared to a direct on line start. Also the synchronization with an AC source is not necessary resulting in simplicity in starting control. The simulation and experiment of system performance by both MATLAB/Simulink Version R2024a and TMS320F28379D C2000 microcontroller for generating asynchronous PWM signals for a single-phase ac-ac power controller with two power switches. A single dc voltage reference signal is used to compare with a sawtooth high frequency carrier signal in order to obtain PWM signals for alternate operation for such pair of switches. This technique allows the ease of PWM generation without necessity of synchronization with the single-phase AC power source. Furthermore, smooth motor startup control with gradual increase in duty cycle with time is implemented for a linear fundamental increase for a given starting time interval under various profiles of a change in voltage slope with time. As a result starting current is reduced significantly when compared to that of direct-on-line (DOL). It is found that soft starting with adjusting the duty cycle percentage from 20% to 90% in a defined value of time under a load of 1.3 Nm, the starting current can be reduced by 38%. The soft start by controlling the constant current under a load of 1.3 Nm at 200% and 150% of the rated current, can reduce the starting current by 63% and 75%, respectively. The results from the simulation and testing are in good agreement showing that the proposed technique is able to effectively operate. It is suitable to the soft start of a single-phase induction motor requiring starting torque with initial mechanical load since the starting current can be reduced and the current waveform approaches a sinusoidal wave shape leading to a reduction in torque pulsation.

เอกสารนี้เป็นเอกสารที่สงวนไว้สำหรับการใช้งานเพื่อการศึกษาเท่านั้น ไม่อนุญาตให้นำไปใช้ประโยชน์ด้านการค้า  
ไม่ว่ากรณีใดๆทั้งสิ้น อีกทั้งห้ามมิให้ตัดแปลงเนื้อหา และต้องอ้างอิงถึงเจ้าของเอกสารทุกครั้งที่มีการนำไปใช้

## กิตติกรรมประกาศ

วิทยานิพนธ์เล่มนี้สำเร็จได้ด้วยความกรุณาและขอขอบพระคุณจากท่านอาจารย์ที่ปรึกษาวิทยานิพนธ์ รศ.ดร.เฉลิมชาติ มานพ และอาจารย์ที่ปรึกษาวิทยานิพนธ์ (ร่วม) ศ.ดร.วิจิตร กิณเรศ ซึ่งเป็นอาจารย์ผู้ควบคุมวิทยานิพนธ์ที่คอยแนะนำให้ข้อคิดในการทำงานวิจัยเป็นไปได้อย่างมีประสิทธิภาพและเป็นระบบมีแบบแผน และการแก้ปัญหาที่เกิดขึ้นจนทำให้การดำเนินงานด้านวิจัยเป็นไปได้อย่างมีประสิทธิภาพ ตลอดจนรุ่นพี่ เพื่อน และน้อง ทั้งในและนอกห้องปฏิบัติการวิจัย 1 ECC-405 (Power Electronics and Machine Control Group :PMC) ที่คอยให้กำลังใจคำปรึกษาการทำงานวิจัย ข้อเสนอแนะแนวทาง และคอยกระตุ้นข้าพเจ้า อาทิเช่น ผศ.ดร.พูนศรี วรรณการ ผศ.ดร.วัฒน์ ยี่ดำ ดร.วิศวรรช กานติกุล นายศราวุธ สุขขุม นายอุเทน ศิริสุทธิ นายสุชาติ คำลือ นายธราธิป แสงกล้า นายสุธนา มครเทศ นายนิคม ก้านจักร นายศิริรัช เชื้อพานิช และโดยเฉพาะนายพัชรพงศ์ กัณหารินทร์ ที่ฝึกสอนปฏิบัติและได้เรียนรู้งานในสภาพแวดล้อมการทำงานจริงเพื่อพัฒนาทักษะที่จำเป็นอย่างเป็นรูปธรรมแก่ข้าพเจ้าหรือ (OJT : On the Job Training)

ขอขอบพระคุณ รศ.ดร.อนุวัฒน์ จางวนิชเลิศ รศ.ดร.สมยศ เกียรติวนิชวิไล ผศ.ดร.ธีรพล โพธิ์พงษ์วิวัฒน์ ผศ.ดร.นิรุช จิรสวรรณกุล รศ.ดร.สมชาติ จิรวิภากร และโดยเฉพาะท่านอาจารย์ที่ข้าพเจ้าเคารพรักคือ รศ.ดร.นรเศรษฐ พัฒนเดช ที่คอยให้กำลังใจข้าพเจ้าตลอดห้วงระยะเวลาที่ท้อแท้ก็ทิ้งอบรมสั่งสอนด้านวิชาการ ด้านคุณธรรม ให้อภัยและกำลังใจแก่ข้าพเจ้าอีกทั้งยังเป็นผู้เปิดมุมมองโลกทัศน์ใหม่ๆและยังถามสารทุกข์สุขดิบเวลาเจอกันกับข้าพเจ้า ตลอดจนขอขอบพระคุณคณาจารย์ทุกท่านสาขาวิศวกรรมศาสตร์ไฟฟ้า คณะวิศวกรรมศาสตร์ สถาบันเทคโนโลยีพระจอมเกล้าเจ้าคุณทหารลาดกระบัง ที่ข้าพเจ้าได้เรียนในรายวิชาต่างๆห้วงที่เป็นบัณฑิต และ รศ.ดร.เวทิน ปิยรัตน์ ประธานกรรมการสอบวิทยานิพนธ์ทุกท่านที่ได้แนะนำข้อมูลอันเป็นประโยชน์ในการแก้ไขปัญหา และขอขอบพระคุณเอกสารที่ข้าพเจ้าใช้อ้างอิงเพื่อทำงานวิจัยในครั้งนี้ และได้ปรับปรุงเนื้อหาจนทำให้วิทยานิพนธ์เล่มนี้สมบูรณ์ยิ่งขึ้น

ขอขอบพระคุณ รศ.ดร.กันยรัตน์ โหละสุด ภาควิชาวิศวกรรมเคมี คณะวิศวกรรมศาสตร์ มหาวิทยาลัยขอนแก่น ผู้ซึ่งเป็นทั้งครูอาจารย์และเสมือนญาติผู้ใหญ่ของข้าพเจ้าที่ข้าพเจ้าเคารพนับถืออย่างสูง ซึ่งท่านได้อบรมสั่งสอนข้าพเจ้าให้คำปรึกษาเรื่องต่างๆ ให้กำลังใจและให้ความเมตตา กรุณาต่อข้าพเจ้าและครอบครัวเสมอมาโดยตลอด

ขอขอบพระคุณ รศ.ดร.ชาญชัย ทองโสภิต สาขาวิชาวิศวกรรมอิเล็กทรอนิกส์ สำนักวิศวกรรมศาสตร์ มหาวิทยาลัยเทคโนโลยีสุรนารี ผู้ที่เปิดมุมมองด้านการติวสอนเป็นทั้งพี่และอาจารย์ ข้าพเจ้าสอนข้าพเจ้าห้วงเป็นนักศึกษาระดับประกาศนียบัตรวิชาชีพชั้นสูงสาขาวิชาไฟฟ้า มหาวิทยาลัยเทคโนโลยีราชมงคลอีสานวิทยาเขตขอนแก่น ให้สอบติดภาคต่อเนื่องที่ คณะวิศวกรรมศาสตร์ มหาวิทยาลัยขอนแก่น และสถาบันเทคโนโลยีพระจอมเกล้าเจ้าคุณทหาร

ลาดกระบัง ตลอดจนสอนเทคนิคการทำข้อสอบทำให้ข้าพเจ้าสอบติดการไฟฟ้าส่วนภูมิภาค เอกสารนี้เป็นเอกสารที่สงวนไว้สำหรับการใช้งานเพื่อการศึกษาเท่านั้น ไม่อนุญาตให้นำไปใช้ประโยชน์ด้านการค้า ไม่ว่าจะกรณีใดๆทั้งสิ้น อีกทั้งห้ามมิให้ดัดแปลงเนื้อหา และต้องอ้างอิงถึงเจ้าของเอกสารทุกครั้งที่มีการนำไปใช้

ขอขอบพระคุณนางสาวกัตติมา สิริคิง และนางสาววาที วัฒนจตุรพร เจ้าหน้าที่งานวิชาการบัณฑิตศึกษา สำนักงานคนบตี คณะวิศวกรรมศาสตร์ และนายสมคิด ไชยมาตี เจ้าหน้าที่งานทะเบียนระดับบัณฑิตศึกษา สำนักทะเบียนและบริการการศึกษา ที่คอยให้กำลังใจคำแนะนำด้านระเบียบและข้อกำหนดต่างๆของบัณฑิตศึกษาแก่ข้าพเจ้า และนางนิภารัตน์ ศรีสุชาติ เจ้าหน้าที่บริหารงานทั่วไป สำนักการเรียนรู้ตลอดชีวิตพระจอมเกล้าเจ้าคุณทหารลาดกระบัง ที่คอยช่วยเรียบเรียงและอำนวยความสะดวกด้านการตรวจสอบผลงานทางวิชาการด้วยโปรแกรมป้องกันการคัดลอกผลงานทางวิชาการ และนายนครศักดิ์ แสงศรี เจ้าหน้าที่สนับสนุนด้านวิชาการ ด้านเทคนิคและสโตร์ประจำสาขาวิศวกรรมศาสตร์ไฟฟ้า ที่คอยดูแลใส่ใจอำนวยความสะดวกด้านเครื่องมือและอุปกรณ์สำหรับการทำงานวิจัย และตลอดจนเจ้าหน้าที่ เจ้าหน้าที่รักษาความปลอดภัย แม่บ้าน ตึก ECC ผู้ประกอบการร้านค้าในโรงอาหาร ร้านกาแฟ และร้านสะดวกซื้อทั้งในและนอกสถาบันเทคโนโลยีพระจอมเกล้าเจ้าคุณทหารลาดกระบังที่อำนวยความสะดวกและมิตรภาพที่ดีต่อกันเสมอมาที่สาขาวิศวกรรมศาสตร์ไฟฟ้า คณะวิศวกรรมศาสตร์ สถาบันเทคโนโลยีพระจอมเกล้าเจ้าคุณทหารลาดกระบัง

ขอขอบพระคุณครูบาอาจารย์ที่อบรมสั่งสอนข้าพเจ้าทุกๆท่านที่ได้ประสิทธิ์ประสาทวิชา โรงเรียนบ้านสมศรีมะแบบประชาบำรุง โรงเรียนเชียงแสนวิทยาคม วิทยาลัยเทคนิคมหาสารคาม วิทยาลัยการอาชีพกาญจนาภิเษกหนองจอก มหาวิทยาลัยเทคโนโลยีราชมงคลธัญบุรี วิทยาเขตขอนแก่น มหาวิทยาลัยขอนแก่น มหาวิทยาลัยเทคโนโลยีมหานคร มหาวิทยาลัยสุโขทัยธรรมาธิราช และสถาบันเทคโนโลยีพระจอมเกล้าเจ้าคุณทหารลาดกระบัง

ขอกราบขอบพระคุณบิดามารดาของข้าพเจ้า นายบุญขวัญ ภูฉลาด นางสุธิดา ภูฉลาด และนางสุภาพ ภูฉลาด (ผู้ล่วงลับ) ตลอดจน นางสาวศิริพันธ์ ยมศรีเคน นางสาวกรีนดอร์ พุทธา นางสาวปิยภรณ์ ภูฉลาด และนางสาวฐานิตา พลชม ผู้ซึ่งเป็นพระอรหันต์ของข้าพเจ้า ผู้ให้ทั้งชีวิตให้สติปัญญา ให้การศึกษา ให้ทุนทรัพย์ ตลอดจนอบรมสั่งสอนให้ข้าพเจ้าเป็นคนดีคนเก่ง และที่ขาดไม่ได้ คือ ญาติ มิตรสหาย และครอบครัวของข้าพเจ้าที่คอยเคียงข้างเป็นกำลังใจให้ทั้งยามทุกข์และยามสุข ทำให้ข้าพเจ้ามีกำลังใจจนสามารถฝ่าฟันอุปสรรคจัดทำวิทยานิพนธ์เล่มนี้สำเร็จลุล่วงด้วยดี

สุดท้ายนี้สำหรับคุณค่าคุณงามความดีและประโยชน์อันใดพึงมาจากวิทยานิพนธ์เล่มนี้ ข้าพเจ้าขอมอบแด่คุณบิดามารดา ครูบาอาจารย์ บรรพบุรุษทั้งวงศ์ตระกูลภูฉลาด ยมศรีเคน วงศ์ภักดี วงศ์กุล พุทธา พลชม และรัตนมนตรี ตลอดจนเจ้ากรรมนายเวร พระมหากษัตริย์ไทยทุกพระองค์ พระธรรมคำสอนขององค์สมเด็จพระสัมมาสัมพุทธเจ้า รวมทั้งแผ่นดินไทยแผ่นดินแม่ซึ่งเป็นแผ่นดินเกิดของข้าพเจ้า

กัตติกา ภูฉลาด.

(ว่าที่ร้อยเอกโกวิท ภูฉลาด)

เอกสารนี้เป็นเอกสารที่สงวนไว้สำหรับการใช้งานเพื่อการศึกษาเท่านั้น ไม่อนุญาตให้นำไปใช้ประโยชน์ด้านการค้า ไม่ว่าจะกรณีใดๆทั้งสิ้น อีกทั้งห้ามมิให้ตัดแปลงเนื้อหา และต้องอ้างอิงถึงเจ้าของเอกสารทุกครั้งที่มีการนำไปใช้

## สารบัญ

บทที่	หน้า
บทคัดย่อภาษาไทย.....	I
บทคัดย่อภาษาอังกฤษ.....	II
กิตติกรรมประกาศ.....	III
สารบัญ.....	V
สารบัญตาราง.....	IX
สารบัญรูป.....	X
รายการคำย่อและสัญลักษณ์.....	XX
บทที่ 1 บทนำในการจัดทำงานวิจัย.....	1
1.1 ความเป็นมาและความสำคัญของปัญหาในงานวิจัยเป็นมา.....	1
1.2 ความมุ่งหมายและวัตถุประสงค์ของการศึกษางานวิจัย.....	5
1.3 สมมุติฐานของการศึกษางานวิจัย.....	6
1.4 ทฤษฎีหรือแนวความคิดที่ใช้ในการทำงานวิจัย.....	7
1.5 การเปรียบเทียบกับหลักการที่มีอยู่เดิมในงานวิจัย.....	10
1.6 ขอบเขตของงานวิจัย.....	11
1.7 ขั้นตอนของการศึกษาจัดทำวิทยานิพนธ์.....	11
บทที่ 2 ความรู้เบื้องต้นเกี่ยวกับมอเตอร์เหนี่ยวนำหนึ่งเฟสและอุปกรณ์ทฤษฎีที่เกี่ยวข้องสำหรับใน งานวิจัย.....	14
2.1 หลักการทำงานมอเตอร์ไฟฟ้ากระแสสลับหนึ่งเฟส.....	14
2.2 การเกิดสนามแม่เหล็กหมุนในมอเตอร์เหนี่ยวนำหนึ่งเฟส.....	14
2.3 คุณสมบัติของมอเตอร์เหนี่ยวนำหนึ่งเฟสแบบคาปาซิเตอร์สตาร์ท.....	16
2.4 มอเตอร์เหนี่ยวนำหนึ่งเฟสแบบคาปาซิเตอร์สตาร์ท.....	16
2.5 ไมโครคอนโทรลเลอร์ C2000 เบอร์ TMS320F28379D.....	20
บทที่ 3 เทคนิคการควบคุมการเริ่มหมุนแบบนิ่มนวลให้กับมอเตอร์เหนี่ยวนำหนึ่งเฟสด้วยการควบคุม กระแสเริ่มต้นโดยใช้เทคนิคอะซิงโครนัส พีดีบีแอลยูเอ็ม เอช ซี อี ซี อี.....	24

เอกสารนี้เป็นเอกสารที่สงวนไว้สำหรับการใช้งานเพื่อการศึกษาเท่านั้น ไม่อนุญาตให้นำไปใช้ประโยชน์ด้านการค้า  
ไม่ว่ากรณีใดๆทั้งสิ้น อีกทั้งห้ามมิให้ตัดแปลงเนื้อหา และต้องอ้างอิงถึงเจ้าของเอกสารทุกครั้งที่มีการนำไปใช้

## สารบัญ (ต่อ)

บทที่	หน้า
3.1 บทนำ.....	24
3.2 รูปแบบการกำเนิดสัญญาณพีดับเบิลยูเอ็ม เอช ซี ซ็อบเปอร์ แบบอะซิงโครนัส (Asynchronous PWM AC Chopper).....	25
3.3 การกำหนดแรงดันเริ่มต้นให้กับวงจรการเริ่มหมุนแบบนิ่มนวลด้วยพีดับเบิลยูเอ็ม เอช ซี ซ็อบเปอร์ แบบอะซิงโครนัส (Asynchronous PWM AC Chopper Soft Starter :PWMSS).....	29
3.4 สัญญาณพีดับเบิลยูเอ็ม เอช ซี ซ็อบเปอร์ แบบซิงโครนัส (Synchronous PWM AC Chopper).....	37
3.5 ตัวควบคุมแบบพีไอ.....	43
3.5.1 ตัวควบคุมแบบสัดส่วนแบบพี.....	44
3.5.2 ตัวควบคุมแบบสัดส่วนแบบไอ.....	44
3.6 ผลจากการจำลองเพื่อคุณสมบัติของมอเตอร์ขณะเริ่มหมุนแบบโดยตรงและแบบนิ่มนวล.....	46
บทที่ 4 การออกแบบวงจรควบคุมและวงจรถูกำลังสำหรับการควบคุมการเริ่มหมุนแบบนิ่มนวลให้กับมอเตอร์เหนี่ยวนำหนึ่งเฟสด้วยการควบคุมกระแสเริ่มต้นโดยใช้เทคนิคอะซิงโครนัสพีดับเบิลยูเอ็ม เอช ซี ซ็อบเปอร์.....	58
4.1 บทนำการออกแบบระบบวงจรถวลและวงจรถูกำลังสำหรับทดสอบ.....	58
4.2 วงจรสวิตช์ไอจีบีที (IGBT) แบบสวิตช์ 2 ทางในวงจร PWM AC Chopper.....	60
4.2.1 สถานะนำกระแส.....	62
4.2.2 สถานะหยุดนำกระแส.....	63
4.2.3 ลักษณะการสวิตช์.....	63
4.3 วงจรขั้วเกตสวิตช์กำลังไอจีบีที.....	64
4.4 ส่วนวงจรถวล.....	66
4.4.1 การออกแบบวงจรถวลจับสัญญาณแรงดันไฟฟ้ากระแสสลับ.....	67
4.4.2 การออกแบบวงจรถวลจับสัญญาณกระแสไฟฟ้าสลับ.....	68

เอกสารนี้เป็นเอกสารที่สงวนไว้สำหรับการใช้งานเพื่อการศึกษาเท่านั้น ไม่อนุญาตให้นำไปใช้ประโยชน์ด้านการค้า ไม่ว่าจะกรณีใดๆทั้งสิ้น อีกทั้งห้ามมิให้ดัดแปลงเนื้อหา และต้องอ้างอิงถึงเจ้าของเอกสารทุกครั้งที่มีการนำไปใช้

## สารบัญ (ต่อ)

บทที่	หน้า
4.4.3 วงจรประวิงเวลา.....	69
4.4.4 การแปลงค่าอนาล็อกเป็นดิจิทัล (Analog to Digital Converter).....	71
4.5 วงจรสแน็บเบอร์.....	71
4.6 ไมโครคอนโทรลเลอร์ TMS320F28379D.....	73
4.7 สรุปการออกแบบวงจรควบคุมและวงจรกำลัง.....	76
บทที่ 5 การออกแบบจำลองระบบการควบคุมการเริ่มหมุนแบบนิมนวลให้กับมอเตอร์เหนี่ยวนำหนึ่งเฟสด้วยการควบคุมกระแสเริ่มต้น โดยใช้เทคนิคอะซิงโครนัส พีดับเบิ้ลยูเอ็ม เอช ซี อี ซี อี ซี อี ซี อี ซี	78
5.1 บทนำ.....	78
5.2 โปรแกรม MATLAB/Simulink Version R2024a 60.....	79
5.2.1 การเปิดใช้งานโปรแกรม MATLAB/Simulink Version R2024a.....	80
5.3 การจำลองระบบควบคุมการเริ่มหมุนแบบนิมนวลให้กับมอเตอร์เหนี่ยวนำหนึ่งเฟสด้วยการควบคุมกระแสเริ่มต้นโดยใช้เทคนิคอะซิงโครนัส พีดับเบิ้ลยูเอ็ม เอช ซี อี ซี อี ซี อี ซี อี ซี	82
5.4 โปรแกรม Code Composer Studio (CCS) Version 12.4.0.....	83
5.4.1 ตัวอย่างการใช้งานโปรแกรม Code Composer Studio (CCS) Version 12.4.0.....	84
5.5 การจำลองระบบการควบคุมการเริ่มหมุนแบบนิมนวลให้กับมอเตอร์เหนี่ยวนำหนึ่งเฟสในโปรแกรม MATLAB/Simulink Version R2024a.....	92
บทที่ 6 ผลการทดสอบระบบการควบคุมการเริ่มหมุนแบบนิมนวลให้กับมอเตอร์เหนี่ยวนำหนึ่งเฟสด้วยการควบคุมกระแสเริ่มต้นโดยใช้เทคนิคอะซิงโครนัส พีดับเบิ้ลยูเอ็ม เอช ซี อี ซี อี ซี อี ซี ..	117
6.1 บทนำการทดสอบระบบการควบคุมการเริ่มหมุนแบบนิมนวลให้กับมอเตอร์เหนี่ยวนำหนึ่งเฟส.....	117
บทที่ 7 สรุปผลการวิจัยและข้อเสนอแนะการควบคุมการเริ่มหมุนแบบนิมนวลให้กับมอเตอร์เหนี่ยวนำหนึ่งเฟสด้วยการควบคุมกระแสเริ่มต้นโดยใช้เทคนิคอะซิงโครนัส พีดับเบิ้ลยูเอ็ม เอช ซี อี ซี อี ซี อี ซี	151
7.1 สรุปผลการวิจัยการควบคุมการเริ่มหมุนแบบนิมนวลให้กับมอเตอร์เหนี่ยวนำหนึ่งเฟสด้วยการควบคุมกระแสเริ่มต้นโดยใช้เทคนิคอะซิงโครนัส พีดับเบิ้ลยูเอ็ม เอช ซี อี ซี อี ซี .....	151

เอกสารนี้เป็นเอกสารที่สงวนไว้สำหรับการใช้งานเพื่อการศึกษาเท่านั้น ไม่อนุญาตให้นำไปใช้ประโยชน์ด้านการค้า ไม่ว่ากรณีใดๆทั้งสิ้น อีกทั้งห้ามมิให้ตัดแปลงเนื้อหา และต้องอ้างอิงถึงเจ้าของเอกสารทุกครั้งที่มีการนำไปใช้

## สารบัญ (ต่อ)

บทที่	หน้า
7.2 ข้อเสนอแนะสำหรับงานวิจัยและการต่อยอดพัฒนา.....	155
บรรณานุกรม.....	157
ภาคผนวก.....	162
ภาคผนวก ก. ชุดทดลองและอุปกรณ์เครื่องมือวัดที่ใช้ในงานวิจัยการควบคุมการเริ่มหมุนแบบ นิ่มนวลให้กับมอเตอร์เหนี่ยวนำหนึ่งเฟสด้วยการควบคุมกระแสเริ่มต้น โดยใช้ เทคนิคอะซิงโครนัส พีดีบีเบิลยูเอ็ม เอช ซี อีซี อีซี.....	163
ภาคผนวก ข. การทดสอบหาค่าพารามิเตอร์ของมอเตอร์เหนี่ยวนำหนึ่งเฟสที่ใช้ในงานวิจัยการ ควบคุมการเริ่มหมุนแบบนิ่มนวลให้กับมอเตอร์เหนี่ยวนำหนึ่งเฟสด้วยการ ควบคุมกระแสเริ่มต้น โดยใช้เทคนิคอะซิงโครนัส พีดีบีเบิลยูเอ็ม เอช ซี อีซี อีซี.....	167
ภาคผนวก ค. วงจรต้นแบบที่ใช้ในงานวิจัยการควบคุมการเริ่มหมุนแบบนิ่มนวลให้กับมอเตอร์ เหนี่ยวนำหนึ่งเฟสด้วยการควบคุมกระแสเริ่มต้น โดยใช้เทคนิคอะซิงโครนัส พีดีบีเบิลยูเอ็ม เอช ซี อีซี อีซี.....	176
ภาคผนวก ง. บทความวิจัยที่ได้รับการตีพิมพ์เผยแพร่ในการประชุมวิชาการทางวิศวกรรมไฟฟ้า เพื่อใช้สำเร็จการศึกษาหลักสูตรวิศวกรรมศาสตรมหาบัณฑิตสาขาวิชา วิศวกรรมไฟฟ้า คณะวิศวกรรมศาสตร์ สถาบันเทคโนโลยีพระจอมเกล้าเจ้าคุณ ทหารลาดกระบัง.....	182
ประวัติผู้เขียนวิทยานิพนธ์.....	219

เอกสารนี้เป็นเอกสารที่สงวนไว้สำหรับการใช้งานเพื่อการศึกษาเท่านั้น ไม่อนุญาตให้นำไปใช้ประโยชน์ด้านการค้า  
ไม่ว่ากรณีใดๆทั้งสิ้น อีกทั้งห้ามมิให้ดัดแปลงเนื้อหา และต้องอ้างอิงถึงเจ้าของเอกสารทุกครั้งที่มีการนำไปใช้

## สารบัญตาราง

ตารางที่	หน้า
ตารางที่ 3.1 ตารางการเปรียบเทียบระหว่าง Asynchronous PWM AC Chopper กับ Synchronous PWM AC Chopper.....	43
ตารางที่ 4.1 สถานะการทำงานลอจิกและมีสัญญาณเอาต์พุตไอซีเบอร์ TLP250.....	65
ตารางที่ 5.1 ค่าพารามิเตอร์ของมอเตอร์เหนี่ยวนำหนึ่งเฟสชนิดเริ่มหมุนด้วยตัวเก็บประจุที่ใช้สำหรับการจำลอง.....	92



เอกสารนี้เป็นเอกสารที่สงวนไว้สำหรับการใช้งานเพื่อการศึกษาเท่านั้น ไม่อนุญาตให้นำไปใช้ประโยชน์ด้านการค้า  
ไม่ว่ากรณีใดๆทั้งสิ้น อีกทั้งห้ามมิให้ดัดแปลงเนื้อหา และต้องอ้างอิงถึงเจ้าของเอกสารทุกครั้งที่มีการนำไปใช้

## สารบัญรูป

รูปที่	หน้า
รูปที่ 1.1 วงจรกำลังพื้นฐานของวงจรควบคุมมอเตอร์เหนี่ยวนำหนึ่งเฟสแบบคาปาซิเตอร์สตาร์ทด้วย ไทรแอกที่เป็นสวิตช์แบบดั้งเดิม.....	8
รูปที่ 1.2 วงจรกำลังพื้นฐานของวงจรควบคุมมอเตอร์เหนี่ยวนำหนึ่งเฟสแบบคาปาซิเตอร์สตาร์ทด้วย เอซี ซ็อบเปอร์เป็นสวิตช์แบบดั้งเดิม.....	8
รูปที่ 1.3 วงจรกำลังพื้นฐานของวงจรควบคุมมอเตอร์เหนี่ยวนำหนึ่งเฟสแบบคาปาซิเตอร์สตาร์ทด้วย เอซี ซ็อบเปอร์ ที่มีไอจีบีทีเป็นสวิตช์แบบใหม่ที่นำเสนอ.....	9
รูปที่ 1.4 รูปคลื่นแรงดันและกระแสด้วยวิธีการควบคุมแบบ Phase Control แบบดั้งเดิม.....	10
รูปที่ 1.5 รูปคลื่นแรงดันและกระแสด้วยวิธีการควบคุมแบบ PWM AC Chopper แบบใหม่ที่นำเสนอ .....	10
รูปที่ 2.1 การต่อขดลวดสเตเตอร์กับระบบไฟฟ้าสองเฟส.....	14
รูปที่ 2.2 รูปคลื่นไซน์และสนามแม่เหล็กหมุนที่สเตเตอร์มอเตอร์ไฟฟ้าสองเฟส.....	15
รูปที่ 2.3 สัญญาณความแตกต่างระหว่างกระแสที่ไหลในขดลวดและขดสตาร์ทที่มีการพันขดลวดทั้ง สองจะมีมุมต่างกัน 90 องศาไฟฟ้า.....	16
รูปที่ 2.4 ส่วนประกอบของมอเตอร์เหนี่ยวนำหนึ่งเฟสแบบคาปาซิเตอร์สตาร์ท.....	17
รูปที่ 2.5 การต่อวงจรของคาปาซิเตอร์สตาร์ทมอเตอร์.....	17
รูปที่ 2.6 เวกเตอร์ไดอะแกรมกระแสไฟฟ้าและแรงเคลื่อนไฟฟ้าของคาปาซิเตอร์มอเตอร์.....	17
รูปที่ 2.7 ความสัมพันธ์ระหว่างแรงบิดและความเร็วรอบ.....	18
รูปที่ 2.8 คาปาซิเตอร์แบบอิเล็กทรอนิกส์.....	18
รูปที่ 2.9 ความสัมพันธ์ระหว่างแรงบิดและความเร็วรอบของคาปาซิเตอร์มอเตอร์ที่ค่าความจุคาปาซิ เตอร์ต่างๆกัน.....	19
รูปที่ 2.10 วงจรกลับทิศทางการหมุนของคาปาซิเตอร์มอเตอร์.....	19
รูปที่ 2.11 ลักษณะการใช้งานของคาปาซิเตอร์มอเตอร์.....	20
รูปที่ 2.12 ชุดบอร์ดไมโครคอนโทรลเลอร์ C2000 เบอร์ TMS320F28379D.....	21
รูปที่ 2.13 หมายเลขขาพิน ADC บนอุปกรณ์ที่ต่อพ่วงโดยรวม C2000 เบอร์ TMS320F28379D.....	22
รูปที่ 2.14 คุณสมบัติเด่นโดยรวมของ C2000 เบอร์ TMS320F28379D.....	23

เอกสารนี้เป็นเอกสารที่สงวนไว้สำหรับการใช้งานเพื่อการศึกษาเท่านั้น ไม่อนุญาตให้นำไปใช้ประโยชน์ด้านการค้า  
ไม่ว่ากรณีใดๆทั้งสิ้น อีกทั้งห้ามมิให้ดัดแปลงเนื้อหา และต้องอ้างอิงถึงเจ้าของเอกสารทุกครั้งที่มีการนำไปใช้

## สารบัญรูป (ต่อ)

รูปที่	หน้า
รูปที่ 3.1	24
รูปที่ 3.2	25
รูปที่ 3.3	26
รูปที่ 3.4	27
รูปที่ 3.5	28
รูปที่ 3.6	28
รูปที่ 3.7	29
รูปที่ 3.8	30
รูปที่ 3.9	30
รูปที่ 3.10	31
รูปที่ 3.11	31
รูปที่ 3.12	31
รูปที่ 3.13	32
รูปที่ 3.14	33
รูปที่ 3.15	33
รูปที่ 3.16	34
รูปที่ 3.17	34
รูปที่ 3.18	35

เอกสารนี้เป็นเอกสารที่สงวนไว้สำหรับการใช้งานเพื่อการศึกษาเท่านั้น ไม่อนุญาตให้นำไปใช้ประโยชน์ด้านการค้า  
ไม่ว่ากรณีใดๆทั้งสิ้น อีกทั้งห้ามมิให้ตัดแปลงเนื้อหา และต้องอ้างอิงถึงเจ้าของเอกสารทุกครั้งที่มีการนำไปใช้

## สารบัญรูป (ต่อ)

รูปที่	หน้า
รูปที่ 3.19 การทำงานโหมด 4 คือกระแสเป็นลบและแรงดันเป็นลบ IL(-), VL(-).....	35
รูปที่ 3.20 การทำงานโหมด 5 คือกระแสเป็นลบและแรงดันเป็นศูนย์ IL(-), VL(0).....	36
รูปที่ 3.21 การทำงานโหมด 6 คือกระแสเป็นลบและแรงดันเป็นบวก IL(-), VL(+)......	37
รูปที่ 3.22 วงจรกำลังของสัญญาณพีดับเบิลยูเอ็ม เอช ซี ซ็อบเปอร์ แบบซิงโครนัส (Synchronous PWM AC Chopper).....	38
รูปที่ 3.23 รูปคลื่นแรงดันและกระแสเอาต์พุตของพีดับเบิลยูเอ็ม เอช ซี ซ็อบเปอร์ แบบซิงโครนัส (Synchronous PWM AC Chopper) ในสภาวะการทำงานแต่ละโหมด.....	38
รูปที่ 3.24 การทำงานโหมด 1 คือกระแสเป็นบวกและแรงดันเป็นบวก IL(+), VL(+)......	39
รูปที่ 3.25 การทำงานโหมด 2 คือกระแสเป็นบวกและแรงดันเป็นศูนย์ IL(+), VL(0).....	39
รูปที่ 3.26 การทำงานโหมด 3 คือกระแสเป็นบวกและแรงดันเป็นลบ IL(+), VL(-).....	40
รูปที่ 3.27 การทำงานโหมด 4 คือกระแสเป็นลบและแรงดันเป็นลบ IL(-), VL(-).....	40
รูปที่ 3.28 การทำงานโหมด 5 คือกระแสเป็นลบและแรงดันเป็นศูนย์ IL(-), VL(0).....	41
รูปที่ 3.29 การทำงานโหมด 6 คือกระแสเป็นลบและแรงดันเป็นบวก IL(-), VL(+)......	41
รูปที่ 3.30 สัญญาณซัปดาห์ทั้ง 4 สัญญาณ.....	42
รูปที่ 3.31 การกำเนิดสัญญาณซัปดาห์ทั้ง 4 สัญญาณ.....	42
รูปที่ 3.32 ตัวควบคุมแบบพี.....	44
รูปที่ 3.33 ตัวควบคุมแบบไอ.....	45
รูปที่ 3.34 กราฟเส้นคุณลักษณะของ Voltage-Ramp Technique.....	46
รูปที่ 3.35 สมรรถนะของมอเตอร์โดยการสตาร์ทแบบต่อโดยตรงจากไลน์ (Direct on-line Starting :DOL).....	47
รูปที่ 3.36 สมรรถนะของมอเตอร์ ด้านกำลังไฟฟ้าที่ปรากฏ กำลังไฟฟ้าที่ปรากฏเฉลี่ย และค่าเพาเวอร์แฟคเตอร์โดยการสตาร์ทแบบต่อโดยตรงจากไลน์ (Direct on-line Starting :DOL).....	48
รูปที่ 3.37 สมรรถนะของมอเตอร์โดยการสตาร์ทแบบนิ่มนวล (PWM AC Chopper Soft Starter : PWMSS) ที่ค่าความชัน $S=0.5$ .....	49

เอกสารนี้เป็นเอกสารที่สงวนไว้สำหรับการใช้งานเพื่อการศึกษาเท่านั้น ไม่อนุญาตให้นำไปใช้ประโยชน์ด้านการค้าไม่ว่ากรณีใดๆทั้งสิ้น อีกทั้งห้ามมิให้ดัดแปลงเนื้อหา และต้องอ้างอิงถึงเจ้าของเอกสารทุกครั้งที่มีการนำไปใช้



## สารบัญรูป (ต่อ)

รูปที่	หน้า
รูปที่ 4.7 ลักษณะของกระแสและแรงดันขณะนำกระแสและขณะหยุดนำกระแส.....	64
รูปที่ 4.8 โครงสร้างภายในของไอซี Optocoupler – Isolator เบอร์ TLP250.....	65
รูปที่ 4.9 วงจรแยกกราวด์สัญญาณขับเคลื่อน.....	66
รูปที่ 4.10 Power Transducer Isolator Amplifier (ISO124-NP).....	66
รูปที่ 4.11 วงจรตรวจจับสัญญาณแรงดันไฟฟ้ากระแสสลับ.....	67
รูปที่ 4.12 วงจรตรวจจับสัญญาณกระแสไฟฟ้าสลับ.....	69
รูปที่ 4.13 วงจรประวิงเวลา.....	70
รูปที่ 4.14 รูปการแบ่งกระแส Io เป็น Is และ Ic.....	71
รูปที่ 4.15 ช่วงเวลาที่สวิตช์ต่อวงจร.....	72
รูปที่ 4.16 ไมโครคอนโทรลเลอร์แบบ C2000 Launch Pad เบอร์ TMS320F28379D.....	73
รูปที่ 4.17 หมายเลขขาพิน ADC บนอุปกรณ์ที่ต่อพ่วงโดยรวมของ C2000 เบอร์ TMS320F28379D.....	76
รูปที่ 5.1 โครงสร้างพื้นฐานของระบบที่ใช้ในการจำลองการควบคุมการหมุนแบบนิ่มนวล.....	78
รูปที่ 5.2 ตัวอย่างบล็อกเซตฟังก์ชันที่มีระบบประกอบด้วย Input, Process และ Output.....	79
รูปที่ 5.3 การเปิดใช้งานโปรแกรม MATLAB/Simulink Version R2024a.....	80
รูปที่ 5.4 ส่วนประกอบหน้าต่าง Simulink Start Page.....	81
รูปที่ 5.5 การเปิดหน้าต่าง Simulink Editor.....	81
รูปที่ 5.6 การเปิดใช้งาน Simulink Library Browser.....	82
รูปที่ 5.7 หน้าต่างเปิดใช้งานโปรแกรม Code Composer Studio (CCS) Version 12.4.0.....	83
รูปที่ 5.8 การตั้งค่า Configuration Parameters ในโปรแกรม MATLAB/Simulink Version R2024a.....	84
รูปที่ 5.9 บล็อกเซตของ Test_CCS.slx ในโปรแกรม MATLAB/Simulink Version R2024a.....	84
รูปที่ 5.10 การตั้งค่า Model Configuration Parameters ในโปรแกรม MATLAB/Simulink Version R2024a.....	85
รูปที่ 5.11 ผลการ Build ผ่านแล้วที่บล็อกเซตของ Test_CCS.out ในโปรแกรม MATLAB/Simulink Version R2024a.....	86
รูปที่ 5.12 การตั้งชื่อ New Target Configurations.....	87
รูปที่ 5.13 การตั้งค่าสร้างไฟล์ชื่อที่จะเชื่อมต่อกับโปรแกรม CCS.....	87
รูปที่ 5.14 การตั้งค่าอุปกรณ์ที่จะเชื่อมต่อโปรแกรม CCS.....	88

เอกสารนี้เป็นเอกสารที่สงวนไว้สำหรับการใช้งานเพื่อการศึกษาเท่านั้น ไม่อนุญาตให้นำไปใช้ประโยชน์ด้านการค้า

ไม่ว่ากรณีใดๆทั้งสิ้น อีกทั้งห้ามมิให้ดัดแปลงเนื้อหา และต้องอ้างอิงถึงเจ้าของเอกสารทุกครั้งที่มีการนำไปใช้

## สารบัญรูป (ต่อ)

รูปที่	หน้า
รูปที่ 5.15 ค้นหา Target Configurations.....	88
รูปที่ 5.16 เลือก Launch Selected Configuration.....	89
รูปที่ 5.17 แสดงการ Disconnected Device ที่ช่อง Debug.....	89
รูปที่ 5.18 แสดงช่อง Debug.....	90
รูปที่ 5.19 การทำ Connect Target.....	90
รูปที่ 5.20 การเชื่อมต่อกับบอร์ด TMS320F28379D.....	91
รูปที่ 5.21 หยุดการเชื่อมต่อบอร์ด TMS320F28379D.....	91
รูปที่ 5.22 การจำลองเริ่มหมุนแบบนิ่มนวลของมอเตอร์แบบ PWM AC Chopper Soft Starter : PWMSS ในโปรแกรม MATLAB/Simulink.....	92
รูปที่ 5.23 รูปคลื่นของวงจรประวิงเวลาที่ได้จากการจำลอง.....	93
รูปที่ 5.24 รูปคลื่นสัญญาณของสวิตช์ IGBT ตัวที่ 1 และสวิตช์ IGBT ตัวที่ 2 ตัว ที่ค่าดิวตี้ 60% จาก การจำลอง.....	93
รูปที่ 5.25 รูปคลื่นสัญญาณของสวิตช์ IGBT ตัวที่ 1 และสวิตช์ IGBT ตัวที่ 2 ตัว ที่ค่าดิวตี้ 90%.....	94
รูปที่ 5.26 รูปคลื่นสัญญาณและฮาร์มอนิกของแรงดันและกระแสที่ค่าดิวตี้ 10% จากการจำลอง.....	95
รูปที่ 5.27 รูปคลื่นสัญญาณและฮาร์มอนิกของแรงดันและกระแสที่ค่าดิวตี้ 30% จากการจำลอง.....	96
รูปที่ 5.28 รูปคลื่นสัญญาณและฮาร์มอนิกของแรงดันและกระแสที่ค่าดิวตี้ 50% จากการจำลอง.....	97
รูปที่ 5.29 รูปคลื่นสัญญาณและฮาร์มอนิกของแรงดันและกระแสที่ค่าดิวตี้ 70% จากการจำลอง.....	98
รูปที่ 5.30 รูปคลื่นสัญญาณและฮาร์มอนิกของแรงดันและกระแสที่ค่าดิวตี้ 90% จากการจำลอง.....	99
รูปที่ 5.31 (ก) การจำลองค่าความชันในโปรแกรม MATLAB/Simulink (ข) การเปลี่ยนค่าความชันที่ ช่อง Gain Value และ (ค) การเปลี่ยนค่าดิวตี้ที่ช่อง Upper Limit และ Lower Limit..	100
รูปที่ 5.32 การจำลองแบบไม่มีโหลดที่ค่าความชัน 0.5, 1.0, 1.5, 2 และที่ค่าดิวตี้ 5-90%.....	101
รูปที่ 5.33 การจำลองแบบไม่มีโหลดที่ค่าความชัน 0.5, 1.0, 1.5, 2 และที่ค่าดิวตี้ 10-90%.....	102
รูปที่ 5.34 การจำลองแบบไม่มีโหลดที่ค่าความชัน 0.5, 1.0, 1.5, 2 และที่ค่าดิวตี้ 15-90%.....	103
รูปที่ 5.35 การจำลองแบบไม่มีโหลดที่ค่าความชัน 0.5, 1.0, 1.5, 2 และที่ค่าดิวตี้ 20-90%.....	104

เอกสารนี้เป็นเอกสารที่สงวนไว้สำหรับการใช้งานเพื่อการศึกษาเท่านั้น ไม่อนุญาตให้นำไปใช้ประโยชน์ด้านการค้า  
ไม่ว่ากรณีใดๆทั้งสิ้น อีกทั้งห้ามมิให้ดัดแปลงเนื้อหา และต้องอ้างอิงถึงเจ้าของเอกสารทุกครั้งที่มีการนำไปใช้

## สารบัญรูป (ต่อ)

รูปที่	หน้า
รูปที่ 5.36 (ก) การจำลองค่าความชันในโปรแกรม MATLAB/Simulink (ข) การเปลี่ยนค่าใส่โหนดที่ช่อง Final Value.....	105
รูปที่ 5.37 การจำลองแบบมีโหนดที่ค่าความชัน 0.5, 1.0, 1.5, 2 และที่ค่าดีวีดี 5-90%.....	106
รูปที่ 5.38 การจำลองแบบมีโหนดที่ค่าความชัน 0.5, 1.0, 1.5, 2 และที่ค่าดีวีดี 10-90%.....	107
รูปที่ 5.39 การจำลองแบบมีโหนดที่ค่าความชัน 0.5, 1.0, 1.5, 2 และที่ค่าดีวีดี 15-90%.....	108
รูปที่ 5.40 การจำลองแบบมีโหนดที่ค่าความชัน 0.5, 1.0, 1.5, 2 และที่ค่าดีวีดี 20-90%.....	109
รูปที่ 5.41 การจำลองเริ่มหมุนมอเตอร์แบบโดยตรง Direct On Line : DOL.....	110
รูปที่ 5.42 การจำลองเริ่มหมุนแบบนิ่มนวลของมอเตอร์แบบ PWM AC Chopper Soft Starter : PWMSS ที่ค่าดีวีดี 50% ที่โหนด 1.1 Nm.....	111
รูปที่ 5.43 การจำลองเริ่มหมุนแบบนิ่มนวลของมอเตอร์แบบ PWM AC Chopper Soft Starter : PWMSS ที่ค่าดีวีดี 90% ที่โหนด 1.1 Nm.....	111
รูปที่ 5.44 การจำลองเริ่มหมุนแบบนิ่มนวลของมอเตอร์แบบ PWM AC Chopper Soft Starter : PWMSS ที่ค่าดีวีดี 50% ที่โหนด 1.3 Nm.....	112
รูปที่ 5.45 การจำลองเริ่มหมุนแบบนิ่มนวลของมอเตอร์แบบ PWM AC Chopper Soft Starter : PWMSS ที่ค่าดีวีดี 90% ที่โหนด 1.3 Nm.....	113
รูปที่ 5.46 การจำลองเริ่มหมุนแบบนิ่มนวลของมอเตอร์แบบ PWM AC Chopper Soft Starter : PWMSS ที่ค่าดีวีดี 50% ที่โหนด 1.8 Nm.....	113
รูปที่ 5.47 การจำลองเริ่มหมุนแบบนิ่มนวลของมอเตอร์แบบ PWM AC Chopper Soft Starter : PWMSS ที่ค่าดีวีดี 90% ที่โหนด 1.8 Nm.....	114
รูปที่ 5.48 การจำลองเริ่มหมุนมอเตอร์แบบ PWM AC Chopper Soft Starter : PWMSS ที่ค่าควบคุมกระแสพิกัด 200% แบบไม่มีโหนดและแบบมีโหนด 1.1 Nm.....	115
รูปที่ 5.49 การจำลองเริ่มหมุนมอเตอร์แบบ PWM AC Chopper Soft Starter : PWMSS ที่ค่าควบคุมกระแสพิกัด 250% แบบไม่มีโหนดและแบบมีโหนด 1.1 Nm.....	115
รูปที่ 5.50 การจำลองเริ่มหมุนมอเตอร์แบบ PWM AC Chopper Soft Starter : PWMSS ที่ค่าควบคุมกระแสพิกัด 300% แบบไม่มีโหนดและแบบมีโหนด 1.1 Nm.....	115

เอกสารนี้เป็นเอกสารที่สงวนไว้สำหรับการใช้งานเพื่อการศึกษาเท่านั้น ไม่อนุญาตให้นำไปใช้ประโยชน์ด้านการค้า  
ไม่ว่ากรณีใดๆทั้งสิ้น อีกทั้งห้ามมิให้ดัดแปลงเนื้อหา และต้องอ้างอิงถึงเจ้าของเอกสารทุกครั้งที่มีการนำไปใช้

## สารบัญรูป (ต่อ)

รูปที่	หน้า
รูปที่ 5.51 การจำลองเริ่มหมุนมอเตอร์แบบ PWM AC Chopper Soft Starter : PWMSS ที่ค่าควบคุมกระแสพิคก 350% แบบไม่มีโหลดและแบบมีโหลด 1.1 Nm.....	116
รูปที่ 5.52 การจำลองเริ่มหมุนมอเตอร์แบบ PWM AC Chopper Soft Starter : PWMSS ที่ค่าควบคุมกระแสพิคก 400% แบบไม่มีโหลดและแบบมีโหลด 1.1 Nm.....	116
รูปที่ 6.1 โครงสร้างพื้นฐานของระบบที่ใช้ในการทดสอบการควบคุมการเริ่มหมุนแบบนิ่มนวล.....	118
รูปที่ 6.2 รูปคลื่นของวงจรประวิงเวลาที่ได้จากการทดสอบ.....	118
รูปที่ 6.3 การจับขาสัญญาณของสวิตช์ IGBT ตัวที่ 1 และสวิตช์ IGBT ตัวที่ 2 ตัว.....	119
รูปที่ 6.4 รูปคลื่นสัญญาณของสวิตช์ IGBT ตัวที่ 1 และสวิตช์ IGBT ตัวที่ 2 ตัว ที่ค่าดีวตี้ 60%.....	120
รูปที่ 6.5 รูปคลื่นสัญญาณของสวิตช์ IGBT ตัวที่ 1 และสวิตช์ IGBT ตัวที่ 2 ตัว ที่ค่าดีวตี้ 90%.....	121
รูปที่ 6.6 รูปคลื่นสัญญาณและฮาร์มอนิกของแรงดันและกระแสที่ค่าดีวตี้ 10%.....	122
รูปที่ 6.7 รูปคลื่นสัญญาณและฮาร์มอนิกของแรงดันและกระแสที่ค่าดีวตี้ 30%.....	122
รูปที่ 6.8 รูปคลื่นสัญญาณและฮาร์มอนิกของแรงดันและกระแสที่ค่าดีวตี้ 50%.....	123
รูปที่ 6.9 รูปคลื่นสัญญาณและฮาร์มอนิกของแรงดันและกระแสที่ค่าดีวตี้ 70%.....	124
รูปที่ 6.10 รูปคลื่นสัญญาณและฮาร์มอนิกของแรงดันและกระแสที่ค่าดีวตี้ 90%.....	124
รูปที่ 6.11 การเชื่อมต่อสัญญาณ PWM AC Chopper Soft Starter : PWMSS จาก C2000 Microcontroller เบอร์ TMS320F28379D.....	125
รูปที่ 6.12 การจำลองเทคนิคการควบคุมกระแสเริ่มหมุนแบบนิ่มนวลจากทูลบล็อก Simulink และการเปลี่ยนค่าความชันที่ช่อง Gain Value.....	127
รูปที่ 6.13 การเปลี่ยนค่าดีวตี้ที่ช่อง Upper Limit และ Lower Limit.....	128
รูปที่ 6.14 การทดสอบแบบไม่มีโหลดที่ค่าความชัน 0.5, 1.0, 1.5, 2 และที่ค่าดีวตี้ 5-90%.....	129
รูปที่ 6.15 การทดสอบแบบไม่มีโหลดที่ค่าความชัน 0.5, 1.0, 1.5, 2 และที่ค่าดีวตี้ 10-90%.....	130
รูปที่ 6.16 การทดสอบแบบไม่มีโหลดที่ค่าความชัน 0.5, 1.0, 1.5, 2 และที่ค่าดีวตี้ 15-90%.....	132
รูปที่ 6.17 การทดสอบแบบไม่มีโหลดที่ค่าความชัน 0.5, 1.0, 1.5, 2 และที่ค่าดีวตี้ 20-90%.....	133
รูปที่ 6.18 การทดสอบแบบมีโหลดที่ค่าความชัน 0.5, 1.0, 1.5, 2 และที่ค่าดีวตี้ 5-90%.....	135
รูปที่ 6.19 การทดสอบแบบมีโหลดที่ค่าความชัน 0.5, 1.0, 1.5, 2 และที่ค่าดีวตี้ 10-90%.....	136
รูปที่ 6.20 การทดสอบแบบมีโหลดที่ค่าความชัน 0.5, 1.0, 1.5, 2 และที่ค่าดีวตี้ 15-90%.....	137
รูปที่ 6.21 การทดสอบแบบมีโหลดที่ค่าความชัน 0.5, 1.0, 1.5, 2 และที่ค่าดีวตี้ 20-90%.....	139
รูปที่ 6.22 การทดสอบเริ่มหมุนมอเตอร์แบบโดยตรง Direct On Line : DOL.....	139

เอกสารนี้เป็นเอกสารที่สงวนไว้สำหรับการใช้งานเพื่อการศึกษาเท่านั้น ไม่อนุญาตให้นำไปใช้ประโยชน์ด้านการค้า ไม่ว่าจะกรณีใดๆทั้งสิ้น อีกทั้งห้ามมิให้ดัดแปลงเนื้อหา และต้องอ้างอิงถึงเจ้าของเอกสารทุกครั้งที่มีการนำไปใช้

## สารบัญรูป (ต่อ)

รูปที่	หน้า
รูปที่ 6.23 การทดสอบเริ่มหมุนแบบนิ่มนวลของมอเตอร์แบบ PWM AC Chopper Soft Starter : PWMSS ที่ค่าดีวตี้ 50% ที่โหลด 1.1 Nm.....	140
รูปที่ 6.24 การทดสอบเริ่มหมุนแบบนิ่มนวลของมอเตอร์แบบ PWM AC Chopper Soft Starter : PWMSS ที่ค่าดีวตี้ 90% ที่โหลด 1.1 Nm.....	141
รูปที่ 6.25 การทดสอบเริ่มหมุนแบบนิ่มนวลของมอเตอร์แบบ PWM AC Chopper Soft Starter : PWMSS ที่ค่าดีวตี้ 50% ที่โหลด 1.3 Nm.....	142
รูปที่ 6.26 การทดสอบเริ่มหมุนแบบนิ่มนวลของมอเตอร์แบบ PWM AC Chopper Soft Starter : PWMSS ที่ค่าดีวตี้ 90% ที่โหลด 1.3 Nm.....	142
รูปที่ 6.27 การทดสอบเริ่มหมุนแบบนิ่มนวลของมอเตอร์แบบ PWM AC Chopper Soft Starter PWMSS ที่ค่าดีวตี้ 50% ที่โหลด 1.8 Nm.....	143
รูปที่ 6.28 การทดสอบเริ่มหมุนแบบนิ่มนวลของมอเตอร์แบบ PWM AC Chopper Soft Starter : PWMSS ที่ค่าดีวตี้ 90% ที่โหลด 1.8 Nm.....	144
รูปที่ 6.29 การทดสอบเริ่มหมุนแบบนิ่มนวลของมอเตอร์แบบ PWM AC Chopper Soft Starter : PWMSS ที่ค่าดีวตี้ 50% ที่โหลด 1.1 Nm.....	144
รูปที่ 6.30 การทดสอบเริ่มหมุนแบบนิ่มนวลของมอเตอร์แบบ PWM AC Chopper Soft Starter : PWMSS ที่ค่าดีวตี้ 90% ที่โหลด 1.1 Nm.....	145
รูปที่ 6.31 การทดสอบเริ่มหมุนแบบนิ่มนวลของมอเตอร์แบบ PWM AC Chopper Soft Starter : PWMSS ที่ค่าดีวตี้ 50% ที่โหลด 1.3 Nm.....	145
รูปที่ 6.32 การทดสอบเริ่มหมุนแบบนิ่มนวลของมอเตอร์แบบ PWM AC Chopper Soft Starter : PWMSS ที่ค่าดีวตี้ 90% ที่โหลด 1.3 Nm.....	145
รูปที่ 6.33 การทดสอบเริ่มหมุนแบบนิ่มนวลของมอเตอร์แบบ PWM AC Chopper Soft Starter : PWMSS ที่ค่าดีวตี้ 50% ที่โหลด 1.8 Nm.....	146
รูปที่ 6.34 การทดสอบเริ่มหมุนแบบนิ่มนวลของมอเตอร์แบบ PWM AC Chopper Soft Starter : PWMSS ที่ค่าดีวตี้ 90% ที่โหลด 1.8 Nm.....	146
รูปที่ 6.35 กราฟความสัมพันธ์จากการทดสอบเริ่มหมุนแบบนิ่มนวลของมอเตอร์แบบ PWM AC Chopper Soft Starter : PWMSS ที่ค่าดีวตี้ 50% และ 90% ที่โหลด 1.1 Nm ,1.3 Nm, 1.8 Nm.....	148
รูปที่ 6.36 การเริ่มหมุนมอเตอร์แบบ PWM AC Chopper Soft Starter : PWMSS ที่ค่าควบคุม กระแสพิกัด 200% แบบไม่มีโหลดและแบบมีโหลด 1.1 Nm.....	148

เอกสารนี้เป็นเอกสารที่สงวนไว้สำหรับการใช้งานเพื่อการศึกษาเท่านั้น ไม่อนุญาตให้นำไปใช้ประโยชน์ด้านการค้า  
ไม่ว่ากรณีใดๆทั้งสิ้น อีกทั้งห้ามมิให้ดัดแปลงเนื้อหา และต้องอ้างอิงถึงเจ้าของเอกสารทุกครั้งที่มีการนำไปใช้

## สารบัญรูป (ต่อ)

รูปที่	หน้า
รูปที่ 6.37 การเริ่มหมุนมอเตอร์แบบ PWM AC Chopper Soft Starter : PWMSS ที่ค่าควบคุม กระแสพิภัก 250% แบบไม่มีโหลดและแบบมีโหลด 1.1 Nm.....	149
รูปที่ 6.38 การเริ่มหมุนมอเตอร์แบบ PWM AC Chopper Soft Starter : PWMSS ที่ค่าควบคุม กระแสพิภัก 300% แบบไม่มีโหลดและแบบมีโหลด 1.1 Nm.....	149
รูปที่ 6.39 การเริ่มหมุนมอเตอร์แบบ PWM AC Chopper Soft Starter : PWMSS ที่ค่าควบคุม กระแสพิภัก 350% แบบไม่มีโหลดและแบบมีโหลด 1.1 Nm.....	150
รูปที่ 6.40 การเริ่มหมุนมอเตอร์แบบ PWM AC Chopper Soft Starter : PWMSS ที่ค่าควบคุม กระแสพิภัก 400% แบบไม่มีโหลดและแบบมีโหลด 1.1 Nm.....	150
รูปที่ 7.1 การจำลองระบบควบคุมการเริ่มหมุนแบบนิ่มนวลโดยวิธีการพิคดับเบิ้ลยูเอ็ม เอช ซี้อปเปอร์ แบบอะซิงโครนัส Asynchronous PWM AC Chopper Soft Starter : PWMSS.....	152
รูปที่ 7.2 การทดสอบระบบควบคุมการเริ่มหมุนแบบนิ่มนวลโดยวิธีการพิคดับเบิ้ลยูเอ็ม เอช ซี้อปเปอร์ แบบอะซิงโครนัส Asynchronous PWM AC Chopper Soft Starter : PWMSS.....	153
รูปที่ 7.3 การเริ่มหมุนมอเตอร์โดยตรง Direct On Line : DOL แบบไม่มีโหลด.....	154
รูปที่ 7.4 การเริ่มหมุนมอเตอร์แบบ PWM AC Chopper Soft Starter : PWMSS ที่ค่าควบคุมกระแส พิภัก 200% แบบไม่มีโหลด.....	154
รูปที่ 7.5 การเริ่มหมุนมอเตอร์แบบ PWM AC Chopper Soft Starter : PWMSS ที่ค่าควบคุมกระแส พิภัก 200% แบบมีโหลด 1.1 Nm.....	155
รูปที่ 7.6 การเริ่มหมุนมอเตอร์แบบ PWM AC Chopper Soft Starter : PWMSS ที่ค่าควบคุมกระแส พิภัก 150% แบบมีโหลด 1.1 Nm.....	155

เอกสารนี้เป็นเอกสารที่สงวนไว้สำหรับการใช้งานเพื่อการศึกษาเท่านั้น ไม่อนุญาตให้นำไปใช้ประโยชน์ด้านการค้า  
ไม่ว่ากรณีใดๆทั้งสิ้น อีกทั้งห้ามมิให้ดัดแปลงเนื้อหา และต้องอ้างอิงถึงเจ้าของเอกสารทุกครั้งที่มีการนำไปใช้

## รายการคำย่อและสัญลักษณ์

$a_0$	องค์ประกอบไฟตรง
$a_n, b_n$	องค์ประกอบฟูเรียร์
$n$	อันดับฮาร์มอนิก
$\omega_c$	ความถี่เชิงมุมของสัญญาณพาหะ
$t_{on}$	คาบเวลาสวิตช์ ON
$t_{off}$	คาบเวลาสวิตช์ OFF
$T_s$	คาบเวลาสวิตช์ซิง
$V_{cont}$	แอมพลิจูดของสัญญาณแรงดันควบคุม
$V_{tri}$	แอมพลิจูดของสัญญาณแรงดันพาหะ
$D$	ค่าดีวตีเรโซ
Phase Control	การควบคุมเริ่มหมุนโดยควบคุมเฟส
PCSS	การควบคุมเริ่มหมุนแบบนี้มนวลโดย Phase Control Soft Starter : PCSS
PWMSS	การควบคุมเริ่มหมุนแบบนี้มนวลโดยวิธีการพิดับเบิลยูเอ็ม เอซี ซ็อบเปอร์ แบบอะซิงโครนัส Asynchronous PWM AC Chopper Soft Starter :
	PWMSS
$S$	ความชัน
$t$	เวลาไต่ขึ้น (sec)
$\%D_{act}$	เปอร์เซ็นต์ดีวตีไซเคิลค่าจริงตามฟังก์ชันเวลา
$\%D_{fi}$	เปอร์เซ็นต์ดีวตีไซเคิลของค่าที่ต้องการ
$\%D_{in}$	เปอร์เซ็นต์ดีวตีไซเคิลของค่าที่เริ่มต้น
$n_r$	ความเร็วซิงโครนัส
$n_s$	ความเร็วโรเตอร์
$s$	สลิปมอเตอร์เหนี่ยวนำ
$f_r$	ความถี่โรเตอร์
$f_e$	ความถี่สเตเตอร์
$V$	แรงดันไฟฟ้าพิกัด
$I$	กระแสไฟฟ้าพิกัด
$R$	ความต้านทานไฟฟ้า
$X$	ความต้านทานเสมือน
$P_i$	กำลังไฟฟ้าขาเข้า

เอกสารนี้เป็นเอกสารที่สงวนไว้สำหรับการใช้งานเพื่อการศึกษาเท่านั้น ไม่อนุญาตให้นำไปใช้ประโยชน์ด้านการค้า  
ไม่ว่ากรณีใดๆทั้งสิ้น อีกทั้งห้ามมิให้ตัดแปลงเนื้อหา และต้องอ้างอิงถึงเจ้าของเอกสารทุกครั้งที่มีการนำไปใช้

## รายการคำย่อและสัญลักษณ์ (ต่อ)

$P_e$	กำลังไฟฟ้าขาออกของโรเตอร์
$T_e$	แรงบิดแม่เหล็กไฟฟ้า
$P_o$	กำลังทางกลทั้งหมดที่ออกจากมอเตอร์
$P_r$	ค่าสูญเสียจากการหมุนในแกนเหล็ก
$T_o$	แรงบิดทางกลของมอเตอร์
$\omega_s$	ความเร็วเชิงมุมที่ความเร็วซิงโครนัสมอเตอร์เหนี่ยวนำหนึ่งเฟส
$P$	จำนวนขั้วแม่เหล็กไฟฟ้าของมอเตอร์
$f$	ความถี่ทางไฟฟ้าของแหล่งจ่าย
$\omega$	ความเร็วเชิงมุมทางไฟฟ้า
$\theta$	มุมระหว่าง
$V_b$	แรงดันไฟฟ้าขณะทดสอบจับยึดโรเตอร์
$I_b$	กระแสไฟฟ้าขณะทดสอบจับยึดโรเตอร์
$P_b$	กำลังไฟฟ้าขณะทดสอบจับยึดโรเตอร์
$V_{nl}$	แรงดันไฟฟ้าขณะทดสอบเมื่อไร้สภาวะทางกล
$I_{nl}$	กระแสไฟฟ้าขณะทดสอบเมื่อไร้สภาวะทางกล
$P_{nl}$	กำลังไฟฟ้าขณะทดสอบเมื่อไร้สภาวะทางกล
$I_p$	กระแสไฟฟ้าสูงสุด (Peak current : $I_{max}$ , $I_{peak}$ )
$V_p$	แรงดันไฟฟ้าสูงสุด (Peak voltage : $V_{max}$ , $V_{peak}$ )
$P_p$	ค่ากำลังไฟฟ้าชั่วขณะ ( $V_{peak} * I_{peak}$ )

เอกสารนี้เป็นเอกสารที่สงวนไว้สำหรับการใช้งานเพื่อการศึกษาเท่านั้น ไม่อนุญาตให้นำไปใช้ประโยชน์ด้านการค้า  
ไม่ว่ากรณีใดๆทั้งสิ้น อีกทั้งห้ามมิให้ดัดแปลงเนื้อหา และต้องอ้างอิงถึงเจ้าของเอกสารทุกครั้งที่มีการนำไปใช้

## บทที่ 1

# บทนำในการจัดทำงานวิจัย

### 1.1 ความเป็นมาและความสำคัญของปัญหาในงานวิจัย

ในปัจจุบันนี้เราจะปฏิเสธไม่ได้ว่าเครื่องจักรกลที่ใช้ในการเปลี่ยนรูปพลังงานจากพลังงานไฟฟ้าเป็นพลังงานกลที่นิยมนำมาใช้กันอย่างแพร่หลายก็คือมอเตอร์ไฟฟ้าเหนี่ยวนำ [1], [7] ได้เข้ามา มีบทบาทอย่างมากทั้งในชีวิตประจำวันและการทำงาน เนื่องมาจากลักษณะโครงสร้างของมอเตอร์เหนี่ยวนำที่ไม่จำเป็นต้องมีการดูแลรักษามากนัก เพื่อใช้สำหรับอำนวยความสะดวกสบายโดยเฉพาะอย่างยิ่งเครื่องจักรกลไฟฟ้าประเภทมอเตอร์เหนี่ยวนำหนึ่งเฟส (Single Phase Induction Motor: SPIM) ซึ่งนิยมใช้กันอย่างแพร่หลายทั้งภาคอุตสาหกรรม และภาคเกษตรกรรม เนื่องมาจากมีโครงสร้างที่มีความแข็งแรงทนทาน ใช้งานได้ง่าย บำรุงรักษาน้อย และที่สำคัญราคาไม่สูงมากนัก สำหรับการนำไปใช้ขึ้นอยู่กับลักษณะของงานในชีวิตประจำวันที่ใช้อยู่ตามบ้านเรือน อย่างเช่น พัดลม เครื่องม้วน เครื่องเจาะ บิมน้ำ เครื่องซักผ้า และคอมเพรสเซอร์ในเครื่องปรับอากาศ ระบบไฟฟ้าในบ้านเรือน โดยทั่วไปจะเป็นไฟฟ้าเฟสเดียวเพราะมีความสะดวกสบาย ราคาไม่แพง เป็นต้น เราเรียกลักษณะใช้มอเตอร์เปลี่ยนรูปพลังงานว่า ภาระของมอเตอร์ (Load Motor) ซึ่งลักษณะงานภาระของมอเตอร์ที่ใช้ก็แตกต่างกัน เช่น ภาระเบา ภาระปานกลาง และภาระหนัก อาจจะมีที่หรือไม่มีที่ขึ้นอยู่กับช่วงระยะเวลาและลักษณะงานภาระของมอเตอร์ ถ้ามอเตอร์ทำงานที่ภาระเบาจะส่งผลต่อประสิทธิภาพและตัวประกอบกำลังค่อนข้างต่ำ และหากใช้มอเตอร์ที่ภาระเบาเป็นจำนวนมากจะทำให้เกิดการสูญเสียค่อนข้างสูง ดังนั้นการจะหาวิธีที่จะเพิ่มประสิทธิภาพของมอเตอร์จึงเป็นเรื่องที่ควรตระหนัก

ถึงแม้ว่าในปัจจุบันนี้ด้วยความก้าวหน้าทางเทคโนโลยีทำให้มีการสร้างและออกแบบมอเตอร์นั้นยังคงอยู่ในระดับของการวิจัยในห้องปฏิบัติการอีกทั้งลักษณะงานเฉพาะทางที่นำมาต่อสมัใหม่มาใช้ยังมีไม่มากนัก ในขณะที่ลักษณะงานทั่วไปในการนำมาใช้ทำงานนั้นมอเตอร์เหนี่ยวนำก็สามารถตอบโจทย์การใช้งานได้เพียงพอแล้วนั้น จึงทำให้มอเตอร์เหนี่ยวนำยังคงถูกนำมาใช้กันอย่างแพร่หลาย โดยมอเตอร์เหนี่ยวนำหากแบ่งตามชนิดของโรเตอร์สามารถแบ่งออกได้ 2 ชนิด คือแบบกรงกระรอก (Squirrel Cage Rotor) และชนิดขดลวดพันที่โรเตอร์ (Wound Rotor) โดยชนิดกรงกระรอกนั้นใช้กับงานทั่วไปที่ไม่ต้องการแรงบิดหรือการเริ่มหมุนแบบพิเศษจึงทำให้เป็นที่นิยมใช้กันอย่างแพร่หลาย [1-20] ในขณะที่ชนิดขดลวดพันที่โรเตอร์ถูกนำมาใช้ลักษณะงานที่ต้องการแรงบิดเริ่มหมุนที่สูงกว่าชนิดกรงกระรอก โดยขดลวดทางด้านโรเตอร์สามารถต่อกับต่อกับตัวต้านทานภายนอกได้เพื่อใช้ในการเพิ่มสมรรถนะทางด้านแรงบิดให้กับมอเตอร์ชนิดนี้ นั้นทำให้มีการต่อใช้งานที่ซับซ้อนมากกว่าชนิดกรงกระรอกดังนั้นมอเตอร์ชนิดนี้จึงเหมาะกับบางงานเท่านั้น แต่หากแบ่งชนิด

เอกสารนี้เป็นเอกสารที่สงวนไว้สำหรับการใช้งานเพื่อการศึกษาเท่านั้น ไม่อนุญาตให้นำไปใช้ประโยชน์ด้านการค้า ไม่ว่าจะกรณีใดๆทั้งสิ้น อีกทั้งห้ามมิให้ตัดแปลงเนื้อหา และต้องอ้างอิงถึงเจ้าของเอกสารทุกครั้งที่มีการนำไปใช้

ของมอเตอร์เหนี่ยวนำตามแหล่งจ่ายไฟฟ้าแล้วสามารถแบ่งออกได้ 2 ชนิด คือ 1 เฟส และ 3 เฟส ซึ่งชนิด 1 เฟส ถูกนำมาใช้ในบ้านพักอาศัยหรือสำนักงานที่ใช้ระบบไฟฟ้า 1 เฟส ส่วนใหญ่มอเตอร์ชนิดนี้เป็นแบบกรงกระรอกและมีขนาดแรงม้าต่ำกว่า 7.5 แรงม้า [30] ถ้ากรณีที่ใช้ระบบไฟฟ้า 3 เฟส เข้าถึงและต้องใช้มอเตอร์ในการขับเคลื่อนภาระตั้งแต่ 10 แรงม้า ขึ้นไปมอเตอร์ชนิด 3 เฟส จึงถูกเลือกใช้งานมากกว่าโดยเฉพาะอย่างยิ่งในโรงงานอุตสาหกรรมที่ต้องการขับเคลื่อนภาระที่แรงม้าสูงๆ และไม่ต้องการเปลี่ยนความเร็วรอบให้กับภาระที่ขับเคลื่อน [28], [30] นั่นจึงทำให้มอเตอร์เหนี่ยวนำหนึ่งเฟสแบบกรงกระรอกยังเป็นที่ยอมรับมาจนถึงปัจจุบัน [29]

การควบคุมมอเตอร์เหนี่ยวนำให้เริ่มต้นทำงานนั้นสามารถควบคุมได้ 3 วิธี ได้แก่ วิธีที่ 1 เรียกว่าการต่อแหล่งจ่ายเข้ามอเตอร์โดยตรง (Direct Online Starting) ซึ่งส่วนใหญ่ใช้กับมอเตอร์ขนาดแรงม้าไม่สูงมาก วิธีการนี้มอเตอร์ใช้กระแสประมาณ 5-7 เท่าของกระแสพิกัดและนอกจากนี้ หากนำไปใช้กับมอเตอร์ที่มีภาระเบา ผลที่ได้ก็คือทำให้อัตราเร่งของโรเตอร์สูงเกินไปเนื่องจากมอเตอร์มีแรงบิดขณะเริ่มหมุนสูง ทำให้เกิดการกระชากและเกิดการแกว่งของแรงบิดที่เพลาในระยะยาวทำให้ชุดส่งกำลังและชุดเกียร์เกิดการชำรุดได้ [29], [31] วิธีที่ 2 เรียกว่าการลดแรงดันขณะเริ่มหมุน (Reduce Voltage Starting) วิธีการนี้นำมาใช้กับมอเตอร์เหนี่ยวนำที่มีขนาดพิกัดมากกว่า 7.5 แรงม้าทั้งนี้ก็เนื่องมาจากมอเตอร์กินกระแสขณะเริ่มหมุนสูงมากทำให้เกิดแรงดันตกในสายไฟฟ้าชั่วคราว ซึ่งส่งผลกระทบต่อภาระอื่นได้ [35] วิธีการนี้ได้มีวิวัฒนาการเริ่มตั้งแต่การใช้วงจรแบบสตาร์-เดลต้า ผลของการเริ่มหมุนมอเตอร์แบบนี้ทำให้แรงบิดของมอเตอร์ลดลงเหลือ 1 ใน 3 ของแรงบิดที่พิกัดซึ่งหากมอเตอร์มีขนาดแรงม้าสูงๆก็ทำให้มอเตอร์ใช้กระแสสูงในการเริ่มหมุนด้วย ดังนั้นในภาคอุตสาหกรรมที่จำเป็นต้องใช้มอเตอร์ขนาดแรงม้าสูงในกระบวนการผลิตและอาจมีจำนวนหลายตัว หากมีการเริ่มต้นการทำงานพร้อมกันทำให้เกิดปัญหาเกี่ยวกับแรงดันตกในระบบซึ่งอาจส่งผลเสียหายต่ออุปกรณ์ไฟฟ้าอื่นที่ต่อใช้ระบบไฟฟ้าร่วมกัน [29], [30] นั่นทำให้จำเป็นต้องใช้อุปกรณ์อื่นมาต่อร่วมเพื่อลดผลกระทบจากการเริ่มต้นทำงานให้กับมอเตอร์เหนี่ยวนำ ซึ่งในอดีตที่ผ่านมา มีวิวัฒนาการในการควบคุมการเริ่มหมุนให้กับมอเตอร์เหนี่ยวนำหลายรูปแบบ ได้แก่ การใช้หม้อแปลงปรับแรงดัน (Auto Transformer) ที่การไฟฟ้าส่วนภูมิภาคมักใช้งานโดยการมาปรับขนาดแรงดันที่จ่ายให้กับมอเตอร์ซึ่งเป็นวิธีการดั้งเดิมซึ่งสามารถค่อยๆปรับขนาดแรงดันที่จ่ายให้กับมอเตอร์ได้แต่มีค่าใช้จ่ายที่ค่อนข้างสูงเพราะต้องใช้ขนาดหม้อแปลงที่สูงตามขนาดมอเตอร์ด้วย ในขณะที่ในปัจจุบันได้มีการนำอุปกรณ์อิเล็กทรอนิกส์กำลังมาใช้ในการควบคุมหรือที่เราเรียกว่าการควบคุมการเริ่มหมุนแบบนิ่มนวล (Soft Start Controlling) โดยใช้หลักการควบคุมเฟส (Phase Control) ส่วนมากใช้ไทรสเตอร์ต่อสลับหัวท้ายแล้วควบคุมมุมจุดชนวน ซึ่งหลักการนี้สามารถควบคุมแรงดันที่จ่ายให้กับมอเตอร์เหนี่ยวนำได้อีกวิธีการหนึ่งและเป็นที่ยอมรับในปัจจุบัน ถึงแม้ว่าวิธีเริ่มหมุนแบบนี้ทำให้รูปคลื่นแรงดันและกระแสผิดเพี้ยนไปจากรูปคลื่นไซน์ก็ตาม [25-28] ส่วนวิธีที่ 3 นั่นคือการใช้อินเวอร์เตอร์ในการปรับความถี่ให้กับมอเตอร์ซึ่งวิธีนี้สามารถควบคุมความเร็วรอบของมอเตอร์ได้อีกด้วย แต่วิธีการเอกสารนี้เป็นเอกสารที่สงวนไว้สำหรับการใช้งานเพื่อการศึกษาเท่านั้น ไม่อนุญาตให้นำไปใช้ประโยชน์ด้านการค้า ไม่ว่าจะกรณีใดๆทั้งสิ้น อีกทั้งห้ามมิให้ดัดแปลงเนื้อหา และต้องอ้างอิงถึงเจ้าของเอกสารทุกครั้งที่มีการนำไปใช้

นี้หากไม่ค่อยนิยมนำมาใช้ขับเคลื่อนภาระทั่วไปเพราะว่ามีค่าใช้จ่ายที่สูงกว่าแบบที่ใช้การไทรสเตอร์ในการควบคุมการเริ่มหมุน

ในงานวิจัยนี้ได้เน้นการศึกษาและนำเสนอการควบคุมการเริ่มหมุนแบบนิ่มนวลให้กับมอเตอร์เหนี่ยวนำหนึ่งเฟสแบบคาปาซิเตอร์สตาร์ท โดยการเปลี่ยนวงจรกำลังระบบเดิมที่ใช้การควบคุมเฟสมาใช้วงจรกำลังเอซี ซ็อบเปอร์ ซึ่งใช้หลักการปรับค่าดิโวลต์เรโซให้กับวงจรกำลังซึ่งทำหน้าที่ควบคุมแรงดันที่จ่ายให้กับมอเตอร์เหนี่ยวนำ เมื่อค้นคว้างานวิจัยต่างๆที่เกี่ยวข้องตั้งแต่อดีตจนถึงปัจจุบันพบว่าส่วนใหญ่ยังคงใช้วิธีการควบคุมเฟสให้กับไทรสเตอร์ที่ต่อแบบสลับหัวท้ายแล้วใช้การปรับขนาดมอดูเลชันเพื่อปรับขนาดแรงดันที่จ่ายให้กับมอเตอร์ซึ่งข้อเสียของหลักการนี้ทำให้รูปคลื่นกระแสผิดเพี้ยนไปจากรูปคลื่นไซน์ งานวิจัยนี้จึงได้นำเสนอการควบคุมการเริ่มหมุนแบบนิ่มนวลให้กับมอเตอร์เหนี่ยวนำหนึ่งเฟสแบบคาปาซิเตอร์สตาร์ทโดยใช้เทคนิคอะซิงโครนัส พีดับเบิ้ลยูเอ็มเอซี ซ็อบเปอร์ ที่มีข้อดีทำให้รูปคลื่นกระแสไม่ผิดเพี้ยนไปจากรูปคลื่นไซน์โดยได้มีการค้นคว้า และรวบรวมข้อมูลวิจัยต่างๆ ในอดีตดังนี้ [20]

Venkata V. Sastry, M. Rajendra Prasad และ T. V.Sivakumar [25] ได้นำเสนอการควบคุมให้มอเตอร์เริ่มหมุนแบบนิ่มนวลโดยการควบคุมแรงดันที่เหมาะสมเพื่อจ่ายให้กับมอเตอร์โดยใช้การควบคุมแรงดันที่ตกคร่อมไทรสเตอร์ พบว่าใช้วิธีการตรวจจับสัญญาณกระแสแล้วทำการกรองเป็นสัญญาณไฟฟ้ากระแสตรงเพื่อนำไปเปรียบเทียบกับสัญญาณฟันเลื่อยทำให้ได้สัญญาณที่ใช้ขับไทรสเตอร์ผลที่ได้คือกราฟความเร็วรอบของมอเตอร์มีการกระเพื่อมในช่วงเริ่มต้น ทั้งนี้เนื่องมาจากผลของแรงดันและกระแสผิดเพี้ยนไปจากรูปคลื่นไซน์

G. Zenginobuz, I. Cadirci, M. Emis และ C. Bartak [26] ได้ศึกษาการปรับขนาดแรงดันที่จ่ายให้กับมอเตอร์ที่จ่ายให้กับมอเตอร์เหนี่ยวนำสามเฟส โดยการควบคุมมอดูเลชันที่เหมาะสมให้กับมอเตอร์พบว่าวิธีการที่นำเสนอสามารถควบคุมให้มอเตอร์เริ่มหมุนแบบนิ่มนวลได้ นอกจากนี้ผู้วิจัยยังนำเสนอการนำสัญญาณกระแสมาป้อนกลับในระบบเพื่อควบคุมขนาดแอมพลิจูดของกระแสให้คงที่อย่างไรก็ตามถึงสามารถควบคุมแอมพลิจูดของรูปคลื่นกระแสไว้ได้ แต่รูปคลื่นกระแสในช่วงที่แรงดันยังไม่เข้าสู่สภาวะคงตัวยังคงมีการผิดเพี้ยนอยู่

Bilal Saracoglu, Murat Kale และ Engin Ozdemir [27] ได้นำเสนอการปรับขนาดแรงดันที่จ่ายให้กับมอเตอร์เหนี่ยวนำสามเฟส โดยใช้วงจรเอซี ซ็อบเปอร์ โดยใช้สวิตซ์ทั้งหมด 8 ตัว ต่อเป็นวงจรกำลังซึ่งจำเป็นต้องมีการตรวจจับค่าศูนย์ (Zero Crossing) ของแหล่งจ่ายไฟฟ้าทั้งสามเฟสผลที่ได้จากงานวิจัยนี้คือ รูปคลื่นแรงดันมีความผิดเพี้ยนเนื่องจากแรงดันที่จ่ายไปให้มอเตอร์มีการช็อบตามความถี่สวิตซ์ซึ่ง นั่นคือรูปคลื่นแรงดันมีองค์ประกอบฮาร์มอนิกอันดับสูงแต่รูปคลื่นกระแสเข้าใกล้รูปคลื่นไซน์ส่วนผลสรุปจากงานวิจัยที่พบ คือการปรับขนาดแรงดันที่จ่ายให้กับมอเตอร์โดยใช้วงจรเอซี ซ็อบเปอร์ช่วยให้มอเตอร์มีประสิทธิภาพสูงขึ้น กล่าวคือการปรับขนาดแรงดันลงส่งผลให้ค่ามอดูเลชันกำลังดีขึ้นกำลังไฟฟ้าด้านอินพุตลดลงและทำให้ประสิทธิภาพของตัวมอเตอร์ดีขึ้น

เอกสารนี้เป็นเอกสารที่สงวนไว้สำหรับการใช้งานเพื่อการศึกษาเท่านั้น ไม่นิยมนำไปใช้ประโยชน์ด้านการค้า

ไม่ว่ากรณีใดๆทั้งสิ้น อีกทั้งห้ามมิให้ตัดแปลงเนื้อหา และต้องอ้างอิงถึงเจ้าของเอกสารทุกครั้งที่มีการนำไปใช้

Hamdy A. Ashour และ Rania A. Ibrahim [28] ได้ทำการเปรียบเทียบการปรับขนาดแรงดันที่จ่ายให้กับมอเตอร์โดยใช้วงจรควบคุมเฟสพบว่าทั้งรูปคลื่นแรงดันและกระแสมีความผิดเพี้ยนโดยเมื่อนำมาพล็อตสเปกตรัมสิ่งที่ยืนยันได้ชัดเจนก็คือรูปคลื่นทั้งสองมีองค์ประกอบฮาร์มอนิกอันดับต่ำซึ่งส่งผลต่อแรงบิดของมอเตอร์

G. Bhuvaneswari, Chares S และ Manjula G. Nair [29] ได้นำเสนอการนำแอกทิฟฟิลเตอร์มาใช้ในการแก้ปัญหารูปคลื่นกระแสของเครื่องควบคุมการเริ่มหมุนแบบนิ่มนวล (Soft-Starter) เนื่องจากวิธีการเริ่มหมุนที่ใช้การควบคุมเฟสทำให้กระแสผิดเพี้ยนไปจากรูปคลื่นไซน์ โดยงานวิจัยนี้สามารถแก้ไขรูปคลื่นกระแสทั้งสามเฟสให้เข้าใกล้รูปคลื่นไซน์ได้แต่วิธีการนี้มีค่าใช้จ่ายค่อนข้างสูงจึงไม่เหมาะสมที่นำมาใช้แก้ปัญหา

Deniz Yildirim และ Murat Bilgic [30] ได้ใช้วงจรเอซี ซ็อบเปอร์ระบบหนึ่งเฟสมาใช้เป็นวงจรกำลังโดยใช้สวิตช์ 4 ตัวและมีรูปแบบในการสร้างสัญญาณเหมือนกับกรณีสามเฟส โดยในการวิจัยนี้ทำการปรับขนาดแรงดันที่จ่ายให้กับมอเตอร์พัลสมชนิดหนึ่งเฟสพบว่ามีการใช้ความถี่สวิตช์ที่สูงและได้มีการออกแบบวงจรกรองสัญญาณแรงดันก่อนเข้าวงจรกำลังของวงจรเอซี ซ็อบเปอร์ ทั้งนี้เพื่อลดผลกระทบที่เกิดจากความถี่สวิตช์ซึ่งนั่นเอง ผลที่ได้ก็อย่างหนึ่งก็คือเมื่อนำผลกราฟแรงบิด-ความเร็วรอบมาวิเคราะห์ผลพบว่าที่นำเสนอได้คุณลักษณะแรงบิด-ความเร็วรอบต่ำกว่ากรณีจ่ายแรงดันไซน์

Jose Thankachan และ Saly George [31] ได้นำเสนอการนำวงจรเอซี ซ็อบเปอร์ที่ใช้สวิตช์ 8 ตัว ซึ่งมีวงจรกำลังเหมือนกับ Bilal Saracoglu, Murat Kale และ Engin Ozdemir [24] และนั่นต้องมีการใช้วงจรตรวจจับแรงดันศูนย์เช่นเดียวกันจึงสามารถสร้างรูปแบบการควบคุมสวิตช์ทั้ง 8 ตัวได้ นั่นทำให้มีความซับซ้อนและยุ่งยากในการควบคุมแรงดันที่จ่ายให้กับมอเตอร์เหนี่ยวนำสามเฟส โดยในงานวิจัยทำการจำลองปรับความถี่สวิตช์ซึ่งและปรับค่าดีวตี้ไซเคิลหรือค่าดีวตี้เรโซ (Duty Cycle หรือ Duty Ratio: D) เพื่อศึกษาค่ามุมประกอบกำลังของมอเตอร์

A.N. Arvindan [32] ได้นำเสนอการนำวงจรสวิตช์แบบสองทิศทางมาต่อเป็นวงจรกำลังเพื่อควบคุมภาระโหลดแบบ RL อนุกรมต่อสามเฟสแบบสตาร์โดยทำการวิเคราะห์ค่าเปอร์เซ็นต์ความผิดเพี้ยนของรูปคลื่นแรงดันและกระแสทั้งของแหล่งจ่ายและของภาระ ผลที่ได้คือวงจรที่นำเสนอสามารถควบคุมขนาดแรงดันที่จ่ายให้ภาระและยังสามารถควบคุมการไหลของพลังงานจากแหล่งจ่ายไปยังภาระโดยใช้สวิตช์แบบสองทิศทาง

A. E. Fitzgerald, C. Kingsely, และ S. D. [33]; N. A. Ahmed, k. Amei, และ M. Sakui, [34] และ S. E. Oliveira [35] ได้กล่าวถึงการดัดแปลงมอเตอร์เหนี่ยวนำสามเฟสให้รันได้เสมือนกับมอเตอร์เหนี่ยวนำหนึ่งเฟส โดยการนำคาปาซิเตอร์ต่อคร่อมขอลวดหนึ่งขด โดยการดัดแปลงในลักษณะนี้ทำให้แรงดัน และกระแสทั้งสามเฟสที่สเตเตอร์มีความสมดุลของขนาดมมมากที่สุด โดยการ

เอกสารนี้เป็นเอกสารที่สงวนไว้สำหรับการใช้งานเพื่อการศึกษาเท่านั้น ไม่อนุญาตให้นำไปใช้ประโยชน์ด้านการค้า ไม่ว่าจะกรณีใดๆทั้งสิ้น อีกทั้งห้ามมิให้ดัดแปลงเนื้อหา และต้องอ้างอิงถึงเจ้าของเอกสารทุกครั้งที่มีการนำไปใช้

หาค่าคาปาซิเตอร์ที่เหมาะสมที่ทำให้เกิดประสิทธิภาพในการทำงานให้เกิดความสมดุลสูงสุด เพื่อทำการตัดแปลงมอเตอร์เหนี่ยวนำสามเฟสมีสมรรถนะเหมือนมอเตอร์เหนี่ยวนำหนึ่งเฟส

M. J. Melfi และ S. D. Umans [36]; J. Larabee, B. Pellegrino, และ B. Fick [37] ได้กล่าวถึงปัญหาที่เกิดจากกระแสในขณะสตาร์ทที่สูงเมื่อทำการต่อแบบต่อตรง ยังมีวิธีการในการลดกระแสขณะสตาร์ทหลากหลาย เช่น การสตาร์ทสตาร์ท-รันเดลต้า การใช้หม้อแปลงอัตโนมัติในแต่ละวิธีการจะมีศักยภาพในการลดกระแสขณะสตาร์ทที่แตกต่างกันออกไป

V. Thanyaphirak, V. Kinnares, และ A. Kunakorn [38]; V. Thanyaphirak, V. Kinnares, และ A. Kunakorn [39] ได้กล่าวถึงการใช้พีดับิวเอ็ม เอช ซี ซีอ็อปเปอร์มาทำให้เกิดการสตาร์ทแบบนิ่มนวล คุณลักษณะเมื่อทำการเปรียบเทียบกับ การควบคุมเฟสโดยการควบคุมมุมจุดฉนวน ซึ่งพบว่า การควบคุมพีดับิวเอ็ม เอช ซี ซีอ็อปเปอร์ในการควบคุมแรงดันไฟฟ้าจะมีความเป็นเชิงเส้นมากกว่า ในขณะที่ทำการสตาร์ท ผลก็คือจะมีแรงบิดเริ่มหมุนที่ราบเรียบกว่าลูกคลื่นกระแสขณะสตาร์ทจะมีความใกล้เคียงลูกคลื่นไซน์มากกว่าการควบคุมมุมจุดฉนวน

Said A. Deraz, และ Haitham Z. Azazi [40] ได้กล่าวถึงวิธีการสตาร์ทแบบนิ่มนวล โดยใช้ ไทริสเตอร์ควบคุมมุมจุดฉนวนซึ่งสามารถที่จะควบคุมกระแสและแรงบิดในขณะสตาร์ท อย่างไรก็ตามในรูปแบบการสตาร์ทโดยวิธีนี้ก็ยังมีข้อเสียก็คือจะทำให้เกิดฮาร์มอนิกทั้งกระแสและแรงดัน ซึ่งจะส่งผลต่อค่าความสูญเสียที่เพิ่มมากขึ้นไม่ว่าจะเป็นสูญเสียในตัวนำ ความสูญเสียในแกนเหล็ก ฮาร์มอนิกของกระแสจะเป็นผลให้ค่าเพาเวอร์แฟคเตอร์ต่ำลงและค่า Displacement Power เปลี่ยนแปลงตามมุมจุดฉนวน

## 1.2 ความมุ่งหมายและวัตถุประสงค์ของการศึกษางานวิจัย

ต้องการศึกษาและทำการทดสอบมอเตอร์เหนี่ยวนำหนึ่งเฟสแบบคาปาซิเตอร์สตาร์ทเพิ่มสมรรถนะในขณะเริ่มหมุนอย่างนิ่มนวลด้วยการควบคุมกระแสเริ่มต้น โดยการป้อนพีดับิวเอ็ม เอช ซี ซีอ็อปเปอร์ เพื่อทำการเริ่มหมุนอย่างแบบนิ่มนวล จากการศึกษาวิจัยที่เกี่ยวข้องดังที่ได้กล่าวมาในเบื้องต้นแล้วนั้นอาจจะสามารถกล่าวสรุปได้ว่าการควบคุมมอเตอร์เหนี่ยวนำหนึ่งเฟสให้การเริ่มหมุนแบบนิ่มนวลนั้นยังคงมีการใช้หลักการเดิม นั่นคือ การควบคุมขนาดแรงดันที่จ่ายให้กับมอเตอร์ โดยการนำไทริสเตอร์จำนวน 2 ตัว นำมาต่อแบบสลับขั้วดังรูปที่ 1.1 แล้วสร้างวงจรขับไทริสเตอร์หนึ่งเฟสมาควบคุมขนาดแรงดันตั้งแต่เริ่มต้นหมุนจนถึงเข้าสู่สภาวะคงตัวซึ่งนั่นคือการปรับมุมจุดฉนวนให้กับไทริสเตอร์ ปัญหาที่เกิดขึ้นของวิธีการนี้คือรูปคลื่นแรงดันและกระแสมีความผิดเพี้ยนหรือมีองค์ประกอบฮาร์มอนิกอันดับต่ำรวมอยู่ด้วย [25-26], [28-29] นั้นส่งผลทำให้แรงบิดแม่เหล็กมีการกระเพื่อมและนอกจากนี้การสร้างวงจรขับไทริสเตอร์ยังมีความยุ่งยากจำเป็นต้องใช้วงจรตรวจจับแรงดันศูนย์อีกทั้งขนาดแรงดันที่ปรับได้โดยการปรับมุมจุดฉนวนตามเวลานั้นขนาดแรงดันไม่เป็นเชิงเส้น โดยการแก้ปัญหาความผิดเพี้ยนของรูปคลื่นกระแสจากการใช้งานเครื่องควบคุมการเริ่มหมุนแบบเอกสารนี้เป็นเอกสารที่สงวนไว้สำหรับการใช้งานเพื่อการศึกษาเท่านั้น ไม่อนุญาตให้นำไปใช้ประโยชน์ด้านการค้า ไม่ว่าจะกรณีใดๆทั้งสิ้น อีกทั้งห้ามมิให้ตัดแปลงเนื้อหา และต้องอ้างอิงถึงเจ้าของเอกสารทุกครั้งที่มีการนำไปใช้

นิมน์วลาจต้องใช่วงจรแอกตีฟ ฟิลเตอร์ [29] มาช่วยแก้ปัญหาลักษณะที่เกิดขึ้นเป็นการเพิ่มค่าใช้จ่ายมากขึ้น และในขณะที่เป็นวงจรถือช้อปเปอร์ สามารถแก้ไขฮาร์โมนิกอันดับต่ำของกระแสได้ แต่จำเป็นต้องใช้สวิตช์หลายตัวทำให้มีความยุ่งยากเมื่อนำมาควบคุมขนาดแรงดันให้กับมอเตอร์ [30-32] งานวิจัยนี้จึงสนใจการออกแบบและการสร้างวงจรถือช้อปเปอร์แบบหนึ่งเฟสหนึ่งเพื่อนำมาใช้ในการควบคุมมอเตอร์ให้เริ่มหมุนแบบนิมน์วลาจเพื่อลดปัญหาความผิดเพี้ยนของกระแส อีกทั้งยังวางจรักำลังที่สร้างขึ้นเน้นไปที่การควบคุมแบบง่ายเพื่อให้สามารถพัฒนาไปสู่ภาคเกษตรกรรมและภาคอุตสาหกรรมได้ วงจรถือช้อปเปอร์แบบสองทิศทางจำนวน 1 ตัวถูกนำมาใช้เป็นวงจรักำลังทำหน้าที่ควบคุมการไหลของพลังงานไฟฟ้าจากแหล่งจ่ายไปหามอเตอร์เหนี่ยวนำหนึ่งเฟสและใช่วงจรถือช้อปเปอร์แบบสองทางอีกจำนวน 1 ตัว เพื่อทำหน้าที่เป็นฟิวลิ่งให้กับมอเตอร์ทั้งนี้เพื่อให้แรงดันที่ตกคร่อมมอเตอร์ลดลงเป็นศูนย์ โดยรูปแบบการสร้างสัญญาณควบคุมนั้นใช้เพียงสัญญาณเดียวแต่สามารถควบคุมการสวิตช์ของสวิตช์สองทิศทางทั้งหนึ่งเฟสได้ นั่นก็อาจจะหมายถึงวิธีการที่ใช้ในการกำเนิดสัญญาณควบคุมสามารถสร้างได้ง่ายซึ่งเราจะเรียกรูปแบบนี้ว่าการควบคุมการเริ่มหมุนแบบนิมน์วลาจให้กับมอเตอร์เหนี่ยวนำหนึ่งเฟสโดยใช่วงจรถือช้อปเปอร์ นั่นเอง

### 1.3 สมมุติฐานของการศึกษางานวิจัย

มอเตอร์เหนี่ยวนำหนึ่งเฟสแบบคาปาซิเตอร์สตาร์ทเมื่อยังไม่เริ่มหมุนจะมีค่าอิมพีแดนซ์ค่อนข้างต่ำถ้าแรงดันที่จ่ายให้มอเตอร์มีขนาดเท่ากับแรงดันที่พิกัดนั้นทำให้มอเตอร์กินกระแสสูงมอเตอร์จึงออกตัวอย่างรวดเร็วจนมีลักษณะเป็นการกระชากเนื่องจากโรเตอร์มีอัตราเร่งค่อนข้างสูงดังนั้นตามหลักการในการควบคุมมอเตอร์ให้เริ่มหมุนแบบนิมน์วลาจก็คือ การควบคุมขนาดแรงดันเริ่มต้นให้มีค่ามากพอที่จะทำให้มอเตอร์สามารถหมุนออกตัวไปได้และกระแสในช่วงเริ่มหมุนไม่พุ่งขึ้นสูงเหมือนกรณีที่จ่ายแรงดันที่พิกัด เมื่อมอเตอร์เริ่มหมุนและแรงดันที่จ่ายให้มอเตอร์ก็จะค่อยๆเพิ่มขึ้นส่งผลทำให้กระแสมอเตอร์เริ่มค่อยๆเพิ่มขึ้นตามไปด้วย และหลังจากนั้นเมื่อแรงดันที่จ่ายให้มอเตอร์เพิ่มขึ้นจนถึงแรงดันที่พิกัดทำให้กระแสมอเตอร์เพิ่มขึ้นจนถึงค่าสูงสุดและความเร็วรอบมอเตอร์เข้าใกล้ความเร็วซิงโครนัสหลังจากนั้นเมื่อแรงดันมอเตอร์เพิ่มขึ้นถึงแรงดันพิกัดทำให้กระแสมอเตอร์ลดลงอย่างรวดเร็ว ซึ่งหลักการดังที่ได้กล่าวมาแล้วได้มีผู้วิจัยหลายท่านนำหลักเทคนิคการควบคุมเฟสมาใช้ในการควบคุมการเริ่มหมุนให้กับมอเตอร์เหนี่ยวนำ แต่หลักการควบคุมเฟสนี้จะมีข้อเสียคือในช่วงที่มอเตอร์เริ่มหมุนจนถึงความเร็วซิงโครนัสทำให้มีรูปคลื่นแรงดันและกระแสที่จ่ายให้กับมอเตอร์ผิดเพี้ยนไปจากรูปคลื่นไซน์ซึ่งส่งผลต่อแรงบิดแม่เหล็กของมอเตอร์ ดังนั้นหากต้องการให้รูปคลื่นแรงดันและกระแสเป็นรูปคลื่นไซน์จำเป็นต้องเปลี่ยนวงจรักำลังนั้นคือการใช่วงจรถือช้อปเปอร์ซึ่งเป็นวงจรัที่ใช้การสับรูปคลื่นแรงดันของแหล่งจ่ายโดยใช้ความถี่สูงสวิตช์ซึ่ง โดยขนาดแรงดันสามารถปรับค่าได้แบบเชิงเส้น หลักการนี้ทำให้รูปคลื่นกระแสเข้าใกล้รูปคลื่นไซน์ในขณะที่รูปคลื่นแรงดันมีองค์ประกอบอันดับสูงเกิดขึ้นตามความถี่สวิตช์ซึ่งนั้นทำให้ไม่มีการสูญเสียจากฮาร์โมนิกเอกสารนี้เป็นเอกสารที่สงวนไว้สำหรับการใช้งานเพื่อการศึกษาเท่านั้น ไม่อนุญาตให้นำไปใช้ประโยชน์ด้านการค้าไม่ว่ากรณีใดๆทั้งสิ้น อีกทั้งห้ามมิให้ดัดแปลงเนื้อหา และต้องอ้างอิงถึงเจ้าของเอกสารทุกครั้งที่มีการนำไปใช้

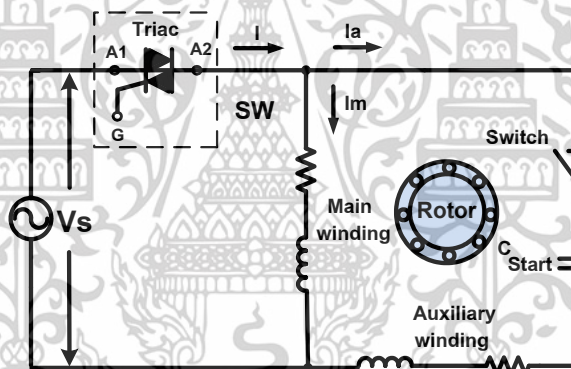
ผลดีต่อมาก็คือทำให้แรงบิดมีการกระเพื่อมลดลงเมื่อเปรียบเทียบกับหลักการใช้เทคนิคการควบคุมเฟสในวิทยานิพนธ์นี้ได้ทำการออกแบบการควบคุมวงจรถูกกำลังที่ไม่ซับซ้อนเมื่อเปรียบเทียบกับวงจรถือ ซีออปเปอร์แบบดั้งเดิมนั่นเอง [25-28]

#### 1.4 ทฤษฎีหรือแนวความคิดที่ใช้ในการทำงานวิจัย

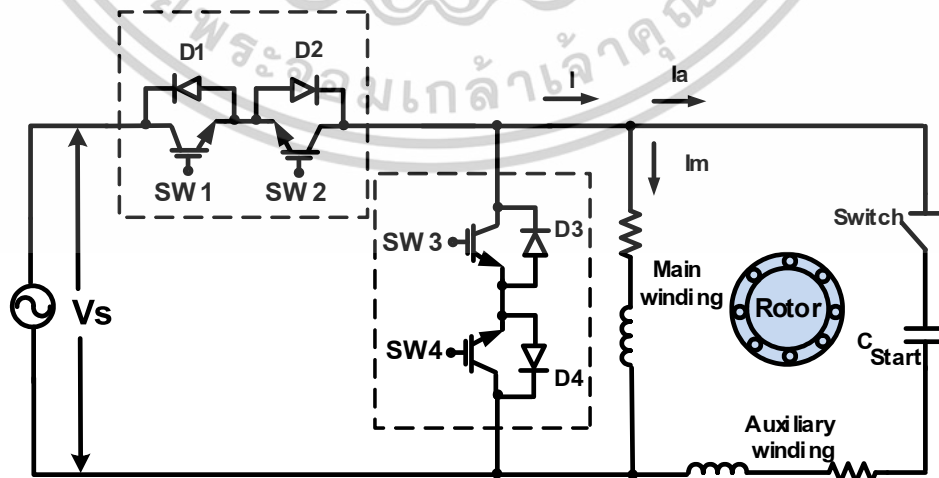
จากที่ได้กล่าวมาข้างต้นด้วยแล้วพบว่าเรื่องการควบคุมเริ่มหมุนแบบนิ่มนวลให้กับมอเตอร์เหนี่ยวนำหนึ่งเฟสแบบคาปาซิเตอร์สตาร์ทที่มีขายอยู่ในท้องตลาดทุกวันนี้ส่วนใหญ่จะใช้หลักการควบคุมเฟสของแรงดัน โดยใช้พื้นฐานจากวงจรควบคุมการปรับขนาดแรงดัน (AC Voltage Controllers) [33-34] ซึ่งวงจรถูกกำลังของวงจรถูกกำลังกล่าวแสดงดังรูปที่ 1.1 โดยวงจรถูกกำลังแบบนี้ได้ใช้ SCR ซึ่งมีการพัฒนาการมาอย่างต่อเนื่อง ในขณะที่วงจรถือ ซีออปเปอร์แบบดั้งเดิมที่ใช้ควบคุมแรงดันไฟฟ้าหนึ่งเฟส นั้นในงานวิจัยที่ผ่านมาใช้สวิตช์จำนวน 4 ตัว ในการควบคุมวงจรถูกกำลัง [27], [31-32] แสดงดังรูปที่ 1.2 จะเป็นรูปแบบที่ Synchronous PWM AC Chopper จะมีความซับซ้อนในการสร้างที่มากกว่า โดยยังต้องใช้วงจรถือ Zero Crossing ที่พัฒนาระบบการควบคุมแบบดั้งเดิมโดยมีวัตถุประสงค์ทำให้คลื่นกระแสเข้าใกล้รูปคลื่นไซน์ เนื่องจากจำนวนสวิตช์ที่มากขึ้นนั้นทำให้การสร้างรูปแบบในการสวิตช์มีความซับซ้อนมากขึ้นทำให้ยังไม่เป็นที่นิยมนำมาใช้ในภาคอุตสาหกรรมมากนัก ดังนั้นในรูปแบบการสร้างวงจรถูกกำลังให้กับวงจรถูกกำลังของระบบเดิมดังรูปที่ 1.1 การควบคุมเฟสและการควบคุม Synchronous PWM AC Chopper นั้นต้องมีการใช้วงจรถือการตรวจจับแรงดันศูนย์ของแรงดันทั้งหนึ่งเฟสเพื่อนำไปสร้างสัญญาณควบคุมทำให้มีความซับซ้อนในการสร้างสัญญาณควบคุมซึ่งหากวงจรถือตรวจจับแรงดันศูนย์ผิดปกติแล้วจะส่งให้การสร้างสัญญาณไปขับวงจรถูกกำลังมีปัญหาด้วยซึ่งส่งผลเสียหายต่อมอเตอร์เหนี่ยวนำนั่นเอง และในขณะที่วงจรถือ ซีออปเปอร์ Asynchronous PWM AC Chopper ที่นำเสนอใช้สวิตช์จำนวน 2 ตัว ดังแสดงในรูปที่ 1.3 โดยในการวิจัยนี้ใช้วงจรถือสวิตช์สองทิศทางมาต่อเป็นวงจรถูกกำลังเพื่อควบคุมมอเตอร์เหนี่ยวนำหนึ่งเฟสโดย SW1 ทำหน้าที่ควบคุมการไหลของกระแสไฟฟ้าซึ่งสามารถควบคุมได้ทั้งไซเคิลบวกและไซเคิลลบ ไดโอดที่ต่อรวมอยู่กับสวิตช์นั้นทำหน้าที่ปิดกั้นการไหลของกระแสไฟฟ้าทั้งสองไซเคิล ทั้งนี้เนื่องจากคุณสมบัติของไดโอดที่ยินยอมให้กระแสไฟฟ้าไหลผ่านได้ก็ต่อเมื่อได้รับไบอัสตรง ดังนั้นถึงแม้ว่าสวิตช์ถูกทำให้อยู่ในสถานะ ON แต่ไดโอดยังทำหน้าที่เป็นตัวปิดกั้นทางเดินของกระแส ในขณะที่ SW2 ทำหน้าที่เสมือนเป็นฟรีวิลลิงไดโอดให้มอเตอร์ กล่าวคือทำหน้าที่ให้แรงดันที่ตกคร่อมมอเตอร์ในแต่ละสถานะลดลงเป็นศูนย์นั่นเอง ทั้งนี้เนื่องจากคุณสมบัติของมอเตอร์เหนี่ยวนำหนึ่งเฟสซึ่งก็คือคุณสมบัติของวงจร RL อนุกรมกระแสที่ไหลผ่านตัวมันยังคงไหลในทิศทางเดิม ดังนั้น SW2 จึงถูกควบคุมให้อยู่ในสถานะ ON โดยสัญญาณที่สร้างขึ้นมานั้นใช้เพียงสัญญาณเดียวหรือสัญญาณที่ควบคุมการสวิตช์ของ SW1 ถูกควบคุมโดยสัญญาณเดียวกัน ในขณะที่สัญญาณที่ควบคุม SW2 เป็นสัญญาณที่ตรงกันข้ามกับสัญญาณที่ควบคุม SW1 นอกจากนี้สัญญาณควบคุมทั้งหมดไม่จำเป็นต้องอิงโครโนซ์กับสัญญาณเอกสารนี้เป็นเอกสารที่สงวนไว้สำหรับการใช้งานเพื่อการศึกษาเท่านั้น ไม่อนุญาตให้นำไปใช้ประโยชน์ด้านการค้าไม่ว่ากรณีใดๆทั้งสิ้น อีกทั้งห้ามมิให้ดัดแปลงเนื้อหา และต้องอ้างอิงถึงเจ้าของเอกสารทุกครั้งที่มีการนำไปใช้

แรงดันแหล่งจ่ายทั้งหนึ่งเฟสหรือเรียกว่าวิธีการแบบ Asynchronous PWM AC Chopper ดังนั้นการ  
สร้างสัญญาณด้วยวิธีการที่นำเสนอสามารถสร้างได้ง่ายกว่าวิธีการแบบดั้งเดิมทั้งการควบคุมเฟสและ  
การควบคุม Synchronous PWM AC Chopper นั่นเอง

ในวิทยานิพนธ์เล่มนี้จะนำเสนอการควบคุมการเริ่มหมุนแบบนิ่มนวลให้กับมอเตอร์เหนี่ยวนำ  
หนึ่งเฟสด้วยการควบคุมกระแสเริ่มต้น โดยใช้เทคนิคอะซิงโครนัส พัดเบิ้ลยูเอ็ม เอช ซี ซ็อบเปอร์ ตาม  
รูปที่ 1.3 ที่เปรียบเทียบกับวิธีการแบบดั้งเดิมตามรูปที่ 1.1 และรูปที่ 1.2 โดยวิธีการที่นำเสนอจะมี  
องค์ประกอบด้วยวงจรกรองสัญญาณทางด้านขาเข้าวงจรพัดเบิ้ลยูเอ็ม เอช ซี ซ็อบเปอร์ และบอร์ด  
ไมโครคอนโทรลเลอร์ C2000 Microcontroller เบอร์ TMS320F28379D ที่สร้างสัญญาณ  
พัดเบิ้ลยูเอ็ม เอช ซี ซ็อบเปอร์ ประกอบด้วย IGBT 2 ตัวเป็นสวิตช์ เพื่อสร้างสัญญาณแรงดันซ็อบเปอร์  
ที่ป้อนเข้าขดลวดของมอเตอร์ได้สัญญาณขับเกา IGBT จะสร้างจากไมโครคอนโทรลเลอร์ C2000  
Microcontroller เบอร์ TMS320F28379D และจะทำให้เกาติดกับจุดผ่านศูนย์กลางของแรงดันขาเข้า  
ของวงจรกำลัง ในช่วงเวลาเริ่มหมุนสามารถเพิ่มแรงดันที่ป้อนเข้ามอเตอร์แบบเชิงเส้นเพื่อให้เกิดการ  
เริ่มหมุนแบบนิ่มนวล



รูปที่ 1.1 วงจรกำลังพื้นฐานของวงจรควบคุมมอเตอร์เหนี่ยวนำหนึ่งเฟสแบบคาปาซิเตอร์  
สตาร์ทด้วยไตรแอกที่เป็นสวิตช์แบบดั้งเดิม

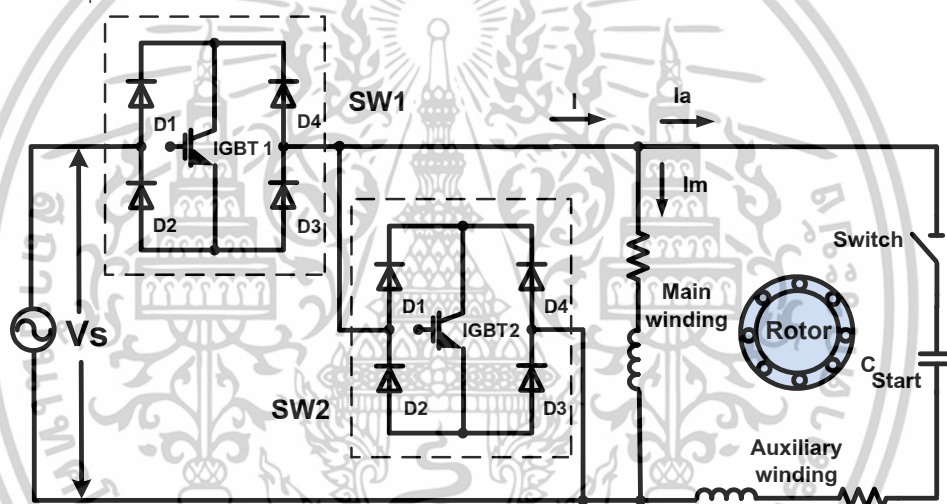


รูปที่ 1.2 วงจรกำลังพื้นฐานของวงจรควบคุมมอเตอร์เหนี่ยวนำหนึ่งเฟสแบบคาปาซิเตอร์

สตาร์ทด้วยเอช ซี ซ็อบเปอร์เป็นสวิตช์แบบดั้งเดิม

เอกสารนี้เป็นเอกสารที่สงวนไว้สำหรับการใช้งานเพื่อการศึกษาเท่านั้น ไม่นำไปใช้ประโยชน์ด้านการค้า  
ไม่ว่ากรณีใดๆทั้งสิ้น อีกทั้งห้ามมิให้ดัดแปลงเนื้อหา และต้องอ้างอิงถึงเจ้าของเอกสารทุกครั้งที่มีการนำไปใช้

จากรูปที่ 1.1 และรูปที่ 1.2 รูปด้านบนเป็นการควบคุมมอเตอร์เหนี่ยวนำหนึ่งเฟสแบบคาปาซิเตอร์สตาร์ทด้วยไทรแอกที่เป็นสวิตช์แบบดั้งเดิมจะเป็นการควบคุมแรงดันที่จ่ายให้กับมอเตอร์โดยใช้เทคนิคการควบคุมเฟส และวงจรควบคุมมอเตอร์เหนี่ยวนำหนึ่งเฟสแบบคาปาซิเตอร์สตาร์ทด้วยเอซีซีอ็อปเปอร์เป็นสวิตช์แบบดั้งเดิม วิธีการนี้จะส่งผลต่อรูปคลื่นแรงดันและกระแสทำให้เกิดค่าฮาร์มอนิกอันดับต่ำปะปนมาเกิดการสูญเสียในมอเตอร์และอุปกรณ์ไฟฟ้าข้างเคียงที่ต่อใช้งานร่วมกัน ดังนั้นในบทความนี้จึงนำเสนอวิธีการควบคุมมอเตอร์เหนี่ยวนำหนึ่งเฟสแบบคาปาซิเตอร์สตาร์ทด้วยไอจีบีทีเป็นสวิตช์สองทางแบบใหม่ที่น่าสนใจ จากรูปที่ 1.3 รูปด้านล่างเป็นการควบคุมแรงดันที่จ่ายให้กับมอเตอร์โดยใช้เทคนิคการควบคุมพัลส์วิดมอดูเลตชั่น เอซี ซีอ็อปเปอร์ วิธีการนี้จะช่วยลดผลกระทบของรูปคลื่นแรงดันและกระแสที่มีค่าฮาร์มอนิกอันดับต่ำปะปน ช่วยลดการสูญเสียในมอเตอร์และผลกระทบต่ออุปกรณ์ไฟฟ้าข้างเคียงที่ใช้งานร่วมกัน



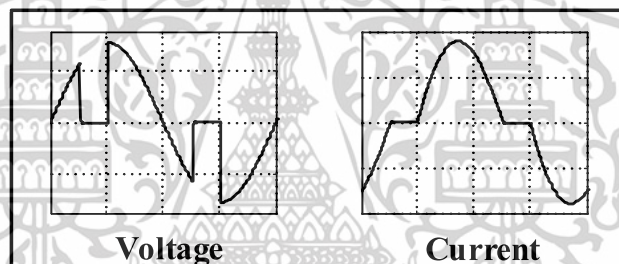
รูปที่ 1.3 วงจรกำลังพื้นฐานของวงจรควบคุมมอเตอร์เหนี่ยวนำหนึ่งเฟสแบบคาปาซิเตอร์สตาร์ทด้วยเอซี ซีอ็อปเปอร์ ที่มีไอจีบีทีเป็นสวิตช์แบบใหม่ที่น่าสนใจ

สำหรับบทความนี้ได้นำเสนอเทคนิคการควบคุมพัลส์วิดมอดูเลตชั่น เอซี ซีอ็อปเปอร์ แบบใหม่ที่น่าสนใจด้วยบอร์ดไมโครคอนโทรลเลอร์ C2000 Microcontroller เบอร์ TMS320F28379D สำหรับการเริ่มหมุนแบบนิ่มนวลในการประหยัดพลังงานในมอเตอร์เหนี่ยวนำหนึ่งเฟสชนิดตัวเก็บประจุช่วยหรือแบบคาปาซิเตอร์สตาร์ทในการเริ่มหมุนที่ 50 ไมโครฟารัด ยี่ห้อ Mitsubishi รุ่น SC-KR ขนาด 1/2 แรงม้า หรือ 0.4 กิโลวัตต์ 230 โวลต์ 50 เฮิรตซ์ 4.3 แอมป์ 4 ขั้ว และความเร็วรอบที่พิกัดที่ 1,430 รอบต่อนาที ในวงจรกำลังของพัลส์วิดมอดูเลตชั่น เอซี ซีอ็อปเปอร์การทำงานร่วมกันระหว่างไอจีบีทีและไดโอดเป็นสวิตช์สองทาง ในบทความได้นำเสนอการออกแบบสร้างวงจรควบคุมได้มีการตรวจสอบการทำงานทั้งทางทฤษฎีการจำลองและการทดสอบ พบว่าการควบคุมการเริ่มหมุนแบบนิ่มนวล PWM AC Chopper Soft Starter : PWMSS ที่นำเสนอจะช่วยลดกระแสเริ่มต้นได้มากกว่าเอกสารนี้เป็นเอกสารที่สงวนไว้สำหรับการใช้งานเพื่อการศึกษาเท่านั้น ไม่นิยามให้นำไปใช้ประโยชน์ด้านการค้าไม่ว่ากรณีใดๆทั้งสิ้น อีกทั้งห้ามมิให้ดัดแปลงเนื้อหา และต้องอ้างอิงถึงเจ้าของเอกสารทุกครั้งที่มีการนำไปใช้

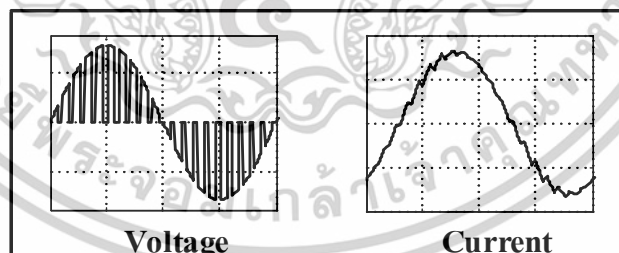
วิธีการเริ่มหมุนแบบจ่ายไฟฟ้ากระแสลับให้กับมอเตอร์โดยตรง Direct On Line Control : DOC และการควบคุมเริ่มหมุนแบบ Phase Control หรือ Phase Control Soft Starter : PCSS แบบดั้งเดิม

### 1.5 การเปรียบเทียบกับหลักการที่มีอยู่เดิมในงานวิจัย

จากรูปที่ 1.4 รูปด้านล่างเป็นรูปคลื่นแรงดันและกระแสโดยใช้วิธีการควบคุมแบบ Phase Control หรือ Phase Control Soft Starter : PCSS แบบดั้งเดิมจะเห็นได้ว่ารูปคลื่นแรงดันและกระแสมีความผิดเพี้ยนไปจากรูปคลื่นไซน์ทำให้เกิดฮาร์มอนิกอันดับต่ำ และรูปที่ 1.5 รูปด้านล่างเป็นรูปคลื่นแรงดันและกระแสโดยใช้วิธีการควบคุมด้วยพัลส์วิตมอเลตชัน เอชซี ซ็อบเปอร์ PWM AC Chopper หรือ PWM AC Chopper Soft Starter : PWMSS แบบใหม่ที่น่าเสนอจะเห็นได้ว่ารูปคลื่นแรงดันและกระแสเข้าใกล้รูปคลื่นไซน์ ทำให้เกิดการสูญเสียเนื่องจากฮาร์มอนิกต่ำกว่ากรณีที่ใช้วิธีการควบคุมแบบ Phase Control



รูปที่ 1.4 รูปคลื่นแรงดันและกระแสด้วยวิธีการควบคุมแบบ Phase Control แบบดั้งเดิม



รูปที่ 1.5 รูปคลื่นแรงดันและกระแสด้วยวิธีการควบคุมแบบ PWM AC Chopper แบบใหม่ที่น่าเสนอ

การเริ่มหมุนแบบนี้มนวลนี้จะใช้เทคนิคสร้างสัญญาณควบคุมพัลส์วิตมอเลตชัน เอชซี ซ็อบเปอร์ หรือ (PWM AC Chopper) ด้วยไมโครคอนโทรลเลอร์ C2000 Microcontroller เบอร์ TMS320F28379D ที่ใช้ในการควบคุมวงจรถูกกำลังแบบเอชซี ซ็อบเปอร์ ไฟฟ้าหนึ่งเฟส จำนวน 1 ชุดและสามารถนำไปใช้ควบคุมวงจรถูกกำลัง และหลักการวิเคราะห์ที่โหมดการทำงานที่น่าเสนอนี้ไม่จำเป็นต้องสร้างสัญญาณควบคุมให้ซิงโครไนซ์กับสัญญาณของแหล่งจ่ายและนอกจากนี้สัญญาณที่ใช้ควบคุมสวิทซ์ทั้ง 2 ตัวที่

สร้างขึ้นมา 1 ชุดสามารถควบคุมสวิทซ์ทั้งหมดได้ง่ายกว่าระบบเดิมที่มีการออกแบบสัญญาณควบคุม

เอกสารนี้เป็นเอกสารที่สงวนไว้สำหรับใช้เพื่อการศึกษาค้นคว้าเท่านั้น เมื่ออนุญาตให้นำไปใช้ประโยชน์ด้านการค้า

ไม่ว่ากรณีใดๆทั้งสิ้น อีกทั้งห้ามมิให้ดัดแปลงเนื้อหา และต้องอ้างอิงถึงเจ้าของเอกสารทุกครั้งที่มีการนำไปใช้

ที่ต้องซิงโครไนซ์กับสัญญาณของแหล่งจ่ายไฟฟ้าหนึ่งเฟสและสวิตช์แต่ละตัวที่ต้องถูกควบคุมแยกกันชัดเจน

## 1.6 ขอบเขตของงานวิจัย

จากวัตถุประสงค์และจุดมุ่งหมายแนวคิดในการทำงานวิจัยจึงนำมาสู่การพัฒนาและปรับปรุงการควบคุมการเริ่มหมุนแบบนิ่มนวลให้กับมอเตอร์เหนี่ยวนำหนึ่งเฟสแบบคาปาซิเตอร์สตาร์ทโดยใช้หลักการแบบอะซิงโครนัส พีดีบีแอลยูเอ็ม เอช ซี อี ซี ออปเปอเรเตอร์ (Asynchronous PWM AC Chopper) จึงได้กำหนดขอบเขตของการวิจัยบนแนวทางดังต่อไปนี้

- การออกแบบวงจรกำลังแบบ เอช ซี ออปเปอเรเตอร์ ไฟฟ้าหนึ่งเฟสเพื่อใช้ในการควบคุมการเริ่มหมุนแบบนิ่มนวลให้กับมอเตอร์เหนี่ยวนำหนึ่งเฟสชนิดตัวเก็บประจุช่วยหรือแบบคาปาซิเตอร์สตาร์ทที่ 50 ไมโครฟารัด ยี่ห้อ Mitsubishi รุ่น SC-KR มีขนาดพิกัด 1/2 แรงม้า หรือ 0.4 กิโลวัตต์ 230 โวลต์ 50 เฮิร์ตซ์ 4.3 แอมป์ 4 ขั้ว และความเร็วรอบที่พิกัดที่ 1,430 รอบต่อนาที
- การออกแบบสัญญาณด้วยไมโครคอนโทรลเลอร์ C2000 Microcontroller เบอร์ TMS320F28379D ที่ใช้ในการควบคุมวงจรกำลังแบบ เอช ซี ออปเปอเรเตอร์ หนึ่งเฟส จำนวน 1 ชุด และสามารถนำไปใช้ควบคุมวงจรกำลังหนึ่งและการจำลองโดยใช้โปรแกรม MATLAB/Simulink Version R2024a ได้
- สามารถกำหนดแรงดันเริ่มต้น กระแสและความชันของสัญญาณแรงดันควบคุมตามแกนเวลาให้สามารถควบคุมแรงดันไฟฟ้าหนึ่งเฟสเป็นแบบเชิงเส้นตามที่กำหนดได้
- สามารถทำการออกแบบการจำลองและทดสอบความสอดคล้องความถูกต้องที่นำเสนอกับระบบเดิมเพื่อเปรียบเทียบรูปคลื่นแรงดัน กระแส สเปกตรัมของแรงดันและกระแสได้

## 1.7 ขั้นตอนของการศึกษาจัดทำวิทยานิพนธ์

สำหรับงานวิจัยที่นำเสนอในวิทยานิพนธ์เรื่องการควบคุมการเริ่มหมุนแบบนิ่มนวลให้กับมอเตอร์เหนี่ยวนำหนึ่งเฟสด้วยการควบคุมกระแสเริ่มต้นโดยใช้เทคนิคอะซิงโครนัส พีดีบีแอลยูเอ็ม เอช ซี ออปเปอเรเตอร์ เล่มนี้เริ่มต้นด้วยการศึกษาข้อมูลที่รวบรวมจากงานวิจัยที่เกี่ยวข้องกับการควบคุมการเริ่มหมุนแบบนิ่มนวลให้กับมอเตอร์เหนี่ยวนำหนึ่งเฟสแบบคาปาซิเตอร์สตาร์ททั้งในอดีตที่ผ่านมาจนถึงปัจจุบันจากนั้นได้สรุปข้อดี ข้อด้อยของระบบเดิมเพื่อใช้เป็นข้อมูลในการตั้งเป็นโจทย์วิจัย รวมถึงการปรับปรุงและพัฒนาระบบควบคุมแบบใหม่ที่สามารถสร้างชุดวงจรควบคุมได้ง่ายสะดวกกว่าวิธีการแบบเดิมเพื่อพัฒนาเป็นต้นแบบต่อยอดในเชิงพาณิชย์ได้ และด้วยเหตุผลดังที่ได้กล่าวมาจึงได้แบ่งเนื้อหาของงานวิจัยออกเป็น 7 บท ดังต่อไปนี้

บทที่ 1 บทนำในการจัดทำงานวิจัยได้กล่าวถึงความเป็นมาของปัญหา วัตถุประสงค์และสมมุติฐานในการทำวิจัยแนวความคิดที่ใช้ในการวิจัย ตลอดจนเปรียบเทียบหลักการวิธีแบบเดิมกับเอกสารนี้เป็นเอกสารที่สงวนไว้สำหรับการใช้งานเพื่อการศึกษาเท่านั้น ไม่อนุญาตให้นำไปใช้ประโยชน์ด้านการค้า ไม่ว่าจะกรณีใดๆทั้งสิ้น อีกทั้งห้ามมิให้ตัดแปลงเนื้อหา และต้องอ้างอิงถึงเจ้าของเอกสารทุกครั้งที่มีการนำไปใช้

หลักการวิธีที่นำเสนอและขอบเขตในการวิจัยเรื่องการควบคุมการเริ่มหมุนแบบนิ่มนวลให้กับมอเตอร์เหนี่ยวนำหนึ่งเฟสแบบคาปาซิเตอร์สตาร์ทด้วยการควบคุมกระแสเริ่มต้นโดยใช้เทคนิคอะซิงโครนัส พีดับเบิลยูเอ็ม เอช ซี อีซี (Asynchronous PWM AC Chopper)

บทที่ 2 ความรู้เบื้องต้นเกี่ยวกับมอเตอร์เหนี่ยวนำหนึ่งเฟสแบบคาปาซิเตอร์สตาร์ทและอุปกรณ์ทฤษฎีที่เกี่ยวข้องสำหรับใช้ในงานวิจัย โดยอธิบายทฤษฎีคุณลักษณะการทำงานของมอเตอร์เหนี่ยวนำหนึ่งเฟสและอุปกรณ์ ทั้งการเกิดสนามแม่เหล็กหมุนในมอเตอร์มอเตอร์ไฟฟ้าเหนี่ยวนำหนึ่งเฟส ชนิดของมอเตอร์เหนี่ยวนำหนึ่งเฟสแบบคาปาซิเตอร์สตาร์ท การต่อวงจร วงจรไดอะแกรมกระแสไฟฟ้าและแรงเคลื่อนไฟฟ้า ความสัมพันธ์ระหว่างแรงบิดและความเร็วรอบ ความสัมพันธ์ระหว่างแรงบิดและความเร็วรอบของคาปาซิเตอร์มอเตอร์ที่ค่าความจุคาปาซิเตอร์ต่างๆกัน และอุปกรณ์ที่ใช้สำหรับงานวิจัย ไมโครคอนโทรลเลอร์ C2000 Microcontroller เบอร์ TMS320F28379D เป็นต้น

บทที่ 3 เทคนิคการควบคุมการเริ่มหมุนแบบนิ่มนวลให้กับมอเตอร์เหนี่ยวนำหนึ่งเฟสด้วยการควบคุมกระแสเริ่มต้นโดยใช้เทคนิคอะซิงโครนัส พีดับเบิลยูเอ็ม เอช ซี อีซี (PWM AC Chopper) สำหรับการควบคุมมอเตอร์เหนี่ยวนำหนึ่งเฟส โดยอธิบายถึงรูปแบบการกำเนิดสัญญาณแบบพีดับเบิลยูเอ็ม เอช ซี อีซี แบบอะซิงโครนัส (Asynchronous PWM AC Chopper : PWMSS) การกำหนดแรงดันเริ่มต้นให้วงจร PWMSS และรูปของสัญญาณพีดับเบิลยูเอ็ม เอช ซี อีซี แบบซิงโครนัส (Synchronous PWM AC Chopper) ซึ่งจะได้อธิบายโหมดการทำงานของรูปสัญญาณพีดับเบิลยูเอ็มเอชซี อีซี อีซี ทั้ง 2 แบบในแต่ละโหมดการทำงานสัญญาณทั้ง 6 โหมด

บทที่ 4 การออกแบบวงจรควบคุมและวงจรถูกกำลังสำหรับการควบคุมการเริ่มหมุนแบบนิ่มนวลให้กับมอเตอร์เหนี่ยวนำหนึ่งเฟสด้วยการควบคุมกระแสเริ่มต้นโดยใช้เทคนิคอะซิงโครนัส พีดับเบิลยูเอ็ม เอช ซี อีซี โดยอธิบายถึงแรงบิดของมอเตอร์ในขณะที่ทำการลดแรงดันขับเคลื่อนวงจรสมมูลย์ของมอเตอร์เหนี่ยวนำหนึ่งเฟส ลักษณะแรงบิดเปรียบเทียบกับความเร็วในขณะที่ทำการลดแรงดัน หลักการเริ่มหมุนแบบนิ่มนวล คุณลักษณะของ Volage-Ramp Technique การเปรียบเทียบการจำลองคุณลักษณะของมอเตอร์เหนี่ยวนำหนึ่งเฟสที่เริ่มหมุนแบบนิ่มนวลเปรียบเวลาในแต่ละทุกเงื่อนไขของการเริ่มหมุน

บทที่ 5 การออกแบบจำลองระบบการควบคุมการเริ่มหมุนแบบนิ่มนวลให้กับมอเตอร์เหนี่ยวนำหนึ่งเฟสด้วยการควบคุมกระแสเริ่มต้น โดยใช้เทคนิคอะซิงโครนัส พีดับเบิลยูเอ็ม เอช ซี อีซี โดยการอธิบายกรณีศึกษาที่ใช้ในการวิจัยผลที่ได้จากการจำลองโดยใช้โปรแกรม MATLAB/Simulink Version R2024a และโปรแกรม (Code Composer Studio :CCS) Version 12.4.0 ในการคอมไพล์โค้ดภาษาซี (C) ลงในบอร์ดไมโครคอนโทรลเลอร์ C2000 Microcontroller เบอร์ TMS320F28379D

เอกสารนี้เป็นเอกสารที่สงวนไว้สำหรับการใช้งานเพื่อการศึกษาเท่านั้น ไม่อนุญาตให้นำไปใช้ประโยชน์ด้านการค้า ไม่ว่าจะกรณีใดๆทั้งสิ้น อีกทั้งห้ามมิให้ดัดแปลงเนื้อหา และต้องอ้างอิงถึงเจ้าของเอกสารทุกครั้งที่มีการนำไปใช้

บทที่ 6 ผลการทดสอบระบบการควบคุมการเริ่มหมุนแบบนิ่มนวลให้กับมอเตอร์เหนี่ยวนำหนึ่งเฟสด้วยการควบคุมกระแสเริ่มต้นโดยใช้เทคนิคอะซิงโครนัส พัดเบิ้ลยูเอ็ม เอซี ซ็อบเปอร์ ด้วยวิธีการ PWM AC Chopper Soft Starter : PWMSS ที่นำเสนอโดยอธิบายถึงกรณีที่ใช้ในวิทยานิพนธ์นี้ ได้แก่ การกำหนดสัญญาณควบคุมโดยการเขียนวงจรควบคุมในโปรแกรม MATLAB/Simulink Version R2024a แล้วทำการกำเนิดโค้ดภาษาซี (C) หลังจากนั้นจึงใช้โปรแกรม (Code Composer Studio :CCS) Version 12.4.0 ในการคอมไพล์โค้ดภาษาซี (C) ลงในบอร์ดไมโครคอนโทรลเลอร์ C2000 Microcontroller เบอร์ TMS320F28379D เพื่อส่งสัญญาณควบคุมออกสู่วงจรภายนอกและผลจากการทดสอบสามารถยืนยันความถูกต้องได้เนื่องจากมีความสอดคล้องกับผลที่ได้จากการจำลองได้

บทที่ 7 สรุปผลการวิจัยและข้อเสนอแนะงานวิจัยการออกแบบวงจรควบคุมและวงจรกำลังสำหรับการควบคุมการเริ่มหมุนแบบนิ่มนวลให้กับมอเตอร์เหนี่ยวนำหนึ่งเฟสด้วยการควบคุมกระแสเริ่มต้นโดยใช้เทคนิคอะซิงโครนัส พัดเบิ้ลยูเอ็ม เอซี ซ็อบเปอร์ (Soft Start Control for a Single-Phase Induction Motor With Starting Current Control Using an Asynchronous PWM AC Chopper Technique) ตลอดจนได้อธิบายสรุปรายละเอียดของงานวิจัยทั้งหมดรวมถึงข้อเสนอแนะและข้อเสนอแนะงานวิจัยที่น่าสนใจต่อไป

## บทที่ 2

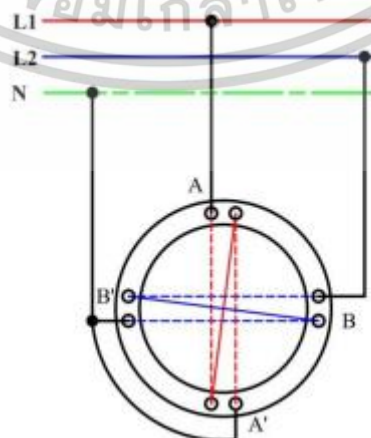
# ความรู้เบื้องต้นเกี่ยวกับมอเตอร์เหนี่ยวนำหนึ่งเฟสและอุปกรณ์ ทฤษฎีที่เกี่ยวข้องสำหรับในงานวิจัย

### 2.1 หลักการทำงานของมอเตอร์ไฟฟ้ากระแสสลับหนึ่งเฟส

การทำงานของมอเตอร์ไฟฟ้ากระแสสลับหนึ่งเฟสอาศัยหลักการเหนี่ยวนำแม่เหล็กไฟฟ้าและมืองค์ประกอบที่สำคัญคือ ตัวนำไฟฟ้า สนามแม่เหล็ก และการเคลื่อนที่ของสนามแม่เหล็กไฟฟ้าไปตัดกับตัวนำไฟฟ้า หลักการนี้ได้นำไปสร้างเป็นมอเตอร์ไฟฟ้าเหนี่ยวนำที่มีใช้กันอย่างแพร่หลาย เมื่ออธิบายถึงหลักการทำงานของมอเตอร์ไฟฟ้าเหนี่ยวนำ การจ่ายไฟฟ้ากระแสสลับให้กับขดลวดที่สเตเตอร์จะเกิดสนามแม่เหล็กหมุนที่สเตเตอร์สนามแม่เหล็กจะเหนี่ยวนำไปยังตัวโรเตอร์หรือตัวหมุน ส่งผลให้เกิดแรงดันไฟฟ้าและกระแสไฟฟ้าเหนี่ยวนำไหลภายในตัวโรเตอร์ โดยกระแสไฟฟ้าที่ไหลในตัวโรเตอร์จะสร้างสนามแม่เหล็กขึ้นมาต้านกับสนามแม่เหล็กที่สเตเตอร์ เกิดแรงผลักระหว่างขั้วแม่เหล็กทำให้โรเตอร์หมุนไปในทิศทางเดียวกับสนามแม่เหล็กซึ่งมีความเร็วรอบช้ากว่าความเร็วสนามแม่เหล็กหมุน

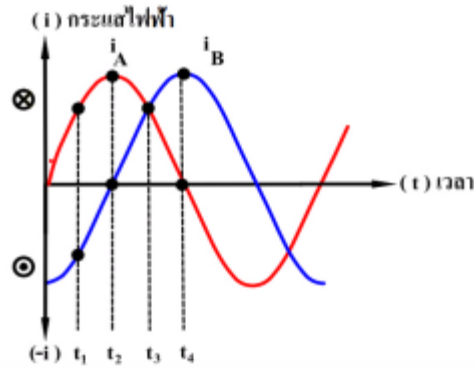
### 2.2 การเกิดสนามแม่เหล็กหมุนในมอเตอร์เหนี่ยวนำหนึ่งเฟส

มอเตอร์ไฟฟ้ากระแสสลับทำงานโดยอาศัยการเกิดสนามแม่เหล็กหมุนที่สเตเตอร์ด้วยการเคลื่อนที่ตัดกับตัวนำโรเตอร์ เมื่อจ่ายแรงดันไฟฟ้าให้กับขดลวดที่พันอยู่ในสเตเตอร์ส่งผลให้สนามแม่เหล็กที่สเตเตอร์เกิดการเปลี่ยนแปลงและเคลื่อนที่ไปรอบๆ สเตเตอร์ด้วยความเร็วคงที่การต่อขดลวดสเตเตอร์จะประกอบด้วยขดลวด 2 ชุด ซึ่งวางห่างกัน 90 องศาทางไฟฟ้า และรับแรงดันไฟฟ้าที่จ่ายให้ขดลวดเสมือนเป็นระบบไฟฟ้า 2 เฟส เนื่องจากแรงดันไฟฟ้ารูปลิ้นไซน์ (Sine wave) ทำให้เกิดสนามแม่เหล็กหมุนรอบตัวนำที่พันอยู่ในร่องสเตเตอร์ ตามหลักการที่ได้กล่าวมาจะสอดคล้องกับทฤษฎีและหลักการทำงานของสปลิตเฟสมอเตอร์

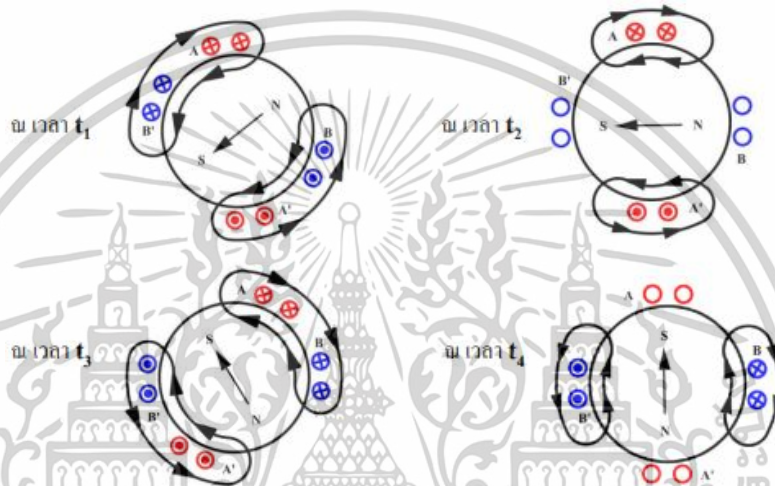


รูปที่ 2.1 การต่อขดลวดสเตเตอร์กับระบบไฟฟ้าสองเฟส

เอกสารนี้เป็นเอกสารที่สงวนไว้สำหรับการใช้งานเพื่อการศึกษาเท่านั้น ไม่อนุญาตให้นำไปใช้ประโยชน์ด้านการค้า  
ไม่ว่ากรณีใดๆทั้งสิ้น อีกทั้งห้ามมิให้ตัดแปลงเนื้อหา และต้องอ้างอิงถึงเจ้าของเอกสารทุกครั้งที่มีการนำไปใช้



(ก) รูปคลื่นไซน์ในระบบไฟฟ้าสองเฟส



(ข) การเกิดสนามแม่เหล็กหมุน

รูปที่ 2.2 รูปคลื่นไซน์และสนามแม่เหล็กหมุนที่สเตเตอร์มอเตอร์ไฟฟ้าสองเฟส

เมื่อพิจารณาจาก รูปที่ 2.2 การต่อขดลวดสเตเตอร์ของมอเตอร์ไฟฟ้าสองเฟส และดังรูปที่ 2.2 (ก) รูปคลื่นไซน์ระบบไฟฟ้าสองเฟสต่างเฟสเป็นมุม 90 องศาทางไฟฟ้า กำหนดให้กระแสไฟฟ้าครึ่งรอบบวกของรูปคลื่นไซน์ของแต่ละเฟสไหลเข้าด้านขดลวดและไหลออกปลายขดลวด (โดยเฟส A ไหลเข้าด้าน A และไหลออกปลาย A') และ (เฟส B ไหลเข้าด้าน B และไหลออกปลาย B') สำหรับกระแสไฟฟ้าในครึ่งรอบลบไหลเข้าปลายขดลวดและไหลออกด้านขดลวด (เฟส A ไหลเข้าปลาย A' และไหลออกด้าน A) และ (เฟส B ไหลเข้าปลาย B' และไหลออกด้าน B) และดังรูปที่ 2.2 (ข) ณ เวลา  $t_1$   $i_A$  เป็นบวก  $i_B$  เป็นลบ ณ เวลา  $t_2$   $i_A$  เป็นบวก  $i_B$  เป็นศูนย์ ณ เวลา  $t_3$   $i_A$  เป็นบวก  $i_B$  เป็นบวก ณ เวลา  $t_4$   $i_A$  เป็นศูนย์  $i_B$  เป็นบวก กำหนดให้กระแสไฟฟ้าที่ไหลเข้าขดลวดตัวนำ มีสัญลักษณ์เป็น  $\otimes$  และกระแสไฟฟ้าที่ไหลออกจากขดลวดตัวนำ  $\odot$  ดังนั้นเมื่อพิจารณาเส้นแรงแม่เหล็กวมที่เกิดขึ้นตามทิศทางของลูกศรตามการเปลี่ยนแปลงของเวลาในรูปคลื่นไซน์ที่  $t_1 - t_4$  พบว่าเส้นแรงแม่เหล็กจะหมุนในทิศทางทวนเข็มนาฬิกาเปรียบเสมือนการเกิดสนามแม่เหล็กหมุนที่ขดลวดสเตเตอร์ของมอเตอร์ไฟฟ้า

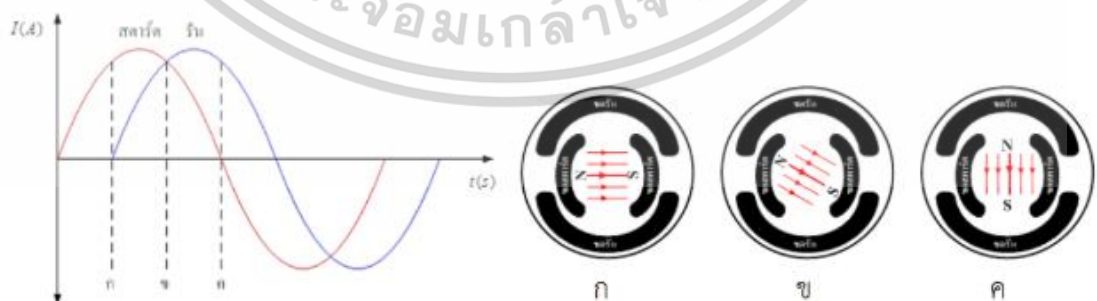
เอกสารนี้เป็นเอกสารที่สงวนไว้สำหรับการใช้งานเพื่อการศึกษาเท่านั้น ไม่อนุญาตให้นำไปใช้ประโยชน์ด้านการค้า ไม่ว่าจะกรณีใดๆทั้งสิ้น อีกทั้งห้ามมิให้ดัดแปลงเนื้อหา และต้องอ้างอิงถึงเจ้าของเอกสารทุกครั้งที่มีการนำไปใช้

## 2.3 คุณสมบัติของมอเตอร์เหนี่ยวนำหนึ่งเฟสแบบคาปาซิเตอร์สตาร์ท

มอเตอร์เหนี่ยวนำหนึ่งเฟสแบบคาปาซิเตอร์สตาร์ทเป็นมอเตอร์ไฟฟ้าเหนี่ยวนำขนาดเล็ก เนื่องจากใช้กับไฟฟ้าชนิดหนึ่งเฟสสองสายแล้ว จึงมักมีการใช้งานตามบ้านเรือนทั่วไปที่ติดตั้งเป็นเครื่องต้นกำลังในเครื่องใช้ไฟฟ้า เช่น เครื่องรีดแผ่นยางพารา เครื่องบดหมู เครื่องซักผ้า เครื่องบดน้ำแข็ง สายพานลำเลียง คอมเพรสเซอร์ของตู้เย็น คอมเพรสเซอร์ของเครื่องปรับอากาศ ปัมป์น้ำอัตโนมัติ เป็นต้น มีอยู่หลายชนิดแต่ชนิดที่พบบ่อยใช้อยู่ทั่วไปหนึ่งชนิดคือ มอเตอร์เหนี่ยวนำหนึ่งเฟสแบบคาปาซิเตอร์สตาร์ทที่ใช้สำหรับงานวิจัยโดยเฉพาะช่วงการควบคุมกระแสเริ่มต้นแบบวิธีดั้งเดิมและแบบที่นำเสนอด้วยวิธีการเริ่มหมุนแบบนิ่มนวล ดังนั้นจึงต้องเรียนรู้และศึกษาพื้นฐานของทฤษฎีการทำงานและการควบคุมของมอเตอร์เหนี่ยวนำหนึ่งเฟสแบบคาปาซิเตอร์สตาร์ท

## 2.4 มอเตอร์เหนี่ยวนำหนึ่งเฟสแบบคาปาซิเตอร์สตาร์ท

เนื่องจากมอเตอร์เหนี่ยวนำหนึ่งเฟสแบบสปลิตเฟสมอเตอร์มีแรงดันค่อนข้างต่ำเพราะว่ากระแสไฟฟ้าในขดลวดชุดสตาร์ทกับขดลวดชุดรันต่างเฟสกันเป็นมุมโดยประมาณ 30-50 องศาไฟฟ้านั้นเมื่อต้องการให้มอเตอร์มีแรงบิดเริ่มเดินสูงจะต้องใช้คาปาซิเตอร์ต่อเข้ากับขดลวดชุดสตาร์ท เพื่อให้กระแสไฟฟ้าในขดลวดทั้งสองชุดมีมุมต่างเฟสกันมากยิ่งขึ้นประมาณเกือบ 90 องศาไฟฟ้า คาปาซิเตอร์มอเตอร์ (Capacitor motor) แบ่งออกได้เป็น 3 ชนิด คือ คาปาซิเตอร์สตาร์ทมอเตอร์ (Capacitor start motor : ที่ใช้สำหรับการทดสอบในงานวิจัย) คาปาซิเตอร์รันมอเตอร์ (Capacitor run motor) และ คาปาซิเตอร์สตาร์ทและรันมอเตอร์ (Capacitor start and run motor) แต่ละชนิดมีคุณลักษณะที่แตกต่างกันและสิ่งที่เหมือนกันก็คือ มีขดลวดสเตเตอร์จำนวน 2 ชุด ซึ่งขดลวดชุดรันกับขดลวดชุดสตาร์ทความมุ่มห่างกัน 90 องศาไฟฟ้า และขดลวดชุดสตาร์ทจะมีคาปาซิเตอร์ต่ออยู่เสมอ ดังรูปที่ 2.3 แสดงในลักษณะรูปสัญญาณและขดลวดสองชุด ด้านซ้ายมือคือความต่างเฟสระหว่างกระแสที่ไหลในขดรันและขดสตาร์ท และขวามือคือลักษณะการพันขดลวดซึ่งขดลวดทั้งสองจะมีมุมต่างกัน 90 องศาไฟฟ้า



รูปที่ 2.3 สัญญาณความแตกต่างระหว่างกระแสที่ไหลในขดรันและขดสตาร์ทที่มีการพันขดลวดทั้งสองจะมีมุมต่างกัน 90 องศาไฟฟ้า

สำหรับมอเตอร์เหนี่ยวนำหนึ่งเฟสแบบคาปาซิเตอร์สตาร์ท (Capacitor start motor)

มอเตอร์แบบนี้มีส่วนประกอบเหมือนกับสปลิตเฟสมอเตอร์แต่เพิ่มคาปาซิเตอร์อีก 1 ตัว เพื่อต่อ

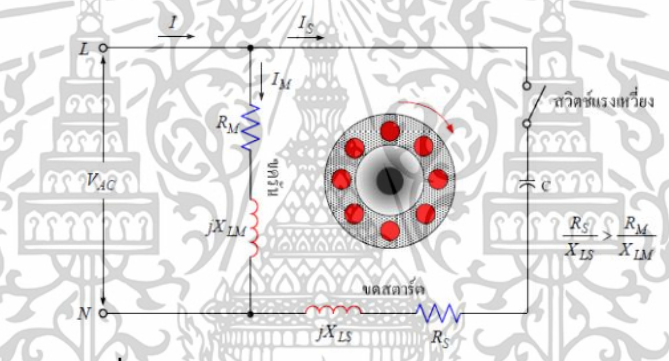
เอกสารนี้เป็นเอกสารที่สงวนไว้สำหรับการใช้งานเพื่อการศึกษาเท่านั้น เมื่ออนุญาตให้นำไปเผยแพร่โดยไม่หวังกำไร

ไม่ว่ากรณีใดๆทั้งสิ้น อีกทั้งห้ามมิให้ตัดแปลงเนื้อหา และต้องอ้างอิงถึงเจ้าของเอกสารทุกครั้งที่มีการนำไปใช้

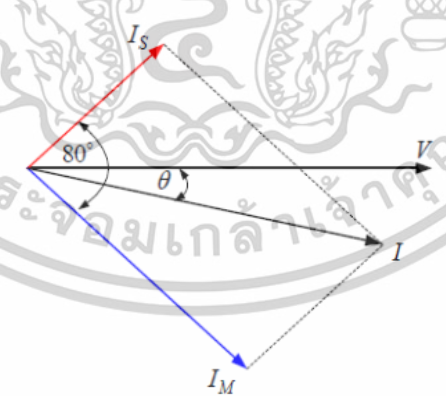
อนุกรมกับขดสตาร์ทเท่านั้นเมื่อต่อคาปาซิเตอร์อนุกรมกับขดลวดขดสตาร์ทแล้ว ทำให้กระแสไฟฟ้าของขดลวดขดสตาร์ท ( $I_S$ ) นำหน้าแรงเคลื่อนไฟฟ้า ( $V$ ) ที่ป้อนให้กับมอเตอร์ซึ่งจะนำหน้ามากหรือน้อยขึ้นอยู่กับค่าความจุของคาปาซิเตอร์ส่วนกระแสไฟฟ้าของขดลวดขดรันยังคงล้าหลังแรงเคลื่อนไฟฟ้าเหมือนเดิม จากเวกเตอร์ไดอะแกรมดังแสดงในรูปที่ 2.6 กระแสไฟฟ้าของขดลวดขดสตาร์ทนำหน้ากระแสไฟฟ้าของขดลวดขดรัน ( $I_M$ ) ประมาณเกือบ 90 องศาไฟฟ้า



รูปที่ 2.4 ส่วนประกอบของมอเตอร์เหนี่ยวนำหนึ่งเฟสแบบคาปาซิเตอร์สตาร์ท



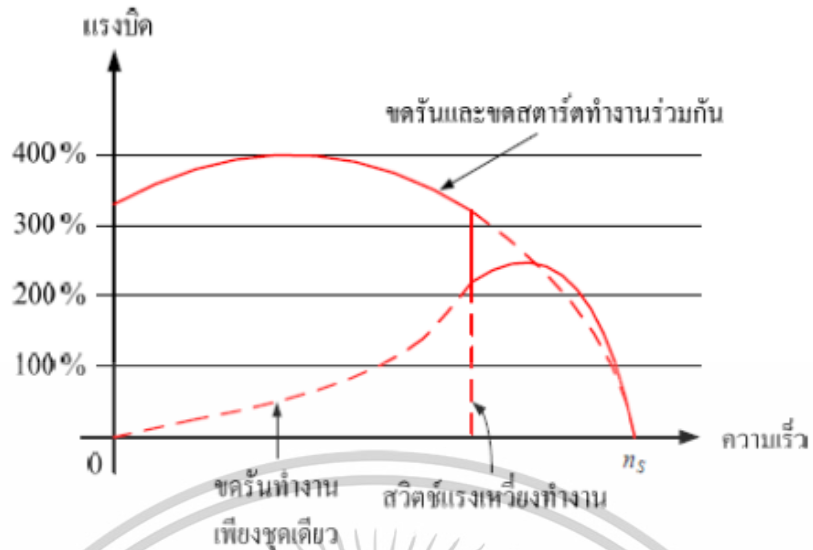
รูปที่ 2.5 การต่อวงจรของคาปาซิเตอร์สตาร์ทมอเตอร์



รูปที่ 2.6 เวกเตอร์ไดอะแกรมกระแสไฟฟ้าและแรงเคลื่อนไฟฟ้าของคาปาซิเตอร์มอเตอร์

หลักการการทำงานของคาปาซิเตอร์มอเตอร์เหมือนกับสปลิตเฟสมอเตอร์เมื่อมอเตอร์หมุนได้ ความเร็วประมาณ 75% ของความเร็วเต็มพิกัดสวิตช์แรงเหวี่ยงจะเปิดวงจรขดลวดขดสตาร์ทและคาปาซิเตอร์ออกมอเตอร์จะทำงานต่อไปโดยอาศัยขดลวดขดรันเพียงชุดเดียว

เอกสารนี้เป็นเอกสารที่สงวนไว้สำหรับการใช้งานเพื่อการศึกษาเท่านั้น ไม่อนุญาตให้นำไปใช้ประโยชน์ด้านการค้า ไม่ว่าจะกรณีใดๆทั้งสิ้น อีกทั้งห้ามมิให้ดัดแปลงเนื้อหา และต้องอ้างอิงถึงเจ้าของเอกสารทุกครั้งที่มีการนำไปใช้



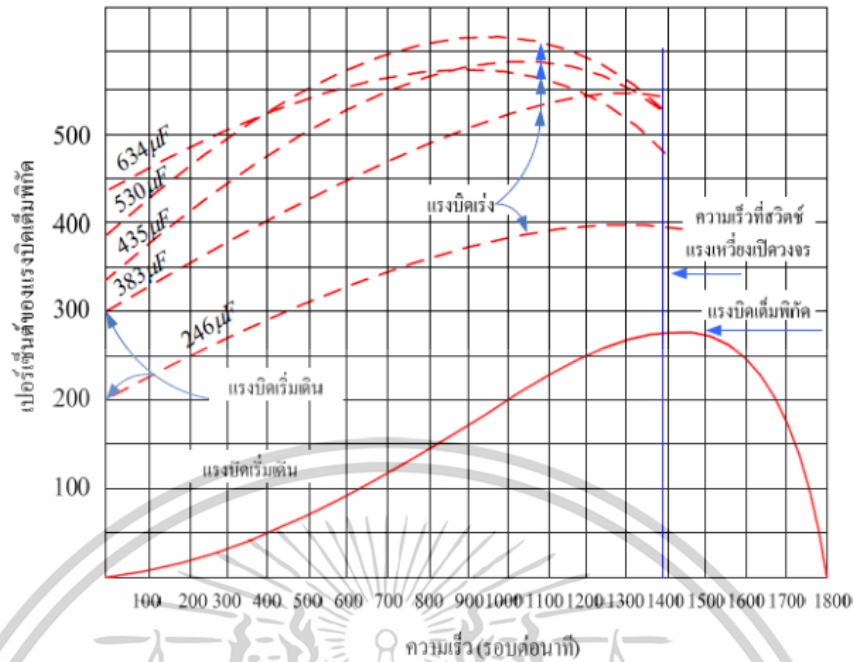
รูปที่ 2.7 ความสัมพันธ์ระหว่างแรงบิดและความเร็วรอบ

คุณลักษณะและการนำไปใช้งานการต่อคาปาซิเตอร์เข้าไปในวงจรขดลวดขุดสตาร์ททำให้มอเตอร์แบบนี้มีแรงบิดเริ่มต้นสูงประมาณ 350-450% ของแรงบิดเต็มพิกัดมีแรงบิดสูงสุดประมาณ 540% ของแรงบิดเต็มพิกัดมีค่าเพาเวอร์แฟกเตอร์และประสิทธิภาพเมื่อโหลดเต็มพิกัดประมาณ 80-95% และ 55-65% ตามลำดับและมีกระแสขณะเริ่มสตาร์ทประมาณ 400-500% ของกระแสเต็มพิกัดเมื่อเปรียบเทียบกับสปลิตเฟสมอเตอร์ที่ขนาดเท่ากันกระแสเริ่มต้นจะต่ำกว่าและให้แรงบิดสูงกว่า



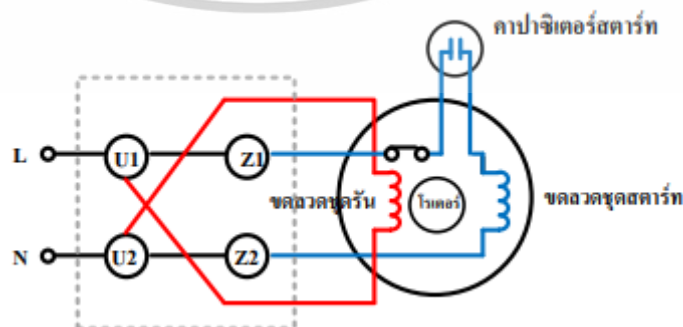
รูปที่ 2.8 คาปาซิเตอร์แบบอิเล็กทรอนิกส์

เอกสารนี้เป็นเอกสารที่สงวนไว้สำหรับการใช้งานเพื่อการศึกษาเท่านั้น ไม่อนุญาตให้นำไปใช้ประโยชน์ด้านการค้า ไม่ว่าจะกรณีใดๆทั้งสิ้น อีกทั้งห้ามมิให้ดัดแปลงเนื้อหา และต้องอ้างอิงถึงเจ้าของเอกสารทุกครั้งที่มีการนำไปใช้



รูปที่ 2.9 ความสัมพันธ์ระหว่างแรงบิดและความเร็วรอบของคาปาซิเตอร์มอเตอร์ที่ค่าความจุคาปาซิเตอร์ต่างๆกัน

พิกัดกำลังของมอเตอร์เหนี่ยวนำหนึ่งเฟสแบบคาปาซิเตอร์สตาร์ทแบบนี้ ประมาณ 1/8-1 แรงม้า จึงเหมาะกับการประยุกต์ปั้มน้ำชนิดต่างๆคอมเพรสเซอร์ เครื่องบดน้ำแข็ง เครื่องรีดแผ่นยางพารา เครื่องบดหมู เครื่องซักผ้า สายพานลำเลียง เครื่องเจาะ หินเจียรระไน และงานขับโหลดด้วยสายพานที่มีความฝืดสูงๆ ค่าความจุของคาปาซิเตอร์ที่มีความเหมาะสมใช้กับมอเตอร์นั้นมีความจุตั้งแต่ 21-189 $\mu$ F ทนพิกัดแรงเคลื่อนไฟฟ้าได้ไม่น้อยกว่า 220V และเป็นคาปาซิเตอร์แบบอิเล็กทรอนิกส์ที่ใช้กับแรงเคลื่อนไฟฟ้ากระแสสลับดังแสดงในรูปที่ 2.8 และรูปที่ 2.10 ในการควบคุมทิศทางการกลับทางหมุนคาปาซิเตอร์มอเตอร์ทำได้เช่นเดียวกับสปลิตเฟสมอเตอร์คือ สามารถทำได้ด้วยการกลับสลับคู่ปลายสายของขดลวดเพียงชุดเดียว โดยกลับที่ขดลวดชุดรันหรือขดลวดชุดสตาร์ทอย่างไรก็ตามเมื่อทำการต่อวงจรและกลับเฟสของแรงดันไฟฟ้าก็จะมีผลต่อการกลับทิศทางการหมุนของมอเตอร์ไฟฟ้า



รูปที่ 2.10 วงจรกลับทิศทางการหมุนของคาปาซิเตอร์มอเตอร์

เอกสารนี้เป็นเอกสารที่สงวนไว้สำหรับการใช้งานเพื่อการศึกษาเท่านั้น ไม่อนุญาตให้นำไปใช้ประโยชน์ด้านการค้าไม่ว่ากรณีใดๆทั้งสิ้น อีกทั้งห้ามมิให้ดัดแปลงเนื้อหา และต้องอ้างอิงถึงเจ้าของเอกสารทุกครั้งที่มีการนำไปใช้

ดังนั้นจะเห็นได้ว่าการใช้งานคาปาซิเตอร์มอเตอร์ลักษณะเด่นของคาปาซิเตอร์มอเตอร์ก็คือ มอเตอร์ไฟฟ้าใช้กระแสไฟฟ้าตอนเริ่มหมุนต่ำโดยมีแรงบิดเริ่มหมุนสูงและให้ความเร็วรอบคงที่ ส่วนคาปาซิเตอร์สตาร์ทมอเตอร์เป็นมอเตอร์ไฟฟ้าที่มีขนาดเล็กและมีแรงบิดเริ่มหมุนสูงกว่าสปลิตเฟสมอเตอร์ นิยมนำไปใช้เป็นตัวขับเคลื่อนเพรสเซอร์ขนาดเล็กในตู้เย็น ส่วนคาปาซิเตอร์รันมอเตอร์เป็นมอเตอร์ไฟฟ้าที่มีขนาดไม่ถึง 1 แรงม้า นิยมใช้กับเครื่องใช้ไฟฟ้าประเภทพัดลม และส่วนคาปาซิเตอร์สตาร์ทและรันมอเตอร์เป็นมอเตอร์ไฟฟ้าที่มีขนาดใหญ่ตั้งแต่ 1-10 แรงม้า นิยมนำไปใช้ป็นเครื่องอัดอากาศขนาดใหญ่ดังรูปที่ 2.11 ลักษณะการใช้งานของคาปาซิเตอร์มอเตอร์ที่เห็นในชีวิตประจำวัน

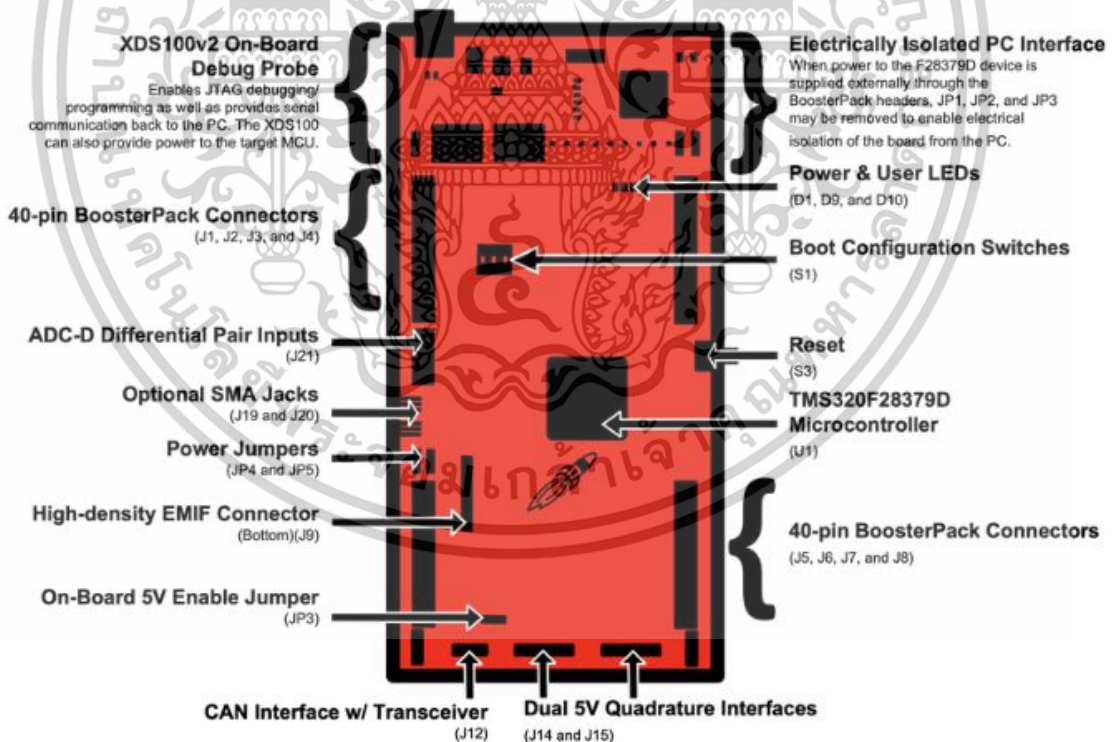
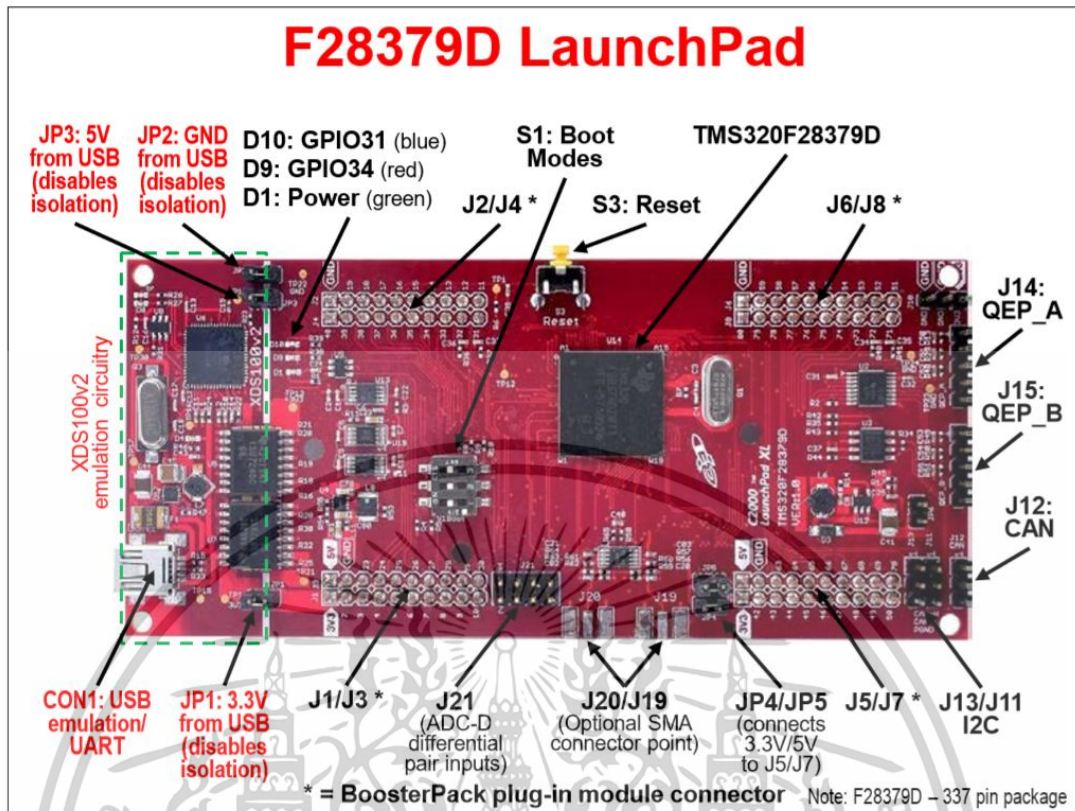


รูปที่ 2.11 ลักษณะการใช้งานของคาปาซิเตอร์มอเตอร์

## 2.5 ไมโครคอนโทรลเลอร์ C2000 เบอร์ TMS320F28379D

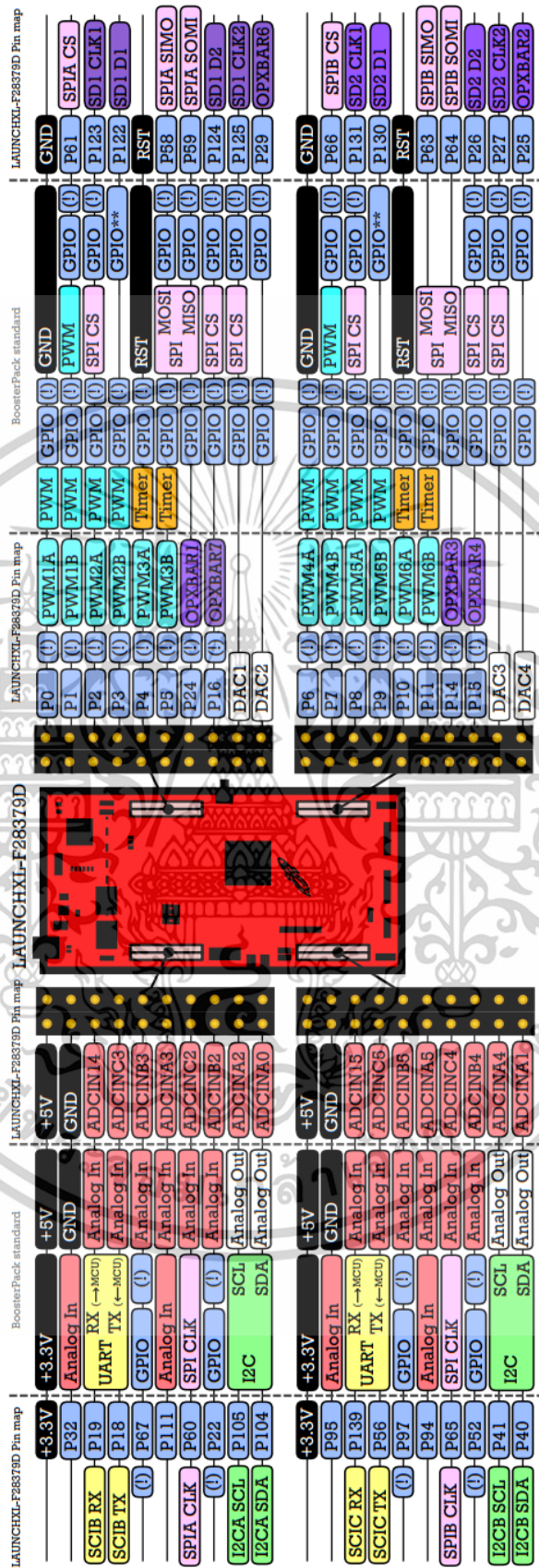
ไมโครคอนโทรลเลอร์สำหรับการประยุกต์ใช้งานอิเล็กทรอนิกส์กำลัง ข้อมูลเบื้องต้นของ C2000 Microcontroller เบอร์ TMS320F28379D เป็นรุ่นที่ใช้ในงานวิจัย และ C2000 คือชื่อตระกูลไมโครคอนโทรลเลอร์ 32 บิต จาก Texas Instrument Inc. ผู้ผลิต DSP Microcontroller และไอซีต่างๆ โดย Texas Instruments ได้กำหนดชื่อตระกูลอย่างเป็นทางการของไมโครคอนโทรลเลอร์แบบ Real-time Control ว่า C2000 ซึ่งถูกจัดให้เป็น Digital Signal Controller (DSC) หากเป็นตระกูลอื่นที่ไม่ใช่ C2000 เช่น C5000 หรือ C6000 จะถูกจัดให้เป็น Digital Signal Processor (DSP) ที่เน้นใช้งานประมวลผลสัญญาณดิจิทัลเป็นส่วนใหญ่ เช่น ประมวลผลวิดีโอ และมินิคอมพิวเตอร์ เป็นต้น

เอกสารนี้เป็นเอกสารที่สงวนไว้สำหรับการใช้งานเพื่อการศึกษาเท่านั้น ไม่อนุญาตให้นำไปใช้ประโยชน์ด้านการค้า ไม่ว่าจะกรณีใดๆทั้งสิ้น อีกทั้งห้ามมิให้ดัดแปลงเนื้อหา และต้องอ้างอิงถึงเจ้าของเอกสารทุกครั้งที่มีการนำไปใช้



รูปที่ 2.12 ชุดบอร์ดไมโครคอนโทรลเลอร์ C2000 เบอร์ TMS320F28379D

เอกสารนี้เป็นเอกสารที่สงวนไว้สำหรับการใช้งานเพื่อการศึกษาเท่านั้น ไม่อนุญาตให้นำไปใช้ประโยชน์ด้านการค้า ไม่ว่าจะกรณีใดๆทั้งสิ้น อีกทั้งห้ามมิให้ดัดแปลงเนื้อหา และต้องอ้างอิงถึงเจ้าของเอกสารทุกครั้งที่มีการนำไปใช้



รูปที่ 2.13 หมายเลขขาพิน ADC บนอุปกรณ์ที่ต่อพ่วงโดยรวมของ C2000 เบอร์ TMS320F28379D เอกสารนี้เป็นเอกสารที่สงวนไว้สำหรับการใช้งานเพื่อการศึกษาเท่านั้น เมื่อนำมาใช้ในเชิงพาณิชย์ กรุณาติดต่อฝ่ายขายของ TI เพื่อขอข้อมูลเพิ่มเติม

## TMS320F2837xD Dual-Core Real-Time Microcontrollers

### 1 Features

- Dual-core architecture
  - Two TMS320C28x 32-bit CPUs
  - 200MHz
  - IEEE 754 single-precision Floating-Point Unit (FPU)
  - Trigonometric Math Unit (TMU)
  - Viterbi/Complex Math Unit (VCU-II)
- Two programmable Control Law Accelerators (CLAs)
  - 200MHz
  - IEEE 754 single-precision floating-point instructions
  - Executes code independently of main CPU
- On-chip memory
  - 512KB (256KW) or 1MB (512KW) of flash (ECC-protected)
  - 172KB (86KW) or 204KB (102KW) of RAM (ECC-protected or parity-protected)
  - Dual-zone security supporting third-party development
  - Unique identification number
- Clock and system control
  - Two internal zero-pin 10MHz oscillators
  - On-chip crystal oscillator
  - Windowed watchdog timer module
  - Missing clock detection circuitry
- 1.2V core, 3.3V I/O design
- System peripherals
  - Two External Memory Interfaces (EMIFs) with ASRAM and SDRAM support
  - Dual 6-channel Direct Memory Access (DMA) controllers
  - Up to 168 individually programmable, multiplexed General-Purpose Input/Output (GPIO) pins with input filtering
  - Expanded Peripheral Interrupt controller (ePIE)
  - Multiple Low-Power Mode (LPM) support with external wakeup
- Communications peripherals
  - USB 2.0 (MAC + PHY)
  - Support for 12-pin, 3.3V-compatible Universal Parallel Port (uPP) interface
  - Two Controller Area Network (CAN) modules (pin-bootable)
  - Three high-speed (up to 50MHz) SPI ports (pin-bootable)
  - Two Multichannel Buffered Serial Ports (McBSPs)
    - Four Serial Communications Interfaces (SCI/UART) (pin-bootable)
    - Two I2C interfaces (pin-bootable)
- Analog subsystem
  - Up to four Analog-to-Digital Converters (ADCs)
    - 16-bit mode
      - 1.1MSPS each (up to 4.4MSPS system throughput)
      - Differential inputs
      - Up to 12 external channels
    - 12-bit mode
      - 3.5MSPS each (up to 14MSPS system throughput)
      - Single-ended inputs
      - Up to 24 external channels
  - Single Sample-and-Hold (S/H) on each ADC
  - Hardware-integrated post-processing of ADC conversions
    - Saturating offset calibration
    - Error from setpoint calculation
    - High, low, and zero-crossing compare, with interrupt capability
    - Trigger-to-sample delay capture
  - Eight windowed comparators with 12-bit Digital-to-Analog Converter (DAC) references
  - Three 12-bit buffered DAC outputs
- Enhanced control peripherals
  - 24 Pulse Width Modulator (PWM) channels with enhanced features
  - 16 High-Resolution Pulse Width Modulator (HRPWM) channels
    - High resolution on both A and B channels of 8 PWM modules
    - Dead-band support (on both standard and high resolution)
  - Six Enhanced Capture (eCAP) modules
  - Three Enhanced Quadrature Encoder Pulse (eQEP) modules
  - Eight Sigma-Delta Filter Module (SDFM) input channels, 2 parallel filters per channel
    - Standard SDFM data filtering
    - Comparator filter for fast action for out of range
- Configurable Logic Block (CLB)
  - Augments existing peripheral capability
  - Supports position manager solutions



An IMPORTANT NOTICE at the end of this data sheet addresses availability, warranty, changes, use in safety-critical applications, Intellectual property matters and other important disclaimers. PRODUCTION DATA.

### รูปที่ 2.14 คุณสมบัติเด่นโดยรวมของ C2000 เบอร์ TMS320F28379D

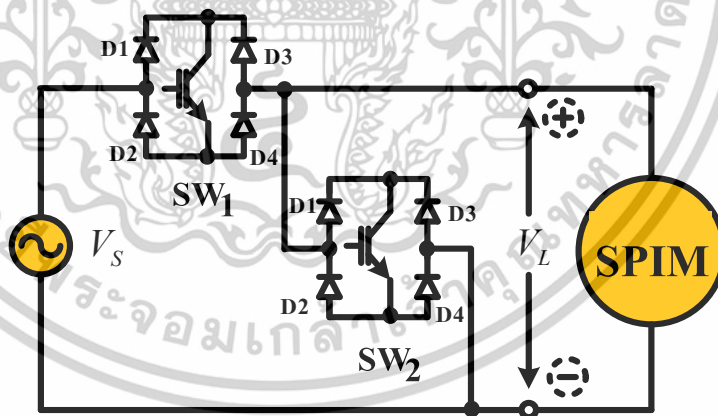
เอกสารนี้เป็นเอกสารที่สงวนไว้สำหรับการใช้งานเพื่อการศึกษาเท่านั้น ไม่อนุญาตให้นำไปใช้ประโยชน์ด้านการค้า ไม่ว่าจะกรณีใดๆทั้งสิ้น อีกทั้งห้ามมิให้ดัดแปลงเนื้อหา และต้องอ้างอิงถึงเจ้าของเอกสารทุกครั้งที่มีการนำไปใช้

### บทที่ 3

## เทคนิคการควบคุมการเริ่มหมุนแบบนิมนวลให้กับมอเตอร์ เหนี่ยวนำหนึ่งเฟสด้วยการควบคุมกระแสเริ่มต้นโดยใช้เทคนิค อะซิงโครนัส พีดับเบิลยูเอ็ม เอช ซี ซ็อบเปอร์

### 3.1 บทนำ

ในบทนี้จะกล่าวถึงการวิเคราะห์การเริ่มหมุนแบบนิมนวลให้มอเตอร์เหนี่ยวนำหนึ่งเฟสโดยใช้ วงจรเอช ซี ซ็อบเปอร์ หนึ่งเฟส ซึ่งเป็นวงจรกำลังแสดงในรูปที่ 3.1 ซึ่งอาจกล่าวได้ว่าเป็นวงจรแปลงผัน กำลังไฟฟ้าจากไฟฟ้ากระแสสลับเป็นกระแสสลับ โดยสัญญาณที่สร้างขึ้นมาเพื่อควบคุมสวิตช์ทั้ง 2 ตัว นั้นเป็นสัญญาณที่มีความถี่สูงเพื่อทำให้คลื่นกระแสที่ไหลมอเตอร์นั้นใกล้เคียงคลื่นไซน์ ซึ่งถ้าสามารถ ควบคุมขนาดแรงดันที่จ่ายให้กับมอเตอร์ขณะเริ่มหมุนให้สามารถปรับขนาดแรงดันได้ตามแกนเวลาให้ มีค่าแรงดันต่ำ และเมื่อเวลาผ่านไปหากสามารถควบคุมขนาดแรงดันที่จ่ายเข้ามอเตอร์ก่อนที่เข้าสู่ สภาวะคงตัวมีขนาดแรงดันค่อยๆเพิ่มขึ้นนั้นทำให้กระแสที่ไหลเข้ามอเตอร์ถูกปรับให้ค่อยๆเพิ่มขึ้น ด้วยจนเมื่อเข้าสู่สภาวะคงตัวกระแสมอเตอร์จะค่อยๆลดลงและนั่นคือทำให้มอเตอร์มีการเริ่มหมุน แบบนิมนวล โดยในวิทยานิพนธ์นี้จะเรียกวิธีการนี้ว่าการเริ่มหมุนแบบนิมนวลด้วยพีดับเบิลยูเอ็ม เอช ซี ซ็อบเปอร์ แบบอะซิงโครนัส (Asynchronous PWM AC Chopper Soft Starter :PWMSS)



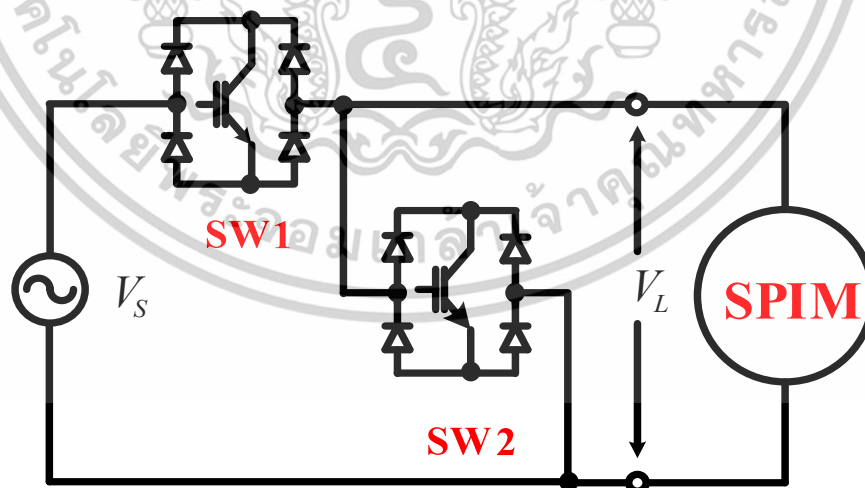
รูปที่ 3.1 วงจรกำลังของการควบคุมการเริ่มหมุนแบบนิมนวลโดยใช้วงจร เอช ซี ซ็อบเปอร์

การทำงานของรูปสัญญาณพีดับเบิลยูเอ็ม เอช ซี ซ็อบเปอร์ (Pulse Width Modulation : PWM AC Chopper) ในรูปของสัญญาณพีดับเบิลยูเอ็ม เอช ซี ซ็อบเปอร์ แบบอะซิงโครนัส (Asynchronous PWM AC Chopper) และรูปของสัญญาณพีดับเบิลยูเอ็ม เอช ซี ซ็อบเปอร์ แบบซิงโครนัส (Synchronous PWM AC Chopper) ซึ่งจะได้อธิบายโหมดการทำงานของรูปสัญญาณพีดับเบิลยูเอ็ม เอช ซี ซ็อบเปอร์ ทั้ง 2 แบบในแต่ละโหมด ดังต่อไปนี้

เอกสารนี้เป็นเอกสารที่สงวนไว้สำหรับการใช้งานเพื่อการศึกษาเท่านั้น ไม่อนุญาตให้นำไปใช้ประโยชน์ด้านการค้า ไม่ว่าจะกรณีใดๆทั้งสิ้น อีกทั้งห้ามมิให้ตัดแปลงเนื้อหา และต้องอ้างอิงถึงเจ้าของเอกสารทุกครั้งที่มีการนำไปใช้

### 3.2 รูปแบบการกำเนิดสัญญาณพีดับเบิลยูเอ็ม เอช ซี ้ออปเปอร์ แบบอะซิงโครนัส (Asynchronous PWM AC Chopper)

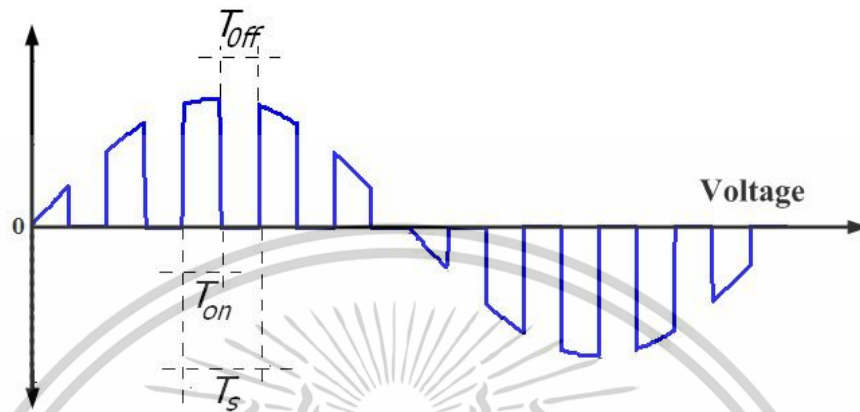
ในวงจรกำลังของสัญญาณพีดับเบิลยูเอ็ม เอช ซี ้ออปเปอร์ แบบอะซิงโครนัส (Asynchronous PWM AC Chopper) จะประกอบไปด้วยอุปกรณ์อิเล็กทรอนิกส์กำลังถูกนำมาต่อรวมกันแบบสวิตช์สองทิศทางโดยใช้ IGBT ต่อกับไดโอดเพื่อทำหน้าที่เป็นสวิตช์กำลังสองทิศทางทำให้กระแสไฟฟ้าสามารถไหลได้ทั้งสองทิศทาง ซึ่งสามารถควบคุมแรงดันที่ป้อนเข้ามอเตอร์ SPIM (Single Phase Induction Motor) โดยการปรับอัตราส่วนดิวตี้ของสัญญาณ PWM ที่ใช้ในการสลับการ เปิด-ปิด (ON-OFF) เพื่อสลับการทำงานของโดยสวิตช์ SW1 ทำหน้าที่ควบคุมการไหลของกำลังไฟฟ้าจากแหล่งจ่ายไปยังภาระซึ่งสามารถควบคุมได้ใช้ไชเคิลบวกและไชเคิลลบ และในขณะ SW2 ทำหน้าที่เสมือนฟรีวิลลิงไดโอดกล่าวคือทำให้แรงดันที่ตกคร่อมมอเตอร์ในแต่ละสภาวะลดลงเป็นศูนย์ หลังจากนั้นพลังงานที่มอเตอร์เก็บสะสมไว้ในรูปของสนามแม่เหล็กหรือในช่วง SW2 ทำงานในสภาวะ ON จะถูกคายพลังงานผ่าน SW2 นั้นหมายถึง SW1 ทำงานสลับกันกับ SW2 ตลอดเวลา โดยสัญญาณที่สร้างขึ้นนี้ต้องการสัญญาณอ้างอิงแรงดันหนึ่งเฟส เนื่องจากสัญญาณดังกล่าวไม่จำเป็นต้องซิงโครไนซ์กับสัญญาณของแหล่งจ่ายหนึ่งเฟส นั้นทำให้การสร้างสัญญาณ PWM สามารถสร้างได้ง่ายเมื่อเปรียบเทียบกับวิธีการเดิม ในวิทยานิพนธ์นี้จึงจะเรียกว่าสัญญาณควบคุมว่า สัญญาณพีดับเบิลยูเอ็ม เอช ซี ้ออปเปอร์ แบบอะซิงโครนัส (Asynchronous PWM AC Chopper) แสดงดังรูปที่ 3.2 และจะแสดงรูปแบบสัญญาณโดยเทคนิคในการควบคุมลูกคลื่นแรงดันและกระแส ดังแสดงไว้ในรูปที่ 3.3 ซึ่งแสดงให้เห็นลูกคลื่นแรงดันและกระแสที่ได้จากแบบจำลองเมื่อทำการปรับอัตราส่วนดิวตี้ ดังแสดงไว้ในรูปที่ 3.4, 3.5 และ 3.6



รูปที่ 3.2 วงจรกำลังของสัญญาณพีดับเบิลยูเอ็ม เอช ซี ้ออปเปอร์ แบบอะซิงโครนัส (Asynchronous PWM AC Chopper)

เอกสารนี้เป็นเอกสารที่สงวนไว้สำหรับการใช้งานเพื่อการศึกษาเท่านั้น ไม่อนุญาตให้นำไปใช้ประโยชน์ด้านการค้า ไม่ว่าจะกรณีใดๆทั้งสิ้น อีกทั้งห้ามมิให้ดัดแปลงเนื้อหา และต้องอ้างอิงถึงเจ้าของเอกสารทุกครั้งที่มีการนำไปใช้

ในขณะที่รูปคลื่นแรงดันที่ขั้วมอเตอร์ต่อเฟสและฟังก์ชันของสัญญาณ PWM แสดงดังรูปที่ 3.2 ซึ่งแรงดันที่ขั้วมอเตอร์สามารถคำนวณได้จากผลคูณระหว่างแรงดันของแหล่งจ่ายกับฟังก์ชันของสัญญาณ PWM โดยที่ฟังก์ชันดังกล่าวสามารถคำนวณได้จากสมการที่ 3.1



รูปที่ 3.3 รูปคลื่นแรงดันที่ขั้วมอเตอร์ที่ขับเคลื่อนด้วยเบิ้ลยูเอ็ม เอช ซี ขั้วมอเตอร์ แบบอะซิงโครนัส (Asynchronous PWM AC Chopper)

เมื่อ  $D$  คือดีวตีไซเคิล (Duty cycle) ซึ่งแสดงไว้ใน (3.1)

$$f_{PWM}(t) = a_0 + \sum_{n=1}^{\infty} (a_n \cos n\omega_c t + b_n \sin n\omega_c t) \quad (3.1)$$

เมื่อ  $a_0$  = องค์ประกอบไฟตรง

$a_n, b_n$  = องค์ประกอบฟูรีเยร์

$n$  = อันดับฮาร์มอนิก

$\omega_c$  = ความถี่เชิงมุมของสัญญาณพาหะ

โดยที่  $a_0, a_n$  และ  $b_n$  หาได้จากสมการที่ 3.2, 3.3 และ 3.4 ตามลำดับ

$$a_0 = \frac{T_{on}}{T_s} = \frac{T_{on}}{T_{on} + T_{off}} = \frac{V_{cont}}{V_{tri}} = D \quad (3.2)$$

$$a_n = \frac{1}{n\pi} \sin(2n\pi D) \quad (3.3)$$

$$b_n = -\frac{1}{n\pi} [1 + \cos(2n\pi D)] \quad (3.4)$$

เอกสารนี้เป็นเอกสารที่สงวนไว้สำหรับการใช้งานเพื่อการศึกษาเท่านั้น ไม่อนุญาตให้นำไปใช้ประโยชน์ด้านการค้า ไม่ว่าจะกรณีใดๆทั้งสิ้น อีกทั้งห้ามมิให้ดัดแปลงเนื้อหา และต้องอ้างอิงถึงเจ้าของเอกสารทุกครั้งที่มีการนำไปใช้

เมื่อ $t_{on}$	=	คาบเวลาสวิตช์ ON
$t_{off}$	=	คาบเวลาสวิตช์ OFF
$T_s$	=	คาบเวลาสวิตช์ซึ่ง
$V_{cont}$	=	แอมพลิจูดของสัญญาณแรงดันควบคุม
$V_{tri}$	=	แอมพลิจูดของสัญญาณแรงดันพาหะ
$D$	=	ค่าดิวตี้เรโซ

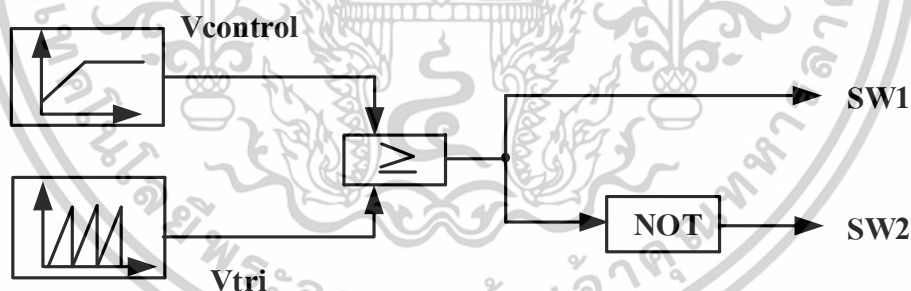
ดังนั้นแรงดันช็อบเปอร์ต่อเฟสที่จ่ายให้กับมอเตอร์สามารถเขียนได้ดังสมการที่ 3.5

$$v_M(t) = v_S(t) \cdot f_{PWM}(t) = V_m \sin \omega_t \cdot f_{PWM}(t) \quad (3.5)$$

แทนสมการที่ 3.1 ลงในสมการที่ 3.5 จะได้สมการที่ 3.6

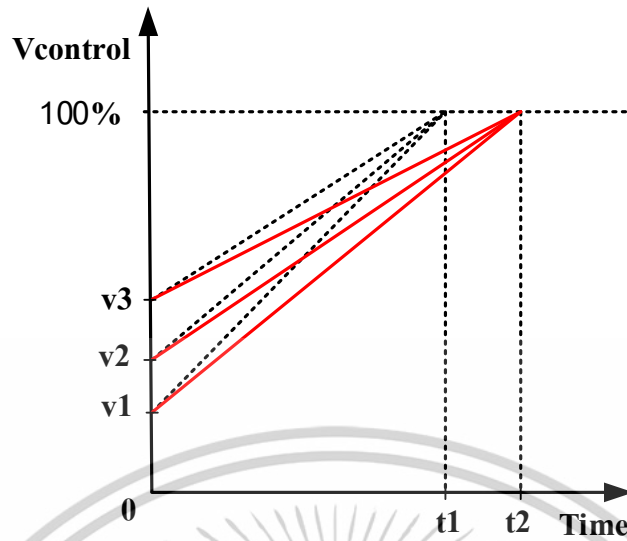
$$v_M(t) = a_o V_m \sin \omega_t + \sum_{n=1}^{\infty} [a_n V_m (\cos n \omega_c t \cdot \sin \omega_t) + b_n V_m (\sin n \omega_c t \cdot \sin \omega_t)] \quad (3.6)$$

$$V_{M1} = a_o V_m \sin \omega_t = D \cdot V_m \sin \omega_t \quad (3.7)$$

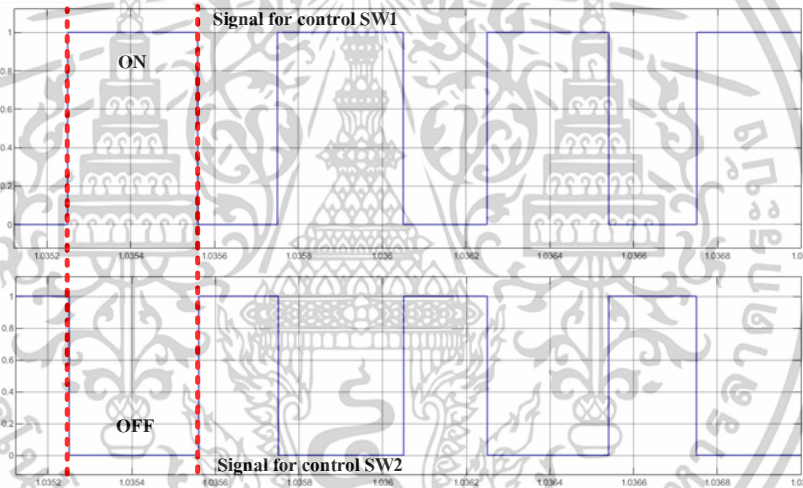


รูปที่ 3.4 ลูกคลื่นกำหนดสัญญาณพีดับเบิลยูเอ็มแบบอะซิงโครนัส (Asynchronous PWM)

เอกสารนี้เป็นเอกสารที่สงวนไว้สำหรับการใช้งานเพื่อการศึกษาเท่านั้น ไม่อนุญาตให้นำไปใช้ประโยชน์ด้านการค้า  
ไม่ว่ากรณีใดๆทั้งสิ้น อีกทั้งห้ามมิให้ตัดแปลงเนื้อหา และต้องอ้างอิงถึงเจ้าของเอกสารทุกครั้งที่มีการนำไปใช้



รูปที่ 3.5 ลูกคลื่นสัญญาณแรงดันควบคุมที่ถูกปรับขนาดให้เพิ่มขึ้นแบบเชิงเส้นตามแกนเวลา



รูปที่ 3.6 ลูกคลื่นสัญญาณ PWM ที่ถูกปรับค่า D ตามแกนเวลาแบบเชิงเส้นเพื่อควบคุมสวิตช์

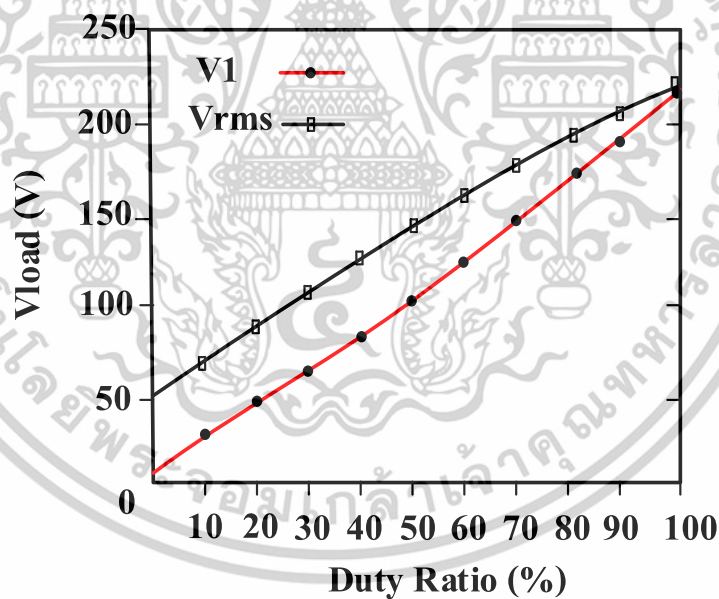
สองทิศทาง

ในบทความวิจัยนี้จะใช้ความถี่สูงที่ควบคุมสัญญาณ PWM คือ 2 kHz เพื่อใช้สำหรับการสวิตช์กำลัง IGBT ที่ใช้กับ Asynchronous PWM AC Chopper ในการควบคุมมอเตอร์เหนี่ยวนำหนึ่งเฟสชนิดตัวประจุสตาร์ขนาด 0.5 แรงม้า 230 โวลต์ 4.3 แอมป์ 50 เฮิร์ตซ์ 4 ขั้ว สำหรับการควบคุมสัญญาณ PWM ที่ใช้ความถี่สูงมากหรือน้อยกว่า 2 kHz ในทางปฏิบัติงานวิจัยนั้นจะส่งผลกระทบต่อความร้อนสะสม ค่าความสูญเสียเพราะโมดูลของ IGBT ที่จะนำมาใช้ในงานวิจัยที่ต้องการนั้นต้องดูค่าของข้อมูลด้านเฉพาะเช่น กระแสหรือค่าแรงดันสูงสุดที่สามารถทนขีดจำกัดอื่นๆและลักษณะของการนำไปใช้กับชนิดของโหลดที่เหมาะสม

เอกสารนี้เป็นเอกสารที่สงวนไว้สำหรับการใช้งานเพื่อการศึกษาเท่านั้น ไม่อนุญาตให้นำไปใช้ประโยชน์ด้านการค้าไม่ว่ากรณีใดๆทั้งสิ้น อีกทั้งห้ามมิให้ดัดแปลงเนื้อหา และต้องอ้างอิงถึงเจ้าของเอกสารทุกครั้งที่มีการนำไปใช้

### 3.3 การกำหนดแรงดันเริ่มต้นให้กับวงจรการเริ่มหมุนแบบนิมนวลด้วยพีดับเบิลยูเอ็มเอช ซี อีซี ซี อีซี แบบอะซิงโครนัส (Asynchronous PWM AC Chopper Soft Starter :PWMSS)

ในการกำหนดแรงดันเริ่มต้นให้กับวงจร PWMSS สามารถกำหนดได้โดยไม่ต้องคำนึงถึงภาระนั้นคือไม่ว่าภาระเป็นชนิดใดก็ตามค่าแรงดันที่ความถี่หลักมูลฐานจะแปรผันตามค่าดิวิตรีโอ D ตามสมการ 4.7 ดังนั้นวิธีการ PWMSS สามารถปรับขนาดแรงดันได้เป็นเชิงเส้นซึ่งสะดวกและง่ายกว่าวิธีการ PCSS โดยเมื่อหากนำค่าอิมพีแดนซ์เท่าเทียมของมอเตอร์ขณะอยู่กับที่นำไปจำลองโดยใช้โปรแกรม MATLAB/Simulink Version R2024a แล้วทำการปรับค่าดิวิตรีโอ D เพื่อหาค่าแรงดันที่ภาระหลังจากนั้นเมื่อนำค่ามาพล็อตกราฟจะความสัมพันธ์ระหว่างค่าดิวิตรีโอ D กับค่าแรงดันที่ตกคร่อมอิมพีแดนซ์เท่าเทียมของมอเตอร์สามารถแสดงได้ดังรูปที่ 3.7 ซึ่งเมื่อพิจารณาที่แรงดันเริ่มต้นตามงานวิจัยนี้ที่ค่าดิวิตรีโอ D เท่ากับ 10%, 20% และ 30% ของแรงดันที่พิกัดทำให้ได้ค่าแรงดันเท่ากับ 30 โวลต์, 48 โวลต์ และ 62 โวลต์ ตามลำดับ ดังนั้นกราฟสัญญาณที่ควบคุมด้วยวิธี PWMSS ที่ได้นำเสนอแสดงในรูปที่ 3.5 ซึ่งได้จากการกำหนดค่าความชันของกราฟตามสมการที่ 3.5 ซึ่งเหมือนกับวิธีการของ PCSS แต่จะมีค่าความชันโดยวิธีนี้เป็นบวกในขณะที่วิธีการ PCSS เป็นลบ

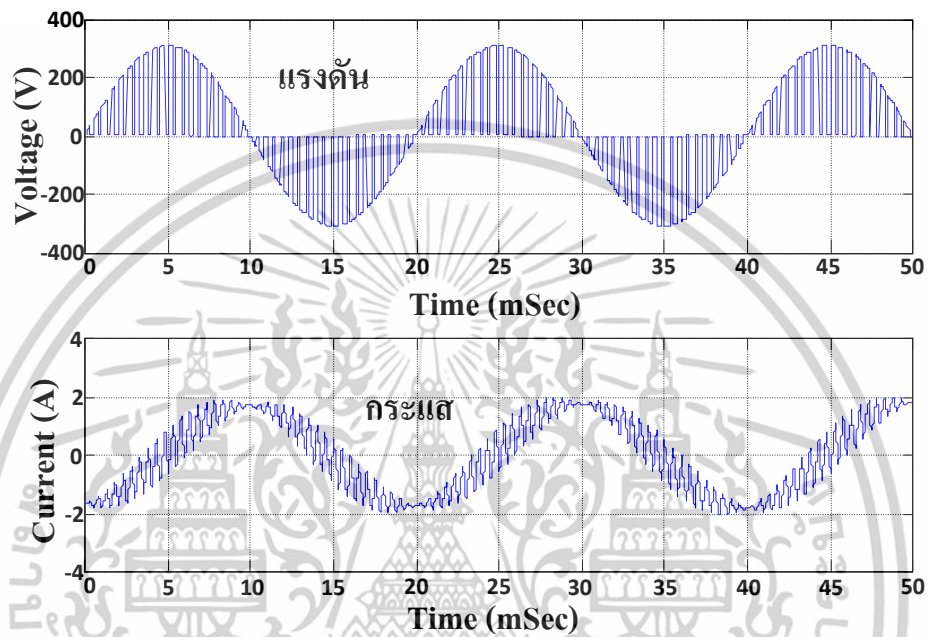


รูปที่ 3.7 กราฟความสัมพันธ์ระหว่างค่าดิวิตรีโอ D และค่าแรงดันที่ภาระ

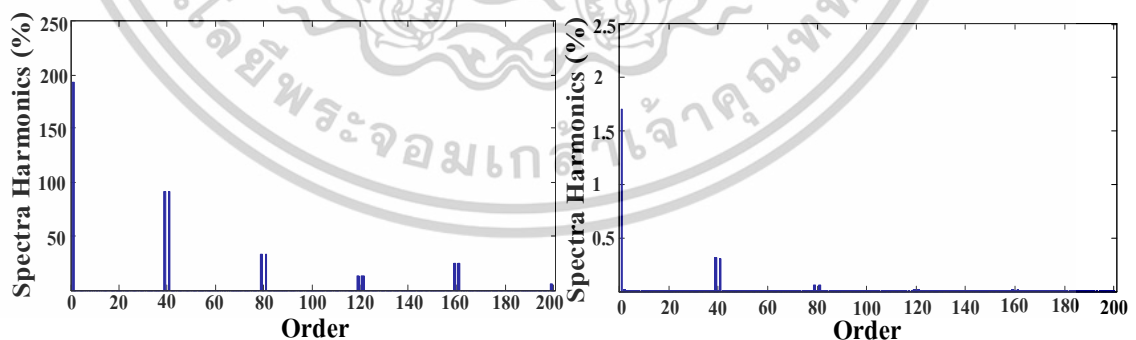
ด้วยวิธีการที่ได้นำเสนอเมื่อทำการจำลองโดยใช้โปรแกรม MATLAB/Simulink Version R2024a ทำให้ได้รูปคลื่นแรงดันไลน์ของมอเตอร์และกระแสของมอเตอร์ดังได้แสดงในรูปที่ 3.8 ซึ่งจะพบว่ารูปคลื่นแรงดันไลน์ของมอเตอร์เป็นลักษณะรูปคลื่นไซน์ที่ถูกซิป เมื่อนำไปพล็อตสเปคตรัมทำให้เห็นองค์ประกอบของฮาร์โมนิกอันดับสูงตามความถี่สวิทช์ซึ่งแสดงในรูปที่ 3.9 และในขณะที่

เอกสารนี้เป็นเอกสารที่สงวนไว้สำหรับการใช้งานเพื่อการศึกษาเท่านั้น ไม่อนุญาตให้นำไปใช้ประโยชน์ด้านการค้าไม่ว่ากรณีใดๆทั้งสิ้น อีกทั้งห้ามมิให้ตัดแปลงเนื้อหา และต้องอ้างอิงถึงเจ้าของเอกสารทุกครั้งที่มีการนำไปใช้

รูปคลื่นกระแสนั้นจะเข้าไปใกล้รูปคลื่นไซน์ซึ่งเมื่อนำไปพล็อตสเปกตรัมพบว่ามอดูลัสประกอบของฮาร์มอนิกอันดับสูงตามความถี่สวิทซ์ซิ่งเช่นเดียวกัน ซึ่งจะมีลักษณะความสัมพันธ์กันทั้งรูปคลื่นแรงดันไลน์ของมอเตอร์และกระแสของมอเตอร์ และรูปสเปกตรัมของแรงดันไลน์ของมอเตอร์และกระแสของมอเตอร์ที่มีมอดูลัสประกอบของฮาร์มอนิกอันดับสูงตามความถี่สวิทซ์ซิ่งและความถี่หลักมูลฐานนั่นเอง

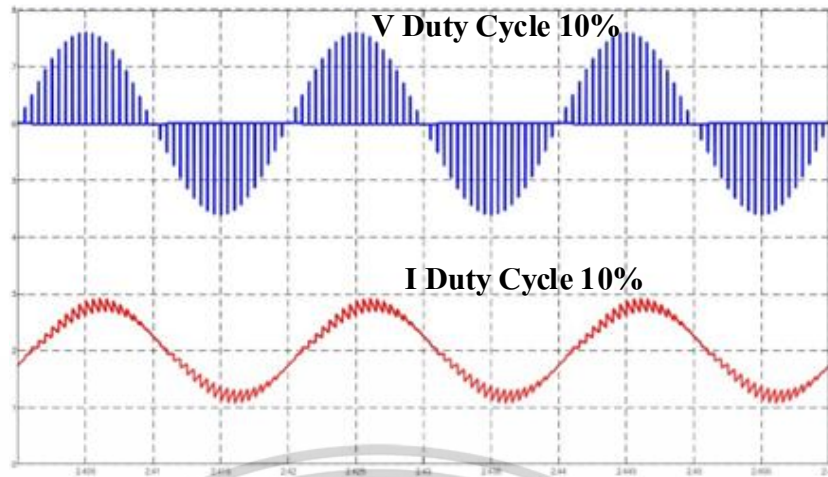


รูปที่ 3.8 รูปคลื่นแรงดันไลน์ของมอเตอร์ด้านบนและกระแสของมอเตอร์ด้านล่างที่ได้จากการจำลองด้วยวิธีการที่นำเสนอ

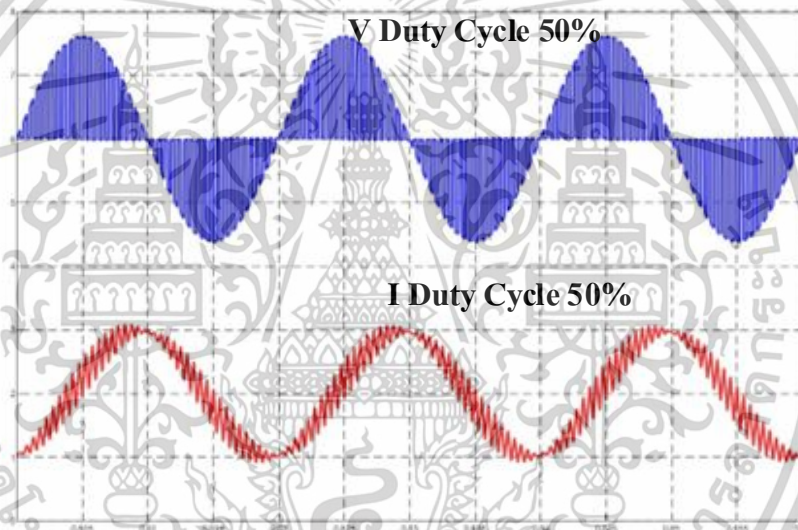


รูปที่ 3.9 รูปสเปกตรัมของแรงดันไลน์ของมอเตอร์ด้านซ้ายและกระแสของมอเตอร์ด้านขวาที่ได้จากการจำลองด้วยวิธีการที่นำเสนอ

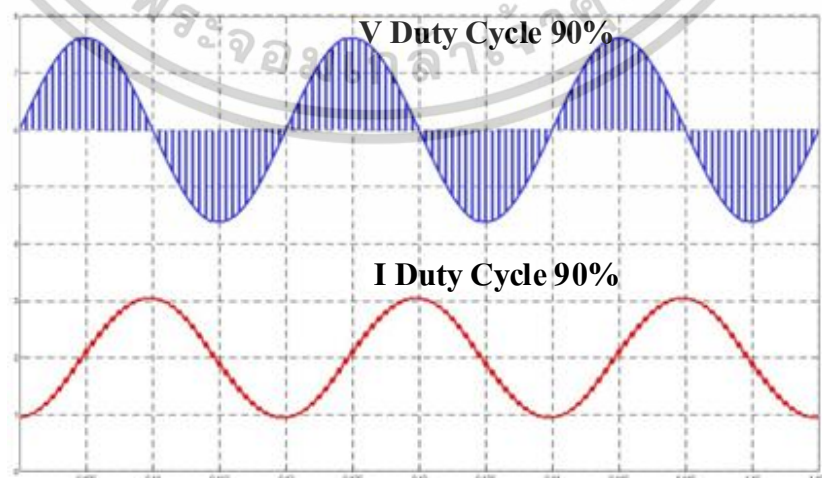
เอกสารนี้เป็นเอกสารที่สงวนไว้สำหรับการใช้งานเพื่อการศึกษาเท่านั้น ไม่อนุญาตให้นำไปใช้ประโยชน์ด้านการค้าไม่ว่ากรณีใดๆทั้งสิ้น อีกทั้งห้ามมิให้ดัดแปลงเนื้อหา และต้องอ้างอิงถึงเจ้าของเอกสารทุกครั้งที่มีการนำไปใช้



รูปที่ 3.10 ลูกคลื่นแรงดันและกระแสของมอเตอร์ที่ค่าตัวตีไซเคิล  $D=10\%$



รูปที่ 3.11 ลูกคลื่นแรงดันและกระแสของมอเตอร์ที่ค่าตัวตีไซเคิล  $D=50\%$



รูปที่ 3.12 ลูกคลื่นแรงดันและกระแสของมอเตอร์ที่ค่าตัวตีไซเคิล  $D=90\%$

เอกสารนี้เป็นเอกสารที่สงวนลิขสิทธิ์ไว้เพื่อการศึกษาเท่านั้น เมื่ออนุญาตให้เผยแพร่ไปยังกระดานข่าววิชาการ  
ไม่ว่ากรณีใดๆทั้งสิ้น อีกทั้งห้ามมิให้ตัดแปลงเนื้อหา และต้องอ้างอิงถึงเจ้าของเอกสารทุกครั้งที่มีการนำไปใช้

ถ้าแรงดันที่ป้อนเข้าวงจรกำลังของ PWM AC Chopper และ ( $V_s$ ) จะแสดงไว้ใน (3.8)

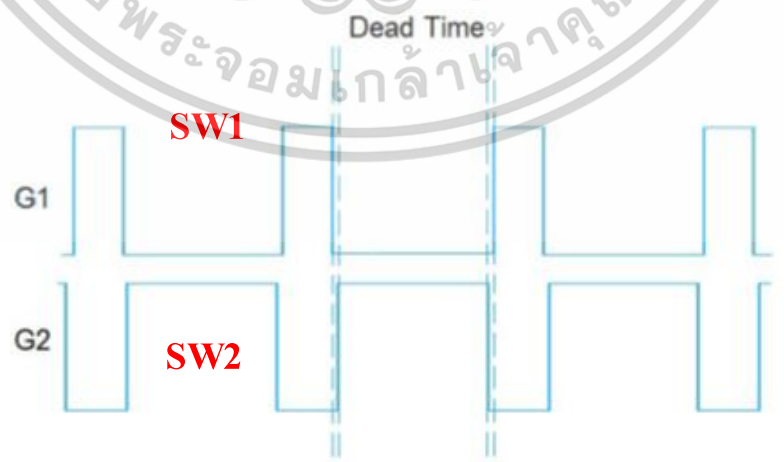
$$V_s(t) = V_{sm} \sin(\omega t) \quad (3.8)$$

เมื่อ  $\omega$  และ  $V_{sm}$  คือ ความถี่เชิงมุมและค่าสูงสุดของแรงดันป้อนเข้าฟังก์ชันในการสับสวิตช์  $F(t)$  แสดงให้เห็นใน (3.9) ในเทอมของ  $\omega_c$  (ความถี่ในการสับสวิตช์) และ  $D$  (ดิวตี้ไซเคิล) และ ลำดับของฮาร์มอนิกไซน์ (3.9) ซึ่งอยู่ในรูปของอนุกรมฟูรีเยร์ (Fourier Series) แรงดันขาออกของ วงจรเอชซี ซีออปเปอร์ ที่เกิดขึ้นฉับพลัน  $V_m(t)$  จะได้จากผลคูณของฟังก์ชันในการสับสวิตช์กับแรงดัน ขาเข้าใน (3.10)

$$F(t) = D + \sum_{n=1}^{\infty} \frac{2 \sin nD\pi}{n\pi} \sin(n\omega_c t) \quad (3.9)$$

$$V_m(t) = F(t)V_s(t) \quad (3.10)$$

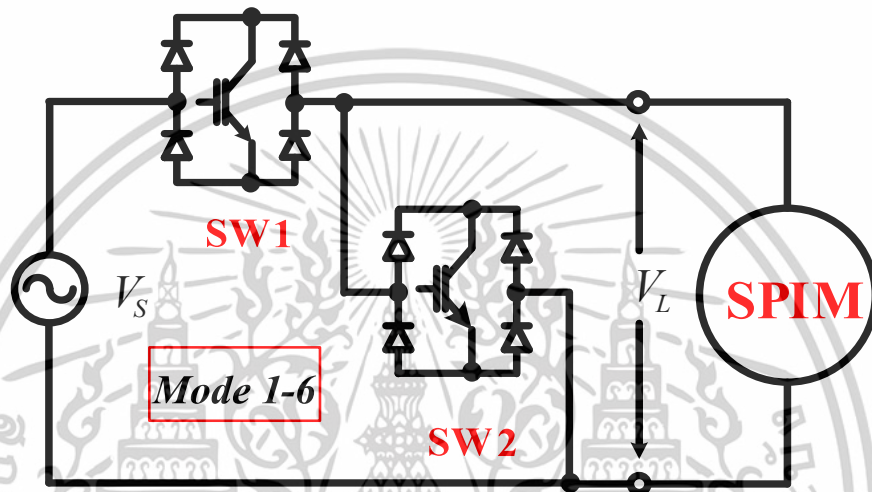
สัญญาณที่ใช้ในการขับเคลื่อนของ SW1 และ SW2 จะแสดงไว้ดังรูป 3.13 ซึ่งจะทำให้ SW1 และ SW2 สลับกันทำงานในขณะที่ SW1 สวิตช์ ON, SW2 จะต้อง OFF และ SW1 สวิตช์ OFF, SW2 จะต้อง ON โดยทั่วไปแล้ว วงจรเอชซี ซีออปเปอร์ แบบอะซิงโครนัส (Asynchronous AC Chopper) จะไม่ จำเป็นต้องสร้างวงจรตรวจจับผ่านศูนย์ (Zero Crossing) แต่ยังคงต้องมีการปรับแต่งวงจรโดยการใส่ ค่าเผื่อเวลาหรือวงจรประวิงเวลา (Dead Time) เพื่อมิให้เกิดความเสียหายกับอุปกรณ์เพาเวอร์สวิตช์ ซึ่ง โดยสัญญาณ G1 นำไปขับเคลื่อนของ SW1 และสัญญาณ G2 จะนำไปขับเคลื่อนของ SW2



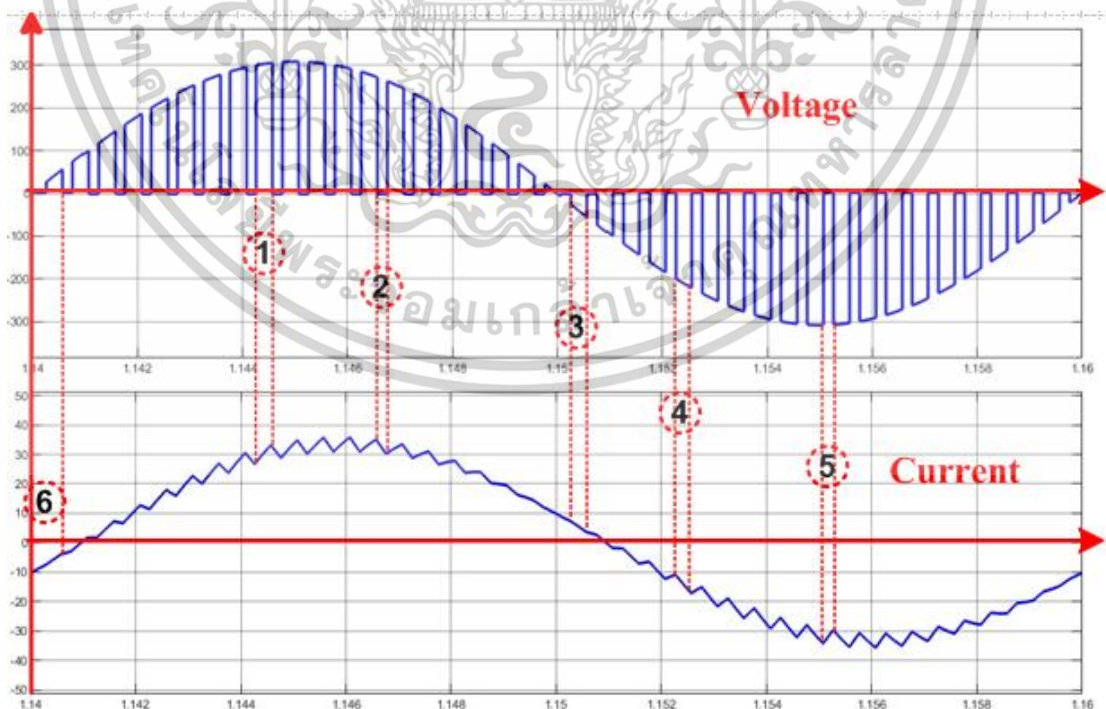
รูปที่ 3.13 รูปคลื่นสัญญาณ PWM สำหรับการควบคุมสวิตช์ SW1-SW2

เอกสารนี้เป็นเอกสารที่สงวนไว้สำหรับการใช้งานเพื่อการศึกษาเท่านั้น ไม่อนุญาตให้นำไปใช้ประโยชน์ด้านการค้า ไม่ว่าจะกรณีใดๆทั้งสิ้น อีกทั้งห้ามมิให้ดัดแปลงเนื้อหา และต้องอ้างอิงถึงเจ้าของเอกสารทุกครั้งที่มีการนำไปใช้

การทำงานของคลื่นแรงดันและกระแสเอาต์พุตพีดับเบิลยูเอ็ม เอช ซี ซ็อบเปอร์ แบบอะซิงโครนัส (Asynchronous PWM AC Chopper) ในสภาวะการทำงานแต่ละโหมดก็ยังคงใช้ที่ความถี่สูงแรงดันไฟฟ้าอินพุตจะถูกตัดเป็นช่วง (Chop) ตามสัญญาณคลื่นพีดับเบิลยูเอ็ม เอช ซี ซ็อบเปอร์ ทำให้ค่าแรงดันเอาต์พุตลดลงตาม ส่งผลทำให้ค่าแรงดันเอาต์พุตลดลงตามอัตราส่วนของช่วงเวลาของการนำกระแสต่อคาบเวลาของการนำกระแสต่อค่าเวลาของการ Switching โดยการทำงานของวงจรกำลังของสัญญาณพีดับเบิลยูเอ็ม เอช ซี ซ็อบเปอร์ แบบอะซิงโครนัส (Asynchronous PWM AC Chopper) สามารถแบ่งเป็น 6 โหมดดังนี้

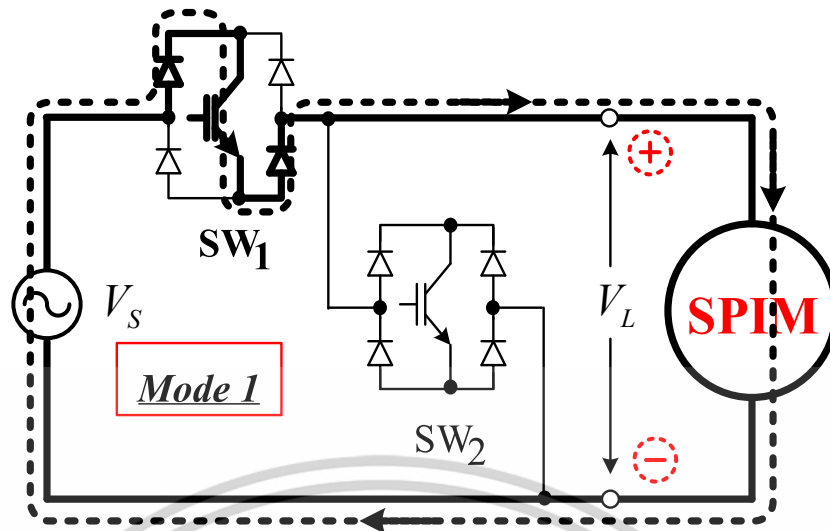


รูปที่ 3.14 วงจรกำลังของสัญญาณพีดับเบิลยูเอ็ม เอช ซี ซ็อบเปอร์ แบบอะซิงโครนัส (Asynchronous PWM AC Chopper)



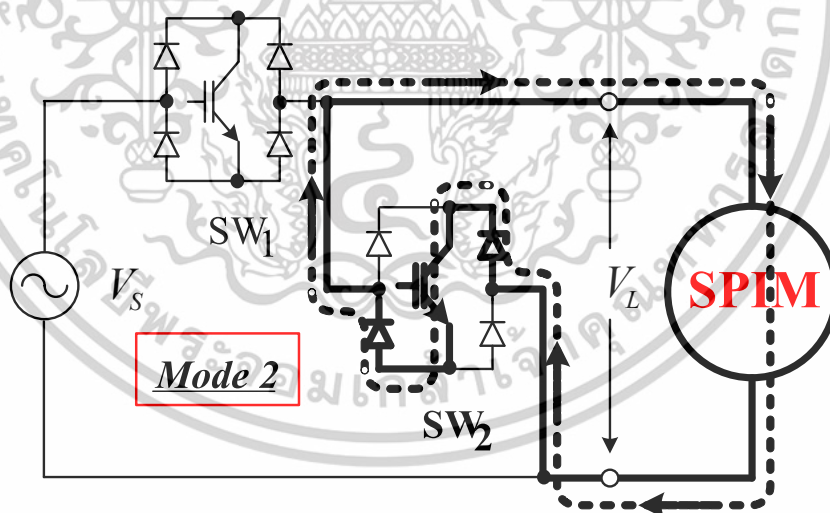
รูปที่ 3.15 รูปคลื่นแรงดันและกระแสเอาต์พุตพีดับเบิลยูเอ็ม เอช ซี ซ็อบเปอร์ แบบอะซิงโครนัส

(Asynchronous PWM AC Chopper) ในสภาวะการทำงานแต่ละโหมด เอกสารนี้เป็นเอกสารที่สงวนไว้สำหรับการใช้งานเพื่อการศึกษาเท่านั้น ไม่อนุญาตให้นำไปเผยแพร่โดยไม่ได้รับอนุญาต ไม่ว่าจะกรณีใดๆทั้งสิ้น อีกทั้งห้ามมิให้ตัดแปลงเนื้อหา และต้องอ้างอิงถึงเจ้าของเอกสารทุกครั้งที่มีการนำไปใช้



รูปที่ 3.16 การทำงานโหมด 1 คือกระแสเป็นบวกและแรงดันเป็นบวก  $I_L(+)$ ,  $V_L(+)$  แหล่งจ่ายด้านบวกพลังงานให้กับมอเตอร์โหมด 1 และ โหมด 4 ทำงานตรงกันข้ามกัน

**โหมดที่ 1 (Powering Mode)** : SW1 อยู่ในสภาวะ ON และ SW2 อยู่ในสภาวะ OFF โดยโหมดนี้เรียกว่าโหมดจ่ายกำลังไฟฟ้าไซเคิลบวก โดยแรงดันที่ตกคร่อมมอเตอร์เป็นบวก  $V_L(+)$  และกระแสเป็นบวก  $I_L(+)$  ซึ่งกระแสไหลจากแหล่งจ่ายผ่านไดโอด SW1 และมอเตอร์แล้วครบวงจรที่แหล่งจ่าย จึงทำให้กำลังในโหมดนี้เป็นบวก ทิศทางการไหลของกระแส ศักย์ของแรงดันและลักษณะของรูปคลื่นแรงดันและกระแส สามารถแสดงได้ดังรูปที่ 3.16 และ รูปที่ 3.15 ตามลำดับตำแหน่งที่ 1

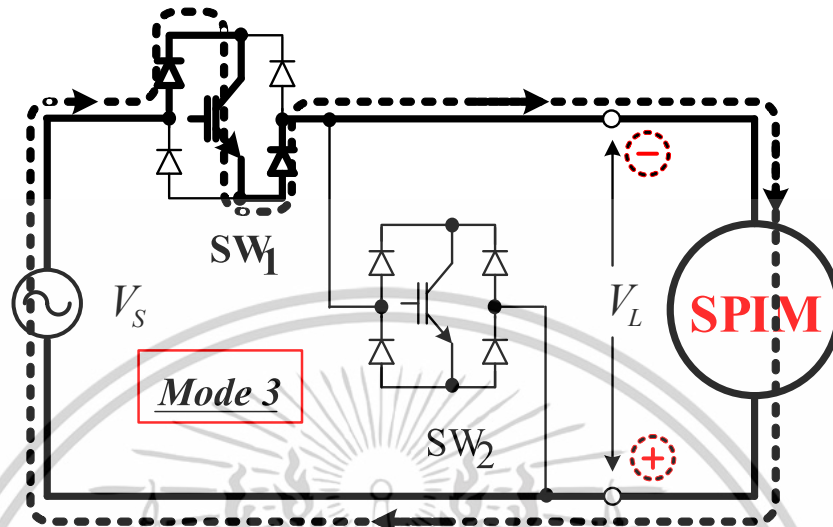


รูปที่ 3.17 การทำงานโหมด 2 คือกระแสเป็นบวกและแรงดันเป็นศูนย์  $I_L(+)$ ,  $V_L(0)$  มอเตอร์คืนกระแสเป็นบวกทางเดิมผ่านสวิตซ์ตัวที่ 2 โหมด 2 และ โหมด 5 ทำงานตรงกันข้ามกัน

**โหมดที่ 2 (Freewheeling Mode)** : SW1 อยู่ในสภาวะ OFF และ SW2 อยู่ในสภาวะ ON โดยโหมดนี้เรียกว่าโหมดฟรีวีลไซเคิลบวก โดยแรงดันที่ตกคร่อมมอเตอร์จะเป็นศูนย์  $V_L(0)$  ส่วนกระแสเป็นบวก  $I_L(+)$  ซึ่งกระแสจากโหมดที่ 1 จะค่อยๆ ลดลง โดยจะไหลผ่านไดโอด SW2 แล้วครบวงจรที่มอเตอร์ ทั้งนี้เนื่องจากคุณสมบัติของมอเตอร์ที่กระแสนี้ยังคงไหลในทิศทางเดิมถึงแม้ว่าไม่ได้รับ

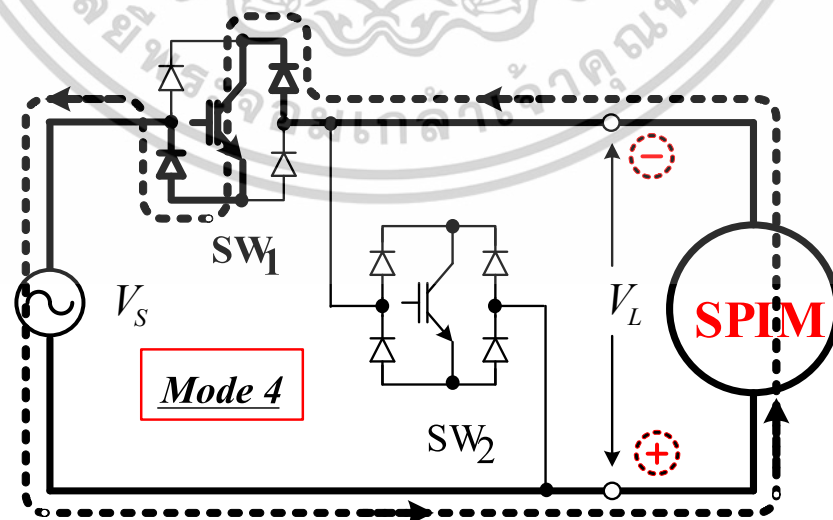
เอกสารนี้เป็นเอกสารที่สงวนไว้สำหรับการใช้งานเพื่อการศึกษาเท่านั้น ไม่อนุญาตให้นำไปใช้ประโยชน์ด้านการค้า ไม่ว่าจะกรณีใดๆทั้งสิ้น อีกทั้งห้ามมิให้ดัดแปลงเนื้อหา และต้องอ้างอิงถึงเจ้าของเอกสารทุกครั้งที่มีการนำไปใช้

พลังงานจากแหล่งจ่ายก็ตาม จึงทำให้กำลังในโหมดนี้เป็นศูนย์ ทิศทางการไหลของกระแส ศักย์ของแรงดันและลักษณะของรูปคลื่นแรงดันและกระแส สามารถแสดงได้ดังรูปที่ 3.17 และ รูปที่ 3.15 ตามลำดับตำแหน่งที่ 2



รูปที่ 3.18 การทำงานโหมด 3 คือกระแสเป็นบวกและแรงดันเป็นลบ  $IL(+)$ ,  $VL(-)$  แหล่งจ่ายคืนแรงดันเป็นลบให้กับมอเตอร์ผ่านสวิตช์ตัวที่ 1 โหมด 3 และ โหมด 6 ทำงานตรงกันข้ามกัน

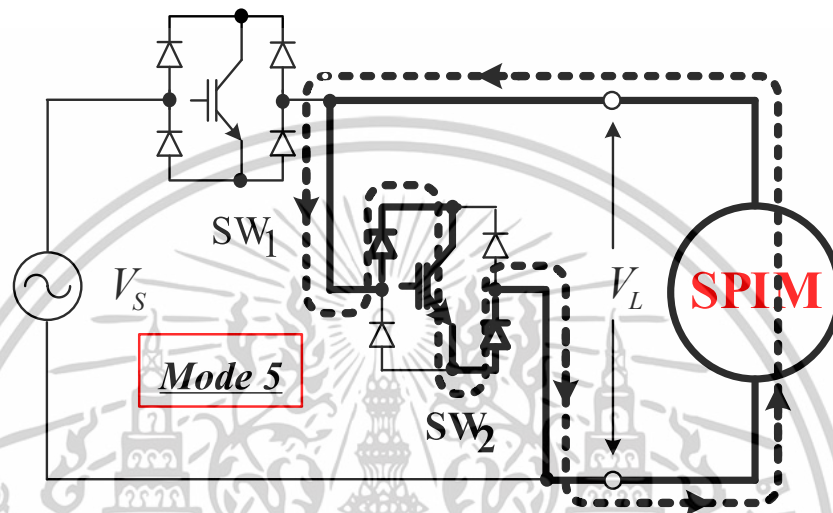
**โหมดที่ 3 (Regenerative Mode) :** SW1 อยู่ในสภาวะ ON และ SW2 อยู่ในสภาวะ OFF โดยโหมดนี้เรียกว่าโหมดรีเจนเนอเรทีฟไซเคิลบวก โดยแรงดันที่ตกคร่อมมอเตอร์จะเป็นลบ  $VL(-)$  ส่วนกระแสเป็นบวก  $IL(+)$  ซึ่งกระแสไหลจากแหล่งจ่ายผ่านไดโอด SW1 และมอเตอร์ แล้วครบวงจรที่แหล่งจ่าย ทั้งนี้เนื่องจากคุณสมบัติของมอเตอร์จะทำให้กระแสล้าหลังแรงดัน โดยที่ถึงแม้ว่าแรงดันจะเริ่มกลับสัญญาณไปอยู่ในไซเคิลลบแล้วแต่กระแสนิ่งอยู่ในไซเคิลบวก จึงทำให้กำลังไฟฟ้าในโหมดนี้เป็นลบ ทิศทางการไหลของกระแส ศักย์ของแรงดันและลักษณะของรูปคลื่นแรงดันและกระแส สามารถแสดงได้ดังรูปที่ 3.18 และ รูปที่ 3.15 ตามลำดับตำแหน่งที่ 3



รูปที่ 3.19 การทำงานโหมด 4 คือกระแสเป็นลบและแรงดันเป็นลบ  $IL(-)$ ,  $VL(-)$  แหล่งจ่ายพลังงาน

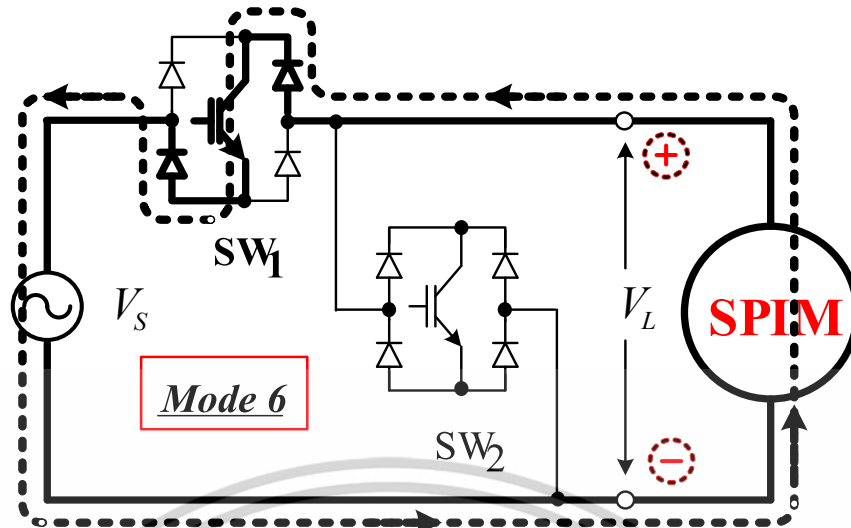
ด้านลบให้กับมอเตอร์โหมด 4 และ โหมด 1 ทำงานตรงกันข้ามกัน เอกสารนี้เป็นเอกสารที่สงวนไว้สำหรับการใช้งานเพื่อการศึกษาเท่านั้น เมื่อนำไปใช้ประโยชน์ด้านการค้า ไม่ว่าจะกรณีใดๆทั้งสิ้น อีกทั้งห้ามมิให้ดัดแปลงเนื้อหา และต้องอ้างอิงถึงเจ้าของเอกสารทุกครั้งที่มีการนำไปใช้

**โหมดที่ 4 (Powering Mode) :** SW1 อยู่ในสภาวะ ON และ SW2 อยู่ในสภาวะ OFF โดยโหมดนี้เรียกว่าโหมดจ่ายกำลังไฟฟ้าไซเคิลบ โดยแรงดันที่ตกคร่อมมอเตอร์เป็นบวก  $V_L(-)$  และกระแสเป็นลบ  $I_L(-)$  ซึ่งกระแสไหลจากแหล่งจ่ายผ่านมอเตอร์ ไดโอด และ SW1 แล้วครบวงจรที่แหล่งจ่าย จึงทำให้กำลังในโหมดนี้เป็นบวก ทิศทางการไหลของกระแส ศักย์ของแรงดันและลักษณะของรูปคลื่นแรงดันและกระแส สามารถแสดงได้ดังรูปที่ 3.19 และ รูปที่ 3.15 ตามลำดับตำแหน่งที่ 4



รูปที่ 3.20 การทำงานโหมด 5 คือกระแสเป็นลบและแรงดันเป็นศูนย์  $I_L(-)$ ,  $V_L(0)$  มอเตอร์กินกระแสเป็นลบทางตรงกันข้ามผ่านสวิตช์ตัวที่ 2 โหมด 5 และ โหมด 2 ทำงานตรงกันข้ามกัน

**โหมดที่ 5 (Freewheeling Mode) :** SW1 อยู่ในสภาวะ OFF และ SW2 อยู่ในสภาวะ ON โดยโหมดนี้เรียกว่าโหมดฟรีวีลไซเคิลบ โดยแรงดันที่ตกคร่อมมอเตอร์จะเป็นศูนย์  $V_L(0)$  ส่วนกระแสเป็นลบ  $I_L(-)$  ซึ่งกระแสจากโหมดที่ 4 จะค่อยๆ ลดลง โดยจะไหลผ่าน ไดโอด SW2 แล้วครบวงจรที่มอเตอร์ ทั้งนี้เนื่องจากคุณสมบัติของมอเตอร์ที่กระแสนิ่งคงไหลในทิศทางเดิมถึงแม้ว่าไม่ได้รับพลังงานจากแหล่งจ่ายก็ตาม จึงทำให้กำลังในโหมดนี้เป็นศูนย์ ทิศทางการไหลของกระแส ศักย์ของแรงดันและลักษณะของรูปคลื่นแรงดันและกระแส สามารถแสดงได้ดังรูปที่ 3.20 และ รูปที่ 3.15 ตามลำดับตำแหน่งที่ 5

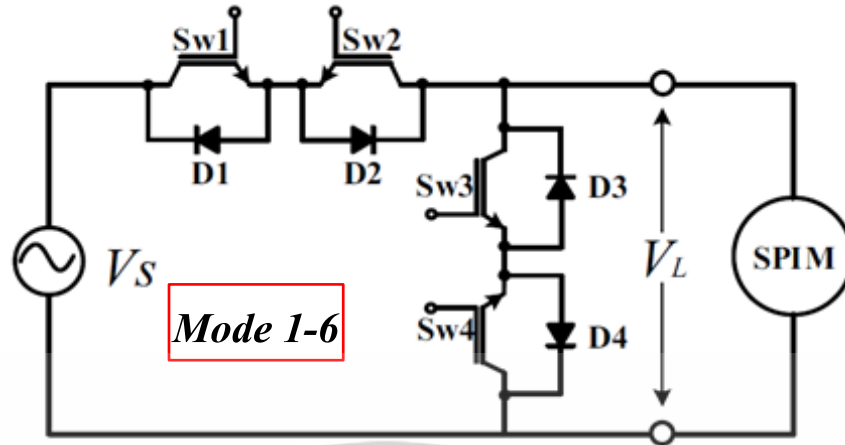


รูปที่ 3.21 การทำงานโหมด 6 คือกระแสเป็นลบและแรงดันเป็นบวก  $I_L(-)$ ,  $V_L(+)$  แหล่งจ่ายคืนแรงดันเป็นบวกให้กับมอเตอร์ผ่านสวิตช์ตัวที่ 1 โหมด 6 และ โหมด 3 ทำงานตรงกันข้ามกัน

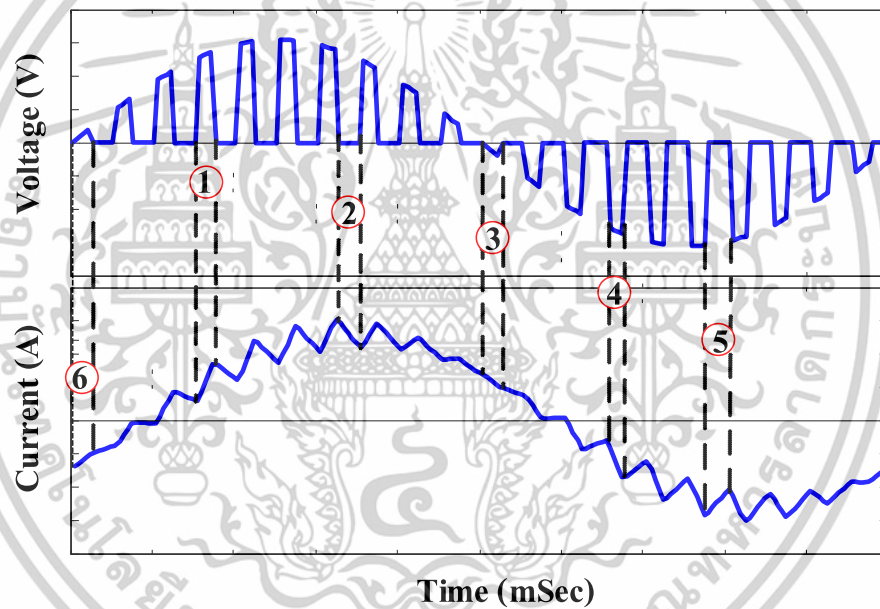
**โหมดที่ 6 (Regenerative Mode) :** SW1 อยู่ในสถานะ ON และ SW2 อยู่ในสถานะ OFF โดยโหมดนี้เรียกว่าโหมดรีเจนเนอเรทีฟไซเคิลบ โดยแรงดันที่ตกคร่อมมอเตอร์จะเป็นบวก  $V_L(+)$  ส่วนกระแสเป็นลบ  $I_L(-)$  ซึ่งกระแสไหลจากแหล่งจ่ายผ่านมอเตอร์ ไดโอด และ SW1 แล้วครบวงจรที่แหล่งจ่าย ทั้งนี้เนื่องจากคุณสมบัติของมอเตอร์จะทำให้กระแสล้าหลังแรงดัน โดยที่ถึงแม้ว่าแรงดันจะเริ่มกลับสัญญาณไปอยู่ในไซเคิลบวกแล้ว แต่กระแสยังอยู่ในไซเคิลลบ จึงทำให้กำลังไฟฟ้าในโหมดนี้เป็นลบทิศทางการไหลของกระแส ศักย์ของแรงดันและลักษณะของรูปคลื่นแรงดันและกระแสสามารถแสดงได้ดังรูปที่ 3.21 และ รูปที่ 3.15 ตามลำดับตำแหน่งที่ 6

### 3.4 สัญญาณพีดับเบิลยูเอ็ม เอช ซี อี ซี อี ซี อี ซี (Synchronous PWM AC Chopper)

การทำงานของคลื่นแรงดันและกระแสเอาต์พุตของพีดับเบิลยูเอ็ม เอช ซี อี ซี อี ซี อี ซี อี ซี (Synchronous PWM AC Chopper) ในสถานะการทำงานแต่ละโหมดก็ยังคงใช้ที่ความถี่สูงแรงดันไฟฟ้าอินพุตจะถูกตัดเป็นช่วง (Chop) ตามสัญญาณคลื่นพีดับเบิลยูเอ็ม เอช ซี อี ซี อี ซี อี ซี อี ซี ทำให้ค่าแรงดันเอาต์พุตลดลงตาม ทำให้ค่าแรงดันเอาต์พุตลดลงตามอัตราส่วนของช่วงเวลาของการนำกระแสต่อคาบเวลาของการนำกระแสต่อค่าเวลาของการ Switching โดยการทำงานของวงจรกำลังของสัญญาณพีดับเบิลยูเอ็ม เอช ซี อี ซี อี ซี อี ซี อี ซี อี ซี (Synchronous PWM AC Chopper) แสดงได้ดังรูปที่ 3.22 และ รูปที่ 3.23 สามารถแบ่งเป็น 6 โหมดดังนี้

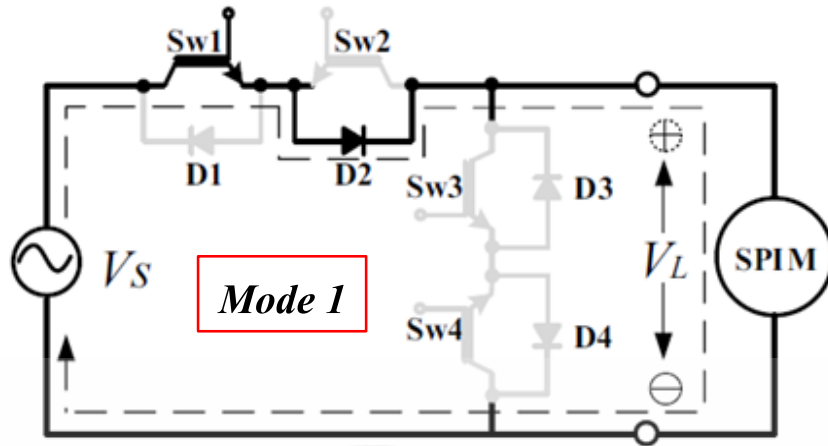


รูปที่ 3.22 วงจรกำลังของสัญญาณพีดับเบิ้ลยูเอ็ม เอซี ซีออปเปอร์ แบบซิงโครนัส (Synchronous PWM AC Chopper)



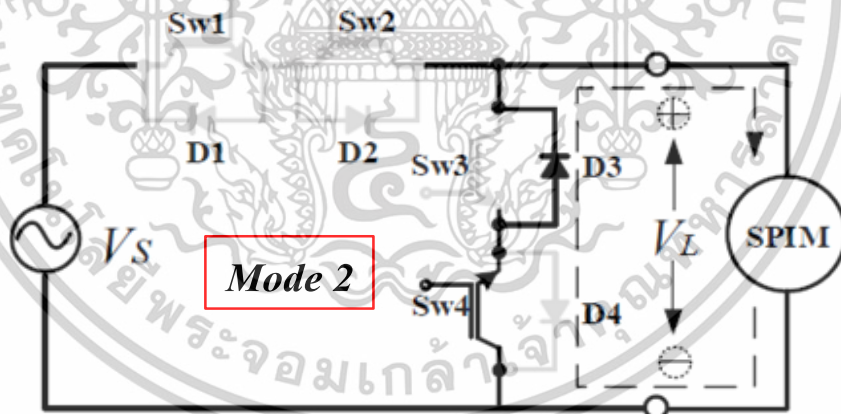
รูปที่ 3.23 รูปคลื่นแรงดันและกระแสเอาต์พุตของพีดับเบิ้ลยูเอ็ม เอซี ซีออปเปอร์ แบบซิงโครนัส (Synchronous PWM AC Chopper) ในสภาวะการทำงานแต่ละโหมด

เอกสารนี้เป็นเอกสารที่สงวนไว้สำหรับการใช้งานเพื่อการศึกษาเท่านั้น ไม่อนุญาตให้นำไปใช้ประโยชน์ด้านการค้า  
ไม่ว่ากรณีใดๆทั้งสิ้น อีกทั้งห้ามมิให้ดัดแปลงเนื้อหา และต้องอ้างอิงถึงเจ้าของเอกสารทุกครั้งที่มีการนำไปใช้



รูปที่ 3.24 การทำงานโหมด 1 คือกระแสเป็นบวกและแรงดันเป็นบวก  $IL(+)$ ,  $VL(+)$

**โหมดที่ 1 (Powering Mode) :** SW1 อยู่ในสถานะ ON และ SW2 อยู่ในสถานะ OFF และ SW3 อยู่ในสถานะ OFF และ SW4 อยู่ในสถานะ OFF โดยโหมดนี้เรียกว่าโหมดจ่ายกำลังไฟฟ้าไซเคิลบวก โดยแรงดันที่ตกคร่อมมอเตอร์เป็นบวก  $VL(+)$  และกระแสเป็นบวก  $IL(+)$  ซึ่งกระแสไหลจากแหล่งจ่ายผ่าน SW1 ไดโอด D2 และมอเตอร์ แล้วครบวงจรที่แหล่งจ่าย จึงทำให้กำลังในโหมดนี้เป็นบวกทิศทางการไหลของกระแส ศักย์ของแรงดันและลักษณะของรูปคลื่นแรงดันและกระแส สามารถแสดงได้ดังรูปที่ 3.24 และ รูปที่ 3.23 ตำแหน่งวงกลมเลขที่ 1

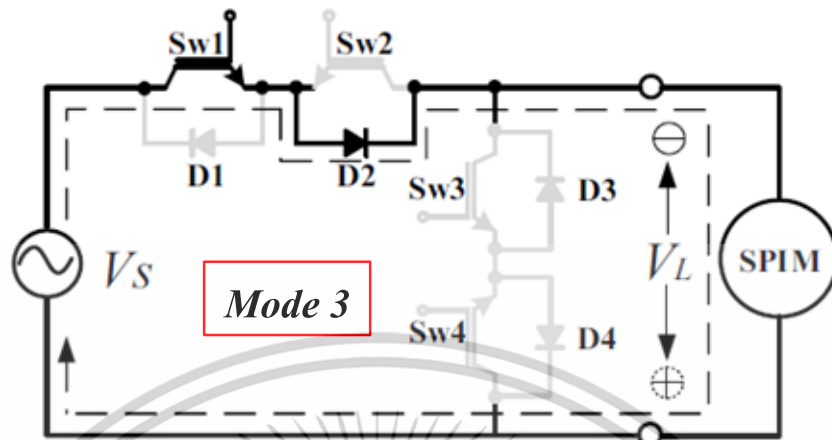


รูปที่ 3.25 การทำงานโหมด 2 คือกระแสเป็นบวกและแรงดันเป็นศูนย์  $IL(+)$ ,  $VL(0)$

**โหมดที่ 2 (Freewheeling Mode) :** SW1 อยู่ในสถานะ OFF และ SW2 อยู่ในสถานะ OFF และ SW3 อยู่ในสถานะ OFF และ SW4 อยู่ในสถานะ ON โดยโหมดนี้เรียกว่าโหมดฟรีวิลไซเคิลบวก โดยแรงดันที่ตกคร่อมมอเตอร์จะเป็นศูนย์  $VL(0)$  ส่วนกระแสเป็นบวก  $IL(+)$  ซึ่งกระแสจากโหมดที่ 1 จะค่อยๆ ลดลงโดยจะไหลผ่านไดโอด SW4 ไดโอด D3 แล้วครบวงจรที่มอเตอร์ ทั้งนี้เนื่องจากคุณสมบัติของมอเตอร์ที่กระแสยังคงไหลในทิศทางเดิมถึงแม้ว่าไม่ได้รับพลังงานจากแหล่งจ่ายก็ตาม จึงทำให้กำลังในโหมดนี้เป็นศูนย์ ทิศทางการไหลของกระแส ศักย์ของแรงดันและ

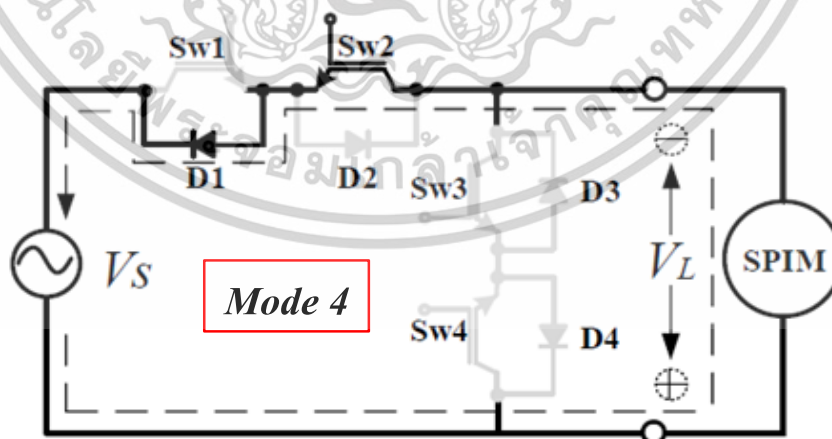
เอกสารนี้เป็นเอกสารที่สงวนไว้สำหรับการใช้งานเพื่อการศึกษาเท่านั้น ไม่อนุญาตให้นำไปใช้ประโยชน์ด้านการค้า ไม่ว่าจะกรณีใดๆทั้งสิ้น อีกทั้งห้ามมิให้ดัดแปลงเนื้อหา และต้องอ้างอิงถึงเจ้าของเอกสารทุกครั้งที่มีการนำไปใช้

ลักษณะของรูปคลื่นแรงดันและกระแสสามารถแสดงได้ดังรูปที่ 3.25 และ รูปที่ 3.23 ตำแหน่งวงกลมเลขที่ 2



รูปที่ 3.26 การทำงานโหมด 3 คือกระแสเป็นบวกและแรงดันเป็นลบ  $I_L(+)$ ,  $V_L(-)$

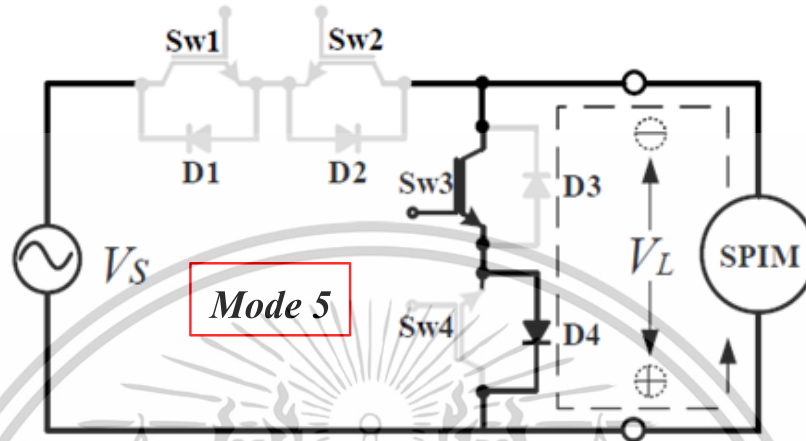
โหมดที่ 3 (Regenerative Mode) : SW1 อยู่ในสภาวะ ON และ SW2 อยู่ในสภาวะ OFF และ SW3 อยู่ในสภาวะ OFF และ SW4 อยู่ในสภาวะ OFF โดยโหมดนี้เรียกว่าโหมดรีเจนเนอเรทีฟไซเคิลบวก โดยแรงดันที่ตกคร่อมมอเตอร์จะเป็นลบ  $V_L(-)$  ส่วนกระแสเป็นบวก  $I_L(+)$  ซึ่งกระแสไหลจากแหล่งจ่ายผ่าน SW1 ไดโอด D2 และมอเตอร์ แล้วครบวงจรที่แหล่งจ่าย ทั้งนี้เนื่องจากคุณสมบัติของมอเตอร์จะทำให้กระแสไหลกลับแรงดัน โดยที่ถึงแม้ว่าแรงดันจะเริ่มกลับสัญญาณไปอยู่ในไซเคิลลบแล้วแต่กระแสยังอยู่ในไซเคิลบวก จึงทำให้กำลังไฟฟ้าในโหมดนี้เป็นลบ ทิศทางการไหลของกระแสค้ำยของแรงดันและลักษณะของรูปคลื่นแรงดันและกระแส สามารถแสดงได้ดังรูปที่ 3.26 และ รูปที่ 3.23 ตำแหน่งวงกลมเลขที่ 3



รูปที่ 3.27 การทำงานโหมด 4 คือกระแสเป็นลบและแรงดันเป็นลบ  $I_L(-)$ ,  $V_L(-)$

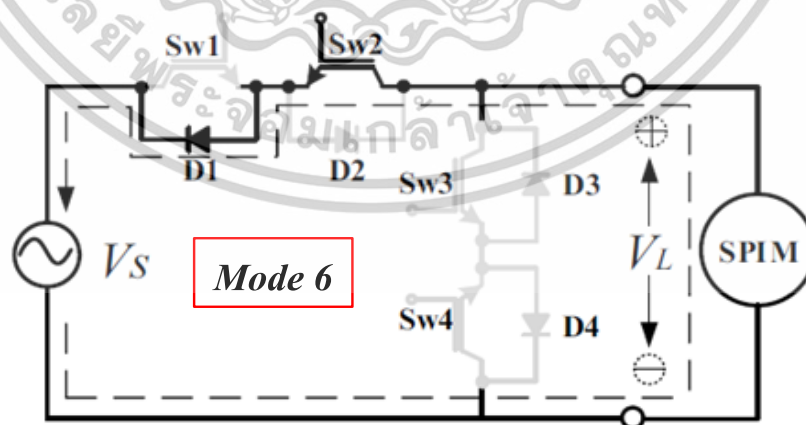
โหมดที่ 4 (Powering Mode) : SW1 อยู่ในสภาวะ OFF และ SW2 อยู่ในสภาวะ ON และ SW3 อยู่ในสภาวะ OFF และ SW4 อยู่ในสภาวะ OFF โดยโหมดนี้เรียกว่าโหมดจ่ายกำลังไฟฟ้าไซเคิล เอกสารนี้เป็นเอกสารที่สงวนไว้สำหรับการใช้งานเพื่อการศึกษาเท่านั้น ไม่อนุญาตให้นำไปใช้ประโยชน์ด้านการค้า ไม่ว่าจะกรณีใดๆทั้งสิ้น อีกทั้งห้ามมิให้ดัดแปลงเนื้อหา และต้องอ้างอิงถึงเจ้าของเอกสารทุกครั้งที่มีการนำไปใช้

ลอบ โดยแรงดันที่ตกคร่อมมอเตอร์เป็นบวก  $V_L(-)$  และกระแสเป็นลอบ  $I_L(-)$  ซึ่งกระแสไหลจากแหล่งจ่ายผ่าน SW2 ไดโอด D1 มอเตอร์ และแล้วครบวงจรที่แหล่งจ่าย จึงทำให้กำลังในโหมดนี้เป็นบวก ทิศทางการไหลของกระแส ศักย์ของแรงดันและลักษณะของรูปคลื่นแรงดันและกระแส สามารถแสดงได้ดังรูปที่ 3.27 และ รูปที่ 3.23 ตำแหน่งวงกลมเลขที่ 4



รูปที่ 3.28 การทำงานโหมด 5 คือกระแสเป็นลอบและแรงดันเป็นศูนย์  $I_L(-)$ ,  $V_L(0)$

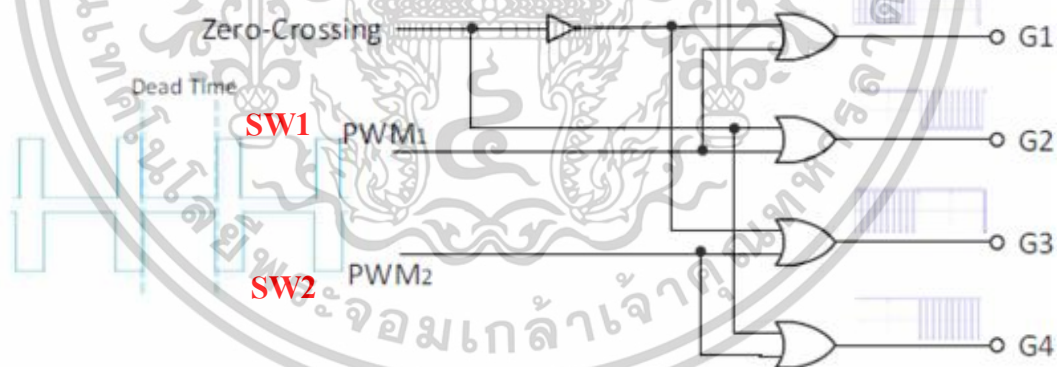
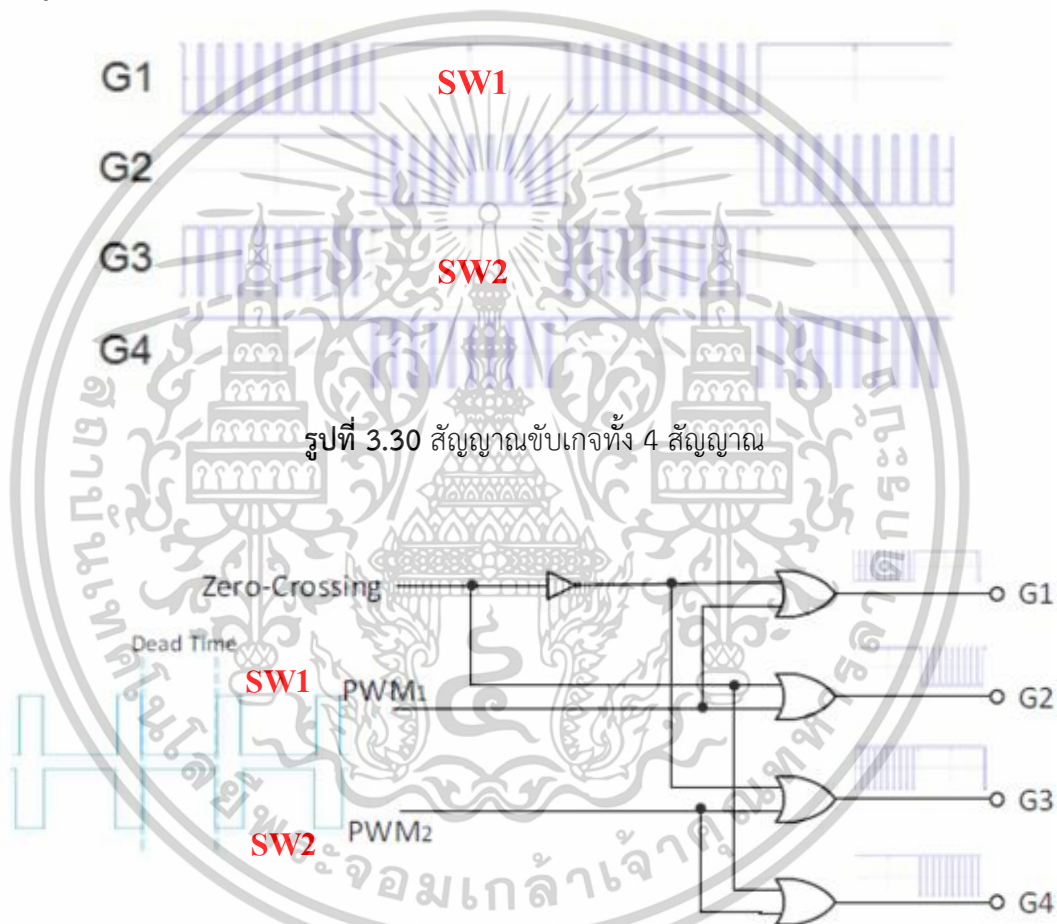
**โหมดที่ 5 (Freewheeling Mode) :** SW1 อยู่ในสภาวะ OFF และ SW2 อยู่ในสภาวะ OFF และ SW3 อยู่ในสภาวะ ON และ SW4 อยู่ในสภาวะ OFF โดยโหมดนี้เรียกว่าโหมดฟรีวีลไซเคิลลอบ โดยแรงดันที่ตกคร่อมมอเตอร์จะเป็นศูนย์  $V_L(0)$  ส่วนกระแสเป็นลอบ  $I_L(-)$  ซึ่งกระแสจากโหมดที่ 4 จะค่อยๆ ลดลง โดยจะไหลผ่าน SW3 ไดโอด D4 แล้วครบวงจรที่มอเตอร์ ทั้งนี้เนื่องจากคุณสมบัติของมอเตอร์ที่กระแยังคงไหลในทิศทางเดิมถึงแม้ว่าไม่ได้รับพลังงานจากแหล่งจ่ายก็ตาม จึงทำให้กำลังในโหมดนี้เป็นศูนย์ ทิศทางการไหลของกระแส ศักย์ของแรงดันและลักษณะของรูปคลื่นแรงดันและกระแส สามารถแสดงได้ดังรูปที่ 3.28 และ รูปที่ 3.23 ตำแหน่งวงกลมเลขที่ 5



รูปที่ 3.29 การทำงานโหมด 6 คือกระแสเป็นลอบและแรงดันเป็นบวก  $I_L(-)$ ,  $V_L(+)$

เอกสารนี้เป็นเอกสารที่สงวนไว้สำหรับการใช้งานเพื่อการศึกษาเท่านั้น ไม่อนุญาตให้นำไปใช้ประโยชน์ด้านการค้า ไม่ว่าจะกรณีใดๆทั้งสิ้น อีกทั้งห้ามมิให้ดัดแปลงเนื้อหา และต้องอ้างอิงถึงเจ้าของเอกสารทุกครั้งที่มีการนำไปใช้

**โหมดที่ 6 (Regenerative Mode) :** SW1 อยู่ในสภาวะ OFF และ SW2 อยู่ในสภาวะ ON และ SW3 อยู่ในสภาวะ OFF และ SW4 อยู่ในสภาวะ OFF โดยโหมดนี้เรียกว่าโหมดรีเจนเนอเรทีฟไซเคิล โดยแรงดันที่ตกคร่อมมอเตอร์จะเป็นบวก VL(+) ส่วนกระแสเป็นลบ IL(-) ซึ่งกระแสไหลจากแหล่งจ่ายผ่าน SW2 ไดโอด D1 และมอเตอร์ แล้วครบวงจรที่แหล่งจ่าย ทั้งนี้เนื่องจากคุณสมบัติของมอเตอร์จะทำให้กระแสล้าหลังแรงดัน โดยที่ถึงแม้ว่าแรงดันจะเริ่มกลับสัญญาณไปอยู่ในไซเคิลบวกแล้ว แต่กระแสยังอยู่ในไซเคิลลบ จึงทำให้กำลังไฟฟ้าในโหมดนี้เป็นลบ ทิศทางการไหลของกระแส ศักย์ของแรงดันและลักษณะของรูปคลื่นแรงดันและกระแส สามารถแสดงได้ดังรูปที่ 3.29 และ รูปที่ 3.23 ตำแหน่งวงกลมเลขที่ 6



การสร้างสัญญาณขับเคลื่อน G1, G2, G3 และ G4 ของสวิตช์ SW1 และ SW2 จะต้องใช้วงจรตรวจจับผ่านศูนย์ (Zero-Crossing) ดังรูปที่ 3.30 เพื่อรวมกับสัญญาณ PWM1 และ PWM2 ที่มีการสร้าง Dead Time หรือวงจรประวิงเวลาระหว่างขอบขาขึ้น และขอบขาลงของสัญญาณ ด้วย Logic Gate (OR Gate และ Inverter) จะกำเนิดสัญญาณขับเคลื่อน G1, G2, G3 และ G4 ดังรูปที่ 3.31

เอกสารนี้เป็นเอกสารที่สงวนไว้สำหรับการใช้งานเพื่อการศึกษาเท่านั้น ไม่อนุญาตให้นำไปใช้ประโยชน์ด้านการค้า ไม่ว่าจะกรณีใดๆทั้งสิ้น อีกทั้งห้ามมิให้ดัดแปลงเนื้อหา และต้องอ้างอิงถึงเจ้าของเอกสารทุกครั้งที่มีการนำไปใช้

ตารางที่ 3.1 ตารางการเปรียบเทียบระหว่าง Asynchronous PWM AC Chopper กับ Synchronous PWM AC Chopper

ข้อเปรียบเทียบ	Asynchronous	Synchronous
สวิตช์ (IGBT)	2 อุปกรณ์	4 อุปกรณ์
Fast Recovery Diode	8 อุปกรณ์	2 อุปกรณ์
สัญญาณชั้บเกิด	2 สัญญาณ	4 สัญญาณ
Zero Crossing	ไม่ต้องใช้	ใช้

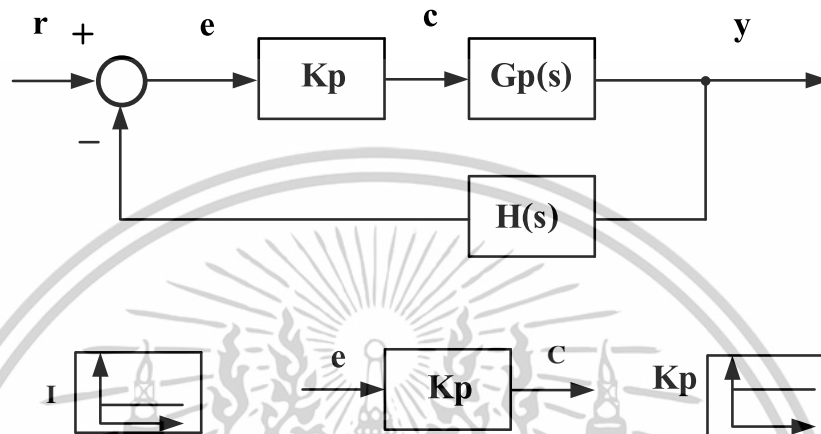
จากตารางที่ 3-1 ทำการเปรียบเทียบรายละเอียดของวงจรทั้ง 2 แบบ คือ พีดีบีแอลเอ็ม เอชซี ซ็อบเปอร์ แบบอะซิงโครนัส (Asynchronous PWM AC Chopper) และจะเห็นได้ว่าจากตารางด้านบนรูปแบบพีดีบีแอลเอ็ม เอชซี ซ็อบเปอร์ แบบซิงโครนัส (Synchronous PWM AC Chopper) จะมีความซับซ้อนในการสร้างที่มากกว่า โดยยังต้องใช้วงจร Zero Crossing เพื่อสร้างสัญญาณชั้บเกิดทั้ง 4 สัญญาณ แต่ยังคงต้องทดสอบทาง Practical เพื่อหาข้อสรุปต่อไปทางงานวิจัยที่เกี่ยวข้อง

### 3.5 ตัวควบคุมแบบพีไอ

ตัวควบคุมแบบพีไอเป็นตัวควบคุมที่พบบ่อยมากที่สุดในงานอุตสาหกรรมทั่วไปเพราะเป็นตัวควบคุมที่ใช้งานง่ายการปรับค่าเกนอาศัยหลักการที่ไม่ได้ซับซ้อนมาก แต่ให้ผลตอบสนองเป็นที่ยอมรับได้สามารถปรับแต่งการควบคุมได้ง่ายเมื่อต้องการระบบควบคุมแบบพีไอมีตัวควบคุมย่อย 2 ตัว คือ 1 ตัวควบคุมแบบสัดส่วนหรือตัวควบคุมพี และ 2 ตัวควบคุมแบบปริพันธ์หรือตัวควบคุมไอ ในการควบคุมระบบทั่วไปมักใช้งานตัวควบคุมร่วมกัน เช่น การควบคุมแบบพีไอ การควบคุมแบบพีดี โดยงานวิจัยนี้จะยกตัวอย่างเป็นการควบคุมแบบพีไอ ซึ่งรายละเอียดการทำงานของตัวควบคุมมีดังนี้

เอกสารนี้เป็นเอกสารที่สงวนไว้สำหรับการใช้งานเพื่อการศึกษาเท่านั้น ไม่อนุญาตให้นำไปใช้ประโยชน์ด้านการค้า ไม่ว่าจะกรณีใดๆทั้งสิ้น อีกทั้งห้ามมิให้ดัดแปลงเนื้อหา และต้องอ้างอิงถึงเจ้าของเอกสารทุกครั้งที่มีการนำไปใช้

**3.5.1 ตัวควบคุมแบบสัดส่วนแบบพี** เป็นตัวควบคุมแบบสัดส่วนหรือควบคุมแบบพีตัวควบคุมแบบนี้จะนำเอาสัญญาณค่าความผิดพลาดระหว่างสัญญาณอ้างอิงกับสัญญาณเอาต์พุตมาเป็นอินพุตของตัวควบคุมแล้วตัวควบคุมจะทำการสร้างสัญญาณเอาต์พุตด้วยการขยายสัญญาณความผิดพลาดดังกล่าวด้วยค่าเกนของตัวควบคุมบล็อกไดอะแกรมและลักษณะของการประมวลผลสัญญาณเป็นดังรูปที่ 3.32



รูปที่ 3.32 ตัวควบคุมแบบพี

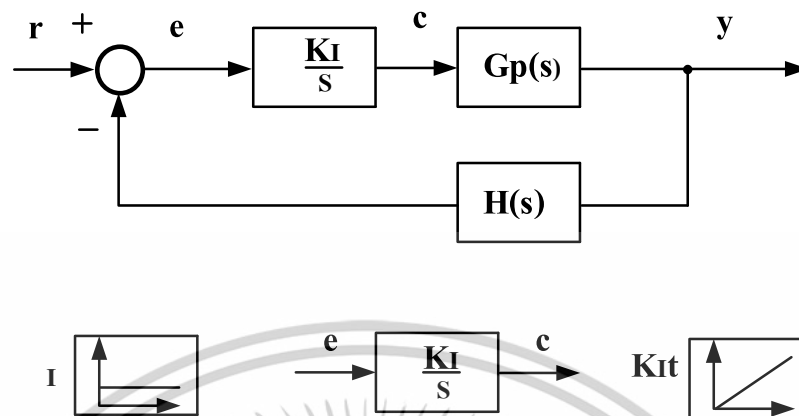
จากจุดเด่นของตัวควบคุมแบบนี้เมื่อนำไปใช้งานก็คือ การปรับค่าเกนให้สูงขึ้นจะมีผลทำให้ระบบมีผลตอบสนองที่เร็วขึ้น ปัญหาที่อาจจะเกิดขึ้นในการนำไปใช้งานก็คือถ้านำไปใช้กับระบบชนิด 0 (System Type 0) ตัวควบคุมแบบนี้จะไม่สามารถขจัดค่าความผิดพลาดในสภาวะคงตัวได้แต่ก็สามารถทำให้ค่าความผิดพลาดดังกล่าวมีค่าน้อยลงได้ด้วยการปรับค่าเกนให้สูง ซึ่งในทางปฏิบัติแล้วการปรับค่าเกนให้สูงมากขนาดไหนเอาต์พุตที่ออกจริงๆ จากตัวควบคุมมักมีค่าจำกัดและการปรับเกนให้สูงสำหรับระบบที่มีอันดับสูง อาจจะทำให้ได้ผลตอบสนองที่ไม่เป็นที่พึงประสงค์เช่นการปรับเกนให้สูงขึ้นสำหรับระบบอันดับสอง ผลที่ตามมาก็คือค่าพุงเกินก็จะสูงขึ้นตามด้วยซึ่งอาจจะเป็นอันตรายต่อระบบได้

**3.5.2 ตัวควบคุมแบบสัดส่วนแบบไอ** ตัวควบคุมแบบปริพันธ์หรือตัวควบคุมแบบไอตัวควบคุมแบบนี้จะนำสัญญาณความผิดพลาดระหว่างสัญญาณอ้างอิงกับสัญญาณเอาต์พุตมาเป็นอินพุตของตัวควบคุม แล้วตัวควบคุมจะทำการสร้างสัญญาณเอาต์พุตด้วยการอินทิเกรตสัญญาณความผิดพลาดดังกล่าวแล้วคูณด้วยค่าเกนของตัวควบคุมบล็อกไดอะแกรมและลักษณะของการประมวลผลสัญญาณผลสัญญาณเป็นดังรูปที่ 3.33

จากจุดเด่นของตัวควบคุมแบบนี้เมื่อนำไปใช้งานก็คือ นำไปใช้กับระบบชนิด 0 (System Type 0) ตัวควบคุมแบบนี้จะสามารถขจัดค่าความผิดพลาดในสภาวะคงตัวได้ ข้อต่อที่อาจจะเกิดขึ้นในการนำไปใช้งานก็คือ ตัวควบคุมแบบนี้ไม่สามารถลดผลของการพุงเกินของผลตอบสนองได้และการ

เอกสารนี้เป็นเอกสารที่สงวนไว้สำหรับการใช้งานเพื่อการศึกษาเท่านั้น ไม่อนุญาตให้นำไปใช้ประโยชน์ด้านการค้า ไม่ว่าจะกรณีใดๆทั้งสิ้น อีกทั้งห้ามมิให้ดัดแปลงเนื้อหา และต้องอ้างอิงถึงเจ้าของเอกสารทุกครั้งที่มีการนำไปใช้

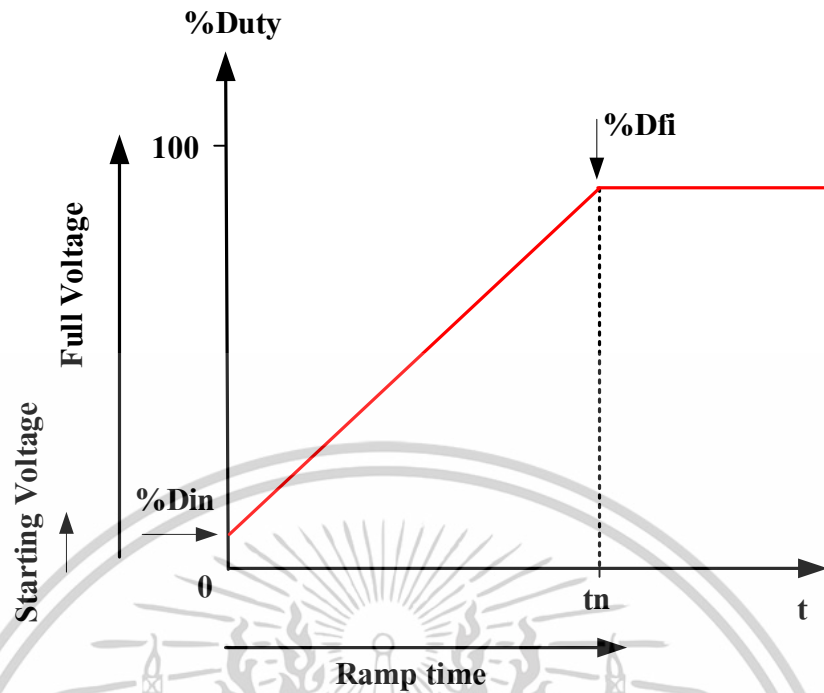
ปรับเกนให้มีค่าสูงอาจจะทำให้ได้ผลตอบสนองที่ไม่เป็นที่พึงประสงค์ เช่นการปรับเกนให้สูงขึ้นอาจจะมีผลทำให้ผลตอบสนองของระบบเกิดการแกว่งตัวได้



รูปที่ 3.33 ตัวควบคุมแบบโอ

ดังนั้นจะเห็นได้ว่าหากนำตัวควบคุมแบบพีไปใช้กับระบบที่เป็นอันดับหนึ่งผลตอบสนองที่ได้จะมีค่าความผิดพลาดในสภาวะคงตัว ซึ่งสามารถลดผลกระทบได้ด้วยการเพิ่มค่าเกนของตัวควบคุมให้สูงขึ้น สำหรับการนำไปใช้กับระบบที่มีอันดับสูงกว่านั้นและเป็นระบบชนิด 0 ค่าความผิดพลาดในสภาวะคงตัวก็ยังคงมีค่าอยู่ และการลดผลกระทบด้วยการปรับค่าเกนของตัวควบคุมพีให้สูงขึ้นอาจจะส่งผลให้การพุ่งเกินมีค่าสูงขึ้นได้ ถ้าหากใช้ตัวควบคุมร่วมกันระหว่าง พี กับ ไอ หรือตัวควบคุมแบบพีเอก็กับระบบนี้แล้ว ตัวควบคุมแบบโอจะช่วยขจัดค่าความผิดพลาดในสภาวะคงตัวแต่ผลตอบสนองที่ได้จะยังมีค่าพุ่งเกินเหมือนเดิม แต่ค่าความผิดพลาดในสภาวะคงตัวก็ยังคงอยู่ดังนั้นถ้าหากใช้ตัวควบคุมร่วมกันระหว่าง พี และ ไอ ด้วยการปรับค่าเกนให้เหมาะสมกับระบบนั้นๆ ก็จะได้ผลตอบสนองแบบหน่วงต่ำกว่าวิกฤตที่มีค่าพุ่งเกินเหมาะสมกับระบบนั้น

การทดสอบหาค่าเกนที่เหมาะสมของตัวควบคุมแบบพีโอจะเห็นได้ว่าการที่ได้ผลตอบสนองที่เหมาะสมของตัวควบคุมแต่ละแบบนั้นขึ้นอยู่กับอันดับ และชนิดของระบบเป็นสำคัญและระบบแต่ละระบบมีค่าเกนที่เหมาะสมต่างๆ กันออกไปทั้งนี้ยังต้องรวมไปถึงข้อกำหนดคุณลักษณะในการออกแบบด้วย เพื่อให้ได้ผลตอบสนองเป็นไปตามที่ผู้ใช้และผู้ออกแบบพึงพอใจการให้ได้มาซึ่งค่าเกนที่เหมาะสมสำหรับระบบต่างๆ ไปที่อาจจะมีอันดับสูงเป็นเรื่องที่ค่อนข้างยากในที่นี่จะนำเสนอวิธีการทดสอบระบบเพื่อหาค่าเกนที่เหมาะสมของตัวควบคุมแบบ พีโอ ที่เป็นที่ยอมรับด้วยกันอยู่ 2 วิธี คือ 1 วิธีการของซีเกลอร์-นิโคล (Ziegler-Nichols Compensation) และ 2 วิธีการของเชน-ฮรอน-เรสวิก หรือซีเอสอาร์ (Chien-Hrones-Reswick or CHR)



รูปที่ 3.34 กราฟเส้นคุณลักษณะของ Voltage-Ramp Technique

$$%D_{act}(t) = St + \%D_{in} \quad (3.11)$$

เมื่อ

$S$  = ความชัน

$t$  = เวลาได้ขึ้น (sec)

$\%D_{act}$  = เปอร์เซนต์ดีวตี้ไซเคิลค่าจริงตามฟังก์ชันเวลา

$\%D_{fi}$  = เปอร์เซนต์ดีวตี้ไซเคิลของค่าที่ต้องการ

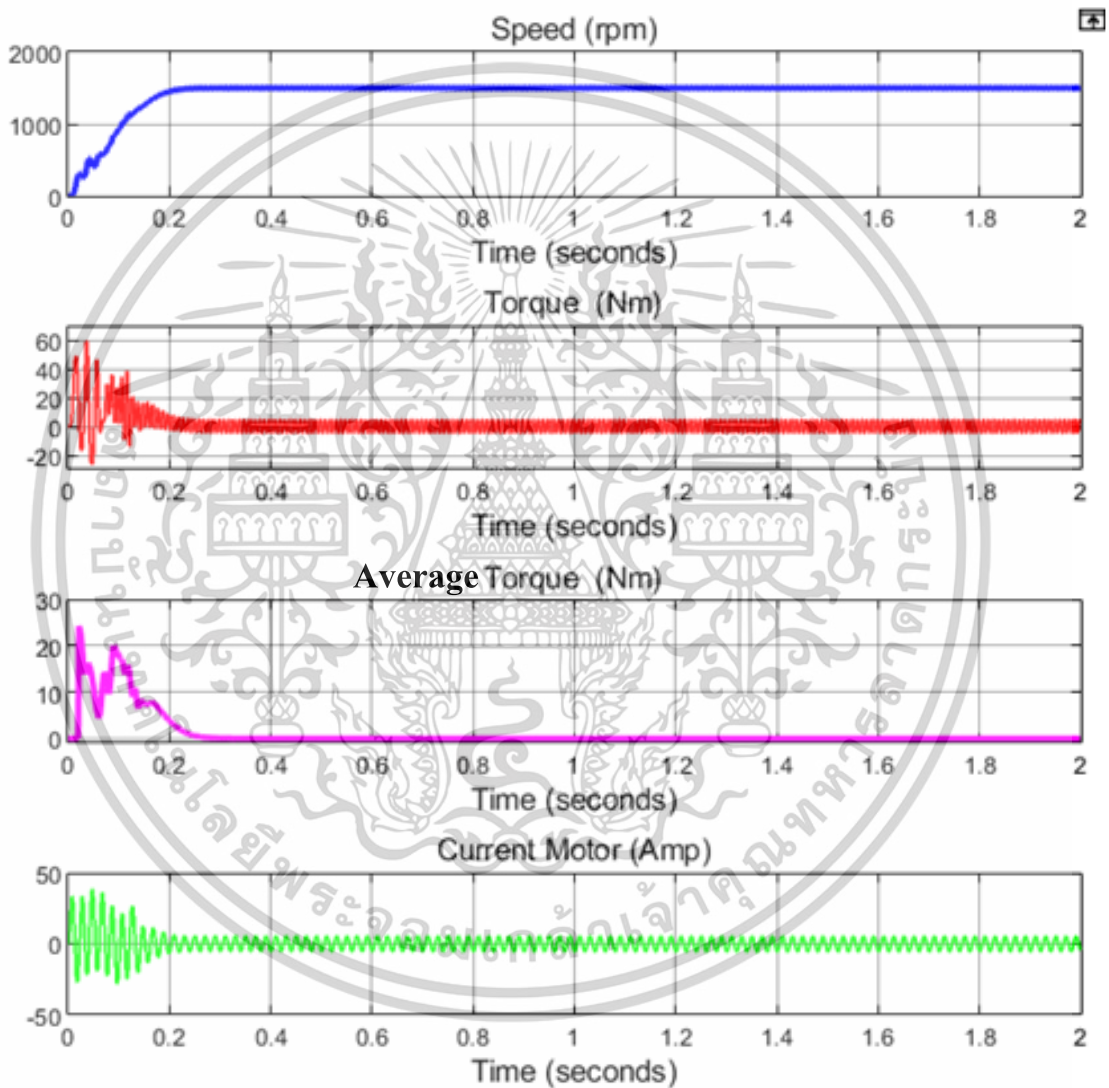
$\%D_{in}$  = เปอร์เซนต์ดีวตี้ไซเคิลของค่าที่เริ่มต้น

ซึ่งนั่นแสดงว่าสามารถควบคุมแรงดันเพิ่มสูงขึ้นแบบมีอัตราการเร่งแบบ Voltage-Ramp ได้ตามความต้องการโดยการปรับ Duty Cycle

### 3.6 ผลจากการจำลองเพื่อดูสมรรถนะของมอเตอร์ขณะเริ่มหมุนแบบโดยตรงและแบบนิ่มนวล

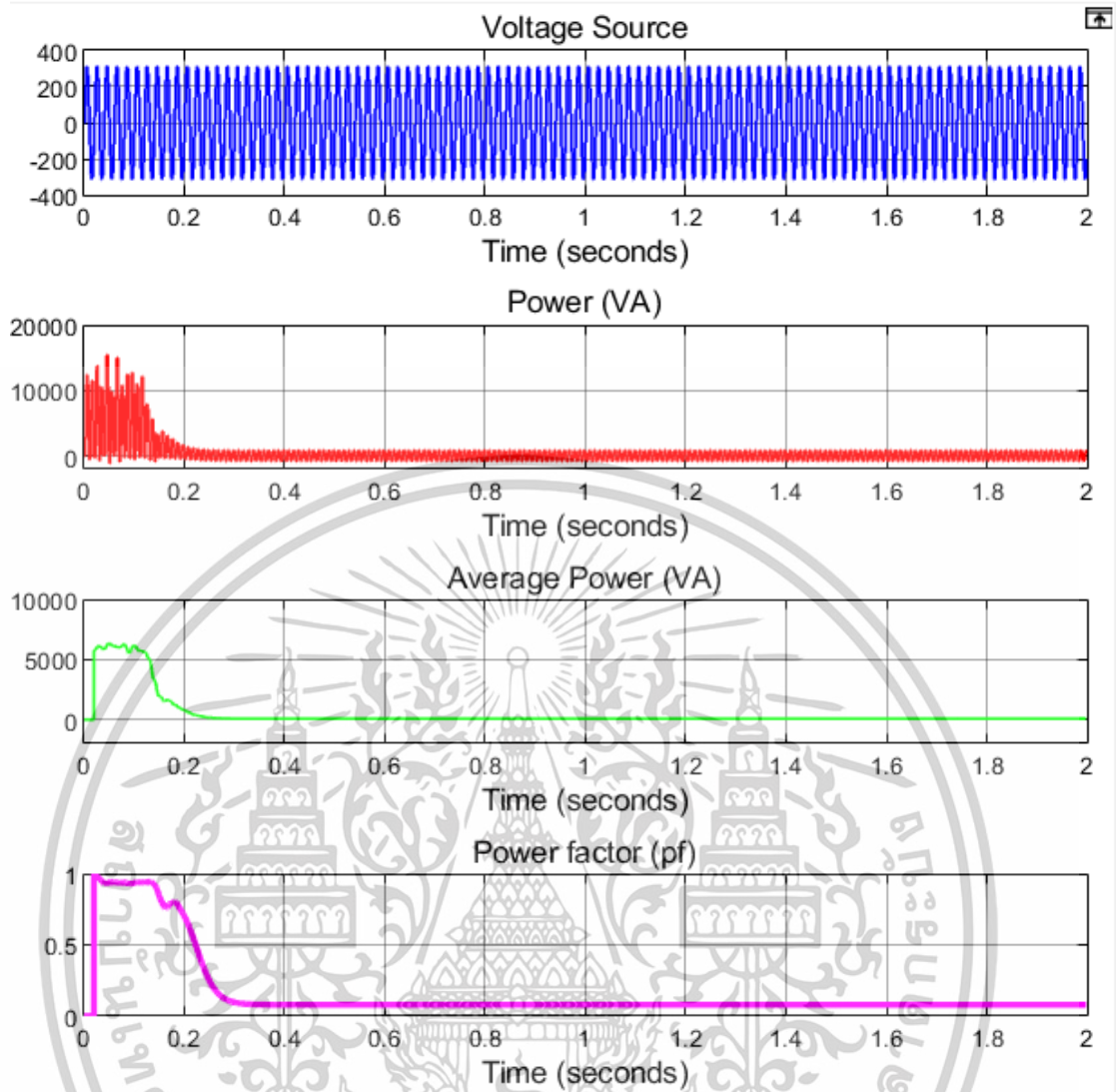
จากพารามิเตอร์ของมอเตอร์ได้จากการทดสอบในตารางที่ 5.1 ของบทที่ 5 และภาคผนวก ข. มอเตอร์เหนี่ยวนำหนึ่งเฟสชนิดตัวเก็บประจุช่วยหรือแบบคาปาซิเตอร์สตาร์ทที่ 50 ไมโครฟารัด ยี่ห้อ Mitsubishi รุ่น SC-KR มีขนาดพิกัด 1/2 แรงม้า หรือ 0.4 กิโลวัตต์ 230 โวลต์ 50 เฮิร์ตซ์ 4.3 แอมป์ 4 ขั้ว และความเร็วรอบที่พิกัดที่ 1,430 รอบต่อนาที โดยวิธีการ No-Load Test และเอกสารนี้เป็นเอกสารที่สงวนไว้สำหรับการใช้งานเพื่อการศึกษาเท่านั้น ไม่อนุญาตให้นำไปใช้ประโยชน์ด้านการค้า ไม่ว่าจะกรณีใดๆทั้งสิ้น อีกทั้งห้ามมิให้ดัดแปลงเนื้อหา และต้องอ้างอิงถึงเจ้าของเอกสารทุกครั้งที่มีการนำไปใช้

Lock Rotor Test ใช้ในการจำลองการลดแรงดันแสดงในรูป 3.33 – 3.42 เพื่อเปรียบเทียบ ความเร็ว แรงบิดเริ่มต้น กระแสที่ไหลเข้ามอเตอร์ กำลังไฟฟ้าปรากฏและตัวประกอบกำลัง โดยการปรับลด แรงดันที่ป้อนเข้ามอเตอร์ของการสตาร์ทแบบต่อโดยตรงจากไลน์ (Direct on-line Starting :DOL) กระแสขณะสตาร์ทจะสูงมากประมาณ 7-8 เท่าหรือที่ 30-32 แอมป์ เมื่อเทียบจากกระแสปกติ 4.3 แอมป์ ผลการตอบสนองทางไดนามิกส์ของความเร็วจะสูงมากเพราะ Maximum Average Electromagnetic Torque มีค่า 20 Nm โดยประมาณการกระเพื่อมของแรงบิด (Electromagnetic Torque Pulsation) สูงขึ้นด้วย



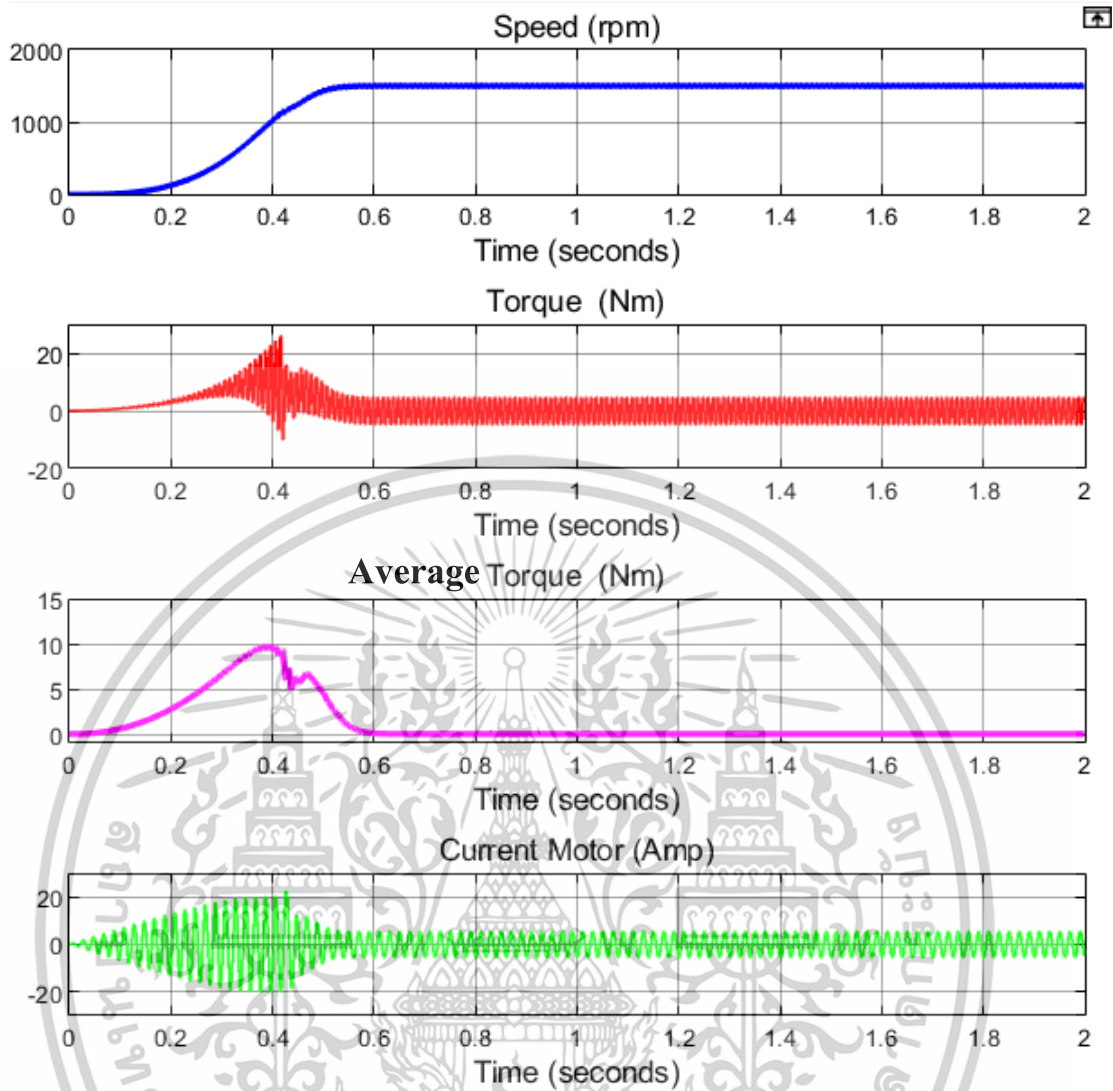
รูปที่ 3.35 สมรรถนะของมอเตอร์โดยการสตาร์ทแบบต่อโดยตรงจากไลน์ (Direct on-line Starting :DOL)

เอกสารนี้เป็นเอกสารที่สงวนไว้สำหรับการใช้งานเพื่อการศึกษาเท่านั้น ไม่อนุญาตให้นำไปใช้ประโยชน์ด้านการค้า ไม่ว่าจะกรณีใดๆทั้งสิ้น อีกทั้งห้ามมิให้ตัดแปลงเนื้อหา และต้องอ้างอิงถึงเจ้าของเอกสารทุกครั้งที่มีการนำไปใช้



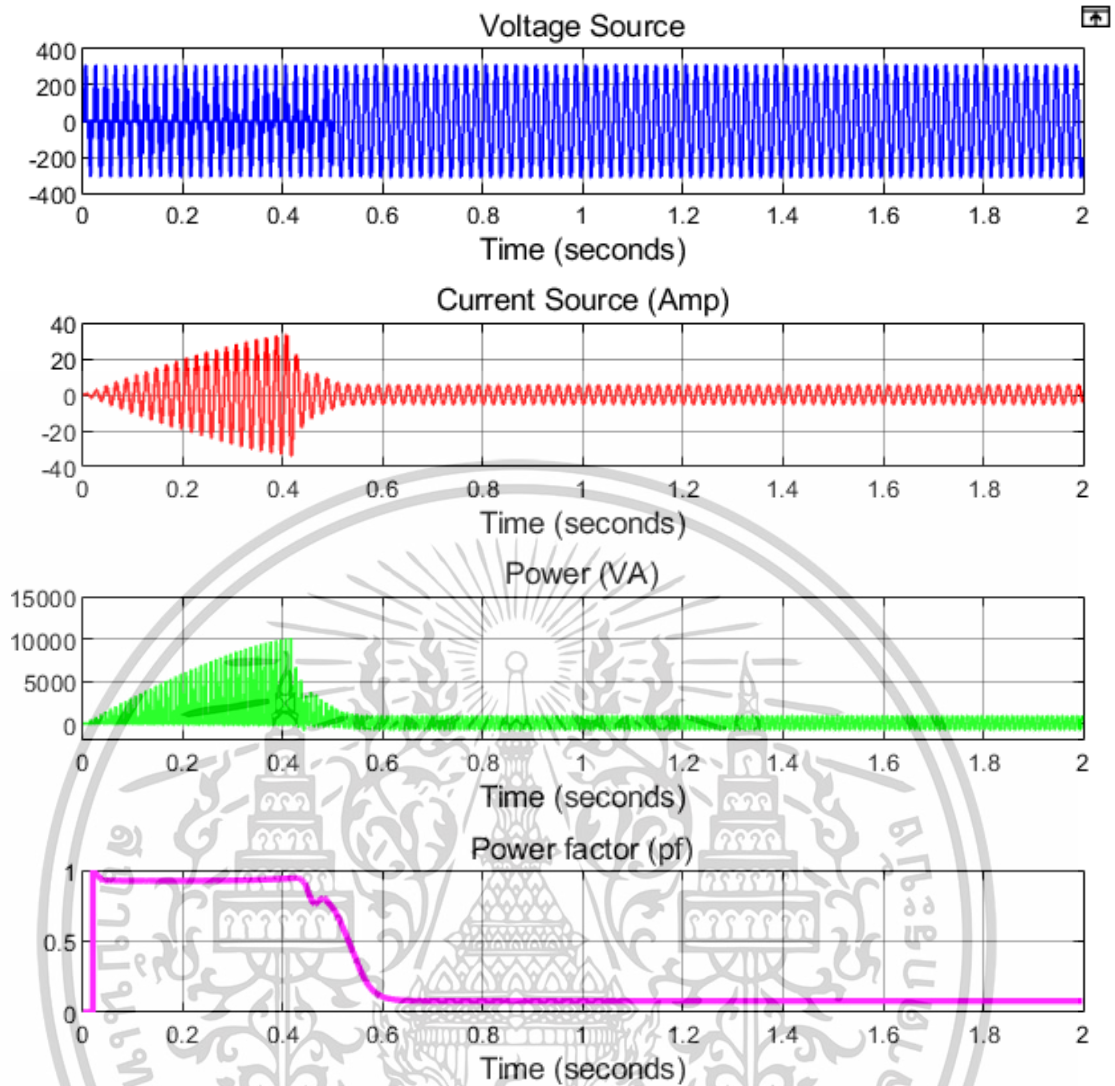
รูปที่ 3.36 สมรรถนะของมอเตอร์ ด้านกำลังไฟฟ้าที่ปรากฏ กำลังไฟฟ้าที่ปรากฏเฉลี่ย และค่าเพาเวอร์แฟคเตอร์โดยการสตาร์ทแบบต่อโดยตรงจากไลน์ (Direct on-line Starting :DOL)

เอกสารนี้เป็นเอกสารที่สงวนไว้สำหรับการใช้งานเพื่อการศึกษาเท่านั้น ไม่อนุญาตให้นำไปใช้ประโยชน์ด้านการค้า ไม่ว่าจะกรณีใดๆทั้งสิ้น อีกทั้งห้ามมิให้ตัดแปลงเนื้อหา และต้องอ้างอิงถึงเจ้าของเอกสารทุกครั้งที่มีการนำไปใช้



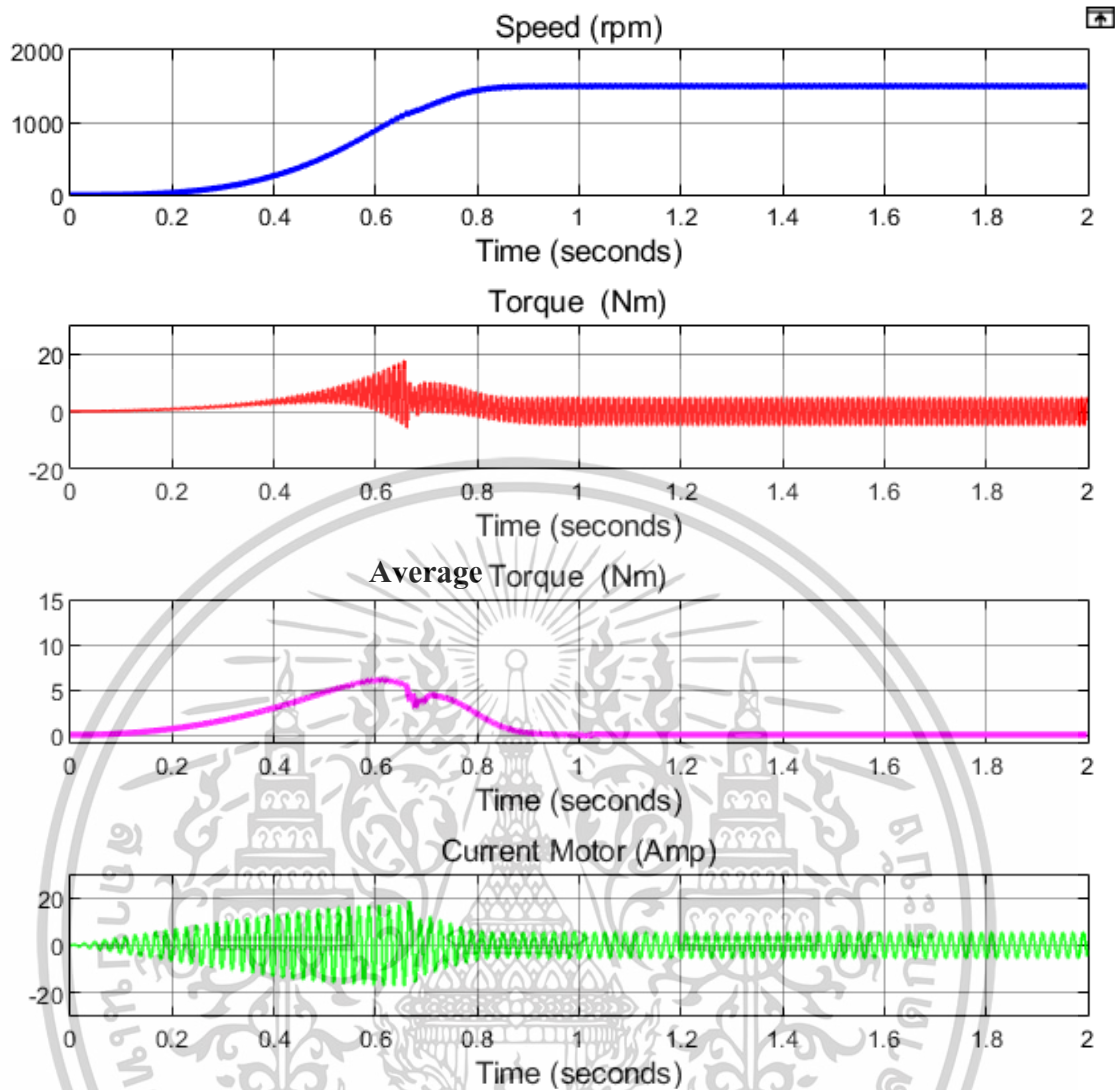
รูปที่ 3.37 สมรรถนะของมอเตอร์โดยการสตาร์ทแบบนุ่มนวล (PWM AC Chopper Soft Starter : PWMSS) ที่ค่าความชัน  $S=0.5$

เอกสารนี้เป็นเอกสารที่สงวนไว้สำหรับการใช้งานเพื่อการศึกษาเท่านั้น ไม่อนุญาตให้นำไปใช้ประโยชน์ด้านการค้า ไม่ว่าจะกรณีใดๆทั้งสิ้น อีกทั้งห้ามมิให้ดัดแปลงเนื้อหา และต้องอ้างอิงถึงเจ้าของเอกสารทุกครั้งที่มีการนำไปใช้



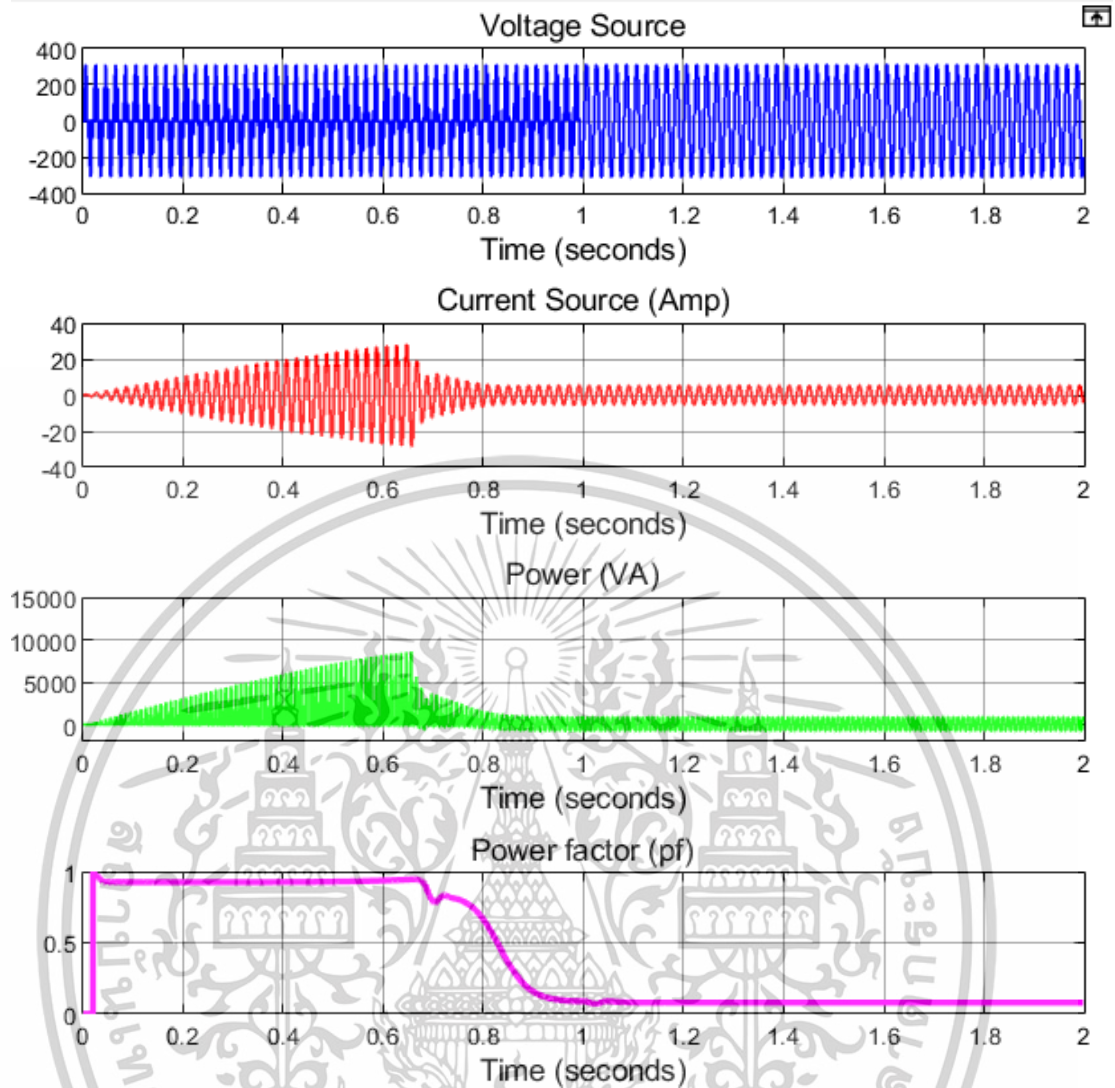
รูปที่ 3.38 สมรรถนะของมอเตอร์ ด้านกระแสที่เข้ามอเตอร์ กำลังไฟฟ้าที่ปรากฏ และค่าเพาเวอร์แฟคเตอร์โดยการสตาร์ทแบบนิมวอล (PWM AC Chopper Soft Starter : PWMSS) ที่ค่าความชัน  $S=0.5$

เอกสารนี้เป็นเอกสารที่สงวนไว้สำหรับการใช้งานเพื่อการศึกษาเท่านั้น ไม่อนุญาตให้นำไปใช้ประโยชน์ด้านการค้า ไม่ว่าจะกรณีใดๆทั้งสิ้น อีกทั้งห้ามมิให้ดัดแปลงเนื้อหา และต้องอ้างอิงถึงเจ้าของเอกสารทุกครั้งที่มีการนำไปใช้



รูปที่ 3.39 สมรรถนะของมอเตอร์โดยการสตาร์ทแบบนิ่มนวล (PWM AC Chopper Soft Starter : PWMSS) ที่ค่าความชัน  $S=1$

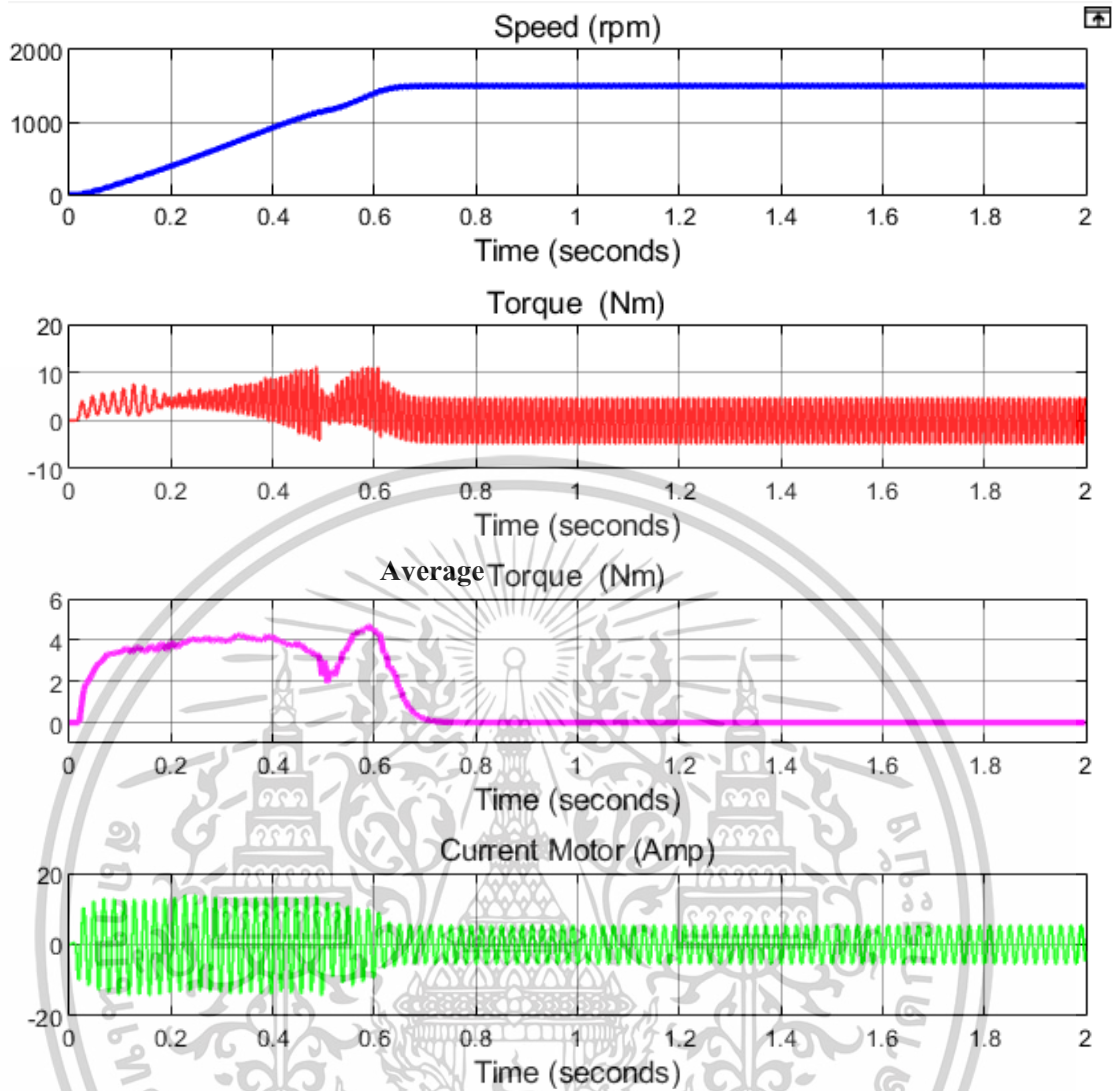
เอกสารนี้เป็นเอกสารที่สงวนไว้สำหรับการใช้งานเพื่อการศึกษาเท่านั้น ไม่อนุญาตให้นำไปใช้ประโยชน์ด้านการค้า ไม่ว่าจะกรณีใดๆทั้งสิ้น อีกทั้งห้ามมิให้ดัดแปลงเนื้อหา และต้องอ้างอิงถึงเจ้าของเอกสารทุกครั้งที่มีการนำไปใช้



รูปที่ 3.40 สมรรถนะของมอเตอร์ ด้านกระแสที่เข้ามอเตอร์ กำลังไฟฟ้าที่ปรากฏ และค่าเพาเวอร์แฟคเตอร์โดยการสตาร์ทแบบนิ่มนวล (PWM AC Chopper Soft Starter : PWMSS) ที่ค่าความชัน

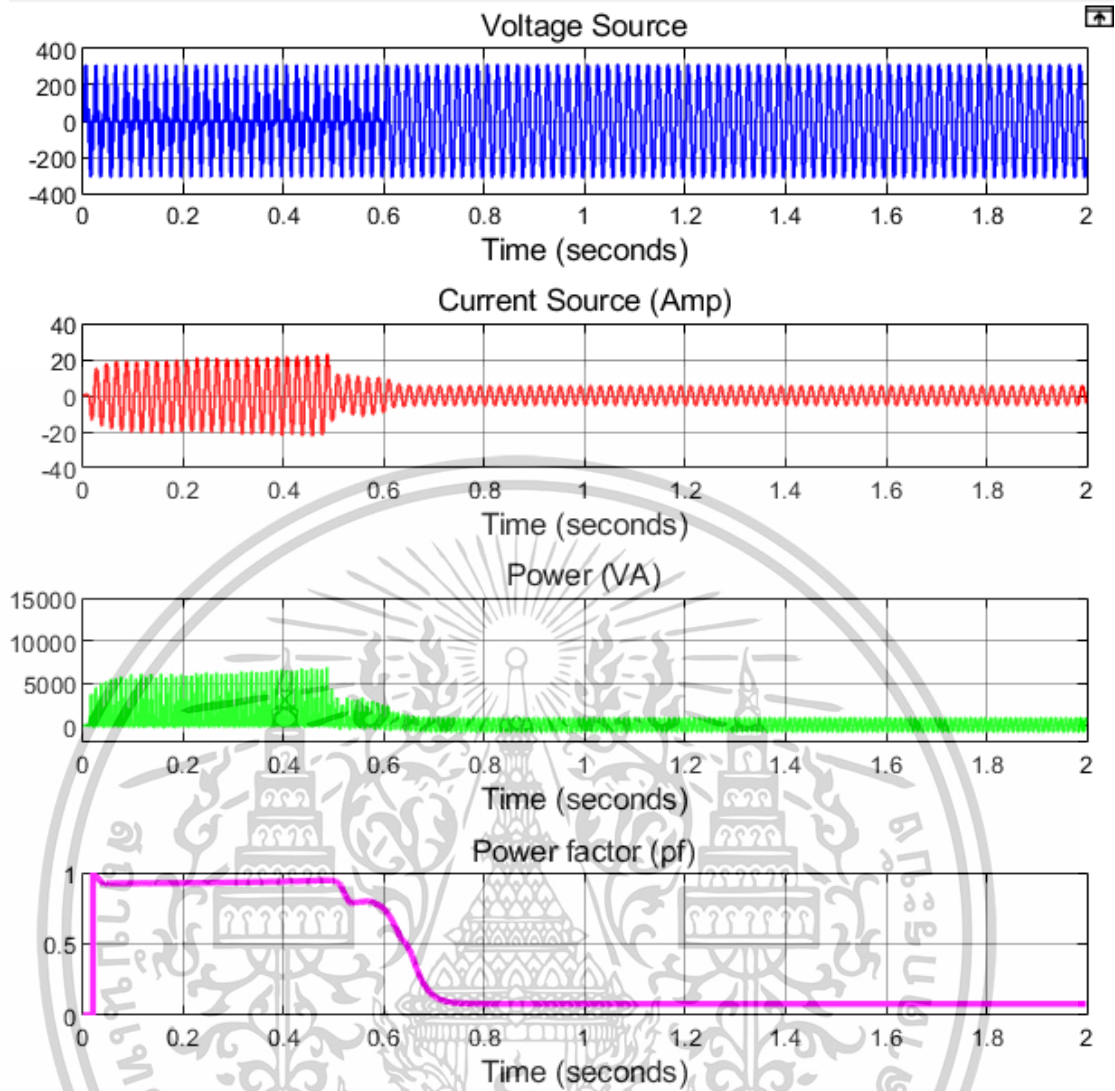
$$S=1$$

เอกสารนี้เป็นเอกสารที่สงวนไว้สำหรับการใช้งานเพื่อการศึกษาเท่านั้น ไม่อนุญาตให้นำไปใช้ประโยชน์ด้านการค้า ไม่ว่าจะกรณีใดๆทั้งสิ้น อีกทั้งห้ามมิให้ตัดแปลงเนื้อหา และต้องอ้างอิงถึงเจ้าของเอกสารทุกครั้งที่มีการนำไปใช้



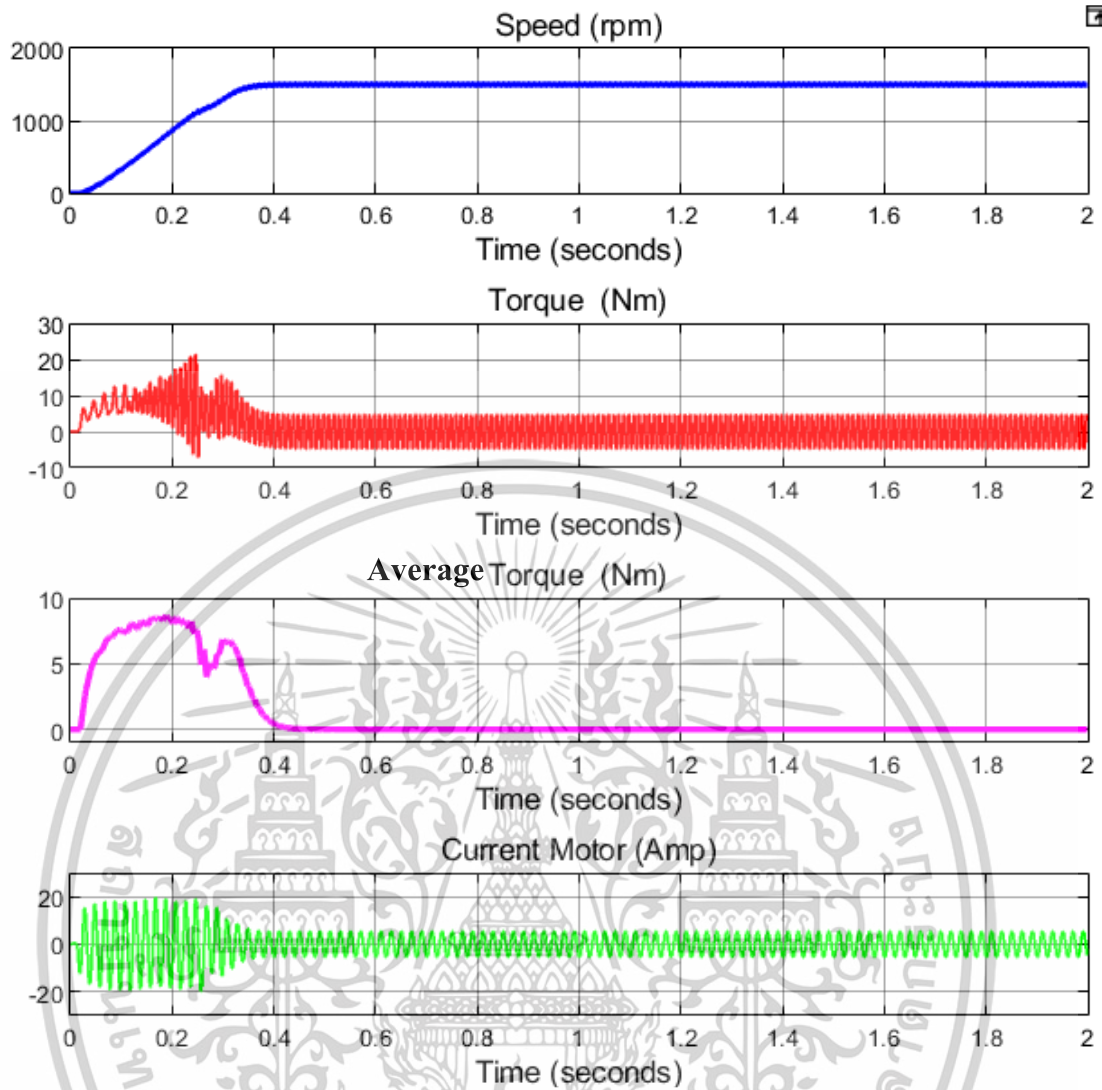
รูปที่ 3.41 สมรรถนะของมอเตอร์โดยการสตาร์ทแบบนิ่มนวล (PWM AC Chopper Soft Starter : PWMSS) ที่ค่าควบคุมกระแสพิกัด 200%

เอกสารนี้เป็นเอกสารที่สงวนไว้สำหรับการใช้งานเพื่อการศึกษาเท่านั้น ไม่อนุญาตให้นำไปใช้ประโยชน์ด้านการค้า ไม่ว่าจะกรณีใดๆทั้งสิ้น อีกทั้งห้ามมิให้ดัดแปลงเนื้อหา และต้องอ้างอิงถึงเจ้าของเอกสารทุกครั้งที่มีการนำไปใช้



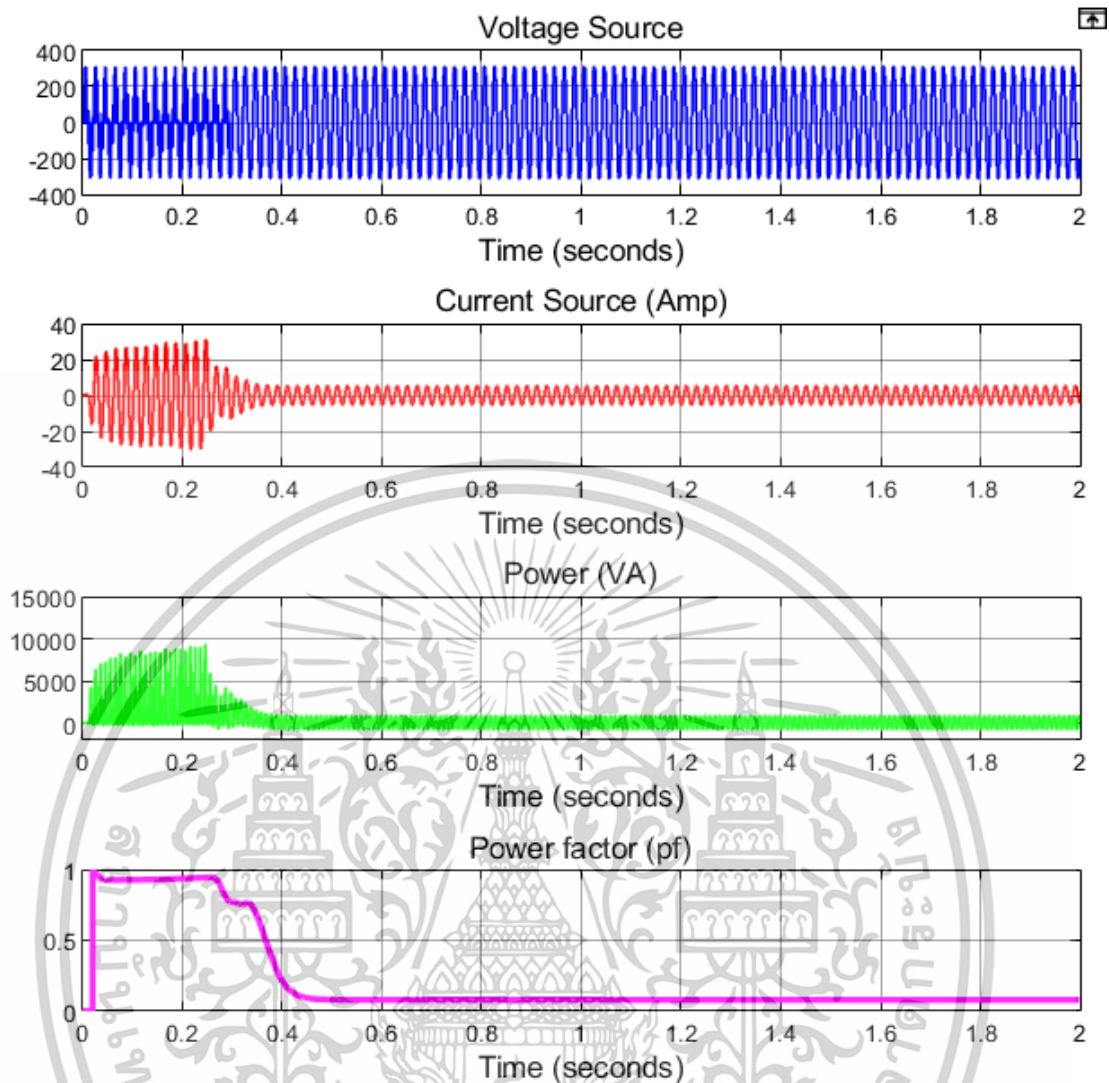
รูปที่ 3.42 สมรรถนะของมอเตอร์ ด้านกระแสที่เข้ามอเตอร์ กำลังไฟฟ้าที่ปรากฏ และค่าเพาเวอร์แฟคเตอร์โดยการสตาร์ทแบบนิมนวล (PWM AC Chopper Soft Starter : PWMSS) ที่ค่าควบคุมกระแสพิกัด 200%

เอกสารนี้เป็นเอกสารที่สงวนไว้สำหรับการใช้งานเพื่อการศึกษาเท่านั้น ไม่อนุญาตให้นำไปใช้ประโยชน์ด้านการค้า ไม่ว่าจะกรณีใดๆทั้งสิ้น อีกทั้งห้ามมิให้ดัดแปลงเนื้อหา และต้องอ้างอิงถึงเจ้าของเอกสารทุกครั้งที่มีการนำไปใช้



รูปที่ 3.43 สมรรถนะของมอเตอร์โดยการสตาร์ทแบบนิมนวล (PWM AC Chopper Soft Starter : PWMSS) ที่ค่าควบคุมกระแสพิกัด 300%

เอกสารนี้เป็นเอกสารที่สงวนไว้สำหรับการใช้งานเพื่อการศึกษาเท่านั้น ไม่อนุญาตให้นำไปใช้ประโยชน์ด้านการค้า ไม่ว่าจะกรณีใดๆทั้งสิ้น อีกทั้งห้ามมิให้ดัดแปลงเนื้อหา และต้องอ้างอิงถึงเจ้าของเอกสารทุกครั้งที่มีการนำไปใช้



รูปที่ 3.44 สมรรถนะของมอเตอร์ ด้านกระแสที่เข้ามอเตอร์ กำลังไฟฟ้าที่ปรากฏ และค่าเพาเวอร์แฟคเตอร์โดยการสตาร์ทแบบนิมนวล (PWM AC Chopper Soft Starter : PWMSS) ที่ค่าควบคุมกระแสพิคัด 300%

จากผลในรูปที่ 3.38, 3.40 จะพบว่าถ้าทำการลดแรงดันป้อนเข้ามอเตอร์จะทำให้กระแสในขณะสตาร์ทลดลงจาก 38 แอมป์ เหลือ 25 แอมป์ แต่เวลาเข้าสู่สภาวะคงตัวจะนานขึ้นมีค่าเท่ากับ 0.5 วินาที และ 1 วินาที ตามลำดับและผลที่ตามมาในขณะที่ทำการลดแรงดันป้อนเข้ามอเตอร์นั้น จะส่งผลทำให้การกระเพื่อมของแรงบิดขณะสตาร์ทลดลง ตัวประกอบกำลังสูงขึ้น ในขณะที่ความเร็วมีค่าใกล้เคียงกันเมื่อเข้าสู่สภาวะคงที่ 1,430 รอบต่อนาที, 1,429 รอบต่อนาที

จากหลักการดังกล่าวทำให้มีแนวคิดปรับปรุงวิธีการขับเคลื่อนมอเตอร์เหนี่ยวนำหนึ่งเฟสแบบคาปาซิเตอร์สตาร์ทที่ต่อกับแหล่งจ่ายไฟฟ้าหนึ่งเฟสที่เริ่มสตาร์ทแบบนิมนวลใช้งานในงานปรับปรุงสมรรถนะของการขับเคลื่อนมอเตอร์ในงานวิจัยนี้ โดยทำการควบคุมแรงดันและพลังงานที่จ่ายไปยังมอเตอร์ได้โดยค่อยๆเพิ่มแรงดันตามการตั้งเวลา Ramp Up ด้วยการใช่วงจร (PWM AC Chopper

เอกสารนี้เป็นเอกสารที่สงวนไว้สำหรับการใช้งานเพื่อการศึกษาเท่านั้น ไม่อนุญาตให้นำไปใช้ประโยชน์ด้านการค้าไม่ว่ากรณีใดๆทั้งสิ้น อีกทั้งห้ามมิให้ดัดแปลงเนื้อหา และต้องอ้างอิงถึงเจ้าของเอกสารทุกครั้งที่มีการนำไปใช้

Soft Starter : PWMSS) เพื่อให้ให้เกิดการออกตัวอย่างนิ่มนวลความเร็วที่ค่อยๆเพิ่มขึ้นจะช่วยลดแรงฉุดหรือแรงกระชากในขณะออกตัว ซึ่งจะช่วยลดการสึกหรอของอุปกรณ์ต่างๆ เช่น โซ่ สายพาน เกียร์ หรือเฟืองทด และอุปกรณ์อื่นๆได้ นอกจากนี้ยังช่วยในเรื่องการลดกระแส (Current Limiting) ขณะสตาร์ท และจะทำการทดสอบด้วยการจำลองโดยใช้โปรแกรม MATLAB/Simulink Version R2024a

จากรูปที่ 3.35, 3.37, 3.39 จะแสดงให้เห็นสมรรถนะในช่วงเริ่มสตาร์ทโดยมีการเปรียบเทียบเวลาที่ใช้ในการสตาร์ท โดยทำการค่าตั้งต้นของ Duty Cycle ทำการปรับค่า Voltage-Ramp ดังรูปที่ 3.34 ซึ่งจะแสดงผลการตอบสนองทางไดนามิกส์ของความเร็วพบว่ารูปที่ 3.35 จะมีผลการตอบสนองที่เร็วกว่า รูปที่ 3.37 และรูปที่ 3.39 โดยกำหนดเงื่อนไขการสตาร์ทแบบนิ่มนวล PWM AC Chopper Soft Starter : PWMSS) ที่ค่าความชัน  $S=0.5$  และที่ค่าความชัน  $S=1$  ซึ่งจะเห็นว่าที่ค่าความชัน  $S=0.5$  จะมี Maximum Average Torque ที่สูงกว่าค่าความชัน  $S=1$  อย่างเห็นได้ชัดซึ่งจะเป็นผลให้กระแสขณะสตาร์ทสูงขึ้นด้วย แต่ทั้งนี้ในสองเงื่อนไขการสตาร์ทก็ยังมีกระแสขณะสตาร์ทที่ต่ำกว่าการสตาร์ทแบบต่อโดยตรงจากไลน์ (Direct on-line Starting :DOL) การกระเพื่อมของแรงบิดทั้งสองเงื่อนไขจะเกิดขึ้นเนื่องจากความไม่สมดุลของกระแสในขดลวด และในรูป 3.35 ก็ยังชี้ให้เห็นว่าการสตาร์ทแบบ DOL ใช้เวลาในการสตาร์ทที่สั้นกว่าแต่จะมีการแกว่งของความเร็วก่อนที่จะเข้าสู่สภาวะคงตัว

จากรูปที่ 3.36, 3.38, 3.40 จะแสดงให้เห็นว่าพลังงานที่เพิ่มขึ้นในช่วงสตาร์ทมอเตอร์จะปรากฏว่าการใช้วิธีการสตาร์ทแบบนิ่มนวล (PWM AC Chopper Soft Starter : PWMSS) จะให้การแกว่งของความเร็วที่น้อยกว่า และใช้พลังงานในการเริ่มสตาร์ทที่ต่ำกว่าการเริ่มสตาร์ทแบบต่อโดยตรงจากไลน์ (Direct on-line Starting :DOL) และได้นำเสนอเทคนิค Voltage-Ramp เพื่อปรับปรุงสมรรถนะของการสตาร์ทมอเตอร์เพื่อให้เกิดความนิ่มนวลในขณะสตาร์ท และลดกระแสขณะสตาร์ท โดยการควบคุมแรงดันที่ป้อนเข้ามอเตอร์ด้วย PWM AC Chopper Soft Starter : PWMSS เพื่อป้องกันปัญหาที่เกิดขึ้นกับระบบแมกเนติกส์ซึ่งเกิดจากการแกว่งของความเร็วและประโยชน์ที่ได้รับจากการประยุกต์ใช้งานจะช่วยลดความเครียดของระบบกลไกที่ไปขับโหลดและการเพื่อมของแรงบิดมอเตอร์มีอัตราเร่งอย่างราบเรียบในขณะสตาร์ท และยังใช้พลังงานในขณะทำการสตาร์ทน้อยกว่าการสตาร์ทแบบต่อโดยตรงจากไลน์ (Direct on-line Starting :DOL) ได้อีกด้วย

## บทที่ 4

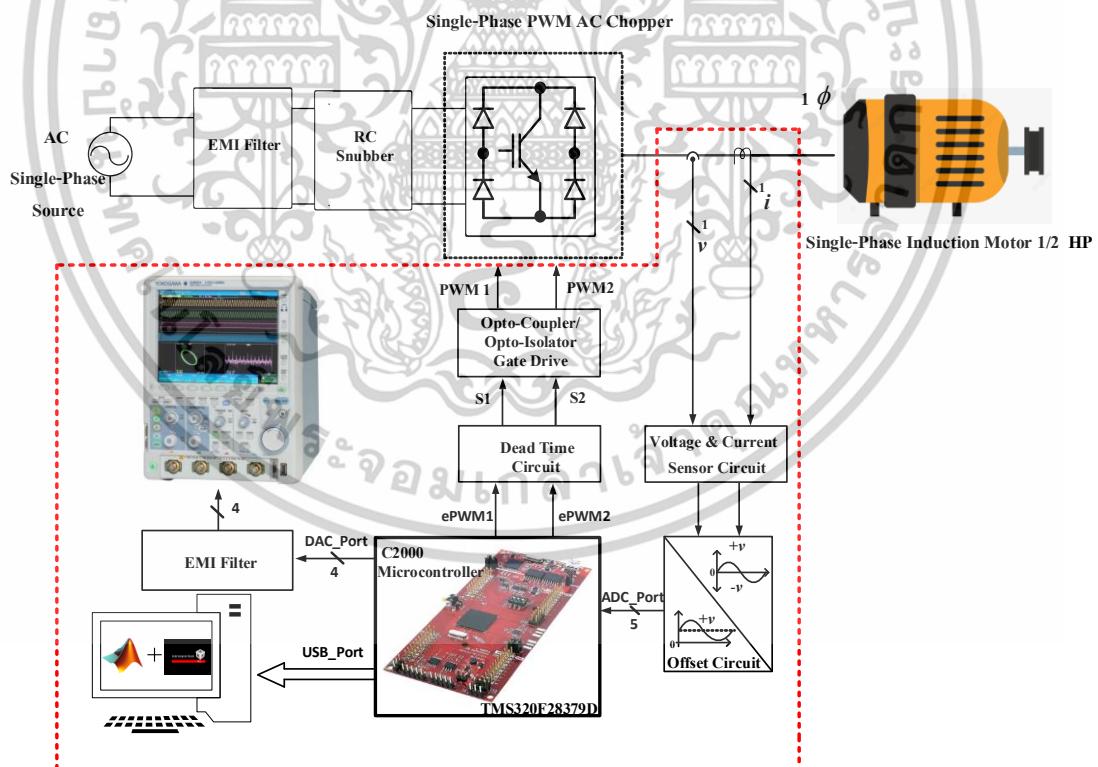
# การออกแบบวงจรควบคุมและวงจรกำลังสำหรับการควบคุมการ เริ่มหมุนแบบนิ่มนวลให้กับมอเตอร์เหนี่ยวนำหนึ่งเฟส ด้วยการควบคุมกระแสเริ่มต้นโดยใช้เทคนิคอะซิงโครนัส พีดับเบิลยูเอ็ม เอช ซี ซ็อบเปอร์

### 4.1 บทนำการออกแบบระบบวงจรควบคุมและวงจรกำลังสำหรับทดสอบ

ในบทนี้จะกล่าวถึงการสร้างระบบสำหรับทดสอบจริงที่ใช้ในการทดสอบระบบควบคุมการเริ่มหมุนแบบนิ่มนวลโดยวิธีการพีดับเบิลยูเอ็ม เอช ซี ซ็อบเปอร์ แบบอะซิงโครนัส Asynchronous PWM AC Chopper Soft Starter : PWMSS ของมอเตอร์เหนี่ยวนำหนึ่งเฟสแบบคาปาซิเตอร์สตาร์ทที่ใช้หลักการควบคุมการเริ่มหมุนแบบนิ่มนวลด้วยพีดับเบิลยูเอ็ม เอช ซี ซ็อบเปอร์ แบบอะซิงโครนัส (Asynchronous PWM AC Chopper Soft Starter : PWMSS) โดยตรงการออกแบบและสร้างขึ้นนี้ ประกอบไปด้วยภาคจ่ายกำลังคือ วงจรสวิตช์ไอจีบีที (IGBT) แบบสวิตช์ 2 ทาง ยี่ห้อ G30N60B3D รุ่น HGTG30N60B3D ขนาด 60 แอมป์, 600 โวลต์ วงจรไดโอดเป็นสวิตช์สองทาง 8 ตัว แบบ Fast Recovery Diode ยี่ห้อ RURG5060 รุ่น RURG5060 ขนาด 50 แอมป์ 600 โวลต์ วงจรกรองสัญญาณ EMI Noise Filter ยี่ห้อ Delta Electronics ขนาด 10 แอมป์ ค่า L คือ 2X2 มิลลิเฮนรี ค่า R คือ 470 โอห์ม ค่า C คือ 2X0.47 ไมโครฟารัด ป้องกันสัญญาณรบกวนทางไฟฟ้าซึ่งจะนำมาต่อรวมเข้ากับวงจรควบคุมและระบบป้องกันวงจร วงจรออปโตคัปเปิลเลอร์ป้องกันการชนกันของไฟฟ้า Opto-Coupler/Opto-Isolator วงจรสแนบเบอร์ RC Snubbers ใช้ค่าตัวต้านทานไวร์วาวด์หุ้มอิทธิซิงค์ (Aluminium Housed Resistor) R คือ 50 วัตต์ 40 โอห์ม แบบ J และค่าตัวเก็บประจุแบบไมลา (Mylar capacitor) C คือ 474 K 630M สำหรับป้องกันวงจรจากไฟกระชาก วงจรแหล่งจ่ายไฟฟ้ากระแสตรง 15 โวลต์ DC Switching Power Supply และภาคจ่ายควบคุม คือ วงจรตรวจจับสัญญาณแรงดัน, วงจรตรวจจับสัญญาณกระแส, วงจรประวิงเวลาหรือ Dead Time และไมโครคอนโทรลเลอร์ C2000 Microcontroller รุ่น TMS320F28379D เพื่อป้องกันสัญญาณการควบคุมให้กับมอเตอร์เหนี่ยวนำหนึ่งเฟสชนิดตัวเก็บประจุช่วยหรือแบบคาปาซิเตอร์สตาร์ทในการเริ่มหมุน 50 ไมโครฟารัด ยี่ห้อ Mitsubishi รุ่น SC-KR ขนาด 1/2 แรงแม่ หรือ 0.4 กิโลวัตต์ 230 โวลต์ 50 เฮิร์ตซ์ 4.3 แอมป์ 4 ขั้ว และความเร็วรอบที่พิกัดที่ 1,430 รอบต่อนาที จากรูปที่ 4.1 จะเป็นการแสดงภาพรวมโครงสร้างของโครงสร้างพื้นฐานของระบบที่ใช้ในการทดสอบการควบคุมการเริ่มหมุนแบบนิ่มนวลโดยวิธีการพีดับเบิลยูเอ็ม เอช ซี ซ็อบเปอร์ แบบอะซิงโครนัส Asynchronous PWM AC Chopper Soft Starter : PWMSS โดยวงจรด้านขาเข้าจะต่อกับระบบไฟฟ้าจากไฟฟ้าของไฟ

เอกสารนี้เป็นเอกสารที่สงวนไว้สำหรับการใช้งานเพื่อการศึกษาเท่านั้น ไม่อนุญาตให้นำไปใช้ประโยชน์ด้านการค้า ไม่ว่าจะกรณีใดๆทั้งสิ้น อีกทั้งห้ามมิให้ดัดแปลงเนื้อหา และต้องอ้างอิงถึงเจ้าของเอกสารทุกครั้งที่มีการนำไปใช้

กระแสสลับ 1 เฟส ผ่านวงจร EMI Noise Filter ป้องกันสัญญาณรบกวนทางไฟฟ้าซึ่งจะนำมาต่อ  
 ร่วมเข้ากับวงจรควบคุมและระบบป้องกันวงจรจากนั้นนำไฟฟ้าผ่านวงจร snubber RC Snubbers  
 สำหรับป้องกันวงจรจากไฟกระชากผ่านวงจรสวิตช์ไอจีบีที (IGBT) แบบสวิตช์ 2 ทางในวงจร PWM  
 AC Chopper สัญญาณขับผ่านขาเกตทั้ง 2 ขา หรือ G1 และ G2 ของวงจรออปโตคัปเปิลอร์ป้องกันการ  
 การชนกันของไฟฟ้า Opto-Coupler/Opto-Isolator ด้วย TPL250 ผ่านวงจรวงจรถ่วงเวลาหรือ  
 Dead Time ที่ตั้งค่า 6  $\mu$ s เพื่อป้องกันสัญญาณการควบคุมให้กับมอเตอร์เหนี่ยวนำหนึ่งเฟสชนิดตัวเก็บ  
 ประจุช่วยหรือแบบคาปาซิเตอร์สตาร์ทในการเริ่มหมุน 50 ไมโครฟารัด ยี่ห้อ Mitsubishi รุ่น SC-KR  
 ขนาด 1/2 แรงม้า หรือ 0.4 กิโลวัตต์ 230 โวลต์ 50 เฮิร์ตซ์ 4.3 แอมป์ 4 ขั้ว และความเร็วรอบที่พิกัด  
 ที่ 1,430 รอบต่อนาที โดยกระบวนการทั้งหมดการกำหนดสัญญาณควบคุมโดยการเขียนวงจรควบคุม  
 ในโปรแกรม MATLAB/Simulink Version R2024a แล้วทำการกำเนิดโค้ดภาษาซี (C) หลังจากนั้น  
 จึงใช้โปรแกรม (Code Composer Studio :CCS) Version 12.4.0 ในการคอมไพล์โค้ดภาษาซี (C)  
 จะควบคุมโดยชุดประมวลผลไมโครคอนโทรลเลอร์ตระกูล C2000 TMS320F28379D ตัวประมวลผล  
 ดังกล่าวจะมีการทำงานที่เชื่อมต่อกับระบบคอมพิวเตอร์เพื่อใช้ตรวจสอบสภาวะการทำงานของบอร์ด  
 ที่ใช้ในการควบคุม โดยรายละเอียดของวงจรต่างๆ จะกล่าวถึงในหัวข้อต่อไป

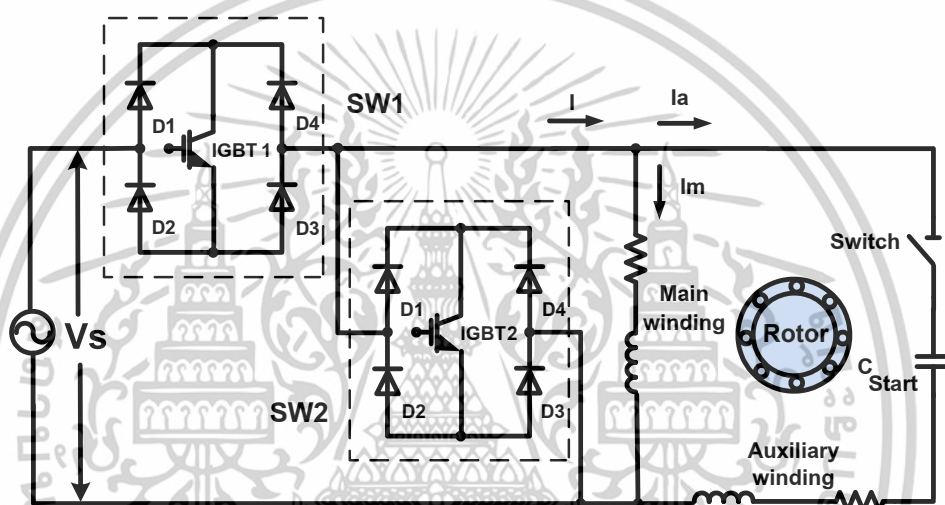


รูปที่ 4.1 ภาพรวมโครงสร้างพื้นฐานของระบบที่ใช้ในการทดสอบการควบคุมการเริ่มหมุนแบบนิ่ม  
 นวลโดยวิธีการพีดีบีแอลยูเอ็ม เอซี ซ็อบเปอร์ แบบอะซิงโครนัส Asynchronous PWM AC

Chopper Soft Starter: PWMSS  
 เอกสารนี้เป็นเอกสารที่สงวนไว้สำหรับการใช้งานเพื่อการศึกษาเท่านั้น เมื่ออนุญาตให้นำไปใช้ประโยชน์ด้านการค้า  
 ไม่ว่าจะกรณีใดๆทั้งสิ้น อีกทั้งห้ามมิให้ดัดแปลงเนื้อหา และต้องอ้างอิงถึงเจ้าของเอกสารทุกครั้งที่มีการนำไปใช้

## 4.2 วงจรสวิตช์ไอจีบีที (IGBT) แบบสวิตช์ 2 ทางในวงจร PWM AC Chopper [18]

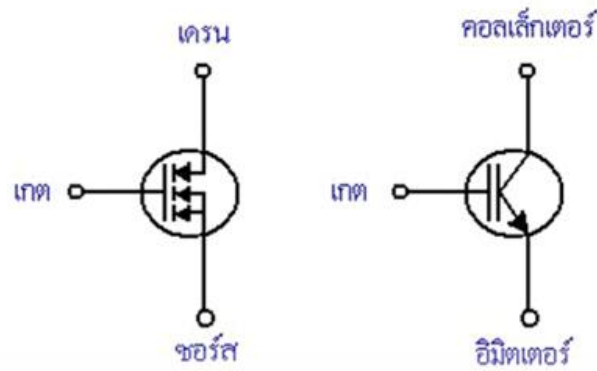
การสร้างชุดวงจรสวิตช์ไอจีบีที (IGBT : Insulated Gate Bipolar Transistor) ใช้เป็นสวิตช์ 2 ทางในวงจร PWM AC Chopper เพื่อใช้ในการควบคุมมอเตอร์หนึ่งเฟสแบบคาปาซิเตอร์สตาร์ท ซึ่งชุดดังกล่าวจะประกอบไปด้วยวงจรสวิตช์ไอจีบีที (IGBT) แบบสวิตช์ตัวที่ 1 และแบบสวิตช์ตัวที่ 2 จะมีไอจีบีที 2 ตัว คือ ยี่ห้อ G30N60B3D รุ่น HGTG30N60B3D ขนาด 60 แอมป์ 600 โวลต์ และ วงจรไดโอดเป็นสวิตช์สองทาง 8 ตัว แบบ Fast Recovery Diode ยี่ห้อ RURG5060 รุ่น RURG5060 ขนาด 50 แอมป์ 600 โวลต์ ประกอบกันเป็นสวิตช์ 2 ทางทำงานสลับกันแบบ 6 โหมดการทำงานจะแสดงลักษณะการควบคุมไว้ในรูปที่ 4.2 และได้กล่าวในบทที่ 3 เรื่องการทำงานในแต่ละโหมดไว้แล้ว



รูปที่ 4.2 วงจรควบคุมมอเตอร์เหนี่ยวนำหนึ่งเฟสด้วยไอจีบีทีที่เป็นสวิตช์

การทำงาน IGBT ค่อนข้างจะเป็นอุปกรณ์ที่ใหม่อยู่แต่พอจะมีใช้กันบ้างและมีจำหน่ายกันหลายเบอร์ด้วยกันจึงมีสัญลักษณ์อยู่หลายรูปแบบด้วยกันขึ้นอยู่กับผู้ผลิตว่าจะใช้สัญลักษณ์ใดเป็นสัญลักษณ์ประจำสินค้าที่ผลิตขึ้นส่วนมากจะมีอยู่ 2 แบบดังรูปที่ 4.3 ซึ่งเป็นสัญลักษณ์และชื่อเรียกขาต่างๆของ IGBT ชนิดเอ็นแชนเนลจากรูป (ก) จะเห็นว่ามีสัญลักษณ์คล้ายกับมอสเฟตมากเพียงแต่สัญลักษณ์จะมีลูกศรเพิ่มขึ้นมาตรงขาเดรนลักษณะของลูกศรจะชี้เข้าหาตัวหรือชี้เข้าหาชั้นของซิลิคอนภายในตัว IGBT (ข) จะเหมือนกับสัญลักษณ์ของทรานซิสเตอร์แต่ตรงขาเกตหรือขาเบสของทรานซิสเตอร์จะเพิ่มขีดขึ้นมาอีกหนึ่งขีดเพื่อให้เห็นว่าขีดที่เพิ่มมานั้นไม่ได้ต่อถึงกันโดยตรงกับขาที่ต่อออกมาภายนอก

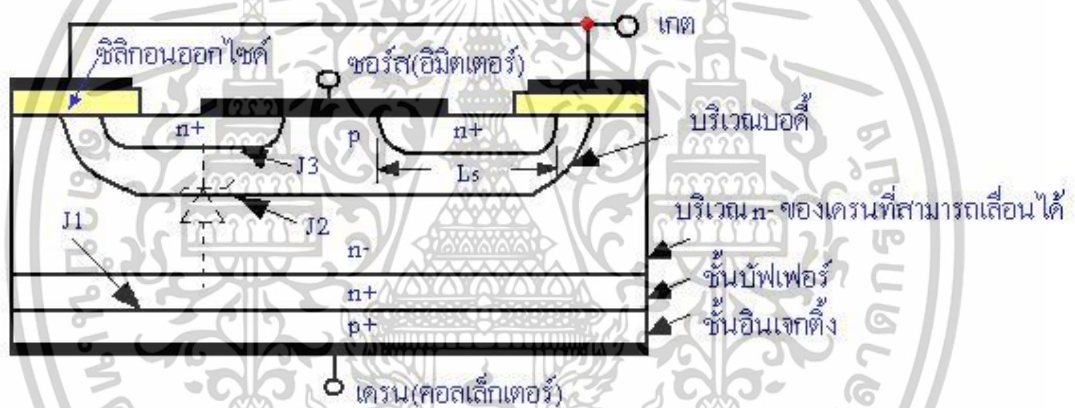
เอกสารนี้เป็นเอกสารที่สงวนไว้สำหรับการใช้งานเพื่อการศึกษาเท่านั้น ไม่อนุญาตให้นำไปใช้ประโยชน์ด้านการค้า ไม่ว่าจะกรณีใดๆทั้งสิ้น อีกทั้งห้ามมิให้ดัดแปลงเนื้อหา และต้องอ้างอิงถึงเจ้าของเอกสารทุกครั้งที่มีการนำไปใช้



(ก) สัญลักษณ์ของ IGBT แบบมอสเฟส (ข) สัญลักษณ์ของ IGBT แบบทรานซิสเตอร์

รูปที่ 4.3 สัญลักษณ์ของ IGBT ทั้ง 2 แบบ

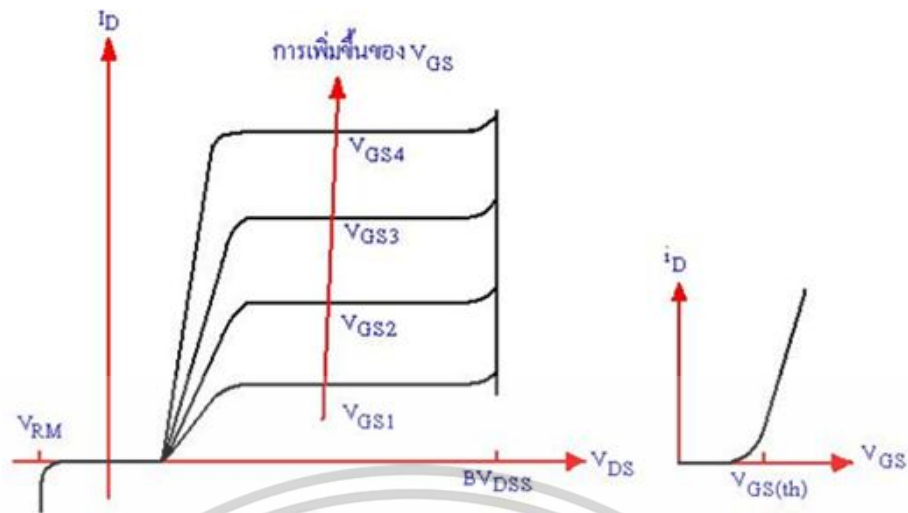
โครงสร้างของ IGBT ชนิดเอ็นแซนเนลแสดงเป็นภาพตัดขวางได้ดังรูป 4.4



รูปที่ 4.4 ภาพหน้าตัดโครงสร้างพื้นฐานของ IGBT

จากรูปที่ 4.5 กราฟแสดงให้เห็นว่าส่วนใหญ่ของเส้นกราฟมีลักษณะเป็นเส้นตรงแต่จะเริ่มโค้งที่กระแสเดรนต่ำๆ นั่นก็คือจุดที่แรงดันระหว่างขาเกตและขาซอร์สต่ำลงใกล้แรงดันจุดเริ่มเปลี่ยนสภาวะการทำงานจุด Threshold Voltage:  $V_{GS(th)}$  โดยถ้าแรงดันระหว่างเกตและซอร์สนี้ต่ำกว่าแรงดันที่จุด  $V_{GS(th)}$  แล้ว IGBT จะอยู่ในสภาวะหยุดนำกระแสหรือคัทออฟในกรณีของ IGBT ชนิดพีแซนเนลนั้นคุณสมบัติจะคล้ายกับเอ็นแซนเนลแต่โครงสร้างและสัญลักษณ์มีลักษณะตรงกันข้ามกับเอ็นแซนเนล (ก) กราฟแสดงคุณสมบัติระหว่างกระแสและแรงดันของ IGBT และ (ข) กราฟแสดงลักษณะสมบัติการถ่ายโอนของ IGBT

เอกสารนี้เป็นเอกสารที่สงวนไว้สำหรับการใช้งานเพื่อการศึกษาเท่านั้น ไม่อนุญาตให้นำไปใช้ประโยชน์ด้านการค้าไม่ว่ากรณีใดๆทั้งสิ้น อีกทั้งห้ามมิให้ดัดแปลงเนื้อหา และต้องอ้างอิงถึงเจ้าของเอกสารทุกครั้งที่มีการนำไปใช้

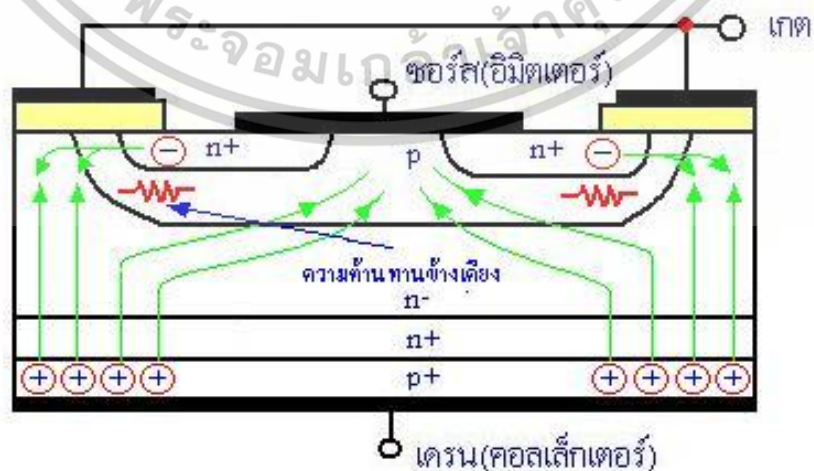


(ก) กราฟแสดงคุณสมบัติระหว่างกระแสและแรงดันของ IGBT (ข) กราฟการถ่ายโอนของ IGBT

รูปที่ 4.5 กราฟแสดงลักษณะคุณสมบัติ IGBT

4.2.1 สถานะนำกระแส

กระแสอิเล็กตรอนที่ไหลจากขาซอร์สผ่านบริเวณใต้เกตมายังบริเวณรอยเลื่อน n- รวมกับโฮลที่เป็นพาหะข้างน้อยที่ถูกฉีดมาจากชั้นอินเจกต์ติ้ง p+ เพราะรอยต่อ J1 ได้รับแรงดันไบอัสตรงทำให้ IGBT อยู่ในสถานะนำกระแสเกิดการไหลของกระแสไฟฟ้าจากเดรนไปซอร์สได้การรวมกันของโฮลและอิเล็กตรอนภายในบริเวณ n- เรียกว่าการมอดูเลตสภาพนำ (Conductivity Modulation) ผลการมอดูเลตนี้จะทำให้ความต้านทานของบริเวณ n- มีค่าต่ำลงเป็นการเพิ่มความสามารในการขับผ่านกระแสได้สูงขึ้น ซึ่งมีลักษณะเหมือนเพาเวอร์ทรานซิสเตอร์ผลของความต้านทานที่ลดลงทำให้แรงดันตกคร่อมที่สถานะนำกระแสลดต่ำลงด้วยการสูญเสียกำลังงานขณะนำกระแสจึงลดลงด้วยทิศทางการไหลของอิเล็กตรอนและโฮลแสดงดังรูป 4.6



รูปที่ 4.6 ทิศทางการไหลของอิเล็กตรอนและโฮลในขณะนำกระแส

เอกสารนี้เป็นเอกสารที่สงวนไว้สำหรับการใช้งานเพื่อการศึกษาเท่านั้น เมื่ออนุญาตให้นำไปใช้โดยไม่ว่ากรณีใดๆทั้งสิ้น อีกทั้งห้ามมิให้ดัดแปลงเนื้อหา และต้องอ้างอิงถึงเจ้าของเอกสารทุกครั้งที่มีการนำไปใช้

#### 4.2.2 สถานะหยุดนำกระแส

การลดบริเวณความหนาของ n- ลงแต่ยังคงความสามารถของอัตราทันทรงดันตรงไว้สามารถทำได้โดยเพิ่มชั้นบัฟเฟอร์ n+ เข้าไปเพื่อป้องกันการตะกันของบริเวณปลอดพาหะกับบริเวณอินเจ็กต์ติ้ง p+ ซึ่งจะเรียก IGBT ชนิดนี้ว่า IGBT แบบไม่สมมาตรและจากการลดความหนาแน่นของบริเวณรอยเลื่อน n- จะช่วยส่งผลให้เกิดข้อดีสองประการคือ

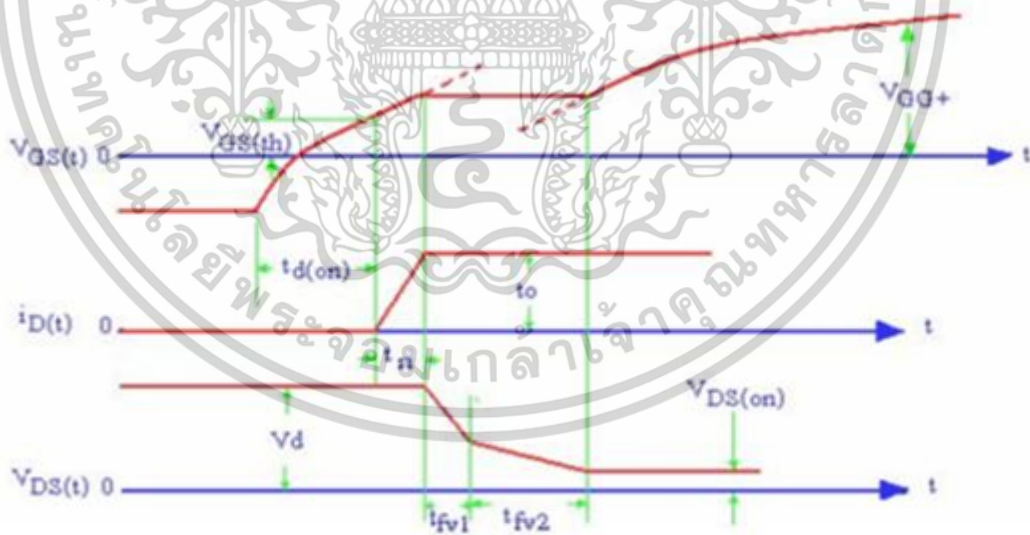
1. ทำให้แรงดันตกคร่อมขณะนำกระแสต่ำลงเป็นผลให้การสูญเสียกำลังงานลดน้อยลงด้วย

2. ช่วยลดช่วงเวลาหยุดนำกระแสให้สั้นลงได้

แต่ข้อเสียของการเพิ่มชั้นบัฟเฟอร์ n+ ก็คือจะลดความสามารถของอัตราทันทรงดันย้อนกลับให้เหลือน้อยลงเพียงไม่กี่สิบลโวลต์ ทั้งนี้เมื่อ IGBT ได้รับแรงดันไบอัสกลับที่ขาเดรนรอยต่อ J1 ซึ่งทั้งสองข้างมีความหนาแน่นในการได้ปของสารมากจะไม่สามารถทนแรงดันย้อนกลับได้สูง ดังนั้น IGBT ชนิดนี้ไม่เหมาะสมที่จะนำมาใช้ในวงจรไฟฟ้ากระแสสลับ

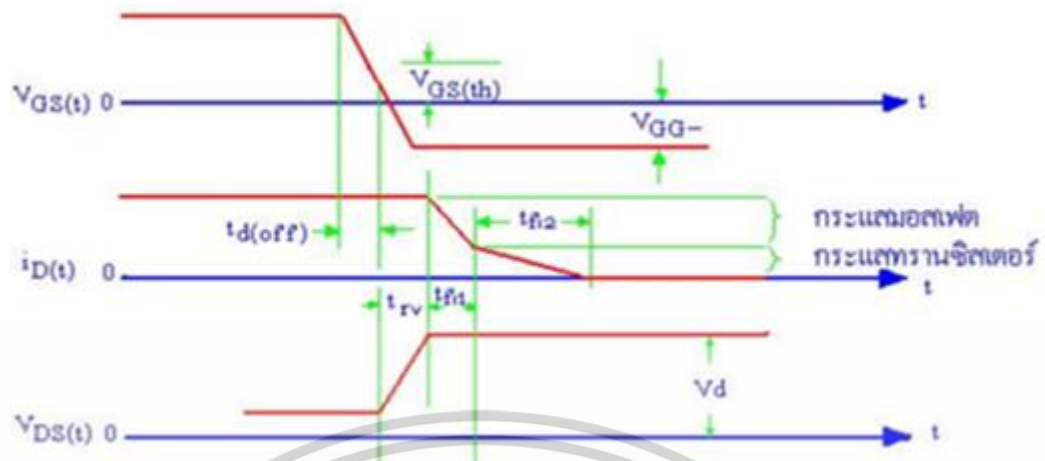
#### 4.2.3 ลักษณะการสวิตช์

ลักษณะของสัญญาณกระแสและแรงดันในช่วงเวลาที่เกิดการนำกระแสและหยุดนำกระแส แสดงไว้ในรูปที่ 4.7 (ก) ลักษณะของกระแสและแรงดันขณะนำกระแสและ (ข) ลักษณะของกระแสและแรงดันขณะหยุดนำกระแส



(ก) ลักษณะของกระแสและแรงดันขณะนำกระแส

เอกสารนี้เป็นเอกสารที่สงวนไว้สำหรับการใช้งานเพื่อการศึกษาเท่านั้น ไม่อนุญาตให้นำไปใช้ประโยชน์ด้านการค้า ไม่ว่าจะกรณีใดๆทั้งสิ้น อีกทั้งห้ามมิให้ตัดแปลงเนื้อหา และต้องอ้างอิงถึงเจ้าของเอกสารทุกครั้งที่มีการนำไปใช้



(ข) ลักษณะของกระแสและแรงดันขณะหยุดนำกระแส

รูปที่ 4.7 ลักษณะของกระแสและแรงดันขณะนำกระแสและขณะหยุดนำกระแส

ในรูปที่ 4.7 (ก) โดยช่วงเวลาในการนำกระแสของ IGBT มีลักษณะการนำกระแสคล้ายกับการนำกระแสของ MOSFET คือจะมีเวลาก่อนการนำกระแส  $t_d(\text{on})$  นับตั้งแต่เวลาที่แรงดันระหว่างเกตกับซอร์สอยู่ในช่วง  $V_{GG-}$  จนถึง  $V_{GS}(\text{th})$  ความจริงแล้วการป้อนแรงดันนี้จะมีลักษณะการเปลี่ยนแปลงทันทีทันใดจากค่า  $V_{GG-}$  เป็น  $V_{GG+}$  แต่มีลักษณะเป็นเอ็กซ์โปเนนเชียลเหตุที่เป็นเช่นนั้นเนื่องจากผลการชาร์จประจุของตัวเก็บประจุระหว่างเกตกับซอร์สและเกตกับเดรนภายใน IGBT แรงดันที่ขาเดรนจะยังคงที่ในช่วงเวลาขาขึ้น ( $t_{ri}$ ) หรือในช่วงเวลาที่กระแสเดรนยังไม่ถึงค่ากระแสทำงาน ( $I_o$ ) หลังจากนั้นกระแสเดรนก็จะคงที่แต่แรงดันจะตกลงสู่ค่า  $V_{SD}(\text{on})$  โดยแบ่งช่วงเวลาลงเป็นสองช่วง คือช่วง  $t_{fv1}$  เป็นช่วงที่ทำงานอยู่ในย่านความต้านทานสูง ( $R_{\text{channel}}$ ) ส่วน  $t_{fv2}$  ช่วงที่ทำงานอยู่ในช่วงความต้านทานต่ำ ( $R_{\text{channel}}$ ) และในรูปที่ 4.7 (ข) เป็นรูปแสดงลักษณะกระแสและแรงดันในช่วงเวลาที่ IGBT หยุดนำกระแส จะเห็นได้ว่ากระแสเดรนยังคงที่อยู่ตลอดเวลาที่แรงดันขาเดรนเพิ่มขึ้น และมีช่วงเวลาลงของกระแสเดรนที่แตกต่างชัดเจนสองช่วงโดยช่วงแรก  $t_{fi1}$  จะเป็นช่วงหยุดนำกระแสของ MOSFET ภายใน IGBT และช่วง  $t_{fi2}$  จะเป็นช่วงหยุดนำกระแสของทรานซิสเตอร์พีเอ็นพี ซึ่งจะช้ากว่า MOSFET ทำให้ช่วงเวลานี้นานกว่าช่วงแรกและมีการสูญเสียกำลังงานมากในช่วงนี้

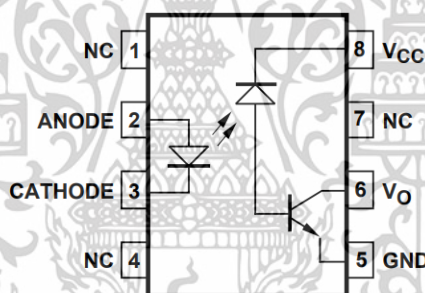
### 4.3 วงจรขับเคลื่อนสวิตช์กำลังไอจีบีที [23]

การควบคุมการทำงานของสวิตช์กำลังแบบไอจีบีทีสวิตช์ 2 ทางจำเป็นต้องมีวงจรแยกกราวนด์ (Isolate) ที่ใช้ในการควบคุมการทำงานจำนวน 2 ตัว เพื่อแยกกราวด์ระหว่างสวิตช์กำลัง เอกสารนี้เป็นเอกสารที่สงวนไว้สำหรับการใช้งานเพื่อการศึกษาเท่านั้น ไม่อนุญาตให้นำไปใช้ประโยชน์ด้านการค้า ไม่ว่าจะกรณีใดๆทั้งสิ้น อีกทั้งห้ามมิให้ดัดแปลงเนื้อหา และต้องอ้างอิงถึงเจ้าของเอกสารทุกครั้งที่มีการนำไปใช้

แบบไอจีบีทีสวิตช์ 2 ทางกับชุดประมวลผลไมโครคอนโทรลเลอร์ C2000 Microcontroller รุ่น TMS320F28379D ในการออกแบบวงจรแยกกราวด์สัญญาณขับเคลื่อน ทางผู้วิจัยได้เลือกไอซีแบบ แยกสัญญาณความถี่สูงหรือไอซี Optocoupler – Isolator ที่มีหลักการทำงานโดยอาศัยหลักการส่ง สัญญาณผ่านการเปล่งแสงและรับแสงของตัวหลอดแอลอีดี โดยสัญญาณจะถูกส่งผ่านตัวรับแสงที่อยู่ อีกด้านของไอซี จึงทำให้ไอซีชนิดนี้สามารถส่งสัญญาณโดยแยกอุปกรณ์ควบคุมตามเป้าหมายที่ ต้องการออกแบบไว้ โดยได้เลือกใช้งานไอซีเบอร์ TLP250 ซึ่งสามารถศึกษาการทำงานได้จากตารางที่ 4.1

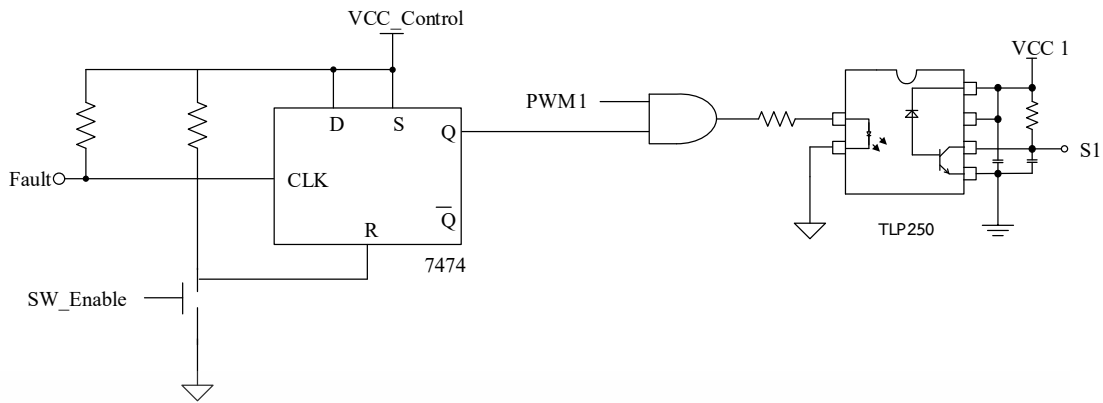
ตารางที่ 4.1 สถานะการทำงานลอจิกและมีสัญญาณเอาต์พุตไอซีเบอร์ TLP250

ระดับลอจิก	แรงดันที่ขาเกต (V)
ON	LOW
OFF	HIGH



รูปที่ 4.8 โครงสร้างภายในของไอซี Optocoupler – Isolator เบอร์ TLP250

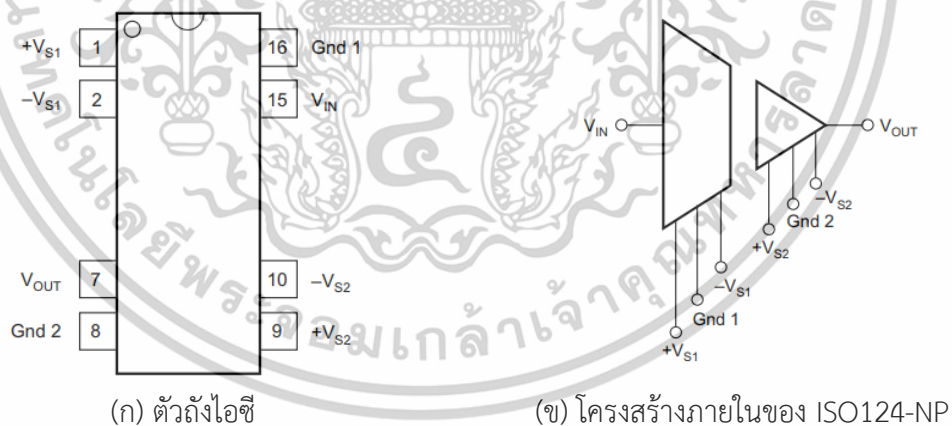
และเพื่อรับรองฟังก์ชันการตรวจจับสัญญาณฟลัดจากตัวโมดูล ทางผู้วิจัยยังได้เลือกไอซีเบอร์ TLP250 ที่ได้กล่าวมาข้างต้นมาใช้ โดยนำข้อดีจากการที่สามารถทำงานได้ที่ความถี่สูงและมีความไวต่อการรับส่งสัญญาณ หากมีการตรวจจับสัญญาณฟลัดเจอ สัญญาณจะถูกส่งไปยังไอซี ฟลิปฟลอปเบอร์ 7474 เพื่อทำการหยุดจ่ายสัญญาณพัลส์ให้กับวงจรแยกกราวด์ขับเคลื่อน โดยหลักการคือการนำสัญญาณ Enable มาเข้าไอซี AND กับสัญญาณพัลส์ จากนั้นจึงป้อนให้กับไอซี TLP250 ที่ทำงานในส่วนขับเคลื่อนสัญญาณ โดยการออกแบบวงจรทั้งหมดที่กล่าวมาข้างต้นแสดงในรูปที่ 4.9 ด้านล่าง



รูปที่ 4.9 วงจรแยกกราวนด์สัญญาณขับเกต

#### 4.4 ส่วนวงจรควบคุม [23]

วงจรตรวจจับสัญญาณแรงดันไฟฟ้าเนื่องจากแรงดันไฟฟ้าด้านวงจรกำลังมีขนาดที่สูงเมื่อเปรียบเทียบกับขนาดพิกัดแรงดันด้านภาคควบคุมที่ใช้เพียง 3.0 โวลต์ เพื่อความปลอดภัยของระบบควบคุมเมื่อเกิดการลัดวงจรของภาคกำลัง จึงออกแบบให้ทั้ง 2 ส่วนนี้ แยกกลุ่มวงจรแยกออกจากกัน จึงออกแบบใช้ Power Transducer Isolator Amplifier (ISO124-NP) ซึ่งเป็นไอซีที่สามารถส่งสัญญาณทางด้านเอาต์พุตมีขนาดเท่ากับอินพุต โดยที่ด้านอินพุตและเอาต์พุตมีแยกออกจากกันโดยอิสระแต่ก็มีขอบเขตของสัญญาณจำกัดสูงสุดที่ระดับแรงดันไฟเลี้ยงของไอซี โดยลักษณะตัวถังและโครงสร้างภายในแสดงได้ดังรูปที่ 4.10



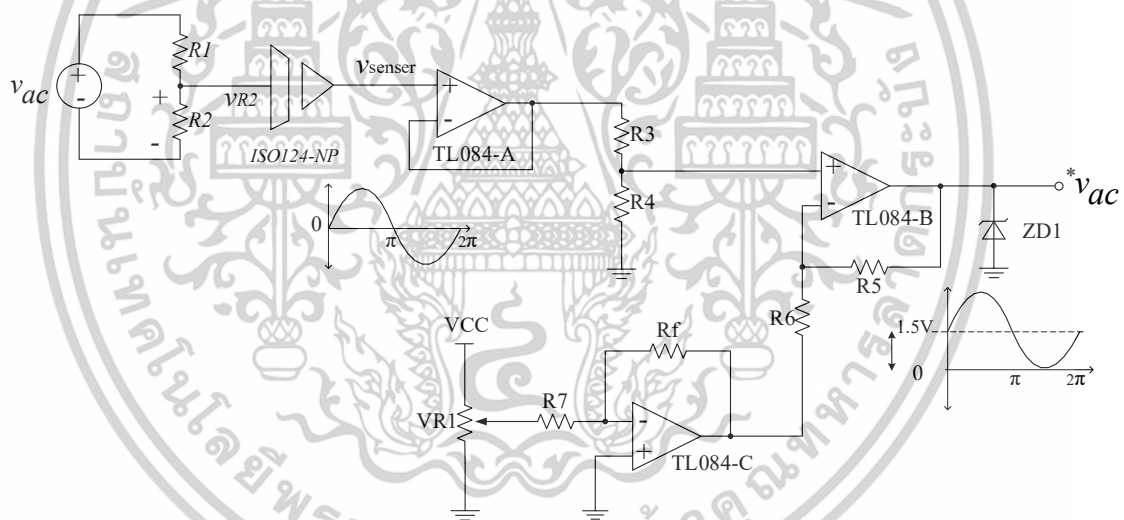
รูปที่ 4.10 Power Transducer Isolator Amplifier (ISO124-NP)

เอกสารนี้เป็นเอกสารที่สงวนไว้สำหรับการใช้งานเพื่อการศึกษาเท่านั้น ไม่อนุญาตให้นำไปใช้ประโยชน์ด้านการค้า ไม่ว่าจะกรณีใดๆทั้งสิ้น อีกทั้งห้ามมิให้ดัดแปลงเนื้อหา และต้องอ้างอิงถึงเจ้าของเอกสารทุกครั้งที่มีการนำไปใช้

#### 4.4.1 การออกแบบวงจรตรวจจับสัญญาณแรงดันไฟฟ้ากระแสสลับ

วงจรตรวจจับสัญญาณแรงดันไฟฟ้ากระแสสลับได้ออกแบบใช้ Power Transducer Isolator amplifier (ISO124-NP) เช่นเดียวกับวงจรตรวจจับสัญญาณแรงดันไฟตรงเนื่องจากมีสมบัติการแยกกราวด์สัญญาณออกจากกราวด์ในวงจรกำลังเพื่อป้องกันวงจรควบคุมไม่ให้เกิดความเสียหายเมื่อเกิดการลัดวงจรในวงจรกำลัง

เนื่องจากสัญญาณเอาต์พุตของวงจรอินเวอร์เตอร์ มีสัญญาณที่เป็นซีกบวกและลบโดยพิกัดของขนาดแรงดันที่ใช้ในงานวิทยานิพนธ์นี้มีพิกัดประมาณ 220 Vrms ซึ่งเป็นสัญญาณที่ไม่สามารถป้อนให้กับไมโครคอนโทรลเลอร์ได้โดยตรงจึงทำการออกแบบวงจรแบ่งแรงดันให้มีขนาด 3.0 โวลต์ พร้อมกับออกแบบวงจรยกระดับสัญญาณที่สามารถปรับขนาดได้ โดยมีแนวคิดคือทำการปรับระดับตำแหน่งจุดตัดศูนย์ของสัญญาณให้สูงขึ้นที่ 1.5 โวลต์ จะส่งผลให้สัญญาณในซีกลบมีค่าสูงสุดที่ตำแหน่ง 0 โวลต์ สามารถพิจารณาวงจรใช้งานและสัญญาณที่ออกจากวงจรดังกล่าวได้ดังแสดงในรูปที่ 4.11 ทางผู้วิจัยขอยกตัวอย่างสัญญาณที่ใช้เป็นอินพุตให้กับวงจรเป็นสัญญาณไซน์อ้างอิงเพื่อให้ง่ายต่อการพิจารณา



รูปที่ 4.11 วงจรตรวจจับสัญญาณแรงดันไฟฟ้ากระแสสลับ

วงจรปรับขนาดและวงจรยกระดับอ้างอิงศูนย์สัญญาณไซน์ได้ออกแบบระดับสัญญาณรูปคลื่นไซน์ให้สูงขึ้นจากเส้นอ้างอิงศูนย์ขึ้นมา 1.5 โวลต์ ปรับขนาดสัญญาณในย่านที่เหมาะสมสำหรับป้อนให้กับไมโครคอนโทรลเลอร์ โดยมีสัญญาณเป็นไฟตรงที่มีลักษณะเป็นคลื่นไซน์ จำกัดขนาดของสัญญาณไม่ให้เกิน 3.1 โวลต์ ด้วยซีเนอร์ไดโอด สามารถสมการแสดงการหาค่าความไวของการตรวจจับสัญญาณและเขียนวงจรการปรับขนาดและยกระดับสัญญาณแรงดัน ได้ดังสมการที่ (4.1) และ (4.2)

เอกสารนี้เป็นเอกสารที่สงวนไว้สำหรับการใช้งานเพื่อการศึกษาเท่านั้น ไม่อนุญาตให้นำไปใช้ประโยชน์ด้านการค้า ไม่ว่าจะกรณีใดๆทั้งสิ้น อีกทั้งห้ามมิให้ดัดแปลงเนื้อหา และต้องอ้างอิงถึงเจ้าของเอกสารทุกครั้งที่มีการนำไปใช้

$$V_o = \frac{V_g R_1}{R_1 + R_2} \times \left( \frac{R_5}{R_6} \right) + 1.5V \quad (4.1)$$

$$Gain = \frac{V_o}{V_s} = \frac{R_1}{R_1 + R_2} \times \left( \frac{R_5}{R_6} \right) \quad (4.2)$$

#### 4.4.2 การออกแบบวงจรตรวจจับสัญญาณกระแสไฟฟ้าสลับ

วงจรตรวจจับสัญญาณกระแสไฟฟ้าสลับใช้ตัวตรวจจับสัญญาณแบบ Current Transducer (LEM LA25-NP) ซึ่งใช้หลักการตรวจจับสัญญาณกระแสด้วยปรากฏการณ์ Hall Effect ในการรับสัญญาณกระแสโดยมีอัตราส่วนของกระแสขาออกต่อขาเข้าคือ 1:1000 ในการออกแบบนั้นมีวงจรสำหรับปรับขนาดสัญญาณ และวงจรยกระดับสัญญาณให้อยู่ในย่านที่เหมาะสมแล้วส่งผ่านเข้าสู่ไมโครคอนโทรลเลอร์เช่นเดียวกับวงจรตรวจจับแรงดันไฟฟ้ากระแสสลับ เพื่อให้สัญญาณกระแสกระแสไฟฟ้าสลับที่มีทั้งซีกบวกและซีกลบให้เป็นสัญญาณไฟตรงที่มีรูปคลื่นแบบสัญญาณไซน์ โดยสามารถเขียนสมการแสดงการหาค่าความไวของการตรวจจับสัญญาณได้ตั้งสมการที่ (4.3) และ (4.4) พร้อมทั้งแสดงวงจรการปรับขนาดและยกระดับสัญญาณกระแสที่ได้ออกแบบใช้งาน ได้ดังรูปที่ 4.12

อัตราขยายสัญญาณด้านเอาต์พุต

$$V_o = \frac{-I_p R_{sense} R_2}{1000 \times R_1} + 1.5V \quad (4.3)$$

ค่าความไวตรวจจับสัญญาณ

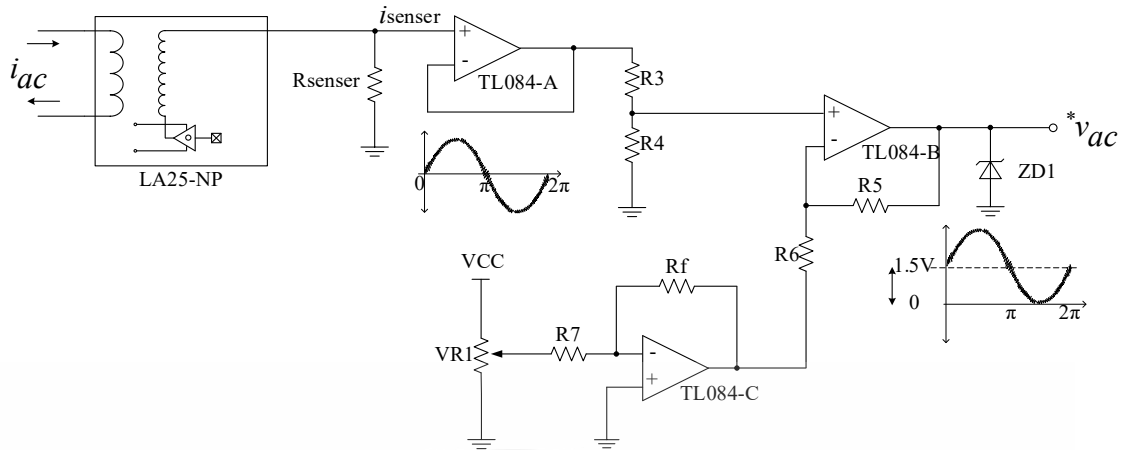
$$Sensitivity = \frac{V_o}{I_p} = \frac{R_{sense} R_2}{1000 \times R_1} \quad Volt / Amp \quad (4.4)$$

เมื่อ

$i_p$  คือ สัญญาณกระแสเอาต์พุตของ LA25-NP

$R_{sense}$  คือ ตัวต้านทานสร้างแรงดันของสัญญาณกระแส

เอกสารนี้เป็นเอกสารที่สงวนไว้สำหรับการใช้งานเพื่อการศึกษาเท่านั้น ไม่อนุญาตให้นำไปใช้ประโยชน์ด้านการค้า ไม่ว่าจะกรณีใดๆทั้งสิ้น อีกทั้งห้ามมิให้ตัดแปลงเนื้อหา และต้องอ้างอิงถึงเจ้าของเอกสารทุกครั้งที่มีการนำไปใช้



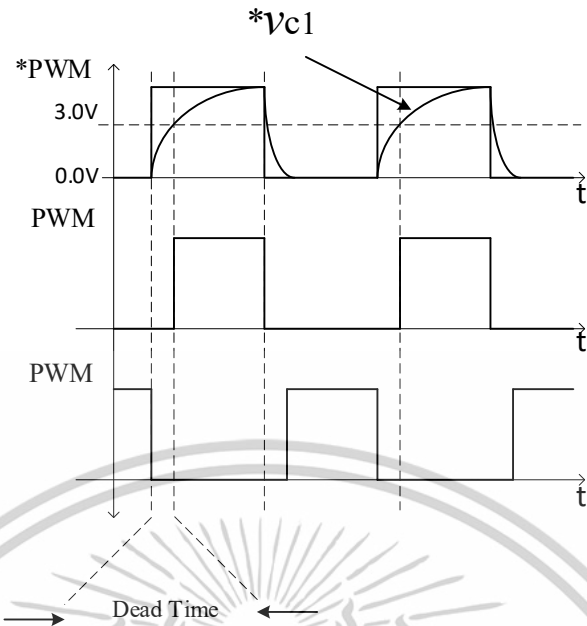
รูปที่ 4.12 วงจรตรวจจับสัญญาณกระแสไฟฟ้าสลับ

#### 4.4.3 วงจรประวิงเวลา

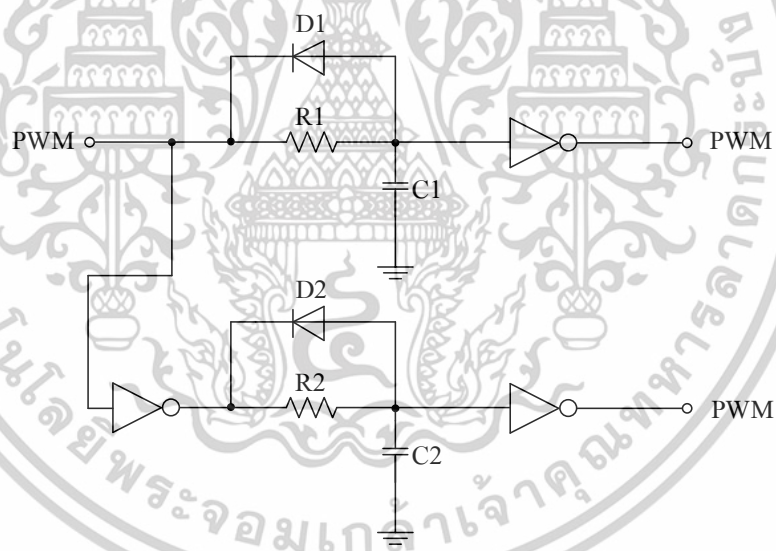
การประวิงเวลาคือหน่วงเวลาการสวิตช์ระหว่างกึ่งบนและกึ่งล่างเพื่อไม่ให้เกิดการสวิตช์พร้อมกันแบบทันทีทันใดสามารถป้องกันการลัดวงจรในระหว่างการทำงานได้ หลักการพื้นฐานที่ออกกแบบแนวคิดมาจากวงจร RC Resonance โดยใช้หลักการชาร์จประจุต่อคาบเวลาของตัวเก็บประจุที่ไม่สามารถเปลี่ยนแปลงทันทีทันใดมาเปรียบเทียบกับระดับสัญญาณลอจิกของ NOT Gate ที่จะมีสถานะเอาต์พุตเป็น 1 เมื่อระดับสัญญาณมากกว่า 3.0 โวลต์การคำนวณหาค่าแรงดันเก็บประจุและคายประจุของตัวเก็บประจุสามารถหาได้จากสมการที่ (4.5)

$$V_{Low} = 5 \times e^{-\frac{t}{RC}} \quad (4.5)$$

โดยที่  $V_{Low}$  จะเป็นค่าแรงดันของสถานะลอจิก 0 จากการคายประจุของค่าตัวเก็บประจุเพื่อนำมาป้อนเข้าสู่ลอจิก NOT Gate ของไอซี 7404 เมื่อนำมาออกแบบสร้างวงจรจะได้ดังรูปที่ 4.13 (ก) แสดงหลักการทำงานและวงจรประวิงเวลาที่ได้ออกแบบไว้ในรูปที่ 4.13 (ข)



(ก) หลักการทำงานของวงจรประวิงเวลา



(ข) วงจรประวิงเวลาที่ออกแบบ

รูปที่ 4.13 วงจรประวิงเวลา

เอกสารนี้เป็นเอกสารที่สงวนไว้สำหรับการใช้งานเพื่อการศึกษาเท่านั้น ไม่อนุญาตให้นำไปใช้ประโยชน์ด้านการค้า ไม่ว่าจะกรณีใดๆทั้งสิ้น อีกทั้งห้ามมิให้ตัดแปลงเนื้อหา และต้องอ้างอิงถึงเจ้าของเอกสารทุกครั้งที่มีการนำไปใช้

#### 4.4.4 การแปลงค่าอนาล็อกเป็นดิจิตอล (Analog to Digital Converter)

สัญญาณจากการตรวจจับค่าแรงดันและกระแสจากวงจรออปแอมป์ที่ออกแบบในหัวข้อที่ 4.4.1 – 4.4.2 เอาต์พุตของสัญญาณจะมีขนาดแรงดันอยู่ในระดับช่วง 0.0 โวลต์ - 3.0 โวลต์ ซึ่งเป็นขนาดแรงดันอนาล็อกสูงสุดที่ไม่โครคอนโทรลเลอร์สามารถรับได้

สัญญาณอนาล็อกที่ป้อนให้กับ Analog Modules (ADCs) ค่าดิจิตอลที่แปลงค่ามาจากอนาล็อกจะมีค่าสูงสุดขึ้นอยู่กับจำนวนความละเอียดของฟังก์ชันรับค่าที่เป็นสมบัติของไมโครคอนโทรลเลอร์แต่ละตัว ซึ่งจะมีข้อมูลค่าดิจิตอลสูงสุดเป็นค่ากำลังสองของจำนวนบิตของฟังก์ชันอนาล็อกสำหรับไมโครคอนโทรลเลอร์ที่ใช้ในการวิทยานิพนธ์นี้มีความละเอียดที่ 12 บิต จะมีค่าเท่ากับ

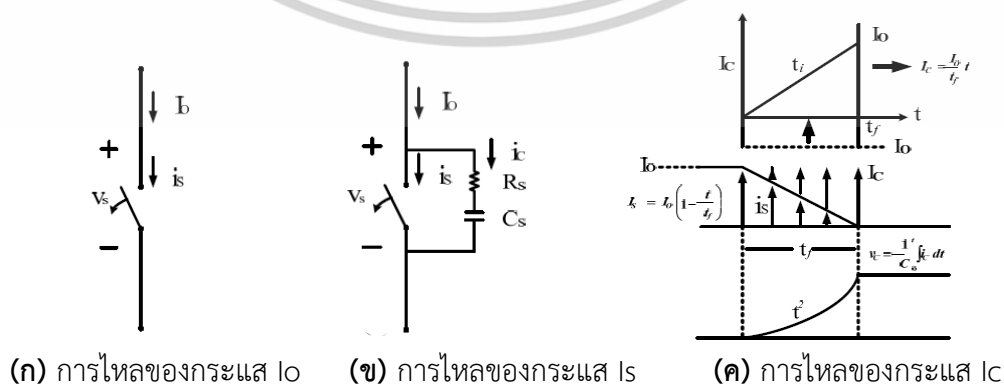
$$\begin{aligned} DigitalValue &= 2^{12bit} \\ &= 4095_{oct} \end{aligned} \quad (4.6)$$

การแปลงค่าอนาล็อกเป็นดิจิตอลเพื่อเป็นการเปลี่ยนรูปแบบการคำนวณจากขนาดสัญญาณที่มีความต่อเนื่องมาเป็นขนาดลำดับตัวเลขในระบบฐานสิบ เพื่อให้รองรับการประมวลผลที่เป็นแบบดิจิตอลโดยการนำไปประมวลผลในระบบที่ได้ออกแบบไว้ ซึ่งเป็นขนาดจริงทางระบบไฟฟ้าและขนาดเวกเตอร์หรือทิศทางของสัญญาณที่กล่าวมาทั้งหมดเราจำเป็นต้องแปลงค่าสัญญาณดิจิตอลมาเป็นสัญญาณทางไฟฟ้าที่มีขนาดและทิศทางเท่ากับสัญญาณจริงที่ได้ออกแบบไว้

ซึ่งการแปลงค่าดิจิตอลมาเป็นขนาดและทิศทางจริงของระบบไฟฟ้าขึ้นอยู่กับลักษณะการออกแบบค่าอัตราส่วนขยายและลดทอนของวงจรตรวจจับสัญญาณแรงดันและกระแสในหัวข้อที่ 4.4.1 – 4.4.2

#### 4.5 วงจรสับเบอร์

การคำนวณหาค่าคาปาซิแตนซ์ของวงจรสับเบอร์



รูปที่ 4.14 รูปการแบ่งกระแส  $I_o$  เป็น  $I_s$  และ  $I_c$

เอกสารนี้เป็นเอกสารที่สงวนไว้สำหรับการใช้งานเพื่อการศึกษาเท่านั้น ไม่อนุญาตให้นำไปใช้ประโยชน์ด้านการค้า ไม่ว่าจะกรณีใดๆทั้งสิ้น อีกทั้งห้ามมิให้ดัดแปลงเนื้อหา และต้องอ้างอิงถึงเจ้าของเอกสารทุกครั้งที่มีการนำไปใช้

จากรูปที่ 4.14 (ก) จะเห็นได้ว่ากระแสมีทิศทางการไหลทางเดียวตลอดเมื่อสวิตช์ทำงานในลักษณะตัดต่อวงจรจะทำให้กระแสเกิดการหยุดไหลในทันทีทันใด จึงทำให้เกิดแรงดันสไปค์จากการที่กระแสเปลี่ยนแปลงทันทีทันใดอันเป็นผลมาจากค่า  $L$  ในแหล่งจ่าย ดังนั้นจึงต้องสร้างเส้นทางไหลใหม่ให้กับกระแสโดยดั่งใน รูปที่ 4.14 (ข) เมื่อสวิตช์จากออกแล้วกระแส ( $I_o$ ) ก็ยังไหลไปในทิศทางเดิมแล้วค่อยๆลดลง ดังในรูปที่ 4.14 (ค) จะเห็นได้ว่ามีทางให้กระแสไหลได้สองทางโดยการใส่วงจร  $R_s C_s$  สนับเบอร์เพิ่มเข้าไปในวงจร จากนั้นจึงต้องหาค่าของ  $R_s C_s$  สนับเบอร์ที่ใส่เข้าไป โดยเริ่มจากการคำนวณหาที่มาของสมการหาค่า  $C_s$  ของสับเบอร์ จากลักษณะการ แบ่งกระแสแบ่งกระแส  $I_o$  เป็น  $I_s$  และ  $I_c$  จากรูปที่ 4.14 (ค) เมื่อแรงดันที่ตกคร่อม  $C_s$  มีค่าเท่ากับแรงดันแหล่งจ่าย กระแสที่ไหลผ่าน  $C_s$  จะหยุดไหลดั่งนั้น  $V_c$  เท่ากับ  $V_s$  จะได้ดั่งในสมการที่ (4.7)

$$v_s = \frac{1}{C_s} \int_0^{t_f} i_c dt \quad (4.7)$$

$$v_s = \frac{1}{C_s} \int_0^{t_f} I_o \frac{t}{t_f} dt \quad \text{จาก } v_s = \frac{I_o}{t_f} t \quad (4.8)$$

จะได้สมการ  $C_s$  ดั่งนี้ 
$$C_s = \frac{I_o t_f}{2v_s} t \quad (4.9)$$

การคำนวณหาความต้านทานของวงจรสับเบอร์ในรูปที่ 4.15 ช่วงเวลาที่สวิตช์นำกระแส ( $t_{on}$ ) จะต้องมีค่าพอที่จะให้ตัวเก็บประจุ ( $C$ ) สับเบอร์คายประจุได้หมดก่อนที่สวิตช์จะหยุดนำกระแสในครั้งต่อไปซึ่งโดยทั่วไปแล้วเวลาที่ใช้ในการคายประจุจะมีค่าประมาณ  $5 \tau$



รูปที่ 4.15 ช่วงเวลาที่สวิตช์ต่อวงจร

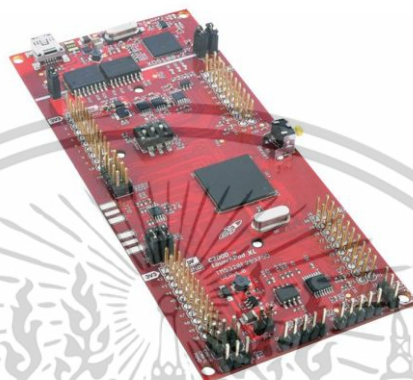
หาค่า  $R_s$  ได้จากสมการ 
$$R_s = \frac{v_d}{0.2 \cdot I_o} t \quad (4.10)$$

สามารถวิเคราะห์และคำนวณวงจร RC สับเบอร์ที่ใช้ในวงจรเอชซีซีโอปเปอร์เพื่อลดทอนแรงดันสไปค์ที่เกิดจากการ ON-OFF ของอุปกรณ์สวิตช์ผ่านอินดักแตนซ์  $L_s$  ของแหล่งจ่ายทำให้วงจรสามารถทำงานได้เป็นปกติโดยไม่เกิดความเสียหายจากแรงดันสไปค์ดังกล่าว ในวงจรเอชซีซีโอปเปอร์ที่มีการออกแบบ LC ฟิเตอร์ที่ดีจะต้องสามารถกำจัดฮาร์มอนิกส์ลำดับต่ำสุดได้ถึงลำดับที่ 39 สำหรับระดับความถี่สวิตช์ซึ่งเท่ากับ 2kHz ซึ่งในกรณีนี้ LC ฟิเตอร์จะมีขนาดเล็กและสามารถปล่อยผ่านแรงดันความถี่ 50Hz ออกเอาต์พุตได้เกือบทั้งหมดในขณะเดียวกันก็สามารถดักจับแรงดันความถี่

2kHz ไม่ให้ออกเอาต์พุตได้เกือบทั้งหมด  
เอกสารนี้เป็นเอกสารที่สงวนไว้สำหรับการใช้งานเพื่อการศึกษาเท่านั้น ไม่อนุญาตให้นำไปใช้ประโยชน์ด้านการค้า  
ไม่ว่ากรณีใดๆทั้งสิ้น อีกทั้งห้ามมิให้ดัดแปลงเนื้อหา และต้องอ้างอิงถึงเจ้าของเอกสารทุกครั้งที่มีการนำไปใช้

#### 4.6 ไมโครคอนโทรลเลอร์ TMS320F28379D

กระบวนการทำงานของระบบส่งจ่ายกระแสไฟฟ้าคืบสู่ระบบโครงข่ายมีส่วนควบคุมการทำงานที่สำคัญคือไมโครคอนโทรลเลอร์ เพื่อให้ระบบที่ได้ออกแบบไว้มีการทำงานที่ถูกต้องและสอดคล้องสัมพันธ์กันระหว่างการทดสอบจริงและการจำลองด้วยโปรแกรมคอมพิวเตอร์ การใช้ช่วงเวลาซีกค่า (Sample Time) จำเป็นต้องคำนวณให้มีความสอดคล้องต่อความสามารถของไมโครคอนโทรลเลอร์และใช้ช่วงเวลาที่เหมาะสมกับการจำลองในระบบคอมพิวเตอร์อีกด้วย



รูปที่ 4.16 ไมโครคอนโทรลเลอร์แบบ C2000 Launch Pad เบอร์ TMS320F28379D

ไมโครคอนโทรลเลอร์ที่ใช้ในงานวิจัยนี้ เป็นไมโครคอนโทรลเลอร์แบบ C2000 Launch-Pad เบอร์ TMS320F28379D มีการใช้ชุดคำสั่งแบบ Embedded Composer แปลงชุดคำสั่งการทำงานจากระบบการจำลองด้วยโปรแกรม MATLAB/SIMULINK มีคุณสมบัติการใช้งานและสมรรถนะการทำงานของไมโครคอนโทรลเลอร์ ดังนี้

1. ไมโครคอนโทรลเลอร์ใช้ซีพียูด้วยเทคโนโลยีทรานซิสเตอร์ (CMOS)
  - ความถี่ในการประมวลผลเท่ากับ 200 MHz (ความเร็วรอบประมวลผล 5 นาโนวินาที)
  - แรงดันซีพียู 1.9 โวลต์/1.8 โวลต์ และแรงดันพอร์ตอินพุตและเอาต์พุตเท่ากับ 3.3 โวลต์
2. ซีพียูประสิทธิภาพสูง ขนาด 32 บิต (TMS320F28xxx)
  - มาตรฐาน IEEE-754 Single-Precision Floating-Point Unit (FPU)
  - Trigonometric Math Unit (TMU)
  - Viterbi/Complex Math Unit (VCU-II)
  - Unified Memory Programming Model
  - Code-Efficient (in C/C++ and Assembly)

เอกสารนี้เป็นเอกสารที่สงวนไว้สำหรับการใช้งานเพื่อการศึกษาเท่านั้น ไม่อนุญาตให้นำไปใช้ประโยชน์ด้านการค้า ไม่ว่าจะกรณีใดๆทั้งสิ้น อีกทั้งห้ามมิให้ดัดแปลงเนื้อหา และต้องอ้างอิงถึงเจ้าของเอกสารทุกครั้งที่มีการนำไปใช้

### 3. On-Ship Memory

- 512KB (256KW) or 1MB (512KW) of Flash (ECC-Protected)
- 132KB (66KW) or 164KB (82KW) of RAM
- Dual-Zone Security Supporting Third-Party Development
- Unique Identification Number

### 4. Clock and System Control

- Two Internal Zero-Pin 10MHz Oscilloscope
- On-Chip Crystal Oscillator
- Windowed Watchdog Timer Module
- Missing Clock Detection Circuitry

### 5. Analog Subsystem

- Up to Four Analog to Digital Converters (ADCs)
- 16-bit Mode
- 1.1 MSPS Each (Up to 4.4-MSPS system Throughput)
- Single-Ended Input
- Up to 24 External Channels
- Single Sample and Hold (S/H) on Each ADC
- Hardware-Integrated Post-Processing of ADC Converter
- Saturating Offset Calibration
- Error of Set Point Calculation
- High, Low and Zero-Crossing Compare with Interrupt Capability
- Trigger to Sample Delay Capture
- Eight Windowed Comparators with 12-bit Digital to Analog (DAC)
- Three 12-Bit Buffered DAC Outputs

### 6. Enhanced Control Peripherals

- 24 PWM Channels with Enhanced Features
- 16 High-Resolution Pulse Width Modulator (HRPWM) Channels
- High Resolution on Both A and B Channels of 8 PWM Modules
- Dead-Band Support (on Both Standard and High Resolution)

เอกสารนี้เป็นเอกสารที่สงวนไว้สำหรับการใช้งานเพื่อการศึกษาเท่านั้น ไม่อนุญาตให้นำไปใช้ประโยชน์ด้านการค้า  
ไม่ว่ากรณีใดๆทั้งสิ้น อีกทั้งห้ามมิให้ตัดแปลงเนื้อหา และต้องอ้างอิงถึงเจ้าของเอกสารทุกครั้งที่มีการนำไปใช้

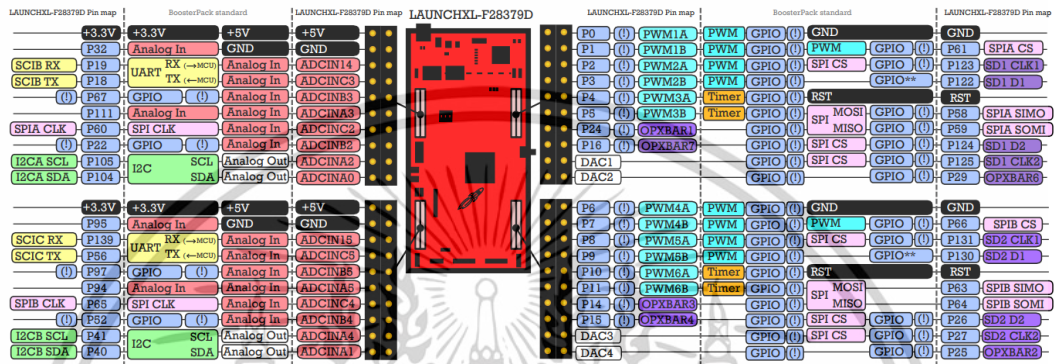
- Six Enhanced Capture (eCAP) Modules
  - Three Enhanced Quadrature Encoder Pulse (eQEP) Modules
7. Peripheral Interrupt Expansion (PIE) Block That Supports all 58 Peripheral
  8. 128-Bit Security Key/Lock
    - Protects Flash/OTP/RAM Block
    - Prevents Firmware Reverse Engineering
  9. Enhanced Control Peripherals
    - Up to 18 PWM Output
    - Up to 6 HRPWM Output With 150 ps MEP Resolution
    - Up to 6 Even Capture Inputs
    - Up to 2 Quadrature Encoder Interfaces
    - Up to 8 32-Bit Timers (6 for eCAPs and 2 for eQEPs)
    - Up to 9 16-Bit Times ( 6 for ePWMs and 3XINTCRs)
  10. Three 32-Bit CPU Timers
  11. Serial Port Peripherals
    - Up to 2 CAN Modules
    - Up to 3 SCI (UART) Module
    - Up to 2 McBSP Module (Configurable as SPI)
    - One SPI Module
    - One Inter-Integrated-Circuit (I2C) Bus
  12. 12-Bit ADC, 16 Channels
    - 80 ns Conversion Rate
    - 2x8 Channel Input Multiplexer
    - Two Sample and Hold
    - Single/Simultaneous Conversions
    - Internal or External Reference
  13. Up to 88 Individually Programmable, GPIO pins With Input Filtering
  14. JTAG Boundary Scan Support
  15. Advanced Emulation Functions
    - Analyze and Breakpoint Functions

เอกสารนี้เป็นเอกสารที่สงวนไว้สำหรับการใช้งานเพื่อการศึกษาเท่านั้น ไม่อนุญาตให้นำไปใช้ประโยชน์ด้านการค้า  
ไม่ว่ากรณีใดๆทั้งสิ้น อีกทั้งห้ามมิให้ตัดแปลงเนื้อหา และต้องอ้างอิงถึงเจ้าของเอกสารทุกครั้งที่มีการนำไปใช้

- Real-Time Debug via Hardware

16. Deployment Support Includes

- ANSI C/C++ Compiler /Assembler /Linker
- Code Composer Studio™ IDE
- DSP/BIOS™
- Digital Motor Control and Digital Power Software Libraries



รูปที่ 4.17 หมายเลขขาพิน ADC บนอุปกรณ์ที่ต่อพ่วงโดยรวมของ C2000 เบอร์ TMS320F28379D

สำหรับซอฟต์แวร์สำหรับพัฒนาไมโครคอนโทรลเลอร์ C2000 เบอร์ TMS320F28379D การพัฒนาระบบไมโครคอนโทรลเลอร์ต้องใช้ทั้งฮาร์ดแวร์และซอฟต์แวร์ และสำหรับการทดลองนี้ จะแนะนำซอฟต์แวร์ที่ใช้ในการโปรแกรมซอร์สโค้ดลงไปบนไมโครคอนโทรลเลอร์และโปรแกรมคอมไพเลอร์ซึ่งมีโปรแกรม 2 ตัว คือซึ่งรายละเอียดจะได้กล่าวต่อไปในบทที่ 5

1. โปรแกรม Code Composer Studio : CCS Version 12.4.0 เป็นโปรแกรมในการคอมไพล์โค้ดภาษาซี (C) ลงในบอร์ดไมโครคอนโทรลเลอร์ C2000 Microcontroller เบอร์ TMS320F28379D

2. โปรแกรม MATLAB/Simulink Version R2024a จะทำการกำเนิดโค้ดภาษาซี (C) เป็นโปรแกรมคอมไพเลอร์บล็อกไดอะแกรม

จากข้อมูลคุณสมบัติของไมโครคอนโทรลเลอร์ C2000 เบอร์ TMS320F28379D ที่กล่าวในข้างต้นนับว่าเป็นไมโครคอนโทรลเลอร์ที่มีประสิทธิภาพและสมรรถนะในการทำงานและการคำนวณทางคณิตศาสตร์รวมถึงการประมวลผลสัญญาณดิจิทัลอยู่ในระดับที่สูง

4.7 สรุปการออกแบบวงจรควบคุมและวงจรกำลัง

ในบทที่ 4 ได้กล่าวถึงการออกแบบวงจรเพื่อสร้างชุดทดสอบของระบบควบคุมการเริ่มหมุนแบบมีมุมโหลดโดยวิธีการพีดับเบิลยูเอ็ม เอช ซี ซีออปเปอร์ แบบอะซิงโครนัส Asynchronous PWM AC Chopper Soft Starter : PWMSS ของมอเตอร์เหนี่ยวนำหนึ่งเฟสแบบคาปาซิเตอร์สตาร์ท

ทั้งภาควงจรกำลังและภาควงจรควบคุมซึ่งประกอบไปด้วยวงจรกรองสัญญาณ EMI Noise Filter, เอกสารนี้เป็นเอกสารที่สงวนไว้สำหรับการใช้งานเพื่อการศึกษาเท่านั้น ไม่อนุญาตให้นำไปใช้ประโยชน์ทางการค้า

ไม่ว่ากรณีใดๆทั้งสิ้น อีกทั้งห้ามมิให้ดัดแปลงเนื้อหา และต้องอ้างอิงถึงเจ้าของเอกสารทุกครั้งที่มีการนำไปใช้

วงจรสวิตช์ไอจีบีที (IGBT), วงจรแยกกราวนด์สัญญาณขับเคลื่อนของวงจรถูกกำลังและวงจรถอบคุมเบอร์ TLP250, วงจรไดโอดเป็นสวิตช์สองทาง 8 ตัวแบบ Fast Recovery Diode, วงจรสแน็บเบอร์, วงจรขับเคลื่อนสวิตช์กำลังไอจีบีทีแบบสวิตช์ 2 ทาง, วงจรประวิงเวลา และวงจรถอบจับสัญญาณแรงดันไฟฟ้ากระแสสลับ โดยในงานวิจัยนี้จำเป็นต้องใช้วงจรถอบจับสัญญาณแรงดันและกระแสของมอเตอร์เพื่อนำไปใช้ในส่วนของการคำนวณหากระแสของมอเตอร์โดยจะถูกคำนวณผ่านตัวประมวลผลไมโครคอนโทรลเลอร์ C2000 Microcontroller เบอร์ TMS320F28379D ต่อไป



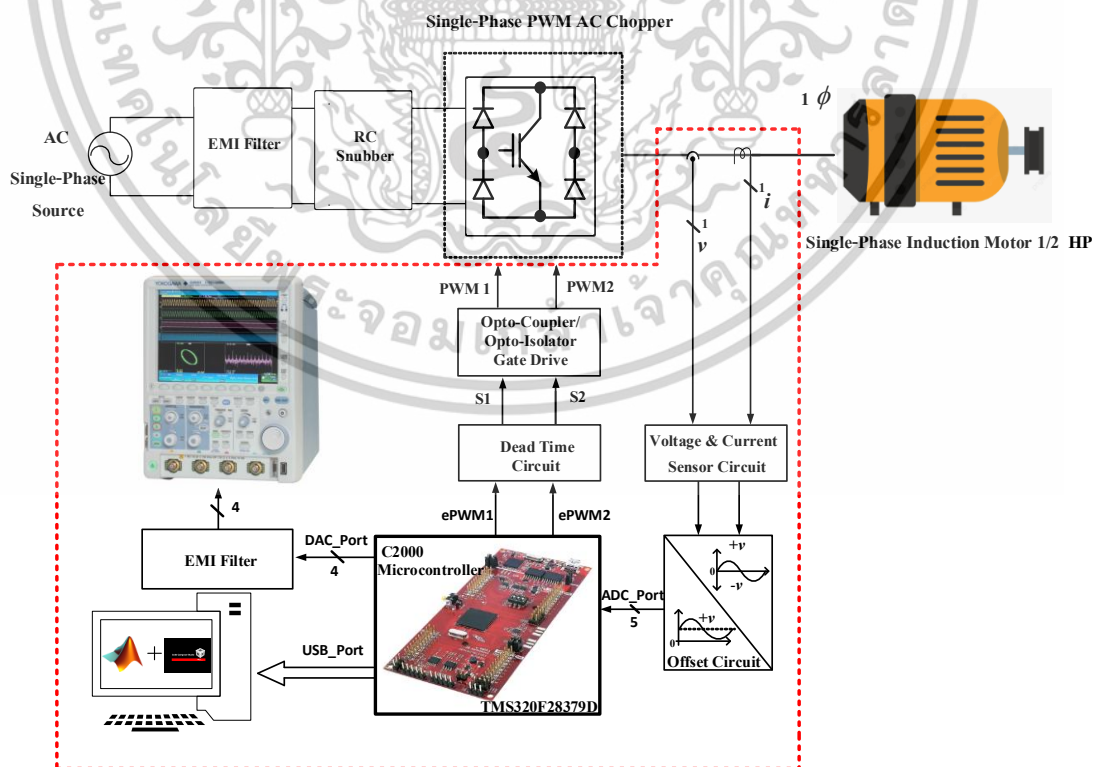
เอกสารนี้เป็นเอกสารที่สงวนไว้สำหรับการใช้งานเพื่อการศึกษาเท่านั้น ไม่อนุญาตให้นำไปใช้ประโยชน์ด้านการค้า  
ไม่ว่ากรณีใดๆทั้งสิ้น อีกทั้งห้ามมิให้ตัดแปลงเนื้อหา และต้องอ้างอิงถึงเจ้าของเอกสารทุกครั้งที่มีการนำไปใช้

## บทที่ 5

# การออกแบบจำลองระบบการควบคุมการเริ่มหมุนแบบนิ่มนวลให้กับมอเตอร์เหนี่ยวนำหนึ่งเฟสด้วยการควบคุมกระแสเริ่มต้นโดยใช้เทคนิคอะซิงโครนัส พัดเบิ้ลยูเอ็ม เอช ซี ซ็อบเปอร์

### 5.1 บทนำ

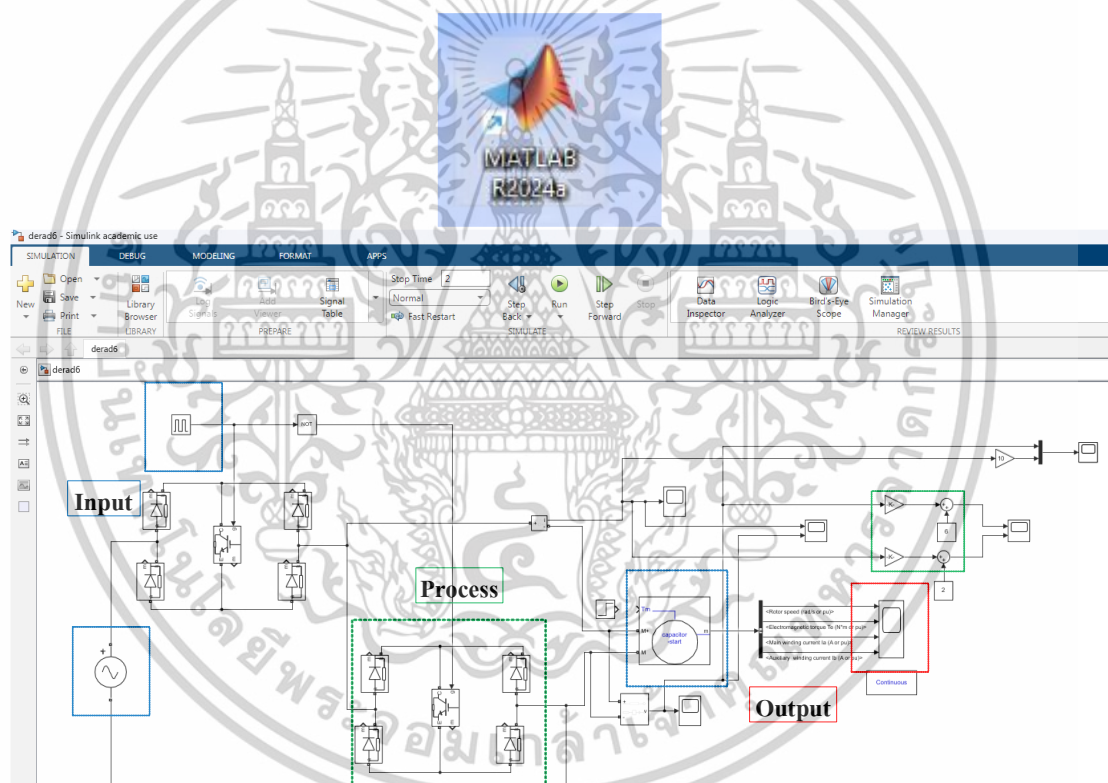
ในหัวข้อนี้จะได้กล่าวถึงการใช้งานโปรแกรม MATLAB/Simulink Version R2024a จำลองการทำงานของระบบควบคุมกระแสของมอเตอร์เหนี่ยวนำหนึ่งเฟส โดยมีการตรวจจับกระแสมอเตอร์เพื่อมาประมวลผลในสลับควบคุมกระแส ที่ใช้ในงานระบบการควบคุมการเริ่มหมุนแบบนิ่มนวลให้กับมอเตอร์เหนี่ยวนำหนึ่งเฟสด้วยการควบคุมกระแสเริ่มต้น โดยใช้เทคนิคอะซิงโครนัส พัดเบิ้ลยูเอ็ม เอช ซี ซ็อบเปอร์ มีการออกแบบของสัญญาณแบบพัดเบิ้ลยูเอ็ม เอช ซี ซ็อบเปอร์ แบบอะซิงโครนัส (Asynchronous PWM AC Chopper) นำไปประยุกต์ใช้กับโปรแกรม (Code Composer Studio :CCS) Version 12.4.0 ในการคอมไพล์โค้ดภาษาซี (C) ลงในบอร์ดไมโครคอนโทรลเลอร์ C2000 Microcontroller เบอร์ TMS320F28379D เป็นตัวสร้างสัญญาณ PWM AC Chopper เพื่อสร้างแรงดันไฟฟ้าแบบสวิตซ์ซึ่งไปที่ขาเกตและตัวสวิตซ์ไอจีบีทีเพื่อไปขับมอเตอร์เหนี่ยวนำหนึ่งเฟส จะแสดงให้เห็นในโครงสร้างพื้นฐานของระบบดังรูปที่ 5.1 ด้านล่าง



รูปที่ 5.1 โครงสร้างพื้นฐานของระบบที่ใช้ในการจำลองการควบคุมการเริ่มหมุนแบบนิ่มนวล เอกสารนี้เป็นเอกสารที่สงวนไว้สำหรับการใช้งานเพื่อการศึกษาเท่านั้น ไม่อนุญาตให้นำไปใช้ประโยชน์ด้านการค้า ไม่ว่าจะกรณีใดๆทั้งสิ้น อีกทั้งห้ามมิให้ดัดแปลงเนื้อหา และต้องอ้างอิงถึงเจ้าของเอกสารทุกครั้งที่มีการนำไปใช้

## 5.2 โปรแกรม MATLAB/Simulink Version R2024a

ลักษณะของโปรแกรม MATLAB/Simulink Version R2024a จะถูกออกแบบและสร้างโดยบริษัท MathWorks ได้พัฒนาขึ้นสำหรับใช้ในงานสร้างแบบจำลองระบบพลวัต (Dynamic System Modeling) ต่างๆในรูปของบล็อกเซต (Block Sets) หรือจะเรียกอีกชื่อว่าบล็อกไดอะแกรม (Block Diagram) มีลักษณะเป็นรูปแสดงที่ 5.2 ด้านล่าง คือ เป็นการโปรแกรมคอมพิวเตอร์โดยใช้ภาษาที่เป็นรูปภาพหรือกราฟฟิก ซึ่งบล็อกแต่ละบล็อกนั้นจะเปรียบเสมือนฟังก์ชันหรือคำสั่งต่างๆที่กำหนดให้มีการทำงานแตกต่างกันไป โดยในแต่ละบล็อกนั้นจะประกอบด้วย Input, Process และ Output สำหรับการเชื่อมต่อกับบล็อกเซตค่าอื่นๆให้เป็นระบบหรือโครงข่ายของโปรแกรมเกิดขึ้น



รูปที่ 5.2 ตัวอย่างบล็อกเซตฟังก์ชันที่มีระบบประกอบด้วย Input, Process และ Output

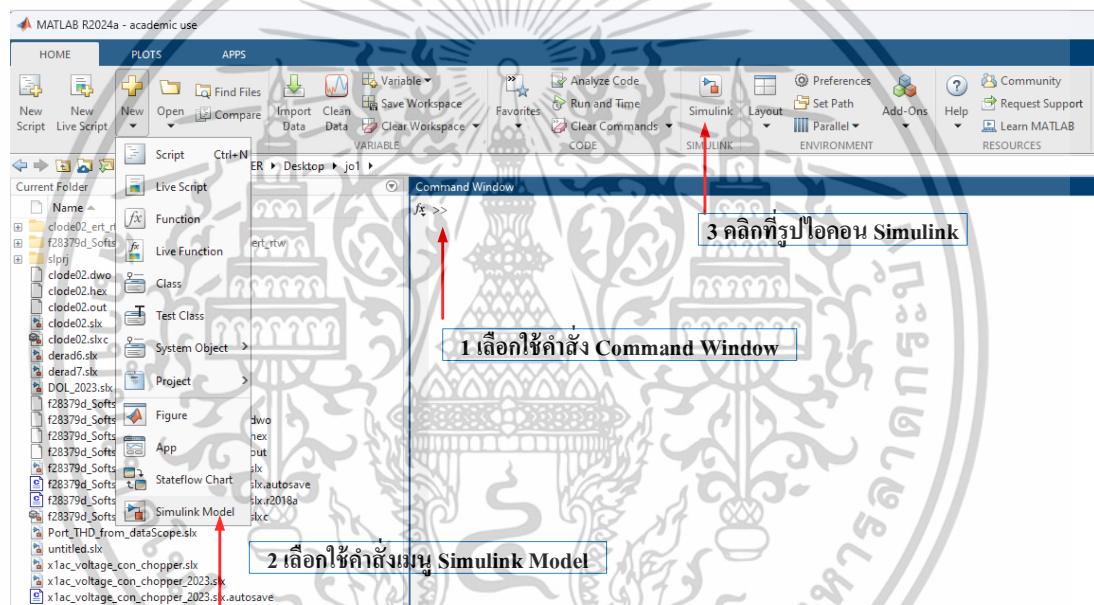
นอกจากใช้สร้างเป็นโปรแกรมได้แล้วยังสามารถจำลองการทำงาน (Simulating) และการวิเคราะห์ระบบได้อีกด้วย MATLAB/Simulink Version R2024a ได้รวบรวมบล็อกเซตต่างๆไว้เป็นชุดไลบรารี (Block Set Libraries) มากมายเช่นเดียวกันซึ่งถูกนำไปใช้ในงานอย่างแพร่หลายสำหรับการออกแบบโมเดลการสร้างแบบจำลองสำหรับระบบควบคุมอัตโนมัติการประมวลผลสัญญาณดิจิทัลและการประมวลผลภาพแบบดิจิทัล ซึ่งเราจะสามารถแปลงจากบล็อกเซตให้เป็นโค้ดภาษาซี เอกสารนี้เป็นเอกสารที่สงวนไว้สำหรับการใช้งานเพื่อการศึกษาเท่านั้น ไม่อนุญาตให้นำไปใช้ประโยชน์ด้านการค้า ไม่ว่าจะกรณีใดๆทั้งสิ้น อีกทั้งห้ามมิให้ดัดแปลงเนื้อหา และต้องอ้างอิงถึงเจ้าของเอกสารทุกครั้งที่มีการนำไปใช้

ได้อีกทั้งสามารถทำงานร่วมกับโปรแกรมอื่นๆได้อีกไม่ว่าจะเป็นโปรแกรม (Code Composer Studio :CCS) เป็นต้น

### 5.2.1 การเปิดใช้งานโปรแกรม MATLAB/Simulink Version R2024a

โปรแกรม MATLAB/Simulink Version R2024a จะทำงานภายใต้ MATLAB Desktop (IDE) ดังนั้นเมื่อเราติดตั้งโปรแกรม MATLAB/Simulink เรียบร้อยทำการเปิดโปรแกรมที่ Desktop เพื่อใช้งานในส่วนของ Simulink โดยจะมีอยู่ที่ 3 วิธี ตามรูปด้านล่างที่ 5.3

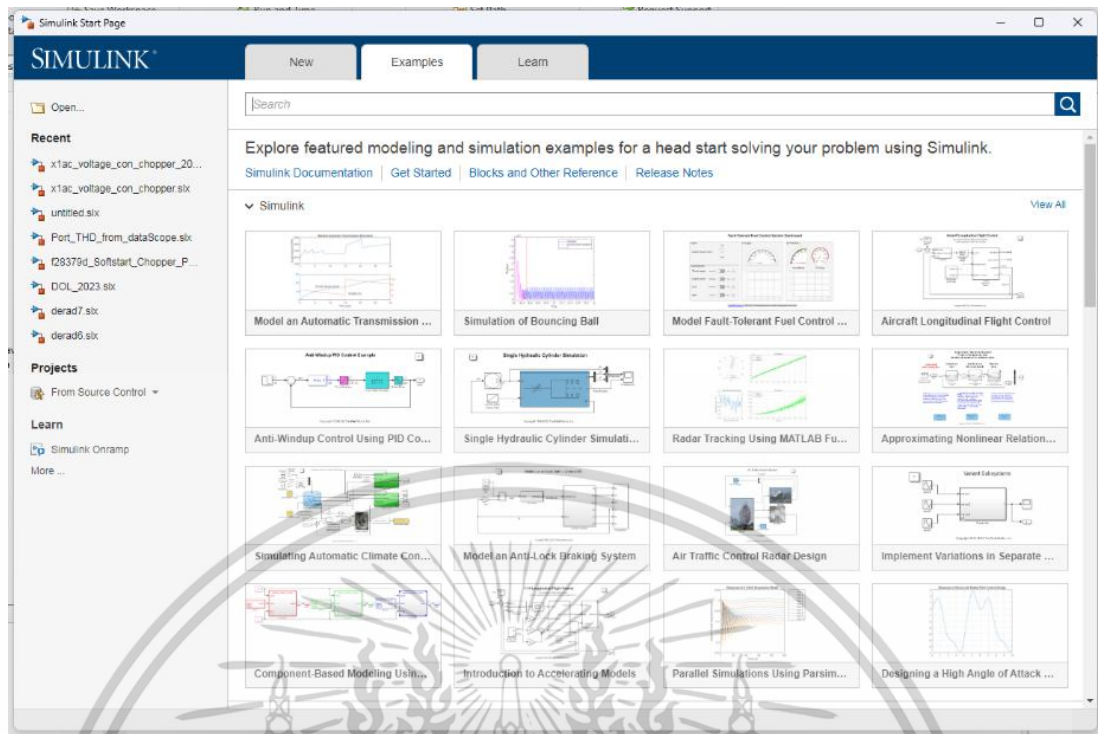
1. การเปิดโดยใช้คำสั่ง Simulink ที่หน้าต่าง Command Window
2. การเปิดโดยเมนู Simulink Model บนแท็บเมนูที่ Home (Contextual Tab)
3. การเปิดโดยการคลิกที่ไอคอน Simulink บนหน้าต่าง MATLAB Desktop



รูปที่ 5.3 การเปิดใช้งานโปรแกรม MATLAB/Simulink Version R2024a

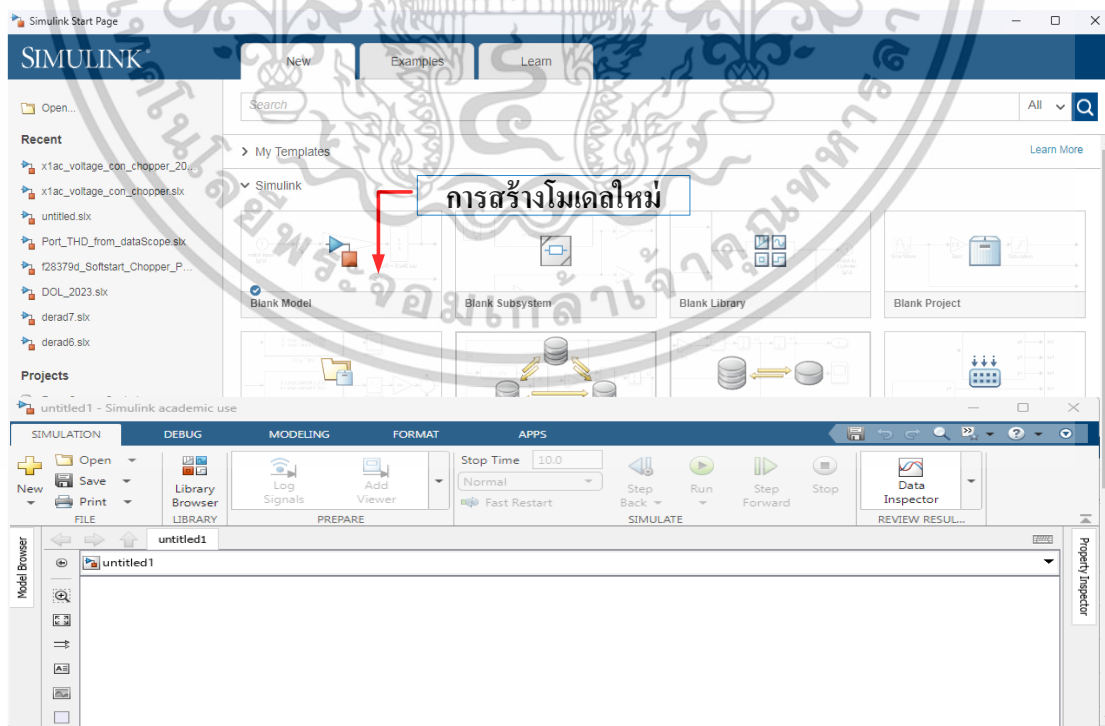
เมื่อทำการเปิด Simulink ใช้งานจะแสดงหน้าต่าง Simulink Start Page โดยหน้าต่างนี้จะมีจุดมุ่งหมายในการให้ผู้ใช้งานมีความสะดวกมากขึ้น เช่น เปิดใช้งานที่เคยทำไว้แล้วหรือสร้างงานใหม่ตามหมวดหมู่ประเภทต่างๆ และศึกษาเรียนรู้เกี่ยวกับโมเดล Simulink ที่โปรแกรมได้จัดเตรียมเป็นหมวดหมู่ให้ดังรูปแสดงที่ 5.4 ด้านล่าง

เอกสารนี้เป็นเอกสารที่สงวนไว้สำหรับการใช้งานเพื่อการศึกษาเท่านั้น ไม่อนุญาตให้นำไปใช้ประโยชน์ด้านการค้าไม่ว่ากรณีใดๆทั้งสิ้น อีกทั้งห้ามมิให้ดัดแปลงเนื้อหา และต้องอ้างอิงถึงเจ้าของเอกสารทุกครั้งที่มีการนำไปใช้



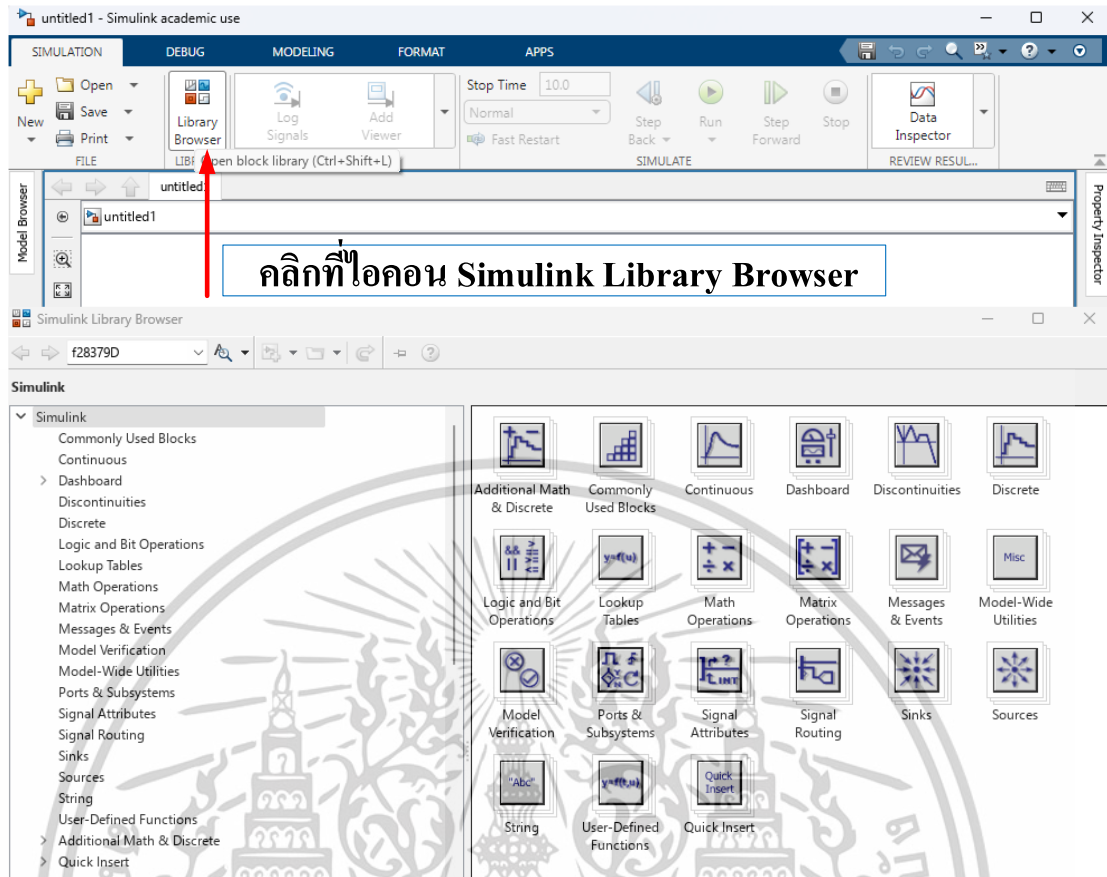
รูปที่ 5.4 ส่วนประกอบหน้าต่าง Simulink Start Page

สำหรับการสร้างโมเดลใหม่ในการ Simulink ให้ทำการเลือกเปิดใช้งาน Simulink Editor โดยทำการคลิกที่ไอคอน Blank Model บนหน้าต่าง Simulink Start Page ดังแสดงในรูปที่ 5.5 ด้านล่าง



รูปที่ 5.5 การเปิดหน้าต่าง Simulink Editor

เอกสารนี้เป็นเอกสารที่สงวนไว้สำหรับใช้ประโยชน์ในการเรียนการสอนเพื่อการศึกษาเท่านั้น เมื่ออนุญาตให้ไปใช้ประโยชน์ด้านการค้า ไม่ว่าจะกรณีใดๆทั้งสิ้น อีกทั้งห้ามมิให้ดัดแปลงเนื้อหา และต้องอ้างอิงถึงเจ้าของเอกสารทุกครั้งที่มีการนำไปใช้



รูปที่ 5.6 การเปิดใช้งาน Simulink Library Browser

### 5.3 การจำลองระบบควบคุมการเริ่มหมุนแบบนิมโนวลให้กับมอเตอร์เหนี่ยวนำหนึ่งเฟส ด้วยการควบคุมกระแสเริ่มต้นโดยใช้เทคนิคอะซิงโครนัส พิตช์เบิ้ลยูเอ็ม เอช ซี ซ็อบเปอร์

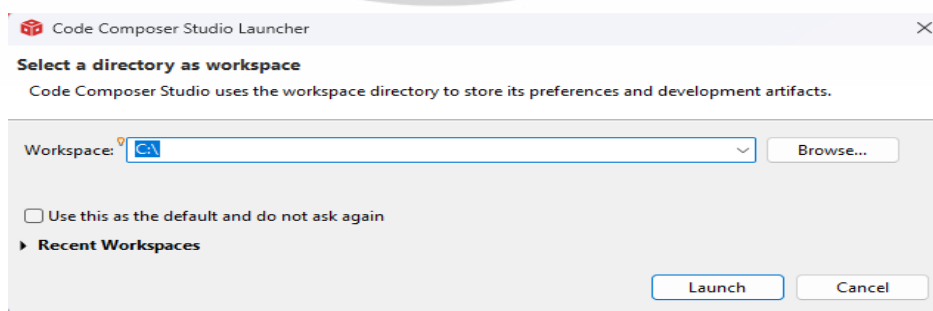
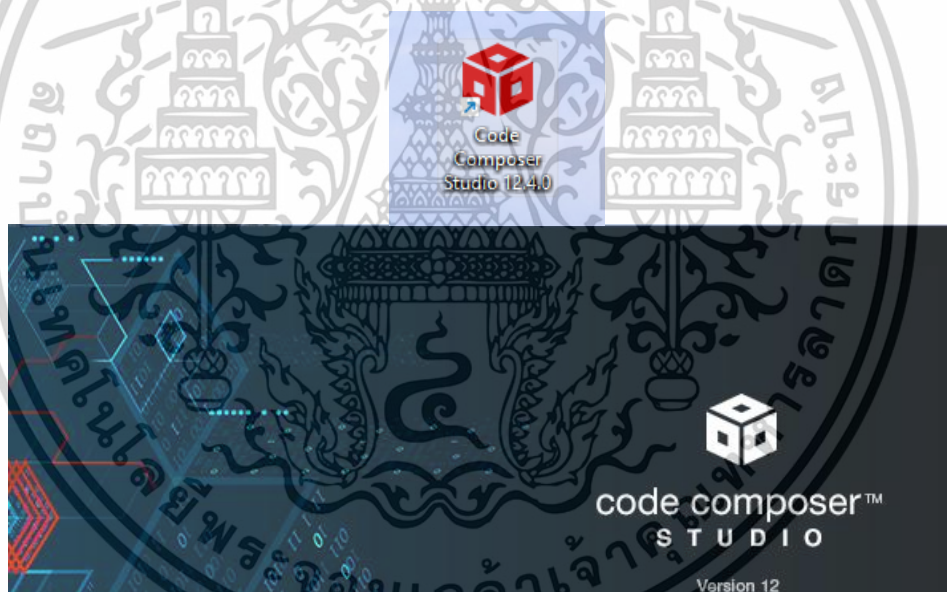
ลักษณะของโปรแกรม MATLAB/Simulink Version R2024a จะถูกออกแบบและสร้างโดยบริษัท MathWorks ได้พัฒนาขึ้นสำหรับใช้ในงานสร้างแบบจำลองระบบพลวัต (Dynamic System Modeling) ต่างๆในรูปของบล็อกเซต (Block Sets) หรือจะเรียกอีกชื่อว่าบล็อกไดอะแกรม (Block Diagram) มีลักษณะเป็นรูปแสดงที่ 5.2 ด้านล่าง คือ เป็นการโปรแกรมคอมพิวเตอร์โดยใช้ภาษาที่เป็นรูปภาพหรือกราฟฟิก ซึ่งบล็อกแต่ละบล็อกนั้นจะเปรียบเสมือนฟังก์ชันหรือคำสั่งต่างๆที่กำหนดให้มีการทำงานแตกต่างกันไป โดยในแต่ละบล็อกนั้นจะประกอบด้วย Input, Process และ Output สำหรับการเชื่อมต่อกับบล็อกเซตค่าอื่นๆให้เป็นระบบหรือโครงข่ายของโปรแกรมเกิดขึ้น

เอกสารนี้เป็นเอกสารที่สงวนไว้สำหรับการใช้งานเพื่อการศึกษาเท่านั้น ไม่อนุญาตให้นำไปใช้ประโยชน์ด้านการค้า ไม่ว่าจะกรณีใดๆทั้งสิ้น อีกทั้งห้ามมิให้ตัดแปลงเนื้อหา และต้องอ้างอิงถึงเจ้าของเอกสารทุกครั้งที่มีการนำไปใช้

## 5.4 โปรแกรม Code Composer Studio (CCS) Version 12.4.0

โปรแกรม Code Composer Studio (CCS) Version 12.4.0 เป็นซอฟต์แวร์ที่ใช้ในการช่วยพัฒนาโปรแกรมหรือจะเรียกว่า Integrated Development Environment (IDE) Tool ของบริษัท Texas Instruments ใช้ Common Object File Format (COFF) หรือไฟล์นามสกุล .COFF ในการพัฒนาโปรแกรมให้สามารถใช้ประโยชน์ให้สูงสุด โดยที่โค้ดไฟล์ของแต่ละโค้ดถูกเรียกว่า “โมดูล” ซึ่งถูกเขียนแยกกันอย่างอิสระ โดยจะรวบรวมทรัพยากรที่จำเป็นในการทำงานของแต่ละโมดูล สำหรับการเขียนโมดูลนี้สามารถเขียนได้โดยการใช้ CCS ด้วยโปรแกรมภาษา Assembly ที่มีนามสกุลของไฟล์เป็น .ASM และโปรแกรมภาษาซีที่มีนามสกุลของไฟล์เป็น .C

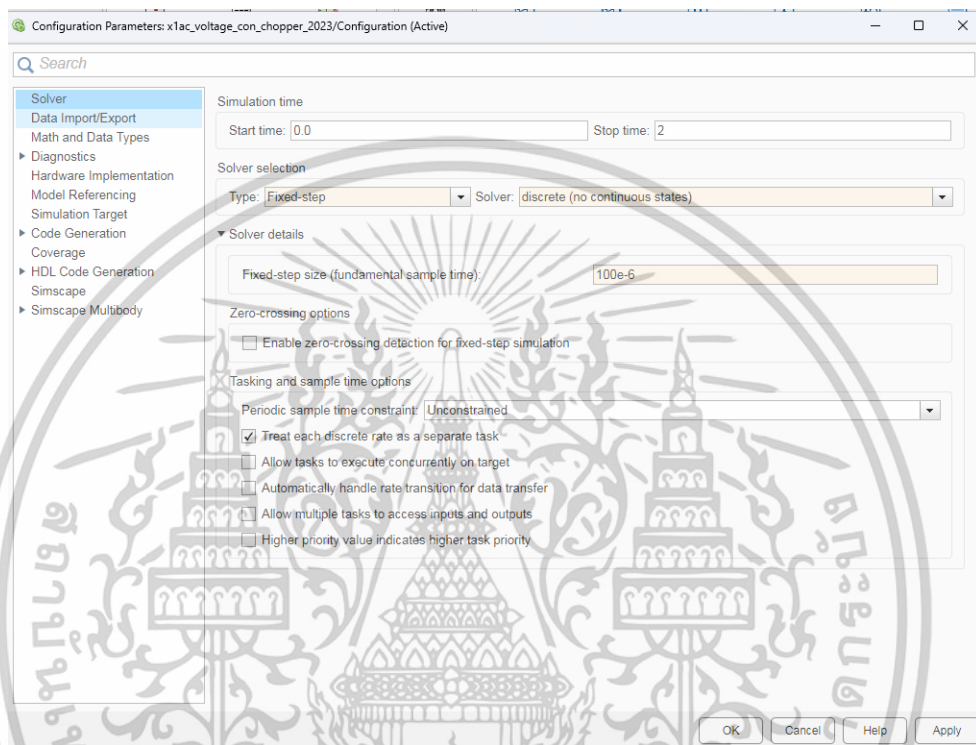
สำหรับโปรแกรม Code Composer Studio (CCS) Version 12.4.0 ที่แสดงตามรูปที่ 5.8 ประกอบไปด้วย Editor, Compiler, Assembler, Linker และ Automatic Build Process นอกจากนี้ยังสามารถแสดงผลกราฟที่เชื่อมต่อระหว่างอินพุต และเอาต์พุตหลายๆโมดูลถูกเชื่อมต่อระบบของโมดูล โดย Linker ใช้ Command File (CMD) เพื่อที่จะแยกแยะในส่วนของการจองพื้นที่ในหน่วยความจำที่เหมาะสมในแต่ละโมดูลเพื่อนำไปสู่ขบวนการแปลงไฟล์เป็นนามสกุล .OUT ต่อไป



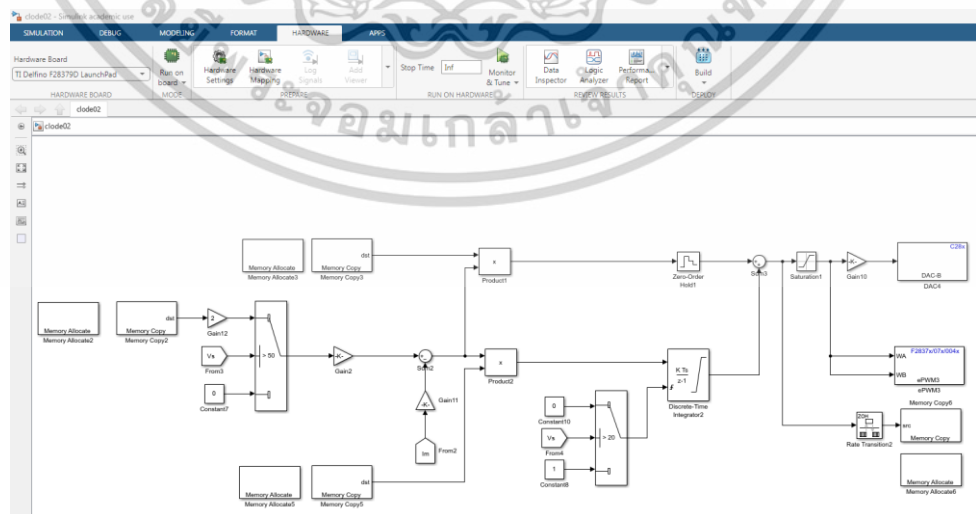
รูปที่ 5.7 หน้าต่างเปิดใช้งานโปรแกรม Code Composer Studio (CCS) Version 12.4.0 เอกสารนี้เป็นเอกสารที่สงวนไว้สำหรับการใช้งานเพื่อการศึกษาเท่านั้น ไม่อนุญาตให้นำไปใช้ประโยชน์ด้านการค้า ไม่ว่าจะกรณีใดๆทั้งสิ้น อีกทั้งห้ามมิให้ดัดแปลงเนื้อหา และต้องอ้างอิงถึงเจ้าของเอกสารทุกครั้งที่มีการนำไปใช้

### 5.4.1 ตัวอย่างการใช้งานโปรแกรม Code Composer Studio (CCS) Version 12.4.0

ตัวอย่างการใช้งานโปรแกรม Code Composer Studio (CCS) Version 12.4.0 ทำการโหลดชื่อไฟล์ Test\_CCS.slx ในโปรแกรม MATLAB/Simulink Version R2024a ซึ่งโปรแกรมจะแสดงบล็อกซีตของสัญญาณ PWM ที่ถูกนำไปมอดูเลชันผ่านบล็อก ePWM และบล็อก DAC-A จะประกาศสัญญาณออกเป็น PWM ดังรูปที่ 5.9 ด้านล่าง

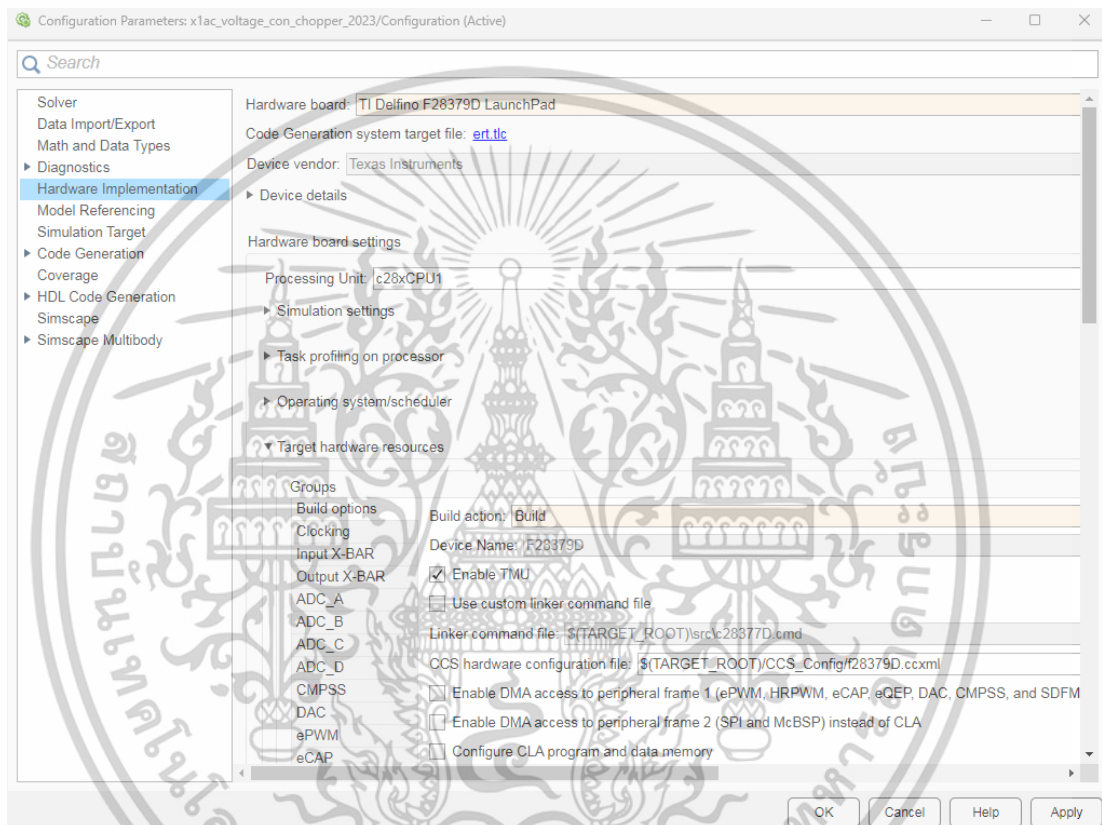


รูปที่ 5.8 การตั้งค่า Configuration Parameters ในโปรแกรม MATLAB/Simulink Version R2024a



รูปที่ 5.9 บล็อกซีตของ Test\_CCS.slx ในโปรแกรม MATLAB/Simulink Version R2024a เอกสารนี้เป็นเอกสารที่สงวนไว้สำหรับการใช้งานเพื่อการศึกษาเท่านั้น ไม่อนุญาตให้นำไปใช้ประโยชน์ด้านการค้า ไม่ว่าจะกรณีใดๆทั้งสิ้น อีกทั้งห้ามมิให้ดัดแปลงเนื้อหา และต้องอ้างอิงถึงเจ้าของเอกสารทุกครั้งที่มีการนำไปใช้

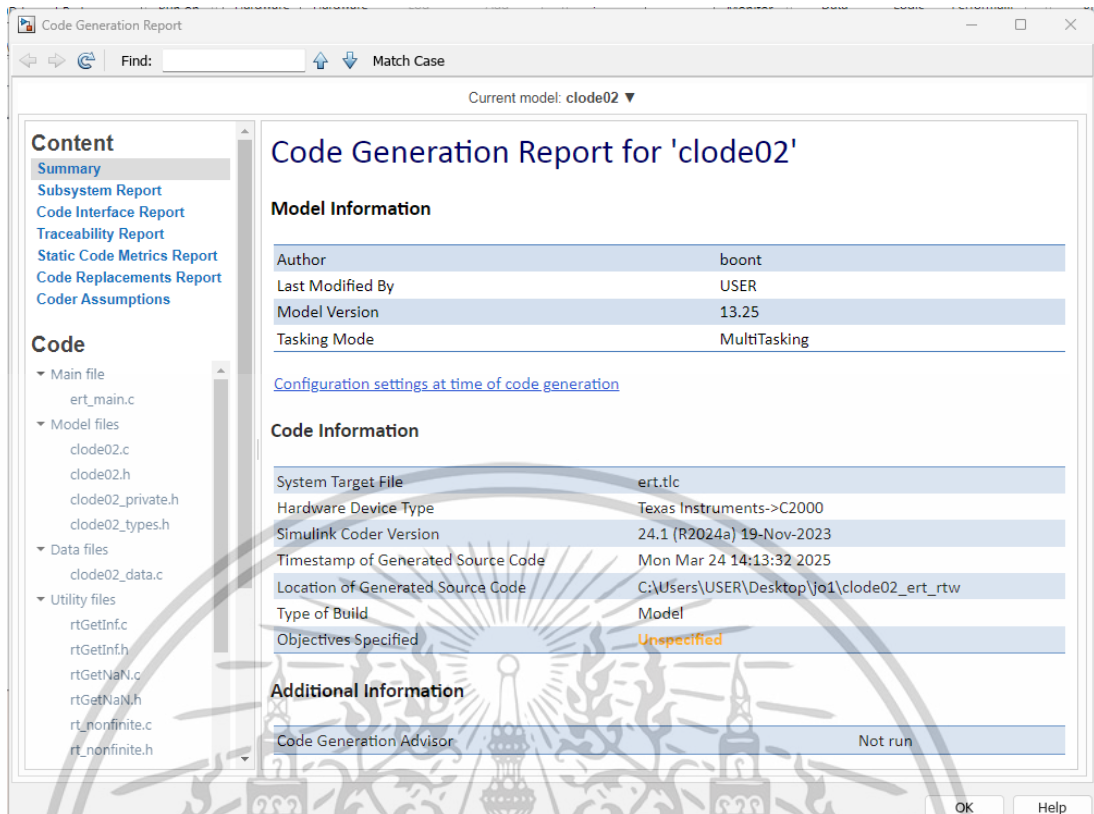
ในการใช้งานโปรแกรม Code Composer Studio (CCS) Version 12.4.0 ร่วมกับโปรแกรม MATLAB/Simulink Version R2024a จะต้องตั้งค่า Stop Time ให้เป็น Inf โดยมีการตั้งค่า Solver Option ให้เป็น Fixed-Step และ Discrete (No Continuous States) ในการกำหนดช่วงเวลาของ Sample Time ให้กำหนดเป็น 100e-6 หรือ (100ไมโครวินาที) หากไม่สามารถ Build ได้ให้ปรับช่วงเวลาให้สูงขึ้นและให้ไปเลือก Ti Delfino F28379D Launch Pad ที่ Hardware Implementation และเลือก Build Action ให้เป็น Build ดังแสดงในรูปที่ 5.10 ด้านล่าง



รูปที่ 5.10 การตั้งค่า Model Configuration Parameters ในโปรแกรม MATLAB/Simulink Version R2024a

ทำการ Build บล็อกเซตของ Test\_CCS.slx โปรแกรมตัวอย่างเมื่อ Build ผ่านแล้วจะได้ไฟล์ File Test\_CCS.out ที่ Folder File หน้า Workspace ดังแสดงในรูปที่ 5.11 ด้านล่าง

เอกสารนี้เป็นเอกสารที่สงวนไว้สำหรับการใช้งานเพื่อการศึกษาเท่านั้น ไม่อนุญาตให้นำไปใช้ประโยชน์ด้านการค้า ไม่ว่าจะกรณีใดๆทั้งสิ้น อีกทั้งห้ามมิให้ดัดแปลงเนื้อหา และต้องอ้างอิงถึงเจ้าของเอกสารทุกครั้งที่มีการนำไปใช้



รูปที่ 5.11 ผลการ Build ผ่านแล้วที่บล็อกเซ็ทของ Test\_CCS.out ในโปรแกรม MATLAB/Simulink Version R2024a

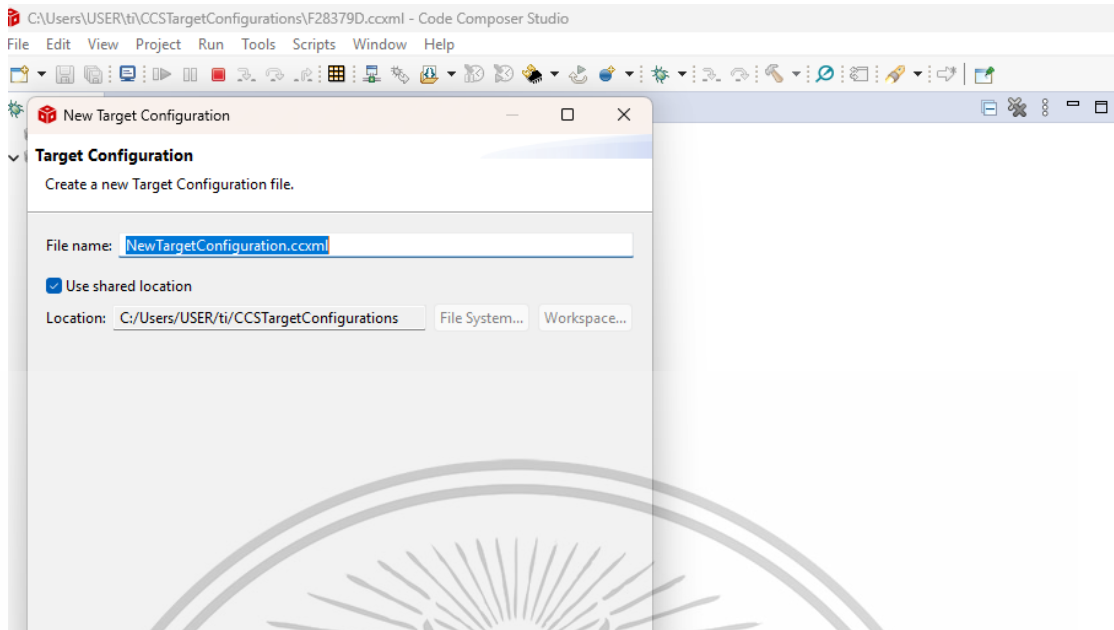
ลำดับขั้นตอนการเชื่อมต่อและการรันโปรแกรมใน Code Composer Studio (CCS)

Version 12.4.0 และ MATLAB/Simulink Version R2024a มีดังนี้

1. ให้คลิกเลือก New Target Configuration
2. การตั้งค่าเป้าหมายเป็น Spectrum Digital DSK-EVM-eZdsp Onboard USB Debug Prone
3. การกำหนด Type Filter Text เป็น TMS320F28379D จากนั้นทำการกดบันทึก Save

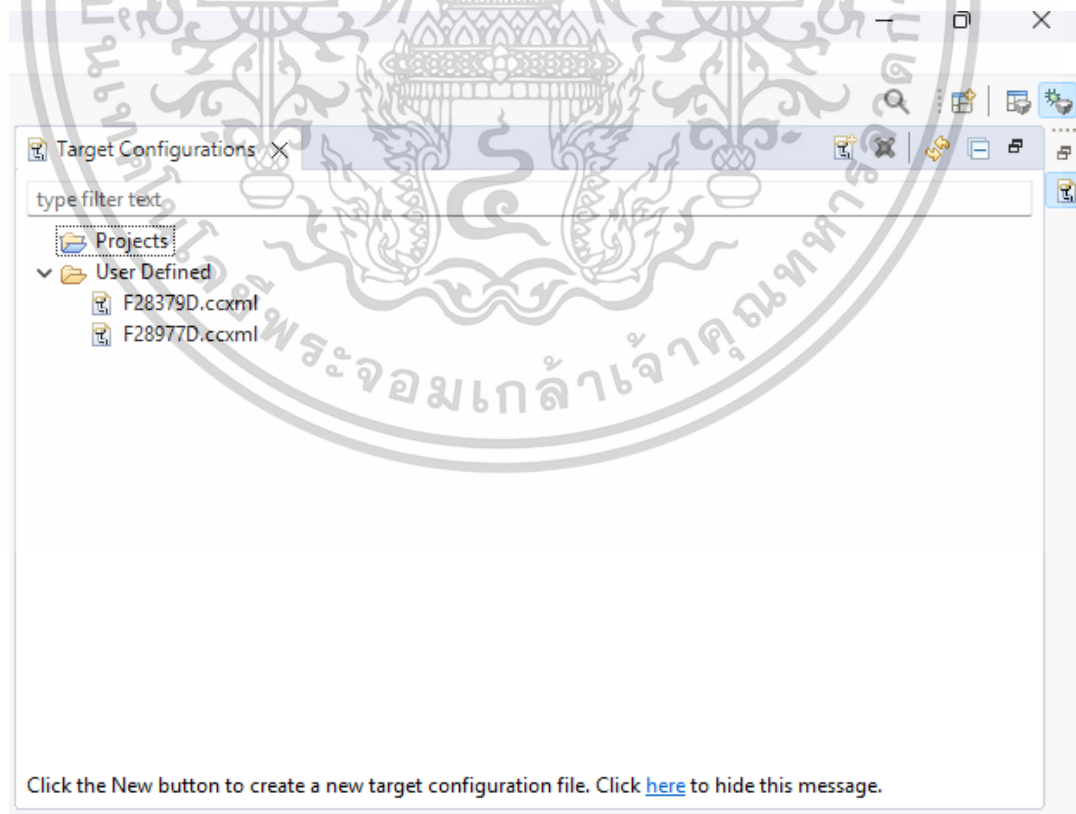
**ขั้นตอนที่ 1** ทำการเลือก New Target Configurations จะแสดงขึ้น ต่อมาให้ทำการตั้งชื่อ Target ที่ต้องการที่ช่อง File name ซึ่งในที่นี้ใช้ชื่อว่า TMS320F28379D\_Test จากนั้นทำการ Finish

เอกสารนี้เป็นเอกสารที่สงวนไว้สำหรับการใช้งานเพื่อการศึกษาเท่านั้น ไม่อนุญาตให้นำไปใช้ประโยชน์ด้านการค้า ไม่ว่าจะกรณีใดๆทั้งสิ้น อีกทั้งห้ามมิให้ดัดแปลงเนื้อหา และต้องอ้างอิงถึงเจ้าของเอกสารทุกครั้งที่มีการนำไปใช้



รูปที่ 5.12 การตั้งชื่อ New Target Configurations

ขั้นตอนที่ 2 การตั้งค่าอุปกรณ์ที่จะเชื่อมต่อกับโปรแกรม CCS นั้นก็คือ TMS320F28379D โดยการคลิกเลือกแท็บ TMS320F28379D\_Test ซึ่งเป็นชื่อที่ได้ตั้งไว้ในขั้นตอนที่ 1

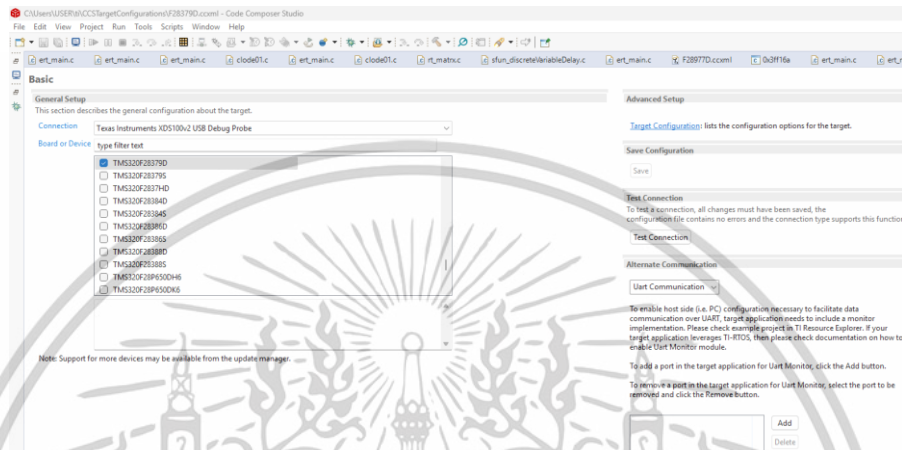


รูปที่ 5.13 การตั้งค่าสร้างไฟล์ชื่อที่จะเชื่อมต่อกับโปรแกรม CCS

เอกสารนี้เป็นเอกสารที่สงวนลิขสิทธิ์สำหรับการใช้งานเพื่อการศึกษาเท่านั้น เมื่ออนุญาตให้นำไปใช้ประโยชน์ด้านการค้าไม่ว่ากรณีใดๆทั้งสิ้น อีกทั้งห้ามมิให้ดัดแปลงเนื้อหา และต้องอ้างอิงถึงเจ้าของเอกสารทุกครั้งที่มีการนำไปใช้

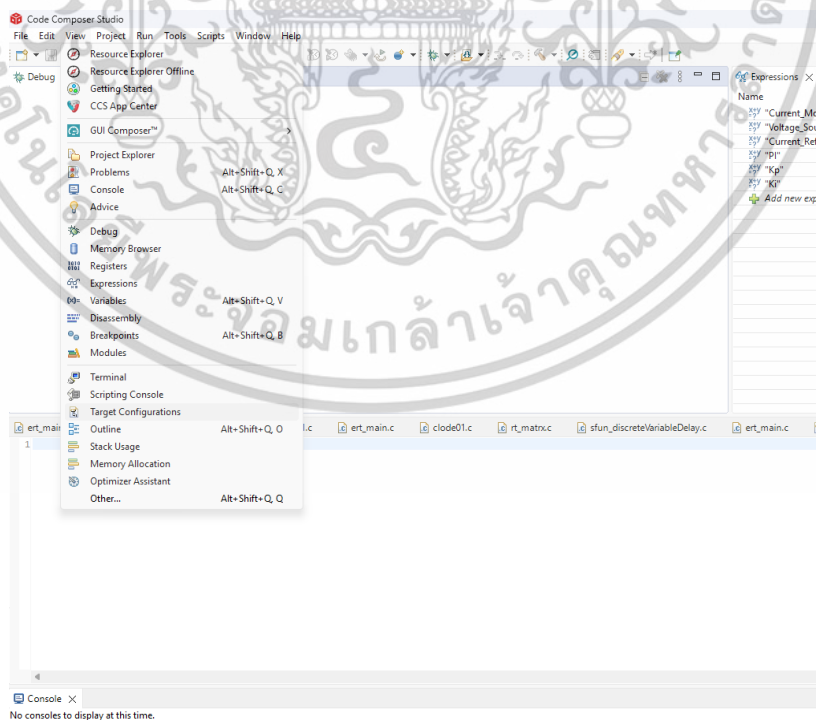
**ขั้นตอนที่ 3** จากนั้นไปที่หัวข้อ Connection โดยปกติโปรแกรมจะตั้งค่ามาตรฐานเป็น Texas Instruments Simulator ให้ทำการเปลี่ยนเป็น Texas Instruments XDS100v2 USB Debug Probe

**ขั้นตอนที่ 4** มาที่หัวข้อ Board or Device ทำการเลือกเป็น TMS320F28379D จากนั้นคลิก Save และ Test Configuration



รูปที่ 5.14 การตั้งค่าอุปกรณ์ที่จะเชื่อมต่อโปรแกรม CCS

**ขั้นตอนที่ 5** ต่อมาจะเห็นที่หน้าต่าง Target Configurations ในกรณีที่หาไม่พบสามารถเรียกขึ้นมาโดยคลิกที่ View จากนั้นเลือก Target Configurations

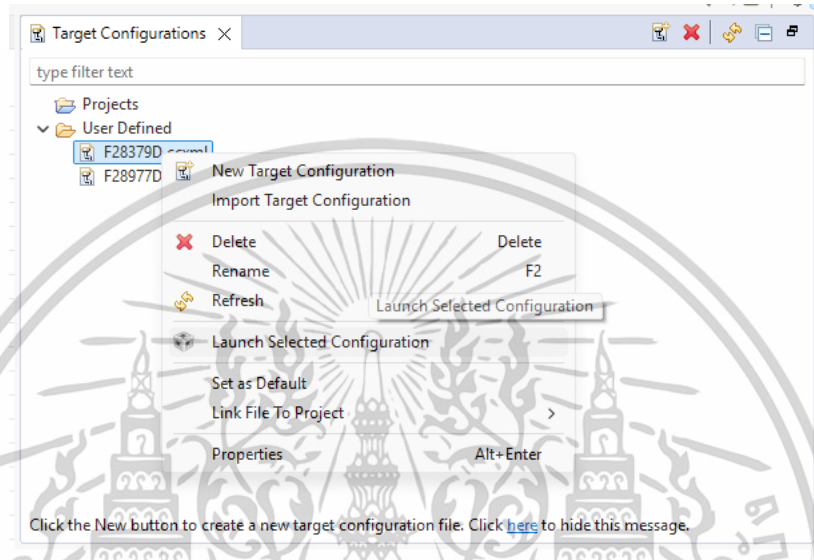


รูปที่ 5.15 ค้นหา Target Configurations

เอกสารนี้เป็นเอกสารที่สงวนไว้สำหรับการใช้งานเพื่อการศึกษาเท่านั้น ไม่อนุญาตให้นำไปใช้ประโยชน์ด้านการค้า ไม่ว่าจะกรณีใดๆทั้งสิ้น อีกทั้งห้ามมิให้ตัดแปลงเนื้อหา และต้องอ้างอิงถึงเจ้าของเอกสารทุกครั้งที่มีการนำไปใช้

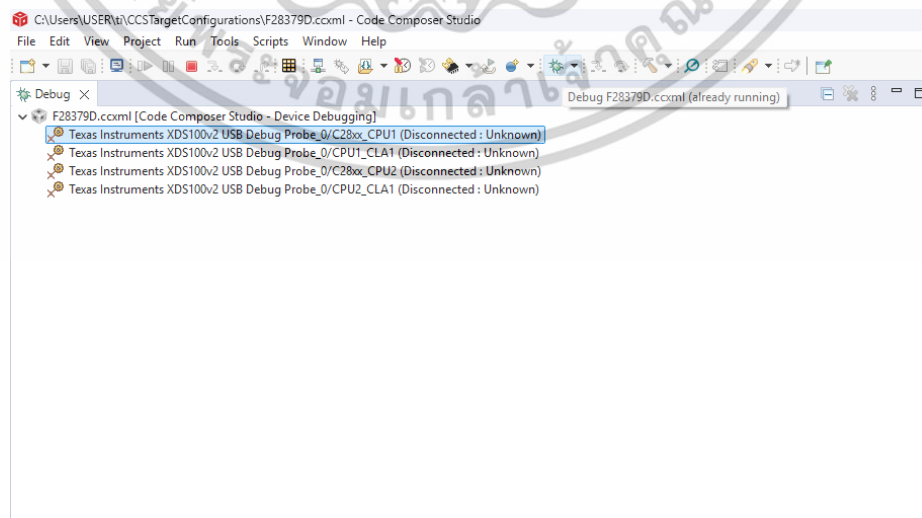
**ขั้นตอนที่ 6** จะเห็นได้ว่าโปรแกรมจะทำการสร้างไฟล์ขึ้นที่โฟลเดอร์ User Defined โดยใช้ชื่อตามที่ได้ตั้งไว้ในขั้นตอนที่ 1 TMS320F28379D\_Test

**ขั้นตอนที่ 7** ทำการ Run Target ที่ได้ทำการ Config ไว้โดยการคลิกขวาที่มีชื่อตามที่ตั้งไว้แล้วเลือก Launch Selected Configuration



**รูปที่ 5.16** เลือก Launch Selected Configuration

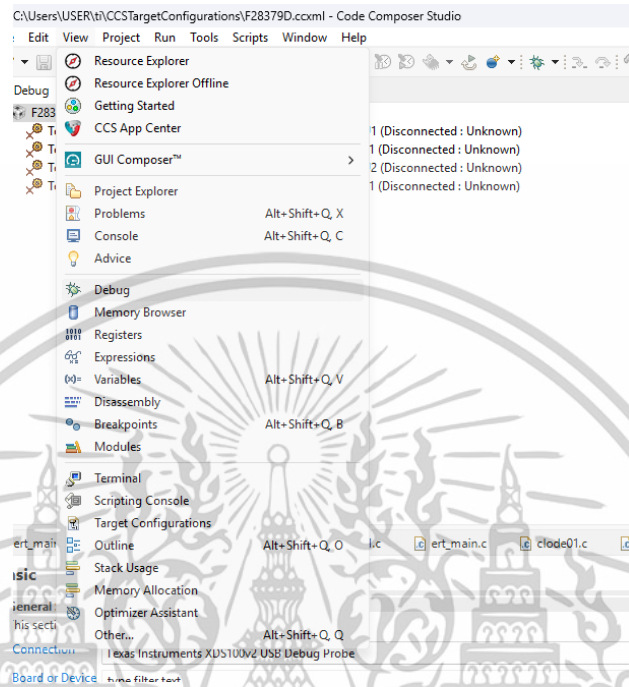
**ขั้นตอนที่ 8** หลังจากทีคลิก Launch Selected Configuration แล้วโปรแกรมจะแสดงหน้าต่าง Progress เพื่อแสดงการทำงานและเมื่อหน้าต่าง Progress หายไปที่ช่อง Debug จะแสดงรายละเอียดของ Target ที่ตั้งค่าไว้ในกรณีที่โปรแกรมไม่แสดง Debug หรือถูกปิดไว้สามารถเปิดได้โดยคลิกที่ View แล้วเลือก Debug



**รูปที่ 5.17** แสดงการ Disconnected Device ที่ช่อง Debug

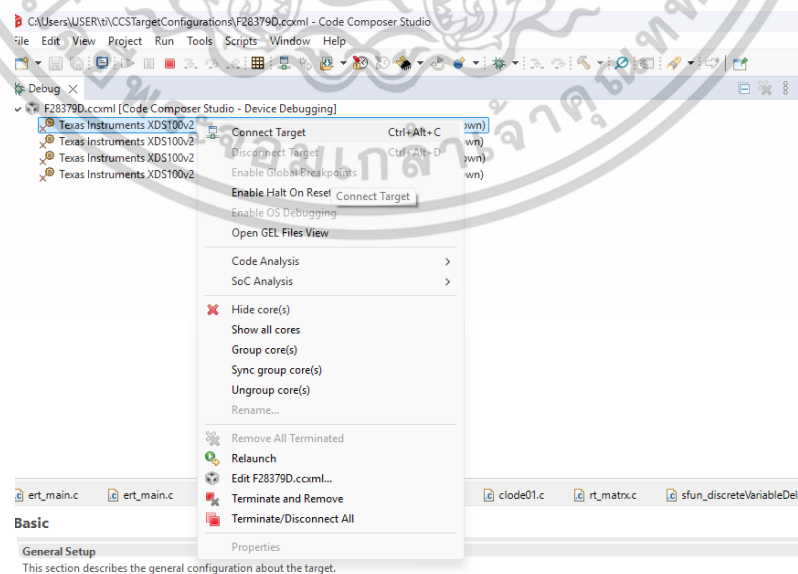
เอกสารนี้เป็นเอกสารที่สงวนไว้สำหรับบริการเชิงงานเพื่อการศึกษาเท่านั้น เมื่อนุญาตให้นำไปใช้ประโยชน์ด้านการค้าไม่ว่ากรณีใดๆทั้งสิ้น อีกทั้งห้ามมิให้ดัดแปลงเนื้อหา และต้องอ้างอิงถึงเจ้าของเอกสารทุกครั้งที่มีการนำไปใช้

ขั้นตอนที่ 9 เมื่อช่อง Debug ถูกเรียกใช้งานจะแสดงดังรูปที่ขั้นตอน 12 จะพบว่าบอร์ด TMS320F28379D อยู่ในโหมด Disconnected Device นั้นยังไม่ได้มีการเชื่อมต่อซึ่งสามารถสังเกตได้ที่ช่อง Disassembly จะไม่มีข้อมูลใดๆแสดงออกมา



รูปที่ 5.18 แสดงช่อง Debug

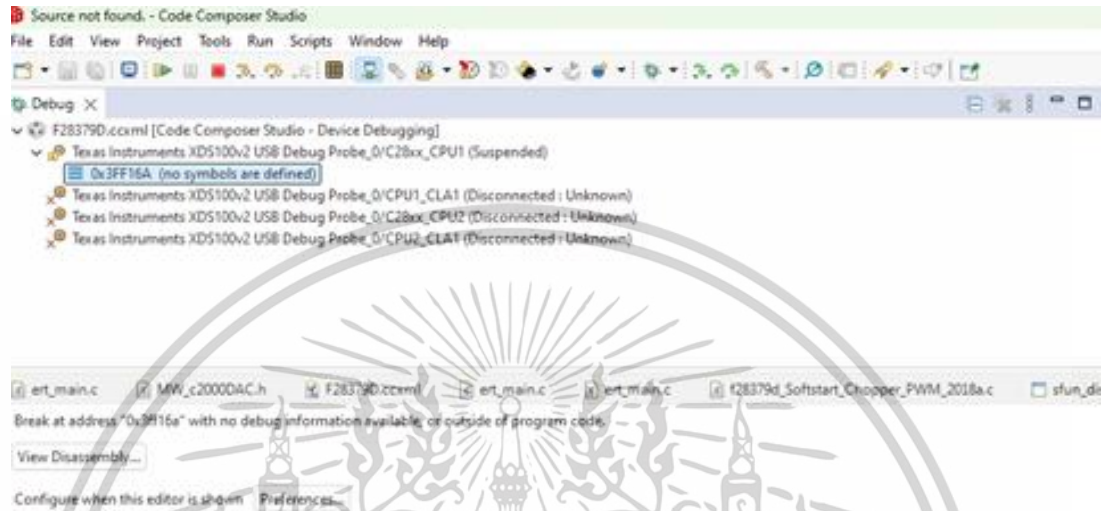
ขั้นตอนที่ 10 การเชื่อมต่อโปรแกรม CCS กับบอร์ด TMS320F28379D สามารถทำได้โดยคลิกขวาที่ Texas instruments XDS100v2 USB Debug Probe\_o/C28xx\_CPU1 จากนั้นเลือก Connect Target



รูปที่ 5.19 การทำ Connect Target

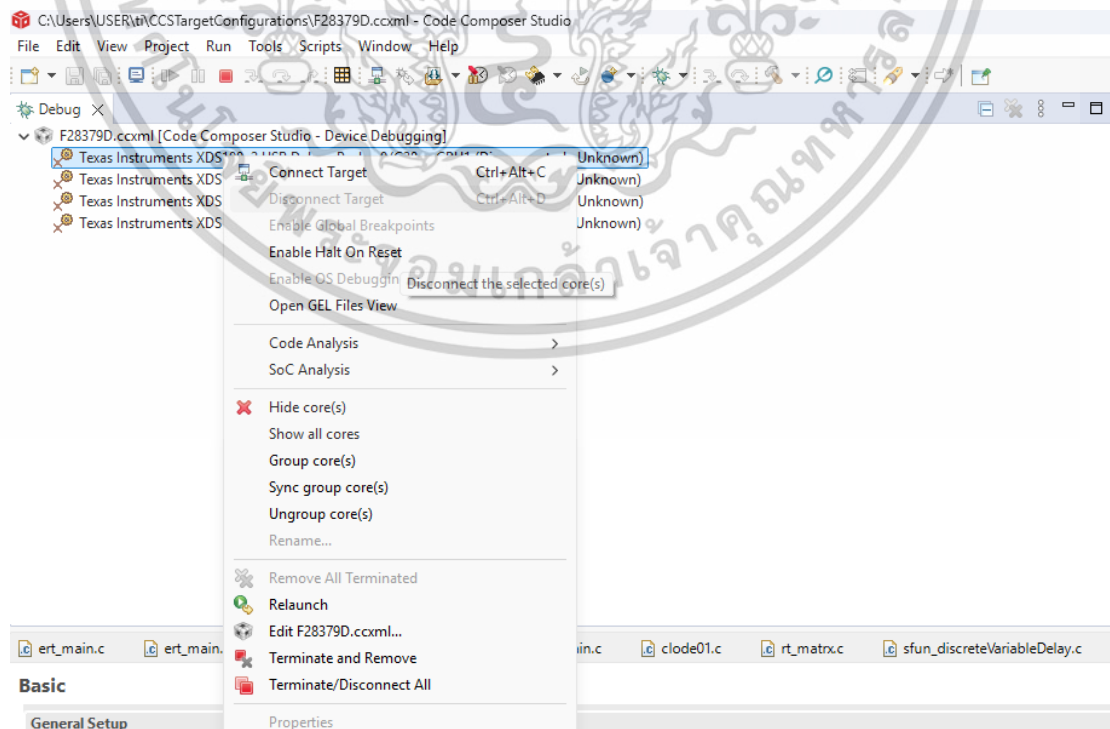
เอกสารนี้เป็นเอกสารที่สงวนไว้สำหรับการใช้งานเพื่อการศึกษาเท่านั้น ไม่นำไปใช้ประโยชน์ด้านการค้า ไม่ว่าจะกรณีใดๆทั้งสิ้น อีกทั้งห้ามมิให้ตัดแปลงเนื้อหา และต้องอ้างอิงถึงเจ้าของเอกสารทุกครั้งที่มีการนำไปใช้

ขั้นตอนที่ 11 หลังจากที่เราเลือก Connect Target เพื่อเชื่อมต่อแล้ว Disconnected Device จะหายไปและสังเกต Disassembly จะมีข้อมูลแสดงออกมาซึ่งหมายถึงโปรแกรม CCS เชื่อมต่อกับบอร์ด TMS320F28379D แล้ว



รูปที่ 5.20 การเชื่อมต่อกับบอร์ด TMS320F28379D

ขั้นตอนที่ 12 ในกรณีที่หยุดเชื่อมต่อกับบอร์ด TMS320F28379D สามารถทำได้โดยคลิกขวาที่ Texas instruments XDS100v2 USB Debug Probe\_o/C28xx\_CPU1 จากนั้นเลือกที่ Disconnect Target



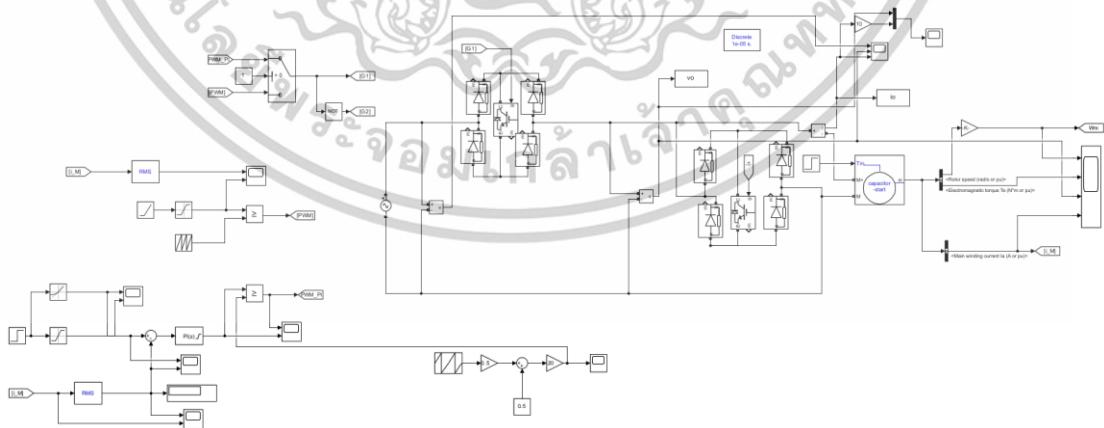
รูปที่ 5.21 หยุดการเชื่อมต่อบอร์ด TMS320F28379D

เอกสารนี้เป็นเอกสารที่สงวนไว้สำหรับการใช้งานเพื่อการศึกษาเท่านั้น ไม่นิยมนำไปใช้ประโยชน์ด้านการค้า ไม่ว่าจะกรณีใดๆทั้งสิ้น อีกทั้งห้ามมิให้ดัดแปลงเนื้อหา และต้องอ้างอิงถึงเจ้าของเอกสารทุกครั้งที่มีการนำไปใช้

## 5.5 การจำลองระบบการควบคุมการเริ่มหมุนแบบนิ่มนวลให้กับมอเตอร์เหนี่ยวนำหนึ่งเฟส ในโปรแกรม MATLAB/Simulink Version R2024a

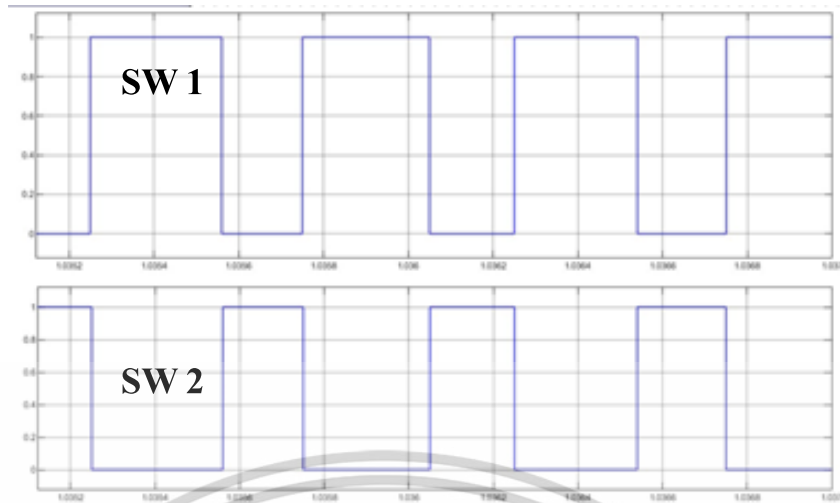
สำหรับการจำลองระบบการควบคุมการเริ่มหมุนแบบนิ่มนวลให้กับมอเตอร์เหนี่ยวนำหนึ่งเฟสในโปรแกรม MATLAB/Simulink Version R2024a ซึ่งแบบจำลองของมอเตอร์เหนี่ยวนำหนึ่งเฟสชนิดเริ่มหมุนด้วยตัวเก็บประจุที่ใช้สำหรับการจำลองต้องหาค่าพารามิเตอร์เพื่อแทนค่าลงในโปรแกรม MATLAB/Simulink การหาค่าพารามิเตอร์ตามภาคผนวก ข. ของมอเตอร์เหนี่ยวนำหนึ่งเฟสชนิดตัวเก็บประจุช่วยหรือแบบคาปาซิเตอร์สตาร์ทที่ 50 ไมโครฟารัด ยี่ห้อ Mitsubishi รุ่น SC-KR มีขนาดพิกัด 1/2 แรงม้า หรือ 0.4 กิโลวัตต์ 230 โวลต์ 50 เฮิรตซ์ 4.3 แอมป์ 4 ขั้ว และความเร็วรอบที่พิกัดที่ 1,430 รอบต่อนาที ผลจากการจำลองเพื่อนำมาเปรียบเทียบรูปคลื่นสัญญาณของแรงดันและกระแส และรูปฮาร์มอนิกแรงดันและกระแสนอกจากนี้แล้วยังสามารถนำมาวิเคราะห์พฤติกรรมกระแสมอเตอร์เพื่อนำมาจัดสร้างชุดทดสอบจริงในงานระบบควบคุมการเริ่มหมุนแบบนิ่มนวลโดยวิธีการพีดีบีเอสเอ็ม เอช ซี ซี อีพีเออร์ แบบอะซิงโครนัส Asynchronous PWM AC Chopper Soft Starter : PWMSS ซึ่งจะได้จำลองและอธิบายการทำงานวิจัยในโปรแกรม MATLAB/Simulink ตารางที่ 5.1 ค่าพารามิเตอร์ของมอเตอร์เหนี่ยวนำหนึ่งเฟสชนิดเริ่มหมุนด้วยตัวเก็บประจุที่ใช้สำหรับการจำลอง

Power	Voltage	Current	Frequency	Poles	Speed
0.4 kW (1/2HP)	230 V	4.3 A	50 Hz	4 Pole	1430 rpm
$R_s$	$R_r$	$l_{ls}$	$l_{lr}$	$L_m$	$J$
1.7846 $\Omega$	3.67 $\Omega$	0.01088 mH	0.01088 mH	0.3210 mH	$kg.m^2$



รูปที่ 5.22 การจำลองเริ่มหมุนแบบนิ่มนวลของมอเตอร์แบบ PWM AC Chopper Soft Starter : PWMSS ในโปรแกรม MATLAB/Simulink

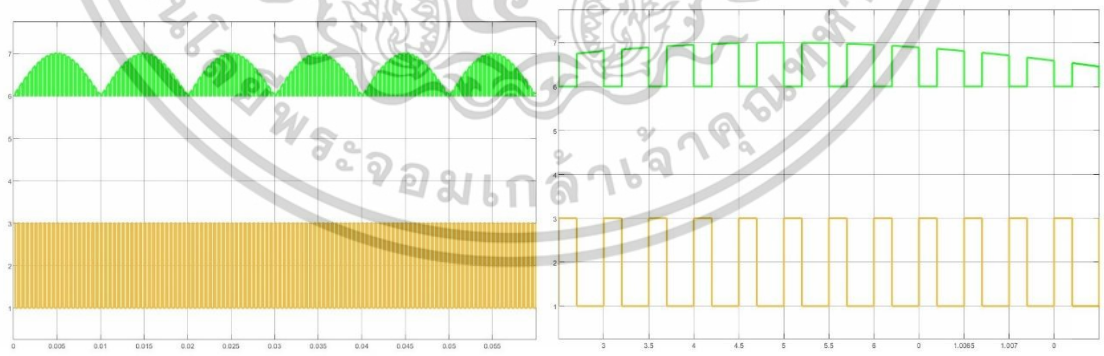
เอกสารนี้เป็นเอกสารที่สงวนไว้สำหรับการใช้งานเพื่อการศึกษาเท่านั้น ไม่อนุญาตให้นำไปใช้ประโยชน์ด้านการค้า ไม่ว่าจะกรณีใดๆทั้งสิ้น อีกทั้งห้ามมิให้ดัดแปลงเนื้อหา และต้องอ้างอิงถึงเจ้าของเอกสารทุกครั้งที่มีการนำไปใช้



รูปที่ 5.23 รูปคลื่นของวงจรประวิงเวลาที่ได้จากการจำลอง



(ก) สัญญาณสวิตช์ IGBT ตัวที่ 1 ที่คิดดี 60% (ข) ขยายสัญญาณสวิตช์ IGBT ตัวที่ 1 ที่คิดดี 60%



(ค) สัญญาณสวิตช์ IGBT ตัวที่ 2 ที่คิดดี 60% (ง) ขยายสัญญาณสวิตช์ IGBT ตัวที่ 2 ที่คิดดี 60%

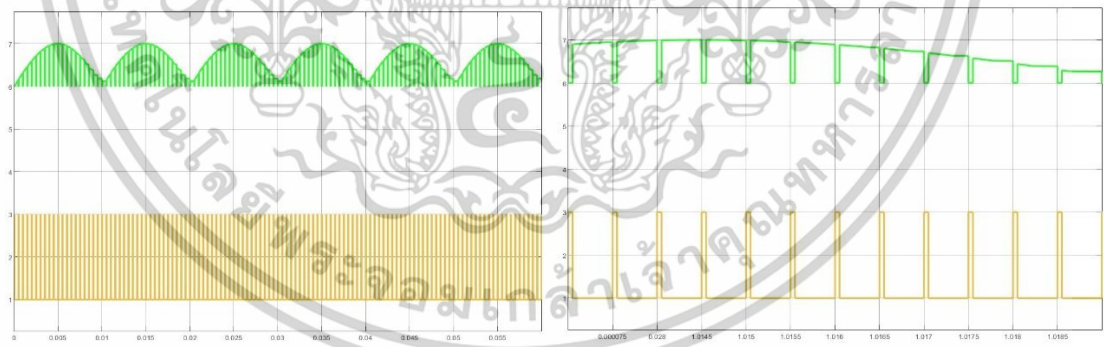
รูปที่ 5.24 รูปคลื่นสัญญาณของสวิตช์ IGBT ตัวที่ 1 และสวิตช์ IGBT ตัวที่ 2 ตัว ที่ค่าคิดดี 60%

โดยจากรูป 5.23 สัญญาณที่ได้จากภาคเอาต์พุตจะเป็นสัญญาณที่กลับเฟสอินพุตและช่วง Dead Time หรือวงจรประวิงเวลาของการทำงานสวิตช์ตัวที่ 1 และสวิตช์ตัวที่ 2 ที่ได้จากการต่อวงจร เอกสารนี้เป็นเอกสารที่สวอนไว้สำหรับการใช้งานเพื่อการศึกษาเท่านั้น ไม่อนุญาตให้นำไปใช้ประโยชน์ด้านการค้า ไม่ว่าจะกรณีใดๆทั้งสิ้น อีกทั้งห้ามมิให้ตัดแปลงเนื้อหา และต้องอ้างอิงถึงเจ้าของเอกสารทุกครั้งที่มีการนำไปใช้

จริงเทียบโดยสัญญาณช่วงที่หนึ่งลงก็จะเป็นจังหวะเดียวกับช่วงที่สองขึ้นเราจึงทำการหน่วงเวลาในช่วง  
 ขาลงและขาขึ้นทั้งสองสัญญาณที่ 6  $\mu\text{s}$  สำหรับในการทดสอบที่ตั้งค่าไว้ที่จะแสดงรูปคลื่นของสอง  
 สัญญาณที่ออกมาสองสัญญาณนั้นจะมีค่าของการ ON, OFF ต่างกัน และรูปที่ 5.24 เป็นรูป  
 คลื่นสัญญาณของสวิตช์ IGBT ตัวที่ 1 และสวิตช์ IGBT ตัวที่ 2 ตัว ที่ค่าดิวตี้ 60% จะเห็นได้ว่ารูป (ก)  
 และ (ข) เป็นรูปคลื่นสัญญาณของสวิตช์ IGBT ตัวที่ 1 ที่ค่าดิวตี้ 60% โดยรูป (ข) เป็นการซูมเข้าไปดู  
 เนื้อพัลส์กว้างการทำงานของสัญญาณที่ทำงานสลับกันสายโพรบ CH4 จับขา IGBT ที่ขา Gate และ  
 สายโพรบ CH3 จับที่ขา Source ส่วนรูป (ค) และ (ง) รูปคลื่นสัญญาณสวิตช์ IGBT ตัวที่ 2 ที่ค่าดิวตี้  
 60% โดยรูป (ง) เป็นการซูมเข้าไปดูเนื้อพัลส์กว้างการทำงานของสัญญาณที่ทำงานสลับกันสายโพรบ  
 CH4 จับขา IGBT ที่ขา Gate และสายโพรบ CH3 จับที่ขา Source

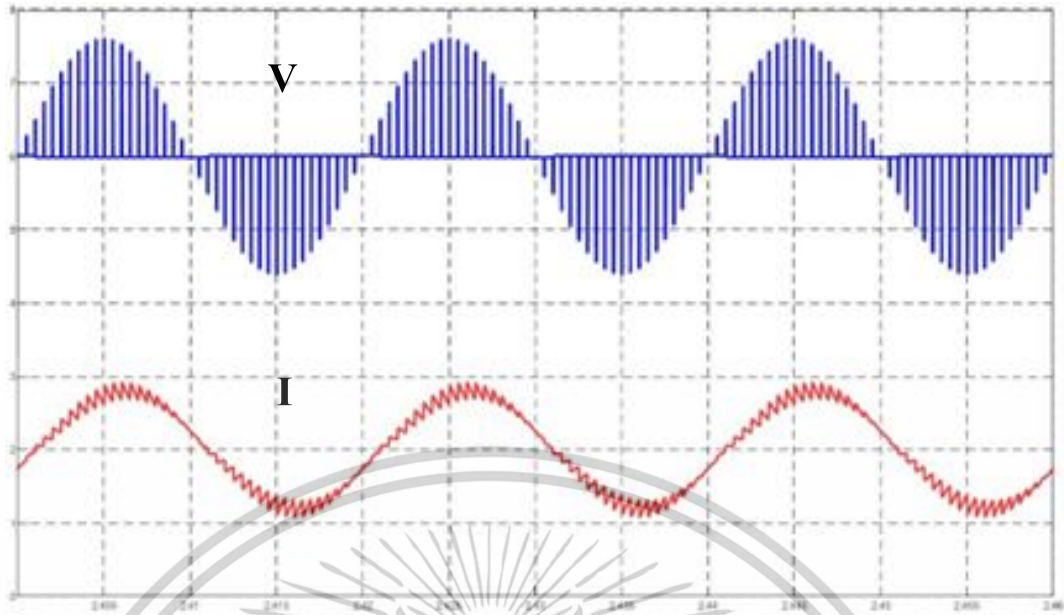


(ก) สัญญาณสวิตช์ IGBT ตัวที่ 1 ที่ดิวตี้ 90%      (ข) ขยายสัญญาณสวิตช์ IGBT ตัวที่ 1 ที่ดิวตี้ 90%

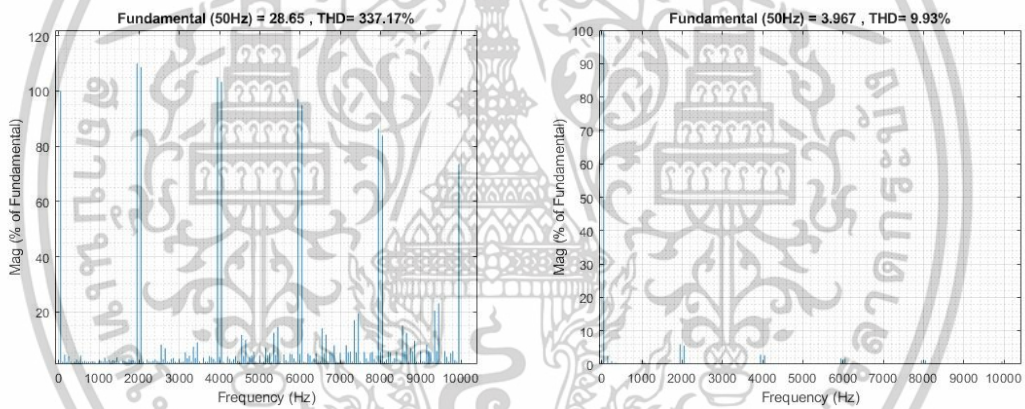


(ค) สัญญาณสวิตช์ IGBT ตัวที่ 2 ที่ดิวตี้ 90%      (ง) ขยายสัญญาณสวิตช์ IGBT ตัวที่ 2 ที่ดิวตี้ 90%  
 รูปที่ 5.25 รูปคลื่นสัญญาณของสวิตช์ IGBT ตัวที่ 1 และสวิตช์ IGBT ตัวที่ 2 ตัว ที่ค่าดิวตี้ 90%

เอกสารนี้เป็นเอกสารที่สงวนไว้สำหรับการใช้งานเพื่อการศึกษาเท่านั้น ไม่อนุญาตให้นำไปใช้ประโยชน์ด้านการค้า  
 ไม่ว่าจะกรณีใดๆทั้งสิ้น อีกทั้งห้ามมิให้ดัดแปลงเนื้อหา และต้องอ้างอิงถึงเจ้าของเอกสารทุกครั้งที่มีการนำไปใช้



(ก) สัญญาณคลื่นแรงดันและกระแสที่ 10%

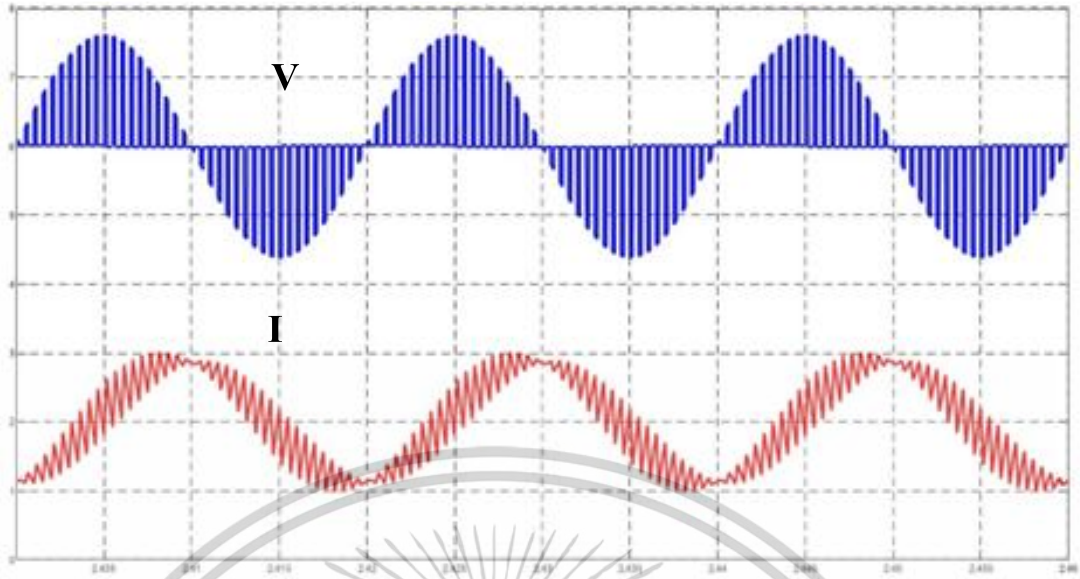


(ข) ฮาร์มอนิกของแรงดันที่ค่าดีวีดี 10%

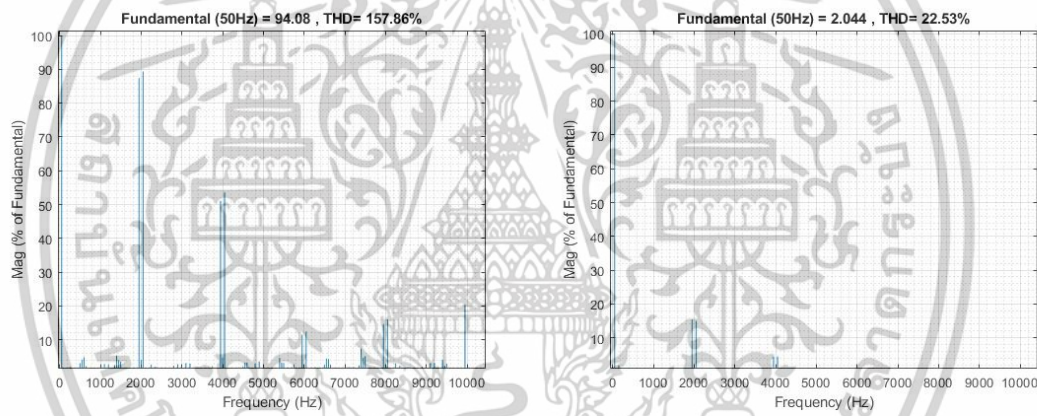
(ค) ฮาร์มอนิกของกระแสที่ค่าดีวีดี 10%

รูปที่ 5.26 รูปคลื่นสัญญาณและฮาร์มอนิกของแรงดันและกระแสที่ค่าดีวีดี 10% จากการจำลอง

เอกสารนี้เป็นเอกสารที่สงวนไว้สำหรับการใช้งานเพื่อการศึกษาเท่านั้น ไม่อนุญาตให้นำไปใช้ประโยชน์ด้านการค้า ไม่ว่าจะกรณีใดๆทั้งสิ้น อีกทั้งห้ามมิให้ดัดแปลงเนื้อหา และต้องอ้างอิงถึงเจ้าของเอกสารทุกครั้งที่มีการนำไปใช้



(ก) สัญญาณคลื่นแรงดันและกระแสตัว 30%

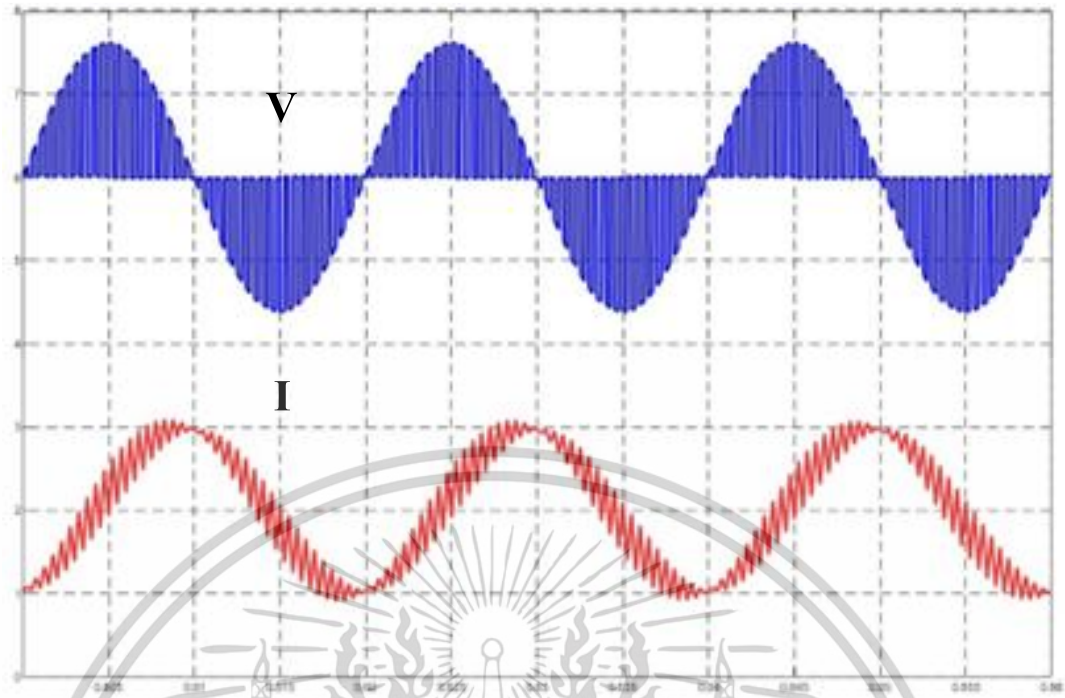


(ข) ฮาร์มอนิกของแรงดันที่ค่าตัว 30%

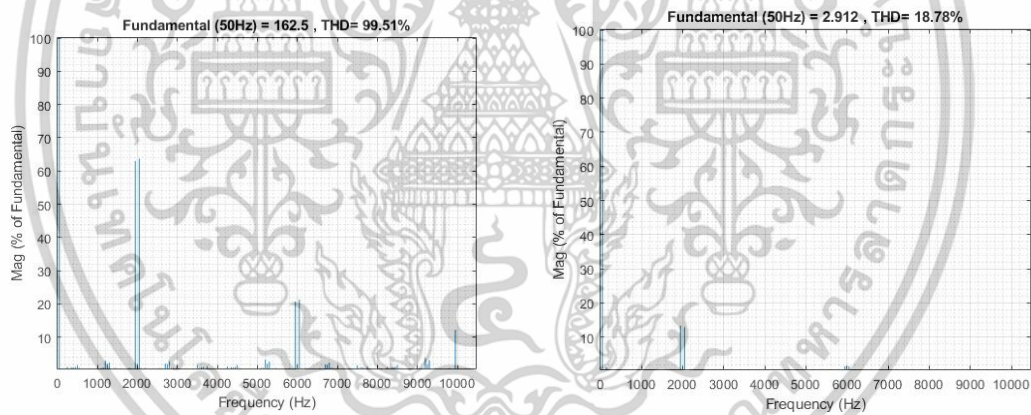
(ค) ฮาร์มอนิกของกระแสที่ค่าตัว 30%

รูปที่ 5.27 รูปคลื่นสัญญาณและฮาร์มอนิกของแรงดันและกระแสที่ค่าตัว 30% จากการจำลอง

เอกสารนี้เป็นเอกสารที่สงวนไว้สำหรับการใช้งานเพื่อการศึกษาเท่านั้น ไม่อนุญาตให้นำไปใช้ประโยชน์ด้านการค้า  
ไม่ว่ากรณีใดๆทั้งสิ้น อีกทั้งห้ามมิให้ดัดแปลงเนื้อหา และต้องอ้างอิงถึงเจ้าของเอกสารทุกครั้งที่มีการนำไปใช้



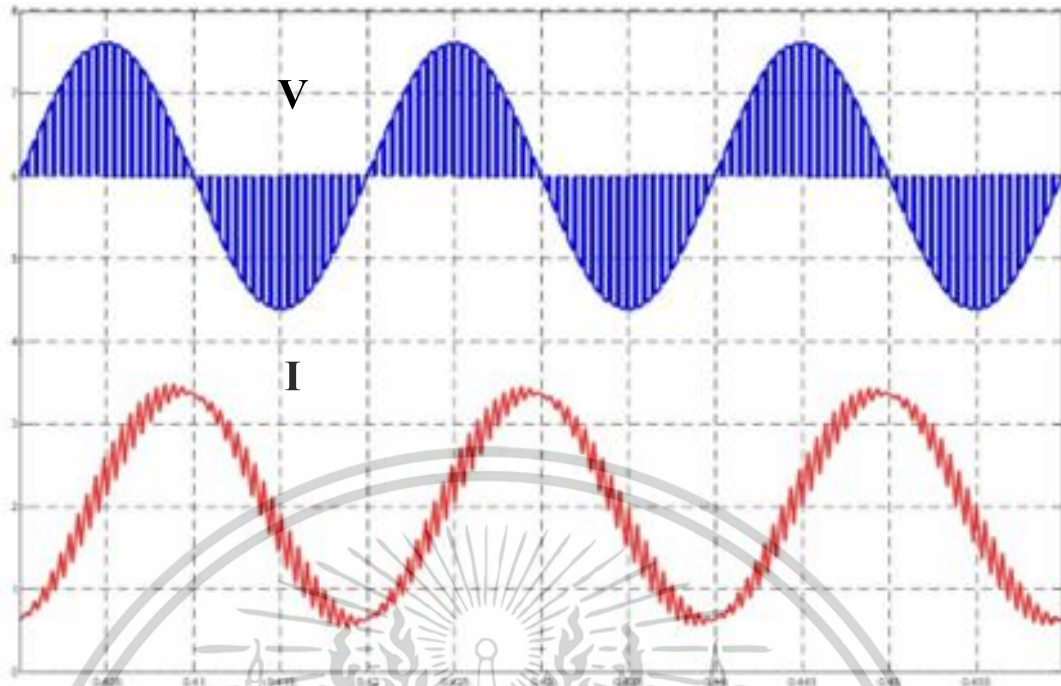
(ก) สัญญาณคลื่นแรงดันและกระแสที่ค่าบิดเบือน 50%



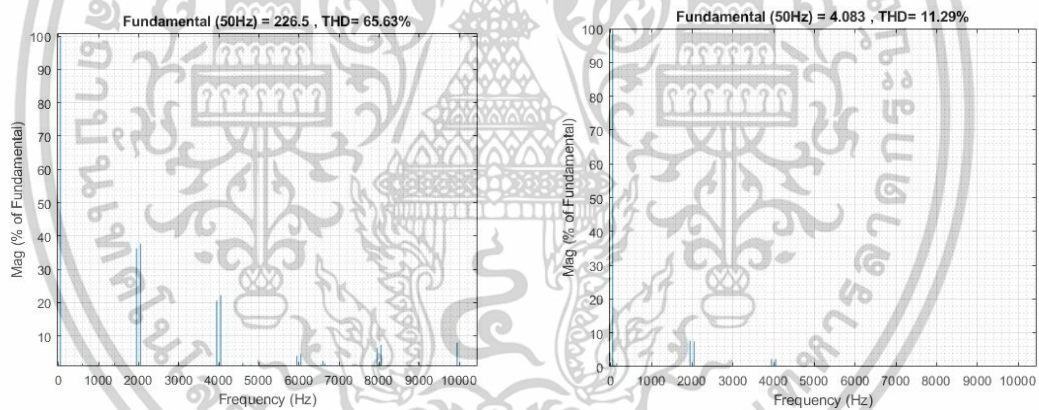
(ข) ฮาร์มอนิกของแรงดันที่ค่าบิดเบือน 50% (ค) ฮาร์มอนิกของกระแสที่ค่าบิดเบือน 50%

รูปที่ 5.28 รูปคลื่นสัญญาณและฮาร์มอนิกของแรงดันและกระแสที่ค่าบิดเบือน 50% จากการจำลอง

เอกสารนี้เป็นเอกสารที่สงวนไว้สำหรับการใช้งานเพื่อการศึกษาเท่านั้น ไม่อนุญาตให้นำไปใช้ประโยชน์ด้านการค้า ไม่ว่าจะกรณีใดๆทั้งสิ้น อีกทั้งห้ามมิให้ดัดแปลงเนื้อหา และต้องอ้างอิงถึงเจ้าของเอกสารทุกครั้งที่มีการนำไปใช้



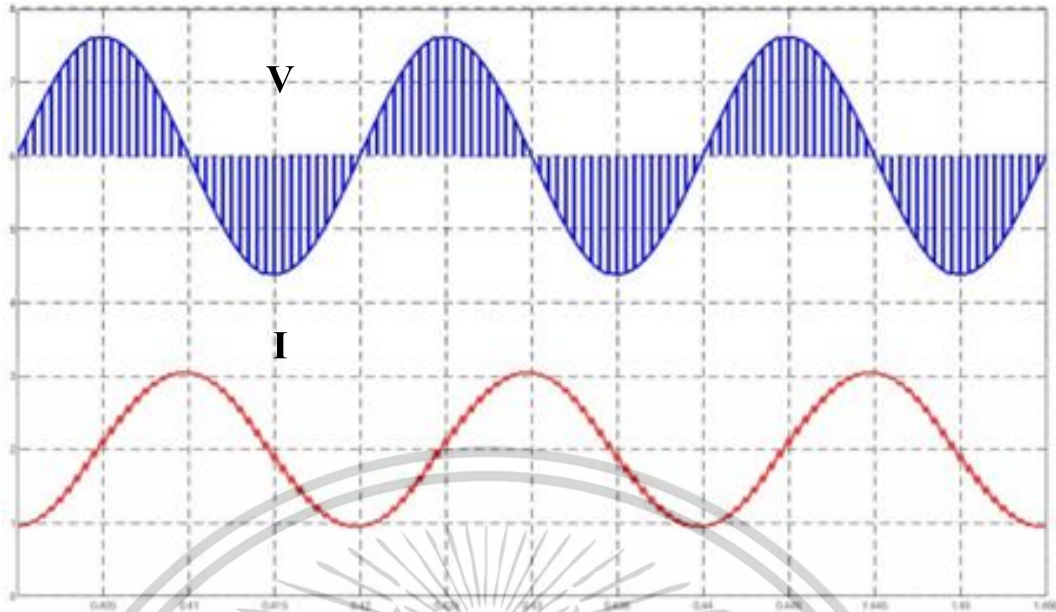
(ก) สัญญาณคลื่นแรงดันและกระแสตัวที่ 70%



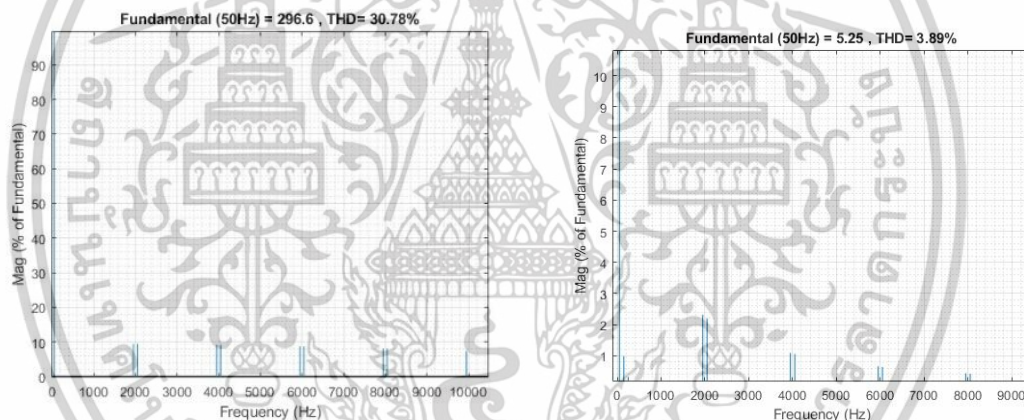
(ข) ฮาร์มอนิกของแรงดันที่ค่าตัวที่ 70%      (ค) ฮาร์มอนิกของกระแสที่ค่าตัวที่ 70%

รูปที่ 5.29 รูปคลื่นสัญญาณและฮาร์มอนิกของแรงดันและกระแสที่ค่าตัวที่ 70% จากการจำลอง

เอกสารนี้เป็นเอกสารที่สงวนไว้สำหรับการใช้งานเพื่อการศึกษาเท่านั้น ไม่อนุญาตให้นำไปใช้ประโยชน์ด้านการค้า ไม่ว่าจะกรณีใดๆทั้งสิ้น อีกทั้งห้ามมิให้ดัดแปลงเนื้อหา และต้องอ้างอิงถึงเจ้าของเอกสารทุกครั้งที่มีการนำไปใช้



(ก) สัญญาณคลื่นแรงดันและกระแสที่ 90%

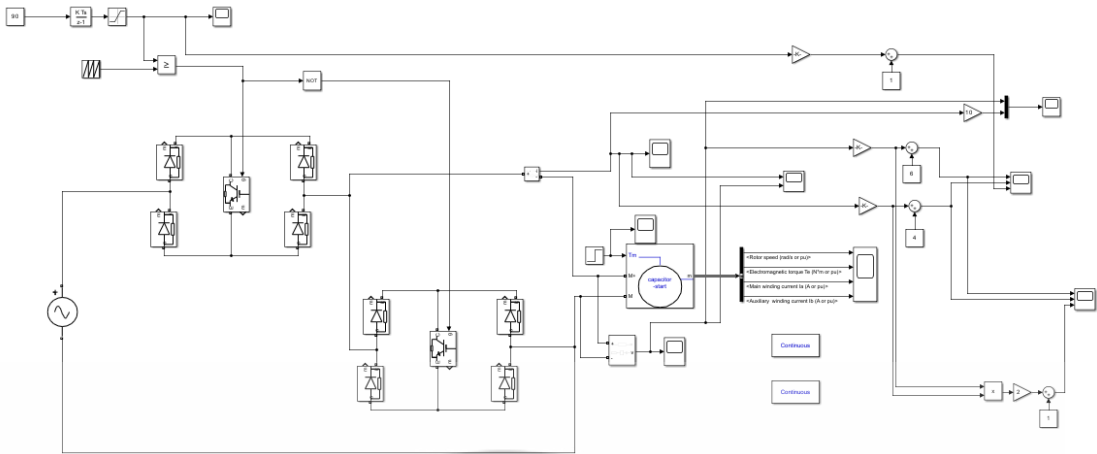


(ข) ฮาร์โมนิกของแรงดันที่ค่าตัวที่ 90%      (ค) ฮาร์โมนิกของกระแสที่ค่าตัวที่ 90%

รูปที่ 5.30 รูปคลื่นสัญญาณและฮาร์โมนิกของแรงดันและกระแสที่ค่าตัวที่ 90% จากการจำลอง

การจำลองแบบไม่มีโหลดที่ค่าความชันตั้งแต่ 0.5, 1.0, 1.5 และ 2.0 และที่ค่าตัวที่ 5-90%, 10-90%, 15-90% และ 20-90% เพื่อดูลักษณะพฤติกรรมความสัมพันธ์ของสัญญาณแรงดันและกระแสในแต่ช่วงค่าความชันและช่วงค่าตัวที่ที่มีการใช้พลังงานเป็นค่าพารามิเตอร์ที่วัดได้ชั่วขณะ (Instantaneous) โดยจากรูปที่ 5.31 (ก) การจำลองค่าความชันในโปรแกรม MATLAB/Simulink (ข) การเปลี่ยนค่าความชันที่ช่อง Gain Value และ (ค) การเปลี่ยนค่าตัวที่ที่ช่อง Upper Limit และ Lower Limit ซึ่งจะได้อธิบายรายละเอียดตามลำดับ

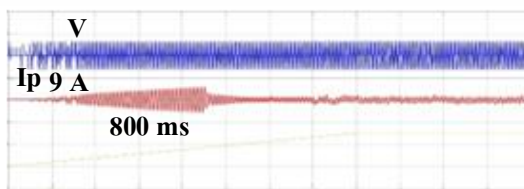
เอกสารนี้เป็นเอกสารที่สงวนไว้สำหรับการใช้งานเพื่อการศึกษาเท่านั้น ไม่อนุญาตให้นำไปใช้ประโยชน์ด้านการค้า ไม่ว่าจะกรณีใดๆทั้งสิ้น อีกทั้งห้ามมิให้ดัดแปลงเนื้อหา และต้องอ้างอิงถึงเจ้าของเอกสารทุกครั้งที่มีการนำไปใช้



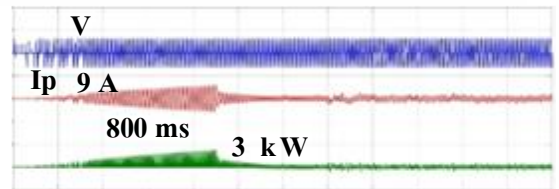
(ก) การจำลองจากโปรแกรม MATLAB/Simulink

(ข) การเปลี่ยนค่าความชันที่ช่อง Gain Value (ค) การเปลี่ยนค่าตัวที่ช่อง Upper - Lower

รูปที่ 5.31 (ก) การจำลองค่าความชันในโปรแกรม MATLAB/Simulink (ข) การเปลี่ยนค่าความชันที่ช่อง Gain Value และ (ค) การเปลี่ยนค่าตัวที่ช่อง Upper Limit และ Lower Limit

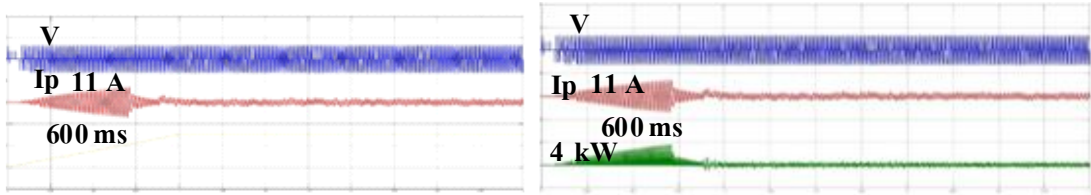


(ก) ค่าความชันตามเวลาที่ 0.5



(ข) กำลังไฟฟ้าช่วงเวลาที่ตัวที่ 5-90%

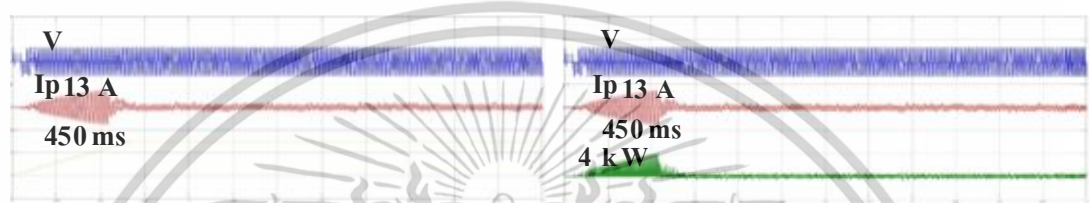
เอกสารนี้เป็นเอกสารที่สงวนไว้สำหรับการใช้งานภายในของนักศึกษาเท่านั้น เมื่อผู้ใดเห็นประโยชน์ด้านการค้าไม่ว่ากรณีใดๆทั้งสิ้น อีกทั้งห้ามมิให้ตัดแปลงเนื้อหา และต้องอ้างอิงถึงเจ้าของเอกสารทุกครั้งที่มีการนำไปใช้



(ค) ค่าความชื้นตามเวลาที่ 1.0

(ง) กำลังไฟฟ้าชั่วขณะที่ดีวีดี 5-90%

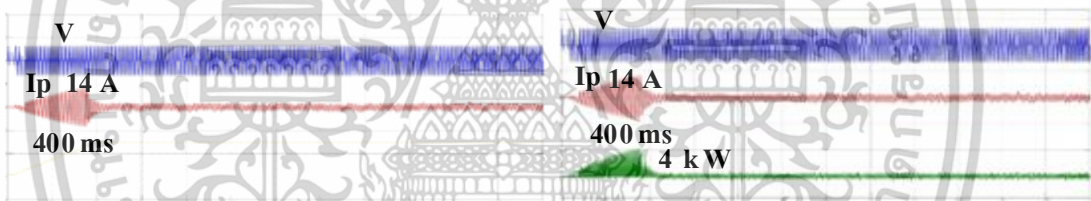
การจำลองแบบไม่มีโหลดที่ค่าความชื้น 1.0 และที่ค่าดีวีดี 5-90%



(จ) ค่าความชื้นตามเวลาที่ 1.5

(ฉ) กำลังไฟฟ้าชั่วขณะที่ดีวีดี 5-90%

การจำลองแบบไม่มีโหลดที่ค่าความชื้น 1.5 และที่ค่าดีวีดี 5-90%



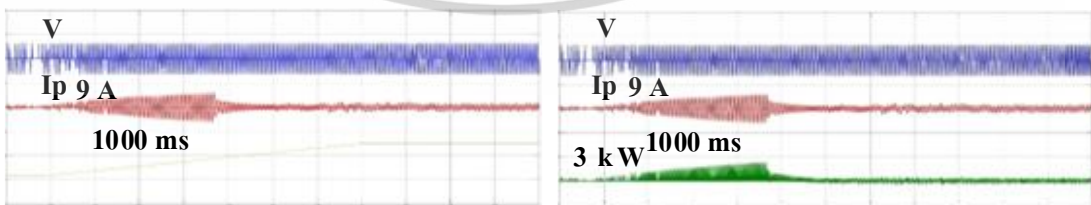
(ช)

(ซ)

การจำลองแบบไม่มีโหลดที่ค่าความชื้น 2.0 และที่ค่าดีวีดี 5-90%

รูปที่ 5.32 การจำลองแบบไม่มีโหลดที่ค่าความชื้น 0.5, 1.0, 1.5, 2.0 และที่ค่าดีวีดี 5-90%

เป็นค่าพารามิเตอร์ที่วัดได้ชั่วขณะ (Instantaneous)

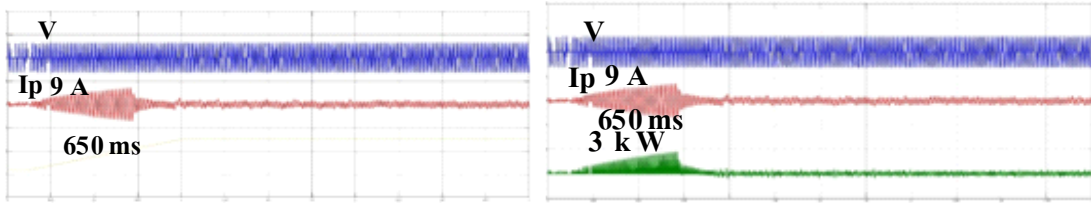


(ก) ค่าความชื้นตามเวลาที่ 0.5

(ข) กำลังไฟฟ้าชั่วขณะที่ดีวีดี 10-90%

การจำลองแบบไม่มีโหลดที่ค่าความชื้น 0.5 และที่ค่าดีวีดี 10-90%

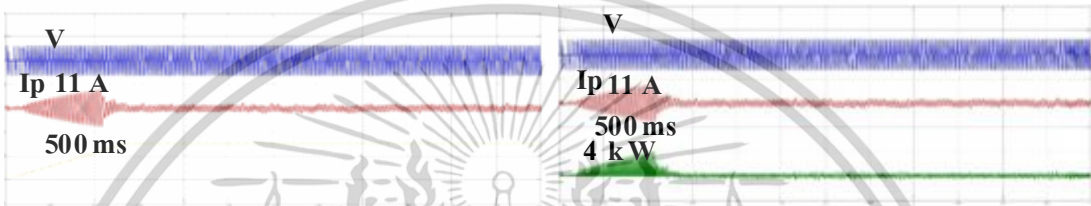
เอกสารนี้เป็นเอกสารที่สงวนไว้สำหรับการใช้งานเพื่อการศึกษาเท่านั้น ไม่อนุญาตให้นำไปใช้ประโยชน์ด้านการค้า  
ไม่ว่ากรณีใดๆทั้งสิ้น อีกทั้งห้ามมิให้ตัดแปลงเนื้อหา และต้องอ้างอิงถึงเจ้าของเอกสารทุกครั้งที่มีการนำไปใช้



(ค) ค่าความชื้นตามเวลาที่ 1.0

(ง) กำลังไฟฟ้าชั่วขณะที่ดีวัด 10-90%

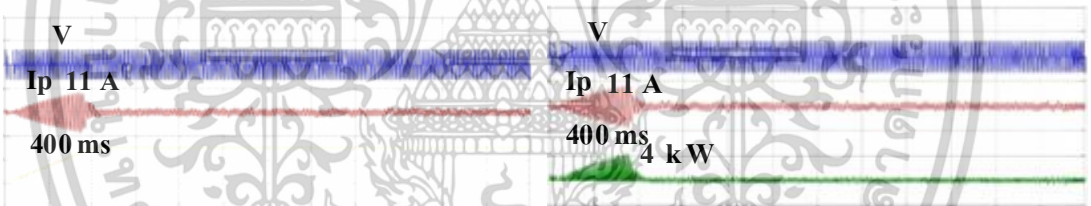
การจำลองแบบไม่มีโหลดที่ค่าความชื้น 1.0 และที่ค่าดีวัด 10-90%



(จ) ค่าความชื้นตามเวลาที่ 1.5

(ฉ) กำลังไฟฟ้าชั่วขณะที่ดีวัด 10-90%

การจำลองแบบไม่มีโหลดที่ค่าความชื้น 1.5 และที่ค่าดีวัด 10-90%



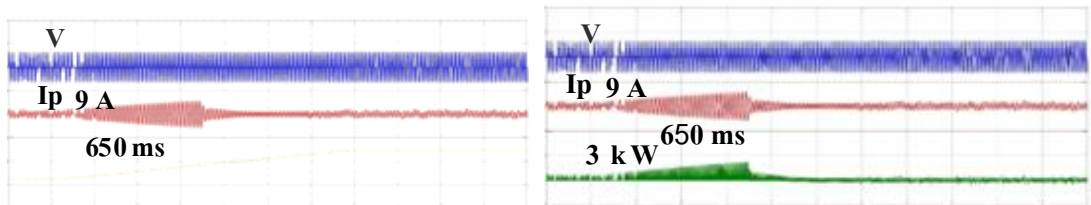
(ช) ค่าความชื้นตามเวลาที่ 2.0

(ซ) กำลังไฟฟ้าชั่วขณะที่ดีวัด 10-90%

การจำลองแบบไม่มีโหลดที่ค่าความชื้น 2.0 และที่ค่าดีวัด 10-90%

รูปที่ 5.33 การจำลองแบบไม่มีโหลดที่ค่าความชื้น 0.5, 1.0, 1.5, 2.0 และที่ค่าดีวัด 10-90%

เป็นค่าพารามิเตอร์ที่วัดได้ชั่วขณะ (Instantaneous)



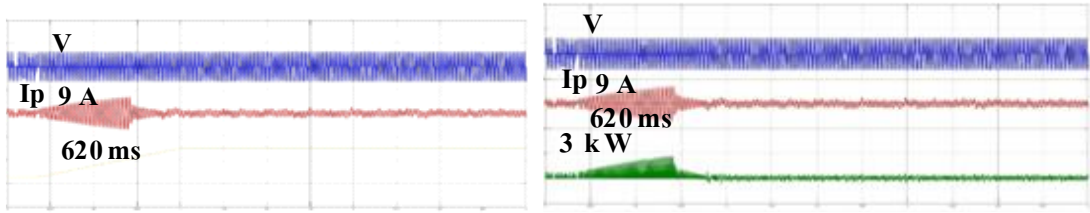
(ก) ค่าความชื้นตามเวลาที่ 0.5

(ข) กำลังไฟฟ้าชั่วขณะที่ดีวัด 15-90%

การจำลองแบบไม่มีโหลดที่ค่าความชื้น 0.5 และที่ค่าดีวัด 15-90%

เอกสารนี้เป็นเอกสารที่สงวนไว้สำหรับการใช้งานเพื่อการศึกษาเท่านั้น ไม่อนุญาตให้นำไปใช้ประโยชน์ด้านการค้า

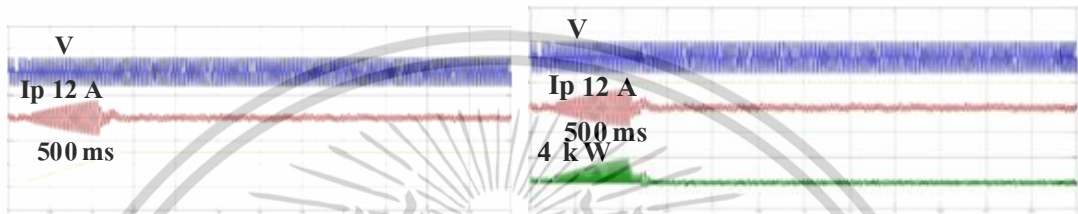
ไม่ว่ากรณีใดๆทั้งสิ้น อีกทั้งห้ามมิให้ดัดแปลงเนื้อหา และต้องอ้างอิงถึงเจ้าของเอกสารทุกครั้งที่มีการนำไปใช้



(ค) ค่าความชื้นตามเวลาที่ 1.0

(ง) กำลังไฟฟ้าชั่วขณะที่ดีวีดี 15-90%

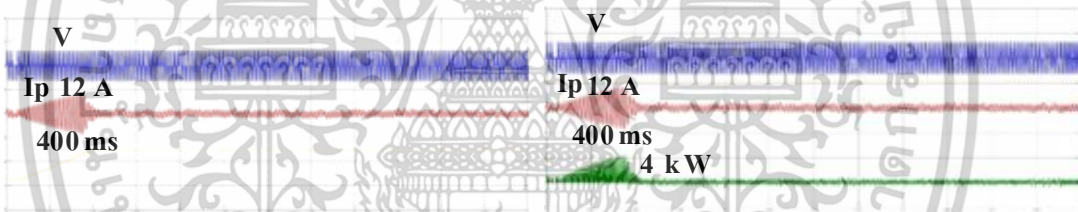
การจำลองแบบไม่มีโหลดที่ค่าความชื้น 1.0 และที่ค่าดีวีดี 15-90%



(จ) ค่าความชื้นตามเวลาที่ 1.5

(ฉ) กำลังไฟฟ้าชั่วขณะที่ดีวีดี 15-90%

การจำลองแบบไม่มีโหลดที่ค่าความชื้น 1.5 และที่ค่าดีวีดี 15-90%

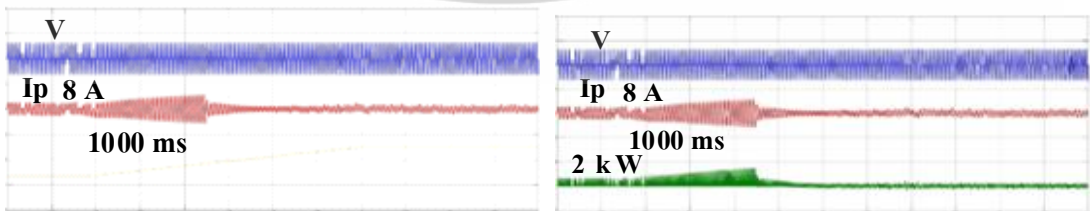


(ช) ค่าความชื้นตามเวลาที่ 2.0

(ซ) กำลังไฟฟ้าชั่วขณะที่ดีวีดี 15-90%

การจำลองแบบไม่มีโหลดที่ค่าความชื้น 2.0 และที่ค่าดีวีดี 15-90%

รูปที่ 5.34 การจำลองแบบไม่มีโหลดที่ค่าความชื้น 0.5, 1.0, 1.5, 2.0 และที่ค่าดีวีดี 15-90% เป็นค่าพารามิเตอร์ที่วัดได้ชั่วขณะ (Instantaneous)

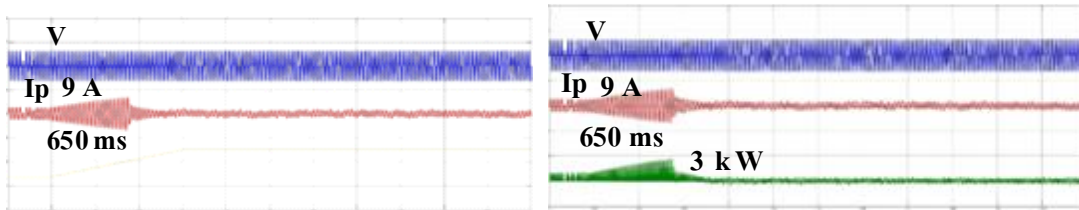


(ก) ค่าความชื้นตามเวลาที่ 0.5

(ข) กำลังไฟฟ้าชั่วขณะที่ดีวีดี 20-90%

การจำลองแบบไม่มีโหลดที่ค่าความชื้น 0.5 และที่ค่าดีวีดี 20-90%

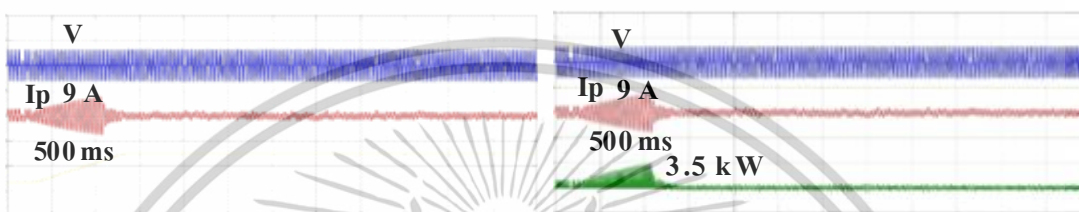
เอกสารนี้เป็นเอกสารที่สงวนไว้สำหรับการใช้งานเพื่อการศึกษาเท่านั้น ไม่อนุญาตให้นำไปใช้ประโยชน์ด้านการค้า ไม่ว่าจะกรณีใดๆทั้งสิ้น อีกทั้งห้ามมิให้ดัดแปลงเนื้อหา และต้องอ้างอิงถึงเจ้าของเอกสารทุกครั้งที่มีการนำไปใช้



(ค) ค่าความชันตามเวลาที่ 1.0

(ง) กำลังไฟฟ้าชั่วขณะที่ดีวดี 20-90%

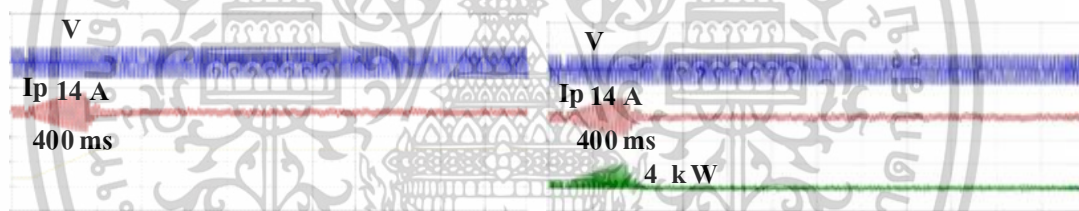
การจำลองแบบไม่มีโหลดที่ค่าความชัน 1.0 และที่ค่าดีวดี 20-90%



(จ) ค่าความชันตามเวลาที่ 1.5

(ฉ) กำลังไฟฟ้าชั่วขณะที่ดีวดี 20-90%

การจำลองแบบไม่มีโหลดที่ค่าความชัน 1.5 และที่ค่าดีวดี 20-90%



(ช) ค่าความชันตามเวลาที่ 2.0

(ซ) กำลังไฟฟ้าชั่วขณะที่ดีวดี 20-90%

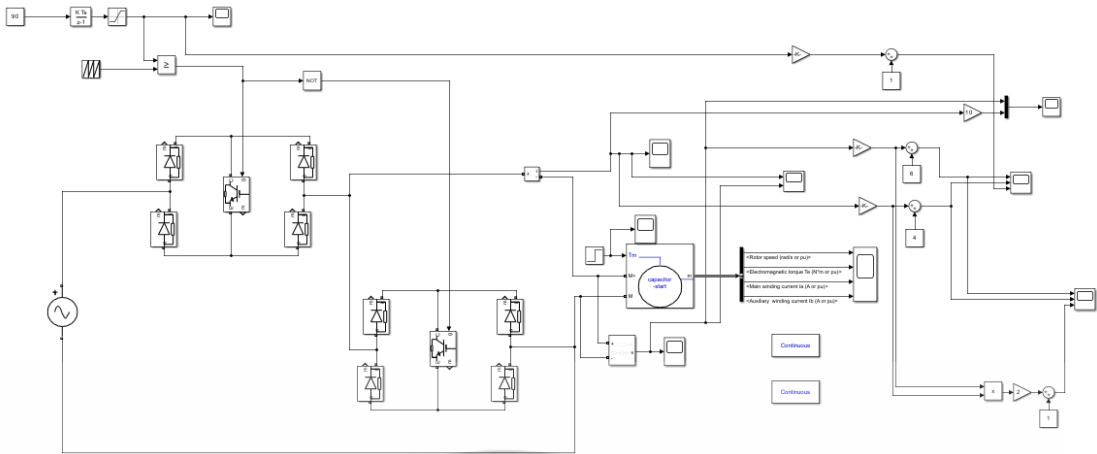
การจำลองแบบไม่มีโหลดที่ค่าความชัน 2.0 และที่ค่าดีวดี 20-90%

รูปที่ 5.35 การจำลองแบบไม่มีโหลดที่ค่าความชัน 0.5, 1.0, 1.5, 2.0 และที่ค่าดีวดี 20-90%

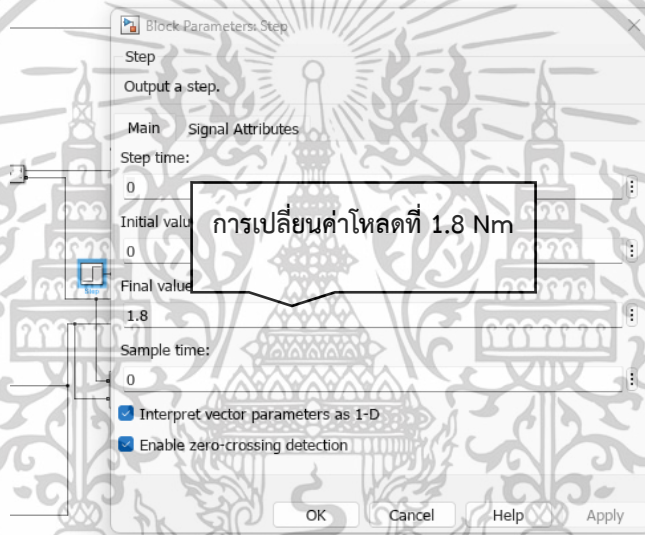
เป็นค่าพารามิเตอร์ที่วัดได้ชั่วขณะ (Instantaneous)

การจำลองแบบมีโหลดที่ค่าความชันตั้งแต่ 0.5, 1.0, 1.5 และ 2.0 และที่ค่าดีวดี 5-90%, 10-90%, 15-90% และ 20-90% เพื่อดูลักษณะพฤติกรรมความสัมพันธ์ของสัญญาณแรงดันและกระแสในแต่ช่วงค่าความชันและช่วงค่าดีวดีที่มีการใช้พลังงานเป็นค่าพารามิเตอร์ที่วัดได้ชั่วขณะ (Instantaneous) โดยจากรูปที่ 5.36 การจำลองค่าความชันในโปรแกรม MATLAB/Simulink (ข) การเปลี่ยนค่าใส่โหลดที่ช่อง Final Value ในที่นี้จะใส่โหลดที่ 1.8 Nm ซึ่งจะได้อธิบายในรูปต่อไป

เอกสารนี้เป็นเอกสารที่สงวนไว้สำหรับการใช้งานเพื่อการศึกษาเท่านั้น ไม่อนุญาตให้นำไปใช้ประโยชน์ด้านการค้า ไม่ว่าจะกรณีใดๆทั้งสิ้น อีกทั้งห้ามมิให้ดัดแปลงเนื้อหา และต้องอ้างอิงถึงเจ้าของเอกสารทุกครั้งที่มีการนำไปใช้

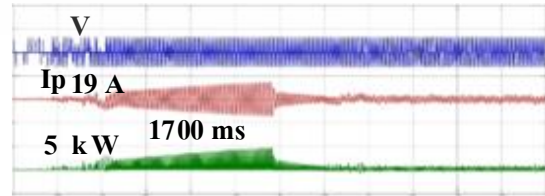
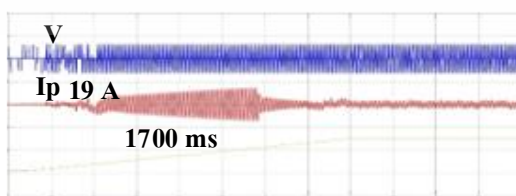


(ก) การจำลองค่าความชันในโปรแกรม MATLAB/Simulink



(ข) การเปลี่ยนค่าโหลดที่ช่อง Final Value

รูปที่ 5.36 (ก) การจำลองค่าความชันในโปรแกรม MATLAB/Simulink (ข) การเปลี่ยนค่าโหลดที่ช่อง Final Value

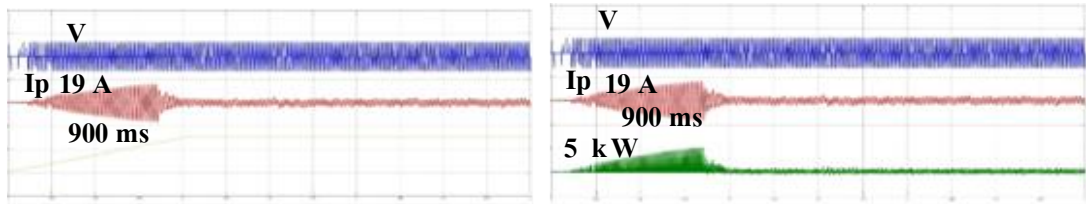


(ก) ค่าความชันตามเวลาที่ 0.5

(ข) กำลังไฟฟ้าชั่วขณะที่ดีวัด 5-90%

การจำลองแบบมีโหนดที่ค่าความชัน 0.5 และที่ค่าดีวัด 5-90%

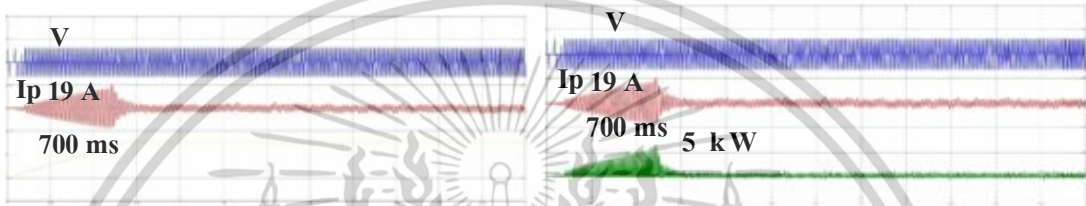
เอกสารนี้เป็นเอกสารที่สงวนไว้สำหรับการใช้งานเพื่อการศึกษาเท่านั้น ไม่อนุญาตให้นำไปใช้ประโยชน์ด้านการค้า ไม่ว่าจะกรณีใดๆทั้งสิ้น อีกทั้งห้ามมิให้ดัดแปลงเนื้อหา และต้องอ้างอิงถึงเจ้าของเอกสารทุกครั้งที่มีการนำไปใช้



(ค) ค่าความชื้นตามเวลาที่ 1.0

(ง) กำลังไฟฟ้าชั่วขณะที่คิดไว้ 5-90%

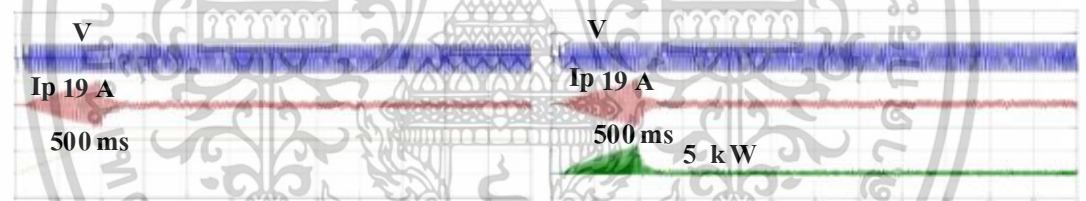
การจำลองแบบมีโหลดที่ค่าความชื้น 1.0 และที่ค่าความชื้น 5-90%



(จ) ค่าความชื้นตามเวลาที่ 1.5

(ฉ) กำลังไฟฟ้าชั่วขณะที่คิดไว้ 5-90%

การจำลองแบบมีโหลดที่ค่าความชื้น 1.5 และที่ค่าความชื้น 5-90%



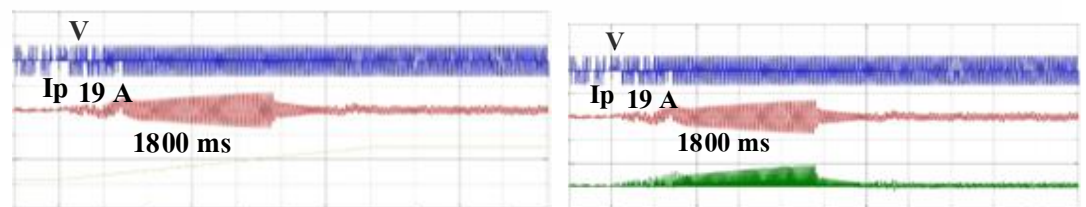
(ช) ค่าความชื้นตามเวลาที่ 2.0

(ซ) กำลังไฟฟ้าชั่วขณะที่คิดไว้ 5-90%

การจำลองแบบมีโหลดที่ค่าความชื้น 2.0 และที่ค่าความชื้น 5-90%

รูปที่ 5.37 การจำลองแบบมีโหลดที่ค่าความชื้น 0.5, 1.0, 1.5, 2.0 และที่ค่าความชื้น 5-90%

เป็นค่าพารามิเตอร์ที่วัดได้ชั่วขณะ (Instantaneous)



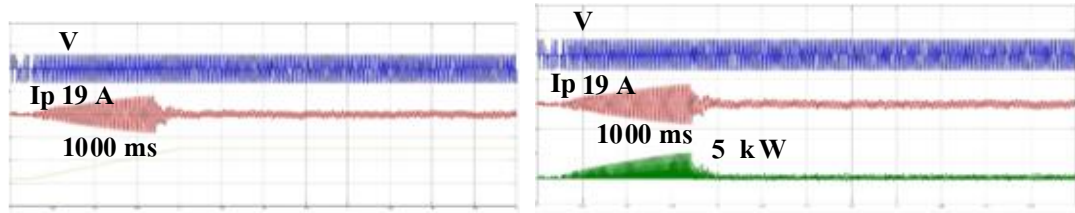
(ก) ค่าความชื้นตามเวลาที่ 0.5

(ข) กำลังไฟฟ้าชั่วขณะที่คิดไว้ 10-90%

การจำลองแบบมีโหลดที่ค่าความชื้น 0.5 และที่ค่าความชื้น 10-90%

เอกสารนี้เป็นเอกสารที่สงวนไว้สำหรับการใช้งานเพื่อการศึกษาเท่านั้น ไม่อนุญาตให้นำไปใช้ประโยชน์ด้านการค้า

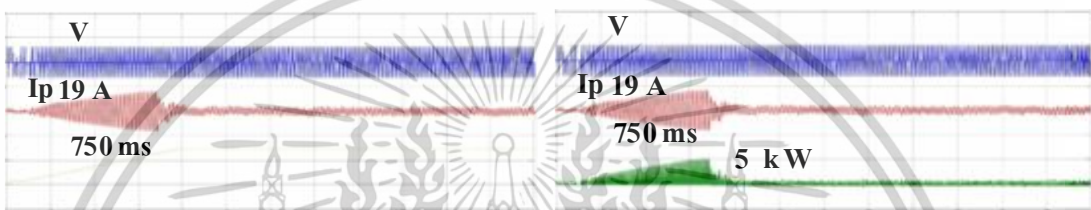
ไม่ว่ากรณีใดๆทั้งสิ้น อีกทั้งห้ามมิให้คัดแปลงเนื้อหา และต้องอ้างอิงถึงเจ้าของเอกสารทุกครั้งที่มีการนำไปใช้



(ค) ค่าความชันตามเวลาที่ 1.0

(ง) กำลังไฟฟ้าชั่วขณะที่ดีวดี 10-90%

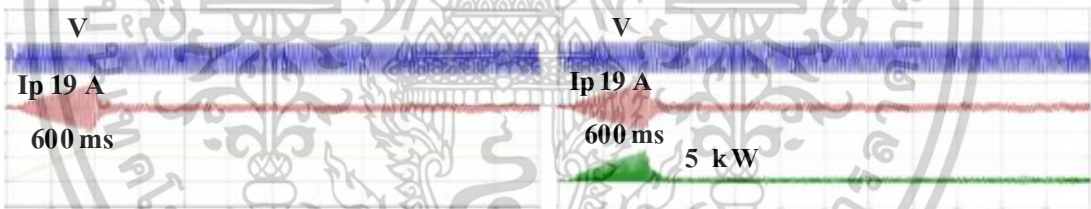
การจำลองแบบมีโหลดที่ค่าความชัน 1.0 และที่ค่าดีวดี 10-90%



(จ) ค่าความชันตามเวลาที่ 1.5

(ฉ) กำลังไฟฟ้าชั่วขณะที่ดีวดี 10-90%

การจำลองแบบมีโหลดที่ค่าความชัน 1.5 และที่ค่าดีวดี 10-90%



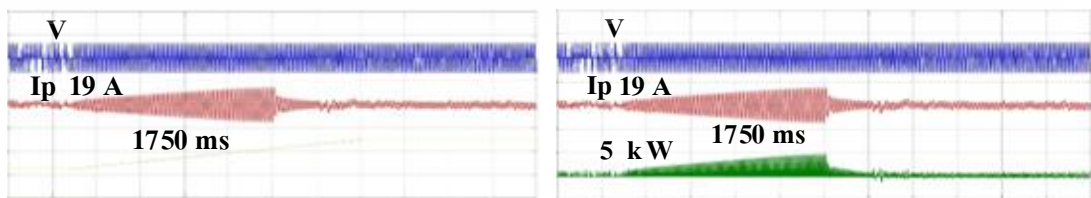
(ช) ค่าความชันตามเวลาที่ 2.0

(ซ) กำลังไฟฟ้าชั่วขณะที่ดีวดี 10-90%

การจำลองแบบมีโหลดที่ค่าความชัน 2.0 และที่ค่าดีวดี 10-90%

รูปที่ 5.38 การจำลองแบบมีโหลดที่ค่าความชัน 0.5, 1.0, 1.5, 2.0 และที่ค่าดีวดี 10-90%

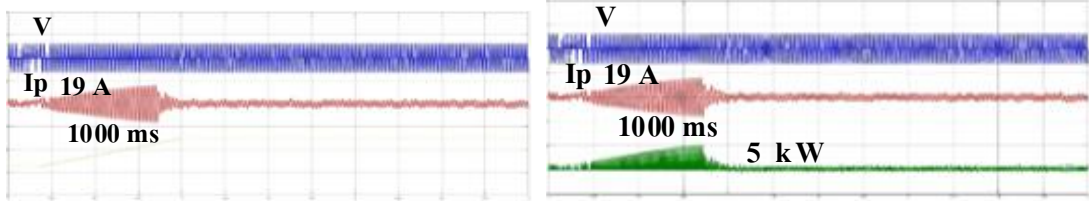
เป็นค่าพารามิเตอร์ที่วัดได้ชั่วขณะ (Instantaneous)



(ก) ค่าความชันตามเวลาที่ 0.5

(ข) กำลังไฟฟ้าชั่วขณะที่ดีวดี 15-90%

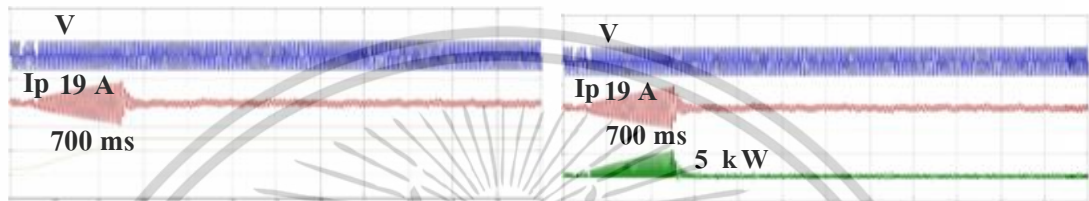
การจำลองแบบมีโหลดที่ค่าความชัน 0.5 และที่ค่าดีวดี 15-90% เอกสารนี้เป็นเอกสารที่สงวนไว้สำหรับการใช้งานเพื่อการศึกษาเท่านั้น ไม่อนุญาตให้นำไปใช้ประโยชน์ด้านการค้า ไม่ว่าจะกรณีใดๆทั้งสิ้น อีกทั้งห้ามมิให้ดัดแปลงเนื้อหา และต้องอ้างอิงถึงเจ้าของเอกสารทุกครั้งที่มีการนำไปใช้



(ค) ค่าความชื้นตามเวลาที่ 1.0

(ง) กำลังไฟฟ้าชั่วขณะที่คิดไว้ 15-90%

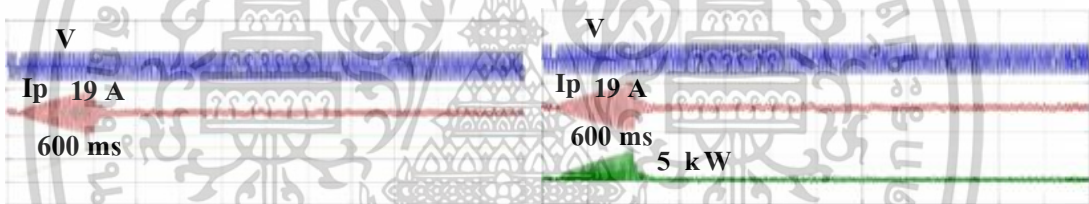
การจำลองแบบมีโหลดที่ค่าความชื้น 1.0 และที่ค่าตัวดี 15-90%



(จ) ค่าความชื้นตามเวลาที่ 1.5

(ฉ) กำลังไฟฟ้าชั่วขณะที่คิดไว้ 15-90%

การจำลองแบบมีโหลดที่ค่าความชื้น 1.5 และที่ค่าตัวดี 15-90%



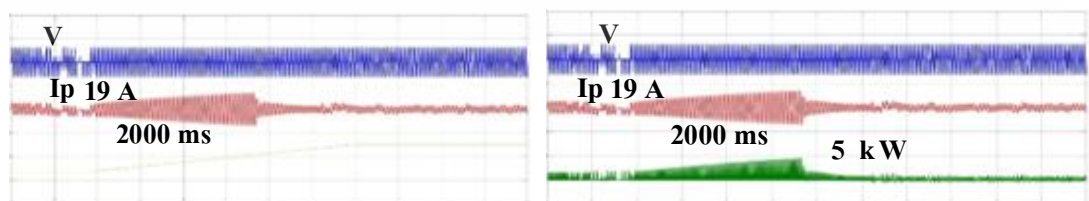
(ช) ค่าความชื้นตามเวลาที่ 2.0

(ซ) กำลังไฟฟ้าชั่วขณะที่คิดไว้ 15-90%

การจำลองแบบมีโหลดที่ค่าความชื้น 2.0 และที่ค่าตัวดี 15-90%

รูปที่ 5.39 การจำลองแบบมีโหลดที่ค่าความชื้น 0.5, 1.0, 1.5, 2.0 และที่ค่าตัวดี 15-90%

เป็นค่าพารามิเตอร์ที่วัดได้ชั่วขณะ (Instantaneous)

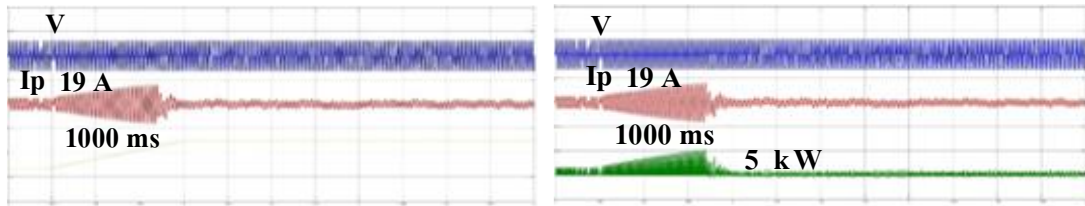


(ก) ค่าความชื้นตามเวลาที่ 0.5

(ข) กำลังไฟฟ้าชั่วขณะที่คิดไว้ 20-90%

การจำลองแบบมีโหลดที่ค่าความชื้น 0.5 และที่ค่าตัวดี 20-90%

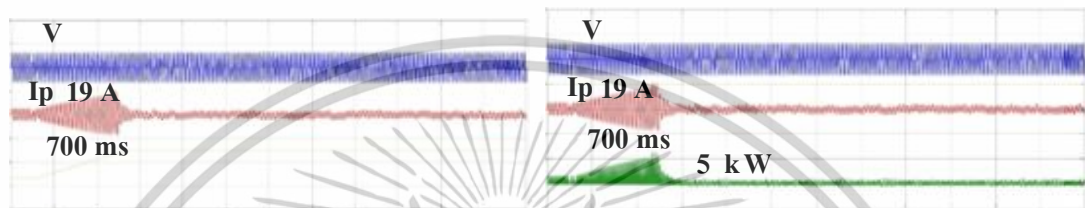
เอกสารนี้เป็นเอกสารที่สงวนไว้สำหรับการใช้งานเพื่อการศึกษาเท่านั้น ไม่อนุญาตให้นำไปใช้ประโยชน์ด้านการค้า ไม่ว่าจะกรณีใดๆทั้งสิ้น อีกทั้งห้ามมิให้ตัดแปลงเนื้อหา และต้องอ้างอิงถึงเจ้าของเอกสารทุกครั้งที่มีการนำไปใช้



(ค) ค่าความชื้นตามเวลาที่ 1.0

(ง) กำลังไฟฟ้าชั่วขณะที่ดีวีดี 20-90%

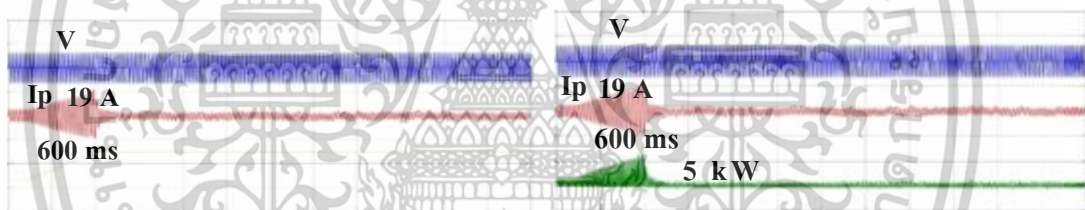
การจำลองแบบมีโหลดที่ค่าความชื้น 1.0 และที่ค่าดีวีดี 20-90%



(จ) ค่าความชื้นตามเวลาที่ 1.5

(ฉ) กำลังไฟฟ้าชั่วขณะที่ดีวีดี 20-90%

การจำลองแบบมีโหลดที่ค่าความชื้น 1.5 และที่ค่าดีวีดี 20-90%



(ช) ค่าความชื้นตามเวลาที่ 2.0

(ซ) กำลังไฟฟ้าชั่วขณะที่ดีวีดี 20-90%

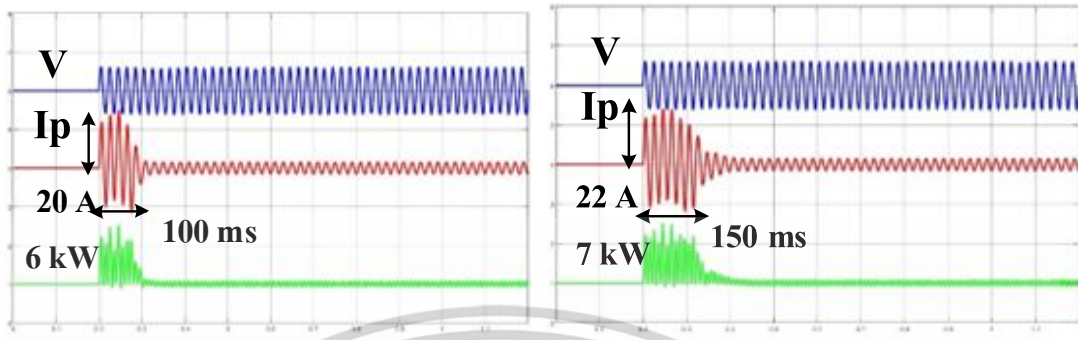
การจำลองแบบมีโหลดที่ค่าความชื้น 2.0 และที่ค่าดีวีดี 20-90%

รูปที่ 5.40 การจำลองแบบมีโหลดที่ค่าความชื้น 0.5, 1.0, 1.5, 2.0 และที่ค่าดีวีดี 20-90%

เป็นค่าพารามิเตอร์ที่วัดได้ชั่วขณะ (Instantaneous)

การจำลองสตาร์ทมอเตอร์แบบโดยตรง Direct On Line : DOL รูป (ก) เป็นการสตาร์ทมอเตอร์แบบโดยตรงที่ไม่มีโหลด และรูป (ข) เป็นการสตาร์ทมอเตอร์แบบโดยตรงที่ใส่โหลดเข้าไปที่ 1.3 Nm เพื่อดูความสัมพันธ์ของค่ากระแสขณะทำการเริ่มต้นการหมุนและค่าพลังงานเป็นค่าพารามิเตอร์ที่วัดได้ชั่วขณะ (Instantaneous) ที่ใส่เข้าไปเพื่อทำการเปรียบเทียบซึ่งจะพบว่า การหมุนโดยตรงแบบไม่มีโหลดกินพลังงานน้อยกว่าแบบมีโหลดเกือบครึ่งและช่วงระยะเวลาจะสั้นกว่าสรุปกล่าวคือการเริ่มต้นค่าความชื้นมากจะใช้เวลาน้อย กินกระแสมากและพลังงานมากในช่วงซึ่ง เป็นผลคูณของแรงดันและกระแสจะมีพลังงานสละน้อยคือมอเตอร์จะไม่ร้อนมาก แต่หากค่าเริ่มต้นมีเอกสารนี้เป็นเอกสารที่สงวนไว้สำหรับการใช้งานเพื่อการศึกษาเท่านั้น ไม่อนุญาตให้นำไปใช้ประโยชน์ด้านการค้าไม่ว่ากรณีใดๆทั้งสิ้น อีกทั้งห้ามมิให้ดัดแปลงเนื้อหา และต้องอ้างอิงถึงเจ้าของเอกสารทุกครั้งที่มีกรนำไปใช้

ค่าความชันน้อยจะใช้เวลามาก กินกระแสและพลังงานน้อยในช่วงซึ่งเป็นผลคูณของแรงดันและกระแสจะมีพลังงานสละน้อยคือมอเตอร์จะมีความร้อนนั่นเอง

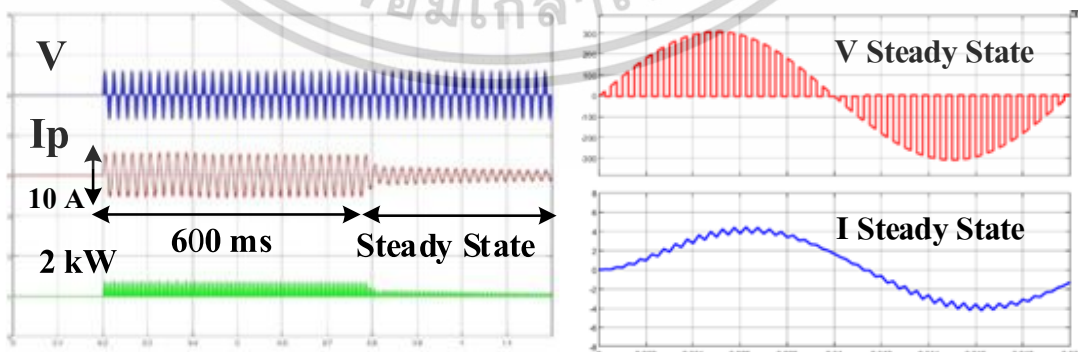


(ก) DOL แบบไม่มีโหนด

(ข) DOL แบบมีโหนด 1.3 Nm

รูปที่ 5.41 การจำลองเริ่มหมุนมอเตอร์แบบโดยตรง Direct On Line : DOL เป็นค่าพารามิเตอร์ที่วัดได้ชั่วขณะ (Instantaneous)

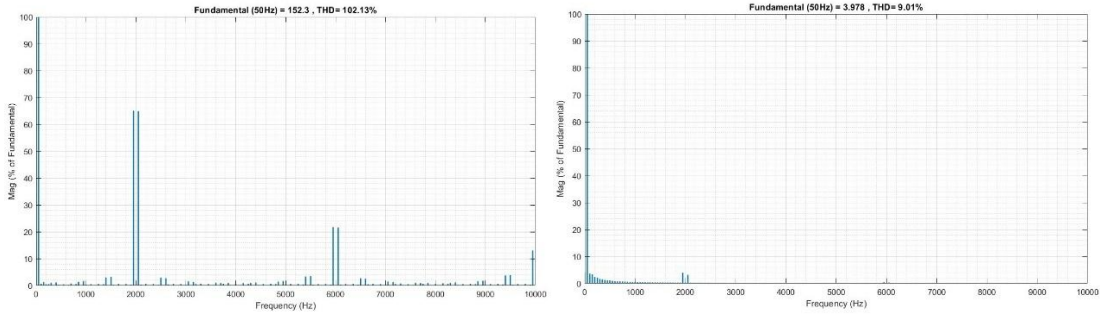
การจำลองสตาร์ทมอเตอร์แบบการเริ่มหมุนแบบนิ่มนวลให้กับมอเตอร์เหนี่ยวนำหนึ่งเฟสแบบคาปาซิเตอร์สตาร์ทด้วยโดยวิธีการพิตช์เบิ้ลยูเอ็ม เอซี ซ็อบเปอร์ แบบอะซิงโครนัส Asynchronous PWM AC Chopper Soft Starter : PWMSS โดยการควบคุมการป้อนกลับที่กระแสของมอเตอร์สำหรับการเริ่มหมุนแบบนิ่มนวลและการทำงานที่ค่าบิดที่ 50% และ 90% ที่โหนด 1.1 Nm ,1.3 Nm และ 1.8 Nm เพื่อดูความสัมพันธ์ของค่ากระแสค่าแรงดันขณะทำการเริ่มต้นการหมุนและค่าพลังงานเป็นค่าพารามิเตอร์ที่วัดได้ชั่วขณะ (Instantaneous) เพื่อดูสถานะการทำงานของการทดสอบเปรียบเทียบช่วงเข้าสู่การทำงานสภาวะคงที่ (Steady State) ของรูปคลื่นสัญญาณแรงดันและกระแส และค่าของ ฮาร์มอนิกของคลื่นสัญญาณแรงดันและกระแสที่ค่าบิดที่ 50% และ 90% ซึ่งจะได้กล่าวในลำดับต่อไป



(ก) PWMSS แบบมีโหนด 1.1 Nm ที่บิดที่ 50%

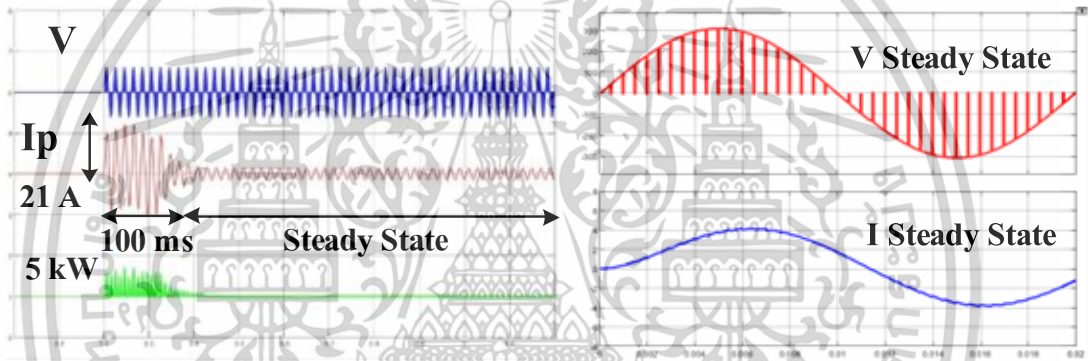
(ข) ช่วงแรงดันและกระแสคงที่

เอกสารนี้เป็นเอกสารที่สงวนไว้สำหรับการใช้งานเพื่อการศึกษาเท่านั้น ไม่อนุญาตให้นำไปใช้ประโยชน์ด้านการค้า ไม่ว่าจะกรณีใดๆทั้งสิ้น อีกทั้งห้ามมิให้ดัดแปลงเนื้อหา และต้องอ้างอิงถึงเจ้าของเอกสารทุกครั้งที่มีการนำไปใช้

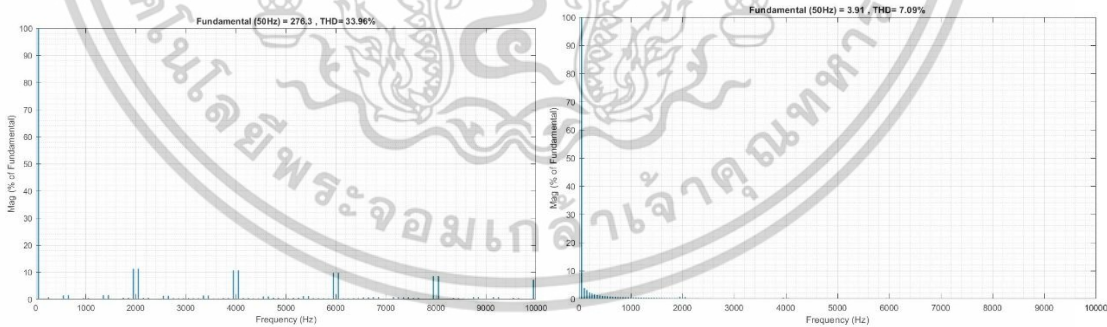


(ค) ฮาร์มอนิกของแรงดันที่ค่าดิวตี้ 50%      (ง) ฮาร์มอนิกของกระแสที่ค่าดิวตี้ 50%

รูปที่ 5.42 การจำลองเริ่มหมุนแบบนิ่มนวลของมอเตอร์แบบ PWM AC Chopper Soft Starter :  
PWMSS ที่ค่าดิวตี้ 50% ที่โหลด 1.1 Nm



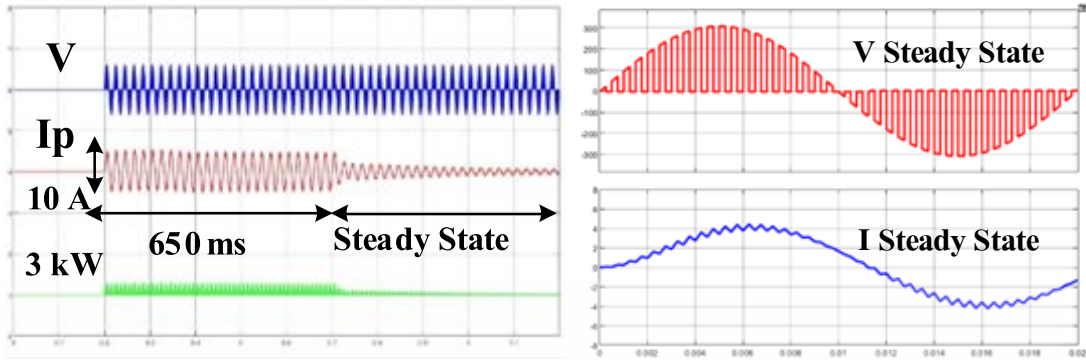
(ก) PWMSS แบบมีโหลด 1.1 Nm ที่ดิวตี้ 90%      (ข) ช่วงแรงดันและกระแสคงที่



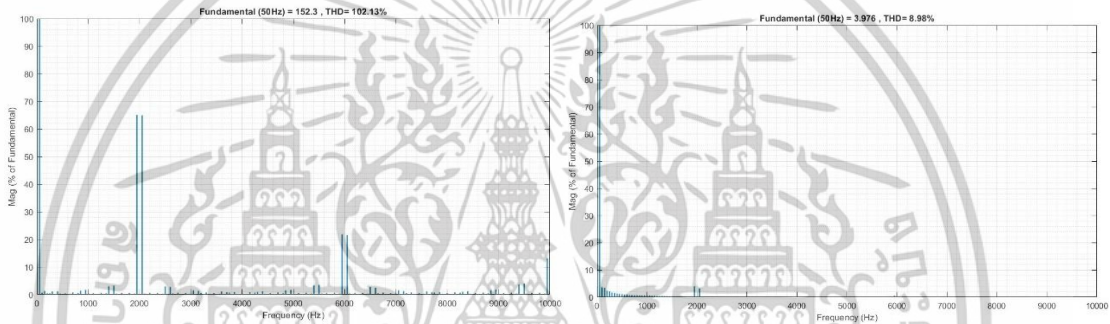
(ค) ฮาร์มอนิกของแรงดันที่ค่าดิวตี้ 90%      (ง) ฮาร์มอนิกของกระแสที่ค่าดิวตี้ 90%

รูปที่ 5.43 การจำลองเริ่มหมุนแบบนิ่มนวลของมอเตอร์แบบ PWM AC Chopper Soft Starter :  
PWMSS ที่ค่าดิวตี้ 90% ที่โหลด 1.1 Nm

เอกสารนี้เป็นเอกสารที่สงวนไว้สำหรับการใช้งานเพื่อการศึกษาเท่านั้น ไม่อนุญาตให้นำไปใช้ประโยชน์ด้านการค้า  
ไม่ว่ากรณีใดๆทั้งสิ้น อีกทั้งห้ามมิให้ดัดแปลงเนื้อหา และต้องอ้างอิงถึงเจ้าของเอกสารทุกครั้งที่มีการนำไปใช้

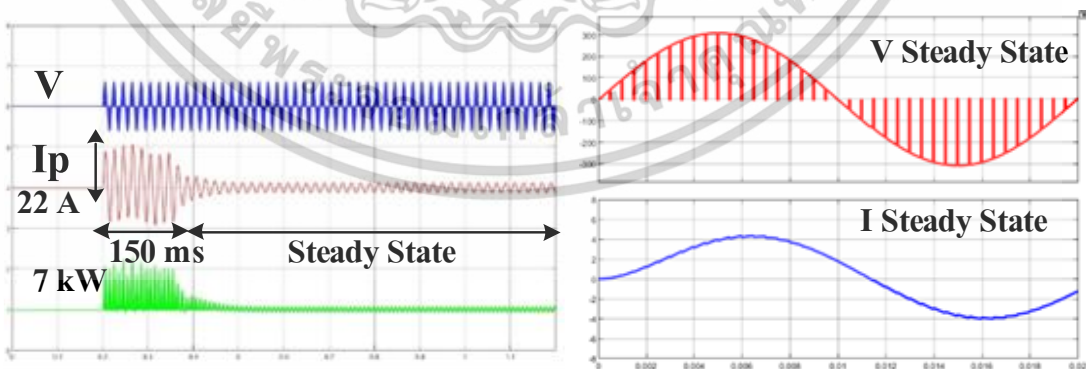


(ก) PWMSS แบบมีโหลด 1.3 Nm ที่คัตวดี 50% (ข) ช่วงแรงดันและกระแสคงที่



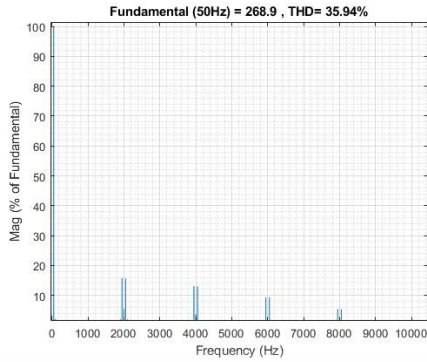
(ค) ฮาร์โมนิกของแรงดันที่คัตวดี 50% (ง) ฮาร์โมนิกของกระแสที่คัตวดี 50%

รูปที่ 5.44 การจำลองเริ่มหมุนแบบนิมนวลของมอเตอร์แบบ PWM AC Chopper Soft Starter :  
PWMSS ที่คัตวดี 50% ที่โหลด 1.3 Nm

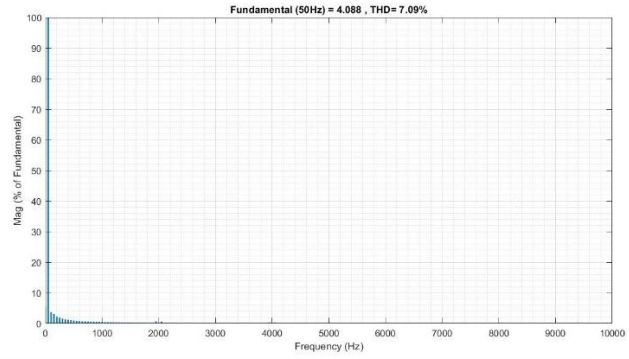


(ก) PWMSS แบบมีโหลด 1.3 Nm ที่คัตวดี 90% (ข) ช่วงแรงดันและกระแสคงที่

เอกสารนี้เป็นเอกสารที่สงวนไว้สำหรับการใช้งานเพื่อการศึกษาเท่านั้น ไม่อนุญาตให้นำไปใช้ประโยชน์ด้านการค้า  
ไม่ว่ากรณีใดๆทั้งสิ้น อีกทั้งห้ามมิให้ดัดแปลงเนื้อหา และต้องอ้างอิงถึงเจ้าของเอกสารทุกครั้งที่มีการนำไปใช้



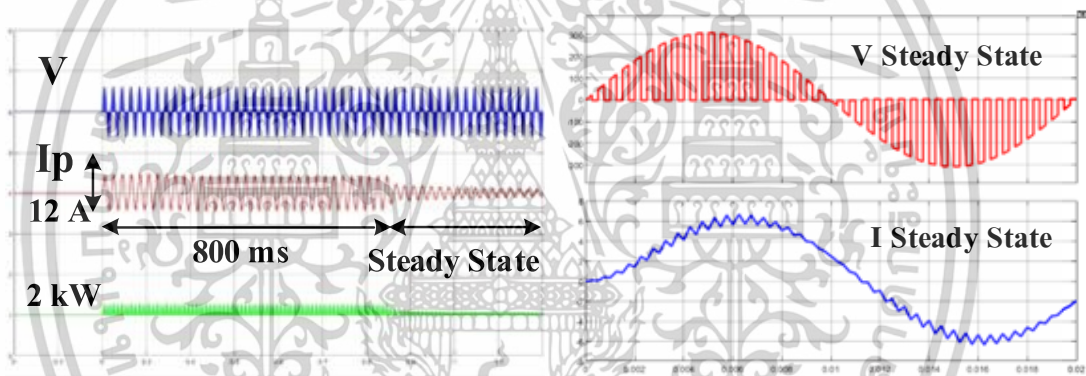
(ค) ฮาร์มอนิกของแรงดันที่ค่าดิวตี้ 90%



(ง) ฮาร์มอนิกของกระแสที่ค่าดิวตี้ 90%

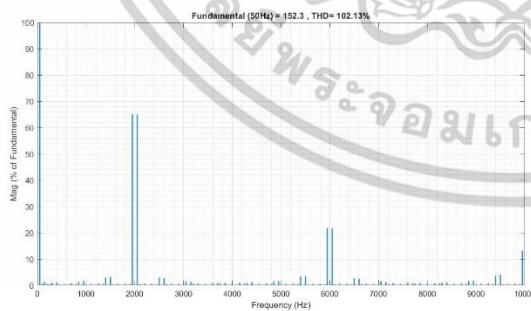
รูปที่ 5.45 การจำลองเริ่มหมุนแบบนิ่มนวลของมอเตอร์แบบ PWM AC Chopper Soft Starter :

PWMSS ที่ค่าดิวตี้ 90% ที่โหลด 1.3 Nm

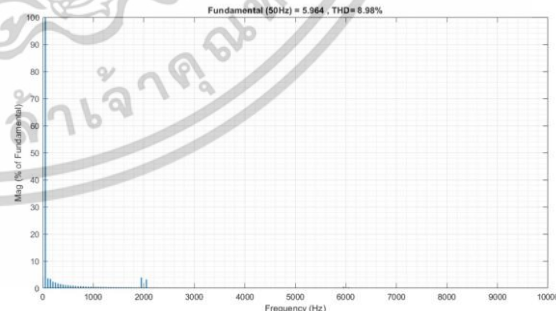


(ก) PWMSS แบบมีโหลด 1.8 Nm ที่ดิวตี้ 50%

(ข) ช่วงแรงดันและกระแสคงที่



(ค) ฮาร์มอนิกของแรงดันที่ค่าดิวตี้ 50%

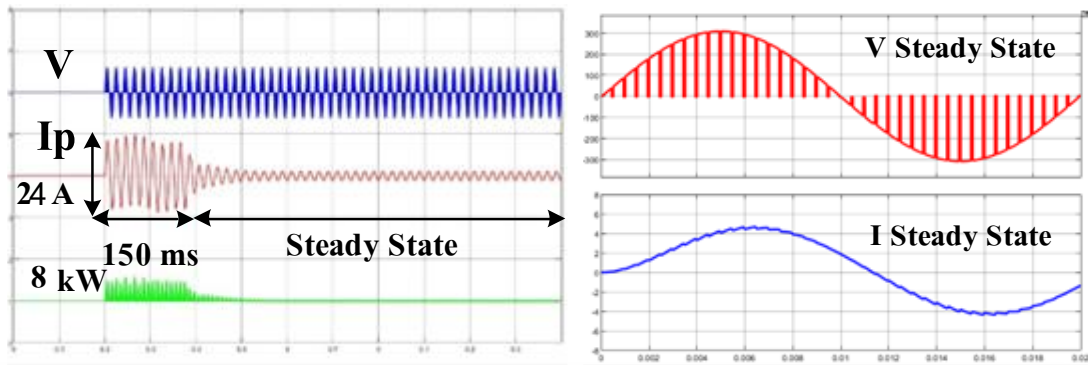


(ง) ฮาร์มอนิกของกระแสที่ค่าดิวตี้ 50%

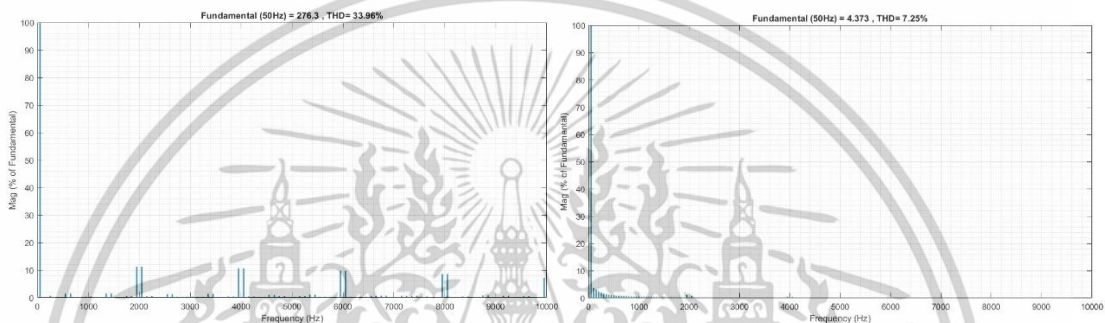
รูปที่ 5.46 การจำลองเริ่มหมุนแบบนิ่มนวลของมอเตอร์แบบ PWM AC Chopper Soft Starter :

PWMSS ที่ค่าดิวตี้ 50% ที่โหลด 1.8 Nm

เอกสารนี้เป็นเอกสารที่สงวนไว้สำหรับการใช้งานเพื่อการศึกษาเท่านั้น ไม่อนุญาตให้นำไปใช้ประโยชน์ด้านการค้า ไม่ว่าจะกรณีใดๆทั้งสิ้น อีกทั้งห้ามมิให้ดัดแปลงเนื้อหา และต้องอ้างอิงถึงเจ้าของเอกสารทุกครั้งที่มีการนำไปใช้



(ก) PWMSS แบบมีโหลด 1.8 Nm ที่คัตวดี 90%      (ข) ช่วงแรงดันและกระแสคงที่

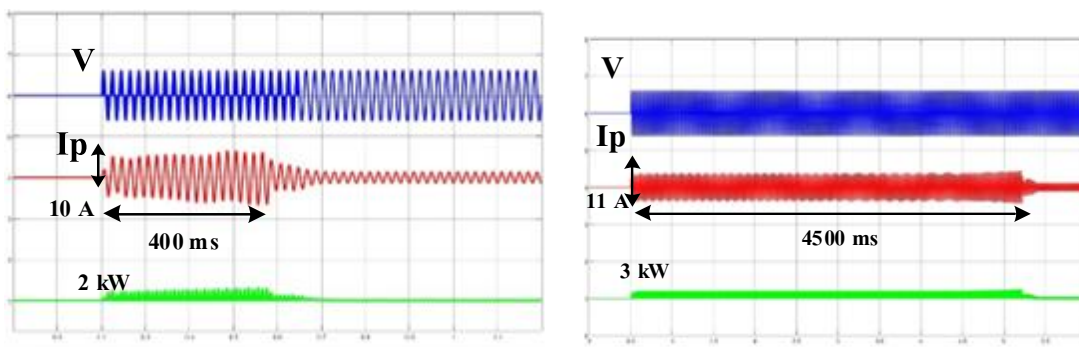


(ค) ฮาร์มอนิกของแรงดันที่คัตวดี 90%      (ง) ฮาร์มอนิกของกระแสที่คัตวดี 90%

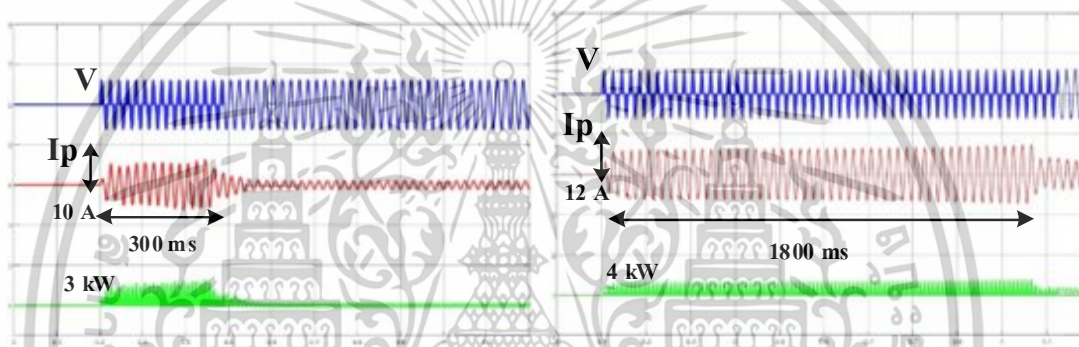
**รูปที่ 5.47** การจำลองเริ่มหมุนแบบนิ่มนวลของมอเตอร์แบบ PWM AC Chopper Soft Starter :  
PWMSS ที่คัตวดี 90% ที่โหลด 1.8 Nm

เป็นการจำลองสตาร์ทมอเตอร์แบบการเริ่มหมุนแบบนิ่มนวลให้กับมอเตอร์เหนี่ยวนำหนึ่งเฟสแบบคาปาซิเตอร์สตาร์ทด้วยวิธีการพิัดเบิ้ลยูเอ็ม เอซี ซ็อบเปอร์ แบบอะซิงโครนัส Asynchronous PWM AC Chopper Soft Starter : PWMSS โดยการควบคุมการป้อนกลับที่กระแสของมอเตอร์สำหรับการเริ่มหมุนแบบนิ่มนวลที่ค่าควบคุมกระแสพิักัด 200%, 250% ,300%, 350%, และ 400% โดยการเปรียบแบบไม่มีโหลดและแบบมีโหลดที่ 1.1 Nm เพื่อดูความสัมพันธ์ของค่าควบคุมกระแสพิักัดและระยะเวลาขณะทำการเริ่มต้นการหมุนและค่าพลังงานเป็นค่าพารามิเตอร์ที่วัดได้ชั่วขณะ (Instantaneous) ซึ่งจะได้กล่าวในลำดับต่อไป

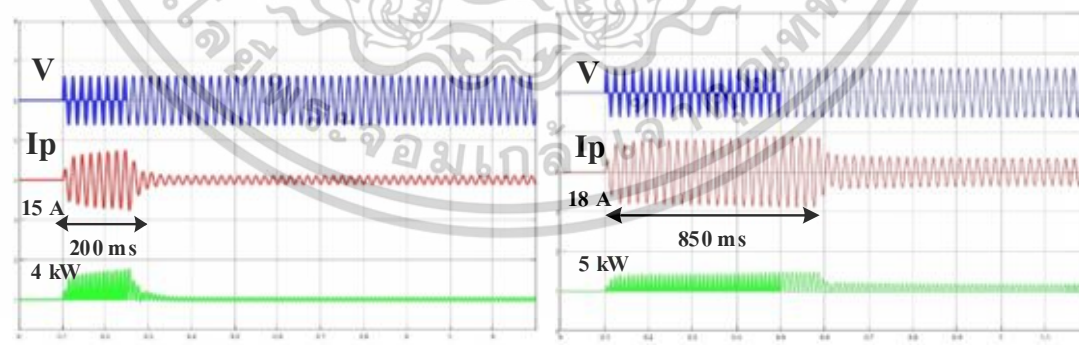
เอกสารนี้เป็นเอกสารที่สงวนไว้สำหรับการใช้งานเพื่อการศึกษาเท่านั้น ไม่อนุญาตให้นำไปใช้ประโยชน์ด้านการค้า ไม่ว่าจะกรณีใดๆทั้งสิ้น อีกทั้งห้ามมิให้ดัดแปลงเนื้อหา และต้องอ้างอิงถึงเจ้าของเอกสารทุกครั้งที่มีการนำไปใช้



(ก) PWMSS ควบคุมกระแสพิกัด 200% ไม่มีโหลด (ข) PWMSS ควบคุมกระแสพิกัด 200% มีโหลด  
รูปที่ 5.48 การจำลองเริ่มหมุนมอเตอร์แบบ PWM AC Chopper Soft Starter : PWMSS ที่ค่า  
ควบคุมกระแสพิกัด 200% แบบไม่มีโหลดและแบบมีโหลด 1.1 Nm

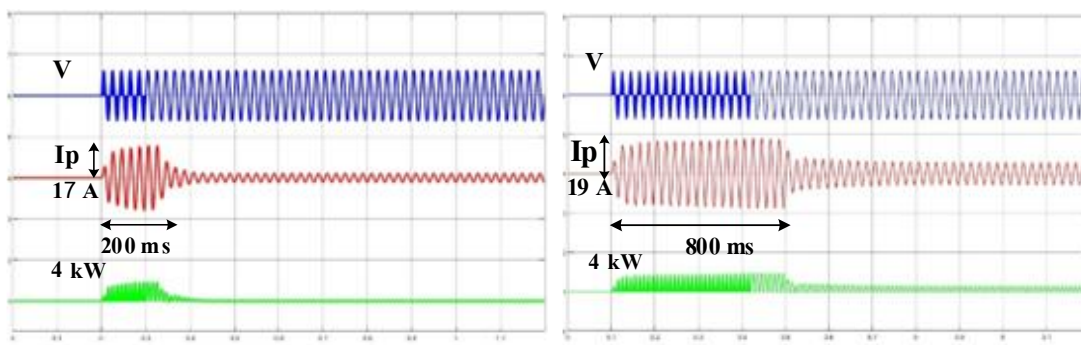


(ก) PWMSS ควบคุมกระแสพิกัด 250% ไม่มีโหลด (ข) PWMSS ควบคุมกระแสพิกัด 250% มีโหลด  
รูปที่ 5.49 การจำลองเริ่มหมุนมอเตอร์แบบ PWM AC Chopper Soft Starter : PWMSS ที่ค่า  
ควบคุมกระแสพิกัด 250% แบบไม่มีโหลดและแบบมีโหลด 1.1 Nm

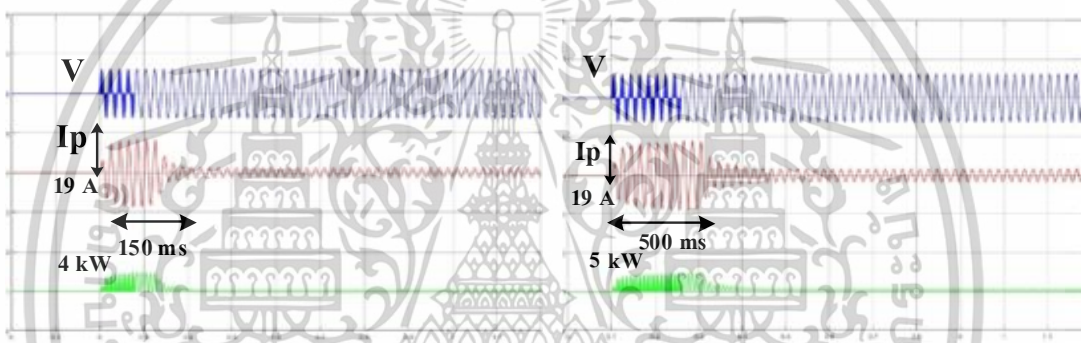


(ก) PWMSS ควบคุมกระแสพิกัด 300% ไม่มีโหลด (ข) PWMSS ควบคุมกระแสพิกัด 300% มีโหลด  
รูปที่ 5.50 การจำลองเริ่มหมุนมอเตอร์แบบ PWM AC Chopper Soft Starter : PWMSS ที่ค่า  
ควบคุมกระแสพิกัด 300% แบบไม่มีโหลดและแบบมีโหลด 1.1 Nm

เอกสารนี้เป็นเอกสารที่สงวนไว้สำหรับการใช้งานเพื่อการศึกษาเท่านั้น ไม่อนุญาตให้นำไปใช้ประโยชน์ด้านการค้า  
ไม่ว่ากรณีใดๆทั้งสิ้น อีกทั้งห้ามมิให้ดัดแปลงเนื้อหา และต้องอ้างอิงถึงเจ้าของเอกสารทุกครั้งที่มีการนำไปใช้



(ก) PWMSS ควบคุมกระแสพิกัด 350% ไม่มีโหลด (ข) PWMSS ควบคุมกระแสพิกัด 350% มีโหลด  
รูปที่ 5.51 การจำลองเริ่มหมุนมอเตอร์แบบ PWM AC Chopper Soft Starter : PWMSS ที่ค่า  
ควบคุมกระแสพิกัด 350% แบบไม่มีโหลดและแบบมีโหลด 1.1 Nm



(ก) PWMSS ควบคุมกระแสพิกัด 400% ไม่มีโหลด (ข) PWMSS ควบคุมกระแสพิกัด 400% มีโหลด  
รูปที่ 5.52 การจำลองเริ่มหมุนมอเตอร์แบบ PWM AC Chopper Soft Starter : PWMSS ที่ค่า  
ควบคุมกระแสพิกัด 400% แบบไม่มีโหลดและแบบมีโหลด 1.1 Nm

เอกสารนี้เป็นเอกสารที่สงวนไว้สำหรับการใช้งานเพื่อการศึกษาเท่านั้น ไม่อนุญาตให้นำไปใช้ประโยชน์ด้านการค้า  
ไม่ว่ากรณีใดๆทั้งสิ้น อีกทั้งห้ามมิให้ดัดแปลงเนื้อหา และต้องอ้างอิงถึงเจ้าของเอกสารทุกครั้งที่มีการนำไปใช้

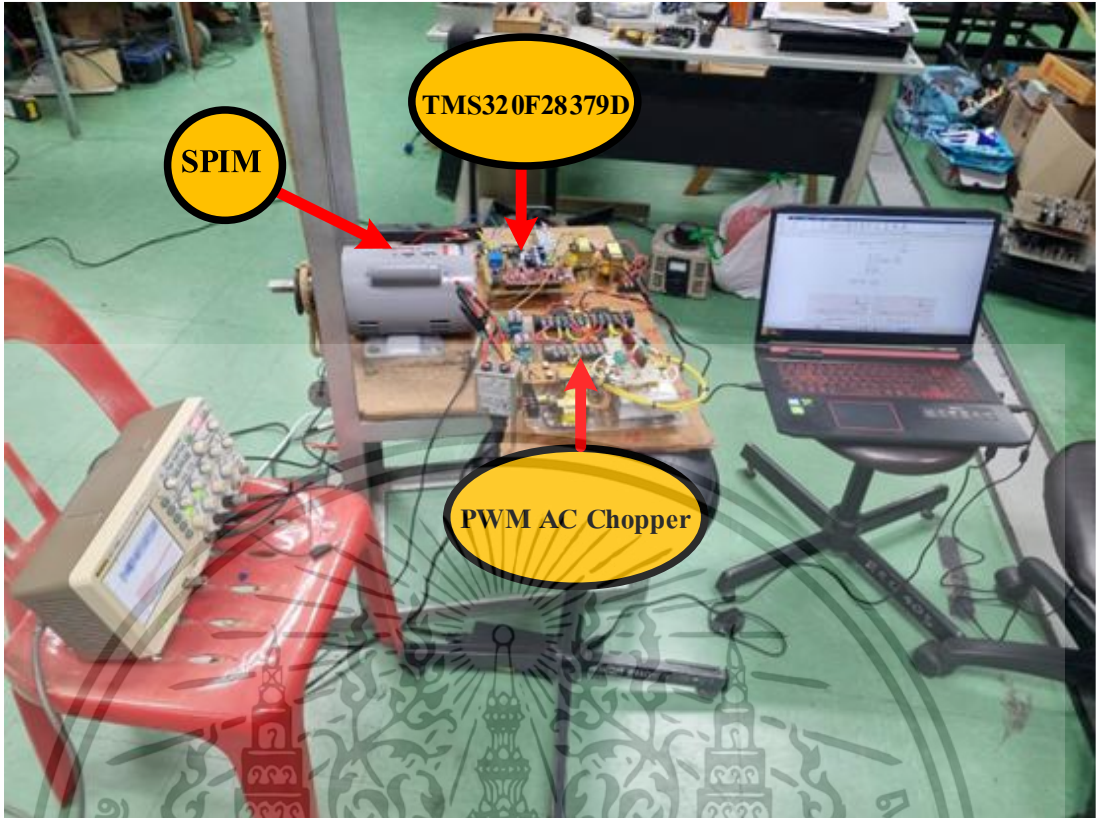
## บทที่ 6

# ผลการทดสอบระบบการควบคุมการเริ่มหมุนแบบนิ่มนวลให้กับมอเตอร์เหนี่ยวนำหนึ่งเฟสด้วยการควบคุมกระแสเริ่มต้นโดยใช้เทคนิคอะซิงโครนัส พีดับเบิลยูเอ็ม เอช ซ็อบเปอร์

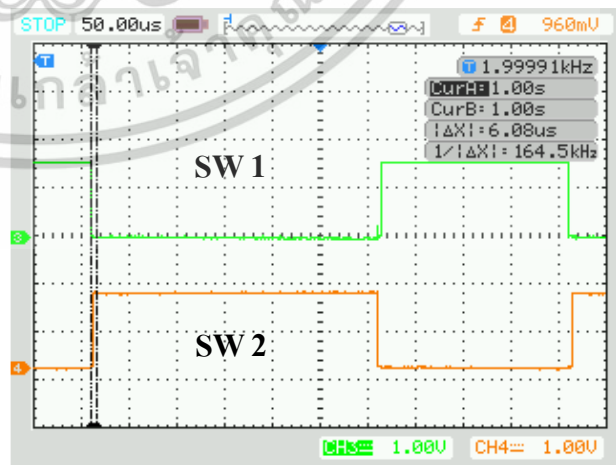
### 6.1 บทนำการทดสอบระบบการควบคุมการเริ่มหมุนแบบนิ่มนวลให้กับมอเตอร์เหนี่ยวนำหนึ่งเฟส

สำหรับในบทนี้จะกล่าวถึงการทดสอบระบบการควบคุมการเริ่มหมุนแบบนิ่มนวลให้กับมอเตอร์เหนี่ยวนำหนึ่งเฟสด้วยการควบคุมกระแสเริ่มต้นโดยใช้เทคนิคอะซิงโครนัส พีดับเบิลยูเอ็ม เอช ซ็อบเปอร์ (Soft Start Control for a Single-Phase Induction Motor With Starting Current Control Using an Asynchronous PWM AC Chopper Technique) ด้วยวิธีการ PWM AC Chopper Soft Starter : PWMSS ที่นำเสนอ ได้แก่ การกำหนดสัญญาณควบคุมโดยการเขียนวงจรควบคุมในโปรแกรม MATLAB/Simulink Version R2024a แล้วทำการกำเนิดโค้ดภาษาซี (C) หลังจากนั้นจึงใช้โปรแกรม (Code Composer Studio :CCS) Version 12.4.0 ในการคอมไพล์โค้ดภาษาซี (C) ลงในบอร์ดไมโครคอนโทรลเลอร์ C2000 Microcontroller เบอร์ TMS320F28379D เพื่อส่งสัญญาณควบคุมออกสู่วงจรภายนอกผ่านวงจรออปโตคัปเปิลอร์ (Opto-Coupler) ซึ่งเป็นวงจรควบคุมและแยกกราวด์วงจรกำลังได้สวิตช์ตัวที่ 1 และสวิตช์ตัวที่ 2 ขอบขาขึ้นและขาลงสร้างชุดสัญญาณอินพุตกับชุดขับเกตของไอจีบีที IGBT ออกจากกันโดยเด็ดขาดเพื่อป้องกันสัญญาณรบกวนที่เกิดจากเอาต์พุตเพราะภาควงจรกำลังซึ่งมีแรงดันและกระแสที่สูงมาก อีกทั้งป้องกันการรบกวนและความเสียหายอันเนื่องมาจากการลัดวงจรหรือการทำงานที่ผิดปกติของวงจรกำลัง และสัญญาณที่ได้จากภาคเอาต์พุตจะเป็นสัญญาณที่กลับเฟสอินพุตและช่วง Dead Time หรือวงจรประวิงเวลาของการทำงานสวิตช์ตัวที่ 1 และสวิตช์ตัวที่ 2 ที่ได้จากการต่อวงจรจริงเทียบโดยสัญญาณช่วงที่หนึ่งลงก็จะเป็นจังหวะเดียวกับช่วงที่สองขึ้นเราจึงทำการหน่วงเวลาในช่วงขาลงและขาขึ้นทั้งสองสัญญาณที่  $6 \mu\text{s}$  สำหรับในการทดสอบที่ตั้งค่าไว้ที่จะแสดงรูปคลื่นของสองสัญญาณที่ออกมาสองสัญญาณนั้นจะมีค่าของการ ON, OFF ต่างกัน ผลจากการทดสอบสามารถยืนยันความถูกต้องได้เนื่องจากมีความสอดคล้องกับผลที่ได้จากการจำลองได้ในบทที่ 5 โดยจะแสดงผลการทดสอบตามรายละเอียดและรูปจากการทดสอบดังต่อไปนี้

เอกสารนี้เป็นเอกสารที่สงวนไว้สำหรับการใช้งานเพื่อการศึกษาเท่านั้น ไม่อนุญาตให้นำไปใช้ประโยชน์ด้านการค้า ไม่ว่าจะกรณีใดๆทั้งสิ้น อีกทั้งห้ามมิให้ดัดแปลงเนื้อหา และต้องอ้างอิงถึงเจ้าของเอกสารทุกครั้งที่มีการนำไปใช้



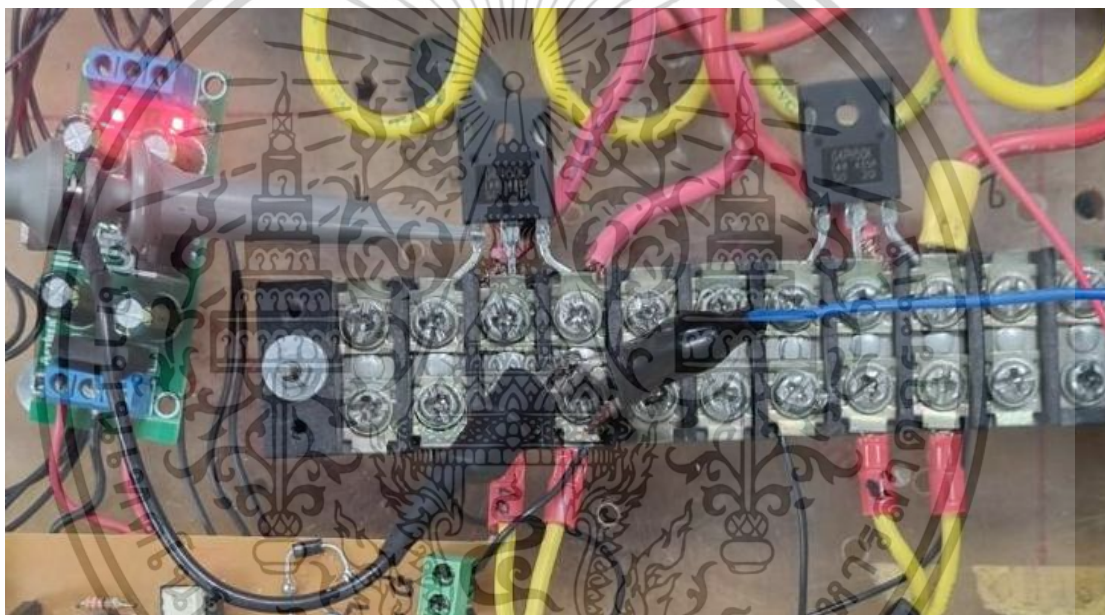
รูปที่ 6.1 โครงสร้างพื้นฐานของระบบที่ใช้ในการทดสอบการควบคุมการเริ่มหมุนแบบนิ่มนวล



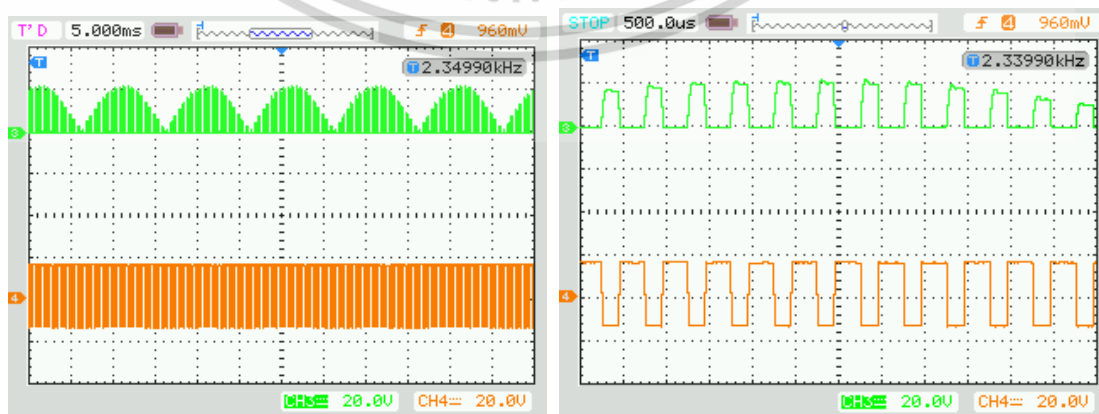
(ก) วัดขาสัญญาณ TLP 250 ทั้ง 2 ตัว (ข) เปรียบเทียบ 2 สัญญาณเพื่อดูค่าประวิงเวลา

รูปที่ 6.2 รูปคลื่นของวงจรประวิงเวลาที่ได้จากการทดสอบ เอกสารนี้เป็นเอกสารที่สงวนไว้สำหรับใช้งานเฉพาะในเพื่อการศึกษาเท่านั้น ไม่นำไปใช้ประโยชน์ด้านการค้า ไม่ว่าจะกรณีใดๆทั้งสิ้น อีกทั้งห้ามมิให้ดัดแปลงเนื้อหา และต้องอ้างอิงถึงเจ้าของเอกสารทุกครั้งที่มีการนำไปใช้

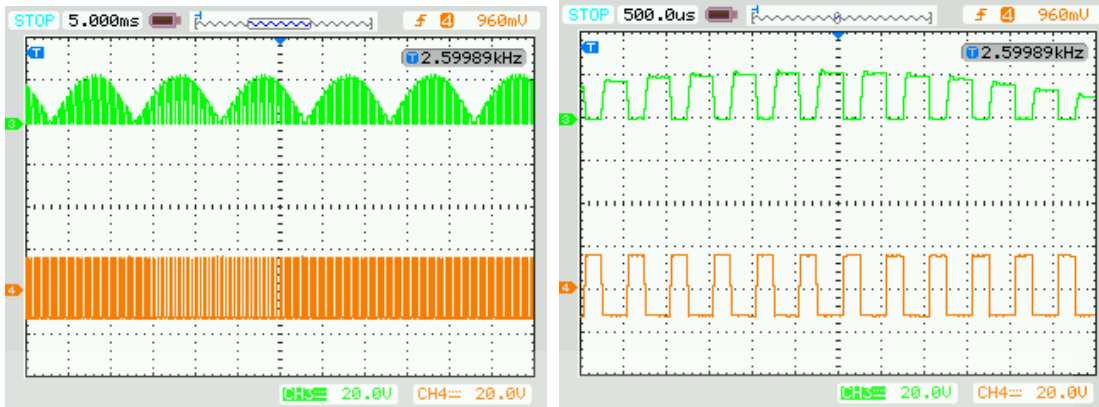
จากรูป 6.2 (ก) เป็นการใช้สายโพรบ CH3 จับสัญญาณเข้าตัวที่ 1 ก่อนเข้าวงจรออปโตคัปเปิลเลอร์ TLP250 และสายโพรบ CH4 จับสัญญาณเข้าตัวที่ 2 ก่อนเข้าวงจรออปโตคัปเปิลเลอร์ TLP250 ของ ออสซิลโลสโคป (ข) เป็นรูปคลื่นของวงจรถ่วงเวลาที่ได้จากการทดสอบที่สัญญาณแสดงออกจาก หน้าจอของออสซิลโลสโคป โดยการจับทำการจับคู่สัญญาณที่สร้างขึ้นของทั้งสองสัญญาณคือ สัญญาณตัวที่ 1 และสัญญาณตัวที่ 2 ก่อนป้อนสัญญาณเข้าวงจรขับเคลื่อนไอจีบีทีเป็นการทำงานตรงกัน ข้ามกันทั้งสองสัญญาณโดยการตั้งค่าของวงจรถ่วงเวลาที่ได้จากการทดสอบที่ค่า  $6 \mu\text{s}$  จากการ ทดสอบเดิมใช้ที่ค่าไว้ที่  $3 \mu\text{s}$  ส่งผลให้วงจรเกิดความร้อนบ่อยครั้งจึงปรึกษาอาจารย์เปลี่ยนช่วงค่า Dead Time ใหม่ โดยใช้สัญญาณความถี่สวิตช์สูงที่ใช้คือ  $2 \text{ kHz}$  สำหรับเป็นตัวสวิตช์สองสัญญาณ ออกมาเพื่อที่จะนำไปเข้าวงจรขับในลำดับต่อไป



รูปที่ 6.3 การจับขาสัญญาณของสวิตช์ IGBT ตัวที่ 1 และสวิตช์ IGBT ตัวที่ 2 ตัว

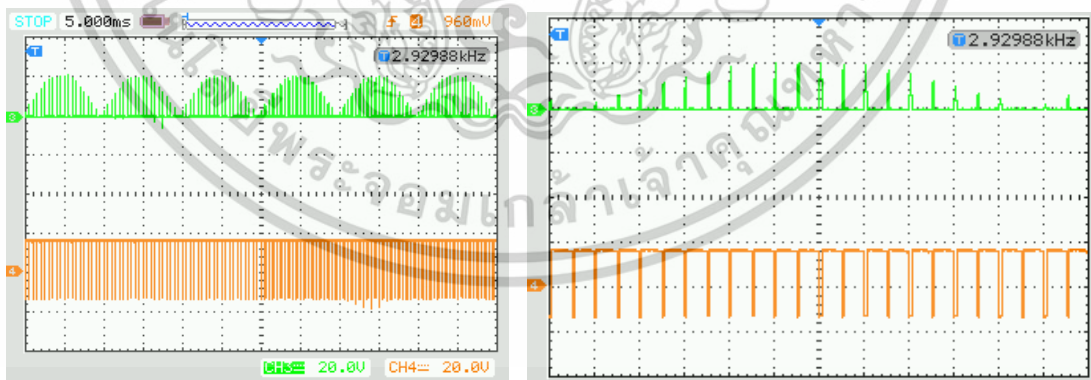


(ก) สัญญาณสวิตช์ IGBT ตัวที่ 1 ที่ดิวตี 60% (ข) ขยายสัญญาณสวิตช์ IGBT ตัวที่ 1 ที่ดิวตี 60% เอกสารนี้เป็นเอกสารที่สงวนไว้สำหรับการใช้งานเพื่อการศึกษาเท่านั้น เมื่ออนุญาตเห็นไปใช้ประโยชน์ด้านการค้า ไม่ว่าจะกรณีใดๆทั้งสิ้น อีกทั้งห้ามมิให้ดัดแปลงเนื้อหา และต้องอ้างอิงถึงเจ้าของเอกสารทุกครั้งที่มีการนำไปใช้



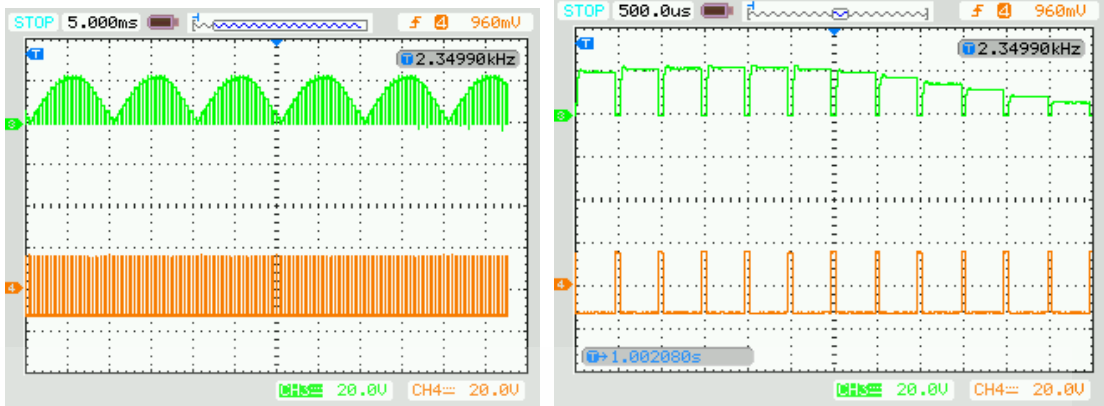
(ค) สัญญาณสวิตช์ IGBT ตัวที่ 2 ที่คัตวดี 60% (ง) ขยายสัญญาณสวิตช์ IGBT ตัวที่ 2 ที่คัตวดี 60% รูปที่ 6.4 รูปคลื่นสัญญาณของสวิตช์ IGBT ตัวที่ 1 และสวิตช์ IGBT ตัวที่ 2 ตัว ที่คัตวดี 60%

จากรูป 6.3 เป็นการทดสอบวัดจับขาสัญญาณของออสซิลโลสโคปสายโพรบ CH3 จับขา IGBT ที่ขา Source และสายโพรบ CH4 จับขา IGBT ที่ขา Gate โดยรูป 6.4 เป็นรูปคลื่นสัญญาณของสวิตช์ IGBT ตัวที่ 1 และสวิตช์ IGBT ตัวที่ 2 ตัว ที่คัตวดี 60% จะเห็นได้ว่ารูป (ก) และ (ข) เป็นรูปคลื่นสัญญาณของสวิตช์ IGBT ตัวที่ 1 ที่คัตวดี 60% โดยรูป (ข) เป็นการซูมเข้าไปดูเนื้อพัลส์กว้างการทำงานของสัญญาณที่ทำงานสลับกันสายโพรบ CH4 จับขา IGBT ที่ขา Gate และสายโพรบ CH3 จับที่ขา Source ส่วนรูป (ค) และ (ง) รูปคลื่นสัญญาณสวิตช์ IGBT ตัวที่ 2 ที่คัตวดี 60% โดยรูป (ง) เป็นการซูมเข้าไปดูเนื้อพัลส์กว้างการทำงานของสัญญาณที่ทำงานสลับกันสายโพรบ CH4 จับขา IGBT ที่ขา Gate และสายโพรบ CH3 จับที่ขา Source



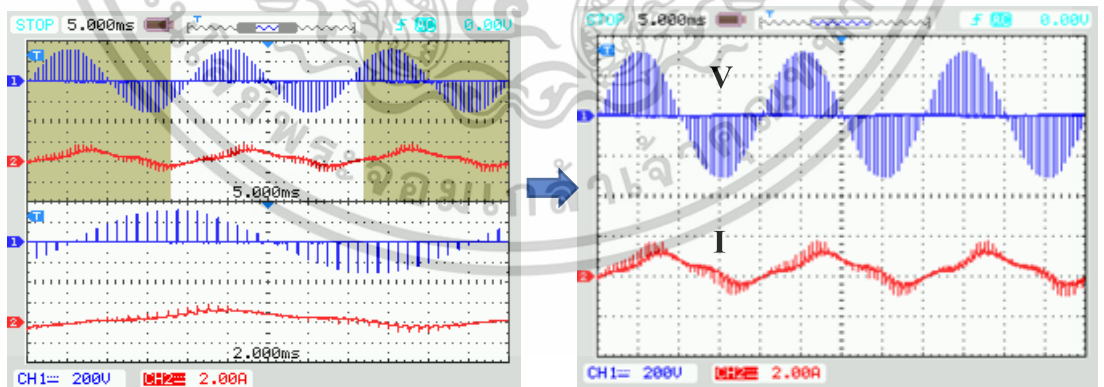
(ก) สัญญาณสวิตช์ IGBT ตัวที่ 1 ที่คัตวดี 60% (ข) ขยายสัญญาณสวิตช์ IGBT ตัวที่ 1 ที่คัตวดี 60%

เอกสารนี้เป็นเอกสารที่สงวนไว้สำหรับการใช้งานเพื่อการศึกษาเท่านั้น ไม่อนุญาตให้นำไปใช้ประโยชน์ด้านการค้า ไม่ว่าจะกรณีใดๆทั้งสิ้น อีกทั้งห้ามมิให้ตัดแปลงเนื้อหา และต้องอ้างอิงถึงเจ้าของเอกสารทุกครั้งที่มีการนำไปใช้



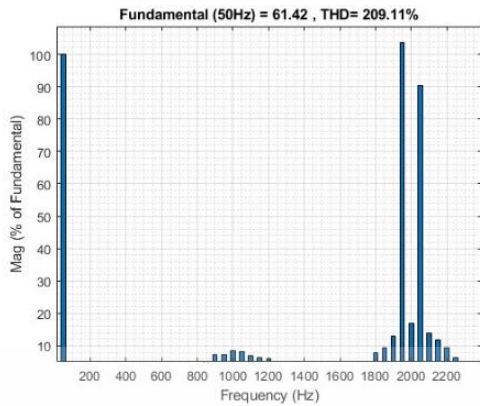
(ค) สัญญาณสวิตช์ IGBT ตัวที่ 2 ที่คัตวดี 90% (ง) ขยายสัญญาณสวิตช์ IGBT ตัวที่ 2 ที่คัตวดี 90% รูปที่ 6.5 รูปคลื่นสัญญาณของสวิตช์ IGBT ตัวที่ 1 และสวิตช์ IGBT ตัวที่ 2 ตัว ที่คัตวดี 90%

จากรูป 6.3 เป็นการทดสอบวัดจับขาสัญญาณของออสซิลโลสโคปสายโพรบ CH3 จับขา IGBT ที่ขา Source และสายโพรบ CH4 จับขา IGBT ที่ขา Gate โดยรูป 6.5 เป็นรูปคลื่นสัญญาณของสวิตช์ IGBT ตัวที่ 1 และสวิตช์ IGBT ตัวที่ 2 ตัว ที่คัตวดี 90% จะเห็นได้ว่ารูป (ก) และ (ข) เป็นรูปคลื่นสัญญาณของสวิตช์ IGBT ตัวที่ 1 ที่คัตวดี 90% โดยรูป (ข) เป็นการซูมเข้าไปดูเนื้อพัลส์แคบการทำงานของสัญญาณที่ทำงานสลับกันสายโพรบ CH4 จับขา IGBT ที่ขา Gate และสายโพรบ CH3 จับที่ขา Source ส่วนรูป (ค) และ (ง) รูปคลื่นสัญญาณสวิตช์ IGBT ตัวที่ 2 ที่คัตวดี 90% โดยรูป (ง) เป็นการซูมเข้าไปดูเนื้อพัลส์แคบการทำงานของสัญญาณที่ทำงานสลับกันสายโพรบ CH4 จับขา IGBT ที่ขา Gate และสายโพรบ CH3 จับที่ขา Source

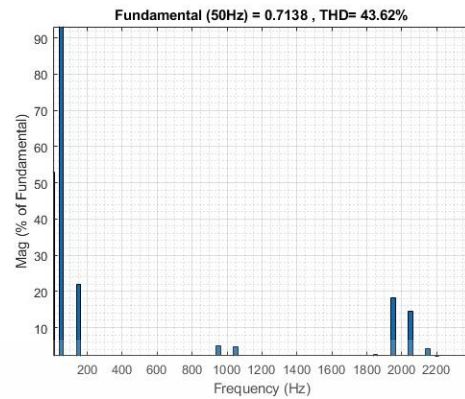


(ก) สัญญาณคลื่นแรงดันและกระแสคัตวดี 10% (ข) ขยายสัญญาณคลื่นแรงดันและกระแสคัตวดี 10%

เอกสารนี้เป็นเอกสารที่สงวนไว้สำหรับการใช้งานเพื่อการศึกษาเท่านั้น ไม่อนุญาตให้นำไปใช้ประโยชน์ด้านการค้า ไม่ว่าจะกรณีใดๆทั้งสิ้น อีกทั้งห้ามมิให้ดัดแปลงเนื้อหา และต้องอ้างอิงถึงเจ้าของเอกสารทุกครั้งที่มีการนำไปใช้

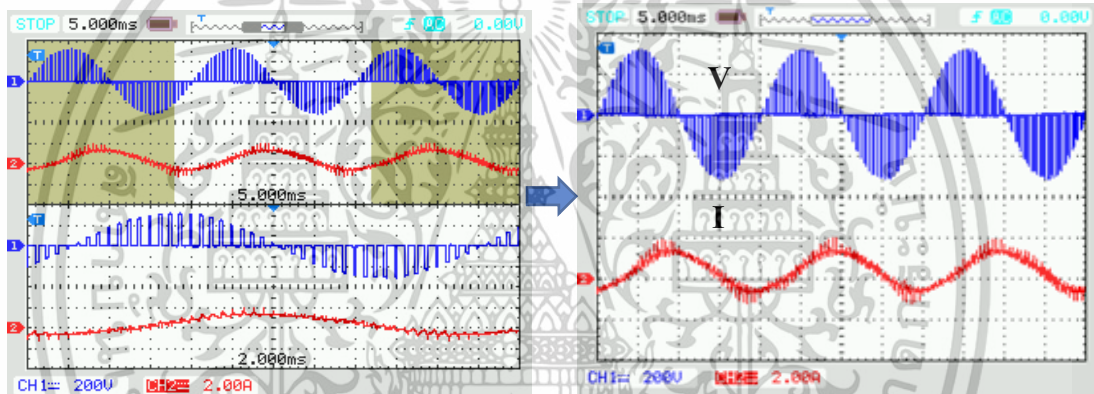


(ค) ฮาร์มอนิกของแรงดันที่ค่าดีวีดี 10%

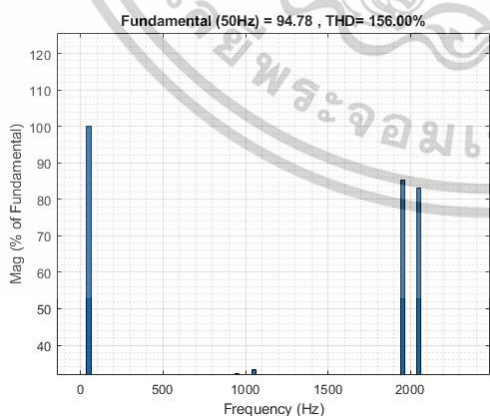


(ง) ฮาร์มอนิกของกระแสที่ค่าดีวีดี 10%

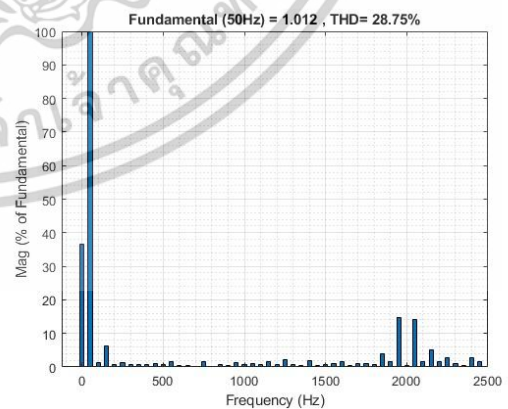
รูปที่ 6.6 รูปคลื่นสัญญาณและฮาร์มอนิกของแรงดันและกระแสที่ค่าดีวีดี 10%



(ก) สัญญาณคลื่นแรงดันและกระแสดีวีดี 30% (ข) ขยายสัญญาณคลื่นแรงดันและกระแสดีวีดี 30%



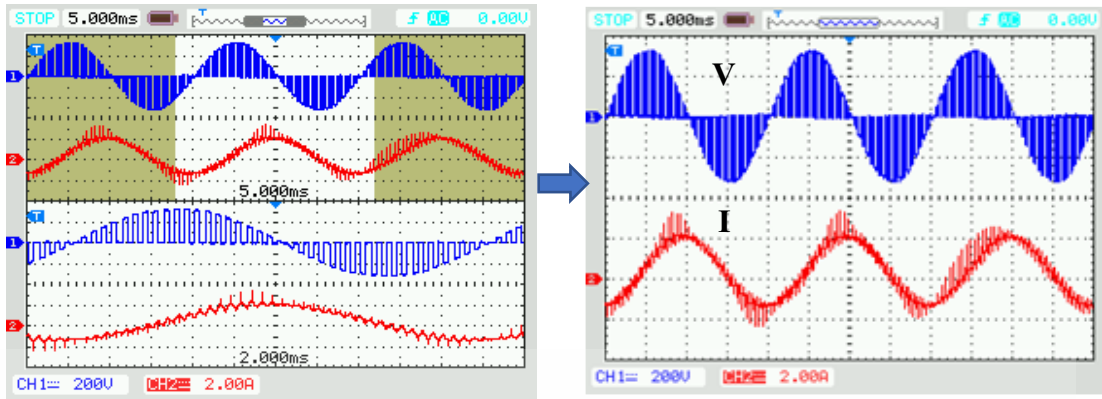
(ค) ฮาร์มอนิกของแรงดันที่ค่าดีวีดี 30%



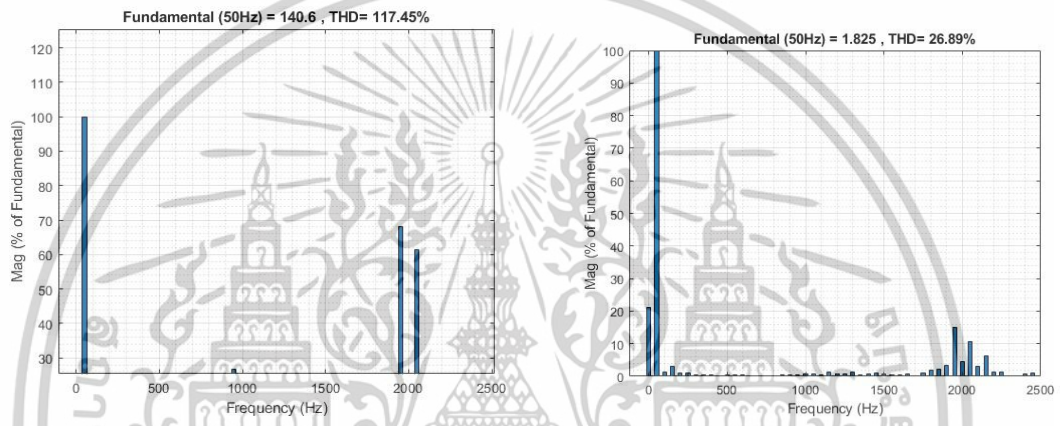
(ง) ฮาร์มอนิกของกระแสที่ค่าดีวีดี 30%

รูปที่ 6.7 รูปคลื่นสัญญาณและฮาร์มอนิกของแรงดันและกระแสที่ค่าดีวีดี 30%

เอกสารนี้เป็นเอกสารที่สงวนไว้สำหรับการใช้งานเพื่อการศึกษาเท่านั้น ไม่อนุญาตให้นำไปใช้ประโยชน์ด้านการค้า ไม่ว่าจะกรณีใดๆทั้งสิ้น อีกทั้งห้ามมิให้ดัดแปลงเนื้อหา และต้องอ้างอิงถึงเจ้าของเอกสารทุกครั้งที่มีการนำไปใช้

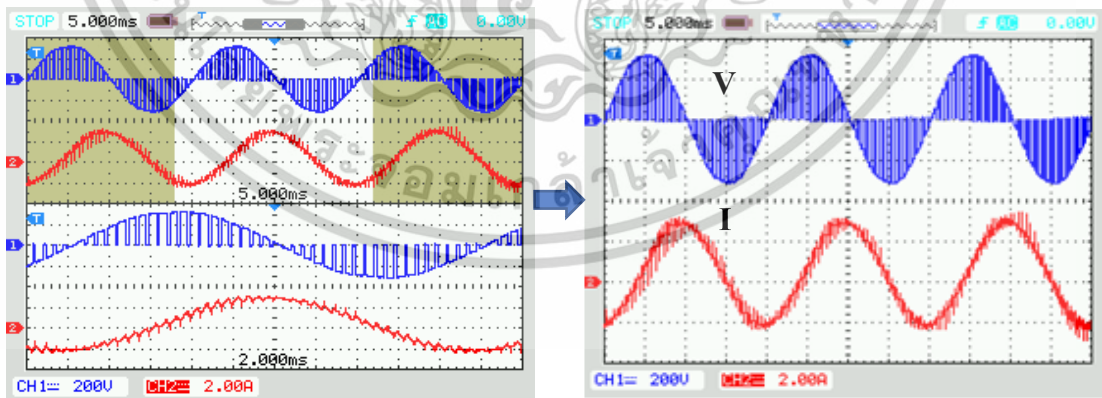


(ก) สัญญาณคลื่นแรงดันและกระแสที่ 50% (ข) ขยายสัญญาณคลื่นแรงดันและกระแสที่ 50%



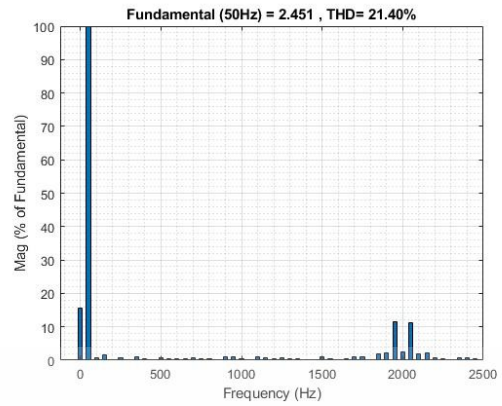
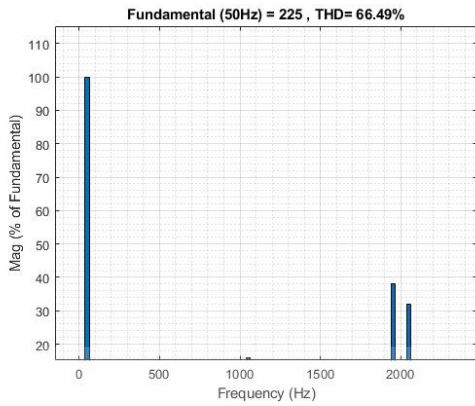
(ค) ฮาร์มอนิกของแรงดันที่ค่าดีวตี 50% (ง) ฮาร์มอนิกของกระแสที่ค่าดีวตี 50%

รูปที่ 6.8 รูปคลื่นสัญญาณและฮาร์มอนิกของแรงดันและกระแสที่ค่าดีวตี 50%

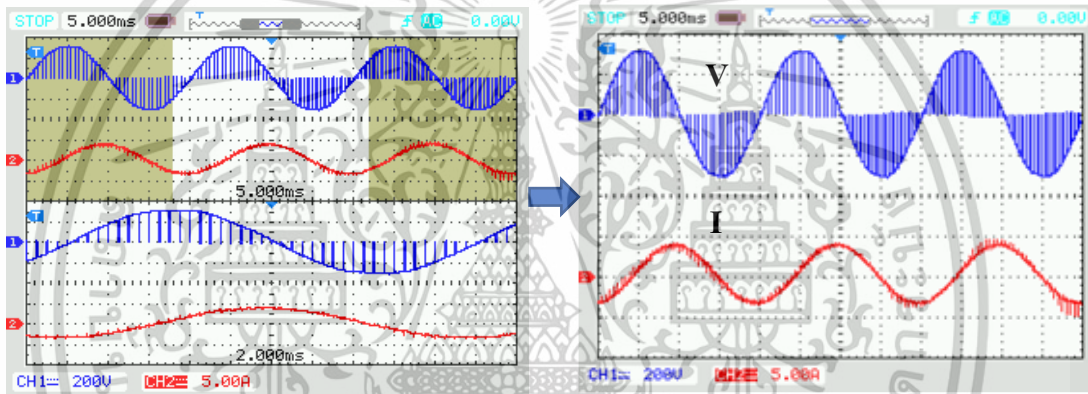


(ก) สัญญาณคลื่นแรงดันและกระแสที่ 70% (ข) ขยายสัญญาณคลื่นแรงดันและกระแสที่ 70%

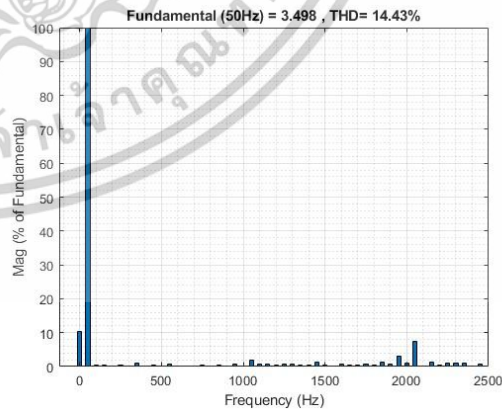
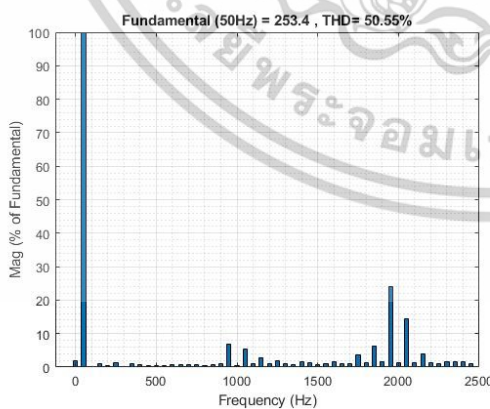
เอกสารนี้เป็นเอกสารที่สงวนไว้สำหรับการใช้งานเพื่อการศึกษาเท่านั้น ไม่อนุญาตให้นำไปใช้ประโยชน์ด้านการค้า ไม่ว่าจะกรณีใดๆทั้งสิ้น อีกทั้งห้ามมิให้ดัดแปลงเนื้อหา และต้องอ้างอิงถึงเจ้าของเอกสารทุกครั้งที่มีการนำไปใช้



(ค) ฮาร์มอนิกของแรงดันที่ค่าตัวที่ 70% (ง) ฮาร์มอนิกของกระแสที่ค่าตัวที่ 70%  
รูปที่ 6.9 รูปคลื่นสัญญาณและฮาร์มอนิกของแรงดันและกระแสที่ค่าตัวที่ 70%

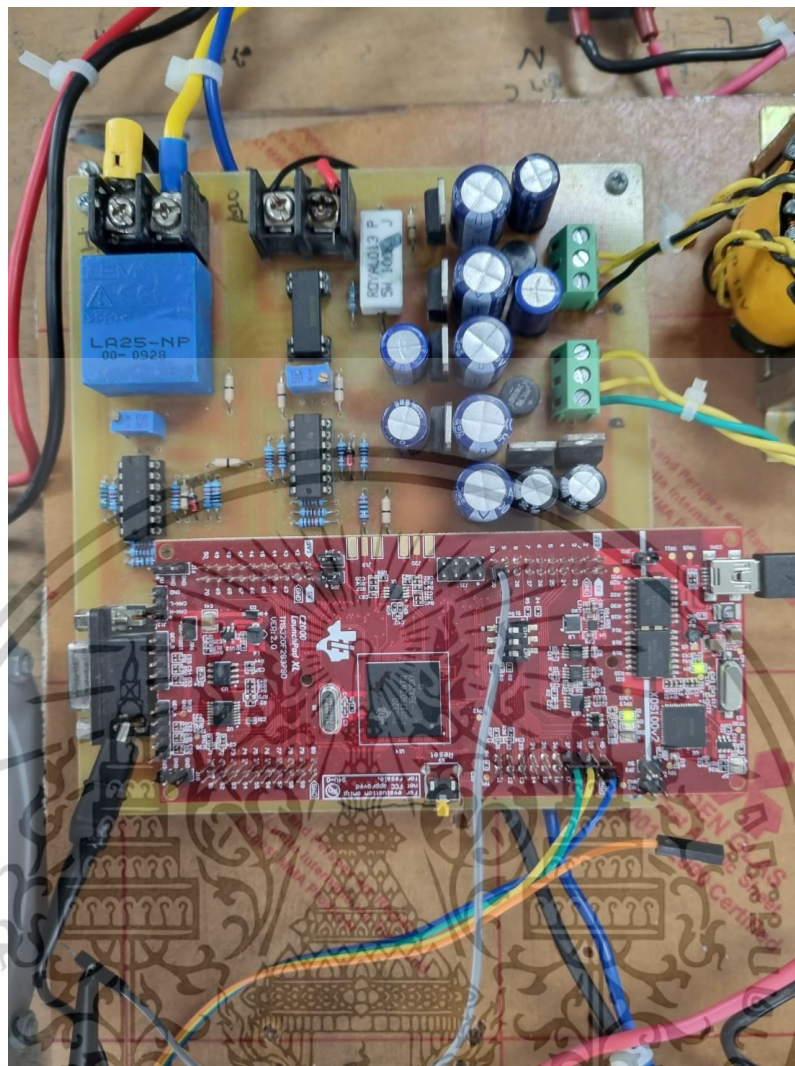


(ก) สัญญาณคลื่นแรงดันและกระแสตัวที่ 90% (ข) ขยายสัญญาณคลื่นแรงดันและกระแสตัวที่ 90%



(ค) ฮาร์มอนิกของแรงดันที่ค่าตัวที่ 90% (ง) ฮาร์มอนิกของกระแสที่ค่าตัวที่ 90%  
รูปที่ 6.10 รูปคลื่นสัญญาณและฮาร์มอนิกของแรงดันและกระแสที่ค่าตัวที่ 90%

เอกสารนี้เป็นเอกสารที่สงวนไว้สำหรับการใช้งานเพื่อการศึกษาเท่านั้น ไม่อนุญาตให้นำไปใช้ประโยชน์ด้านการค้า ไม่ว่าจะกรณีใดๆทั้งสิ้น อีกทั้งห้ามมิให้ดัดแปลงเนื้อหา และต้องอ้างอิงถึงเจ้าของเอกสารทุกครั้งที่มีการนำไปใช้

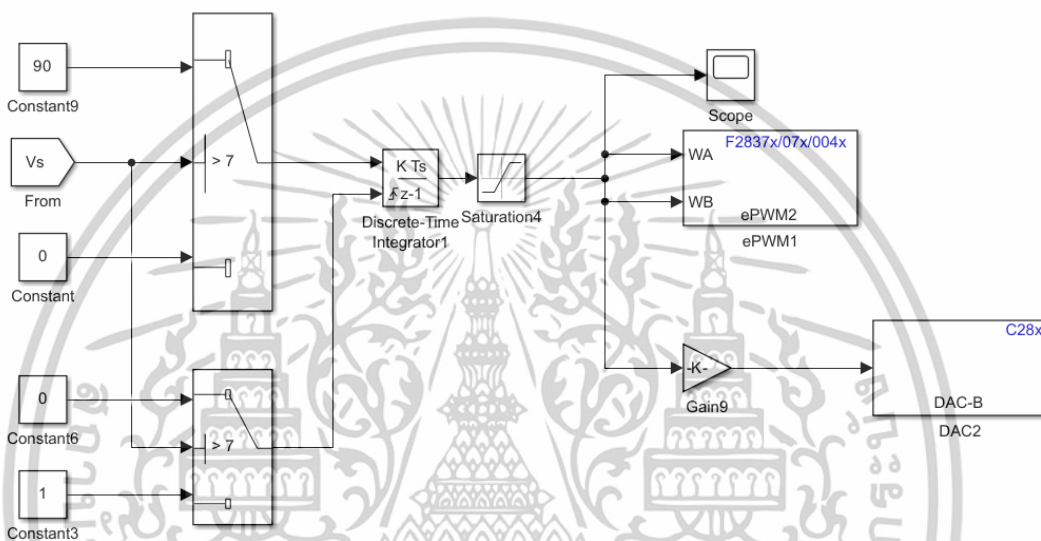


รูปที่ 6.11 การเชื่อมสัญญาณ PWM AC Chopper Soft Starter : PWMSS จาก C2000  
Microcontroller เบอร์ TMS320F28379D

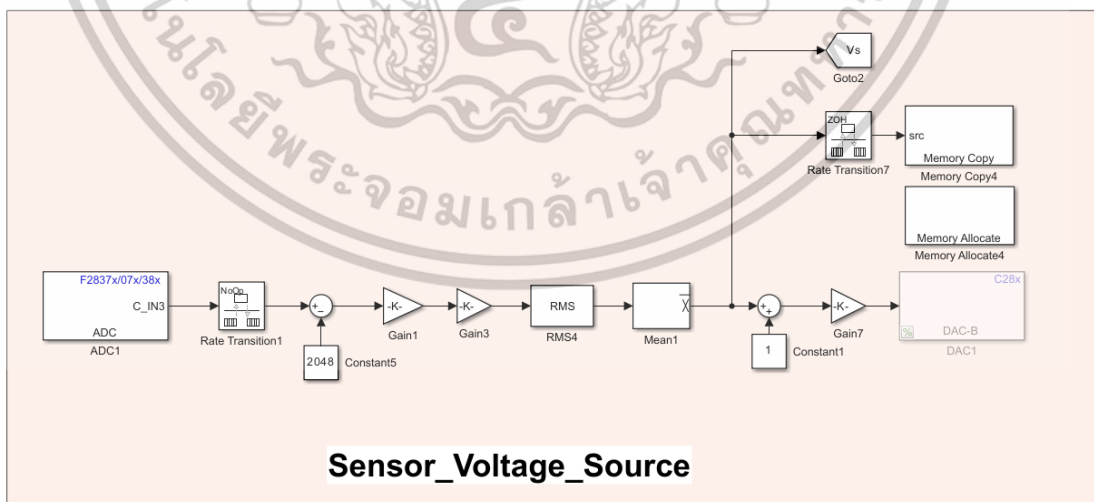
จากรูปที่ 6.11 เป็นการรับสัญญาณควบคุมโดยการเขียนวงจรควบคุมในโปรแกรม MATLAB/Simulink Version R2024a แล้วทำการกำเนิดโค้ดภาษาซี (C) หลังจากนั้นจึงใช้โปรแกรม (Code Composer Studio :CCS) Version 12.4.0 ในการคอมไพล์โค้ดภาษาซี (C) ลงในบอร์ดไมโครคอนโทรลเลอร์ C2000 Microcontroller เบอร์ TMS320F28379D เพื่อส่งสัญญาณควบคุม ออกสู่วงจรภายนอกโดยตัวบอร์ดไมโครคอนโทรลเลอร์จะส่งสัญญาณกราวด์ที่ขา 20 และสัญญาณควบคุมกระแสแบบ Soft Starter ที่ขา 35 ส่งไปให้สวิตช์ตัวที่ 1 และขา 36 ส่งไปให้สวิตช์ตัวที่ 2 และสัญญาณควบคุมกระแสป้อนกลับแบบ PI Soft Starter ที่ขา 37 ส่งไปให้สวิตช์ตัวที่ 1 และขา 38 ส่งไปให้สวิตช์ตัวที่ 2 ซึ่งจะได้กล่าวในลำดับต่อไปในการทดสอบตามรูปด้านล่าง

เอกสารนี้เป็นเอกสารที่สงวนไว้สำหรับการใช้งานเพื่อการศึกษาเท่านั้น ไม่อนุญาตให้นำไปใช้ประโยชน์ด้านการค้า ไม่ว่าจะกรณีใดๆทั้งสิ้น อีกทั้งห้ามมิให้ดัดแปลงเนื้อหา และต้องอ้างอิงถึงเจ้าของเอกสารทุกครั้งที่มีการนำไปใช้

การทดสอบแบบไม่มีโหลดที่ค่าความชันตั้งแต่ 0.5, 1.0, 1.5 และ 2 และที่ค่าดีวีดี 5-90%, 10-90%, 15-90% และ 20-90% เพื่อดูลักษณะพฤติกรรมความสัมพันธ์ของสัญญาณแรงดันและกระแสในแต่ช่วงค่าความชันและช่วงค่าดีวีดีที่มีการใช้พลังงาน เป็นค่าพารามิเตอร์ที่วัดได้ชั่วขณะ (Instantaneous) โดยจากรูปที่ 6.12 เราสามารถทำการปรับเปลี่ยนค่าความชันได้ตั้งแต่ 0.5, 1.0, 1.5 และ 2 สำหรับในการทดสอบ และรูปที่ 6.13 สามารถทำการปรับเปลี่ยนค่าดีวีดีในย่านการทดสอบที่ช่อง Upper Limit และ Lower Limit ในการทดสอบนี้จะใช้ที่ค่าดีวีดี 5-90%, 10-90%, 15-90% และ 20-90% ซึ่งจะกล่าวในรูปที่ 6.14 – 6.17 ตามลำดับ

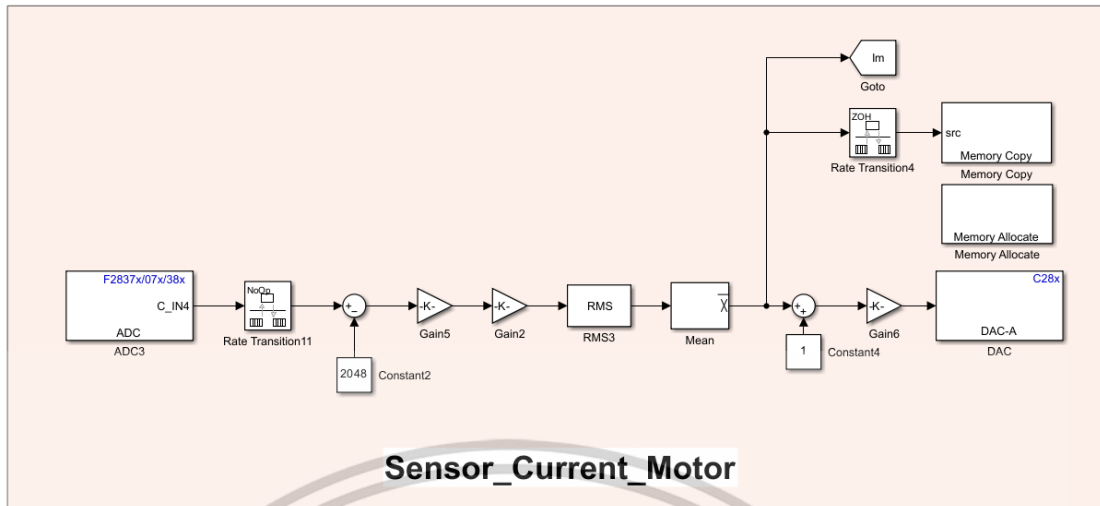


(ก) การจำลองเทคนิคการควบคุมกระแสเริ่มหมุนแบบมีมุมจากทูลบลิค Simulink Library

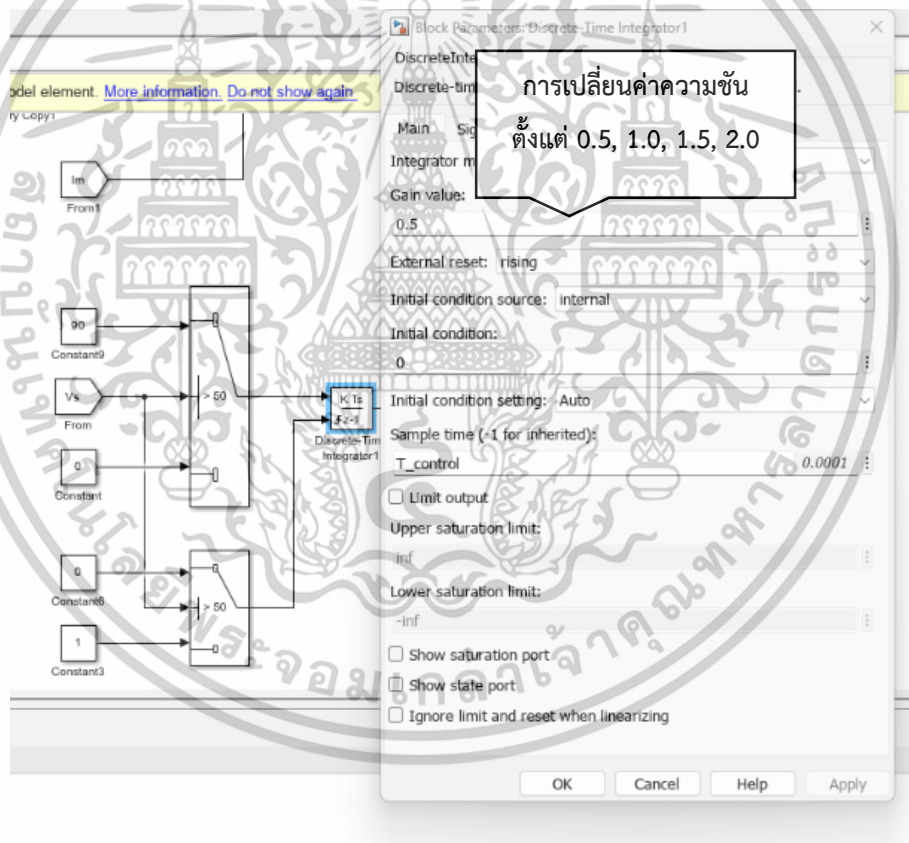


(ข) ชุด ADC ตรวจสอบวัดแรงดันแปลงอนาล็อกเป็นดิจิตอลที่แหล่งจ่ายมอเตอร์

เอกสารนี้เป็นเอกสารที่สงวนไว้สำหรับการใช้งานเพื่อการศึกษาเท่านั้น ไม่อนุญาตให้นำไปใช้ประโยชน์ด้านการค้า ไม่ว่าจะกรณีใดๆทั้งสิ้น อีกทั้งห้ามมิให้ดัดแปลงเนื้อหา และต้องอ้างอิงถึงเจ้าของเอกสารทุกครั้งที่มีการนำไปใช้



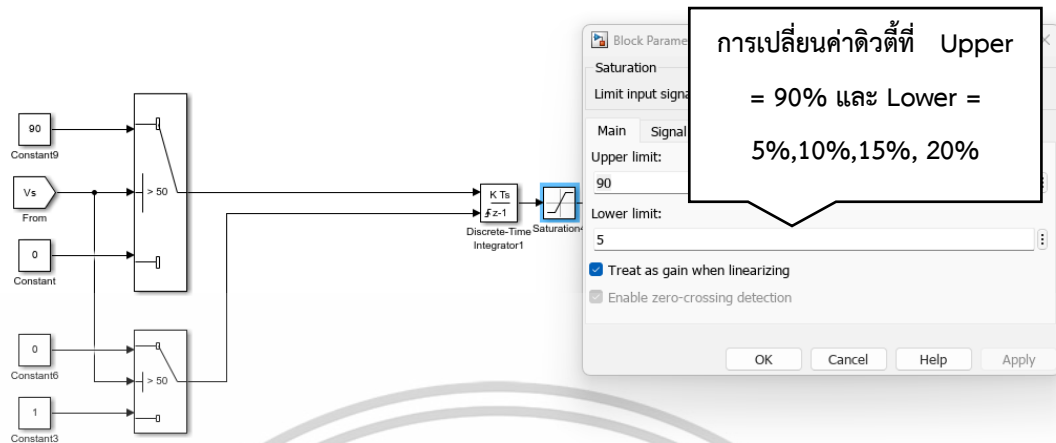
(ค) ชุด ADC ตรวจสอบแรงดันแปลงอนาล็อกเป็นดิจิทัลที่แหล่งจ่ายมอเตอร์



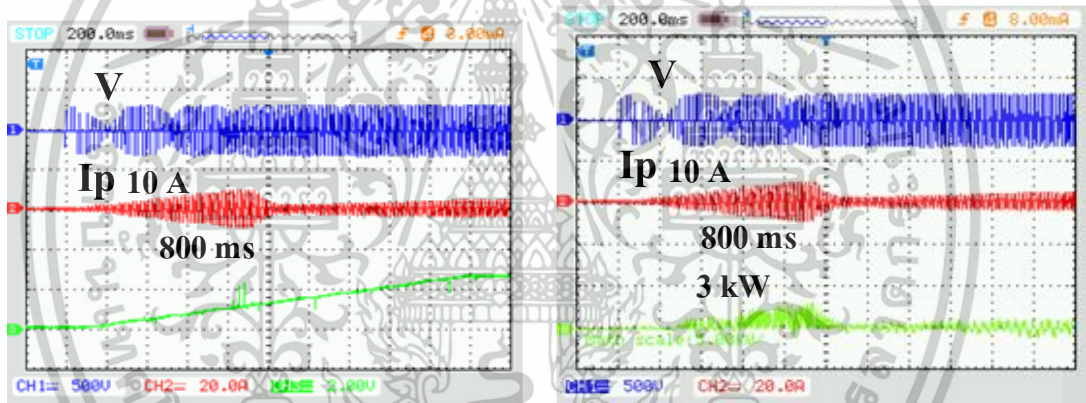
(ง) การเปลี่ยนค่าความชัน

รูปที่ 6.12 การจำลองเทคนิคการควบคุมกระแสเริ่มหมุนแบบนี้มาจากทูลบล็อกร Simulink Library และการเปลี่ยนค่าความชันที่ช่อง Gain Value

เอกสารนี้เป็นเอกสารที่สงวนไว้สำหรับการใช้งานเพื่อการศึกษาเท่านั้น ไม่อนุญาตให้นำไปใช้ประโยชน์ด้านการค้า ไม่ว่าจะกรณีใดๆทั้งสิ้น อีกทั้งห้ามมิให้ดัดแปลงเนื้อหา และต้องอ้างอิงถึงเจ้าของเอกสารทุกครั้งที่มีการนำไปใช้



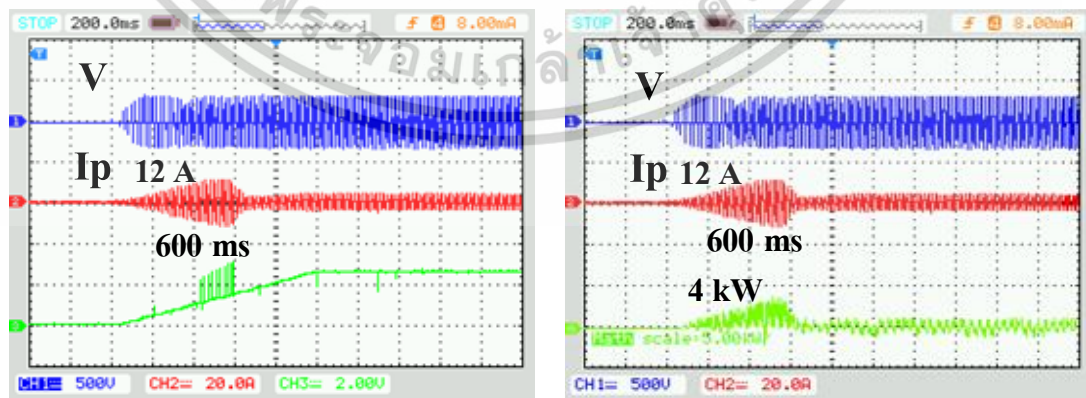
รูปที่ 6.13 การเปลี่ยนค่าตัวดีที่ของ Upper Limit และ Lower Limit



(ก) ค่าความชื้นตามเวลาที่ 0.5

(ข) กำลังไฟฟ้าช่วงเวลาที่ตัวดี 5-90%

การทดสอบแบบไม่มีโหลดที่ค่าความชื้น 0.5 และที่ค่าตัวดี 5-90%

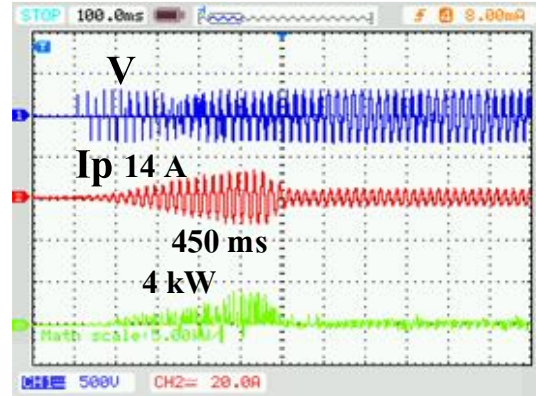
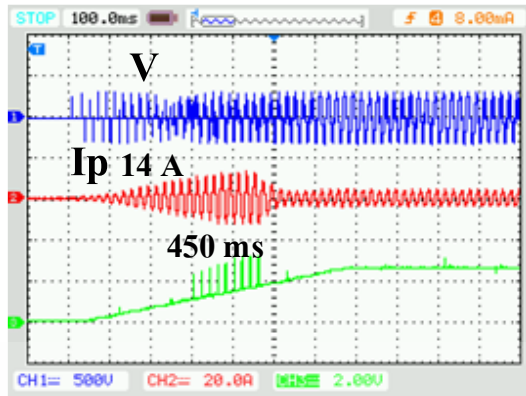


(ค) ค่าความชื้นตามเวลาที่ 1.0

(ง) กำลังไฟฟ้าช่วงเวลาที่ตัวดี 5-90%

การทดสอบแบบไม่มีโหลดที่ค่าความชื้น 1.0 และที่ค่าตัวดี 5-90%

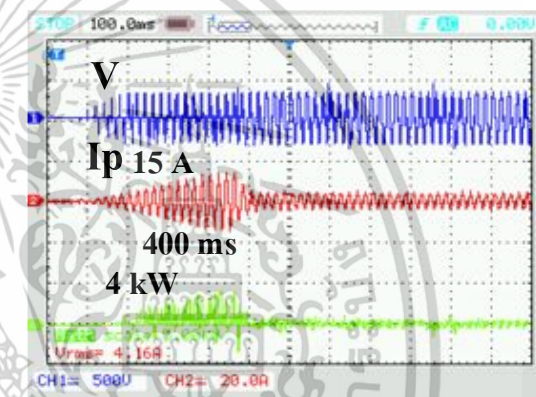
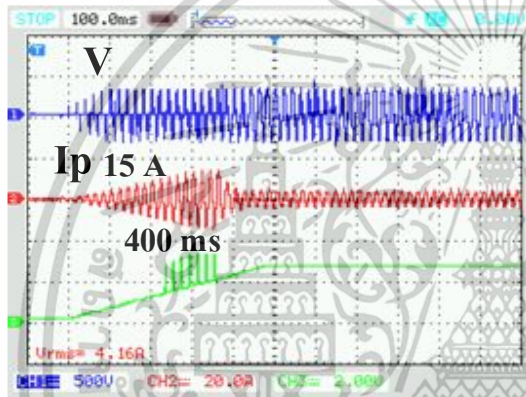
เอกสารนี้เป็นเอกสารที่สงวนไว้สำหรับการใช้งานเพื่อการศึกษาเท่านั้น ไม่อนุญาตให้นำไปใช้ประโยชน์ด้านการค้า ไม่ว่าจะกรณีใดๆทั้งสิ้น อีกทั้งห้ามมิให้ดัดแปลงเนื้อหา และต้องอ้างอิงถึงเจ้าของเอกสารทุกครั้งที่มีการนำไปใช้



(จ) ค่าความชื้นตามเวลาที่ 1.5

(ฉ) กำลังไฟฟ้าช่วงเวลาที่คิดดี 5-90%

การทดสอบแบบไม่มีโหลดที่ค่าความชื้น 1.5 และที่ค่าคิดดี 5-90%



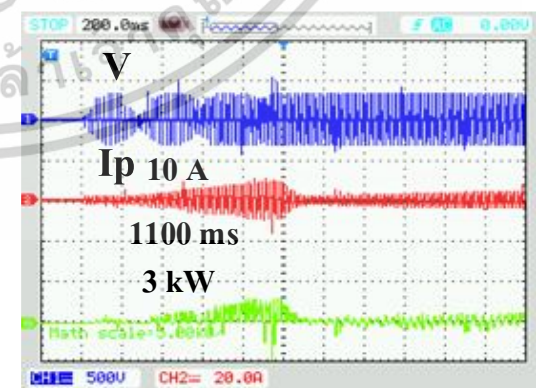
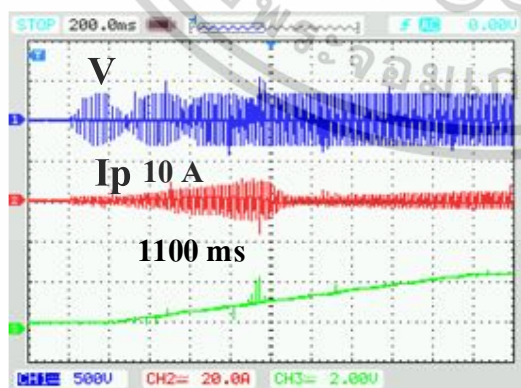
(ช) ค่าความชื้นตามเวลาที่ 2.0

(ซ) กำลังไฟฟ้าช่วงเวลาที่คิดดี 5-90%

การทดสอบแบบไม่มีโหลดที่ค่าความชื้น 2.0 และที่ค่าคิดดี 5-90%

รูปที่ 6.14 การทดสอบแบบไม่มีโหลดที่ค่าความชื้น 0.5, 1.0, 1.5, 2.0 และที่ค่าคิดดี 5-90%

เป็นค่าพารามิเตอร์ที่วัดได้ช่วงขณะ (Instantaneous)

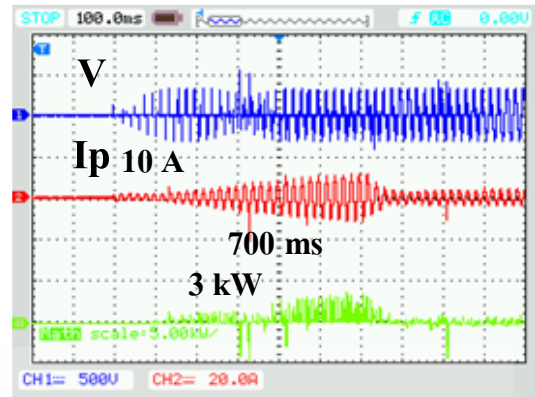
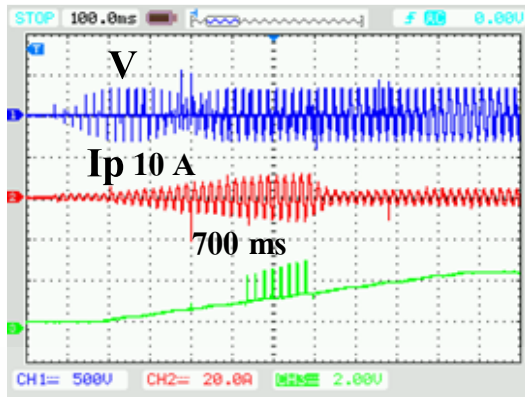


(ค) ค่าความชื้นตามเวลาที่ 0.5

(ข) กำลังไฟฟ้าช่วงเวลาที่คิดดี 10-90%

การทดสอบแบบไม่มีโหลดที่ค่าความชื้น 0.5 และที่ค่าคิดดี 10-90%

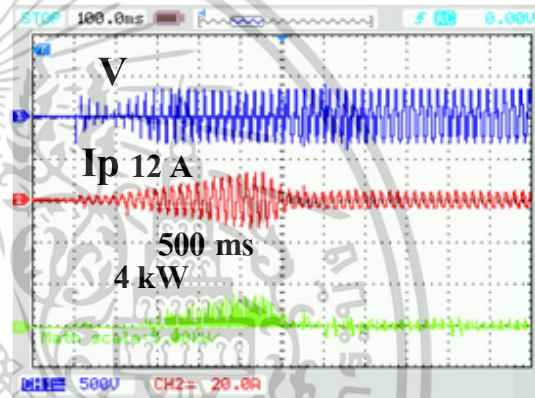
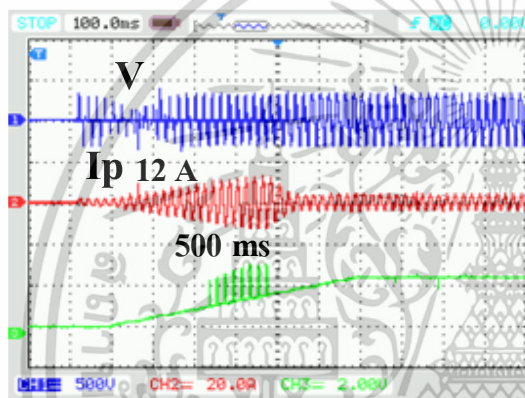
เอกสารนี้เป็นเอกสารที่สงวนไว้สำหรับการใช้งานเพื่อการศึกษาเท่านั้น ไม่อนุญาตให้นำไปใช้ประโยชน์ด้านการค้า  
ไม่ว่ากรณีใดๆทั้งสิ้น อีกทั้งห้ามมิให้ดัดแปลงเนื้อหา และต้องอ้างอิงถึงเจ้าของเอกสารทุกครั้งที่มีการนำไปใช้



(ค) ค่าความชื้นตามเวลาที่ 1.0

(ง) กำลังไฟฟ้าช่วงเวลาที่วัดได้ 10-90%

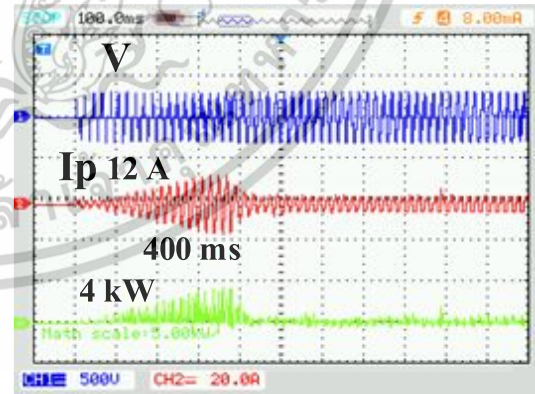
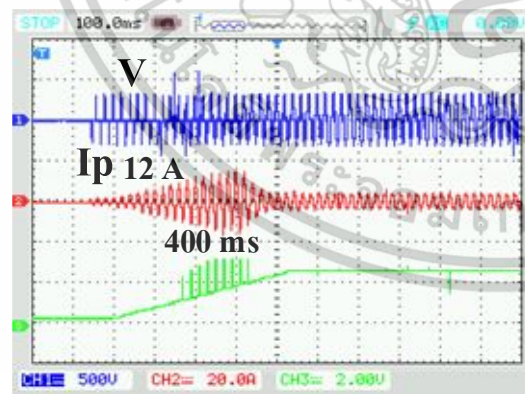
การทดสอบแบบไม่มีโหลดที่ค่าความชื้น 1.0 และที่ค่าวัดได้ 10-90%



(จ) ค่าความชื้นตามเวลาที่ 1.5

(ฉ) กำลังไฟฟ้าช่วงเวลาที่วัดได้ 10-90%

การทดสอบแบบไม่มีโหลดที่ค่าความชื้น 1.5 และที่ค่าวัดได้ 10-90%



(ช) ค่าความชื้นตามเวลาที่ 2.0

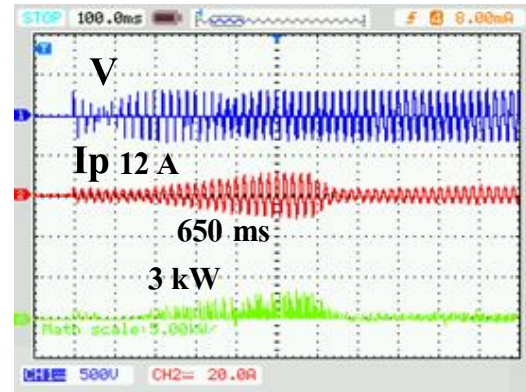
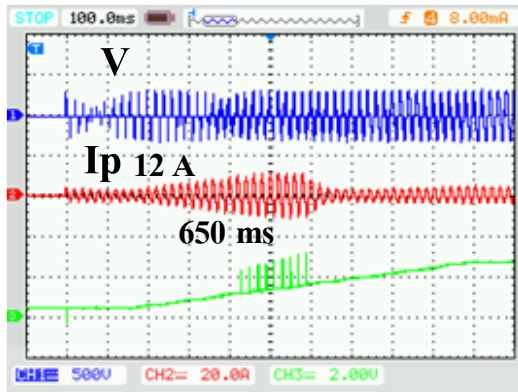
(ซ) กำลังไฟฟ้าช่วงเวลาที่วัดได้ 10-90%

การทดสอบแบบไม่มีโหลดที่ค่าความชื้น 2.0 และที่ค่าวัดได้ 10-90%

รูปที่ 6.15 การทดสอบแบบไม่มีโหลดที่ค่าความชื้น 0.5, 1.0, 1.5, 2.0 และที่ค่าวัดได้ 10-90%

เป็นค่าพารามิเตอร์ที่วัดได้ชั่วขณะ (Instantaneous)

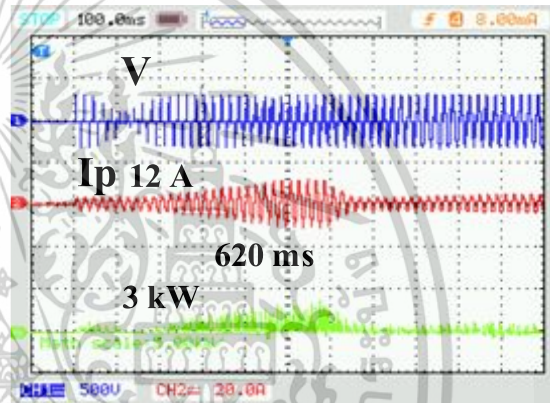
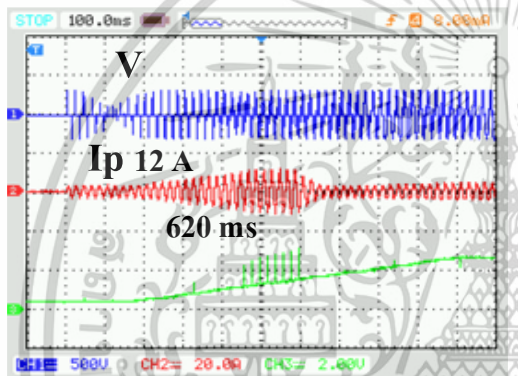
เอกสารนี้เป็นเอกสารที่สงวนไว้สำหรับการใช้งานเพื่อการศึกษาเท่านั้น ไม่อนุญาตให้นำไปใช้ประโยชน์ด้านการค้า ไม่ว่าจะกรณีใดๆทั้งสิ้น อีกทั้งห้ามมิให้ดัดแปลงเนื้อหา และต้องอ้างอิงถึงเจ้าของเอกสารทุกครั้งที่มีกรนำมาใช้



(ก) ค่าความชื้นตามเวลาที่ 0.5

(ข) กำลังไฟฟ้าช่วงเวลาที่ดีวีดี 15-90%

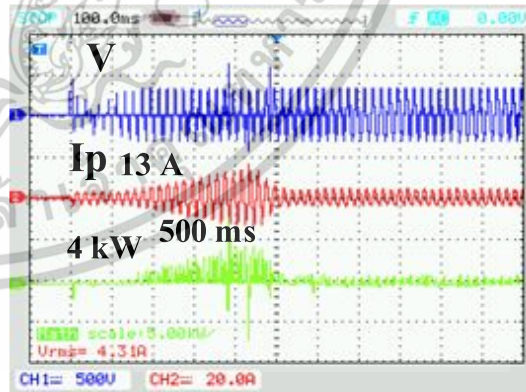
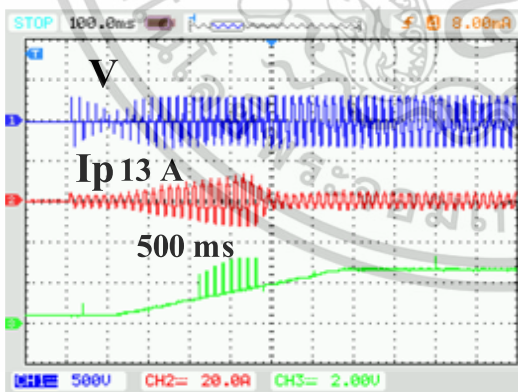
การทดสอบแบบไม่มีโหลดที่ค่าความชื้น 0.5 และที่ค่าดีวีดี 15-90%



(ค) ค่าความชื้นตามเวลาที่ 1.0

(ง) กำลังไฟฟ้าช่วงเวลาที่ดีวีดี 15-90%

การทดสอบแบบไม่มีโหลดที่ค่าความชื้น 1.0 และที่ค่าดีวีดี 15-90%

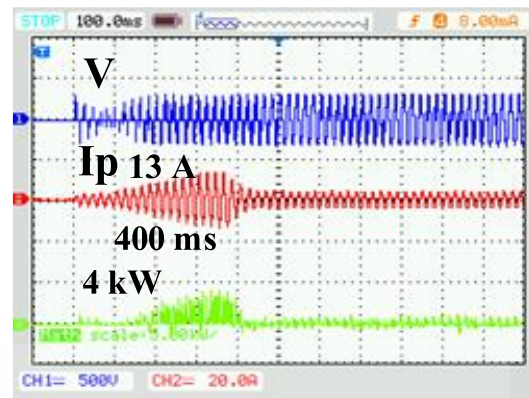
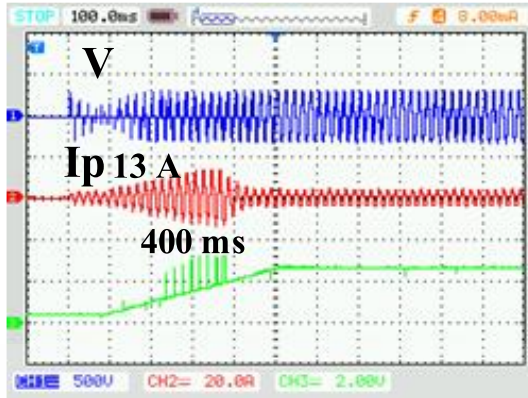


(จ) ค่าความชื้นตามเวลาที่ 1.5

(ฉ) กำลังไฟฟ้าช่วงเวลาที่ดีวีดี 15-90%

การทดสอบแบบไม่มีโหลดที่ค่าความชื้น 1.5 และที่ค่าดีวีดี 15-90%

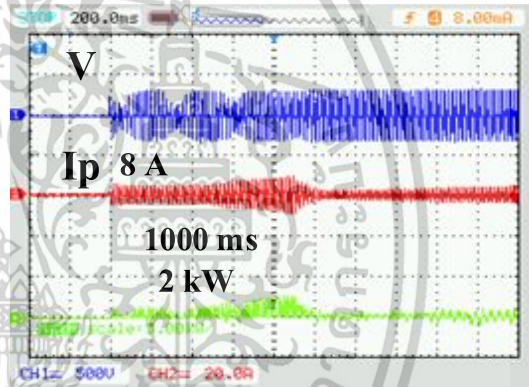
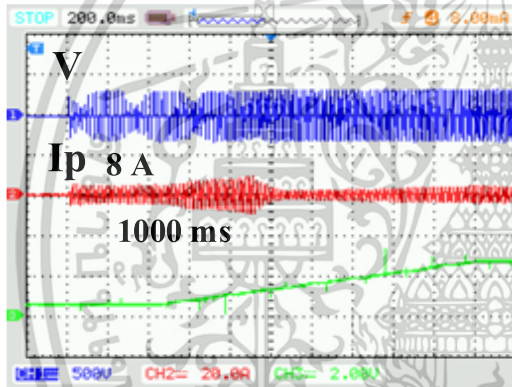
เอกสารนี้เป็นเอกสารที่สงวนไว้สำหรับการใช้งานเพื่อการศึกษาเท่านั้น ไม่อนุญาตให้นำไปใช้ประโยชน์ด้านการค้า  
ไม่ว่ากรณีใดๆทั้งสิ้น อีกทั้งห้ามมิให้ดัดแปลงเนื้อหา และต้องอ้างอิงถึงเจ้าของเอกสารทุกครั้งที่มีการนำไปใช้



(ข) ค่าความชื้นตามเวลาที่ 2.0

(ช) กำลังไฟฟ้าชั่วขณะที่ดีวีดี 15-90%

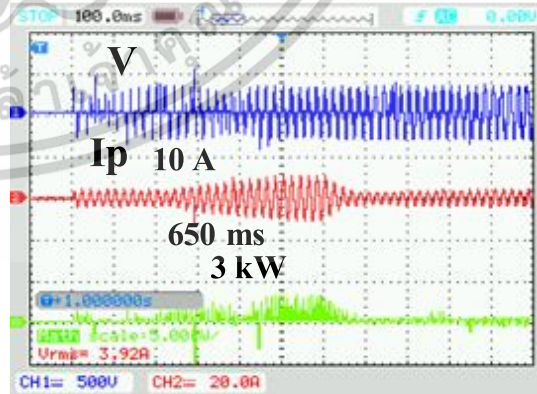
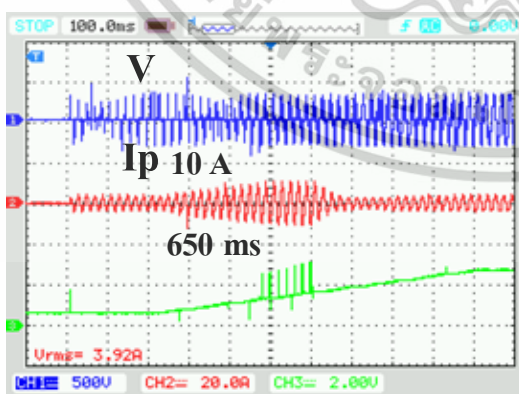
การทดสอบแบบไม่มีโหลดที่ค่าความชื้น 2.0 และที่ค่าดีวีดี 15-90%  
รูปที่ 6.16 การทดสอบแบบไม่มีโหลดที่ค่าความชื้น 0.5, 1.0, 1.5, 2.0 และที่ค่าดีวีดี 15-90%  
เป็นค่าพารามิเตอร์ที่วัดได้ชั่วขณะ (Instantaneous)



(ก) ค่าความชื้นตามเวลาที่ 0.5

(ข) กำลังไฟฟ้าชั่วขณะที่ดีวีดี 20-90%

การทดสอบแบบไม่มีโหลดที่ค่าความชื้น 0.5 และที่ค่าดีวีดี 20-90%

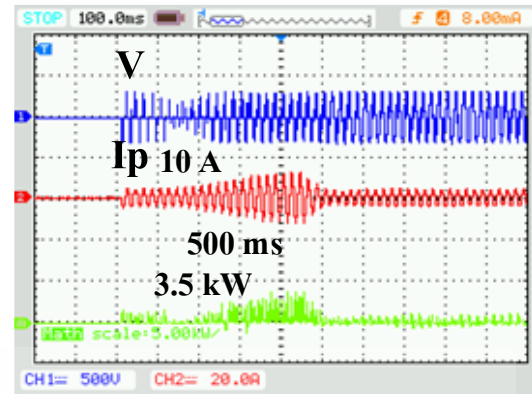
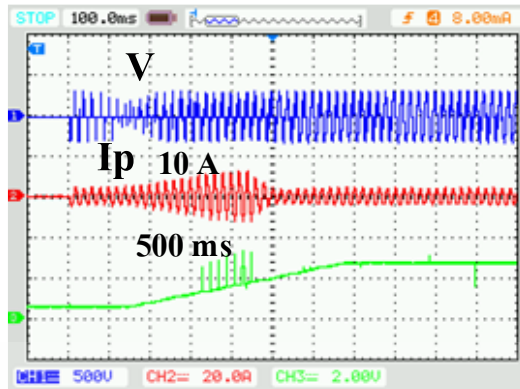


(ค) ค่าความชื้นตามเวลาที่ 1.0

(ง) กำลังไฟฟ้าชั่วขณะที่ดีวีดี 20-90%

การทดสอบแบบไม่มีโหลดที่ค่าความชื้น 1.0 และที่ค่าดีวีดี 20-90%

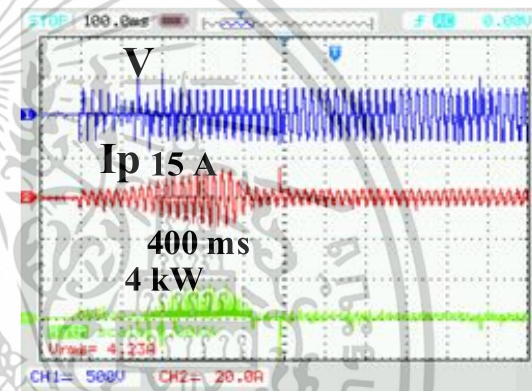
เอกสารนี้เป็นเอกสารที่สงวนไว้สำหรับการใช้งานเพื่อการศึกษาเท่านั้น ไม่อนุญาตให้นำไปใช้ประโยชน์ด้านการค้า  
ไม่ว่ากรณีใดๆทั้งสิ้น อีกทั้งห้ามมิให้ดัดแปลงเนื้อหา และต้องอ้างอิงถึงเจ้าของเอกสารทุกครั้งที่มีการนำไปใช้



(จ) ค่าความชื้นตามเวลาที่ 1.5

(ฉ) กำลังไฟฟ้าช่วงเวลาที่วัดได้ 20-90%

การทดสอบแบบไม่มีโหลดที่ค่าความชื้น 1.5 และที่ค่าวัดได้ 20-90%



(ช) ค่าความชื้นตามเวลาที่ 2.0

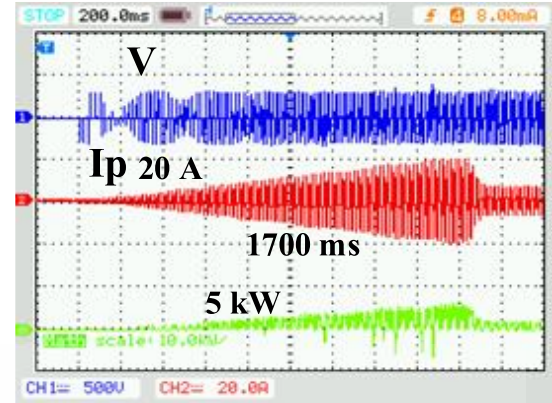
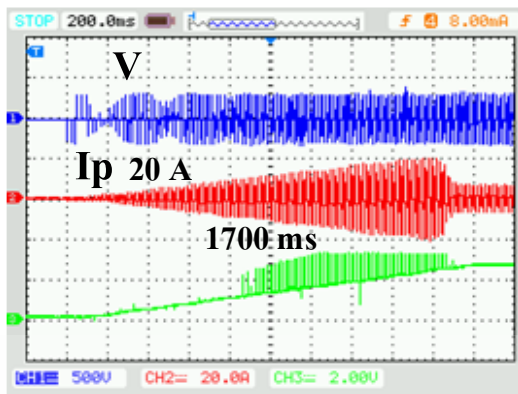
(ซ) กำลังไฟฟ้าช่วงเวลาที่วัดได้ 20-90%

การทดสอบแบบไม่มีโหลดที่ค่าความชื้น 2.0 และที่ค่าวัดได้ 20-90%

รูปที่ 6.17 การทดสอบแบบไม่มีโหลดที่ค่าความชื้น 0.5, 1.0, 1.5, 2.0 และที่ค่าวัดได้ 20-90% เป็นค่าพารามิเตอร์ที่วัดได้ชั่วขณะ (Instantaneous)

การทดสอบแบบมีโหลดที่ค่าความชื้นตั้งแต่ 0.5, 1.0, 1.5 และ 2.0 และที่ค่าวัดได้ 5-90%, 10-90%, 15-90% และ 20-90% เพื่อดูลักษณะพฤติกรรมความสัมพันธ์ของสัญญาณแรงดันและกระแสในแต่ช่วงค่าความชื้นและช่วงค่าวัดได้ที่มีการใช้พลังงานเป็นค่าพารามิเตอร์ที่วัดได้ชั่วขณะ (Instantaneous) โดยจากรูปที่ 6.12 เราสามารถทำการปรับเปลี่ยนค่าความชื้นได้ตั้งแต่ 0.5, 1.0, 1.5 และ 2.0 สำหรับในการทดสอบ และรูปที่ 6.13 สามารถทำการปรับเปลี่ยนค่าวัดได้ในย่านการทดสอบที่ช่อง Upper Limit และ Lower Limit ในการทดสอบนี้จะใช้ที่ค่าวัดได้ 5-90%, 10-90%, 15-90% และ 20-90% ซึ่งจะกล่าวในรูปที่ 6.18 – 6.21 ตามลำดับ

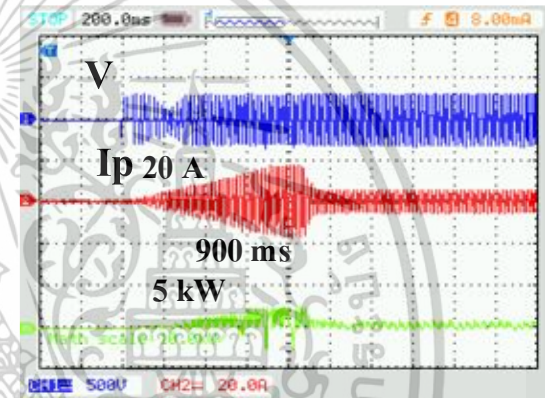
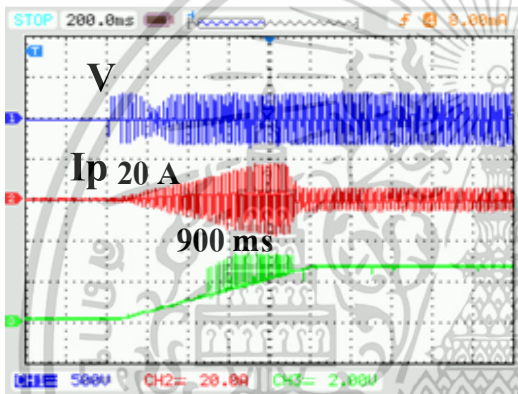
เอกสารนี้เป็นเอกสารที่สงวนไว้สำหรับการใช้งานเพื่อการศึกษาเท่านั้น ไม่อนุญาตให้นำไปใช้ประโยชน์ด้านการค้า ไม่ว่าจะกรณีใดๆทั้งสิ้น อีกทั้งห้ามมิให้ดัดแปลงเนื้อหา และต้องอ้างอิงถึงเจ้าของเอกสารทุกครั้งที่มีการนำไปใช้



(ก) ค่าความชื้นตามเวลาที่ 0.5

(ข) กำลังไฟฟ้าช่วงเวลาที่คิดไว้ 5-90%

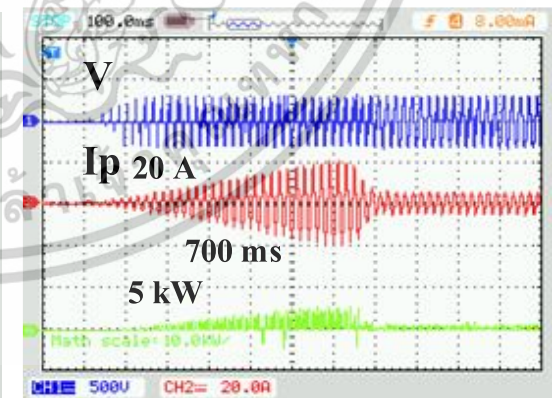
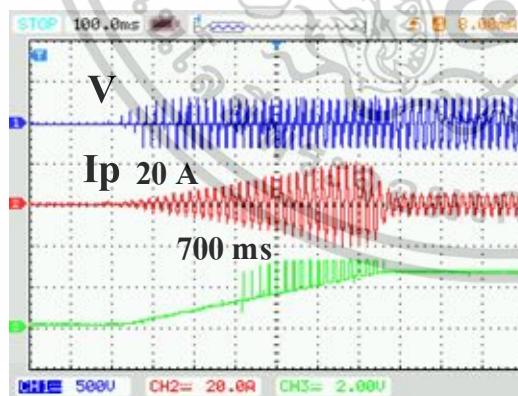
การทดสอบแบบมีโหลดที่ค่าความชื้น 0.5 และที่ค่าคิดไว้ 5-90%



(ค) ค่าความชื้นตามเวลาที่ 1.0

(ง) กำลังไฟฟ้าช่วงเวลาที่คิดไว้ 5-90%

การทดสอบแบบมีโหลดที่ค่าความชื้น 1.0 และที่ค่าคิดไว้ 5-90%

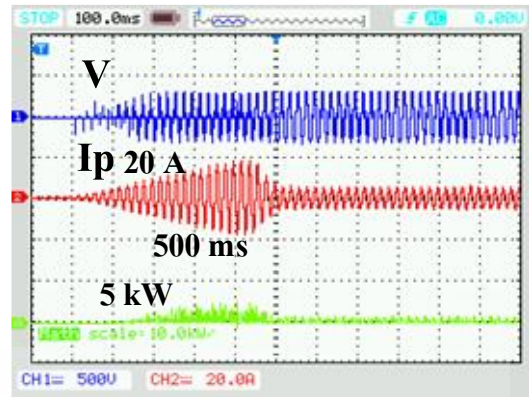
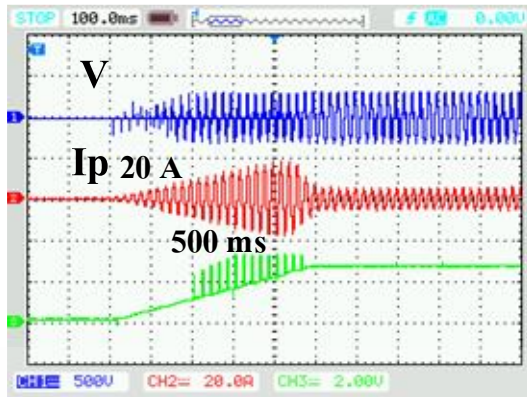


(จ) ค่าความชื้นตามเวลาที่ 1.5

(ฉ) กำลังไฟฟ้าช่วงเวลาที่คิดไว้ 5-90%

การทดสอบแบบมีโหลดที่ค่าความชื้น 1.5 และที่ค่าคิดไว้ 5-90%

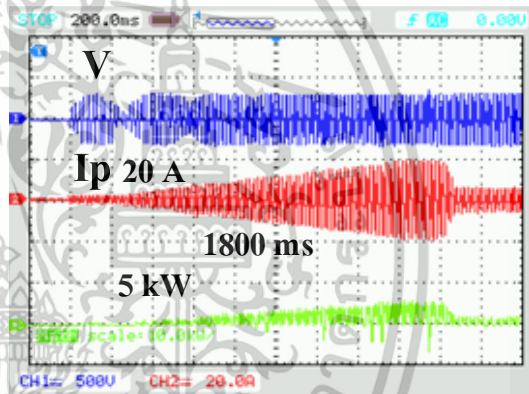
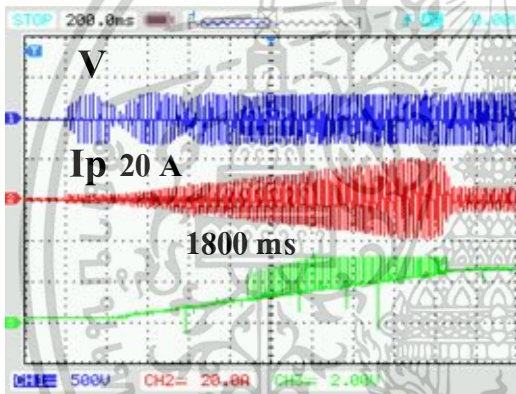
เอกสารนี้เป็นเอกสารที่สงวนไว้สำหรับการใช้งานเพื่อการศึกษาเท่านั้น ไม่อนุญาตให้นำไปใช้ประโยชน์ด้านการค้า  
ไม่ว่ากรณีใดๆทั้งสิ้น อีกทั้งห้ามมิให้ดัดแปลงเนื้อหา และต้องอ้างอิงถึงเจ้าของเอกสารทุกครั้งที่มีการนำไปใช้



(ข) ค่าความชันตามเวลาที่ 2.0

(ช) กำลังไฟฟ้าชั่วขณะที่ดีวัดได้ 5-90%

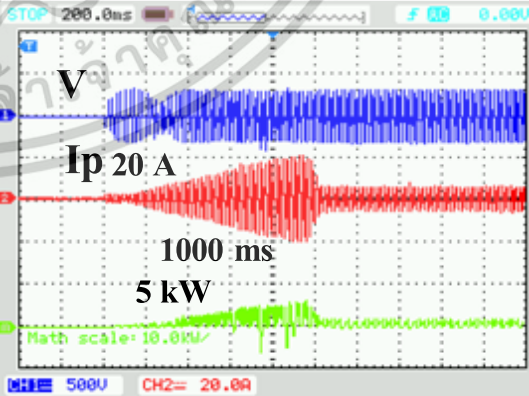
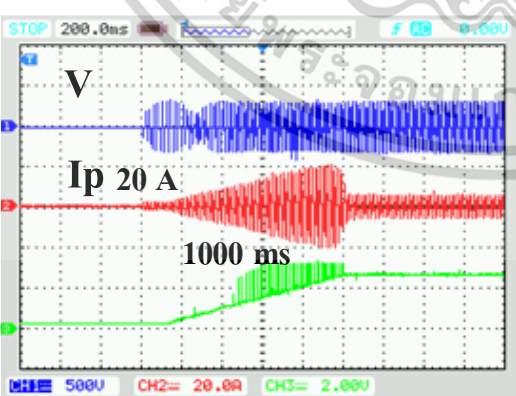
การทดสอบแบบมีโหลดที่ค่าความชัน 2.0 และที่ค่าดีวีดี 5-90%  
 รูปที่ 6.18 การทดสอบแบบมีโหลดที่ค่าความชัน 0.5, 1.0, 1.5, 2.0 และที่ค่าดีวีดี 5-90%  
 เป็นค่าพารามิเตอร์ที่วัดได้ชั่วขณะ (Instantaneous)



(ก) ค่าความชันตามเวลาที่ 0.5

(ข) กำลังไฟฟ้าชั่วขณะที่ดีวัดได้ 10-90%

การทดสอบแบบมีโหลดที่ค่าความชัน 0.5 และที่ค่าดีวีดี 10-90%

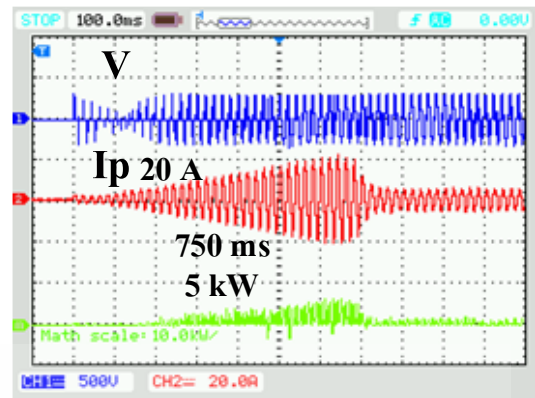
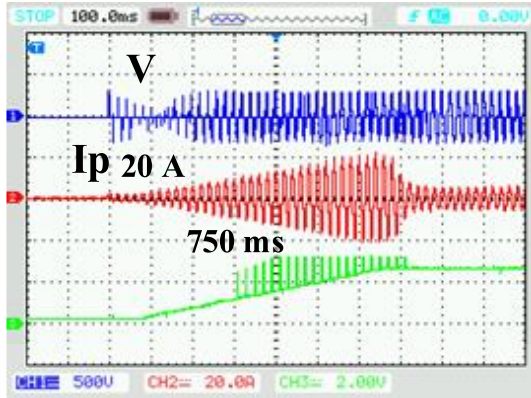


(ค) ค่าความชันตามเวลาที่ 1.0

(ง) กำลังไฟฟ้าชั่วขณะที่ดีวัดได้ 10-90%

การทดสอบแบบมีโหลดที่ค่าความชัน 1.0 และที่ค่าดีวีดี 10-90%

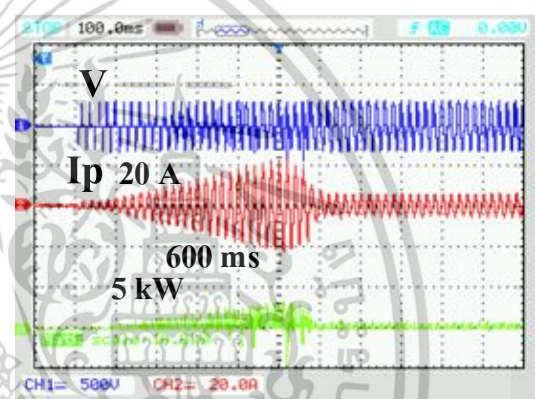
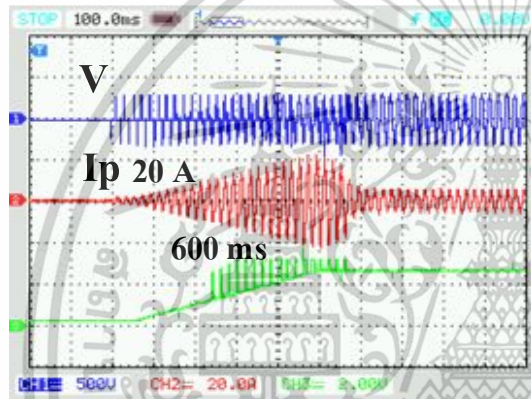
เอกสารนี้เป็นเอกสารที่สงวนไว้สำหรับการใช้งานเพื่อการศึกษาเท่านั้น ไม่อนุญาตให้นำไปใช้ประโยชน์ด้านการค้า  
 ไม่ว่าจะกรณีใดๆทั้งสิ้น อีกทั้งห้ามมิให้ดัดแปลงเนื้อหา และต้องอ้างอิงถึงเจ้าของเอกสารทุกครั้งที่มีกรนำไปใช้



(จ) ค่าความชื้นตามเวลาที่ 1.5

(ฉ) กำลังไฟฟ้าช่วงเวลาที่ผิด 10-90%

การทดสอบแบบมีโหลดที่ค่าความชื้น 1.5 และที่ค่าผิด 10-90 %



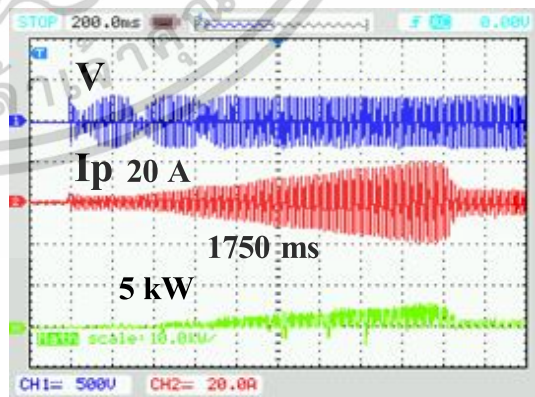
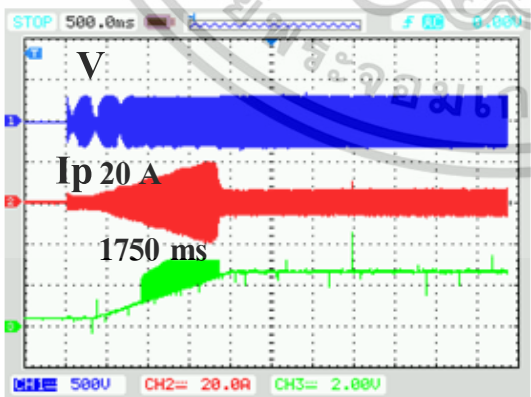
(ช) ค่าความชื้นตามเวลาที่ 2.0

(ซ) กำลังไฟฟ้าช่วงเวลาที่ผิด 10-90%

การทดสอบแบบมีโหลดที่ค่าความชื้น 2 และที่ค่าผิด 10-90%

รูปที่ 6.19 การทดสอบแบบมีโหลดที่ค่าความชื้น 0.5, 1.0, 1.5, 2.0 และที่ค่าผิด 10-90%

เป็นค่าพารามิเตอร์ที่วัดได้ชั่วขณะ (Instantaneous)

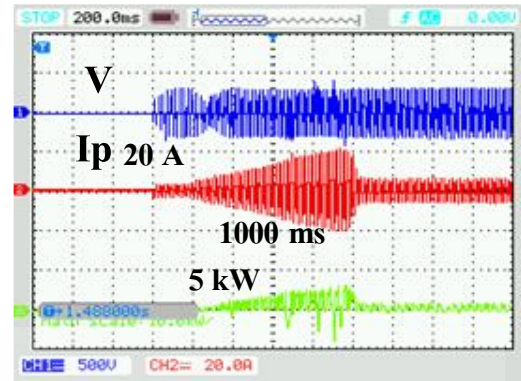
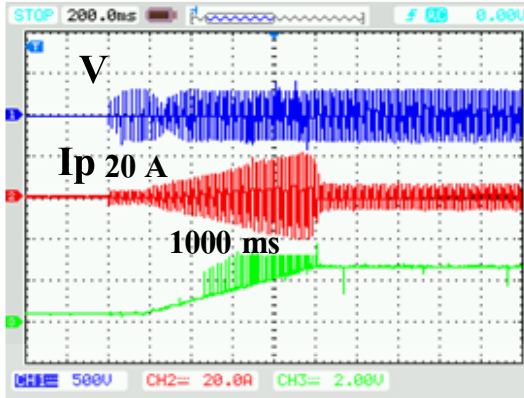


(ก) ค่าความชื้นตามเวลาที่ 0.5

(ข) กำลังไฟฟ้าช่วงเวลาที่ผิด 15-90%

การทดสอบแบบมีโหลดที่ค่าความชื้น 0.5 และที่ค่าผิด 15-90%

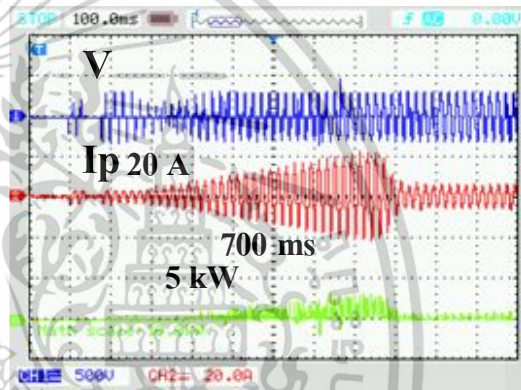
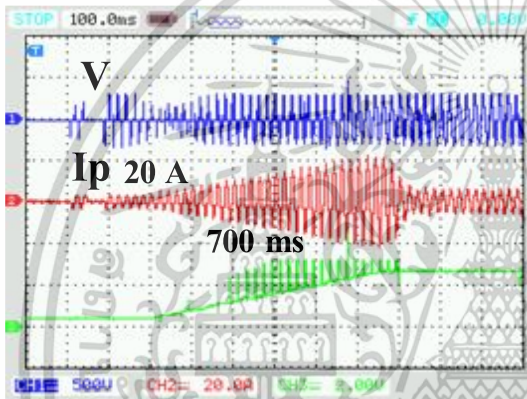
เอกสารนี้เป็นเอกสารที่สงวนไว้สำหรับการใช้งานเพื่อการศึกษาเท่านั้น ไม่อนุญาตให้นำไปใช้ประโยชน์ด้านการค้า ไม่ว่าจะกรณีใดๆทั้งสิ้น อีกทั้งห้ามมิให้ดัดแปลงเนื้อหา และต้องอ้างอิงถึงเจ้าของเอกสารทุกครั้งที่มีกรนำมาใช้



(ค) ค่าความชื้นตามเวลาที่ 1.0

(ง) กำลังไฟฟ้าชั่วขณะที่ดีวัดได้ 15-90%

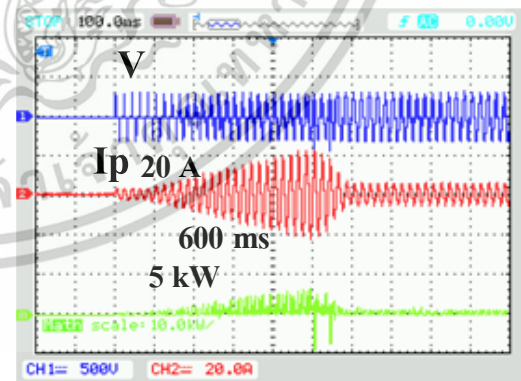
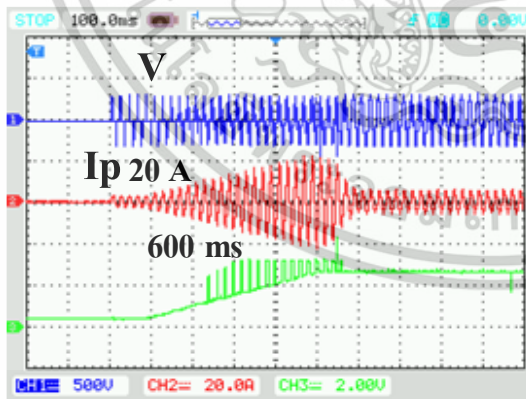
การทดสอบแบบมีโหลดที่ค่าความชื้น 1.0 และที่ค่าดีวัดได้ 15-90%



(จ) ค่าความชื้นตามเวลาที่ 1.5

(ฉ) กำลังไฟฟ้าชั่วขณะที่ดีวัดได้ 15-90%

การทดสอบแบบมีโหลดที่ค่าความชื้น 1.5 และที่ค่าดีวัดได้ 15-90%



(ช) ค่าความชื้นตามเวลาที่ 2.0

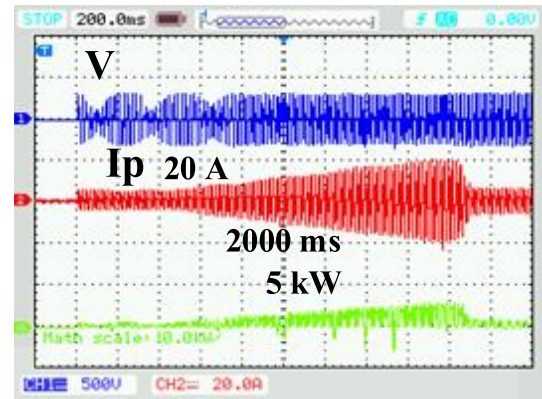
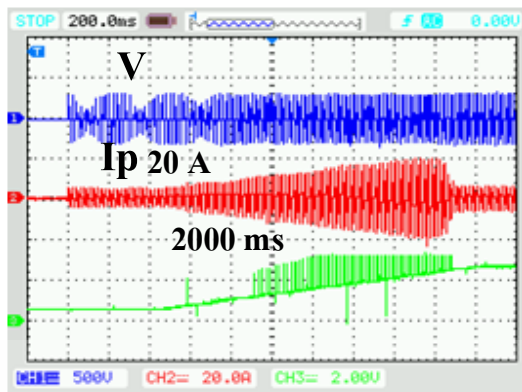
(ซ) กำลังไฟฟ้าชั่วขณะที่ดีวัดได้ 15-90%

การทดสอบแบบมีโหลดที่ค่าความชื้น 2.0 และที่ค่าดีวัดได้ 15-90%

**รูปที่ 6.20** การทดสอบแบบมีโหลดที่ค่าความชื้น 0.5, 1.0, 1.5, 2.0 และที่ค่าดีวัดได้ 15-90%

เป็นค่าพารามิเตอร์ที่วัดได้ชั่วขณะ (Instantaneous)

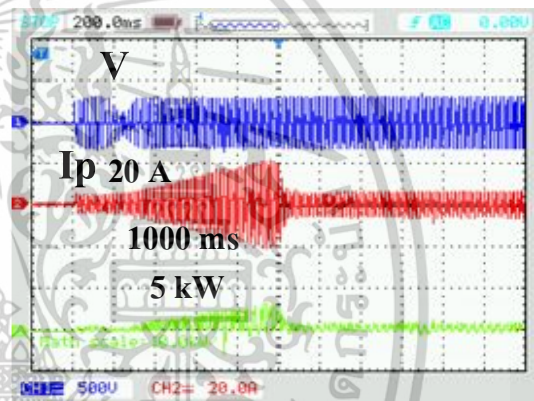
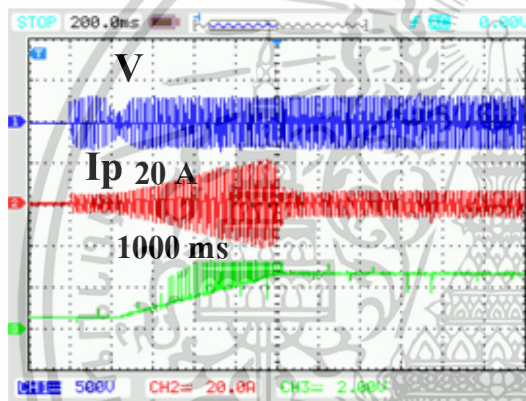
เอกสารนี้เป็นเอกสารที่สงวนไว้สำหรับการใช้งานเพื่อการศึกษาเท่านั้น ไม่อนุญาตให้นำไปใช้ประโยชน์ด้านการค้า ไม่ว่าจะกรณีใดๆทั้งสิ้น อีกทั้งห้ามมิให้ดัดแปลงเนื้อหา และต้องอ้างอิงถึงเจ้าของเอกสารทุกครั้งที่มีการนำไปใช้



(ก) ค่าความชื้นตามเวลาที่ 0.5

(ข) กำลังไฟฟ้าช่วงเวลาที่ผิด 20-90%

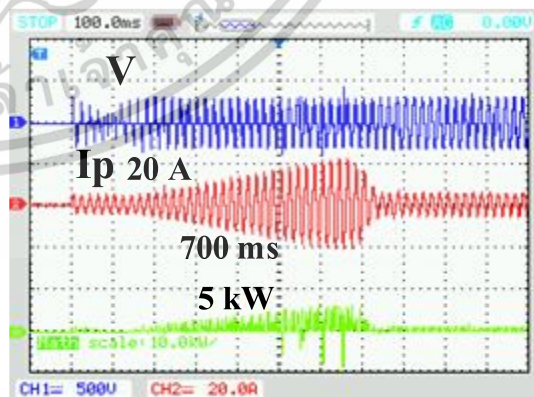
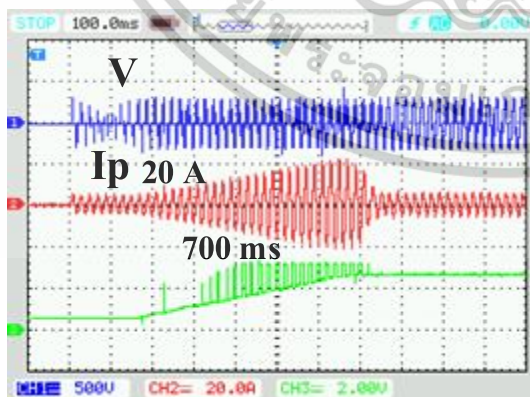
การทดสอบแบบมีโหลดที่ค่าความชื้น 0.5 และที่ค่าผิด 20-90%



(ค) ค่าความชื้นตามเวลาที่ 1.0

(ง) กำลังไฟฟ้าช่วงเวลาที่ผิด 20-90%

การทดสอบแบบมีโหลดที่ค่าความชื้น 1.0 และที่ค่าผิด 20-90%

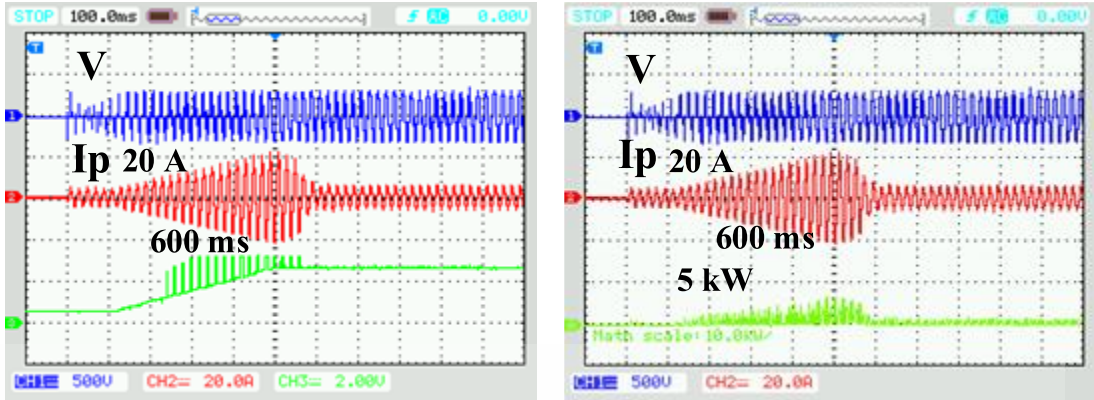


(จ) ค่าความชื้นตามเวลาที่ 1.5

(ฉ) กำลังไฟฟ้าช่วงเวลาที่ผิด 20-90%

การทดสอบแบบมีโหลดที่ค่าความชื้น 1.5 และที่ค่าผิด 20-90%

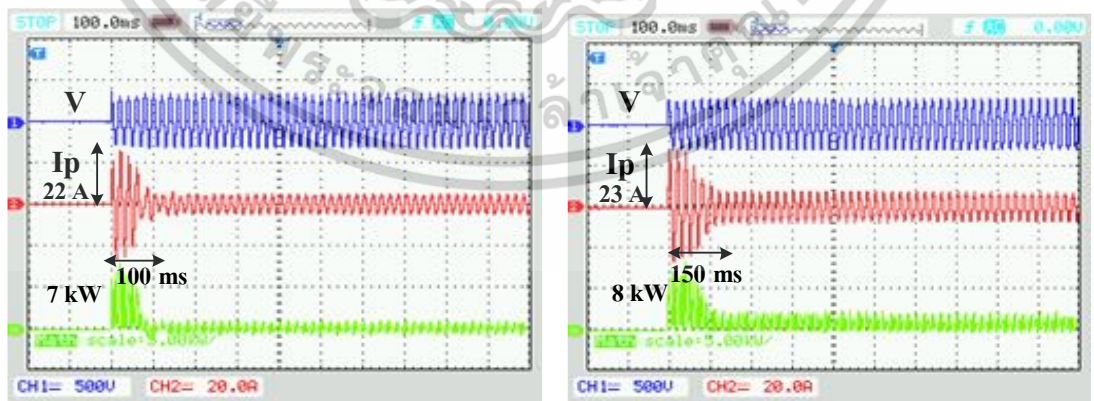
เอกสารนี้เป็นเอกสารที่สงวนไว้สำหรับการใช้งานเพื่อการศึกษาเท่านั้น ไม่อนุญาตให้นำไปใช้ประโยชน์ด้านการค้า  
ไม่ว่ากรณีใดๆทั้งสิ้น อีกทั้งห้ามมิให้ดัดแปลงเนื้อหา และต้องอ้างอิงถึงเจ้าของเอกสารทุกครั้งที่มีกรนำไปใช้



(ข) ค่าความชันตามเวลาที่ 2.0 (ช) กำลังไฟฟ้าชั่วขณะที่วัดได้ 20-90%  
 การทดสอบแบบมีโหลดที่ค่าความชัน 2.0 และที่ค่าวัดได้ 20-90%

รูปที่ 6.21 การทดสอบแบบมีโหลดที่ค่าความชัน 0.5, 1.0, 1.5, 2.0 และที่ค่าวัดได้ 20-90%  
 เป็นค่าพารามิเตอร์ที่วัดได้ชั่วขณะ (Instantaneous)

การทดสอบสตาร์ทมอเตอร์แบบโดยตรง Direct On Line : DOL รูป (ก) เป็นการสตาร์ทมอเตอร์แบบโดยตรงที่ไม่มีโหลด และรูป (ข) เป็นการสตาร์ทมอเตอร์แบบโดยตรงที่ใส่โหลดเข้าไปที่ 1.3 Nm เพื่อดูความสัมพันธ์ของค่ากระแสขณะทำการเริ่มต้นการหมุนและค่าพลังงานที่ใช้เข้าไปเพื่อทำการเปรียบเทียบซึ่งจะพบว่า การหมุนโดยตรงแบบไม่มีโหลดกินพลังงานน้อยกว่าแบบมีโหลดเกือบครึ่ง และช่วงระยะเวลาจะสั้นกว่า สรุปกล่าวคือการเริ่มต้นค่าความชันมากจะใช้เวลา น้อย กินกระแส มาก และพลังงานมากในชั่วขณะซึ่งเป็นผลคูณของแรงดันและกระแสจะมีพลังงานสละน้อยคือมอเตอร์จะไม่ร้อนมาก แต่หากค่าเริ่มต้นมีค่าความชันน้อยจะใช้เวลา มาก กินกระแส น้อย และพลังงานน้อยในชั่วขณะซึ่งเป็นผลคูณของแรงดันและกระแสจะมีพลังงานสละน้อยคือมอเตอร์จะมีความร้อนนั่นเอง



(ก) DOL แบบไม่มีโหลด (ข) DOL แบบมีโหลด 1.3 Nm

รูปที่ 6.22 การทดสอบเริ่มหมุนมอเตอร์แบบโดยตรง Direct On Line : DOL เป็นค่าพารามิเตอร์ที่วัดได้ชั่วขณะ (Instantaneous)

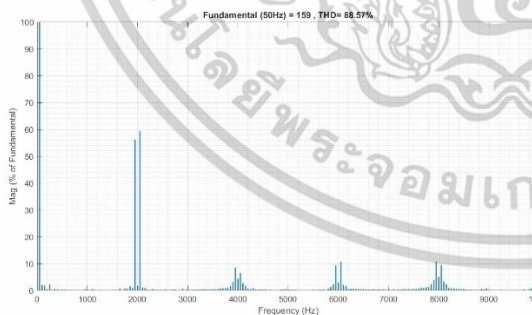
เอกสารนี้เป็นเอกสารที่สงวนไว้สำหรับการใช้งานเพื่อการศึกษาเท่านั้น ไม่อนุญาตให้นำไปใช้ประโยชน์ด้านการค้า ไม่ว่าจะกรณีใดๆทั้งสิ้น อีกทั้งห้ามมิให้ดัดแปลงเนื้อหา และต้องอ้างอิงถึงเจ้าของเอกสารทุกครั้งที่มีการนำไปใช้

การทดสอบสตาร์ทมอเตอร์แบบการเริ่มหมุนแบบนิ่มนวลให้กับมอเตอร์เหนี่ยวนำหนึ่งเฟสแบบคาปาซิเตอร์สตาร์ทด้วยวิธีการพีดับเบิลยูเอ็ม เอช ซี อีซี อีซี แบบอะซิงโครนัส Asynchronous PWM AC Chopper Soft Starter : PWMSS โดยการควบคุมการป้อนกลับที่กระแสของมอเตอร์สำหรับการเริ่มหมุนแบบนิ่มนวลและการทำงานที่ค่าบิดที่ 50% และ 90% ที่โหลด 1.1 Nm ,1.3 Nm และ 1.8 Nm เพื่อความสัมพันธ์ของค่ากระแสค่าแรงต้นขณะทำการเริ่มต้นการหมุนและค่าพลังงานที่ใช้ไปเพื่อดูสถานะการทำงานของ การทดสอบเปรียบเทียบช่วงเข้าสู่การทำงานสภาวะคงที่ (Steady State) ของรูปคลื่นสัญญาณแรงต้นและกระแส และค่าของฮาร์มอนิกของคลื่นสัญญาณแรงต้นและกระแสที่ค่าบิดที่ 50% และ 90% ด้านที่มีการช้อปเปอร์ที่ความถี่ 2 kHz ซึ่งจะได้กล่าวในลำดับต่อไป

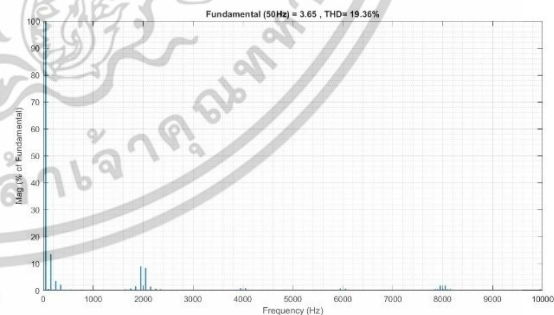


(ก) PWMSS แบบมีโหลด 1.1 Nm ที่บิดที่ 50%

(ข) ช่วงแรงต้นและกระแสคงที่



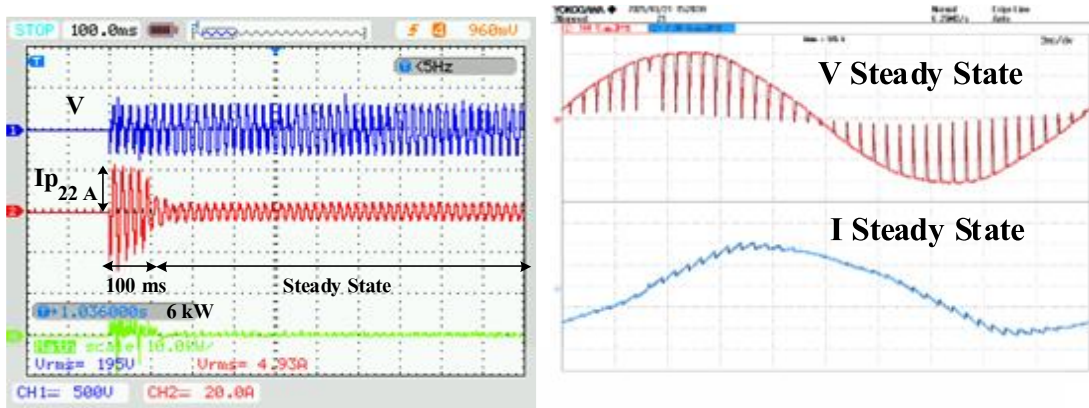
(ค) ฮาร์มอนิกของแรงต้นที่ค่าบิดที่ 50%



(ง) ฮาร์มอนิกของกระแสที่ค่าบิดที่ 50%

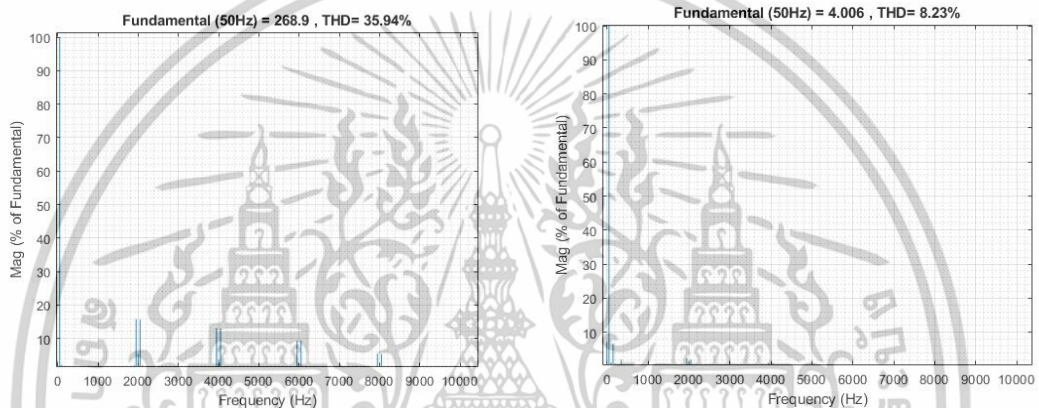
รูปที่ 6.23 การทดสอบเริ่มหมุนแบบนิ่มนวลของมอเตอร์แบบ PWM AC Chopper Soft Starter : PWMSS ที่ค่าบิดที่ 50% ที่โหลด 1.1 Nm

เอกสารนี้เป็นเอกสารที่สงวนไว้สำหรับการใช้งานเพื่อการศึกษาเท่านั้น ไม่อนุญาตให้นำไปใช้ประโยชน์ด้านการค้าไม่ว่ากรณีใดๆทั้งสิ้น อีกทั้งห้ามมิให้ดัดแปลงเนื้อหา และต้องอ้างอิงถึงเจ้าของเอกสารทุกครั้งที่มีการนำไปใช้



(ก) PWMSS แบบมีโหลด 1.1 Nm ที่คัตวถี่ 90%

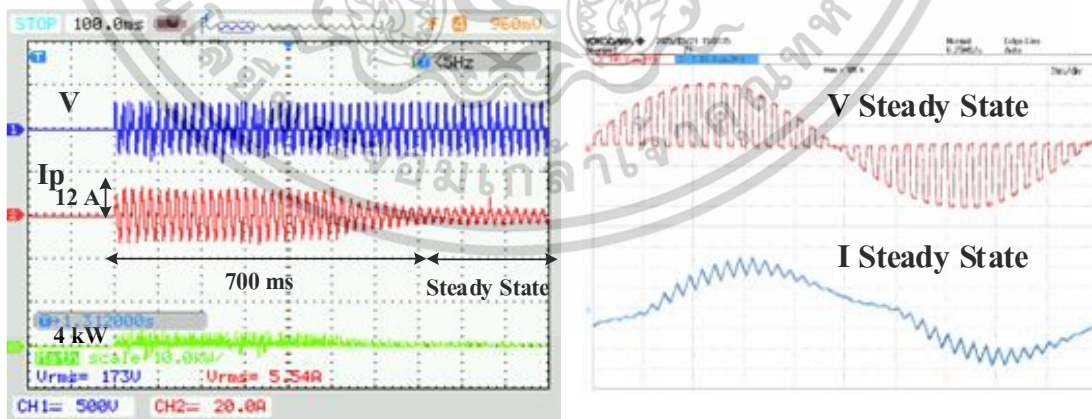
(ข) ช่วงแรงดันและกระแสคงที่



(ค) ฮาร์มอนิกของแรงดันที่คัตวถี่ 90%

(ง) ฮาร์มอนิกของกระแสที่คัตวถี่ 90%

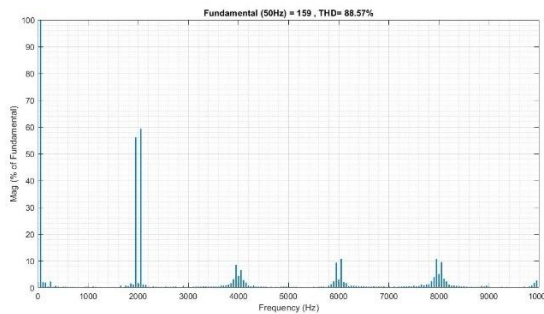
รูปที่ 6.24 การทดสอบเริ่มหมุนแบบนิมนวลของมอเตอร์แบบ PWM AC Chopper Soft Starter :  
 PWMSS ที่คัตวถี่ 90% ที่โหลด 1.1 Nm



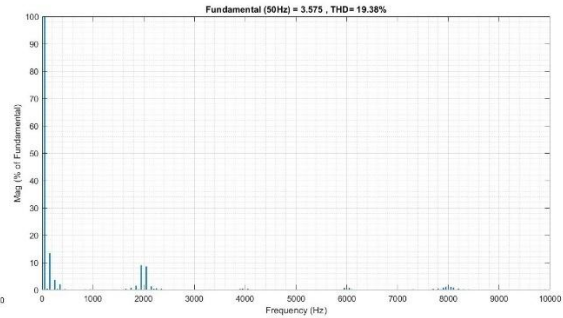
(ก) PWMSS แบบมีโหลด 1.3 Nm ที่คัตวถี่ 50%

(ข) ช่วงแรงดันและกระแสคงที่

เอกสารนี้เป็นเอกสารที่สงวนไว้สำหรับการใช้งานเพื่อการศึกษาเท่านั้น ไม่อนุญาตให้นำไปใช้ประโยชน์ด้านการค้า  
 ไม่ว่าจะกรณีใดๆทั้งสิ้น อีกทั้งห้ามมิให้ดัดแปลงเนื้อหา และต้องอ้างอิงถึงเจ้าของเอกสารทุกครั้งที่มีการนำไปใช้



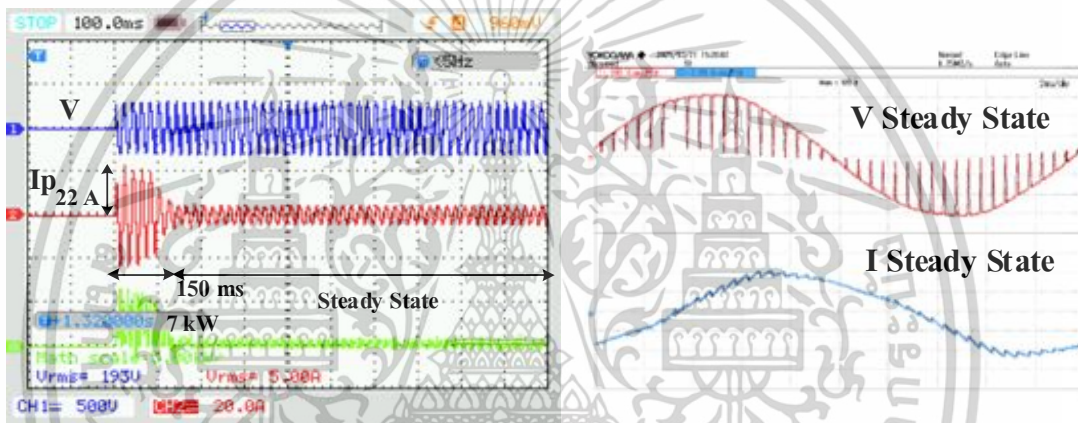
(ค) ฮาร์มอนิกของแรงดันที่ค่าบิดี้ 50%



(ง) ฮาร์มอนิกของกระแสที่ค่าบิดี้ 50%

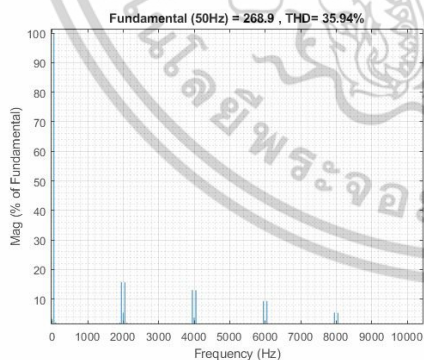
รูปที่ 6.25 การทดสอบเริ่มหมุนแบบนิ่มนวลของมอเตอร์แบบ PWM AC Chopper Soft Starter :

PWMSS ที่ค่าบิดี้ 50% ที่โหลด 1.3 Nm

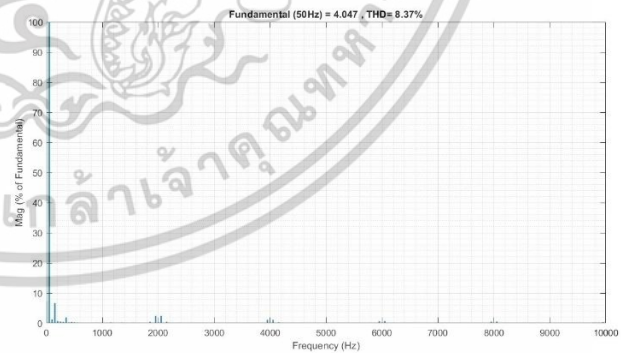


(ก) PWMSS แบบมีโหลด 1.3 Nm ที่บิดี้ 90%

(ข) ช่วงแรงดันและกระแสคงที่



(ค) ฮาร์มอนิกของแรงดันที่ค่าบิดี้ 90%

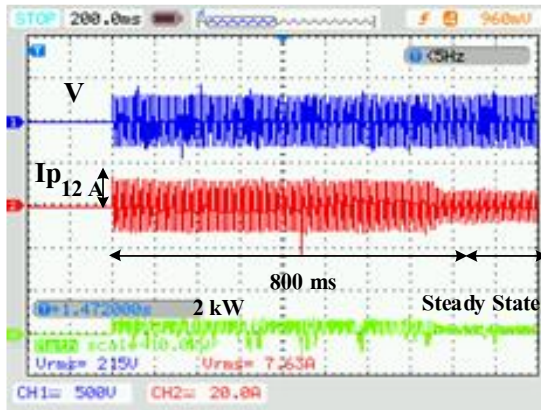


(ง) ฮาร์มอนิกของกระแสที่ค่าบิดี้ 90%

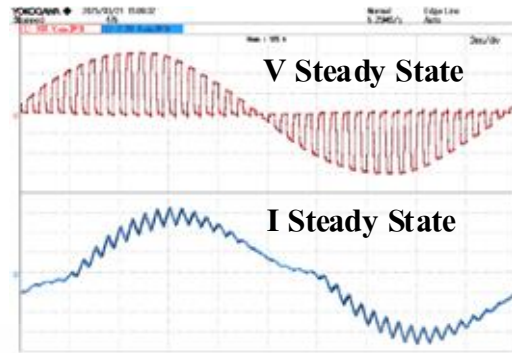
รูปที่ 6.26 การทดสอบเริ่มหมุนแบบนิ่มนวลของมอเตอร์แบบ PWM AC Chopper Soft Starter :

PWMSS ที่ค่าบิดี้ 90% ที่โหลด 1.3 Nm

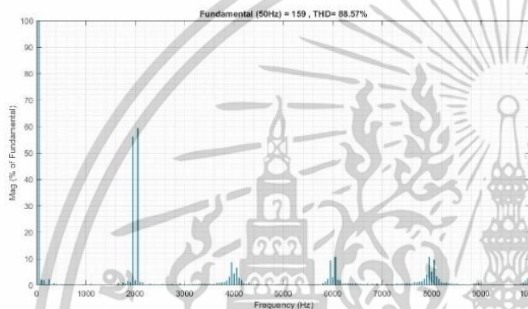
เอกสารนี้เป็นเอกสารที่สงวนไว้สำหรับการใช้งานเพื่อการศึกษาเท่านั้น ไม่อนุญาตให้นำไปใช้ประโยชน์ด้านการค้า ไม่ว่าจะกรณีใดๆทั้งสิ้น อีกทั้งห้ามมิให้ดัดแปลงเนื้อหา และต้องอ้างอิงถึงเจ้าของเอกสารทุกครั้งที่มีการนำไปใช้



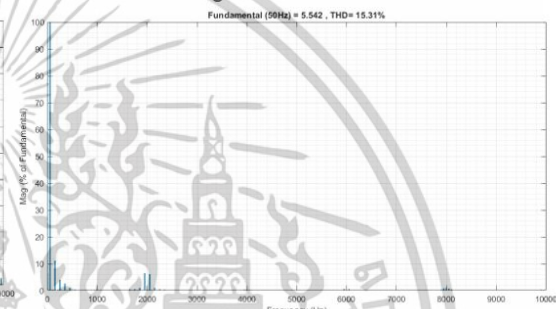
(ก) PWMSS แบบมีโหลด 1.8 Nm ที่คัตวี่ 50%



(ข) ช่วงแรงดันและกระแสคงที่

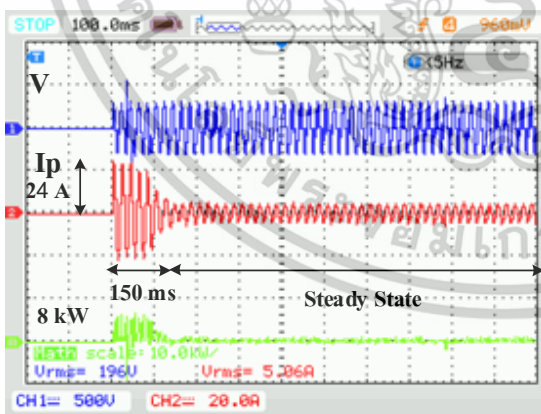


(ค) ฮาร์มอนิกของแรงดันที่คัตวี่ 50%

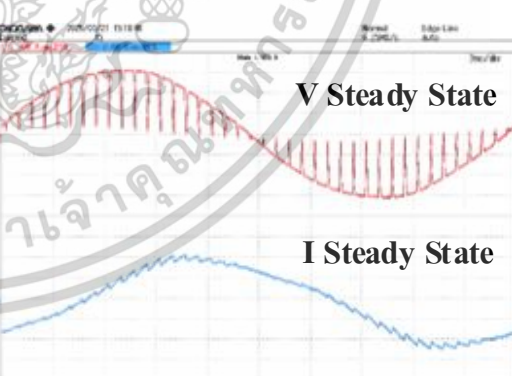


(ง) ฮาร์มอนิกของกระแสที่คัตวี่ 50%

รูปที่ 6.27 การทดสอบเริ่มหมุนแบบมีนวลของมอเตอร์แบบ PWM AC Chopper Soft Starter :  
PWMSS ที่คัตวี่ 50% ที่โหลด 1.8 Nm

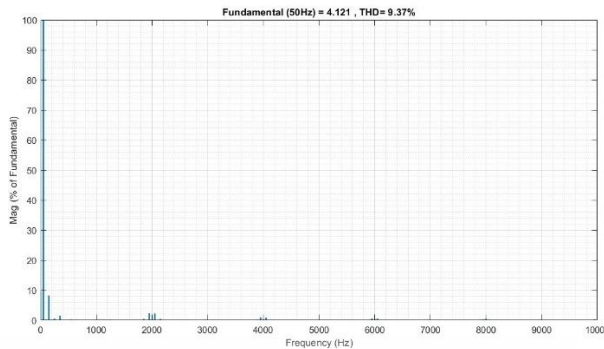
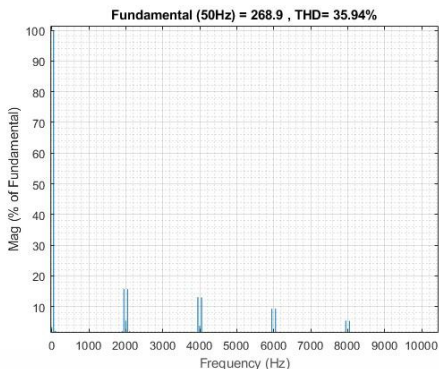


(ก) PWMSS แบบมีโหลด 1.8 Nm ที่คัตวี่ 90%



(ข) ช่วงแรงดันและกระแสคงที่

เอกสารนี้เป็นเอกสารที่สงวนไว้สำหรับการใช้งานเพื่อการศึกษาเท่านั้น ไม่อนุญาตให้นำไปใช้ประโยชน์ด้านการค้า  
ไม่ว่ากรณีใดๆทั้งสิ้น อีกทั้งห้ามมิให้ดัดแปลงเนื้อหา และต้องอ้างอิงถึงเจ้าของเอกสารทุกครั้งที่มีการนำไปใช้

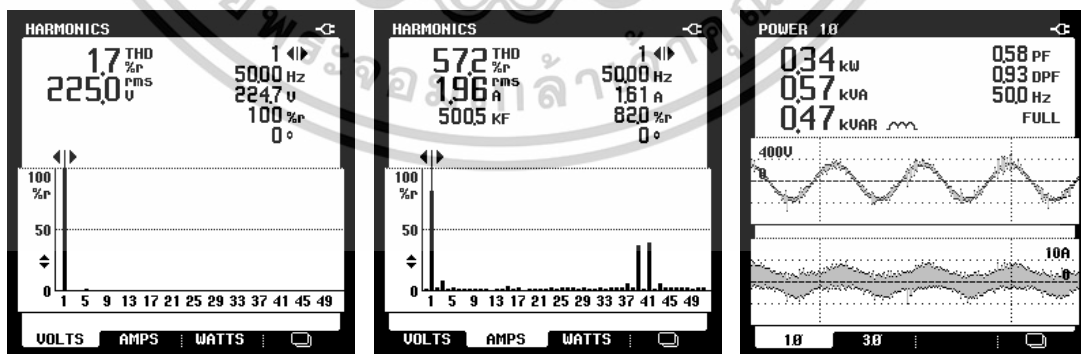


(ค) ฮาร์มอนิกของแรงดันที่ค่าดีวีดี 90%

(ง) ฮาร์มอนิกของกระแสที่ค่าดีวีดี 90%

รูปที่ 6.28 การทดสอบเริ่มหมุนแบบนิ่มนวลของมอเตอร์แบบ PWM AC Chopper Soft Starter : PWMSS ที่ค่าดีวีดี 90% ที่โหลด 1.8 Nm

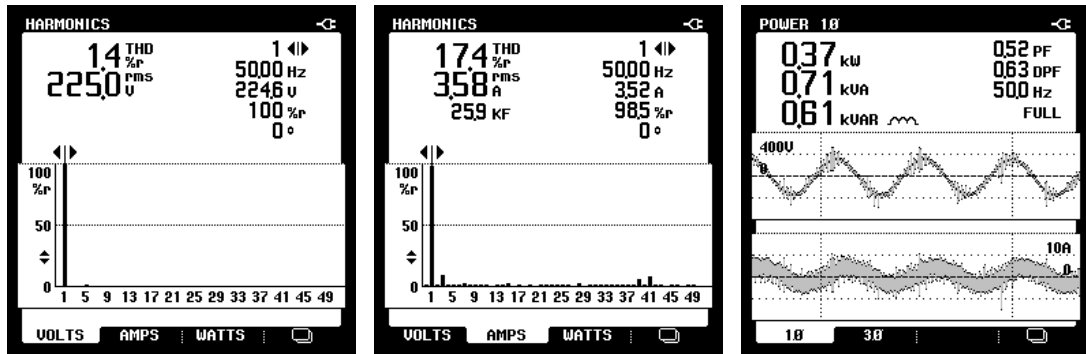
รูปที่ 6.29 - 6.34 ผลจากการวัดค่าด้านหน้าซ็อบเปอร์ที่ความถี่ 50 Hz จากเครื่องวัด Fluke รุ่น Fluke 43B/003 Power Quality Analyzer ที่จะสอดคล้องกับรูปที่ 6.23 - 6.28 สตาร์ทมอเตอร์แบบการเริ่มหมุนแบบนิ่มนวลให้กับมอเตอร์เหนี่ยวนำหนึ่งเฟสแบบคาปาซิเตอร์สตาร์ทด้วยโดยวิธีการพีดีบีแอลยูเอ็ม เอช ซ็อบเปอร์ แบบอะซิงโครนัส Asynchronous PWM AC Chopper Soft Starter : PWMSS โดยการควบคุมการป้อนกลับที่กระแสของมอเตอร์สำหรับสำหรับการเริ่มหมุนแบบนิ่มนวลและการทำงานที่ค่าดีวีดี 50% และ 90% ที่โหลด 1.1 Nm ,1.3 Nm และ 1.8 Nm เพื่อดูความสัมพันธ์ของรูปคลื่นและรูปกราฟของสัญญาณแรงดัน กระแส และค่าของฮาร์มอนิกของคลื่นสัญญาณแรงดันและกระแสที่ค่าดีวีดี 50% และ 90% ขณะทำการเริ่มต้นการหมุนและค่าพลังงานเป็นค่าพารามิเตอร์ที่วัดได้ชั่วขณะ (Instantaneous) เพื่อดูสถานะการทำงานของการทดสอบ



(ก) ฮาร์มอนิกของแรงดัน (ข) ฮาร์มอนิกของกระแส (ค) ความสัมพันธ์ของกำลังไฟฟ้า

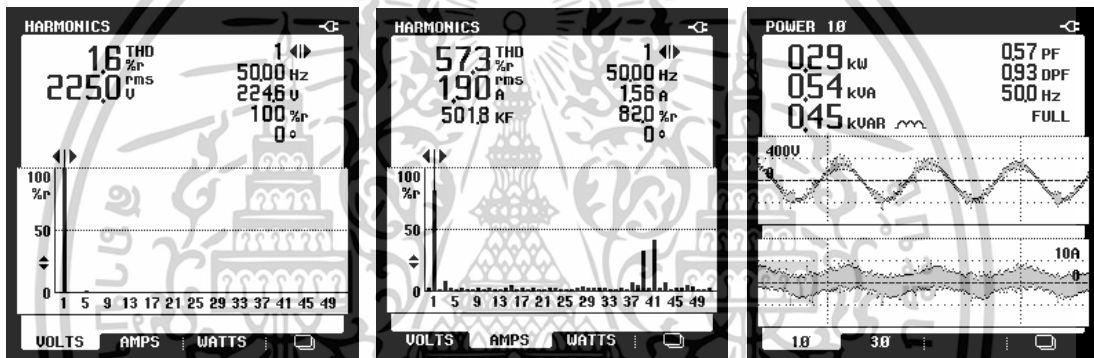
รูปที่ 6.29 การทดสอบเริ่มหมุนแบบนิ่มนวลของมอเตอร์แบบ PWM AC Chopper Soft Starter : PWMSS ที่ค่าดีวีดี 50% ที่โหลด 1.1 Nm

เอกสารนี้เป็นเอกสารที่สงวนไว้สำหรับการใช้งานเพื่อการศึกษาเท่านั้น ไม่อนุญาตให้นำไปใช้ประโยชน์ด้านการค้าไม่ว่ากรณีใดๆทั้งสิ้น อีกทั้งห้ามมิให้ดัดแปลงเนื้อหา และต้องอ้างอิงถึงเจ้าของเอกสารทุกครั้งที่มีการนำไปใช้



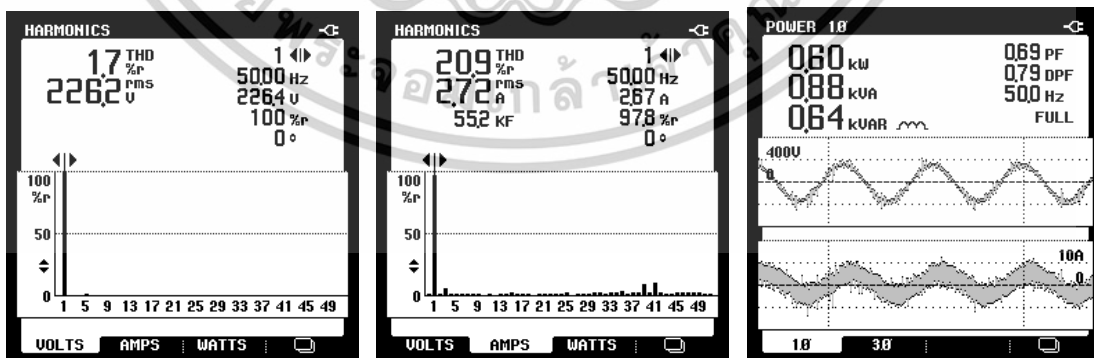
(ก) ฮาร์โมนิกของแรงดัน (ข) ฮาร์โมนิกของกระแส (ค) ความสัมพันธ์ของกำลังไฟฟ้า

รูปที่ 6.30 การทดสอบเริ่มหมุนแบบนิ่มนวลของมอเตอร์แบบ PWM AC Chopper Soft Starter :  
PWMSS ที่ค่าดิวตี้ 90% ที่โหลด 1.1 Nm



(ก) ฮาร์โมนิกของแรงดัน (ข) ฮาร์โมนิกของกระแส (ค) ความสัมพันธ์ของกำลังไฟฟ้า

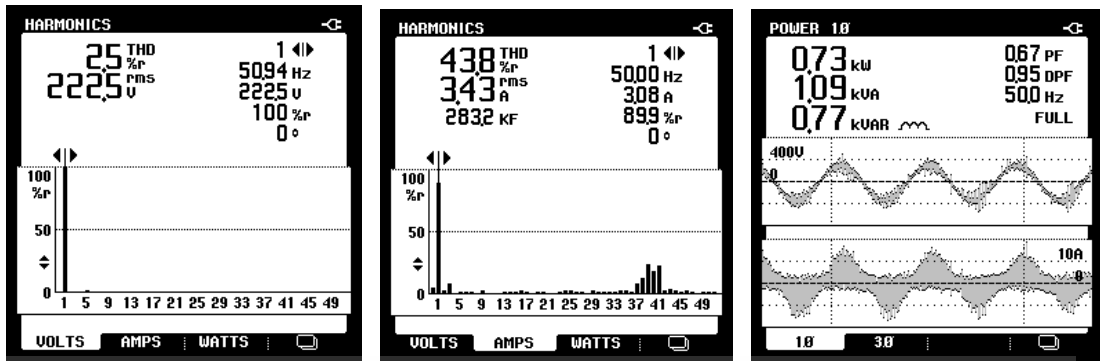
รูปที่ 6.31 การทดสอบเริ่มหมุนแบบนิ่มนวลของมอเตอร์แบบ PWM AC Chopper Soft Starter :  
PWMSS ที่ค่าดิวตี้ 50% ที่โหลด 1.3 Nm



(ก) ฮาร์โมนิกของแรงดัน (ข) ฮาร์โมนิกของกระแส (ค) ความสัมพันธ์ของกำลังไฟฟ้า รูปที่

6.32 การทดสอบเริ่มหมุนแบบนิ่มนวลของมอเตอร์แบบ PWM AC Chopper Soft Starter :  
PWMSS ที่ค่าดิวตี้ 90% ที่โหลด 1.3 Nm

เอกสารนี้เป็นเอกสารที่สงวนไว้สำหรับการใช้งานเพื่อการศึกษาเท่านั้น ไม่อนุญาตให้นำไปใช้ประโยชน์ด้านการค้า  
ไม่ว่ากรณีใดๆทั้งสิ้น อีกทั้งห้ามมิให้ดัดแปลงเนื้อหา และต้องอ้างอิงถึงเจ้าของเอกสารทุกครั้งที่มีการนำไปใช้



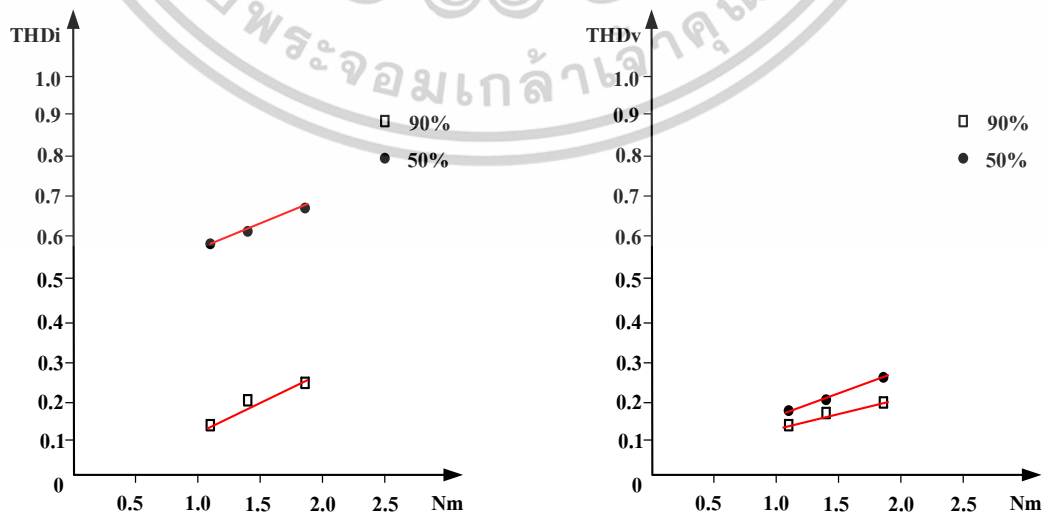
(ก) ฮาร์โมนิกของแรงดัน (ข) ฮาร์โมนิกของกระแส (ค) ความสัมพันธ์ของกำลังไฟฟ้า

รูปที่ 6.33 การทดสอบเริ่มหมุนแบบนิ่มนวลของมอเตอร์แบบ PWM AC Chopper Soft Starter :  
PWMSS ที่ค่าดิวตี้ 50% ที่โหลด 1.8 Nm



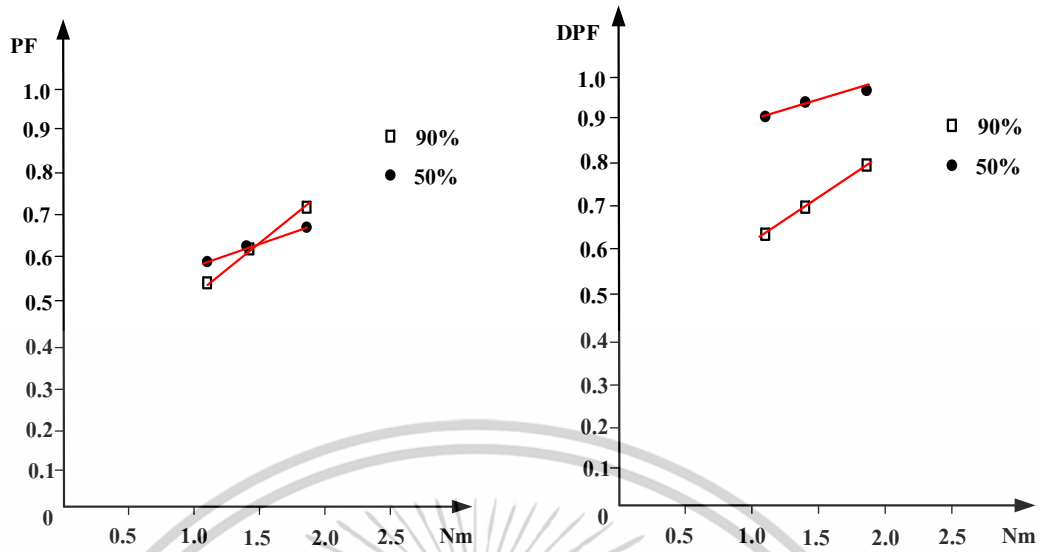
(ก) ฮาร์โมนิกของแรงดัน (ข) ฮาร์โมนิกของกระแส (ค) ความสัมพันธ์ของกำลังไฟฟ้า

รูปที่ 6.34 การทดสอบเริ่มหมุนแบบนิ่มนวลของมอเตอร์แบบ PWM AC Chopper Soft Starter :  
PWMSS ที่ค่าดิวตี้ 90% ที่โหลด 1.8 Nm

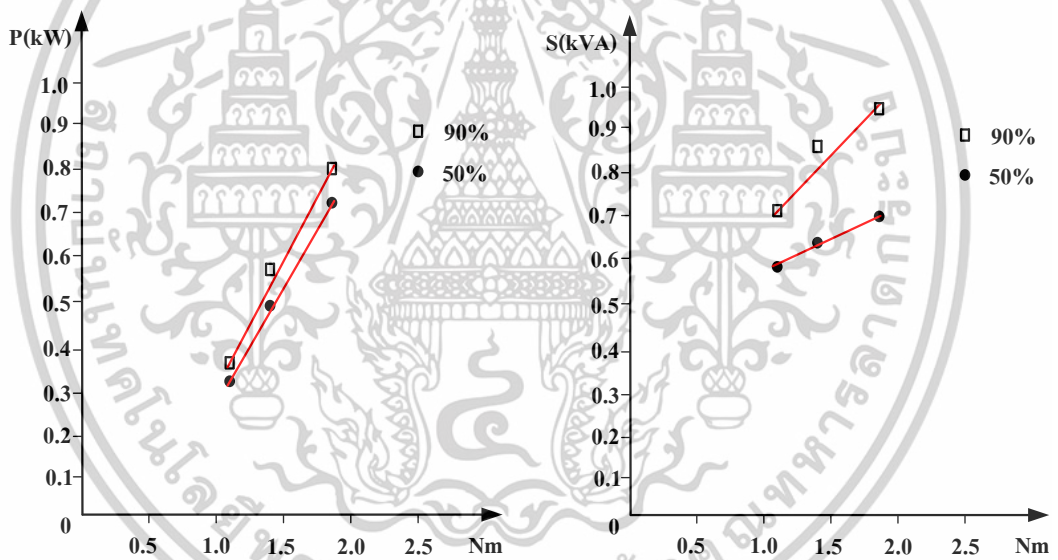


(ก) ฮาร์โมนิกของกระแสที่ค่าดิวตี้ 50%-90% (ข) ฮาร์โมนิกของแรงดันที่ค่าดิวตี้ 50%-90%

เอกสารนี้เป็นเอกสารที่สงวนไว้สำหรับการใช้งานเพื่อการศึกษาเท่านั้น ไม่อนุญาตให้นำไปใช้ประโยชน์ด้านการค้า ไม่ว่าจะกรณีใดๆทั้งสิ้น อีกทั้งห้ามมิให้ดัดแปลงเนื้อหา และต้องอ้างอิงถึงเจ้าของเอกสารทุกครั้งที่มีการนำไปใช้

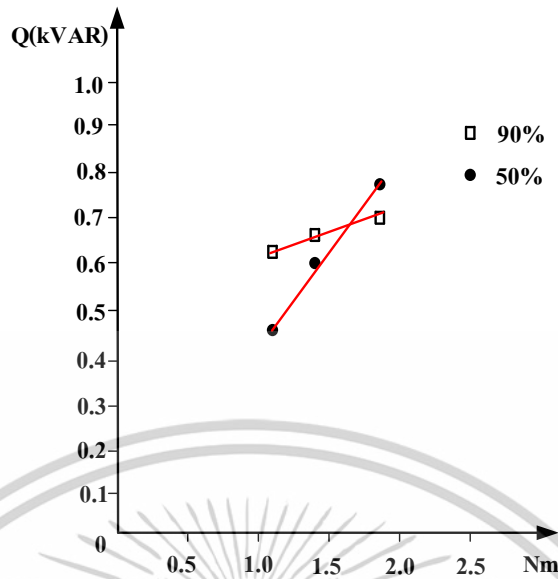


(ค) ตัวประกอบกำลังที่ดิวตี้ 50%-90% (ง) ตัวประกอบกำลังการแทนที่ที่ดิวตี้ 50%-90%



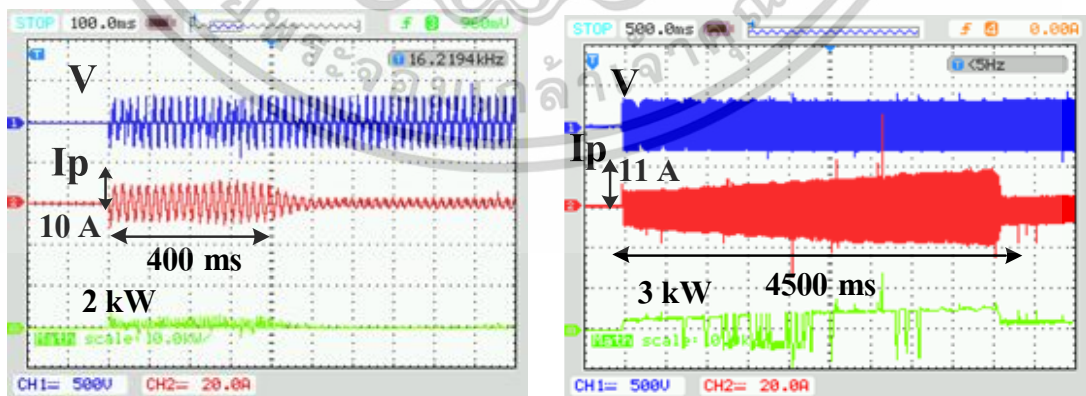
(จ) กำลังไฟฟ้าจริงที่ดิวตี้ 50%-90% (ฉ) กำลังไฟฟ้าปรากฏที่ดิวตี้ 50%-90%

เอกสารนี้เป็นเอกสารที่สงวนไว้สำหรับการใช้งานเพื่อการศึกษาเท่านั้น ไม่อนุญาตให้นำไปใช้ประโยชน์ด้านการค้า  
ไม่ว่ากรณีใดๆทั้งสิ้น อีกทั้งห้ามมิให้ดัดแปลงเนื้อหา และต้องอ้างอิงถึงเจ้าของเอกสารทุกครั้งที่มีการนำไปใช้



(ข) กำลังไฟฟ้ารีแอกทีฟที่ดิวตี้ 50%-90%

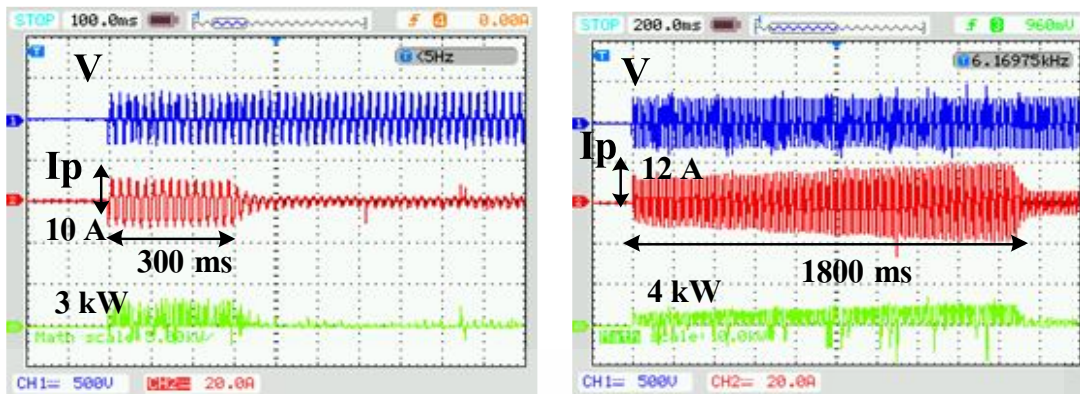
**รูปที่ 6.35** กราฟความสัมพันธ์จากการทดสอบเริ่มหมุนแบบนิ่มนวลของมอเตอร์แบบ PWM AC Chopper Soft Starter : PWMSS ที่ค่าดิวตี้ 50% และ 90% ที่โหลด 1.1 Nm ,1.3 Nm, 1.8 Nm เป็นการทดสอบสตาร์ทมอเตอร์แบบการเริ่มหมุนแบบนิ่มนวลให้กับมอเตอร์เหนี่ยวนำหนึ่งเฟสแบบคาปาซิเตอร์สตาร์ทด้วยวิธีการพิคอัพเบิ้ลยูเอ็ม เอซี ซ็อบเปอร์ แบบอะซิงโครนัส Asynchronous PWM AC Chopper Soft Starter : PWMSS โดยการควบคุมการป้อนกลับที่กระแสของมอเตอร์สำหรับการเริ่มหมุนแบบนิ่มนวลที่ค่าควบคุมกระแสพิคอัพ 200%, 250% ,300%, 350% และ 400% โดยการเปรียบเทียบไม่มีโหลดและแบบมีโหลดที่ 1.1 Nm เพื่อดูความสัมพันธ์ของค่าควบคุมกระแสพิคอัพและระยะเวลาขณะทำการเริ่มต้นการหมุนและค่าพลังงานเป็นค่าพารามิเตอร์ที่วัดได้ชั่วขณะ (Instantaneous) ซึ่งจะได้กล่าวในลำดับต่อไป



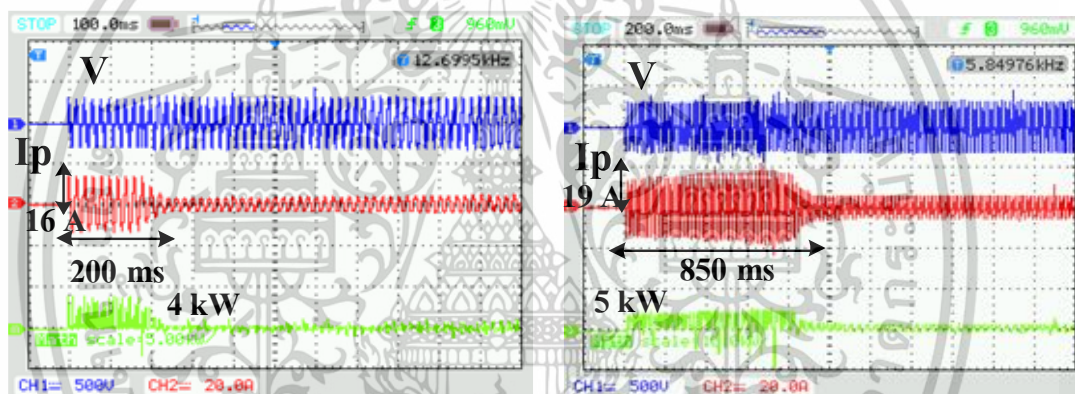
(ก) PWMSS ควบคุมกระแสพิคอัพ 200% ไม่มีโหลด (ข) PWMSS ควบคุมกระแสพิคอัพ 200% มีโหลด

**รูปที่ 6.36** การเริ่มหมุนมอเตอร์แบบ PWM AC Chopper Soft Starter : PWMSS ที่ค่าควบคุม

กระแสพิคอัพ 200% แบบไม่มีโหลดและแบบมีโหลด 1.1 Nm เอกสารนี้เป็นเอกสารที่สงวนไว้สำหรับการใช้งานเพื่อการศึกษาเท่านั้น ไม่อนุญาตให้นำไปใช้ประโยชน์ด้านการค้า ไม่ว่าจะกรณีใดๆทั้งสิ้น อีกทั้งห้ามมิให้ดัดแปลงเนื้อหา และต้องอ้างอิงถึงเจ้าของเอกสารทุกครั้งที่มีการนำไปใช้

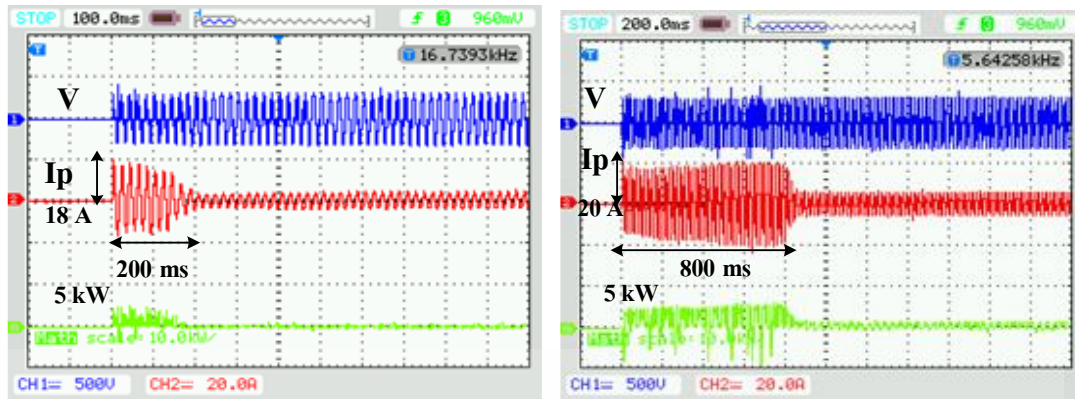


(ก) PWMSS ควบคุมกระแสพิกัด 250% ไม่มีโหลด (ข) PWMSS ควบคุมกระแสพิกัด 250% มีโหลด  
รูปที่ 6.37 การเริ่มหมุนมอเตอร์แบบ PWM AC Chopper Soft Starter : PWMSS ที่ค่าควบคุม  
กระแสพิกัด 250% แบบไม่มีโหลดและแบบมีโหลด 1.1 Nm

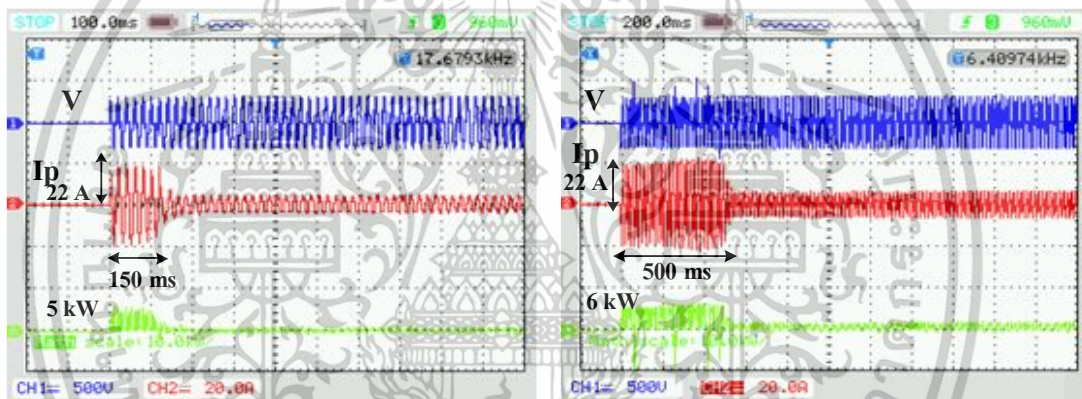


(ก) PWMSS ควบคุมกระแสพิกัด 300% ไม่มีโหลด (ข) PWMSS ควบคุมกระแสพิกัด 300% มีโหลด  
รูปที่ 6.38 การเริ่มหมุนมอเตอร์แบบ PWM AC Chopper Soft Starter : PWMSS ที่ค่าควบคุม  
กระแสพิกัด 300% แบบไม่มีโหลดและแบบมีโหลด 1.1 Nm

เอกสารนี้เป็นเอกสารที่สงวนไว้สำหรับการใช้งานเพื่อการศึกษาเท่านั้น ไม่อนุญาตให้นำไปใช้ประโยชน์ด้านการค้า  
ไม่ว่ากรณีใดๆทั้งสิ้น อีกทั้งห้ามมิให้ดัดแปลงเนื้อหา และต้องอ้างอิงถึงเจ้าของเอกสารทุกครั้งที่มีการนำไปใช้



(ก) PWMSS ควบคุมกระแสพิกัด 350% ไม่มีโหลด (ข) PWMSS ควบคุมกระแสพิกัด 350% มีโหลด  
รูปที่ 6.39 การเริ่มหมุนมอเตอร์แบบ PWM AC Chopper Soft Starter : PWMSS ที่ค่าควบคุม  
กระแสพิกัด 350% แบบไม่มีโหลดและแบบมีโหลด 1.1 Nm



(ก) PWMSS ควบคุมกระแสพิกัด 400% ไม่มีโหลด (ข) PWMSS ควบคุมกระแสพิกัด 400% มีโหลด  
รูปที่ 6.40 การเริ่มหมุนมอเตอร์แบบ PWM AC Chopper Soft Starter : PWMSS ที่ค่าควบคุม  
กระแสพิกัด 400% แบบไม่มีโหลดและแบบมีโหลด 1.1 Nm

เอกสารนี้เป็นเอกสารที่สงวนไว้สำหรับการใช้งานเพื่อการศึกษาเท่านั้น ไม่อนุญาตให้นำไปใช้ประโยชน์ด้านการค้า  
ไม่ว่ากรณีใดๆทั้งสิ้น อีกทั้งห้ามมิให้ดัดแปลงเนื้อหา และต้องอ้างอิงถึงเจ้าของเอกสารทุกครั้งที่มีการนำไปใช้

## บทที่ 7

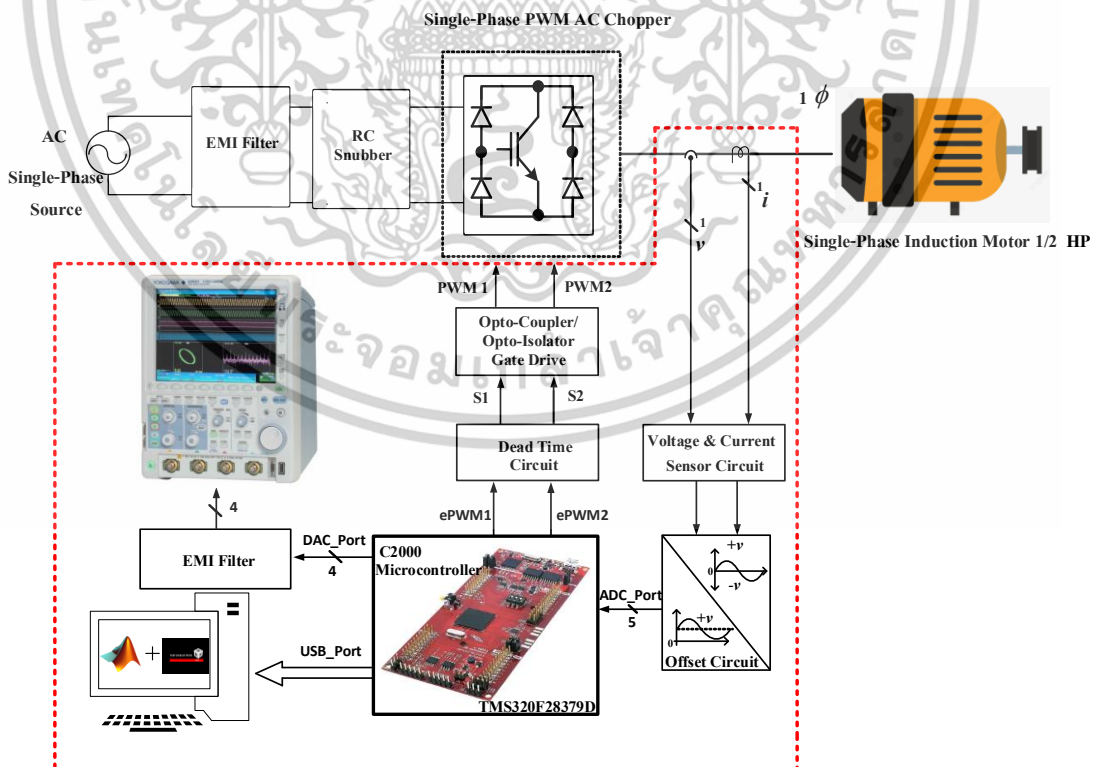
# สรุปผลการวิจัยและข้อเสนอแนะการควบคุมการเริ่มหมุนแบบ นิ่มนวลให้กับมอเตอร์เหนี่ยวนำหนึ่งเฟสด้วยการควบคุมกระแส เริ่มต้นโดยใช้เทคนิคอะซิงโครนัส พัดเบิ้ลยูเอ็ม เอช ซี ซ็อบเปอร์

### 7.1 สรุปผลการวิจัยการควบคุมการเริ่มหมุนแบบนิ่มนวลให้กับมอเตอร์เหนี่ยวนำหนึ่งเฟสด้วยการควบคุมกระแสเริ่มต้นโดยใช้เทคนิคอะซิงโครนัส พัดเบิ้ลยูเอ็ม เอช ซี ซ็อบเปอร์

สำหรับวิทยานิพนธ์ในงานวิจัยเล่มนี้ได้นำเสนอการออกแบบวงจรควบคุมและวงจรกำลังสำหรับการควบคุมการเริ่มหมุนแบบนิ่มนวลให้กับมอเตอร์เหนี่ยวนำหนึ่งเฟสด้วยการควบคุมกระแสเริ่มต้นโดยใช้เทคนิคอะซิงโครนัส พัดเบิ้ลยูเอ็ม เอช ซี ซ็อบเปอร์ (Soft Start Control for a Single-Phase Induction Motor With Starting Current Control Using an Asynchronous PWM AC Chopper Technique) ซึ่งจะเป็นวิธีการควบคุมระบบการเริ่มหมุนแบบนิ่มนวลโดยวิธีการพัดเบิ้ลยูเอ็ม เอช ซี ซ็อบเปอร์ แบบอะซิงโครนัส Asynchronous PWM AC Chopper Soft Starter : PWMSS ที่นำเสนอสำหรับการควบคุมมอเตอร์เหนี่ยวนำหนึ่งเฟสแบบคาปาซิเตอร์สตาร์ทขณะเริ่มหมุนแบบนิ่มนวล โดยมีหลักการทำงานคือใช้สวิตช์แบบสองทิศทางในการสร้างวงจรกำลังซึ่งจะเป็นวิธีการที่นำเสนอที่สามารถสร้างวงจรควบคุมได้ง่ายมีความสะดวกและไม่ซับซ้อนเหมือนวิธีการเดิมที่มีการควบคุมมอเตอร์เหนี่ยวนำหนึ่งเฟสแบบคาปาซิเตอร์สตาร์ทขณะเริ่มหมุนแบบนิ่มนวลโดยวิธีการพัดเบิ้ลยูเอ็ม เอช ซี ซ็อบเปอร์ แบบซิงโครนัส (Synchronous PWM AC Chopper) ที่ผ่านมากล่าวคือใช้สัญญาณเพียงหนึ่งคู่ไปควบคุมวงจรถูกกำลังหนึ่งเฟสซึ่งสัญญาณที่สร้างขึ้นไม่จำเป็นต้องให้ซิงโครไนซ์กับแหล่งจ่ายไฟกระแสสลับหนึ่งเฟสของการไฟฟ้า นอกจากนี้แล้วรูปคลื่นกระแสของมอเตอร์ยังเข้าใกล้รูปคลื่นไซน์ซึ่งจะช่วยลดปัญหาทางด้านคุณภาพไฟฟ้าได้ดีขึ้น ด้วยข้อดีที่ได้กล่าวมานี้เองของวิธีการควบคุมที่นำเสนอยังสามารถปรับขนาดแรงดันตั้งแต่เริ่มต้นไปจนถึงสภาวะคงตัวได้แบบเชิงเส้นนั้นทำให้สเตเตอร์ฟลักซ์มีความเป็นเชิงเส้นตามไปด้วย ซึ่งจะส่งผลดีต่อแรงบิดแม่เหล็กของมอเตอร์มีความราบเรียบทำให้มอเตอร์เริ่มหมุนออกตัวได้นิ่มนวลกว่าวิธีการเดิมผลจากการจำลองในบทที่ 5 และผลจากการทดสอบในบทที่ 6 สามารถพิสูจน์การยืนยันได้อย่างชัดเจนและสิ่งที่จะเพิ่มเติมคือวิธีการที่ได้นำเสนอสามารถกำหนดแรงดันเริ่มต้นและค่าเวลาความได้ง่ายมีความเป็นเชิงเส้นดีกว่าวิธีการเดิม กล่าวคือทั้งเป็นการช่วยยืดอายุของมอเตอร์ ไม่ลดงานที่เคยทำอยู่โดยมอเตอร์ยังคงทำงานที่ความเร็วรอบคงที่ เป็นอุปกรณ์เสริมโดยไม่จำเป็นต้องเปลี่ยนมอเตอร์ หรือขั้นตอนการผลิต ลดการสูญเสียที่เป็นภาระค่าใช้จ่ายโดยไม่จำเป็น มีระบบ Soft Start ทำให้ค่าบำรุงรักษา

เอกสารนี้เป็นเอกสารที่สงวนไว้สำหรับการใช้งานเพื่อการศึกษาเท่านั้น ไม่อนุญาตให้นำไปใช้ประโยชน์ด้านการค้าไม่ว่ากรณีใดๆทั้งสิ้น อีกทั้งห้ามมิให้ตัดแปลงเนื้อหา และต้องอ้างอิงถึงเจ้าของเอกสารทุกครั้งที่มีการนำไปใช้

มอเตอร์และระบบส่งกำลังลดลง ระบบ Soft Start สามารถใช้แทน Star Delta Start ได้ทันที และลดความเครียด การสั่นสะเทือนและเสียงที่เกิดจากการทำงานของมอเตอร์ และทำให้สามารถนำไปประยุกต์ใช้ในงานวิจัยและการพัฒนาต่อยอดไปสู่ลักษณะงานเชิงพาณิชย์ได้ด้วย รูปที่ 7.1 - 7.2 แสดงให้เห็นถึงการจำลองและการทดสอบระบบควบคุมการเริ่มหมุนแบบนิมนวลโดยวิธีการพีดับเบิ้ลยูเอ็มเอช ซี อีซี แบบอะซิงโครนัส Asynchronous PWM AC Chopper Soft Starter : PWMSS ซึ่งจะเห็นว่า การควบคุมการเริ่มหมุนแบบนิมนวลโดยวิธี PWMSS ที่นำเสนอสามารถแก้ปัญหาทางความผิดเพี้ยนของรูปคลื่นกระแสได้กล่าวคือรูปคลื่นกระแสที่เกิดจากวิธีการนี้จะเข้าใกล้รูปคลื่นไซน์ ในขณะที่รูปคลื่นแรงดันมีค่าเพียงฮาร์มอนิกอันดับสูงตามความถี่สวิตซ์ซึ่งซึ่งไม่ส่งผลกระทบต่อการทำงานของมอเตอร์ ในขณะที่การกำหนดแรงดันเริ่มต้นสามารถทำได้ง่ายโดยการปรับค่าดิวิตีเรโธซึ่งสามารถคำนวณได้จากสมการที่ไม่ซับซ้อนและนอกจากนี้แล้วขนาดแรงดันที่ถูกปรับตามแกนเวลานั้นเป็นเชิงเส้นในงานวิจัยนี้ได้ประยุกต์ใช้วงจรสวิตซ์สองทิศทางนำมาต่อเป็นวงจรกำลังหนึ่งเฟสเพื่อใช้ควบคุมมอเตอร์เหนี่ยวนำหนึ่งเฟสแบบคาปาซิเตอร์เริ่มหมุนให้หมุนแบบนิมนวลซึ่งสัญญาณที่ใช้ในการควบคุมจะใช้สัญญาณเพียงหนึ่งคู่ในการควบคุมวงจรกำลังหนึ่งเฟสและสัญญาณที่สร้างขึ้นไม่จำเป็นต้องซิงโครไนซ์กับสัญญาณที่แหล่งจ่ายหนึ่งเฟสและจากการจำลองการควบคุมการเริ่มหมุนให้กับมอเตอร์หนึ่งเฟสแบบนิมนวลระหว่างวิธีการเดิมกับวิธีการใหม่ที่น่าสนใจสามารถกำหนดเวลาความชันให้ยาวนานขึ้นไม่ส่งผลต่อรูปคลื่นกระแสมอเตอร์และนั่นทำให้แรงบิดแม่เหล็กมีความราบเรียบทำให้มอเตอร์มีการเริ่มหมุนแบบนิมนวลมากกว่าวิธีการเดิมสามารถยืนยันได้จากผลทดสอบ



รูปที่ 7.1 การจำลองระบบควบคุมการเริ่มหมุนแบบนิมนวลโดยวิธีการพีดับเบิ้ลยูเอ็มเอช ซี อีซี แบบอะซิงโครนัส Asynchronous PWM AC Chopper Soft Starter : PWMSS

เอกสารนี้เป็นเอกสารที่สงวนไว้สำหรับการใช้งานเพื่อการศึกษาเท่านั้น เมื่ออนุญาตให้เข้าไปใช้ประโยชน์ด้านการค้า ไม่ว่าจะกรณีใดๆทั้งสิ้น อีกทั้งห้ามมิให้ดัดแปลงเนื้อหา และต้องอ้างอิงถึงเจ้าของเอกสารทุกครั้งที่มีการนำไปใช้

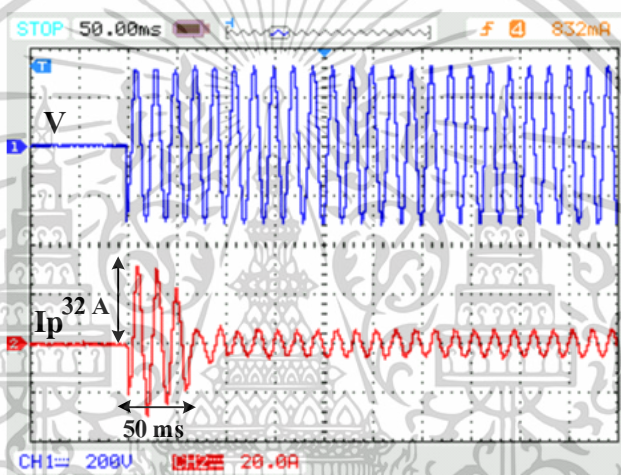


รูปที่ 7.2 การทดสอบระบบควบคุมการเริ่มหมุนแบบนิ่มนวลโดยวิธีการพีดับเบิลยูเอ็ม เอช ซี ซ็อบเปอร์ แบบอะซิงโครนัส Asynchronous PWM AC Chopper Soft Starter : PWMSS

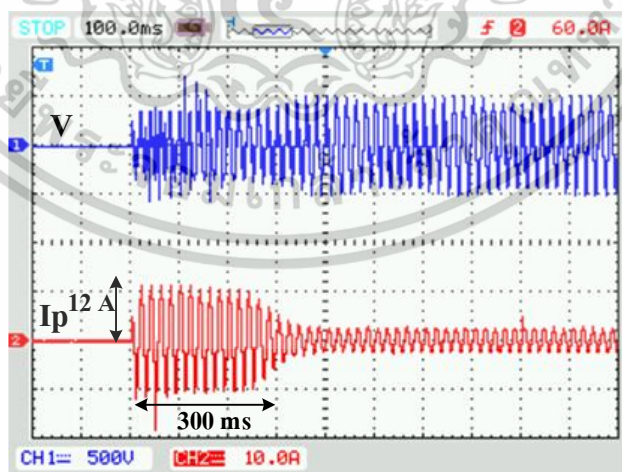
การเริ่มหมุนมอเตอร์โดยตรงหรือแบบ Direct On Line : DOL ดังรูปที่ 7.3 จากรูปจะเห็นว่ามอเตอร์ขณะเริ่มหมุนจะมีค่ากระแสพิคที่ 32 แอมป์หรือกระแสอาเอ็มเอส 22 แอมป์ ซึ่งเกินจากพิคัดของมอเตอร์ (พิคัดกระแสพิคของมอเตอร์ 4.3 แอมป์) ประมาณ 7 เท่า แต่ใช้เวลาในการเริ่มหมุนสั้นที่ 50ms เป็นการทดสอบแบบไม่มีโหลดโดยการตั้งสเกลความเร็ว 50ms/ช่อง สเกลแรงดัน CH1=200V/div สเกลกระแส CH2 = 20A/div และเปรียบเทียบกับวิธีการเริ่มหมุนมอเตอร์แบบนิ่มนวลหรือแบบวิธีการพีดับเบิลยูเอ็ม เอช ซี ซ็อบเปอร์ แบบอะซิงโครนัส Asynchronous PWM AC Chopper Soft Starter : PWMSS ส่วนค่าควบคุมกระแสพิคัด 200% ดังรูปที่ 7.4 จากรูปจากเห็นว่ามอเตอร์ขณะเริ่มหมุนจะมีค่ากระแสพิคที่ 12 แอมป์หรือกระแสอาเอ็มเอส 8.4 แอมป์ ใช้เวลาที่ 300ms ซึ่งจะใช้เวลานานกว่าแบบเริ่มหมุนแบบ DOL แบบไม่มีโหลดโดยการตั้งสเกลความเร็ว 100ms/ช่อง สเกลแรงดัน CH1=500V/div สเกลกระแส CH2 = 10A/div ส่วนค่าควบคุมกระแสพิคัด 200% ดังรูปที่ 7.5 จากรูปจากเห็นว่ามอเตอร์ขณะเริ่มหมุนจะมีค่ากระแสพิคที่ 12 แอมป์หรือกระแสอาเอ็มเอส 8.4 แอมป์ แบบมีโหลด 1.1 Nm ใช้เวลา 500ms โดยการตั้งสเกลความเร็ว 100ms/ช่อง สเกลแรงดัน CH1=500V/div สเกลกระแส CH2 = 10A/div และเทียบกับส่วนค่า

เอกสารนี้เป็นเอกสารที่สงวนไว้สำหรับการใช้งานเพื่อการศึกษาเท่านั้น เมื่อนุญาติให้นำไปใช้ประโยชน์ด้านการค้าไม่ว่ากรณีใดๆทั้งสิ้น อีกทั้งห้ามมิให้ดัดแปลงเนื้อหา และต้องอ้างอิงถึงเจ้าของเอกสารทุกครั้งที่มีการนำไปใช้

ควบคุมกระแสพิกัด 150% ดังรูปที่ 7.6 จากรูปจากเห็นได้ว่ามอเตอร์ขณะเริ่มหมุนจะมีค่ากระแสพิกัดที่ 8 แอมป์หรือกระแสอาเอ็มเอส 5.6 แอมป์ แบบมีโหลด 1.1 Nm ใช้เวลา 700ms โดยการตั้งสเกลความเร็ว 100ms/ช่อง สเกลแรงดัน CH1=500V/div สเกลกระแส CH2 = 10A/div ตามลำดับจากการทดสอบระบบจริงที่ได้สร้างฮาร์ดแวร์ทั้งใน DOL ใช้กระแสพิกัดเริ่มหมุนที่ 32 แอมป์และ PWMSS ใช้กระแสพิกัดเริ่มหมุนที่ 12 แอมป์ สามารถลดกระแสเริ่มหมุนลดลงได้ถึงประมาณ 60-70% ของกระแสพิกัดของมอเตอร์ และที่น่าเสนอทั้งสองวิธีการนี้จะเห็นว่าผลการทดสอบช่วยยืนยันถูกต้องของวิธีการที่น่าเสนอว่าสามารถควบคุมการทำงานของมอเตอร์ให้ทำการเริ่มหมุนแบบนี้มีผลได้จริงโดยผลที่ได้มีความสอดคล้องและมีทิศทางไปในทางเดียวกันกับผลจากการจำลองเช่นรูปคลื่นกระแสมอเตอร์โดยเฉพาะอย่างยิ่งกรณีที่มีการกำหนดค่าความชันยาวนานเกินไปตามแสดงในรูปที่ 7.3 - รูปที่ 7.6 ตามลำดับ

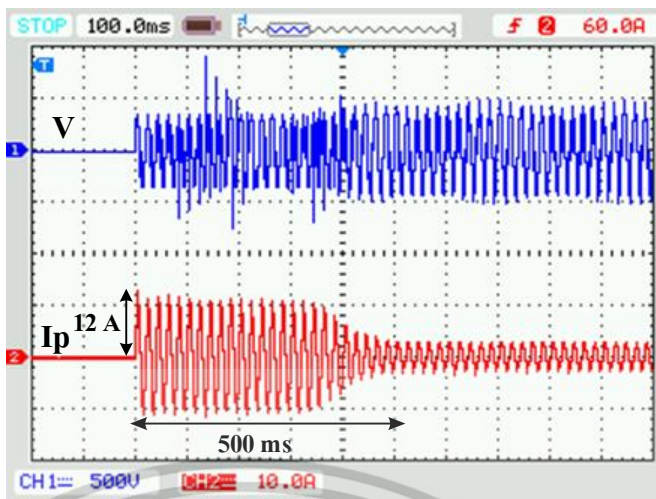


รูปที่ 7.3 การเริ่มหมุนมอเตอร์โดยตรง Direct On Line : DOL แบบไม่มีโหลด

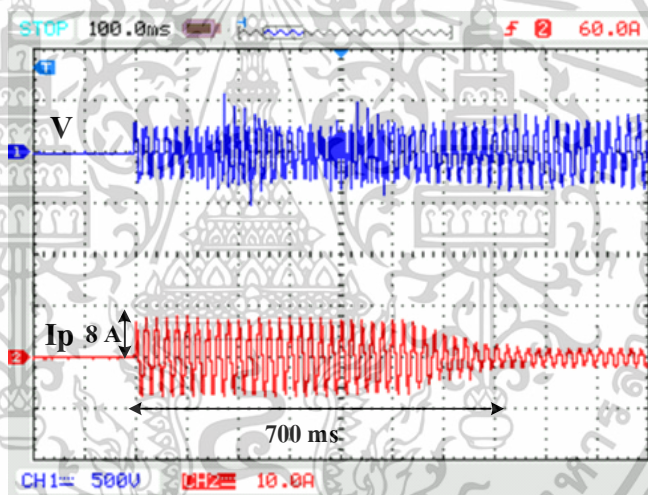


รูปที่ 7.4 การเริ่มหมุนมอเตอร์แบบ PWM AC Chopper Soft Starter : PWMSS ที่ค่าควบคุมกระแสพิกัด 200% แบบไม่มีโหลด

เอกสารนี้เป็นเอกสารที่สงวนไว้สำหรับการใช้งานเพื่อการศึกษาเท่านั้น ไม่อนุญาตให้นำไปใช้ประโยชน์ด้านการค้าไม่ว่ากรณีใดๆทั้งสิ้น อีกทั้งห้ามมิให้ดัดแปลงเนื้อหา และต้องอ้างอิงถึงเจ้าของเอกสารทุกครั้งที่มีการนำไปใช้



รูปที่ 7.5 การเริ่มหมุนมอเตอร์แบบ PWM AC Chopper Soft Starter : PWMSS ที่ค่าควบคุม  
กระแสฟักัด 200% แบบมีโหลด 1.1 Nm



รูปที่ 7.6 การเริ่มหมุนมอเตอร์แบบ PWM AC Chopper Soft Starter : PWMSS ที่ค่าควบคุม  
กระแสฟักัด 150% แบบมีโหลด 1.1 Nm

## 7.2 ข้อเสนอแนะสำหรับงานวิจัยและการต่อยอดพัฒนา

สำหรับงานวิจัยในวิทยานิพนธ์นี้เป็นการนำเสนอการเริ่มหมุนแบบเปรียบเทียบด้วยวิธีการดั้งเดิมคือ 1. การต่อแหล่งจ่ายเข้ามอเตอร์โดยตรงหรือการสตาร์ทมอเตอร์โดยตรง Direct On Line : DOL) หรือ Direct Online Starting) 2. ใช้หลักการควบคุมเฟส (Phase Control) ส่วนมากใช้ไทรสเตอร์ต่อสลับท้าวท้ายแล้วควบคุมมุมจุดชนวน และวิธีที่ 3. การควบคุมการเริ่มหมุนแบบนิ่มนวล (Soft Start Controlling หรือ Phase Control Soft Starter : PCSS) ที่ได้นำเสนอในการเริ่มหมุนแบบนิ่มนวลให้กับมอเตอร์เหนี่ยวนำหนึ่งเฟสแบบคาปาซิเตอร์สตาร์ทด้วยโดยวิธีการพีดับเบิลยูเอ็ม

เอชซี ซ็อบเปอร์ แบบอะซิงโครนัส Asynchronous PWM AC Chopper Soft Starter.: PWMSS เอกสารนี้เป็นเอกสารที่สงวนไว้สำหรับการใช้งานเพื่อการศึกษาเท่านั้น เมื่อนุญาตให้นำไปเผยแพร่ขึ้นด้านการค้า

ไม่ว่ากรณีใดๆทั้งสิ้น อีกทั้งห้ามมิให้ดัดแปลงเนื้อหา และต้องอ้างอิงถึงเจ้าของเอกสารทุกครั้งที่มีการนำไปใช้



## บรรณานุกรม

- [1] โกวิท ภูฉลาด และคณะ. 2555. “เทคนิคการปรับแรงดันไฟฟ้ากระแสสลับด้วยพัลส์วิดมอดูเลตชั่น เอซี ซ็อบเปอร์ สำหรับการประหยัดพลังงานในมอเตอร์เหนี่ยวนำหนึ่งเฟส.” หน้า 88. ใน **การประชุมวิชาการเครือข่ายพลังงานแห่งประเทศไทย ครั้งที่ 8**. มหาสารคาม : คณะวิศวกรรมศาสตร์ มหาวิทยาลัยมหาสารคาม.
- [2] โกวิท ภูฉลาด และคณะ. 2558. “การควบคุมพัลส์วิดมอดูเลตชั่น เอซี ซ็อบเปอร์ ด้วยไมโครคอนโทรลเลอร์สำหรับการประหยัดพลังงานในมอเตอร์เหนี่ยวนำหนึ่งเฟส.” หน้า 774-777. ใน **การประชุมวิชาการเครือข่ายวิศวกรรมไฟฟ้า กลุ่มมหาวิทยาลัยเทคโนโลยีราชมงคลและสถาบันเทคโนโลยีปทุมวัน ครั้งที่ 7**. กรุงเทพฯ : คณะวิศวกรรมศาสตร์ มหาวิทยาลัยเทคโนโลยีราชมงคลกรุงเทพ.
- [3] โกวิท ภูฉลาด และคณะ. 2560. “การประเมินสมรรถนะมอเตอร์เหนี่ยวนำสามเฟสถูกขับเคลื่อนด้วยพัลส์วิดมอดูเลตชั่น เอซี ซ็อบเปอร์หนึ่งเฟส.” หน้า 44-47. ใน **การประชุมวิชาการเครือข่ายวิศวกรรมไฟฟ้า กลุ่มมหาวิทยาลัยเทคโนโลยีราชมงคลและสถาบันเทคโนโลยีปทุมวัน ครั้งที่ 9**. จันทบุรี : คณะเทคโนโลยีอุตสาหกรรมการเกษตร มหาวิทยาลัยเทคโนโลยีราชมงคลตะวันออก วิทยาเขตจันทบุรี.
- [4] โกวิท ภูฉลาด และคณะ. 2560. “ตู้อบไฟฟ้าควบคุมด้วยเทคนิคควบคุมไซเคิล.” หน้า 474-479. ใน **การประชุมวิชาการเครือข่ายพลังงานแห่งประเทศไทย ครั้งที่ 13**. เชียงใหม่ : วิทยาลัยพลังงานทดแทน มหาวิทยาลัยแม่โจ้.
- [5] โกวิท ภูฉลาด และคณะ. 2561. “การขับเคลื่อนมอเตอร์กระแสตรงไร้แปรงถ่านโดยปราศจากตัวตรวจจับ.” หน้า 174-177. ใน **การประชุมวิชาการเครือข่ายวิศวกรรมไฟฟ้า ครั้งที่ 10**. กรุงเทพฯ : คณะวิศวกรรมศาสตร์ สถาบันเทคโนโลยีปทุมวัน.
- [6] สุชาติ คำลือ และ วิจิตร กิณเรศ. 2554. “ชุดควบคุมประสิทธิภาพสูงสุดสำหรับมอเตอร์เหนี่ยวนำ 1 เฟส.” หน้า 509-512. ใน **การประชุมวิชาการทางวิศวกรรมไฟฟ้า ครั้งที่ 34**. กรุงเทพฯ : คณะวิศวกรรมศาสตร์ มหาวิทยาลัยสยาม.
- [7] สุชาติ คำลือ และคณะ. 2554. “ชุดประหยัดพลังงานสำหรับมอเตอร์เหนี่ยวนำหนึ่งเฟสโดยการควบคุมตัวประกอบกำลัง” หน้า 673-678. ใน **การประชุมวิชาการเครือข่ายพลังงานแห่งประเทศไทย ครั้งที่ 7**. ปทุมธานี : คณะวิศวกรรมศาสตร์ มหาวิทยาลัยเทคโนโลยีราชมงคลธัญบุรี.
- [8] วีระ ฉันทยาภิรักษ์ และคณะ. 2555. “การควบคุมมอเตอร์เหนี่ยวนำหนึ่งเฟสเพื่อการประหยัดพลังงานโดยใช้การควบคุมแบบพัลส์วิดมอดูเลตชั่น เอซี ซ็อบเปอร์.” หน้า 337-340. ใน **การประชุมวิชาการเครือข่ายวิศวกรรมไฟฟ้า มหาวิทยาลัยเทคโนโลยีราชมงคล**

เอกสารนี้เป็นเอกสารที่สงวนไว้สำหรับการใช้งานเพื่อการศึกษาเท่านั้น ไม่อนุญาตให้นำไปใช้ประโยชน์ด้านการค้า ไม่ว่าจะกรณีใดๆทั้งสิ้น อีกทั้งห้ามมิให้ดัดแปลงเนื้อหา และต้องอ้างอิงถึงเจ้าของเอกสารทุกครั้งที่มีการนำไปใช้

**ครั้งที่ 9.** นครราชสีมา : คณะวิศวกรรมศาสตร์และเทคโนโลยี มหาวิทยาลัยเทคโนโลยีราชมงคลอีสาน.

- [9] สันติสุข สว่างกล้า และประสพโชค โห้ทองคำ. 2565. “การจำลองวงจรเอซี-เอซี เมตริกซ์คอนเวอร์เตอร์หนึ่งเฟสทดสอบกับโหลดแบบพาสซีฟที่ใช้การปรับความถี่ในการสวิตช์.” หน้า 149-152. ใน การประชุมวิชาการเครือข่ายวิศวกรรมไฟฟ้า ครั้งที่ 14. สุพรรณบุรี : คณะวิศวกรรมศาสตร์และสถาปัตยกรรมศาสตร์ มหาวิทยาลัยเทคโนโลยีราชมงคลสุวรรณภูมิ ศูนย์สุพรรณบุรี.
- [10] สารเดช วรนาวิน. 2555. “การชดเชยแรงดันตกชั่วขณะด้วยเอซี-ชอปเปอร์ โดยการควบคุมแรงดันชั่วขณะ.” วิทยานิพนธ์วิศวกรรมศาสตรมหาบัณฑิต สาขาวิชาวิศวกรรมไฟฟ้า บัณฑิตวิทยาลัย, สถาบันเทคโนโลยีพระจอมเกล้าเจ้าคุณทหารลาดกระบัง.
- [11] เบญญทิพย์ พิพิธสุนทร. 2558. “การประเมินสมรรถนะมอเตอร์เหนี่ยวนำสามเฟสซึ่งถูกป้อนด้วยพีดีบายูเอ็มอินเวอร์เตอร์หนึ่งเฟส.” วิทยานิพนธ์วิศวกรรมศาสตรมหาบัณฑิต สาขาวิชาวิศวกรรมไฟฟ้า บัณฑิตวิทยาลัย, สถาบันเทคโนโลยีพระจอมเกล้าเจ้าคุณทหารลาดกระบัง.
- [12] อธิปัตย์ ศรีผางงค์ และคณะ. 2554. “การปรับปรุงตัวประกอบกำลังของมอเตอร์เหนี่ยวนำหนึ่งเฟสด้วยวิธีพัลส์วิดมอดเลชัน เอซี ชอปเปอร์.” ปริญญานิพนธ์วิศวกรรมศาสตรบัณฑิต สาขาวิชาวิศวกรรมไฟฟ้า บัณฑิตวิทยาลัย, สถาบันเทคโนโลยีพระจอมเกล้าเจ้าคุณทหารลาดกระบัง.
- [13] ณัฐพงษ์ ประพฤติ. 2560. “การปรับปรุงตัวประกอบกำลังไฟฟ้าและการลดกระแสกระชากของเครื่องกำเนิดไฟฟ้าเหนี่ยวนำหนึ่งเฟสแบบเชื่อมต่อกับระบบไฟฟ้ากำลังสำหรับประยุกต์ใช้งานกับพลังงานลม.” วิทยานิพนธ์วิศวกรรมศาสตรมหาบัณฑิต สาขาวิชาวิศวกรรมไฟฟ้า บัณฑิตวิทยาลัย, มหาวิทยาลัยเทคโนโลยีมหานคร.
- [14] ศุภณัฐ สบาย และคณะ. 2558. “ตู้อบไฟฟ้าควบคุมด้วยไซเคิลคอนโทรล.” ปริญญานิพนธ์วิศวกรรมศาสตรบัณฑิต สาขาวิชาวิศวกรรมไฟฟ้า บัณฑิตวิทยาลัย, สถาบันเทคโนโลยีพระจอมเกล้าเจ้าคุณทหารลาดกระบัง.
- [15] วิชาญ สร้อยคำ. 2548. “การควบคุมมอเตอร์เหนี่ยวนำชนิดเฟสเดียวด้วย พีดีบลิวเอ็ม เอซีชอปเปอร์.” ปริญญานิพนธ์วิศวกรรมศาสตรบัณฑิต ภาควิชาวิศวกรรมระบบวัดคุม บัณฑิตวิทยาลัย มหาวิทยาลัยเทคโนโลยีมหานคร.
- [16] พัชรวิ วีระศิลป์ และคณะ. 2559. “การขับเคลื่อนมอเตอร์กระแสตรงไร้แปลงถ่าน โดยปราศจากตัวตรวจจับ.” ปริญญานิพนธ์วิศวกรรมศาสตรบัณฑิต สาขาวิชาวิศวกรรมไฟฟ้า บัณฑิตวิทยาลัย, สถาบันเทคโนโลยีพระจอมเกล้าเจ้าคุณทหารลาดกระบัง.

เอกสารนี้เป็นเอกสารที่สงวนไว้สำหรับการใช้งานเพื่อการศึกษาเท่านั้น ไม่อนุญาตให้นำไปใช้ประโยชน์ด้านการค้า ไม่ว่าจะกรณีใดๆทั้งสิ้น อีกทั้งห้ามมิให้ตัดแปลงเนื้อหา และต้องอ้างอิงถึงเจ้าของเอกสารทุกครั้งที่มีการนำไปใช้

- [17] ชาย กังวานสุระ และคณะ. 2553. “การควบคุมเพาเวอร์แฟคเตอร์ของมอเตอร์เหนี่ยวนำหนึ่งเฟส.” ปรินญาณีพนธ์วิศวกรรมศาสตรบัณฑิต สาขาวิชาวิศวกรรมไฟฟ้า บัณฑิตวิทยาลัย, สถาบันเทคโนโลยีพระจอมเกล้าเจ้าคุณทหารลาดกระบัง.
- [18] ณัฐวุฒิ ด่านวานิชกุล และคณะ. 2555. “การปรับปรุงตัวประกอบกำลังมอเตอร์เหนี่ยวนำสามเฟสด้วยพีดีบีลิวเอ็มเอช ซีอ็อปเปอร์หนึ่งเฟส.” ปรินญาณีพนธ์วิศวกรรมศาสตรบัณฑิต สาขาวิชาวิศวกรรมไฟฟ้า บัณฑิตวิทยาลัย, สถาบันเทคโนโลยีพระจอมเกล้าเจ้าคุณทหารลาดกระบัง.
- [19] สุชาติ คำลือ. 2555. “ชุดควบคุมประสิทธิภาพสูงสุดสำหรับมอเตอร์เหนี่ยวนำเฟสเดียว.” วิทยานิพนธ์วิศวกรรมศาสตรมหาบัณฑิต สาขาวิชาวิศวกรรมไฟฟ้า บัณฑิตวิทยาลัย, สถาบันเทคโนโลยีพระจอมเกล้าเจ้าคุณทหารลาดกระบัง.
- [20] วีระ ฉันทยาศิรภัช. 2559. “การควบคุมการเริ่มหมุนแบบนิ่มนวลให้กับมอเตอร์เหนี่ยวนำสามเฟสโดยใช้เทคนิคอะซิงโครนัล พีดีบีลิวเอ็ม เอช ซีอ็อปเปอร์.” วิทยานิพนธ์วิศวกรรมศาสตรดุษฎีบัณฑิต สาขาวิชาวิศวกรรมไฟฟ้า บัณฑิตวิทยาลัย, สถาบันเทคโนโลยีพระจอมเกล้าเจ้าคุณทหารลาดกระบัง.
- [21] ชวพร บำรุงพฤกษ์. 2563. “การสาร์ทแบบนิ่มนวล และการประเมินสมรรถนะของการดัดแปลงมอเตอร์เหนี่ยวนำสามเฟสที่ถูกป้อนด้วยพีดีบีลิวเอ็ม เอช-ซีอ็อปเปอร์ 1 เฟส.” วิทยานิพนธ์วิศวกรรมศาสตรดุษฎีบัณฑิต สาขาวิชาวิศวกรรมไฟฟ้า บัณฑิตวิทยาลัย, สถาบันเทคโนโลยีพระจอมเกล้าเจ้าคุณทหารลาดกระบัง.
- [23] พิชรพงศ์ กัณหารินทร์. 2566. “การควบคุมความเร็วรอบของมอเตอร์เหนี่ยวนำสามเฟสอาศัยเทคนิคพีซีลจิกใช้หลักการควบคุมแบบเวกเตอร์โดยตรง.” วิทยานิพนธ์วิศวกรรมศาสตรมหาบัณฑิต สาขาวิชาวิศวกรรมไฟฟ้าและคอมพิวเตอร์ บัณฑิตวิทยาลัย, สถาบันเทคโนโลยีพระจอมเกล้าเจ้าคุณทหารลาดกระบัง.
- [24] ณัฐพงษ์ ประพฤติ. 2560. “การปรับปรุงตัวประกอบกำลังไฟฟ้าและการลดกระแสกระชากของเครื่องกำเนิดไฟฟ้าเหนี่ยวนำหนึ่งเฟสแบบเชื่อมต่อกับระบบไฟฟ้ากำลังสำหรับประยุกต์ใช้งานกับพลังงานลม.” วิทยานิพนธ์วิศวกรรมศาสตรมหาบัณฑิต สาขาวิชาวิศวกรรมไฟฟ้า บัณฑิตวิทยาลัย, มหาวิทยาลัยเทคโนโลยีมหานคร.
- [25] Venkata V. Sastry, M. Rajendra Prasad and T. V.Sivakumar, “Optimal Soft Starting of Voltage-Controller-Fed IM Drive Based on Voltage Across Thyristor.” *IEEE Transactions on Power Electronics.*, Vol.12, No.6. 1997, pp.1041-1051.
- [26] G. Zenginobuz, I. Cadirci, M. Ermis and C. Barlak, “Performance Optimization of Induction Motors During Voltage-Controlled Soft Starting.” *IEEE Transactions on Energy Conversion.*, Vol. 19, Issue 2, 2004, pp.278-288.

เอกสารนี้เป็นเอกสารที่สงวนไว้สำหรับการใช้งานเพื่อการศึกษาเท่านั้น ไม่อนุญาตให้นำไปใช้ประโยชน์ด้านการค้า ไม่ว่าจะกรณีใดๆทั้งสิ้น อีกทั้งห้ามมิให้ดัดแปลงเนื้อหา และต้องอ้างอิงถึงเจ้าของเอกสารทุกครั้งที่มีการนำไปใช้

- [27] Bilal Saracoglu, Murat Kale and Engin Ozdemir, "A novel Technique for Optimal Control of Induction Motor Fed by PWM IGBT AC Chopper." **IEEE 35<sup>TM</sup> Annual Power Electronics Specialists Conf.**, Vol.5, 2004, pp.3353-3358.
- [28] Hamdy A. Ashour and Rania A. Ibrahim, "Implementation and Analysis of Microcontroller Based Soft Starters for Three Phase Induction Motor." **The International Conference on Computer as a Tool, EUROCON 2007.**, 2007, pp.2193-2199.
- [29] G. Bhuvaneswari, Chares S and Manjula G. Nair, "Power Quality Studies on a Soft-Start for an Induction Motor." **IEEE/PES 2008 Transmission and Distribution Conf.**, 2008, pp.1-6.
- [30] Deniz Yildirim and Murat Bilgic, "PWM AC Chopper Control of Single-Phase Induction Motor for Variable-Speed Fan Application." **IEEE Industrial Electronics 34<sup>TM</sup> Annual Conf.**, 2008, pp.1337-1342.
- [31] Jose Thankachan and Saly George, "A Novel Switching Scheme for Three Phase PWM AC Chopper Fed Induction Motor." **IEEE 5<sup>TM</sup> Proc. IICPE 2012**, 2012, pp.1-4.
- [32] A.N. Arvindan, "Investigation for Power Quality in PWM AC Controller Feeding a 3-Phase 3-Wire Wye Load." **IEEE 2<sup>TM</sup> Proc. ICEES 2014.**, 2014, pp.194-201.
- [33] A.E. Fitzgerald, C. Kingsely, and S.D. Umans. **Electric machinery**. McGraw-Hill. 6<sup>TM</sup> Edition, 2003.
- [34] N. A. Ahmed, k. Amei, and M. Sakui, "AC Chopper Voltage Controller-Fed Single-Phase Induction Motor Employing Symmetrical PWM Control Technique." **Electric Power System Research.**, Vol. 55, Issue 1, July 2000, pp.15-25.
- [35] S. E. Oliveira, "Operation of Three-Phase Induction Motors Connected to One-Phase Supply." **IEEE Transactions on Energy Conversion.**, Vol. 5, No.4, Dec 1990, pp.713-718.
- [36] M. J. Melfi and S. D. Umans, "Squirrel-Cage Induction Motors: Understanding Starting Transients." **IEEE Industry Applications Magazine.**, Vol.18, Issue 6, Nov 2012, pp.28-36.
- [37] J. Larabee, B. Pellegrino, and B. Flik, "Induction Motor Starting Methods and Issues." **Annual Petroleum and Chemical Industry Conference.**, Sep 2005, pp.217-222.

เอกสารนี้เป็นเอกสารที่สงวนไว้สำหรับการใช้งานเพื่อการศึกษาเท่านั้น ไม่อนุญาตให้นำไปใช้ประโยชน์ด้านการค้า  
ไม่ว่ากรณีใดๆทั้งสิ้น อีกทั้งห้ามมิให้ตัดแปลงเนื้อหา และต้องอ้างอิงถึงเจ้าของเอกสารทุกครั้งที่มีการนำไปใช้

- [38] V. Thanyaphirak, V. Kinnares, and A. Kunakorn, "Soft Starting Control Scheme for Three-Phase Induction Motor Fed by PWM AC Chopper." **International Conference on Electrical Machines and Systems (ICEMS)**., Oct 2014.
- [39] V. Thanyaphirak, V. Kinnares, and A. Kunakorn, "Comparison of Starting Current Characteristics for Three-Phase Induction Motor Due to Phase-Control Soft Starter and Asynchronous PWM AC Chopper." **Journal of Electrical Engineering and Technology**., Vol.12, No.3, May 2017, pp.1090-1110.
- [40] Said A. Deraz, and Haitham Z. Azazi, "Current Limiting Soft Starter for Three-Phase Induction Motor Drive System Using PMW AC Chopper." **IET Power Electronics**., Vol. 10, Issue 11, Sep 2017, pp.1298-1306.



เอกสารนี้เป็นเอกสารที่สงวนไว้สำหรับการใช้งานเพื่อการศึกษาเท่านั้น ไม่อนุญาตให้นำไปใช้ประโยชน์ด้านการค้า  
ไม่ว่ากรณีใดๆทั้งสิ้น อีกทั้งห้ามมิให้ดัดแปลงเนื้อหา และต้องอ้างอิงถึงเจ้าของเอกสารทุกครั้งที่มีการนำไปใช้



เอกสารนี้เป็นเอกสารที่สงวนไว้สำหรับการใช้งานเพื่อการศึกษาเท่านั้น ไม่อนุญาตให้นำไปใช้ประโยชน์ด้านการค้า  
ไม่ว่ากรณีใดๆทั้งสิ้น อีกทั้งห้ามมิให้ดัดแปลงเนื้อหา และต้องอ้างอิงถึงเจ้าของเอกสารทุกครั้งที่มีการนำไปใช้

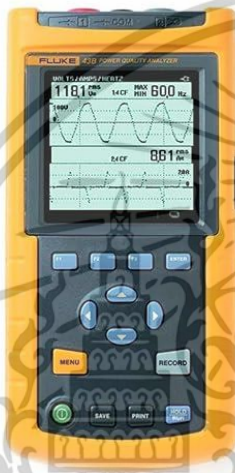


เครื่องมือวัด	รายละเอียด
	<p>Clip Probes</p> <p>รุ่น P6000 For DC 100MHz</p> <p>x1 x10 600V</p> <p>สายโพรบสำหรับใช้งานกับออสซิลโลสโคป</p>
	<p>Oscilloscope</p> <p>Rigol รุ่น DS1104B</p> <p>ออสซิลโลสโคป</p>
	<p>Differential Voltage Probe</p> <p>TECPEL รุ่น DP-25</p> <p>โพรบวัดแบบดิฟเฟอเรนเชียลสำหรับใช้งานกับออสซิลโลสโคป</p>
	<p>Current Probe TEKTRONIC</p> <p>รุ่น A622</p> <p>แคลมป์วัดกระแส AC/DC ความละเอียดสูง</p> <p>สำหรับใช้งานกับออสซิลโลสโคป</p>

เอกสารนี้เป็นเอกสารที่สงวนไว้สำหรับการใช้งานเพื่อการศึกษาเท่านั้น ไม่อนุญาตให้นำไปใช้ประโยชน์ด้านการค้า ไม่ว่าจะกรณีใดๆทั้งสิ้น อีกทั้งห้ามมิให้ดัดแปลงเนื้อหา และต้องอ้างอิงถึงเจ้าของเอกสารทุกครั้งที่มีการนำไปใช้

เครื่องมือวัด	รายละเอียด
	<p>Digital Multimeter</p> <p>FLUKE รุ่น Fluke 114</p> <p>ดิจิตอลมัลติมิเตอร์</p>
	<p>Digital Laser RPM Tachometer Non Contact Measurement Tool</p> <p>รุ่น DT2234C+</p> <p>เครื่องวัดความเร็วรอบ เครื่องวัดรอบ เลเซอร์ วัดความเร็วรอบ</p>
	<p>Portable Electronic Scale</p> <p>รุ่น WH-A08</p> <p>เครื่องชั่งน้ำหนักพกพา แบบแขวน</p> <p>ดิจิตอล 50 kg.</p>
 <p><b>PDG-2000VA</b></p>	<p>Variable Transformer 1 Phase (VARIAC)</p> <p>รุ่น PDG-2000VA</p> <p>หม้อแปลงปรับค่าแรงดันไฟฟ้า 1 เฟส</p>

เอกสารนี้เป็นเอกสารที่สงวนลิขสิทธิ์ไว้เพื่อการศึกษาเท่านั้น ไม่อนุญาตให้นำไปใช้ประโยชน์ด้านการค้า  
ไม่ว่ากรณีใดๆทั้งสิ้น อีกทั้งห้ามมิให้ดัดแปลงเนื้อหา และต้องอ้างอิงถึงเจ้าของเอกสารทุกครั้งที่มีการนำไปใช้

เครื่องมือวัด	รายละเอียด
	<p>หม้อแปลง Isolation หรือ Isolation Transformer</p> <p>รุ่นหม้อแปลงไฟฟ้า 1 เฟส 380V./220V. 1Amp. 250VA Isolate</p>
	<p>Fluke</p> <p>รุ่น Fluke 43B/003 Power Quality Analyzer</p>
	<p>เวอร์เนียร์คาลิปเปอร์ (Vernier Caliper)</p> <p>รุ่นขนาด 6 นิ้ว INSIZE 1108-150 (150 มม.)</p>
	<p>โน้ตบุ๊กเกมมิ่ง Acer Notebook</p> <p>รุ่น Nitro 5 AN515-58-729S i7 Gen12 สีดำ (Obsidian Black)</p>

เอกสารนี้เป็นเอกสารที่สงวนไว้สำหรับการใช้งานเพื่อการศึกษาเท่านั้น ไม่อนุญาตให้นำไปใช้ประโยชน์ด้านการค้าไม่ว่ากรณีใดๆทั้งสิ้น อีกทั้งห้ามมิให้ตัดแปลงเนื้อหา และต้องอ้างอิงถึงเจ้าของเอกสารทุกครั้งที่มีการนำไปใช้



ภาคผนวก ข.

การทดสอบหาค่าพารามิเตอร์ของมอเตอร์เหนี่ยวนำหนึ่งเฟสที่ใช้  
ในงานวิจัยการควบคุมการเริ่มหมุนแบบนิมนวลให้กับมอเตอร์  
เหนี่ยวนำหนึ่งเฟสด้วยการควบคุมกระแสเริ่มต้น โดยใช้  
เทคนิคอะซิงโครนัส พีดีบีเบิลยูเอ็ม เอช ซี อีพี

เอกสารนี้เป็นเอกสารที่สงวนไว้สำหรับการใช้งานเพื่อการศึกษาเท่านั้น ไม่อนุญาตให้นำไปใช้ประโยชน์ด้านการค้า  
ไม่ว่ากรณีใดๆทั้งสิ้น อีกทั้งห้ามมิให้ดัดแปลงเนื้อหา และต้องอ้างอิงถึงเจ้าของเอกสารทุกครั้งที่มีการนำไปใช้

## 1. การทดสอบหาค่าพารามิเตอร์ของมอเตอร์เหนี่ยวนำหนึ่งเฟสชนิดเริ่มหมุนด้วยตัวเก็บประจุ

เพื่อให้บรรลุถึงความมุ่งหมายและวัตถุประสงค์ของงานวิจัย ดังนั้นในส่วนนี้จะกล่าวถึงผลการทดสอบและการหาค่าพารามิเตอร์ของมอเตอร์เหนี่ยวนำหนึ่งเฟสชนิดเริ่มหมุนด้วยตัวเก็บประจุ โดยมีป้ายพิกัดมอเตอร์เหนี่ยวนำหนึ่งเฟสชนิดเริ่มหมุนด้วยตัวเก็บประจุตามตารางด้านล่างดังนี้

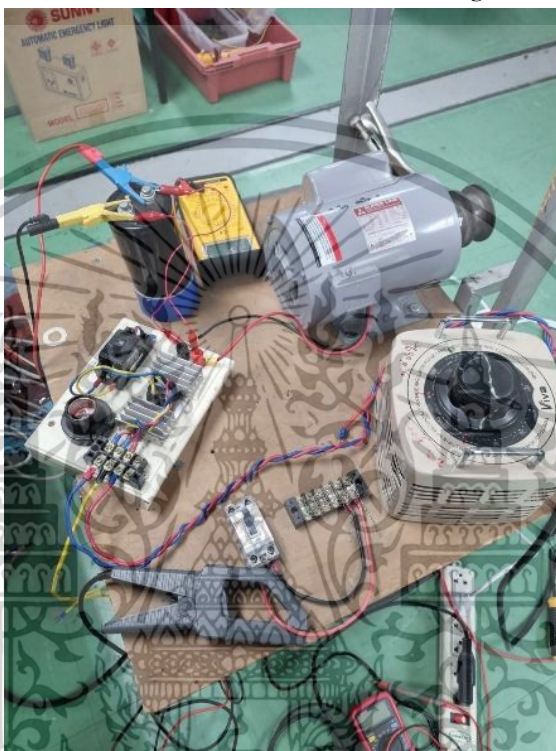
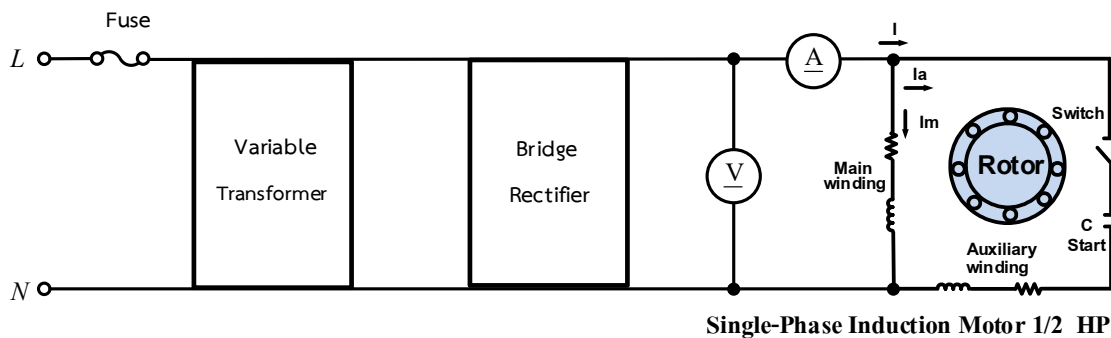
ตารางที่ ข-1 ป้ายพิกัดมอเตอร์เหนี่ยวนำหนึ่งเฟสชนิดเริ่มหมุนด้วยตัวเก็บประจุ

1/2 HP (0.4 kW) 4 POLE CAPACITOR 50 $\mu$ F TYPE SC-KR					
Hz	50	50	60	FRAME	80M
V	220	230	220	RATING	S1
A	4.3	4.3	3.6	TH. CLASS	120(E)
rpm	1430	1430	1720	BEARING	6203ZZ
JEC-2137-2000 IP20 IC01					6202ZZ

ในส่วนของการทดสอบหาค่าพารามิเตอร์วงจรสมมูลของมอเตอร์เหนี่ยวนำหนึ่งเฟสชนิดเริ่มหมุนด้วยตัวเก็บประจุ เพื่อใช้เป็นพารามิเตอร์ในการวิเคราะห์และนำค่าพารามิเตอร์ไปจำลองการทำงานด้วยโปรแกรม MATLAB/Simulink Version R2024a ได้จากหลักการทำงานของมอเตอร์เหนี่ยวนำหนึ่งเฟสชนิดเริ่มหมุนด้วยตัวเก็บประจุเมื่อมอเตอร์เหนี่ยวนำหมุนได้ประมาณ 75% ของความเร็วซิงโครนัส สวิตช์แรงเหวี่ยงหนีศูนย์กลางจะตัดการทำงานของขดลวดช่วยออก ดังนั้นวงจรสมมูลจึงพิจารณาเฉพาะในส่วนของขดลวดหลักเพียงอย่างเดียว และในงานวิจัยนี้เลือกใช้วงจรสมมูลกรณีไม่คิดความสูญเสียในแกนเหล็ก เนื่องจากพิจารณาความสูญเสียในแกนเหล็กมีค่าคงที่และเพื่อให้ง่ายต่อการวิเคราะห์การทดสอบหาค่าพารามิเตอร์วงจรสมมูลของมอเตอร์เหนี่ยวนำหนึ่งเฟสชนิดเริ่มหมุนด้วยตัวเก็บประจุหาได้จากการทดสอบดังต่อไปนี้

### 1.1 การทดสอบด้วยการป้อนค่าแรงดันไฟฟ้ากระแสตรง (DC Test) ในขดลวดหลักและขดลวดช่วย

การทดสอบด้วยการป้อนค่าแรงดันไฟฟ้ากระแสตรงเป็นการทดสอบเพื่อหาค่าความต้านทานที่สเตเตอร์ ( $R_s$ ) วงจรการทดสอบและตารางบันทึกผลการทดสอบ แสดงดังรูปที่ ข-1 และตารางที่ ข-2 ตามลำดับ



รูปที่ ข-1 วงจรการทดสอบด้วยการป้อนแรงดันไฟฟ้ากระแสตรง

ตารางที่ ข-2 ผลการทดสอบด้วยการป้อนแรงดันไฟฟ้ากระแสตรง

$V_{dc}$ (V)	1.08	2.57	4.42	6.10	8.11	9.28
$I_{dc}$ (A)	0.24	1.04	2.12	3.05	4.17	4.82

ความต้านทานที่สเตเตอร์ ( $R_1$ ) ระหว่างความสัมพันธ์ระหว่างแรงดันไฟฟ้าและกระแสไฟฟ้า

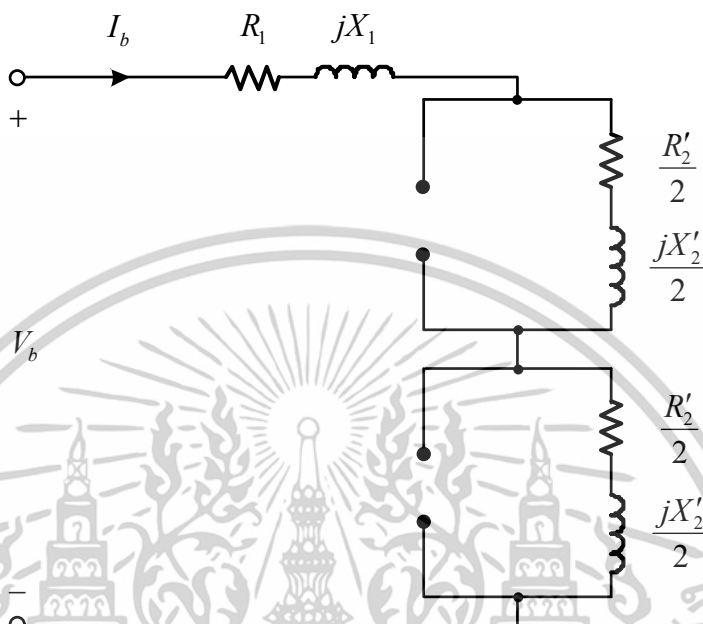
$$R_1 = R_{dc} = \frac{\Delta V_{dc}}{\Delta I_{dc}} \tag{ข.1}$$

ค่าความชันของสมการเส้นตรง  $y = 1.7846x + 0.6677$  คือค่าความต้านทานที่สเตเตอร์ ดังนั้น  
จะได้ค่าความต้านทานที่สเตเตอร์ ( $R_1$ ) เท่ากับ 1.7846  $\Omega$

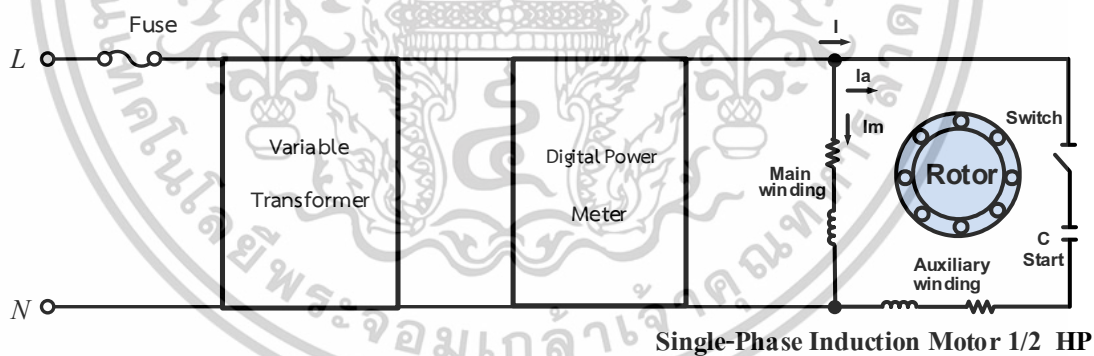
เอกสารนี้เป็นเอกสารที่สงวนไว้สำหรับการใช้งานเพื่อการศึกษาเท่านั้น ไม่อนุญาตให้นำไปใช้ประโยชน์ด้านการค้า  
ไม่ว่ากรณีใดๆทั้งสิ้น อีกทั้งห้ามมิให้ดัดแปลงเนื้อหา และต้องอ้างอิงถึงเจ้าของเอกสารทุกครั้งที่มีการนำไปใช้

## 1.2 การทดสอบการจับยึดโรเตอร์ (Blocked Rotor Test)

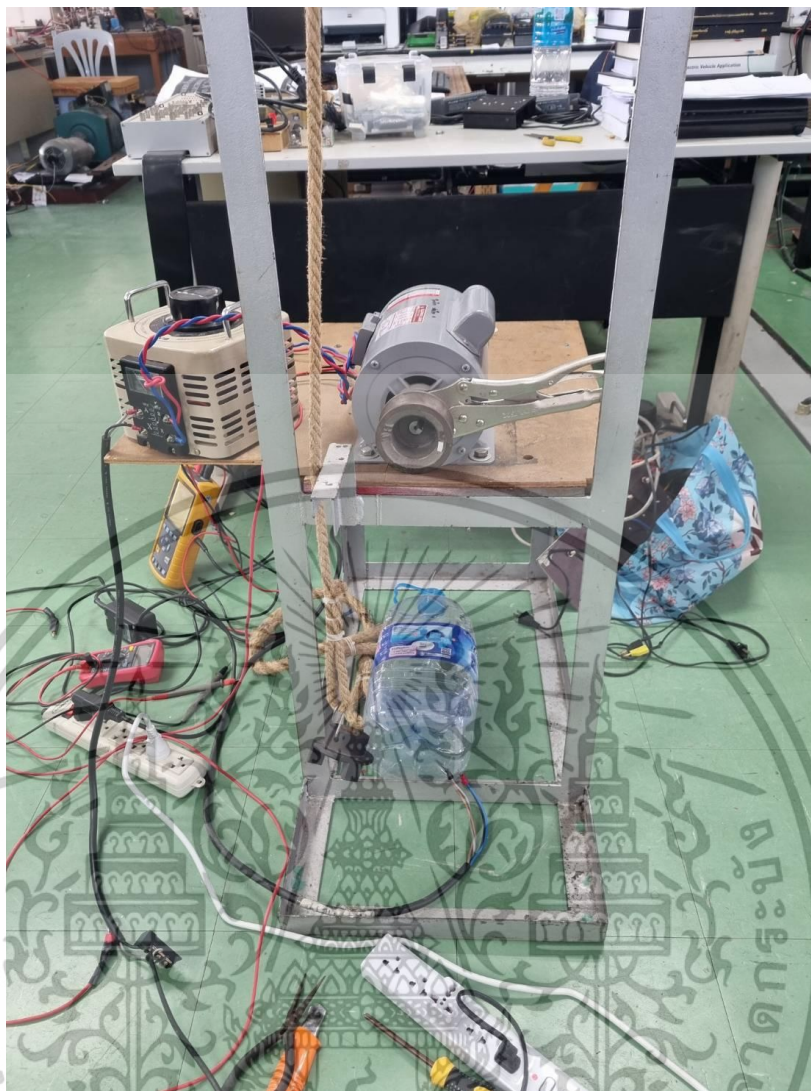
การทดสอบการจับยึดโรเตอร์เป็นการทดสอบเพื่อหาค่าพารามิเตอร์วงจรสมมูลดังรูปที่ ข-2 วงจรการทดสอบและตารางบันทึกผลการทดสอบ แสดงดังรูปที่ ข-3 และตารางที่ ข-3 ตามลำดับ



รูปที่ ข-2 วงจรสมมูลการทดสอบการจับยึดโรเตอร์



เอกสารนี้เป็นเอกสารที่สงวนไว้สำหรับการใช้งานเพื่อการศึกษาเท่านั้น ไม่อนุญาตให้นำไปใช้ประโยชน์ด้านการค้า ไม่ว่าจะกรณีใดๆทั้งสิ้น อีกทั้งห้ามมิให้ดัดแปลงเนื้อหา และต้องอ้างอิงถึงเจ้าของเอกสารทุกครั้งที่มีการนำไปใช้



รูปที่ ข-3 วงจรการทดสอบการจับยึดโรเตอร์

ตารางที่ ข-3 ผลการทดสอบการจับยึดโรเตอร์

$V_b$ (V)	$I_b$ (A)	$P_b$ (W)	Power Factor
48.56	4.78	171.70	0.695

จากรูปที่ ข-2 สามารถคำนวณหาค่าพารามิเตอร์ต่างๆ แสดงดังสมการที่ (ข.2) ถึงสมการที่ (ข.5) ตามลำดับ

เอกสารนี้เป็นเอกสารที่สงวนไว้สำหรับการใช้งานเพื่อการศึกษาเท่านั้น ไม่อนุญาตให้นำไปใช้ประโยชน์ด้านการค้า ไม่ว่าจะกรณีใดๆทั้งสิ้น อีกทั้งห้ามมิให้ตัดแปลงเนื้อหา และต้องอ้างอิงถึงเจ้าของเอกสารทุกครั้งที่มีการนำไปใช้

$$X_b = \frac{\sqrt{(V_b I_b)^2 - P_b^2}}{I_b^2} \quad (\text{ข.2})$$

$$X_1 = X'_2 = \frac{X_b}{2} \quad (\text{ข.3})$$

$$R_b = \frac{P_b}{I_b^2} \quad (\text{ข.4})$$

$$R'_2 = (R_b - R_1) \left( \frac{X'_2 + X_m}{X_m} \right)^2 \quad (\text{ข.5})$$

เมื่อ  $V_b$  คือ แรงดันไฟฟ้าขณะทดสอบจับยึดโรเตอร์  
 $I_b$  คือ กระแสไฟฟ้าขณะทดสอบจับยึดโรเตอร์  
 $P_b$  คือ กำลังไฟฟ้าขณะทดสอบจับยึดโรเตอร์

จากผลการทดสอบการจับยึดโรเตอร์ ดังตารางที่ ข-3 และจากสมการที่ (ข.2) และสมการที่ (ข.4) สามารถคำนวณหาค่าพารามิเตอร์วงจรสมมูลการทดสอบการจับยึดโรเตอร์ ได้ดังนี้

$$X_b = \frac{\sqrt{(48.56 \times 4.78)^2 - (171.70)^2}}{(4.78)^2} = 6.8362 \ \Omega$$

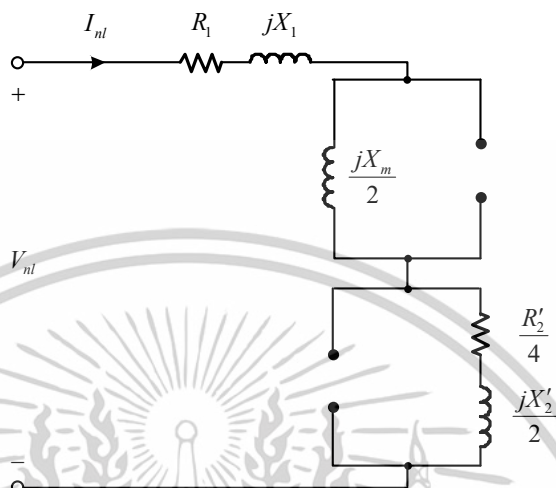
$$R_b = \frac{171.70}{(4.78)^2} = 7.5147 \ \Omega$$

แทนค่า  $X_b = 6.8362 \ \Omega$  ลงในสมการที่ (ข.3) จะได้ค่า  $X_1 = X'_2 = 3.4181 \ \Omega$  สำหรับค่าพารามิเตอร์  $R'_2$  จากสมการที่ (ข.5) ต้องใช้ค่าพารามิเตอร์  $X_m$  ที่ได้จากการทดสอบเมื่อไร้สภาวะทางกลในการคำนวณด้วย

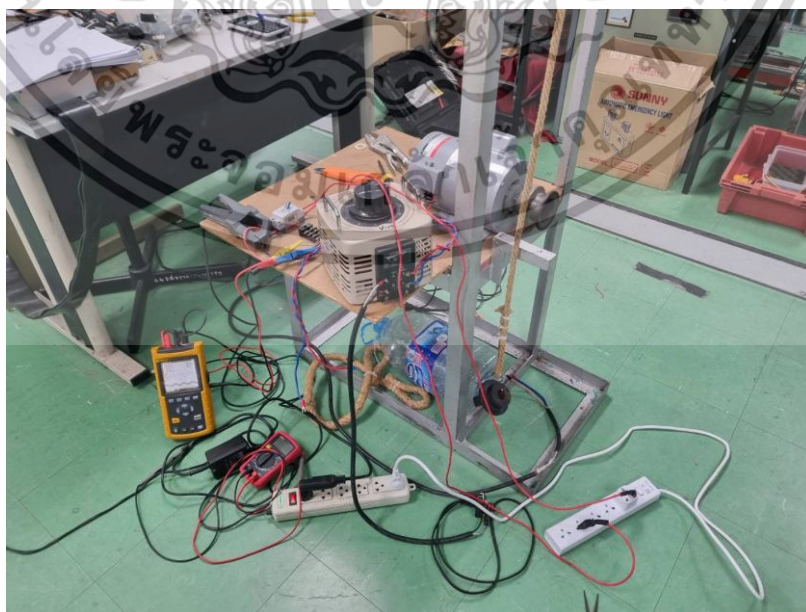
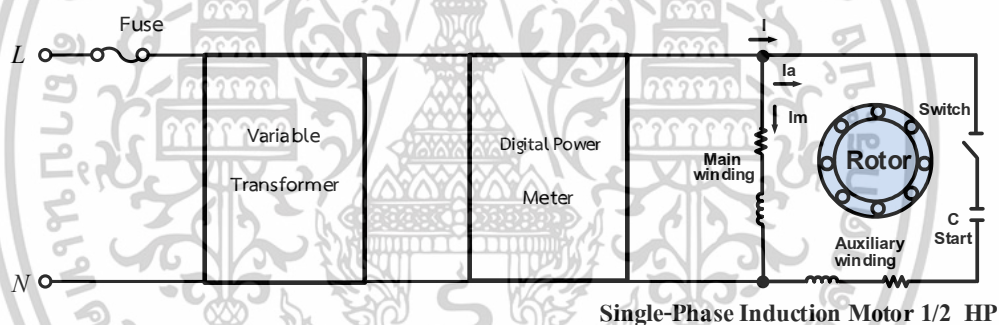
เอกสารนี้เป็นเอกสารที่สงวนไว้สำหรับการใช้งานเพื่อการศึกษาเท่านั้น ไม่อนุญาตให้นำไปใช้ประโยชน์ด้านการค้า ไม่ว่าจะกรณีใดๆทั้งสิ้น อีกทั้งห้ามมิให้ดัดแปลงเนื้อหา และต้องอ้างอิงถึงเจ้าของเอกสารทุกครั้งที่มีการนำไปใช้

### 1.3 การทดสอบเมื่อขณะไร้สภาวะทางกล (No Load Test)

การทดสอบเมื่อขณะไร้สภาวะทางกลเป็นการทดสอบเพื่อหาค่าพารามิเตอร์วงจรสมมูลดังรูปที่ ข-4 วงจรการทดสอบและตารางบันทึกผลการทดสอบ แสดงดังรูปที่ ข-5 และตารางที่ ข-4 ตามลำดับ



รูปที่ ข-4 วงจรสมมูลการทดสอบเมื่อขณะไร้สภาวะทางกล



รูปที่ ข-5 วงจรการทดสอบเมื่อขณะไร้สภาวะทางกล

เอกสารนี้เป็นเอกสารที่สงวนไว้สำหรับการใช้งานเพื่อการศึกษาเท่านั้น เมื่ออนุญาตให้ไปใช้ประโยชน์ด้านการค้าไม่ว่ากรณีใดๆทั้งสิ้น อีกทั้งห้ามมิให้ดัดแปลงเนื้อหา และต้องอ้างอิงถึงเจ้าของเอกสารทุกครั้งที่มีการนำไปใช้

ตารางที่ ข-4 ผลการทดสอบเมื่อขณะไร้สภาวะทางกล

$V_{nl}$ (V)	$I_{nl}$ (A)	$P_{nl}$ (W)	Power factor	$n_r$ (rpm)
220.14	3.90	146.10	0.170	1498

จากรูปที่ ข-4 สามารถคำนวณหาค่าพารามิเตอร์ต่างๆ แสดงดังสมการที่ (ข.6) ถึงสมการที่ (ข.8) ตามลำดับ

$$X_{nl} = \frac{\sqrt{(V_{nl} I_{nl})^2 - P_{nl}^2}}{I_{nl}^2} \quad (\text{ข.6})$$

$$X_{nl} = X_1 + \frac{X_m}{2} + \frac{X'_2}{2} \quad (\text{ข.7})$$

แทนค่า  $X_1$  และ  $X'_2$  จากสมการที่ (ข.3) ลงในสมการที่ (ข.7) พร้อมทั้งจัดรูปสมการใหม่จะได้ค่าพารามิเตอร์  $X_m$  แสดงดังสมการที่ (ข.8)

$$X_m = 2X_{nl} - 1.5X_b \quad (\text{ข.8})$$

เมื่อ  $V_{nl}$  คือ แรงดันไฟฟ้าขณะทดสอบเมื่อไร้สภาวะทางกล  
 $I_{nl}$  คือ กระแสไฟฟ้าขณะทดสอบเมื่อไร้สภาวะทางกล  
 $P_{nl}$  คือ กำลังไฟฟ้าขณะทดสอบเมื่อไร้สภาวะทางกล

จากผลการทดสอบเมื่อไร้สภาวะทางกล ดังตารางที่ ข-4 และจากสมการที่ (ข.6) สามารถคำนวณหาค่าพารามิเตอร์วงจรสมมูลการทดสอบเมื่อไร้สภาวะทางกล ได้ดังนี้

$$X_{nl} = \frac{\sqrt{(220.14 \times 3.90)^2 - (146.10)^2}}{(3.90)^2} = 55.6229 \ \Omega$$

แทนค่า  $X_{nl} = 55.6229 \ \Omega$  และแทนค่า  $X_b = 6.8362 \ \Omega$  จากการทดสอบการจับยึดโรเตอร์ ลงในสมการที่ (ข.8) จะได้ค่า  $X_m = 2(55.6229) - 1.5(6.8362) = 100.9915 \ \Omega$

แทนค่า  $R_1 = 1.7846 \ \Omega$  จากการทดสอบด้วยแรงดันไฟฟ้ากระแสตรง  $R_b = 7.5147 \ \Omega$

และ  $X'_2 = 3.4181 \ \Omega$  จากการทดสอบการจับยึดโรเตอร์และ  $X_m = 100.9915 \ \Omega$  จากการ

ทดสอบเมื่อไร้สภาวะทางกล ลงในสมการที่ (ข.5) คำนวณหาค่าพารามิเตอร์  $R'_2$  ได้ดังนี้  
 เอกสารนี้เป็นเอกสารที่สงวนไว้สำหรับการใช้งานเพื่อการศึกษาเท่านั้น ไม่อนุญาตให้นำไปเผยแพร่โดยไม่ได้รับอนุญาต  
 ไม่ว่าจะกรณีใดๆทั้งสิ้น อีกทั้งห้ามมิให้ตัดแปลงเนื้อหา และต้องอ้างอิงถึงเจ้าของเอกสารทุกครั้งที่มีการนำไปใช้

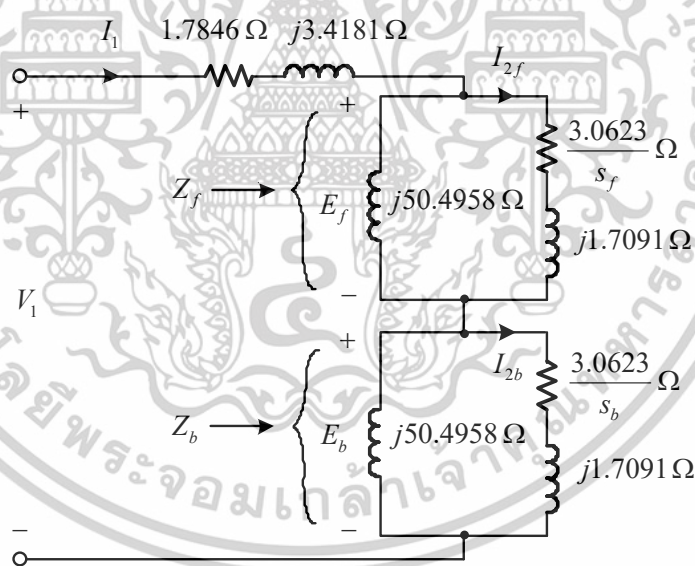
$$R'_2 = (7.5147 - 1.7846) \left( \frac{3.4181 + 100.9915}{100.9915} \right)^2 = 6.1245 \ \Omega$$

จากผลการทดสอบด้วยป้อนแรงดันไฟฟ้ากระแสตรง การทดสอบการจับยึดโรเตอร์ และการทดสอบเมื่อไร้สภาวะทางกล สรุปค่าพารามิเตอร์วงจรสมมูลของมอเตอร์เหนี่ยวนำหนึ่งเฟสชนิดเริ่มหมุนด้วยตัวเก็บประจุแสดงดังตารางที่ ข-5

ตารางที่ ข-5 ค่าพารามิเตอร์วงจรสมมูลของมอเตอร์เหนี่ยวนำหนึ่งเฟสชนิดเริ่มหมุนด้วยตัวเก็บประจุ

$R_1$ ( $\Omega$ )	$R'_2$ ( $\Omega$ )	$X_1$ ( $\Omega$ )	$X'_2$ ( $\Omega$ )	$X_m$ ( $\Omega$ )
1.7846	6.1245	3.4181	3.4181	100.9915

แทนค่าพารามิเตอร์วงจรสมมูล จากตารางที่ ข-5 จะได้ค่าพารามิเตอร์วงจรสมมูลของมอเตอร์เหนี่ยวนำหนึ่งเฟสชนิดเริ่มหมุนด้วยตัวเก็บประจุแสดงดังรูปที่ ข-6



รูปที่ ข-6 ค่าพารามิเตอร์วงจรสมมูลของมอเตอร์เหนี่ยวนำหนึ่งเฟสชนิดเริ่มหมุนด้วยตัวเก็บประจุ

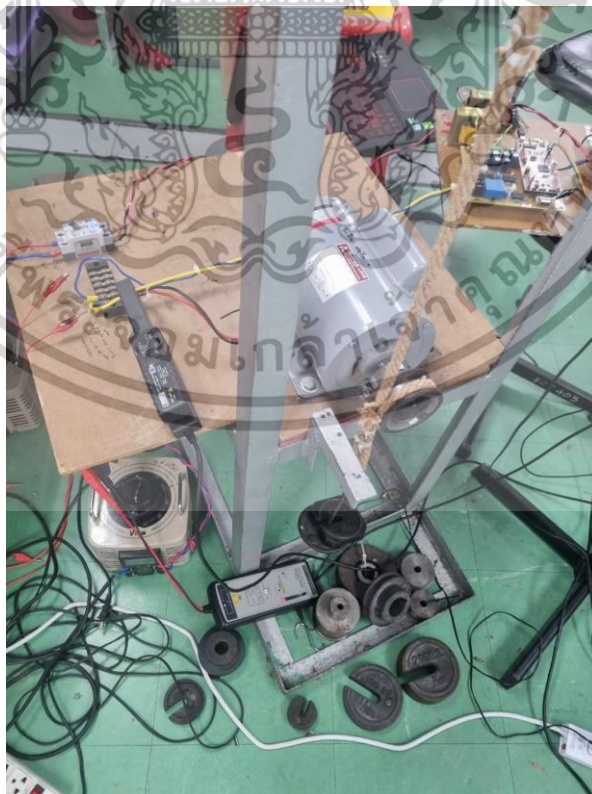
เอกสารนี้เป็นเอกสารที่สงวนไว้สำหรับการใช้งานเพื่อการศึกษาเท่านั้น ไม่อนุญาตให้นำไปใช้ประโยชน์ด้านการค้า ไม่ว่าจะกรณีใดๆทั้งสิ้น อีกทั้งห้ามมิให้ดัดแปลงเนื้อหา และต้องอ้างอิงถึงเจ้าของเอกสารทุกครั้งที่มีการนำไปใช้



เอกสารนี้เป็นเอกสารที่สงวนไว้สำหรับการใช้งานเพื่อการศึกษาเท่านั้น ไม่อนุญาตให้นำไปใช้ประโยชน์ด้านการค้า  
ไม่ว่ากรณีใดๆทั้งสิ้น อีกทั้งห้ามมิให้ดัดแปลงเนื้อหา และต้องอ้างอิงถึงเจ้าของเอกสารทุกครั้งที่มีการนำไปใช้

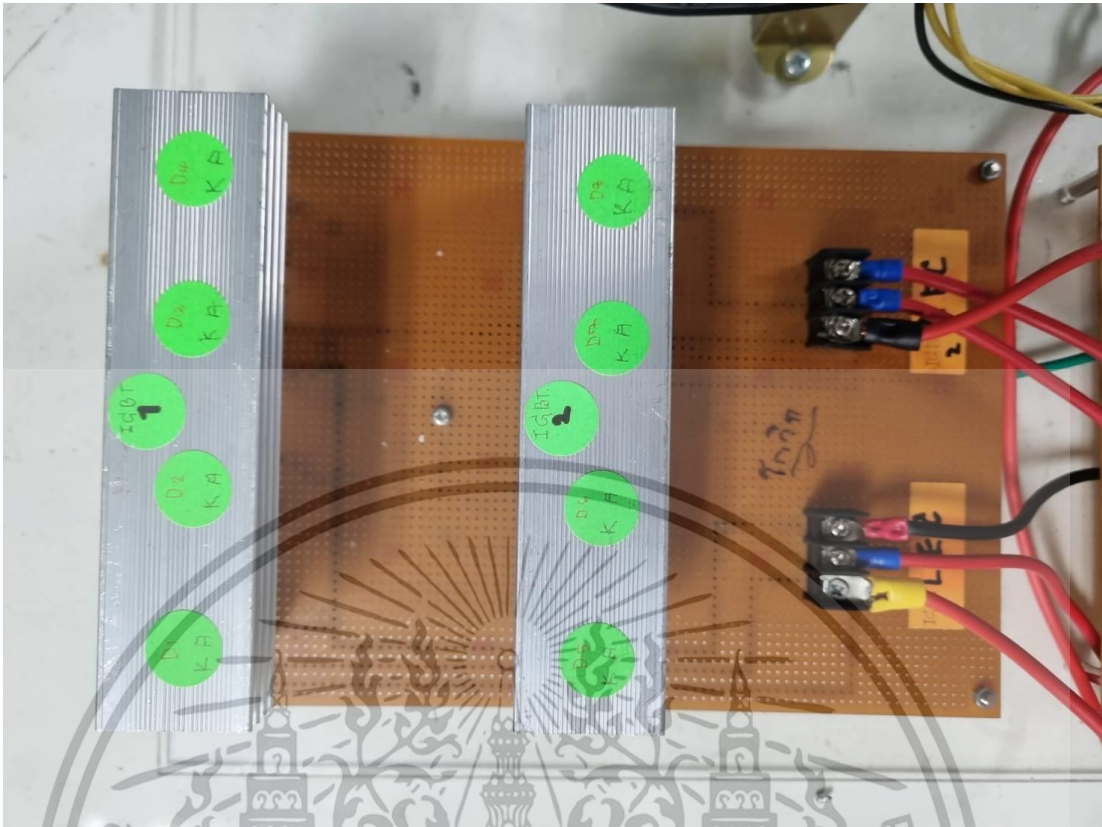


รูปที่ ค-1 ภาพรวมของชุดวงจรต้นแบบสำหรับใช้ในงานวิจัย

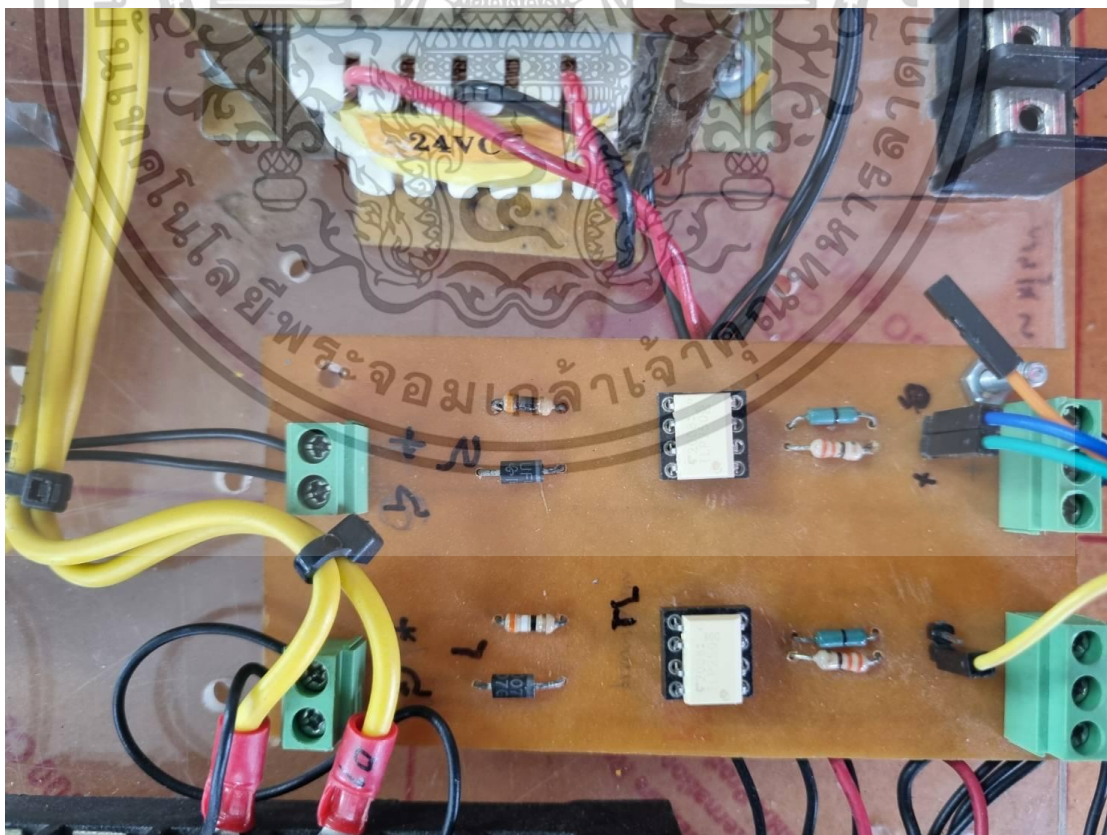


รูปที่ ค-2 มอเตอร์เหนี่ยวนำหนึ่งเฟสชนิดเริ่มหมุนด้วยตัวเก็บประจุสำหรับใช้ในงานวิจัย

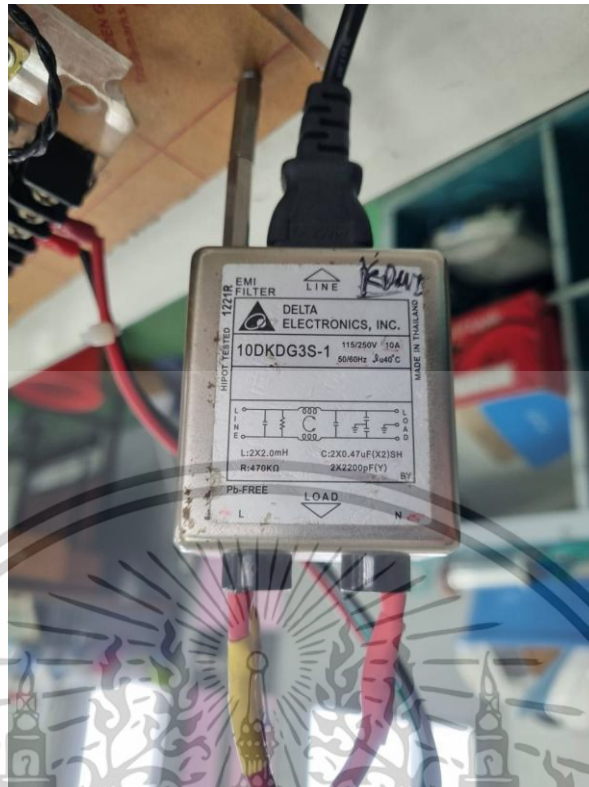
เอกสารนี้เป็นเอกสารที่สงวนไว้สำหรับการใช้งานเพื่อการศึกษาเท่านั้น ไม่อนุญาตให้นำไปเผยแพร่หรือนำไปใช้ไม่ว่ากรณีใดๆทั้งสิ้น อีกทั้งห้ามมิให้ตัดแปลงเนื้อหา และต้องอ้างอิงถึงเจ้าของเอกสารทุกครั้งที่มีการนำไปใช้



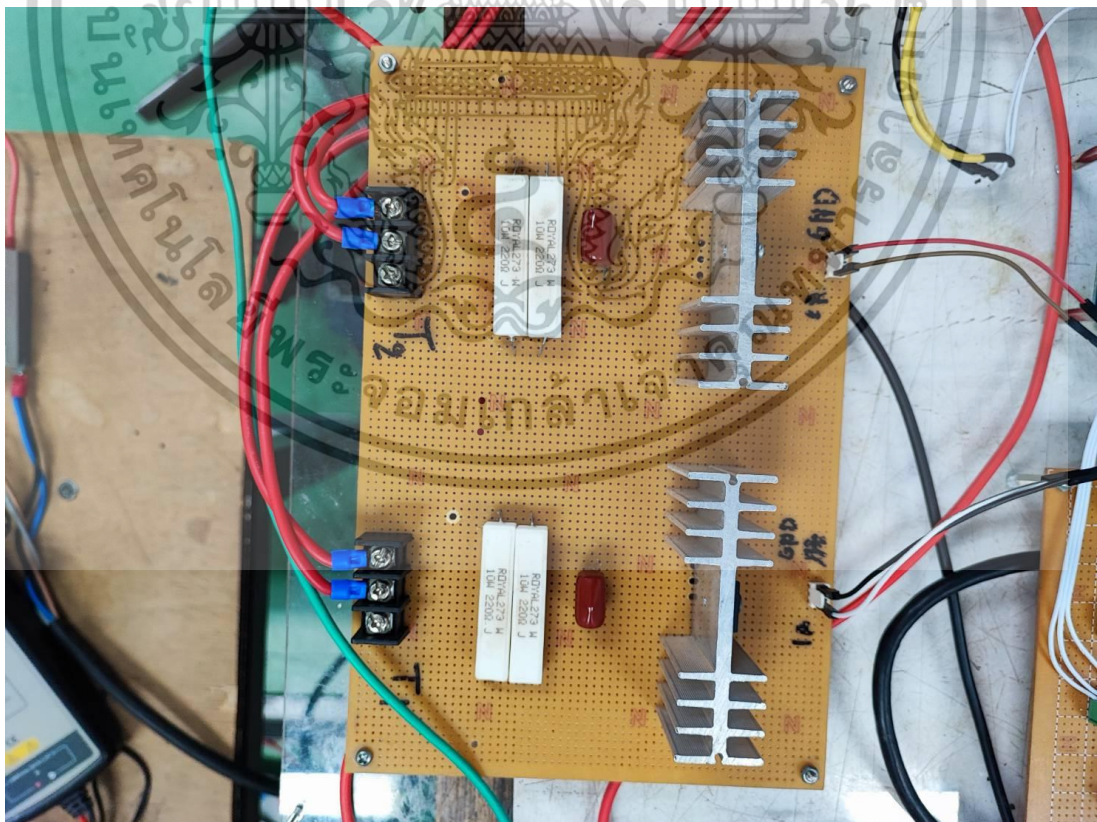
รูปที่ ค-3 วงจรไดโอดเป็นสวิตช์สองทาง 8 ตัว แบบ Fast Recovery Diode



รูปที่ ค-4 วงจรอปโตคัปเปิลอร์ป้องกันการชนกันของไฟฟ้า Opto-Coupler/Opto-Isolator  
เอกสารนี้เป็นเอกสารที่สงวนไว้สำหรับการใช้งานเพื่อการศึกษาเท่านั้น เมื่ออนุญาตเห็นไปใช้ประโยชน์ด้านการค้า  
ไม่ว่ากรณีใดๆทั้งสิ้น อีกทั้งห้ามมิให้ดัดแปลงเนื้อหา และต้องอ้างอิงถึงเจ้าของเอกสารทุกครั้งที่มีการนำไปใช้

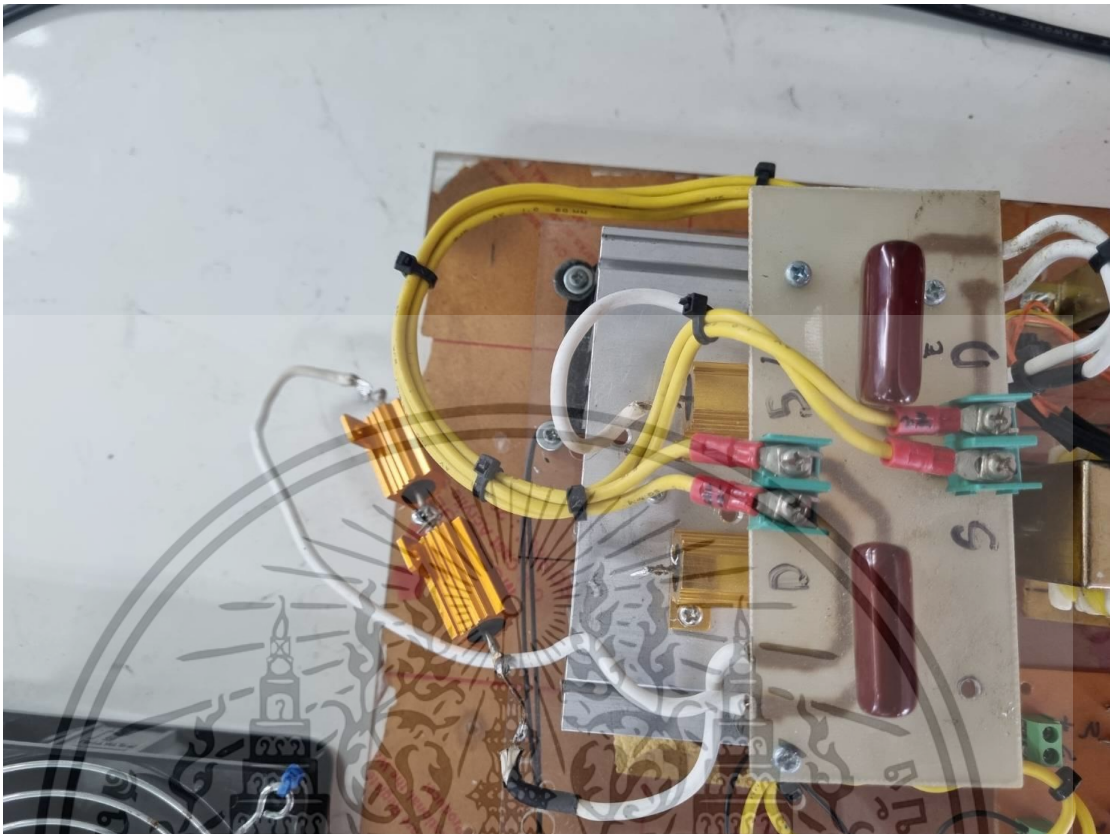


รูปที่ ค-5 วงจรกรองสัญญาณ EMI Noise Filter ป้องกันสัญญาณรบกวนทางไฟฟ้า

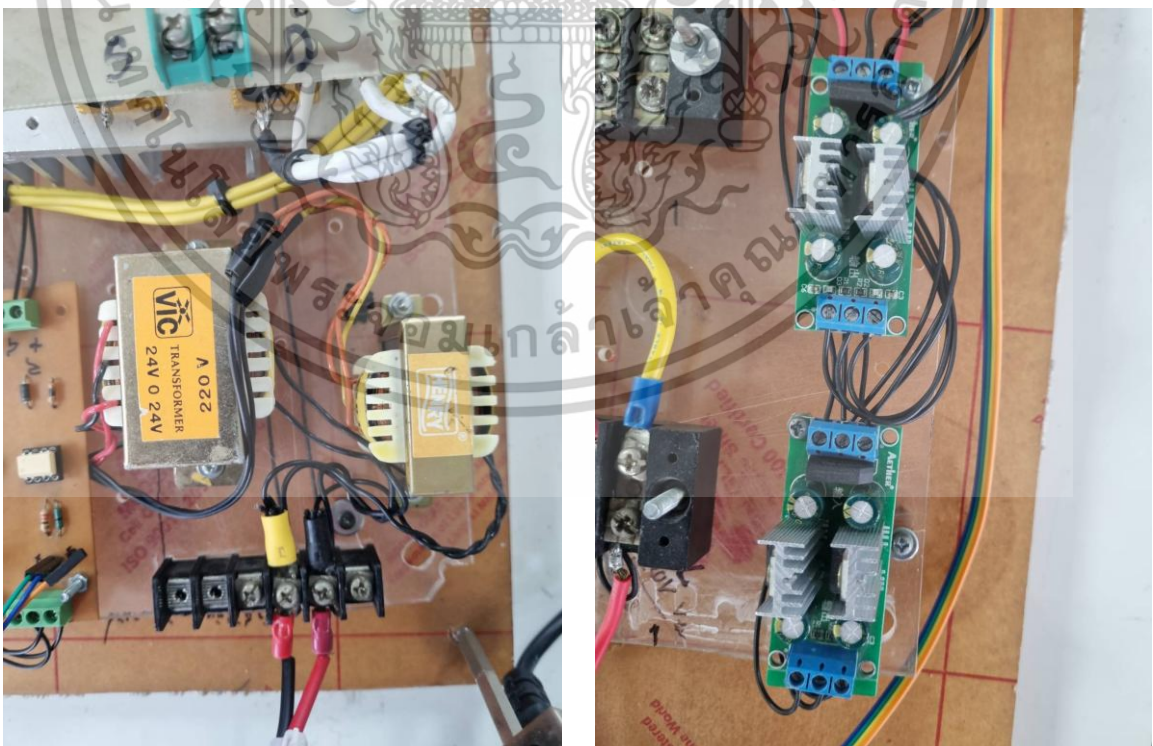


รูปที่ ค-6 วงจรสวิตช์ไอจีบีที (IGBT) แบบสวิตช์ 2 ทาง

เอกสารนี้เป็นเอกสารที่สงวนไว้สำหรับการใช้งานเพื่อการศึกษาเท่านั้น ไม่อนุญาตให้นำไปใช้ประโยชน์ด้านการค้า ไม่ว่าจะกรณีใดๆทั้งสิ้น อีกทั้งห้ามมิให้ตัดแปลงเนื้อหา และต้องอ้างอิงถึงเจ้าของเอกสารทุกครั้งที่มีการนำไปใช้

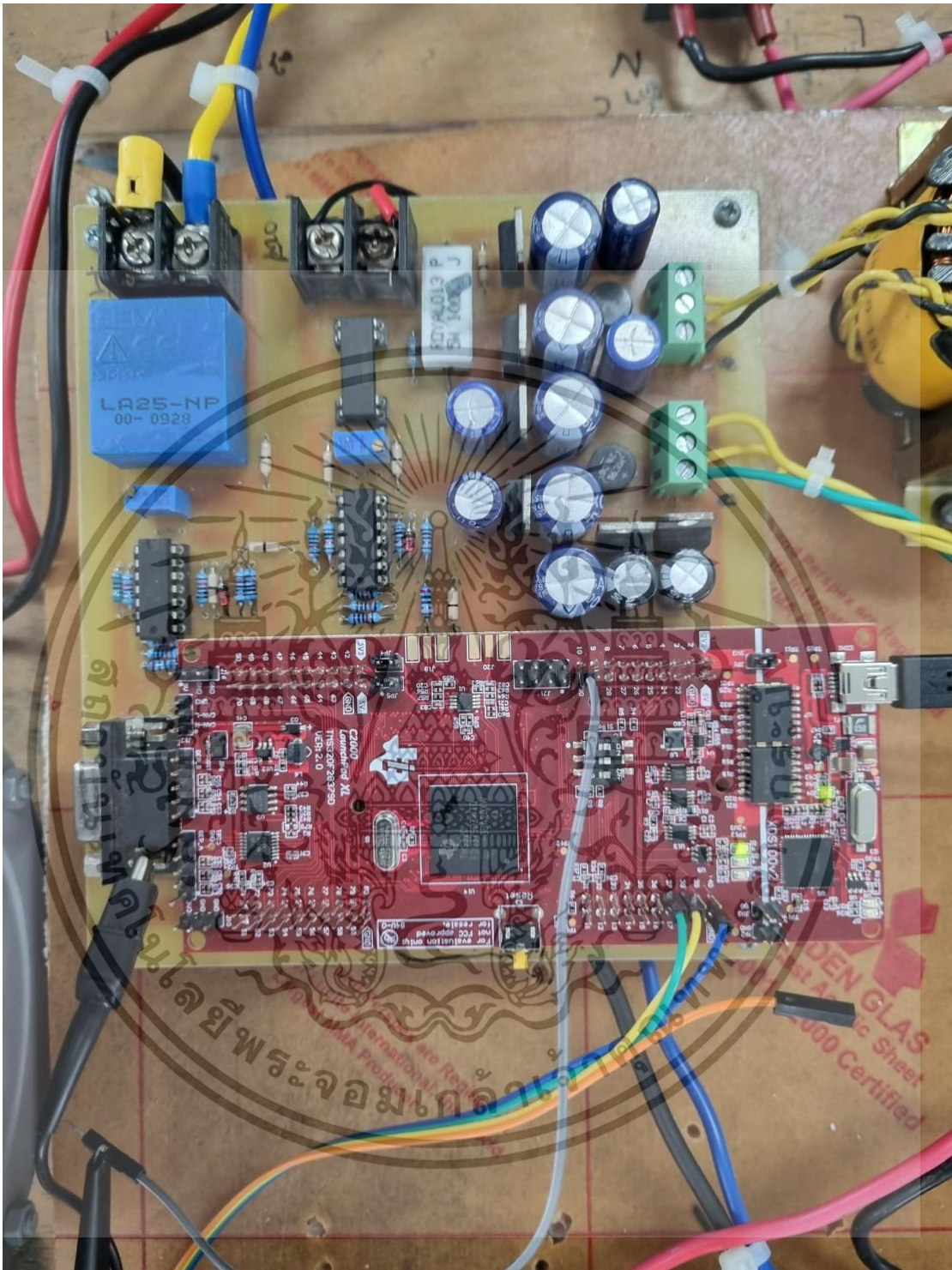


รูปที่ ค-7 วงจรสแน็บเบอร์ RC Snubbers สำหรับป้องกันวงจรจากไฟกระชาก




รูปที่ ค-8 วงจรแหล่งจ่ายไฟฟ้ากระแสตรง 15V DC Switching Power Supply

เอกสารนี้เป็นเอกสารที่สงวนไว้สำหรับการใช้งานเพื่อการศึกษาเท่านั้น ไม่อนุญาตให้นำไปใช้ประโยชน์ด้านการค้า ไม่ว่าจะกรณีใดๆทั้งสิ้น อีกทั้งห้ามมิให้ดัดแปลงเนื้อหา และต้องอ้างอิงถึงเจ้าของเอกสารทุกครั้งที่มีการนำไปใช้



รูปที่ ค-9 วงจรตรวจจับสัญญาณสัญญาณแรงดัน, วงจรตรวจจับสัญญาณสัญญาณกระแส, วงจร  
 ประวิงเวลาหรือ Dead Time และไมโครคอนโทรลเลอร์ C2000 Microcontroller  
 รุ่น TMS320F28379D

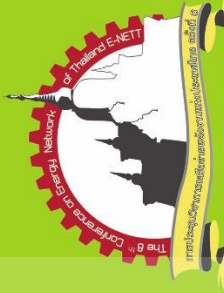
เอกสารนี้เป็นเอกสารที่สงวนไว้สำหรับการใช้งานเพื่อการศึกษาเท่านั้น ไม่อนุญาตให้นำไปใช้ประโยชน์ด้านการค้า  
 ไม่ว่าจะกรณีใดๆทั้งสิ้น อีกทั้งห้ามมิให้ดัดแปลงเนื้อหา และต้องอ้างอิงถึงเจ้าของเอกสารทุกครั้งที่มีการนำไปใช้




ภาคผนวก ง.  
บทความวิจัยที่ได้รับการตีพิมพ์เผยแพร่ในการประชุมวิชาการ  
ทางวิศวกรรมไฟฟ้าเพื่อใช้สำเร็จการศึกษา  
หลักสูตรวิศวกรรมศาสตรมหาบัณฑิต  
สาขาวิชาวิศวกรรมไฟฟ้า คณะวิศวกรรมศาสตร์  
สถาบันเทคโนโลยีพระจอมเกล้าเจ้าคุณทหารลาดกระบัง

เอกสารนี้เป็นเอกสารที่สงวนไว้สำหรับการใช้งานเพื่อการศึกษาเท่านั้น ไม่อนุญาตให้นำไปใช้ประโยชน์ด้านการค้า  
ไม่ว่ากรณีใดๆทั้งสิ้น อีกทั้งห้ามมิให้ดัดแปลงเนื้อหา และต้องอ้างอิงถึงเจ้าของเอกสารทุกครั้งที่มีการนำไปใช้

การประชุมวิชาการเครือข่ายพลังงานแห่งประเทศไทย ครั้งที่ 8  
The 8<sup>th</sup> Conference on Energy Network of Thailand; E-NETT 8




การประชุมวิชาการเครือข่ายพลังงานแห่งประเทศไทย ครั้งที่ 8



การประชุมวิชาการเครือข่ายพลังงานแห่งประเทศไทย ครั้งที่ 8

พลังงานแห่งอนาคตเพื่ออนาคตอาเซียน  
Green Energy and Innovations for ASEAN's future



วันที่ 2-4 พฤษภาคม 2555 โรงแรมทีเอสโก้ จังหวัดนครราชสีมา

การประชุมนวัตกรรมเครือข่ายพลังงานแห่งประเทศไทย ครั้งที่ 8

คณะวิศวกรรมศาสตร์ มหาวิทยาลัยเทคโนโลยีพระจอมเกล้าเจ้าคุณทหารลาดกระบัง  
ต.ชานเมือง อ.เมืองระยอง จ.นครราชสีมา  
โทรศัพท์ 0-4375-4321-40 ต่อ 3010-3058

เอกสารนี้เป็นเอกสารที่สงวนไว้สำหรับการใช้งานเพื่อการศึกษาเท่านั้น ไม่อนุญาตให้นำไปใช้ประโยชน์ด้านการค้า  
ไม่ว่ากรณีใดๆทั้งสิ้น อีกทั้งห้ามมิให้ดัดแปลงเนื้อหา และต้องอ้างอิงถึงเจ้าของเอกสารทุกครั้งที่มีการนำไปใช้



ที่ พิเศษ/2555

คณะวิศวกรรมศาสตร์  
มหาวิทยาลัยมหาสารคาม  
ตำบลขามเรียง อำเภอกันทรวิชัย  
จังหวัดมหาสารคาม

1 เมษายน 2555

เรื่อง ตอบรับบทความวิจัยสำหรับนำเสนอในการประชุมวิชาการเครือข่ายพลังงานแห่งประเทศไทยครั้งที่ 8

เรียน คุณ โกวิท ภูฉลาด

ตามที่ท่านได้ส่งบทความเรื่อง การปรับแรงดันไฟฟ้ากระแสสลับด้วยฟิลส์วิตมอดูลเอชซี ซีออปเปอร์ สำหรับการประหยัดพลังงานในมอเตอร์เหนี่ยวนำหนึ่งเฟส เลขที่บทความ EC34 เพื่อนำเสนอในการประชุมวิชาการเครือข่ายพลังงานแห่งประเทศไทย ครั้งที่ 8 ณ โรงแรมตักสิลา จังหวัดมหาสารคาม ระหว่างวันที่ 2 - 4 พฤษภาคม 2555 ทางคณะกรรมการจัดการประชุม ขอแจ้งให้ท่านทราบว่าบทความวิจัยของท่านได้ผ่านการพิจารณาให้นำเสนอภาคบรรยาย และขอให้ท่านได้ดำเนินการลงทะเบียนเข้าร่วมงานประชุมตามเอกสารแนบภายในวันที่ 20 เมษายน 2555 เพื่อจะดำเนินการนำบทความฉบับเต็มของท่านจัดพิมพ์ในรายงานการประชุมต่อไป

จึงเรียนมาเพื่อโปรดทราบ

ขอแสดงความนับถือ

(ผู้ช่วยศาสตราจารย์ ดร.บพิศ บุปผโชติ)

ประธานคณะกรรมการอำนวยการจัดการประชุมวิชาการเครือข่ายพลังงานแห่งประเทศไทยครั้งที่ 8

คณะวิศวกรรมศาสตร์  
มหาวิทยาลัยมหาสารคาม  
โทร. 043-754322-40 ต่อ 3086 โทรสาร 043-754316

ref.No : 2088

เอกสารนี้เป็นเอกสารที่สงวนไว้สำหรับการใช้งานเพื่อการศึกษาเท่านั้น ไม่อนุญาตให้นำไปใช้ประโยชน์ด้านการค้า  
ไม่ว่ากรณีใดๆทั้งสิ้น อีกทั้งห้ามมิให้ตัดแปลงเนื้อหา และต้องอ้างอิงถึงเจ้าของเอกสารทุกครั้งที่มีการนำไปใช้



เทคนิคการปรับแรงดันไฟฟ้ากระแสสลับด้วยพัลส์วิดมอดูเลชัน เอชซี ซ็อบเปอร์ สำหรับ  
การประหยัดพลังงานในมอเตอร์เหนี่ยวนำหนึ่งเฟส  
Variable AC Voltage Technique using a PWM AC Chopper for Energy Saving  
in a Single-Phase Induction Motor

โกวิท ภูฉลาด<sup>1</sup>, อธิปไตย ศรีมาวงศ์<sup>1</sup>, วีระ ชันยาภิรักษ์<sup>2</sup>, ประเสริฐ สอระสัน<sup>3</sup> และ วิจิตร กิณเรต<sup>1</sup>

<sup>1</sup> สาขาวิชาวิศวกรรมไฟฟ้า คณะวิศวกรรมศาสตร์ สถาบันเทคโนโลยีพระจอมเกล้าเจ้าคุณทหารลาดกระบัง เขตที่ 1 ซอยจตุพลวง 1 ถนนลาด  
กระบัง กรุงเทพมหานคร 10520

<sup>2</sup> สาขาวิชาวิศวกรรมไฟฟ้า คณะอุตสาหกรรมและเทคโนโลยี มหาวิทยาลัยเทคโนโลยีราชมงคลธัญบุรี จังหวัดปทุมธานี เขตที่ 199 ถนนพหล  
โยธิน-วชิราวุฒีมอเตอร์เวย์ ตำบลคลองใหญ่ อำเภอคลองใหญ่ จังหวัดปทุมธานี 47160

<sup>3</sup> สาขานาแล็คทีฟไฟฟ้าและสายงานเครื่องมือวัดอุตสาหกรรม สาขาวิชาไฟฟ้ากำลัง แผนกวิชาช่างไฟฟ้ากำลัง วิทยาลัยเทคนิคมหาสารคาม  
เลขที่ 460 ถนนนครสวรรค์ ตำบลตลาด อำเภอเมือง จังหวัดมหาสารคาม 44000  
E-mail: hikowit@gmail.com, โทรศัพท์ 0-2326-4550, โทรสาร 0-2326-4550

#### บทคัดย่อ

บทความนี้ได้นำเสนอเทคนิคการปรับแรงดันไฟฟ้ากระแสสลับโดยใช้พัลส์วิดมอดูเลชัน เอชซี ซ็อบเปอร์ ซึ่ง  
ใช้ไอจีบีทีที่ทำงานร่วมกับไดโอดต่อกันแบบเต็มบริดจ์เป็นสวิตช์สองทาง สำหรับการประหยัดพลังงานของมอเตอร์  
เหนี่ยวนำหนึ่งเฟสชนิดคาปาซิเตอร์สตาร์ทขนาด ¼ แรงม้า 220 โวลต์ 50 เฮิรตซ์ พัลส์วิดมอดูเลชัน เอชซี ซ็อบ  
เปอร์ ที่นำเสนอจะให้อัตราการลดกระแสฮาร์มอนิกเมื่อเปรียบเทียบกับวิธีการปรับแรงดันด้วยวิธีการแบบดั้งเดิม  
โดยใช้การควบคุมเฟสด้วยไตรแอดเป็นตัวสวิตช์ ในบทความนี้ยังได้มีการวิเคราะห์การทำงานของเอชซี ซ็อบเปอร์  
อย่างละเอียด มีการออกแบบและสร้างวงจรควบคุม ได้มีการตรวจสอบการทำงานทั้งทางทฤษฎีและทดลอง จาก  
การทดสอบพบว่าที่ภาระเบาของมอเตอร์การปรับแรงดันที่เหมาะสมโดยใช้เอชซี ซ็อบเปอร์ สามารถทำให้  
ประสิทธิภาพของมอเตอร์สูงขึ้นเมื่อเปรียบเทียบกับการป้อนแรงดันที่พิกัดให้กับมอเตอร์  
คำหลัก: มอเตอร์เหนี่ยวนำหนึ่งเฟส, พัลส์วิดมอดูเลชัน เอชซี ซ็อบเปอร์, ฮาร์มอนิก

#### Abstract

This paper presents a technique of varying AC voltage using a pulse width modulation (PWM) AC  
chopper with insulated gate transistor (IGBT) in conjunction with diodes formed in a full bridge as a  
bidirectional switch for energy saving of a ¼ HP, 220 V, 50 Hz capacitor start type single induction motor.  
The proposed PWM AC chopper offers an advantage in terms of a harmonic current reduction when  
compared with a conventional technique using a phase control method using triac as a switch. In this  
paper, an analysis of operation of the proposed PWM AC chopper is fully given. Design and  
implementation are also included. Both theory and experiment are verified. From the experiment, it has

เอกสารนี้เป็นเอกสารที่สงวนลิขสิทธิ์สำหรับการใช้งานเพื่อการศึกษาเท่านั้น เมื่อผู้ยืมได้เห็นว่าไม่เหมาะสมหรือไม่ควรเผยแพร่

ไม่ว่ากรณีใดๆทั้งสิ้น อีกทั้งห้ามมิให้ดัดแปลงเนื้อหา และต้องอ้างอิงถึงเจ้าของเอกสารทุกครั้งที่มีการนำไปใช้



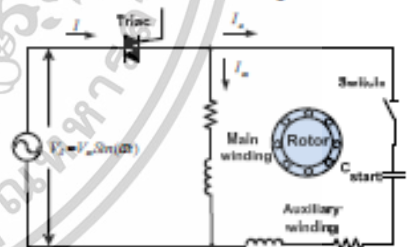
founded that, at a light load condition, an appropriate voltage level obtained from the proposed PWM AC chopper gives higher efficiency compared with applied motor voltage with the rated value.

**Keywords:** Single Phase Induction Motor, PWM AC Chopper, Harmonic.

1. บทนำ

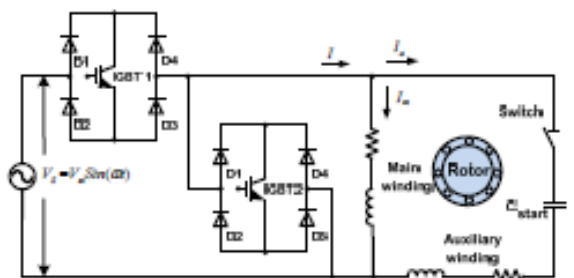
ปัจจุบันพบว่าเครื่องจักรกลไฟฟ้าเข้ามามีบทบาทในการทำงานมากขึ้นทั้งนี้เนื่องจากความก้าวหน้าทางด้านเทคโนโลยี อีกทั้งการขยายตัวทางเศรษฐกิจที่เพิ่มขึ้นโดยเฉพาะอย่างยิ่งภาคอุตสาหกรรมและภาคเกษตรกรรม ทั้งนี้เนื่องจากการใช้เครื่องจักรกลไฟฟ้าสามารถอำนวยความสะดวกในการใช้งานและประยุกต์ใช้กับงานอื่นๆได้หลากหลาย โดยเฉพาะมอเตอร์เหนี่ยวนำหนึ่งเฟสซึ่งสามารถพบได้ในภาคอุตสาหกรรมและภาคเกษตรกรรมครัวเรือน เนื่องจากโครงสร้างมีความแข็งแรงและทนทานต่อสภาพภูมิอากาศ อีกทั้งไม่ต้องมีการบำรุงรักษาบ่อยครั้งและที่สำคัญมีราคาไม่สูงมากสามารถหาซื้อได้ทั่วไป จึงทำให้มอเตอร์เหนี่ยวนำหนึ่งเฟสได้รับความนิยมเป็นอย่างมาก ในอดีตมอเตอร์เหนี่ยวนำหนึ่งเฟสนี้จะมีขนาดของแรงม้าที่ต่ำแต่ปัจจุบันได้มีการพัฒนาเพิ่มขนาดของแรงม้าเพื่อให้สามารถนำไปใช้กับงานที่ต้องการภาระหนักได้ สำหรับพลังงานกลที่จะมีการนำไปใช้ขึ้นอยู่กับลักษณะของงาน เช่น พัดลม, เครื่องบด, เครื่องรีด, เครื่องเจาะ, และเครื่องม้วน เป็นต้น เราเรียกลักษณะของงานที่ใช้มอเตอร์เหนี่ยวนำหนึ่งเฟสในการเปลี่ยนรูปพลังงานว่า "ภาระมอเตอร์ (Load Motor)" ซึ่งลักษณะงานแต่ละชนิดก็จะเป็นภาระการทำงานที่แตกต่างกันของมอเตอร์ เช่น ภาระเบา ภาระปานกลาง และภาระหนัก อาจจะคงที่หรือไม่คงที่ขึ้นอยู่กับช่วงระยะเวลาของมอเตอร์ซึ่งเป็นคุณสมบัติของแต่ละภาระมอเตอร์ ภาระของมอเตอร์จะส่งผลต่อประสิทธิภาพและค่าเพาเวอร์แฟกเตอร์ที่ต่ำทำให้เกิดการสูญเสียพลังงานค่อนข้างสูง ดังนั้นถ้าหาก

เกิดการสูญเสียมาก ดังนั้นการหาวิธีที่จะเพิ่มประสิทธิภาพของมอเตอร์จึงเป็นเรื่องที่ควรตระหนัก [1,2] จากรูปที่ 1 เป็นการควบคุมมอเตอร์เหนี่ยวนำหนึ่งเฟสด้วยไตรแอกที่ทำหน้าที่เป็นสวิตช์วงจรกำลังในการควบคุมมอเตอร์ ซึ่งเป็นการควบคุมแรงดันที่จ่ายให้มอเตอร์โดยใช้เทคนิคการควบคุมเฟส วิธีวิธีนี้จะส่งผลต่อรูปคลื่นแรงดันและกระแสทำให้มีฮาร์มอนิกอันดับต่ำปะปนทำให้เกิดการสูญเสียในมอเตอร์เนื่องจากฮาร์มอนิกจะส่งผลกระทบต่ออุปกรณ์ไฟฟ้าข้างเคียงที่ใช้ไฟร่วมกัน ดังนั้นในบทความนี้จึงได้นำเสนอวิธีการควบคุมมอเตอร์เหนี่ยวนำหนึ่งเฟสด้วยไอจีบีทีที่ทำหน้าที่เป็นสวิตช์สองทาง 2 ตัว ทำงานสลับกันด้วยเทคนิคพัลส์วิดมอดูเลชัน เอช ซี อีปเปอร เพื่อลดค่าฮาร์มอนิกที่ปะปน ตามรูปที่ 2



รูปที่ 1 วงจรการควบคุมมอเตอร์เหนี่ยวนำหนึ่งเฟสด้วยไตรแอกแบบดั้งเดิม

2. ทฤษฎีและหลักการวิเคราะห์โหมดการทำงานของพัลส์วิดมอดูเลชัน เอช ซี อีปเปอร

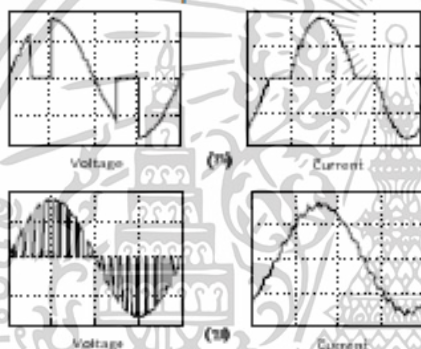


รูปที่ 2 วงจรการควบคุมมอเตอร์เหนี่ยวนำหนึ่งเฟสด้วยไอจีบีทีที่เป็นสวิตช์สองทาง

เอกสารนี้เป็นเอกสารที่สงวนไว้สำหรับการใช้งานเพื่อการศึกษาเท่านั้น ไม่อนุญาตให้เผยแพร่ไปใช้ประโยชน์ในการค้า เป็นสิ่งกีดขวางให้กับภาระเบาเป็นจำนวนมากก็จะทำให้ ไม่ว่าจะกรณีใดๆทั้งสิ้น อีกทั้งห้ามมิให้ดัดแปลงเนื้อหา และต้องอ้างอิงถึงเจ้าของเอกสารทุกครั้งหากมีการนำไปใช้



รูปที่ 3 (ก) ด้านซ้ายเป็นรูปคลื่นแรงดันและด้านขวาเป็นรูปคลื่นกระแสโดยใช้เทคนิคการควบคุมแบบ Phase Control ซึ่งรูปคลื่นแรงดันและกระแสมีฮาร์มอนิกอันดับต่ำปะปนในรูปคลื่นจะไม่เข้าใกล้ไซน์รูปที่ 3 (ข) ด้านซ้ายเป็นรูปคลื่นแรงดันและด้านขวาเป็นรูปคลื่นกระแสโดยใช้เทคนิคการควบคุมแบบ PWM AC Chopper ซึ่งรูปคลื่นกระแสจะเข้าใกล้ไซน์จึงทำให้เกิดการสูญเสียเนื่องจากฮาร์มอนิกต่ำกว่ากรณีที่ใช้เทคนิคการควบคุมแบบ Phase Control



รูปที่ 3 รูปคลื่นของแรงดันและกระแสเมื่อเตอร์

(ก) วิธีการแบบ Phase Control แบบดั้งเดิม (ข)

หลักการ PWM AC Chopper ที่ได้นำเสนอ

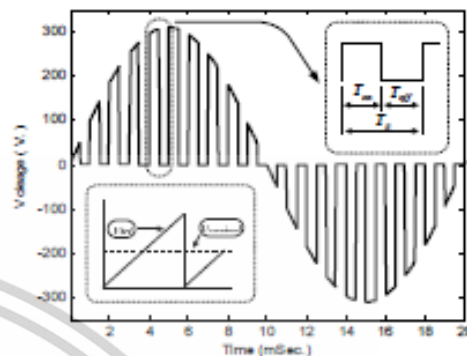
รูปคลื่นแรงดันจะถูกควบคุมตามค่า (Duty Ratio หรือ Duty Cycle: D) ซึ่งค่าดีวตี้ไซเคิลจะเป็นอัตราส่วนของช่วงเวลาการสวิตช์นำกระแสของสวิตช์ตัวที่ 1 ( $SW_1$ ) ต่อคาบเวลาของการสวิตช์ ดังสมการที่ (1) ซึ่งขนาดแรงดันที่ได้จะเป็นตามสมการที่ (2) และสามารถคำนวณหาค่าประสิทธิภาพของแรงดันที่โหลดได้จากสมการที่ (3)

$$D = \frac{T_{on}}{T_s} = \frac{T_{on}}{T_{on} + T_{off}} \quad (1)$$

เมื่อ  $T_{on}$  คือ ช่วงเวลานำกระแสของสวิตช์ตัวที่ 1 ( $SW_1$ ) แต่เป็นช่วงเวลาไม่นำกระแสของสวิตช์ตัวที่ 2 ( $SW_2$ ), s

$T_{off}$  คือ ช่วงเวลานำกระแสของสวิตช์ตัวที่ 2 ( $SW_2$ ) แต่เป็นช่วงเวลาไม่นำกระแสของสวิตช์ตัวที่ 1 ( $SW_1$ ), s

เอกสารนี้เป็นเอกสารที่สงวนไว้สำหรับการใช้งานเพื่อการศึกษาเท่านั้น ไม่อนุญาตให้นำไปใช้ประโยชน์ด้านการค้าไม่ว่ากรณีใดๆทั้งสิ้น อีกทั้งห้ามมีเหตุดัดแปลงเนื้อหา และต้องอ้างอิงถึงเจ้าของเอกสารทุกครั้งที่มีการนำไปใช้



รูปที่ 4 สัญญาณการควบคุมแรงดันแบบ PWM

$$v_{L1}(t) = DV_m \sin(\omega t) \quad (2)$$

เมื่อ  $v_{L1}(t)$  คือ ค่าแรงดันเอาต์พุตมูลฐานไฟฟ้าชั่วขณะที่เวลา  $t$  โดย,  $V$

$D$  คือ ค่าดีวตี้ไซเคิล

$V_m$  คือ ค่าแรงดันสูงสุดคลื่นไซน์, V

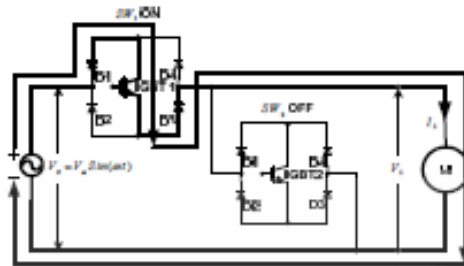
$$V_{LLrms} = \frac{DV_m}{\sqrt{2}} \quad (3)$$

$V_{LLrms}$  คือ ค่าแรงดันประสิทธิผล, V

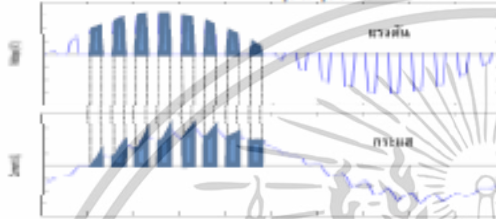
หลักการวิเคราะห์ห้วงจรโหมตการทำงานของพัลส์วิตมอดูลชัน เอช ซี อีพีเออร์ นั้นสามารถแบ่งลักษณะการทำงานออกเป็น 3 ประเภท และลักษณะช่วงเวลาในการทำงานของแต่ละประเภทแบ่งออกเป็น 6 โหมต ซึ่งจะได้อธิบายลักษณะประเภทการทำงานในแต่ละโหมตดังนี้

## 2.1 โหมตจ่ายกำลังไฟฟ้า

โหมตที่ 1 เป็นโหมตที่จ่ายกำลังไฟฟ้าไปยังโหลดในช่วงที่แรงดันเป็นบวกและกระแสเป็นบวก โดยสวิตช์ตัวที่ 2 เปิดวงจร ( $SW_2$ , OFF) สวิตช์ตัวที่ 1 ปิดวงจร ( $SW_1$ , ON) ทำให้กระแสไหลผ่านไดโอดตัวที่ 1 ไอจีบีทีตัวที่ 1 และไดโอดตัวที่ 3 ไปยังโหลด ดังรูปที่ 5

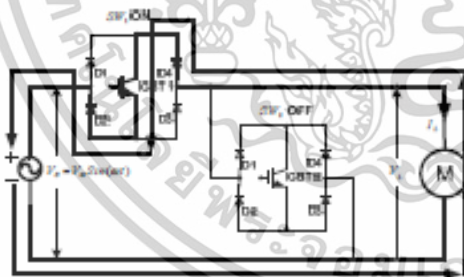


Mode 1:  $V_a(+), I_a(+)$

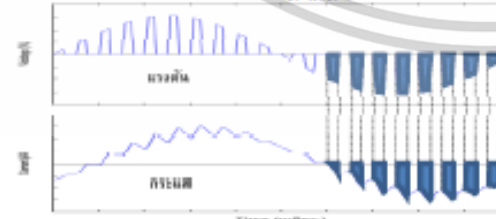


รูปที่ 5 โหมดที่ 1 โหมดจ่ายกำลังไฟฟ้าช่วงแรงดันเป็นบวกและกระแสเป็นบวก

โหมดที่ 2 เป็นโหมดที่จ่ายกำลังไฟฟ้าไปยังโหลดในช่วงที่แรงดันเป็นลบและกระแสเป็นลบ โดยสวิตช์ตัวที่ 2 เบ็ดวางจอร์ ( $SW_2, OFF$ ) สวิตช์ตัวที่ 1 ปิดวางจอร์ ( $SW_1, ON$ ) ทำให้กระแสไหลผ่านไดโอดตัวที่ 2 ไอจีบีทีตัวที่ 1 และไดโอดตัวที่ 4 ไปยังโหลด ดังรูปที่ 6



Mode 2:  $V_a(-), I_a(-)$



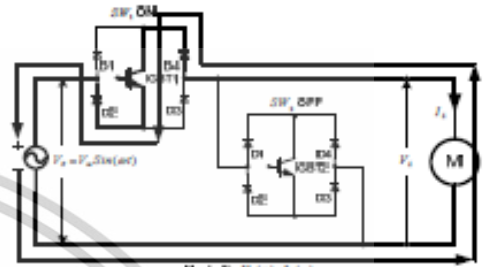
รูปที่ 6 โหมดที่ 2 โหมดจ่ายกำลังไฟฟ้าช่วงแรงดันเป็นลบและกระแสเป็นลบ

2.2 โหมดคืนกำลังไฟฟ้า

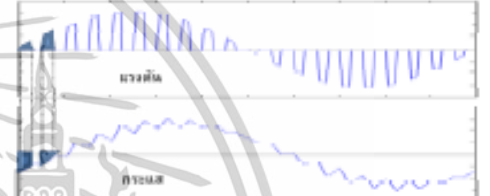
โหมดที่ 3 เป็นโหมดที่รับกำลังไฟฟ้าคืนจากโหลด

ในช่วงที่แรงดันเป็นบวกและกระแสเป็นลบ โดยสวิตช์ตัวที่ 2 เบ็ดวางจอร์ ( $SW_2, OFF$ ) สวิตช์ตัวที่ 1 ปิดวางจอร์ ( $SW_1, ON$ ) ทำให้กระแสไหลผ่านไดโอดตัวที่ 1 ไอจีบีทีตัวที่ 1 และไดโอดตัวที่ 3 ไปยังโหลด ดังรูปที่ 7

( $SW_1, ON$ ) ทำให้กระแสไหลผ่านไดโอดตัวที่ 2 ไอจีบีทีตัวที่ 1 และไดโอดตัวที่ 4 ไปยังโหลด ดังรูปที่ 7

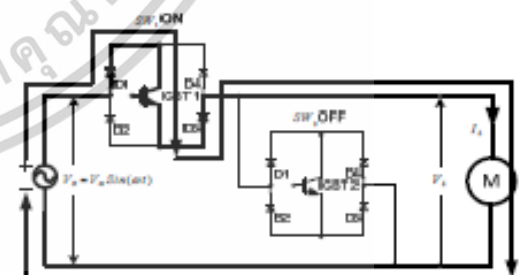


Mode 3:  $V_a(+), I_a(+)$

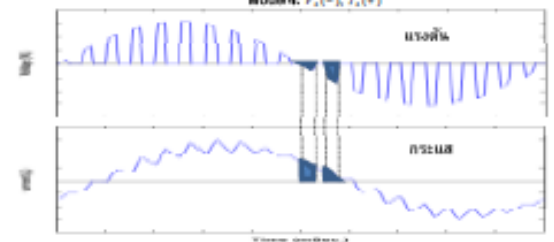


รูปที่ 7 โหมดที่ 3 โหมดคืนกำลังไฟฟ้าช่วงแรงดันเป็นบวกและกระแสเป็นลบ

โหมดที่ 4 เป็นโหมดที่รับกำลังไฟฟ้าคืนจากโหลดในช่วงที่แรงดันเป็นลบและกระแสเป็นบวก โดยสวิตช์ตัวที่ 2 เบ็ดวางจอร์ ( $SW_2, OFF$ ) สวิตช์ตัวที่ 1 ปิดวางจอร์ ( $SW_1, ON$ ) ทำให้กระแสไหลผ่านไดโอดตัวที่ 1 ไอจีบีทีตัวที่ 1 และไดโอดตัวที่ 3 ไปยังโหลด ดังรูปที่ 8



Mode 4:  $V_a(-), I_a(+)$

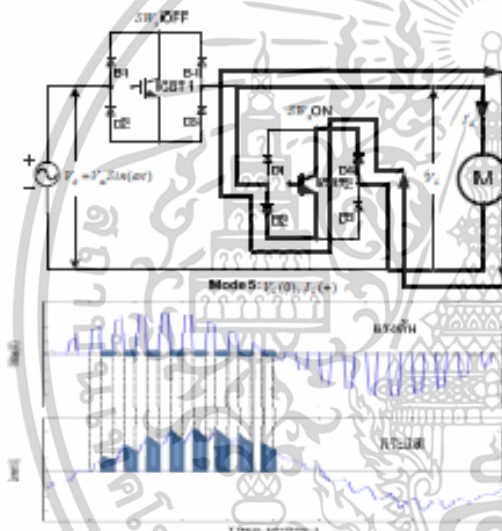


รูปที่ 8 โหมดที่ 4 โหมดคืนกำลังไฟฟ้าช่วงแรงดันเป็นลบและกระแสเป็นบวก



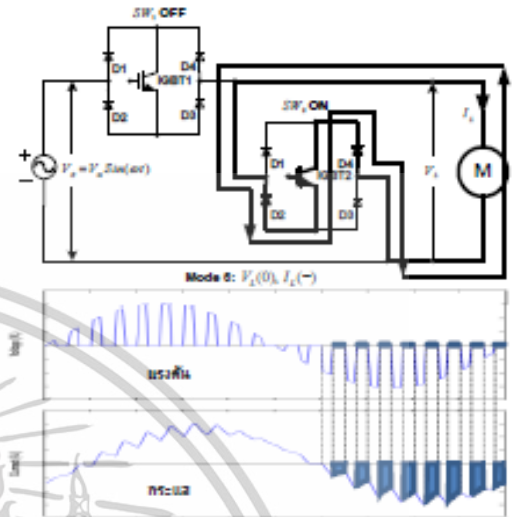
2.3 โหมดกระแสไหลเวียนอิสระ

โหมดที่ 5 เป็นโหมดที่กระแสไหลเวียนอิสระในโหลดเนื่องจากมีพลังงานสะสมในขดลวดจ่ายกำลังไฟฟ้าคืนให้โหลดในช่วงที่แรงดันเป็นศูนย์และกระแสเป็นบวก โดยสวิตช์ตัวที่ 1 เปิดวงจร ( $SW_1$ , OFF) สวิตช์ตัวที่ 2 ปิดวงจร ( $SW_2$ , ON) ทำให้กระแสไหลผ่านไดโอดตัวที่ 2 ไอจีบีทีตัวที่ 2 และไดโอดตัวที่ 4 ไปยังโหลด ดังรูปที่ 9



รูปที่ 9 โหมดที่ 5 โหมดกระแสไหลเวียนอิสระช่วงแรงดันเป็นศูนย์และกระแสเป็นบวก

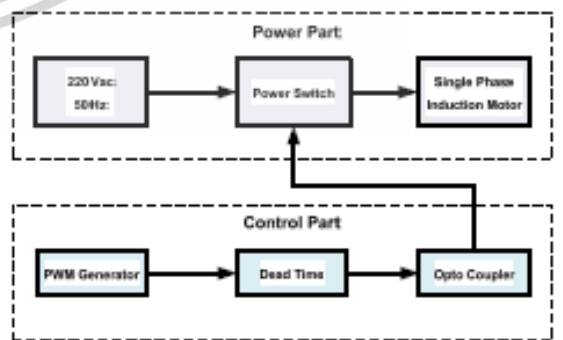
โหมดที่ 6 เป็นโหมดที่กระแสไหลเวียนอิสระในโหลดเนื่องจากมีพลังงานสะสมในขดลวดจ่ายกำลังไฟฟ้าคืนให้โหลดในช่วงที่แรงดันเป็นศูนย์และกระแสเป็นลบ โดยสวิตช์ตัวที่ 1 เปิดวงจร ( $SW_1$ , OFF) สวิตช์ตัวที่ 2 ปิดวงจร ( $SW_2$ , ON) ทำให้กระแสไหลผ่านไดโอดตัวที่ 2 ไอจีบีทีตัวที่ 2 และไดโอดตัวที่ 4 ไปยังโหลด ดังรูปที่ 10



รูปที่ 10 โหมดที่ 6 โหมดกระแสไหลเวียนอิสระช่วงแรงดันเป็นศูนย์และกระแสเป็นลบ

3. การควบคุมการทำงานของชุดขับเคลื่อนมอเตอร์เหนี่ยวนำหนึ่งเฟสแบบอนาล็อก

จากรูปที่ 11 เป็นการทำงานของชุดควบคุมการทำงานของวงจรขับเคลื่อนมอเตอร์เหนี่ยวนำหนึ่งเฟส โดยจะแบ่งการทำงานออกเป็น 2 ส่วน คือ ส่วนที่เป็นภาคกำลังและส่วนที่เป็นภาคควบคุม โดยมอเตอร์เหนี่ยวนำหนึ่งเฟสจะทำงานเมื่อมีสัญญาณควบคุมที่มาจากตัวสร้างสัญญาณ PWM โดยผ่านวงจรขับเคลื่อนที่สร้างจากตัวออปโตคัปเปิลเลอร์ (Opto Coupler) และสัญญาณเอาต์พุตที่ได้จะมากควบคุมสวิตช์ไอจีบีทีทั้งสองตัวเพื่อให้มอเตอร์เหนี่ยวนำหนึ่งเฟสทำงาน

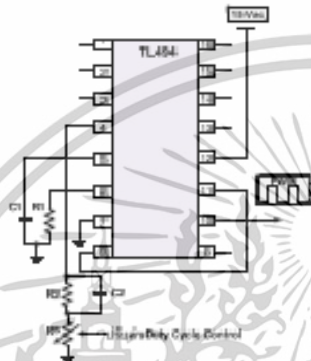


รูปที่ 11 บล็อกไดอะแกรมแสดงการทำงานแต่ละส่วนของวงจร

เอกสารนี้เป็นเอกสารที่สงวนไว้สำหรับการใช้งานเพื่อการศึกษาเท่านั้น ไม่อนุญาติให้นำไปใช้ประโยชน์ด้านธุรกิจ  
ไม่ว่ากรณีใดๆทั้งสิ้น อีกทั้งห้ามมิให้ดัดแปลงเนื้อหา และต้องอ้างอิงถึงเจ้าของเอกสารทุกครั้งที่มีการนำไปใช้



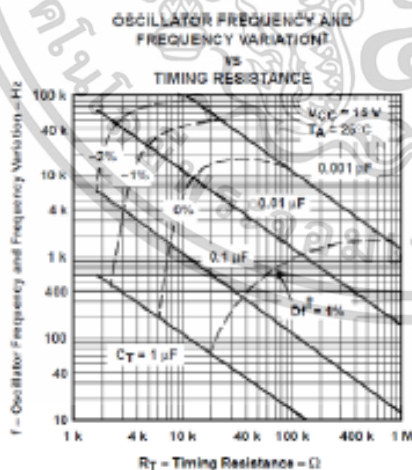
ค่า  $R_T = 100 \text{ k}\Omega$  (R2 อนุกรม R3) และ  $C_T = 3.3 \text{ nF}$  จากสมการที่ (4) และจากการอ่านค่ากราฟตามรูปที่ 13 โดยสัญญาณ PWM ที่ได้ออกแบบสามารถปรับขนาดของสัญญาณให้มีขนาดกว้างและแคบได้โดยปรับค่าที่ตัวต้านทานปรับค่าได้ R3



รูปที่ 12 วงจรการควบคุมสร้างสัญญาณ PWM

$$f_{osc} \approx \frac{1.1}{R_T C_T} \quad (4)$$

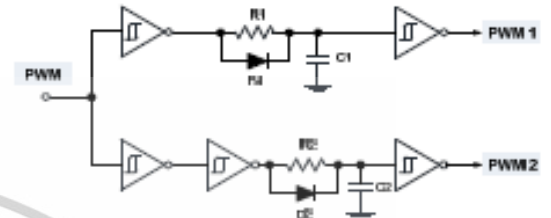
เมื่อ  $f_{osc}$  คือ ค่าความถี่ออสซิลเลเตอร์, Hz  
 $R_T$  คือ ค่าตัวต้านทานรวม,  $\Omega$   
 $C_T$  คือ ค่าตัวเก็บประจุรวม, F



รูปที่ 13 กราฟความสัมพันธ์ฟรามีเตอร์สำหรับวงจรออสซิลเลเตอร์ของไอซี TL494

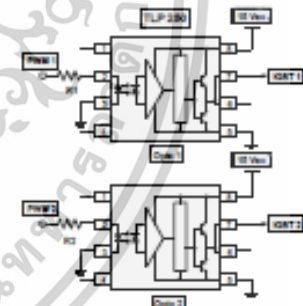
จากรูปที่ 14 เป็นวงจรเดดไทม์ (Dead Time) ทำหน้าที่แยกสัญญาณโดยการสร้างวงจรเดดไทม์ไปควบคุมสวิตช์ไอจีบีทีที่ตัวที่ 1 ( $SW_1$ ) และสวิตช์ไอจีบีทีที่ตัวที่ 2 ( $SW_2$ ) ไม่ให้ทำงานพร้อมกันในขณะที่มีการ

เปลี่ยนสถานะการทำงานอันเป็นผลให้สวิตช์ไอจีบีทีเกิดการลัดวงจรและเกิดความเสียหายได้



รูปที่ 14 วงจรกำหนดเวลา Dead Time ของสัญญาณควบคุม

จากรูปที่ 15 เป็นวงจรออปโตไอโซเลเตอร์ (Opto - Isolator) หรือที่เรียกว่าออปโตคัปเปลเลอร์ (Opto - Coupler) จะรับสัญญาณ PWM มาจากวงจรเดดไทม์ซึ่งทำหน้าที่แยกกราวด์ระหว่างวงจรควบคุมของสัญญาณ PWM 1 กับ PWM 2 กับวงจรกำลังของสวิตช์ IGBT 1 กับ สวิตช์ IGBT 2 ในการเปลี่ยนสถานะการทำงานของวงจร



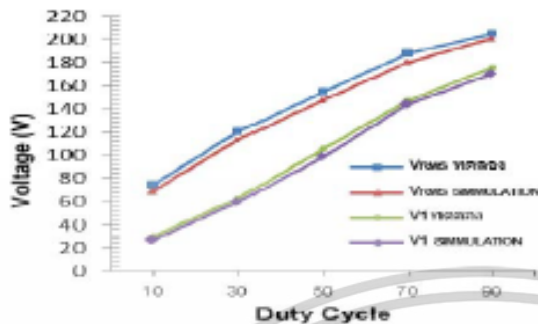
รูปที่ 15 วงจร Drive and Isolate

4. ผลการจำลองและผลจากการทดสอบ

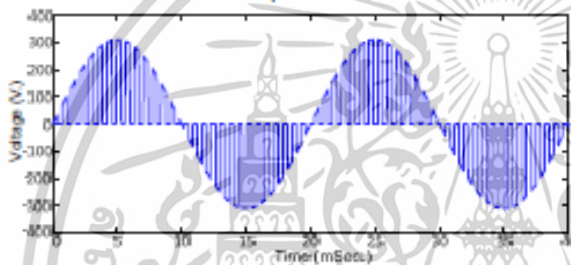
จากการทดสอบในขั้นแรกได้มีการจำลองระบบการทำงานโดยใช้โปรแกรม MATLAB/Simulink โดยทำการปรับค่าตัวดีไซเคิลตั้งแต่ 10 - 90 % ให้กับวงจรควบคุมจะพบว่าค่าแรงดันประสิทธิผล ( $V_{ms}$ ) และค่าแรงดันที่ความถี่หลักมูลฐาน ( $V_1$ ) ที่จ่ายให้กับมอเตอร์จะแปรผันตามค่าตัวดีไซเคิลในขณะค่าที่ได้จากการทดสอบเมื่อนำมาพล็อตในกราฟเดียวกัน ดังรูปที่ 16 จะพบว่าผลการทดสอบที่ได้จะมีความสอดคล้องกับผลจากการจำลอง นั่นคือค่าแรงดันทั้งสองจะเพิ่มขึ้นตามค่าตัวดีไซเคิลนั่นเอง

เอกสารนี้เป็นเอกสารที่สงวนไว้สำหรับการใช้งานในพหุกิจเท่านั้น เมื่ออนุญาตให้นำไปเผยแพร่ภายนอก

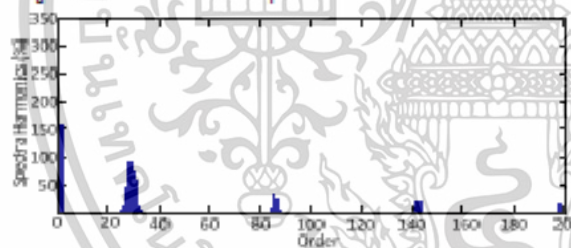
ไม่ว่ากรณีใดๆทั้งสิ้น อีกทั้งห้ามมิให้ดัดแปลงเนื้อหา และต้องอ้างอิงถึงเจ้าของเอกสารทุกครั้งที่มีการนำไปใช้



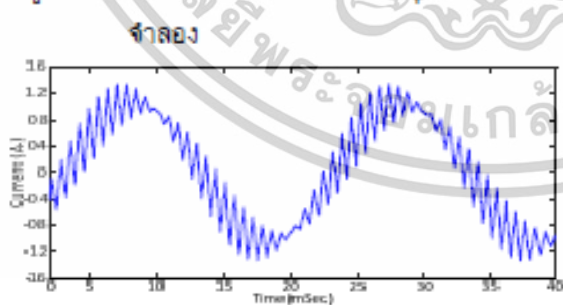
รูปที่ 16 ความสัมพันธ์ระหว่างค่าค่าตัวใช้เคล็ดกับ  
แรงดันเอาต์พุต



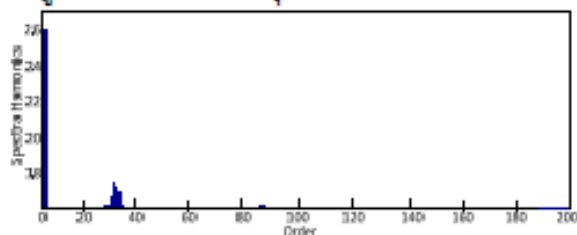
รูปที่ 17 แรงดันเอาต์พุตที่ได้จากการจำลอง



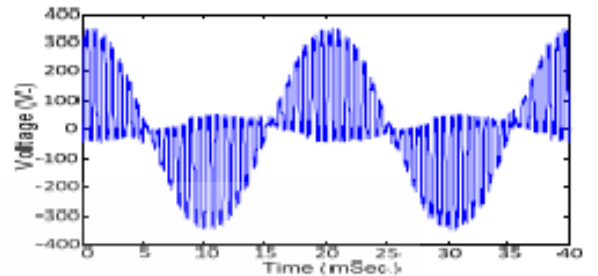
รูปที่ 18 สเปกตรัมของแรงดันเอาต์พุตที่ได้จากการจำลอง



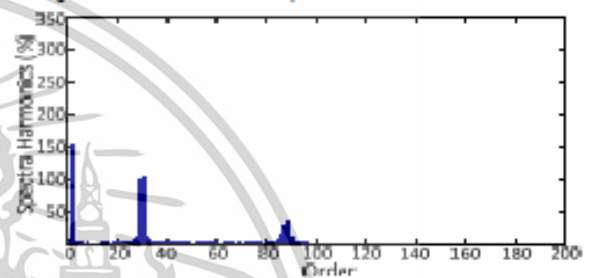
รูปที่ 19 กระแสเอาต์พุตที่ได้จากการจำลอง



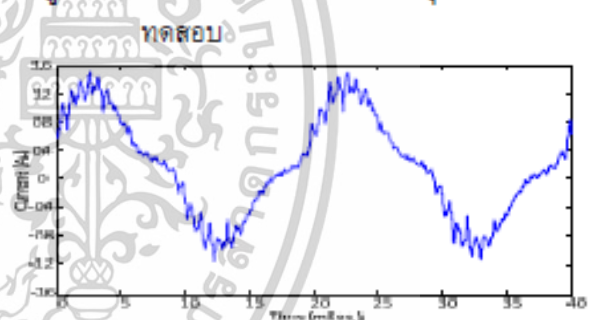
รูปที่ 20 สเปกตรัมของกระแสเอาต์พุตที่ได้จากการจำลอง



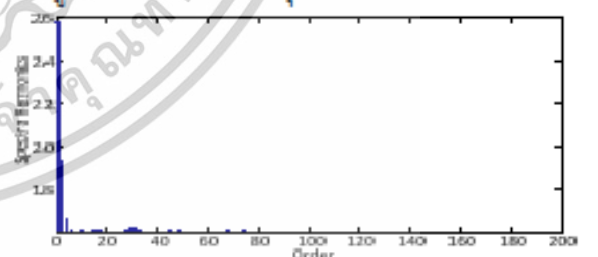
รูปที่ 21 แรงดันเอาต์พุตที่ได้จากการทดสอบ



รูปที่ 22 สเปกตรัมของแรงดันเอาต์พุตที่ได้จากการทดสอบ



รูปที่ 23 กระแสเอาต์พุตที่ได้จากการทดสอบ



รูปที่ 24 สเปกตรัมของกระแสเอาต์พุตที่ได้จากการทดสอบ

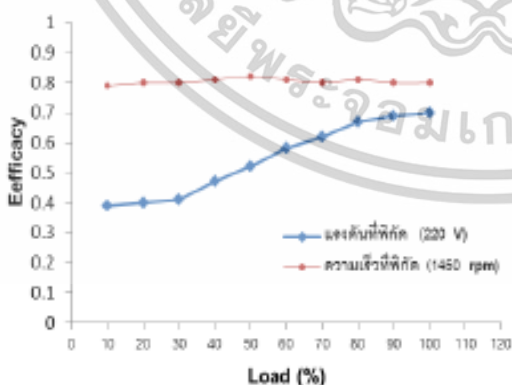
จากการจำลองและการทดสอบโดยใช้พัลส์วิดโมดูละชั้น เอชซี ซ็อบเปอร์ รูปคลื่นทั้ง 2 ลักษณะจะพบว่ารูปคลื่นแรงดันที่ความถี่การสวิตช์ 1.5 kHz จะมีอันดับฮาร์มอนิกเป็นจำนวนเท่าของความถี่ที่ได้จากการ Sampling สัญญาณ ส่วนรูปคลื่นของกระแสจะไม่ค่อยมีฮาร์มอนิกปรากฏให้เห็นเหตุเพราะว่าลักษณะของสัญญาณกระแสมีความใกล้เคียงกับสัญญาณจาก

เอกสารนี้เป็นเอกสารที่สงวนไว้สำหรับการใช้งานเพื่อการศึกษาเท่านั้น ไม่อนุญาตให้นำไปใช้ประโยชน์ด้านการค้า ไม่ว่าจะกรณีใดๆทั้งสิ้น อีกทั้งห้ามมิให้ดัดแปลงเนื้อหา และต้องอ้างอิงถึงเจ้าของเอกสารทุกครั้งที่มีการนำไปใช้

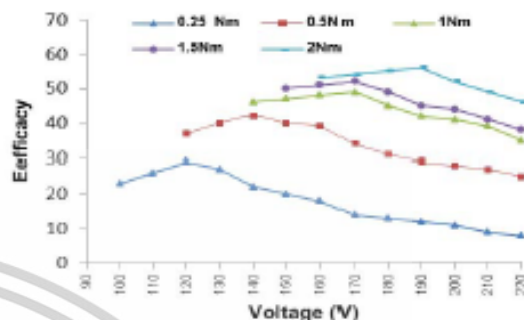


แหล่งจ่าย ดังนั้นจึงกล่าวได้ว่าวิธีการใช้พัลส์รีดมอดูเลชัน เอชซี ซ็อบเปอร์ นี้สามารถที่จะลดกระแสฮาร์มอนิกของระบบลงได้ เมื่อเปรียบเทียบกับวิธีควบคุมมุมจุดชนวนของสวิตช์ที่ใช้เป็นตัวไตรแอก ซึ่งเป็นผลดีกับอุปกรณ์ไฟฟ้าข้างเคียง

รูปที่ 25 เป็นรูปที่ได้ทำการทดสอบเปรียบเทียบระหว่างการป้อนแรงดันที่พิกัด (220 V) กับการปรับแรงดันที่เหมาะสมโดยใช้เอชซี ซ็อบเปอร์ เพื่อให้ได้ความเร็วที่พิกัดแล้ววัดตัวประกอบกำลังและประสิทธิภาพการทำงาน ซึ่งแสดงให้เห็นว่าแรงดันที่พิกัดตัวประกอบกำลังจะค่าที่ภาระเบาและจะมีค่าเพิ่มขึ้นเมื่อภาระโหลดเพิ่มขึ้น ในขณะที่ทำการปรับแรงดันเพื่อให้ความเร็วรอบคงที่ที่พิกัดตลอดย่านการทำงานของโหลดจะทำให้ตัวประกอบกำลังอยู่ที่ประมาณ 0.8 จากนั้นได้ทำการลดแรงดันลงโดยการปรับค่าตัวดิโอดีไอเซลล์เพื่อหาประสิทธิภาพสูงสุดในแต่ละย่านของโหลดการทำงาน โดยมอเตอร์มีการทำงานที่ความเร็วรอบที่พิกัด (1,450 rpm) ดังรูปที่ 26 ซึ่งจะพบว่าในแต่ละย่านของโหลดการทำงานจะมีแรงดันที่เหมาะสมที่ทำให้เกิดการทำงานมีประสิทธิภาพสูงที่สุด โดยเฉพาะอย่างยิ่งในสภาวะการทำงานที่ภาระเบา



รูปที่ 25 ประสิทธิภาพระหว่างแรงดันที่พิกัดและการควบคุมแรงดันให้ได้ความเร็วพิกัด



รูปที่ 26 ประสิทธิภาพและแรงดันไฟฟ้าในแต่ละย่านโหลดการทำงาน

5. สรุป

บทความนี้ได้นำเสนอวิธีการปรับปรุงค่าตัวประกอบกำลังด้วยเทคนิคการปรับแรงดันไฟฟ้ากระแสสลับโดยใช้พัลส์รีดมอดูเลชัน เอชซี ซ็อบเปอร์ เพื่อเพิ่มประสิทธิภาพการทำงานของมอเตอร์สำหรับการขับเคลื่อนมอเตอร์เหนี่ยวนำหนึ่งเฟสชนิดคาปาซิเตอร์สแตร์ท โดยวิธีการลดแรงดันที่จ่ายให้กับมอเตอร์ซึ่งเกี่ยวข้องกับการปรับค่าตัวดิโอดีไอเซลล์นั่นเองและช่วยในการลดกระแสฮาร์มอนิกของระบบเป็นผลทำให้การสูญเสียในมอเตอร์ลดลงและยังสามารถช่วยเพิ่มประสิทธิภาพของมอเตอร์นำไปสู่การประหยัดพลังงานไฟฟ้าโดยเฉพาะอย่างยิ่งในสภาวะการทำงานของมอเตอร์ที่ภาระเบาให้มีประสิทธิภาพมากขึ้น

6. เอกสารอ้างอิง

[1] วีระ ชันยาภิรักษ์ และ วิจิตร กิณเรต (2546). การควบคุมประสิทธิภาพและตัวประกอบกำลังของมอเตอร์เหนี่ยวนำ, วารสาร *Industrial Technology Review*, 106, กุมภาพันธ์ 2546, หน้า 92 - 96.  
[2] สุชาติ คำลือ, ชาย กังวานสุระ, ณัฐพล อังควานิช, ณัฐภูมิ แสงเพชร, วีระ ชันยาภิรักษ์ และ วิจิตร กิณเรต (2554). ชุดประหยัดพลังงานสำหรับมอเตอร์เหนี่ยวนำหนึ่งเฟสโดยการควบคุมตัวประกอบกำลัง, การประชุมเครือข่ายพลังงานแห่งประเทศไทยครั้งที่ 7 (E - NETT 7) มหาวิทยาลัยเทคโนโลยีราชมงคลธัญบุรี, 3 - 5 พฤษภาคม 2554, หน้า 673 - 678.

เอกสารนี้เป็นเอกสารที่สงวนไว้สำหรับการใช้งานเพื่อการศึกษาเท่านั้น ไม่อนุญาตให้นำไปใช้ประโยชน์ทางการค้า

ไม่ว่ากรณีใดๆทั้งสิ้น อีกทั้งห้ามมิให้ดัดแปลงเนื้อหา และต้องอ้างอิงถึงเจ้าของเอกสารทุกครั้งที่มีการนำไปใช้



The banner features a teal background with a large white sunburst graphic. At the top left, there are logos for Rajamangala University of Technology and EENET 2015. The main title 'EENET2015' is in large white letters, with the subtitle 'Creative Technology for Green Energy' and dates '27-29 May 2015, A-one The Royal Cruise Hotel' below it. The Thai text 'การประชุมวิชาการเครือข่ายวิศวกรรมไฟฟ้า มหาวิทยาลัยเทคโนโลยีราชมงคล ครั้งที่ 7' is prominently displayed, followed by its English translation. A horizontal strip of images shows various energy and technology concepts. Below this is a 'Conference Topics' section with two columns of bullet points. At the bottom, the organizing committee information is provided in Thai, including the university name, department, address, and website.

# EENET2015

*Creative Technology for Green Energy*  
27-29 May 2015, A-one The Royal Cruise Hotel

การประชุมวิชาการเครือข่ายวิศวกรรมไฟฟ้า  
มหาวิทยาลัยเทคโนโลยีราชมงคล ครั้งที่ 7

The 7<sup>th</sup> Conference of Electrical Engineering Network  
of Rajamangala University of Technology

**Conference Topics**

- ไฟฟ้ากำลัง (PW)
- อิเล็กทรอนิกส์กำลัง (PE)
- อิเล็กทรอนิกส์ (EL)
- ไฟฟ้าสื่อสาร (CM)
- ระบบควบคุมและการวัด (CT)
- การประมวลผลสัญญาณดิจิทัล (DS)
- พลังงานและการอนุรักษ์พลังงาน (ES)
- งานวิจัยอื่นที่เกี่ยวข้องกับวิศวกรรมไฟฟ้า (GN)
- คอมพิวเตอร์และเทคโนโลยีสารสนเทศ (CP)
- นวัตกรรมและสิ่งประดิษฐ์ (IN)

**คณะกรรมการจัดการประชุมวิชาการ**  
ภาควิชาวิศวกรรมไฟฟ้าและโทรคมนาคม คณะวิศวกรรมศาสตร์  
มหาวิทยาลัยเทคโนโลยีราชมงคลกรุงเทพ  
2 ถนนนางลิ้นจี่ แขวงทุ่งมหาเมฆ เขตสาทร กรุงเทพฯ 10120  
<http://www.eenet2015.org>

เอกสารนี้เป็นเอกสารที่สงวนไว้สำหรับการใช้งานเพื่อการศึกษาเท่านั้น ไม่อนุญาตให้นำไปใช้ประโยชน์ด้านการค้า  
ไม่ว่ากรณีใดๆทั้งสิ้น อีกทั้งห้ามมิให้ดัดแปลงเนื้อหา และต้องอ้างอิงถึงเจ้าของเอกสารทุกครั้งที่มีการนำไปใช้



การประชุมวิชาการเครือข่ายวิศวกรรมไฟฟ้า กลุ่มมหาวิทยาลัยเทคโนโลยีราชมงคลและสถาบันเทคโนโลยีปทุมวัน ครั้งที่ ๗

๑๐ เมษายน ๒๕๕๘

เรื่อง แจ้งผลการพิจารณาบทความ EENET2015

เรียน โกวิท ภูธลาต  
อภิชาติ ศุภวีรวงศ์  
พีระ อัญญาภิรักษ์  
วิจิตร กิณณรงค์

ตามที่ท่านได้ส่งบทความเพื่อเข้าร่วมงานประชุมวิชาการเครือข่ายวิศวกรรมไฟฟ้า กลุ่มมหาวิทยาลัยเทคโนโลยีราชมงคลและสถาบันเทคโนโลยีปทุมวัน ครั้งที่ ๗ (EENET2015) ระหว่างวันที่ ๒๗ - ๒๘ พฤษภาคม ๒๕๕๘ ณ โรงแรม A-ONE The Royal Cruise เมืองพัทยา จังหวัดชลบุรี ในหัวข้อ

" การควบคุมฟัลต์ไดมอดูเลชัน เลซี ซ็อบเปลล์ ด้วยไมโครคอนโทรลเลอร์นำวิธีการประหยัดพลังงานในไดมอดูเลชันนำปึงเพส "

ในกรณี คณะกรรมการดำเนินงานประชุมวิชาการประจำเครือข่าย มีความยินดีที่จะเรียนให้ท่านทราบว่า บทความเรื่องดังกล่าวได้ "ผ่านการพิจารณา" โดยตรงคุณแล้วให้นำเสนอปากเปล่า (Oral Presentation) ในการประชุมวิชาการเครือข่ายวิศวกรรมไฟฟ้า กลุ่มมหาวิทยาลัยเทคโนโลยีราชมงคลและสถาบันเทคโนโลยีปทุมวัน ครั้งที่ ๗ (EENET2015) ดัง

จึงเรียนมาเพื่อทราบ

ลงชื่อ

( ผู้ช่วยศาสตราจารย์ปราโมทย์ อนันต์วราพงษ์ )  
คณบดีคณะวิศวกรรมศาสตร์  
ประธานกรรมการดำเนินงาน  
การประชุมวิชาการ EENET2015

เอกสารนี้เป็นเอกสารที่สงวนไว้สำหรับการใช้งานเพื่อการศึกษาเท่านั้น ไม่อนุญาตให้นำไปใช้ประโยชน์ด้านการค้า

ไม่ว่ากรณีใดๆทั้งสิ้น อีกทั้งห้ามเผยแพร่และเปลี่ยนแปลงเนื้อหา และต้องอ้างอิงถึงเจ้าของเอกสารทุกครั้งที่มีการนำไปใช้

โทรศัพท์และโทรสาร ๐๒-๒๘๖๖๖๐๐๐ ต่อ ๓๐๕๖๒ หรือ ๐๒-๒๘๖๖๖๓๓๓

บทความวิจัย

การประชุมวิชาการเครือข่ายวิศวกรรมไฟฟ้ามหาวิทยาลัยเทคโนโลยีราชมงคล ครั้งที่ 7

Proceedings of the 7<sup>th</sup> Conference of Electrical Engineering Network of Rajamangala University of Technology 2015 (BENET 2015)

การควบคุมพัลส์วิดโมดูลชัน เอชซี ซ็อบเปอร์ ด้วยไมโครคอนโทรลเลอร์สำหรับการประหยัดพลังงานในมอเตอร์เหนี่ยวนำหนึ่งเฟส

Control of a PWM AC Chopper by Microcontroller for Energy Saving in a Single-Phase Induction Motor

โกวิท กุลฉัตร<sup>1</sup> อธิปัทม์ ศรีม่วง<sup>2</sup> วีระ ธัญภักดิ์<sup>1</sup> และ วิจิตร กิตติพร<sup>1</sup>

<sup>1</sup>สาขาวิชาวิศวกรรมไฟฟ้า คณะวิศวกรรมศาสตร์ สถาบันเทคโนโลยีพระจอมเกล้าเจ้าคุณทหารลาดกระบัง

เลขที่ 1 หมู่ 2 ซอยฉลองกรุง 1 ถนนฉลองกรุง แขวงลาดกระบัง เขตลาดกระบัง จังหวัดกรุงเทพมหานคร โทรศัพท์ 089-9942005, 032-691645 ต่อ 6

E-mail: hikowit@gmail.com

<sup>2</sup>สาขาวิชาวิศวกรรมไฟฟ้า คณะอุตสาหกรรมและเทคโนโลยี มหาวิทยาลัยเทคโนโลยีราชมงคลธัญบุรี วิทยาลัยนานาชาติ วิทยาเขตคลองหลวง

เลขที่ 199 หมู่ 3 ถนนพหลโยธิน-วิรัชภูมิ ตำบลคลองโหนด อำเภอลำลูกกา จังหวัดปทุมธานี โทรศัพท์ 042-772391 ต่อ 2 E-mail: veeramutti@gmail.com

บทคัดย่อ

บทความนี้ได้นำเสนอเทคนิคการควบคุมพัลส์วิดโมดูลชัน เอชซี ซ็อบเปอร์ ด้วยไมโครคอนโทรลเลอร์สำหรับการประหยัดพลังงานในมอเตอร์เหนี่ยวนำหนึ่งเฟส ชนิดตัวเก็บประจุช่วยในการเริ่มหมุน ขนาด 1/4 แรงม้า 220 โวลต์ 50 เฮิร์ตซ์ ในวงจรกำลังของพัลส์วิดโมดูลชัน เอชซี ซ็อบเปอร์ ทดลองร่วมกับระบบจ่ายไฟที่ผลิตและโคไดโอดเป็นสวิตช์สองทาง ในบทความได้นำเสนอการออกแบบสวิตช์วงจรควบคุม ได้มีการตรวจสอบการที่มันทั้งทางทฤษฎีการจำลอง และการทดลองพบว่าในสภาวะภาระของมอเตอร์มีการเปลี่ยนแปลงตามค่าต่างๆ จะปรับแรงดันที่เหมาะสมเพื่อให้ค่าประกอบกำลังสูงที่สุดที่จะทำได้ ทำให้เกิดประสิทธิภาพของมอเตอร์สูงขึ้นเมื่อเปรียบเทียบกับกรณีแรงดันที่พิกัดให้กับมอเตอร์

คำสำคัญ: มอเตอร์เหนี่ยวนำหนึ่งเฟส, ไมโครคอนโทรลเลอร์, พัลส์วิดโมดูลชัน เอชซี ซ็อบเปอร์, ฮาร์โมนิก

Abstract

This paper presents a control scheme of a PWM AC chopper using a microcontroller for energy saving in a 1/4 HP, 220 V, 50 Hz capacitor start type single-phase induction motor. The proposed PWM AC chopper uses bidirectional switches with the combination diodes and IGBTs. In this paper, an analysis of operation of the proposed PWM AC chopper is fully given. Design and implementation are also included. Both theory and experiment are verified. From the testing results, it has founded that, at a light load condition, an appropriate voltage level obtained from the proposed PWM AC chopper gives higher efficiency compared with applied motor voltage with the rated value.

Keywords: single phase induction motor, microcontroller, pulse width modulation, ac chopper, harmonic

1. บทนำ

ในปัจจุบันนี้ราคาจะแพงขึ้นเรื่อยๆ ไม่ได้ว่าอุปกรณ์เครื่องใช้ไฟฟ้าได้เข้ามาในตลาดอย่างเต็มที่ในชีวิตประจำวันและการทำงาน ทั้งนี้เพื่อใช้ลดปริมาณความสะดุดของสวิตช์ โดยเฉพาะอย่างยิ่งเครื่องจักรกลไฟฟ้าประเภทมอเตอร์เหนี่ยวนำหนึ่งเฟส (Single Phase Induction Motor: SPIM) ซึ่งนิยมใช้กันอยู่แพร่หลายทั้งภาคอุตสาหกรรมและภาคเกษตรกรรม เนื่องมาจากมีโครงสร้างที่แข็งแรง ใช้งานได้ง่ายบำรุงรักษาง่าย และที่สำคัญราคาไม่สูงมากนัก สำหรับกรณีนำไปใช้ขึ้นอยู่กับลักษณะของงาน เช่น พัดลม เครื่องปั่น เครื่องเจาะ เป็นต้น เราเรียกลักษณะใช้มอเตอร์เปลี่ยนรูปพลังงานว่า ภาระของมอเตอร์ (Load motor) ซึ่งลักษณะงานภาระของมอเตอร์ที่ใช้ที่แตกต่างกัน เช่น ภาระเบาและภาระหนัก อาจจะมีค่าที่หรือไม่คงที่ขึ้นอยู่กับช่วงระยะเวลาและลักษณะงานภาระของมอเตอร์ ถ้ามอเตอร์ที่หนักที่ภาระเบาจะส่งผลต่อประสิทธิภาพและตัวประกอบกำลังค่อนข้างต่ำ และหากใช้มอเตอร์ที่ภาระเบาเป็นจำนวนมากจะทำให้เกิดการสูญเสียค่อนข้างสูง ดังนั้นการหาวิธีที่จะเพิ่มประสิทธิภาพของมอเตอร์จึงเป็นเรื่องที่ควรตระหนัก



รูปที่ 1 วงจรควบคุมมอเตอร์เหนี่ยวนำหนึ่งเฟสด้วยไมโครคอนโทรลเลอร์เป็นสวิตช์ จากรูปที่ 1 รูปด้านบนเป็นการควบคุมมอเตอร์เหนี่ยวนำหนึ่งเฟสด้วยไมโครคอนโทรลเลอร์ที่เป็นสวิตช์จะเป็นการควบคุมแรงดันที่จ่ายให้กับมอเตอร์ โดยใช้เทคนิคการควบคุมพัลส์ วิธีการนี้จะส่งผลต่อรูปคลื่น

เอกสารนี้เป็นเอกสารที่สงวนไว้สำหรับการใช้งานเพื่อการศึกษาเท่านั้น ไม่อนุญาตให้นำไปใช้ประโยชน์ด้านการค้า ไม่ว่าจะกรณีใดๆทั้งสิ้น อีกทั้งห้ามมิให้ดัดแปลงเนื้อหา และต้องอ้างอิงถึงเจ้าของเอกสารทุกครั้งที่มีการนำไปใช้ 27-29 พฤษภาคม พ.ศ. 2558 โรงแรม A-one The Royal Cruise เมืองพัทยา จังหวัดชลบุรี

**บทความวิจัย**

การประชุมวิชาการเครือข่ายวิศวกรรมไฟฟ้ามหาวิทยาลัยเทคโนโลยีราชมงคล ครั้งที่ 7

Proceedings of the 7<sup>th</sup> Conference of Electrical Engineering Network of Rajamangala University of Technology 2015 (EENET 2015)

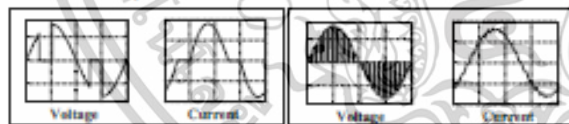
แรงดันและกระแสทำให้เกิดค่าสาร์มอ์นิกอันดับต่ำประปนมาเกิดการสูญเสียในมอเตอร์และอุปกรณ์ไฟฟ้าข้างเคียงที่ต่อใช้งานร่วมกัน ดังนั้นในบทความนี้จะนำเสนอวิธีการควบคุมมอเตอร์หนึ่งขั้วนำหนึ่งเฟสด้วยไอซีบีทีเป็นสวิตซ์สองทาง จากรูปที่ 2 รูปด้านอ เป็นเป็นการควบคุมแรงดันที่จ่ายให้กับมอเตอร์โดยใช้เทคนิคการควบคุมพัลส์วอลุ่มของระดับ เอช ซีบีพีเออร์ วิธีการนี้จะช่วยลดผลกระทบของรูปคลื่นแรงดันและกระแสที่มีค่าสาร์มอ์นิกอันดับต่ำประปน ช่วยลดการสูญเสียในมอเตอร์และผลกระทบต่ออุปกรณ์ไฟฟ้าข้างเคียงที่ใช้งานร่วมกัน



รูปที่ 2 วงจรควบคุมมอเตอร์หนึ่ง ขั้วนำหนึ่งเฟสด้วย ไอซีบีทีที่เป็นสวิตซ์

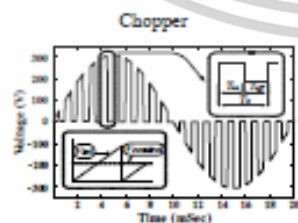
**2. เทคนิคการควบคุมพัลส์วอลุ่มของระดับ เอช ซีบีพีเออร์ และหลักการวิเคราะห์โหมดการทำงาน**

จากรูปที่ 2 (ก) รูปด้านซ้ายเป็นรูปคลื่นแรงดันและกระแสโดยใช้วิธีการควบคุมแบบ Phase control จะเห็นได้ ว่ารูปคลื่นแรงดันและกระแสมีความผิดเพี้ยนไปจากรูปคลื่นไซน์ทำให้เกิดค่าสาร์มอ์นิกอันดับต่ำ และรูปที่ 2 (ข) รูปด้านขวาเป็นรูปคลื่นแรงดันและกระแสโดยใช้วิธีการควบคุมแบบ PWM AC Chopper จะเห็น ได้ว่ารูปคลื่นแรงดันและกระแสเข้าใกล้รูปคลื่นไซน์ ทำให้เกิดการสูญเสียเนื่องจากสาร์มอ์นิกต่ำกว่ากรณีที่ใช้วิธีการควบคุมแบบ Phase control



(ก) รูปที่ 2 รูปคลื่นแรงดันและกระแส (ข) วิธีการควบคุมแบบ Phase control (ง) วิธีการควบคุมแบบ PWM AC Chopper

(ก) วิธีการควบคุมแบบ Phase control (ข) วิธีการควบคุมแบบ PWM AC Chopper



รูปที่ 3 สัญญาณการควบคุมแรงดันด้วยวิธีการแบบ PWM

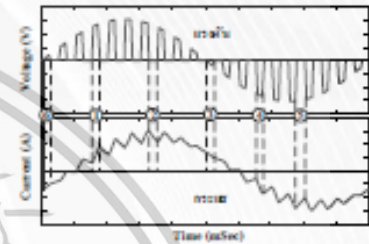
จากรูปที่ 3 รูปด้านบนเป็น สัญญาณอ้างอิงเปรียบเทียบกับสัญญาณควบคุมก่อนช่วงจรัมนัดสัญญาณ PWM ขนาดของแรงดันที่ จะจ่ายให้กับมอเตอร์จะถูกควบคุมตามค่า (Duty ratio: D) ดังสมการที่ 1

ส่วนขนาดแรงดันที่ได้จะเป็นไปตามสมการที่ 2 และขนาดแรงดันเอาต์พุตของรูปไฟฟ้าจะถูก ควบคุมตามค่า (Duty cycle: D) ดังสมการที่ 3 [1]

$$D = \frac{T_{on}}{T_s} = \frac{T_{on}}{T_{on} + T_{off}} \quad (1)$$

$$V_{L}(t) = DV_m \sin(\omega t) \quad (2)$$

$$V_{Lm} = \frac{DV_m}{\sqrt{2}} \quad (3)$$



รูปที่ 4 รูปคลื่นแรงดันและกระแสในการวิเคราะห์โหมดการทำงาน

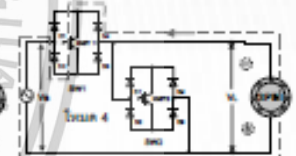


รูปที่ 4 (ก)  $V_L(+), I_L(+)$

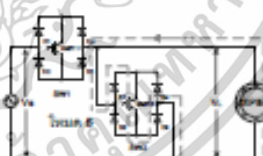
รูปที่ 4 (ข)  $V_L(0), I_L(+)$



รูปที่ 4 (ค)  $V_L(-), I_L(+)$



รูปที่ 4 (ง)  $V_L(-), I_L(-)$



รูปที่ 4 (ฉ)  $V_L(0), I_L(-)$



รูปที่ 4 (ช)  $V_L(+), I_L(-)$

โหมดที่ 1 จากรูปที่ 4 (ก)  $V_L(+), I_L(+)$  รูปด้านบนเป็น โหมดจ่ายกำลังให้ในช่วงแรงดันเป็นบวกและกระแสเป็นบวก โดยสวิตซ์ตัวที่ 2 เปิดวงจร สวิตซ์ตัวที่ 1 ปิดวงจรกระแสไหลผ่านไดโอดตัวที่ 1 กับ 3 และ โหลด โหมดที่ 2 จากรูปที่ 4 (ข)  $V_L(0), I_L(+)$  รูปด้านบนเป็นโหมดกระแสไหลเวียนอิสระช่วงแรงดันเป็นศูนย์กระแสเป็นบวก โดยสวิตซ์ตัวที่ 1 ปิดวงจร สวิตซ์ตัวที่ 2 ปิดวงจรกระแสไหลผ่านไดโอดตัวที่ 2 กับ 4 และโหลด โหมดที่ 3 จากรูปที่ 4 (ค)  $V_L(-), I_L(+)$  รูปด้านบนเป็นโหมดคืนกำลังให้ในช่วงแรงดันเป็นลบและกระแสเป็นบวก โดยสวิตซ์ตัวที่ 1 ปิดวงจร สวิตซ์ตัวที่ 2 เปิดวงจรกระแสไหลผ่านไดโอดตัวที่ 1 กับ 3 และ โหลด โหมดที่ 4 จากรูปที่ 4 (ง)  $V_L(-), I_L(-)$  รูปด้านบนเป็น โหมดจ่าย

เอกสารนี้เป็นเอกสารที่สงวนไว้สำหรับการใช้งานเพื่อการศึกษาเท่านั้น ไม่อนุญาตให้นำไปใช้ประโยชน์ด้านการค้า ไม่ว่าจะกรณีใดๆทั้งสิ้น อีกทั้งห้ามมิให้ดัดแปลงเนื้อหา และต้องอ้างอิงถึงเจ้าของเอกสารทุกครั้งที่มีการนำไปใช้ 27-29 พฤษภาคม พ.ศ. 2558 โรงแรม A-one The Royal Cruise เมืองพัทยา จังหวัดชลบุรี

**บทความวิจัย**

การประชุมวิชาการเครือข่ายวิศวกรรมไฟฟ้ามหาวิทยาลัยเทคโนโลยีราชมงคล ครั้งที่ 7

Proceedings of the 7<sup>th</sup> Conference of Electrical Engineering Network of Rajamangala University of Technology 2015 (BENET 2015)

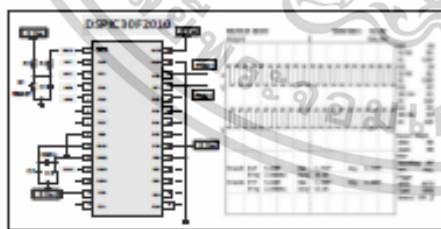
กำลังให้พี ช่วแรงดันเป็นลบและกระแสเป็นลบ โดยสวิตซ์ตัวที่ 2 เปิด วงจร สวิตซ์ตัวที่ 1 ปิดวงจรกระแสไหลผ่านไดโอดตัวที่ 2 กับ 4 และ โหลด โหมดที่ 5 จากรูปที่ 4 (ก)  $V_L(0)$ ,  $I_L(-)$  รูปด้านบนเป็นโหมดกระแสไหลเวียนอิสระช่วงแรงดันเป็นศูนย์กระแสเป็นลบ โดยสวิตซ์ตัวที่ 1 เปิด วงจร สวิตซ์ตัวที่ 2 ปิดวงจรกระแสไหลผ่านไดโอดตัวที่ 1 กับ 3 และ โหลด โหมดที่ 6 จากรูปที่ 4 (ข)  $V_L(+)$ ,  $I_L(-)$  รูปด้านบนโหมดคลื่นกำลังให้พีช่วแรงดันเป็นบวกและกระแสเป็นลบ โดยสวิตซ์ตัวที่ 2 เปิด วงจร สวิตซ์ตัวที่ 1 ปิดวงจรกระแสไหลผ่านไดโอดตัวที่ 2 กับ 4 และ โหลด

**3. การควบคุมการทํางานของชุดขับเคลื่อนมอเตอร์เหนี่ยวนำหนึ่งเฟสแบบสวิตชิ่ง**

สำหรับการสร้างชุดควบคุมของมอเตอร์เหนี่ยวนำหนึ่งเฟสนั้นได้แบ่งลักษณะการทำงานออกเป็น 2 ส่วนด้วยกันคือ ส่วนที่เป็นภาคกำลังประกอบไปด้วยแหล่งจ่ายไฟฟ้า สวิตซ์กำลังแบบไอซีบีที มอเตอร์เหนี่ยวนำหนึ่งเฟส และ ส่วนที่เป็นภาคควบคุมประกอบไปด้วยแหล่งกำเนิดสัญญาณ PWM วงจรหน่วงเวลา วงจรแยกแวลด์ังรูปที่ 5 รูปด้านล่าง(ก) และ (ข)

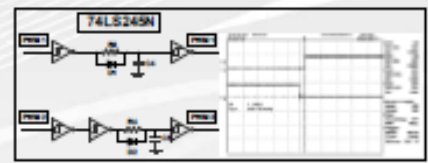


รูปที่ 5 (ก) บล็อกไดอะแกรมการทำงานของระบบ (ข) ชิ้นงานจริงที่ใช้ในการทดสอบของระบบ



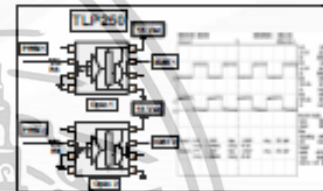
รูปที่ 6 วงจรกำเนิดสัญญาณ PWM

จากรูปที่ 6 รูปด้านบนเป็นสัญญาณควบคุม PWM ที่สร้างจากไมโครคอนโทรลเลอร์ตระกูล DSPIC30F2010 ค่าพารามิเตอร์ที่ใช้ในการทดสอบ  $R_1 = 10 \text{ k}\Omega$ ,  $R_2 = 2 \text{ k}\Omega$ ,  $C_1 = 0.1\mu\text{F}$ ,  $C_2 = 33\text{pF}$ ,  $C_3 = 33\text{pF}$  และความถี่สัญญาณนาฬิกา 5 MHz กำหนดความถี่สวิตซ์ซึ่งของสัญญาณที่ 2 kHz และสร้างสัญญาณ PWM สองสัญญาณที่มีการทำงานตรงข้ามกันออกมา เพื่อนำไปควบคุมวงจรกำลังให้ทำงานที่กําหนดตามค่าความถี่ในการสวิตซ์ซึ่งของอุปกรณ์



รูปที่ 7 วงจรหน่วงเวลา Dead time ของสัญญาณ PWM

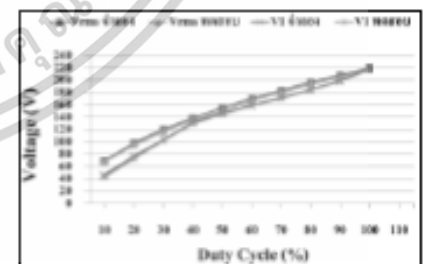
จากรูปที่ 7 รูปด้านบนเป็นวงจรหน่วงเวลาโดยจะรับสัญญาณ PWM 1 และ PWM 2 ที่สร้างขึ้นนี้จะผ่านไอซีเบอร์ 74LS245N ค่าพารามิเตอร์ที่ใช้ในการทดสอบ  $R_3 = 10 \text{ k}\Omega$ ,  $R_4 = 10 \text{ k}\Omega$ ,  $D_1 = 1N5819$ ,  $D_2 = 1N5819$ ,  $C_4 = 0.1\mu\text{F}$ ,  $C_5 = 0.1\mu\text{F}$  เพื่อสร้างสัญญาณหน่วงเวลาที่  $1.5 \mu\text{s}$  เป็นช่วงเวลาที่เหมาะสมสำหรับการนำกระแสและหยุดกระแสของไอซีบีทีให้กับวงจรเพื่อป้องกันสัญญาณ PWM 1 และ PWM 2 ในช่วงเวลาที่สัญญาณทั้งสองทำงานสลับกัน



รูปที่ 8 วงจรแยกแวลด์rive and isolate ของสัญญาณ PWM

รูปที่ 8 รูปด้านบนเป็นไอซีเบอร์ TLP250 ค่าพารามิเตอร์ที่ใช้ในการทดสอบ  $R_5 = 500 \text{ k}\Omega$ ,  $R_6 = 500 \text{ k}\Omega$  เป็นวงจรแยกแวลด์จะรับสัญญาณ PWM 1 และ PWM 2 จากวงจรหน่วงเวลา Dead time เข้ามาเพื่อไปควบคุมวงจรกำลัง โดยวงจรนี้จะทำการแยกแวลด์ของวงจรควบคุมออกจากวงจรกำลังคือป้องกันอุปกรณ์อิเล็กทรอนิกส์หายจะทำผิดพลาดหรือสวิตซ์

**4. ผลการจำลองและผลการทดสอบในการปรับค่าตัวชี้ไขเคล็ดที่สัมพันธ์กับพื่นที่เครื่องจักร**



รูปที่ 9 ความสัมพันธ์ระหว่างการปรับค่าตัวชี้ไขเคล็ดกับแรงดันที่จ่ายเองและแรงดันที่ทดสอบ

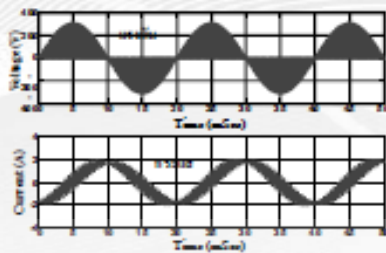
จากรูปที่ 9 รูปด้านบนเป็นการจำลองโดยใช้โปรแกรม MATLAB/Simulink และเทียบกับการทดสอบโดยการปรับค่าตัวชี้ไขเคล็ดตั้งแต่ 10% -100% ให้กับวงจรพบว่าค่าแรงดันประสิทธิผล ( $V_{rms}$ ) และค่าแรงดันความถี่หลักมูลฐาน ( $V_1$ ) ที่จ่ายให้กับมอเตอร์จะมีค่าแปรผันตามค่าตัวชี้ไขเคล็ดในทิศทางเดียวกันทั้งสองการทดลอง

เอกสารนี้เป็นเอกสารที่สงวนไว้สำหรับการใช้งานเพื่อการศึกษาเท่านั้น ไม่อนุญาตให้นำไปใช้ประโยชน์ด้านการค้า ไม่ว่าจะกรณีใดๆทั้งสิ้น อีกทั้งห้ามมิให้ดัดแปลงเนื้อหา และต้องอ้างอิงถึงเจ้าของเอกสารทุกครั้งที่มีการนำไปใช้ 27-29 พฤษภาคม พ.ศ. 2558 โรงแรม A-one The Royal Cruise เมืองพัทยา จังหวัดชลบุรี

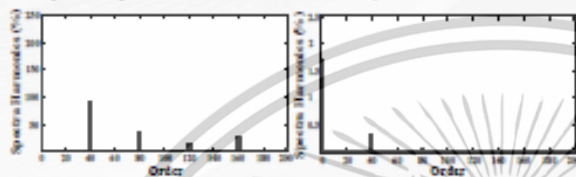
**บทความวิจัย**

การประชุมวิชาการเครือข่ายวิศวกรรมไฟฟ้ามหาวิทยาลัยเทคโนโลยีราชมงคล ครั้งที่ 7

Proceedings of the 7<sup>th</sup> Conference of Electrical Engineering Network of Rajamangala University of Technology 2015 (EENET 2015)



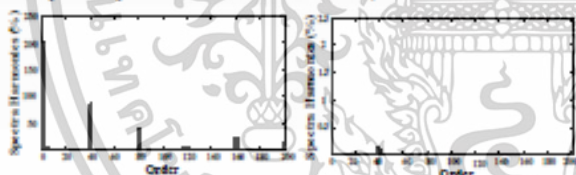
รูปที่ 10 รูปคลื่นแรงดันและกระแสอาต์พุทที่ได้จากการจำลอง



รูปที่ 11 (ก) สเปกตรัมแรงดันเอาต์พุทที่ได้จากการจำลอง (ข) สเปกตรัมกระแสอาต์พุทที่ได้จากการจำลอง

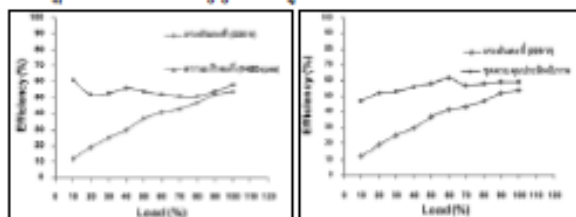


รูปที่ 12 รูปคลื่นแรงดันและกระแสอาต์พุทที่ได้จากการจำลอง



รูปที่ 13 (ก) สเปกตรัมแรงดันเอาต์พุทที่ได้จากการทดสอบ (ข) สเปกตรัมกระแสอาต์พุทที่ได้จากการทดสอบ

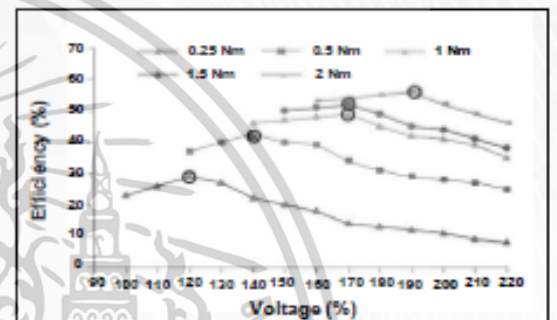
รูปที่ 13 (ก) สเปกตรัมแรงดันเอาต์พุทที่ได้จากการทดสอบ (ข) สเปกตรัมกระแสอาต์พุทที่ได้จากการทดสอบ จากรูปที่ 10 รูปที่ 11 (ก) และ (ข) จากกรณีจำลอง และ จากรูปที่ 12 รูปที่ 13 (ก) และ (ข) จาก การทดสอบรูปด้านบน โดยใช้เทคนิคการควบคุมพัลส์วิดมอดูเลชัน เอชซี ซีโอเปอร์ที่ความถี่สวิตซ์ซิง 2 kHz จะมีสาร์โมนิกเป็น จำนวนต่ำของ ความถี่ และไม่ก่มีสาร์โมนิกอันดับต่ำปรากฏให้เห็นแสดงว่าสัญญาณของรูปคลื่นกระแสจะเข้าใกล้ไซน์นั่นเอง



รูปที่ 14 กราฟประสิทธิภาพและภาระของมอเตอร์

(ก) แรงดันที่พิกัดและความเร็วที่พิกัดมอเตอร์ (ข) แรงดันที่พิกัดและจุดควบคุมประสิทธิภาพ

จากรูปที่ 14 (ก) รูปด้านบนเป็นการทดสอบเปรียบเทียบประสิทธิภาพการทำงานของมอเตอร์ระหว่างการป้อนแรงดันที่พิกัด (220 V) และความถี่พิกัดมอเตอร์ที่ (1,450 rpm) เพื่อหาความสัมพันธ์ของประสิทธิภาพในขณะที่ทำการเปลี่ยนภาระในค่าต่างๆ และจากรูปที่ 14 (ข) รูปด้านบนเป็นการเปรียบเทียบระหว่างผลของการจ่ายแรงดันที่พิกัดและจุดควบคุมประสิทธิภาพ พบว่าจุดควบคุมประสิทธิภาพสามารถเพิ่มค่าการปฏิบัติงานของมอเตอร์ได้โดยเฉพาะ ในสถานะเบของมอเตอร์



รูปที่ 15 การควบคุมประสิทธิภาพระหว่างแรงดันในแต่ละย่านภาระ จากรูปที่ 15 รูปด้านบนเมื่อพล็อตกราฟแสดงให้เห็นว่าในสถานะภาระเบจะทำการลดแรงดัน โดยการปรับค่าตัวที่ใช้คือที่ภาระที่ต่ำที่สุดร่วมกัน เพื่อจะหาค่าประสิทธิภาพที่ดีและเหมาะสมที่สุดในแต่ละสถานะต่างๆ และทำให้ทราบถึงจุดวงกลมสีดำ "o" ที่วางรอบจุดที่สูงที่สุดในเส้นกราฟแต่ละ ย่านภาระของมอเตอร์เป็นจุดที่ทำให้เกิดค่าประสิทธิภาพที่ดีที่สุดในแต่ละสถานะของมอเตอร์

**5. สรุป**

สำหรับบทความนี้ได้นำเสนอขบวนการควบคุมพัลส์วิดมอดูเลชัน เอชซี ซีโอเปอร์ ด้วยไมโครคอนโทรลเลอร์สำหรับการประหยัดพลังงานในมอเตอร์เหนี่ยวนำหนึ่งเฟสชนิดซิงเกิลกับประจุช่วยในกรณีหมุน โดยวิธีการลดแรงดันที่จ่ายให้กับมอเตอร์ โดยการปรับค่าตัวที่ใช้คือของเอชซี ซีโอเปอร์นั่นเอง เพื่อเพิ่มประสิทธิภาพการทำงานของมอเตอร์ ซึ่งเป็นการลดความสูญเสียในแกนเหล็กซึ่งขึ้นอยู่กับแรงดันที่ป้อนยกกำลังสองที่ภาระเบา เมื่อเปรียบเทียบกับกรณีป้อนแรงดันที่พิกัดให้กับมอเตอร์หลักการนี้ให้ข้อดีในการลดกระแสสาร์โมนิกของระบบนั่นเอง

**เอกสารอ้างอิง**

[1] Nabil A. Ahmed, Kenji Arai and Masaki Sakui, "AC chopper voltage controller - fed single - phase induction motor employing symmetrical pwm control," *J<sup>th</sup> Elsevier Science, Electric power systems: research*, vol. 1, no. 1, pp. 15 - 25, March 1999.

เอกสารนี้เป็นเอกสารที่สงวนไว้สำหรับการใช้งานเพื่อการศึกษาเท่านั้น ไม่อนุญาตให้นำไปใช้ประโยชน์ด้านการค้า ไม่ว่าจะกรณีใดๆทั้งสิ้น อีกทั้งห้ามมิให้ดัดแปลงเนื้อหา และต้องอ้างอิงถึงเจ้าของเอกสารทุกครั้งที่มีการนำไปใช้






The 9<sup>th</sup> Conference of Electrical Engineering Network  
of Rajamangala University of Technology

งานประชุมวิชาการเครือข่ายวิศวกรรมไฟฟ้า  
มหาวิทยาลัยเทคโนโลยีราชมงคล ครั้งที่ 9

# EENET 2017

"การพัฒนานวัตกรรมเพื่ออุตสาหกรรมและการเกษตรอย่างยั่งยืน"  
Sustainable Development of Innovation for Industry and Agriculture

2-4 May 2017, K.P. Grand Hotel Chanthaburi

## Conference Topics

- Electrical Power (PW)
- Power Electronics (PE)
- Energy and Energy Saving (ES)
- Control Systems and Instrumentation (CT)
- Computer and Information Technology (CP)
- Electric Communication (CM)
- Electronics (EL)
- Digital Signal Processing (DS)
- Innovation and Invention (IN)
- General Electrical Engineering (GN)



เอกสารนี้เป็นเอกสารที่สงวนไว้สำหรับการใช้งานเพื่อการศึกษาเท่านั้น ไม่อนุญาตให้นำไปใช้ประโยชน์ด้านการค้า  
ไม่ว่ากรณีใดๆทั้งสิ้น อีกทั้งห้ามมิให้ตัดแปลงเนื้อหา และต้องอ้างอิงถึงเจ้าของเอกสารทุกครั้งที่มีการนำไปใช้



การประชุมวิชาการเครือข่ายวิศวกรรมไฟฟ้า กลุ่มมหาวิทยาลัยเทคโนโลยีราชมงคลและสถาบันเทคโนโลยีปทุมวัน ครั้งที่ ๙

๑๔ มีนาคม ๒๕๖๐

เรื่อง แจ้งผลการพิจารณาบทความ EENET2017

เรียน คุณโกวิท ภูฉลาด คุณณัฐวดี ตานวานิชกุล คุณตุลธร กักดีแก้ว คุณยุพดา ชนะชัย  
คุณประหยัด กองสุข คุณเฉลิมชาติ มานพ และคุณวิจิตร กิณเรศ

ตามที่ท่านได้ส่งบทความเพื่อเข้าร่วมงานประชุมวิชาการเครือข่ายวิศวกรรมไฟฟ้า ครั้งที่ ๙ ( The 9th Conference of Electrical Engineering Network of Rajamangala University of Technology : EENET2017 )  
กลุ่มมหาวิทยาลัยเทคโนโลยีราชมงคลและสถาบันเทคโนโลยีปทุมวัน ซึ่งจะจัดขึ้นระหว่างวันที่ ๒ - ๔ พฤษภาคม  
๒๕๖๐ ณ โรงแรมเคพีแกรนด์ อำเภอเมือง จังหวัดจันทบุรี ในหัวข้อเรื่อง

" การประเมินสมรรถนะมอเตอร์เหนี่ยวนำสามเฟสถูกขับเคลื่อนด้วยพัลส์วิดมอดูเลตชัน เอชซี ซ็อบเปอร์หนึ่งเฟส "

ในการนี้ คณะกรรมการดำเนินงานประชุมวิชาการประจำเครือข่าย มีความยินดีที่จะเรียนให้ท่านทราบว่า  
บทความเรื่องดังกล่าวได้ " ผ่านการพิจารณา " โดยผู้ทรงคุณวุฒิให้นำเสนอแบบปากเปล่า (Oral Presentation)  
ในการประชุมวิชาการเครือข่ายวิศวกรรมไฟฟ้า กลุ่มมหาวิทยาลัยเทคโนโลยีราชมงคลและสถาบันเทคโนโลยีปทุมวัน  
ครั้งที่ ๙ (EENET2017) แล้ว

จึงเรียนมาเพื่อทราบ

ลงชื่อ

( ผู้ช่วยศาสตราจารย์มนัส คงศักดิ์ )  
ประธานกรรมการดำเนินงาน  
การประชุมวิชาการ EENET2017

คณะเทคโนโลยีอุตสาหกรรมการเกษตร  
มหาวิทยาลัยเทคโนโลยีราชมงคลตะวันออก วิทยาเขตจันทบุรี  
๓๓๓ ม.๓๐ ตำบลพลอง อำเภอเขาชะเมา จันทบุรี ๒๒๒๑๐  
โทรศัพท์ ๐๓๙-๓๐๗-๒๖๑-๔ โทรสาร ๐๓๙-๓๐๗-๒๖๘

เอกสารนี้เป็นเอกสารที่สงวนไว้สำหรับการใช้งานเพื่อการศึกษาเท่านั้น ไม่อนุญาตให้นำไปใช้ประโยชน์ด้านการค้า  
ไม่ว่ากรณีใดๆทั้งสิ้น อีกทั้งห้ามมิให้ดัดแปลงเนื้อหา และต้องอ้างอิงถึงเจ้าของเอกสารทุกครั้งที่มีการนำไปใช้

บทความวิจัย

การประชุมวิชาการเครือข่ายวิศวกรรมไฟฟ้ามหาวิทยาลัยเทคโนโลยีราชมงคล ครั้งที่ 9

Proceedings of the 9<sup>th</sup> Conference of Electrical Engineering Network of Rajamangala University of Technology 2017 (EENET 2017)



การประเมินสมรรถนะมอเตอร์เหนี่ยวนำสามเฟสถูกขับเคลื่อนด้วยพัลส์วิดโมดูลเลชัน เอชซี ซ็อบเปอร์หนึ่งเฟส  
Performance Evaluation of a Three-Phase Induction Motor Driven by a Single-Phase Pulse Width Modulation AC Chopper

โกวิท กุลลาล<sup>1</sup> ฉัฐฉวี สำนวนิชกุล<sup>2</sup> ตุลธร ภัคสีแก้ว<sup>3</sup> ยุทธา ชนะชัย<sup>4</sup> ประยัตติ กองสุข<sup>5</sup> เฉลิมชาติ มานพ<sup>6</sup> และ วิจิตร กิมเรศ<sup>7</sup>  
<sup>1</sup>ภาควิชาวิศวกรรมไฟฟ้า คณะวิศวกรรมศาสตร์ สถาบันเทคโนโลยีพระจอมเกล้าเจ้าคุณทหารลาดกระบัง  
เลขที่ 1 หมู่ 2 ซอยฉลองกรุง 1 ถนนฉลองกรุง แขวงลาดกระบัง เขตลาดกระบัง จังหวัดกรุงเทพมหานคร โทรศัพท์ 08-9994-2005

E-mail: [hikowit@gmail.com](mailto:hikowit@gmail.com)

<sup>2</sup>สาขาวิชาเทคโนโลยีไฟฟ้า คณะเทคโนโลยีอุตสาหกรรมการเกษตร มหาวิทยาลัยเทคโนโลยีราชมงคลตะวันออก วิทยาเขตฉะเชิงเทรา  
เลขที่ 131 หมู่ 10 ถนนบำรุงราษฎร์ ตำบลหลวง อำเภอเขาฉกรรจ์ จังหวัดฉะเชิงเทรา โทรศัพท์ 08-4976-6622

บทคัดย่อ

บทความนี้ได้นำเสนอการประเมินสมรรถนะของมอเตอร์เหนี่ยวนำสามเฟสขนาด 2 แรงม้า 220 โวลต์ 50 เฮิรตซ์ ขับเคลื่อนด้วยพัลส์วิดโมดูลเลชัน เอชซี ซ็อบเปอร์หนึ่งเฟส โดยปรับแรงดันไฟฟ้ากระแสสลับหนึ่งเฟสให้กับมอเตอร์เหนี่ยวนำสามเฟสที่มีกรต่อตัวเก็บประจุเข้าไปหนึ่งตัว โดยไมโครคอนโทรลเลอร์เบอร์ DSPIC30F4011 ที่หน้าที่สร้างสัญญาณพัลส์วิดโมดูลเลชัน เอชซี ซ็อบเปอร์ควบคุมไอจีบีทีที่ทำงานร่วมกับไดโอดคู่กันแบบเต็มบริดจ์เป็นสวิตช์สองทาง ได้ทำการทดสอบที่สภาวะโหลดต่างๆ ที่ปรับแรงดันให้เหมาะสมพบว่ามีวิธีการที่นำเสนอให้ตัวประกอบกำลังและประสิทธิภาพสูงกว่าวิธีการป้อนแรงดันจากแหล่งจ่ายไฟหนึ่งเฟส

คำสำคัญ: มอเตอร์เหนี่ยวนำสามเฟส, ไมโครคอนโทรลเลอร์, พัลส์วิดโมดูลเลชัน เอชซี ซ็อบเปอร์

Abstract

This paper presents performance evaluation of a 2 HP, 220 V, 50 Hz three-phase induction motor fed by a 1-phase pulse width modulation (PWM) AC Chopper. The single-phase variable voltage is applied to the three-phase induction motor connected with one capacitor A DSPIC30F4011 microcontroller is used to generate PWM signals for controlling IGBTs that work together with full bridge diodes acting as two way switches. Testing under various load level is given. With the suitable voltage, the proposed method gives higher both power factor and efficiency than a conventional single-phase supply.

Keywords: three - phase induction motor, microcontroller, pulse width modulation ac chopper

1. บทนำ

ในปัจจุบันนี้จะมีหน่วยงานอุตสาหกรรมแทบทุกแห่งจะต้องมีมอเตอร์เหนี่ยวนำสามเฟส (Three-phase induction motor) ซึ่งทำหน้าที่ในการเปลี่ยนรูปพลังงานจากพลังงานไฟฟ้าเป็นพลังงานกล เรียกลักษณะของงานที่ต้องใช้มอเตอร์เหนี่ยวนำสามเฟสในการเปลี่ยนรูปพลังงานว่า ภาระของมอเตอร์ (Load motor) ซึ่งลักษณะงานแต่ละชนิดก็จะเป็นภาระที่ต่างกันของมอเตอร์ ซึ่งภาระของมอเตอร์นี้จะส่งผลต่อประสิทธิภาพการทำงานของมอเตอร์ กล่าวคือมอเตอร์เมื่อทำงานที่ภาระเบาจะมีประสิทธิภาพและค่าตัวประกอบกำลังค่อนข้างต่ำ เนื่องจากมอเตอร์เกิดการสูญเสียที่แกนเหล็กค่อนข้างสูง ดังนั้นถ้าหากโรงงานที่ใช้มอเตอร์เป็นตัวส่งกำลังให้กับภาระเบาเป็นจำนวนมากก็จะทำให้เกิดการสูญเสียที่สูงตามไปด้วย จึงมีการหาวิธีที่จะเพิ่มประสิทธิภาพจึงเป็นเรื่องที่ควรตระหนัก และในบางสถานการณ์ที่ไม่สามารถหาแหล่งจ่ายไฟฟ้าสามเฟสได้อาจจะเนื่องจากอยู่ห่างไกลในชนบทหรือมีการปั่นไฟฟ้าใช้เองซึ่งมีเฉพาะเป็นไฟฟ้าหนึ่งเฟส (Single-phase) แต่มีความจำเป็นต้องใช้มอเตอร์ตัวใหญ่ย่อมเป็นการยากที่จะหาซื้อมอเตอร์ชนิดหนึ่งเฟสที่มีขนาดใหญ่ เพราะโดยส่วนใหญ่จะผลิตมาเป็นมอเตอร์ชนิดสามเฟสเสียส่วนใหญ่ และเมื่อมอเตอร์ตัวใหญ่มากๆ ชุดเริ่มหมุนหรืออุปกรณ์อาจจะไม่สามารถหาได้ ดังนั้นการตัดแปลงเอามอเตอร์เหนี่ยวนำสามเฟสมาใช้กับไฟฟ้าหนึ่งเฟสก็เป็นอีกทางเลือกหนึ่งที่จะช่วยแก้ปัญหาได้ [1-4]

2. การนำมอเตอร์เหนี่ยวนำสามเฟสมาต่อกับไฟฟ้าหนึ่งเฟส

ปัญหาการนำเอามอเตอร์เหนี่ยวนำสามเฟสมาใช้กับไฟฟ้าหนึ่งเฟสคือไม่สามารถเริ่มหมุนมอเตอร์ โดยใช้ไฟฟ้าหนึ่งเฟสได้เพราะ

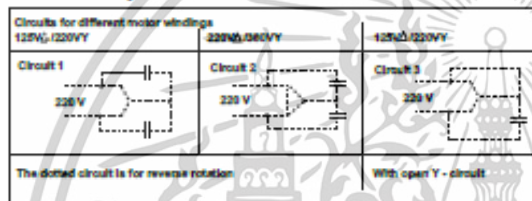
**บทความวิจัย**

การประชุมวิชาการเครือข่ายวิศวกรรมไฟฟ้ามหาวิทยาลัยเทคโนโลยีราชมงคล ครั้งที่ 9

Proceedings of the 9<sup>th</sup> Conference of Electrical Engineering Network of Rajamangala University of Technology 2017 (EENET 2017)

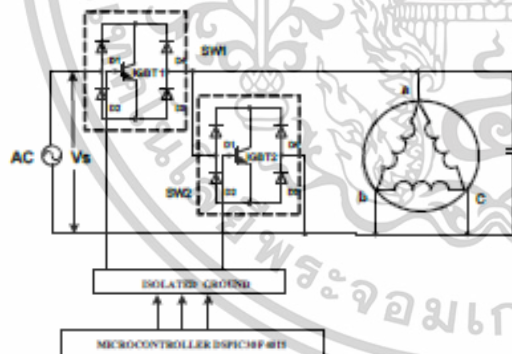
แรงบิดล่อกรเตอร์หรือแรงบิดเริ่มหมุนจะมีค่าต่ำมาก และลักษณะคุณสมบัติของเริ่มหมุนจะไม่ค่อยดีนัก ทำให้มอเตอร์แบบนี้เหมาะสำหรับขับโหลดแบบพัลซม และใช้ได้กับเครื่องจักรที่เริ่มหมุนแบบตัวเปล่าหรือไม่มีโหลดต่อกับมอเตอร์ เทคนิคอย่างหนึ่งเพื่อช่วยแก้ปัญหาโดยการติดตั้งคาปาซิเตอร์หรือตัวเก็บประจุทางเข้าไปกับขั้วของมอเตอร์ คาปาซิเตอร์จะทำหน้าที่ทำให้กระแสผ่านหน้าแรงดันหรือเกิดมุมต่างเฟสทางไฟฟ้าทำให้เกิดแรงบิดสูงขึ้นกว่าเดิม

สำหรับมอเตอร์ที่มีขั้วออกมาสามขั้วดังรูปที่ 1 เป็นลักษณะการต่อคาปาซิเตอร์ที่จะทำให้อัตราการหมุนไปในทิศทางหนึ่ง ซึ่งอาจจะมีคนเข้มนาทิศทางหรือทวนเข้มนาทิศทางก็ได้แต่ถ้าเปลี่ยนการต่อคาปาซิเตอร์ตามเส้นประทิศทางการหมุนของมอเตอร์ก็จะกลับทิศทางการหมุนจากทิศทางแรกได้ดังรูปข้างล่าง



รูปที่ 1 การต่อคาปาซิเตอร์

การต่อคาปาซิเตอร์แสดงในโต๊ะแกมข้างบนกำลังของมอเตอร์ที่ต่อกับไฟฟ้าหนึ่งเฟสจะมีค่าประมาณ 60% ถึง 80% ของมอเตอร์เหนี่ยวนำสามเฟสและแรงบิดล่อกรเตอร์หรือแรงบิดเริ่มหมุนจะมีค่าประมาณ 25% ถึง 35% ของแรงบิดที่คิดเดิม



รูปที่ 2 วงจรมอเตอร์เหนี่ยวนำสามเฟสด้วยพัลส์วิดมอดูเลชัน เอชซีบีเปอร์หนึ่งเฟส

**3. การจำลองทางคณิตศาสตร์**

มอเตอร์เหนี่ยวนำสามเฟสสามารถทำงานได้โดยใช้แหล่งจ่ายไฟฟ้าหนึ่งเฟสได้โดยการต่อตัวเก็บประจุกับขดลวดสเตเตอร์ (Stator winding) การวิเคราะห์ห่องค์ประกอบขณะที่ไม่สมมาตร การเปลี่ยนรูปกำลังงานอินวาเรียน (Power invariant) สามเฟสองค์ประกอบสมมาตรดังแสดงในสมการที่ (1) [1-2]

$$[C] = \frac{1}{\sqrt{3}} \begin{bmatrix} 1 & 1 & 1 \\ a^2 & a & 1 \\ a & a^2 & 1 \end{bmatrix} \quad (1)$$

$$a = e^{j2\pi/3}$$

$U_a, U_b, U_c$  คือ องค์ประกอบแรงดันชั่วขณะของแต่ละเฟส

$$[U]_{abc} = [C][U]^+ \quad (2)$$

$$[U]_{abc} = [U_a \ U_b \ U_c]^T \quad (3)$$

$$[U]^+ = [U^+ \ U^- \ U^0]^T \quad (4)$$

$U^+, U^-, U^0$  คือ ลำดับบวก ลำดับลบ และลำดับศูนย์ตามลำดับปริมาณลำดับศูนย์จะไม่มีและปริมาณลำดับลบ

เป็นสัญลักษณ์จริงของปริมาณลำดับบวกวงจรมูลลำดับบวกของมอเตอร์เหนี่ยวนำสามเฟสดังรูปที่ 3 ด้านล่าง



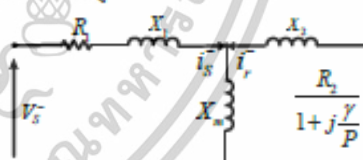
รูปที่ 3 วงจรมูลลำดับบวก

$$V_s^+ = (R_1 + X_1 P) i_s^+ + X_m P (i_s^+ + i_r^+)$$

$$o = \frac{\partial V_s^+}{1 - j(\gamma/P)}$$

$$o = \left( \frac{R_1}{1 - j(\gamma/P)} + X_2 P \right) i_s^+ + X_m P (i_s^+ + i_r^+) \quad (5)$$

เมื่อวงจรมูลของลำดับลบแทนที่  $j$  ด้วย  $-j$  ในสมการที่ 5



รูปที่ 4 วงจรมูลลำดับลบ

$$V_s^- = (R_1 + X_1 P) i_s^- + X_m P (i_s^- + i_r^-)$$

$$o = \frac{V_s^-}{1 + j(\gamma/P)}$$

$$o = \left( \frac{R_1}{1 + j(\gamma/P)} + X_2 P \right) i_s^- + X_m P (i_s^- + i_r^-) \quad (6)$$

สมการที่ 3 และสมการที่ 4 เป็นจำนวนเชิงซ้อนเพราะฉะนั้นทำให้เข้าใจง่าย คือแรงดันและกระแสลำดับบวกซึ่งเป็นจำนวนเชิงซ้อนสามารถเขียนได้ดังนี้



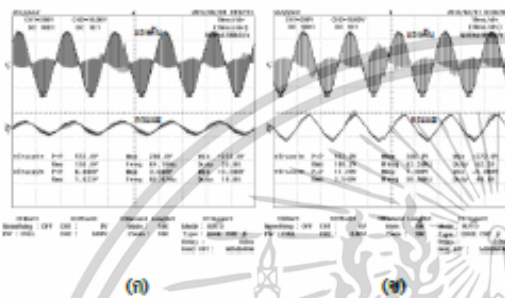


บทความวิจัย

การประชุมวิชาการเครือข่ายวิศวกรรมไฟฟ้ามหาวิทยาลัยเทคโนโลยีราชมงคล ครั้งที่ 9

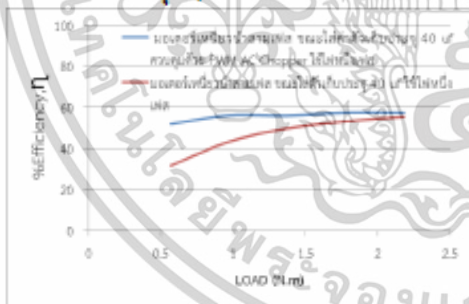
Proceedings of the 9<sup>th</sup> Conference of Electrical Engineering Network of Rajamangala University of Technology 2017 (EENET 2017)

การทำงานของวงจรควบคุมโดยพัลส์วัดมอดูเลชัน เอชซี ซ็อบเปอร์ ลักษณะฮาร์มอนิกของแรงดันที่ความถี่การสวิตซ์ 2 kHz จะมีอันดับฮาร์มอนิกที่เป็นฮาร์มอนิกอันดับต่ำเป็นจำนวนเท่าของความถี่ตามสมการ (๓๙.11) โดยที่ n = 1,2,3,4... และ K คือ อัตราส่วนระหว่างความถี่ของการสวิตซ์ 2 kHz กับความถี่ของแหล่งจ่าย 50 Hz ดังนั้นจะเกิดฮาร์มอนิกที่อันดับ 39,41,79,81,119,121,... ซึ่งเป็นอันดับฮาร์มอนิกที่ไกลจากฮาร์มอนิกที่ต่ำดังรูปที่ 13 แสดงรูปคลื่นแรงดันและกระแสที่โหลดต่างกัน

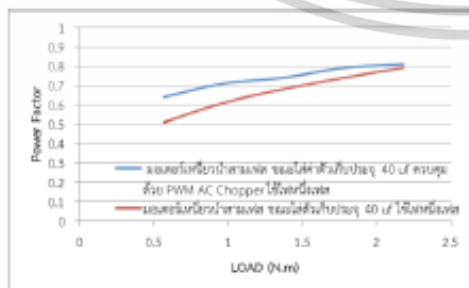


รูปที่ 13 คลื่นแรงดัน (บน) คลื่นกระแส (ล่าง) การทำงานที่ (ก) ภาระ โหลด 1 kg (0.57 N.m) (ข) ภาระ โหลด 5 kg (2.18 N.m)

การเปรียบเทียบตัวประกอบกำลังและประสิทธิภาพระหว่างผลของมอเตอร์เหนี่ยวนำสามเฟส ขณะใส่ตัวเก็บประจุ 40 µF ควบคุมด้วยพัลส์วัดมอดูเลชัน เอชซี ซ็อบเปอร์ที่มีการปรับค่าดีวีไอเอสหรือรอบการทำงาน (Duty cycle: D) ให้เหมาะสมที่สภาวะ โหลดต่างๆ เปรียบเทียบการใช้ไฟฟ้าหนึ่งเฟสกับผลของมอเตอร์เหนี่ยวนำสามเฟสขณะใส่ตัวเก็บประจุ 40 µF ใช้ไฟฟ้าหนึ่งเฟสเป็นดังนี้



รูปที่ 14 ประสิทธิภาพที่ควบคุมด้วย PWM AC Chopper



รูปที่ 15 ตัวประกอบกำลังที่ควบคุมด้วย PWM AC Chopper

รูปที่ 14 และรูปที่ 15 พบว่าในสภาวะโหลดเบาค่าประสิทธิภาพและตัวประกอบกำลังจะต่ำ ซึ่งทำให้เกิดการสูญเสียที่เปล่าประโยชน์สิ้นเปลืองพลังงาน เมื่อเปรียบเทียบกับมอเตอร์เหนี่ยวนำสามเฟสขณะใส่ตัวเก็บประจุ 40 µF ควบคุมด้วย PWM AC Chopper ใช้ไฟฟ้าหนึ่งเฟสจะพบว่าสามารถที่จะปรับปรุงค่าประสิทธิภาพและตัวประกอบกำลังการทำงานของมอเตอร์เหนี่ยวนำสามเฟส ขณะต่อตัวเก็บประจุ 40 µF ทำให้มีตัวประกอบกำลังที่ดีขึ้นและมีประสิทธิภาพทำงานที่สูงขึ้น นำไปสู่การประหยัดพลังงานสามารถนำไปต่อยอดพัฒนาในทางอุตสาหกรรมได้ต่อไป

5. สรุป

งานวิจัยนี้นำเสนอวิธีการประเมินสมรรถนะของมอเตอร์เหนี่ยวนำสามเฟสด้วยวิธีพัลส์วัดมอดูเลชัน เอชซี ซ็อบเปอร์หนึ่งเฟสเพื่อเพิ่มประสิทธิภาพการทำงานของมอเตอร์สำหรับการขับเคลื่อนมอเตอร์เหนี่ยวนำสามเฟสที่ใช้กับแหล่งจ่ายไฟฟ้าหนึ่งเฟส โดยต่อกับตัวเก็บประจุที่มีค่าเหมาะสมที่สุด

เอกสารอ้างอิง

- [1] Gofuku Toyoma, "AC chopper voltage controller-fed single-phase induction motor employing symmetrical PWM control technique," Electrical and Electronic Department, Faculty of engineering Toyama University, Japan, 1999.
- [2] อานันท์วัฒน์ คุณากร, "การพัฒนาของมอเตอร์เหนี่ยวนำ 3 เฟสเพื่อใช้กับไฟฟเสเดี่ยวโดยต่อแบบแยกเฟส," วิทยานิพนธ์วิศวกรรมศาสตรมหาบัณฑิต, สาขาวิชาวิศวกรรมไฟฟ้า, บัณฑิตวิทยาลัย, สถาบันเทคโนโลยีพระจอมเกล้าเจ้าคุณทหารลาดกระบัง, 2538.
- [3] ไทวิท ภูฉลาด, อธิปดีย์ ศรีหวางค์, วีระ ธัญยาภิรักษ์ และ วิจิตร คิมเรศ. "เทคนิคการปรับแรงดันไฟฟ้ากระแสสลับด้วยพัลส์วัดมอดูเลชัน เอชซี ซ็อบเปอร์สำหรับการประหยัดพลังงานในมอเตอร์เหนี่ยวนำหนึ่งเฟส," การประชุมวิชาการเครือข่ายพลังงานแห่งประเทศไทยครั้งที่ 8 (E-NETT 8) คณะวิศวกรรมศาสตร์ มหาวิทยาลัยมหาสารคาม 2-4 พฤษภาคม 2555.
- [4] เบลอญทิพย์ ทิพิะสุนทร, ชวพร บำรุงพลุภย์, ชัยวุฒิ สุทธิรักษ์, และ วิจิตร คิมเรศ. "การประเมินสมรรถนะของมอเตอร์เหนี่ยวนำ 3 เฟสด้วยพีดีบีแอลเอ็มอินเวอร์เตอร์ 1 เฟสชนิดไบโพลาร์," การประชุมวิชาการเครือข่ายพลังงานแห่งประเทศไทยครั้งที่ 10 (E-NETT 10) คณะวิทยาศาสตร์ มหาวิทยาลัยสงขลานครินทร์ 4-6 มิถุนายน 2557

2-4 พฤษภาคม พ.ศ. 2560 โรงแรม เคที แกรนด์ จันทบุรี อำเภอเมือง จังหวัดจันทบุรี

เอกสารนี้เป็นเอกสารที่สงวนไว้สำหรับการใช้งานเพื่อการศึกษา 47หน้านั้น ไม่อนุญาตให้นำไปใช้ประโยชน์ด้านการค้า ไม่ว่าจะกรณีใดๆทั้งสิ้น อีกทั้งห้ามมิให้ตัดแปลงเนื้อหา และต้องอ้างอิงถึงเจ้าของเอกสารทุกครั้งที่มีการนำไปใช้



**E-NETT 13<sup>TH</sup>**

การประชุมวิชาการ  
**เครือข่ายพลังงานแห่งประเทศไทยครั้งที่ 13**  
**13<sup>TH</sup> CONFERENCE ON ENERGY NETWORK OF THAILAND**  
 “ Sustainable Energy Development for Community and Innovation ”

31 พ.ค. - 2 มิ.ย. 2560 ณ โรงแรม ดิเอ็มเพรส เชียงใหม่

MAEJO GO ECO UNIVERSITY

STC บริษัทส่งเสริมนวัตกรรม  
 cristalla 100% virgin inorganic  
 SCB ไทยพาณิชย์

ติดต่อประชุมได้ : วิทยาลัยพลังงานทดแทน มหาวิทยาลัยแม่โจ้ ร่วมกับ มหาวิทยาลัยเทคโนโลยีพระจอมเกล้าธนบุรี

www.e-nett.org E-nett13.maejo@gmail.com 053.875599 โทร : 053.875599

เอกสารนี้เป็นเอกสารที่สงวนไว้สำหรับการใช้งานเพื่อการศึกษาเท่านั้น ไม่อนุญาตให้นำไปใช้ประโยชน์ด้านการค้า

ไม่ว่ากรณีใดๆทั้งสิ้น อีกทั้งห้ามมิให้ดัดแปลงเนื้อหา และต้องอ้างอิงถึงเจ้าของเอกสารทุกครั้งที่มีการนำไปใช้

ที่ ศธ 0523.28/ว 150



วิทยาลัยพลังงานทดแทน  
มหาวิทยาลัยแม่โจ้ อ.สันทราย  
จ.เชียงใหม่ ๕๐๒๔๐

1 พฤษภาคม 2560

เรื่อง ตอบรับบทความเพื่อเข้าร่วมการประชุมวิชาการเครือข่ายพลังงานแห่งประเทศไทย ครั้งที่ 13

เรียน นาย โกวิท ภูอลาด

ตามที่ท่านได้สมัครส่งบทความวิจัยเรื่อง “คู่มือไฟฟ้าควบคุมด้วยไมโครคอนโทรล” รหัสบทความ “ENETT13-CE-265” เพื่อนำเสนอในงานประชุมวิชาการเครือข่ายพลังงานแห่งประเทศไทย ครั้งที่ 13 (13th Conference On Energy Network of Thailand (E-NETT13th)) ในระหว่างวันที่ 31 พฤษภาคม – 2 มิถุนายน 2560 ณ โรงแรม ดีเอ็มเพรส เชียงใหม่ จ.เชียงใหม่ นั้น

บัดนี้ คณะกรรมการฝ่ายวิชาการได้พิจารณาบทความของท่านเป็นที่เรียบร้อยแล้ว ผลงานของท่าน “ผ่านการพิจารณา” และได้รับตอบรับให้บ่งเสนอประเภท “Oral Presentation” ในการประชุมวิชาการเครือข่ายพลังงานแห่งประเทศไทย ครั้งที่ 13 (13th Conference On Energy Network of Thailand (E-NETT13th)) โดยท่านสามารถตรวจสอบกำหนดการนำเสนอ และรายละเอียดการเตรียมข้อมูลการนำเสนอได้ทางเว็บไซต์ <http://www.e-nett.org> อนึ่ง ในส่วนของการตีพิมพ์บทความฉบับเต็มขึ้น ขณะนี้อยู่ในกระบวนการพิจารณาจากผู้ทรงคุณวุฒิ ท่านจะได้รับอีเมลแจ้งสถานะรายงานความก้าวหน้าของบทความจากทางคณะกรรมการจัดการประชุมต่อไป

จึงเรียนมาเพื่อโปรดทราบ

ขอแสดงความนับถือ

(ผู้ช่วยศาสตราจารย์ ดร.ณัฐวุฒิ สุขภูมิ)  
ผู้อำนวยการ วิทยาลัยพลังงานทดแทน

การประชุมวิชาการเครือข่ายพลังงานแห่งประเทศไทย (E-NETT) ครั้งที่ ๑๓  
ผศ.ดร.ณัฐวุฒิ สุขภูมิ : ผู้ประสานงาน  
โทรศัพท์ : ๐ ๕๓๘๗ ๕๕๕๖ / ๐๖ ๕๕๐๘ ๖๘๘๗ / ๐๘ ๕๕๕๐ ๖๗๖๘ โทรสาร ๐ ๕๓๘๗ ๕๕๕๗  
E-mail: enett@e-nett.org/enett@MUJGmail.com  
Website: www.e-nett.org



เอกสารนี้เป็นเอกสารที่สงวนไว้สำหรับการใช้งานเพื่อการศึกษาเท่านั้น ไม่อนุญาตให้นำไปใช้ประโยชน์ด้านการค้า  
ไม่ว่ากรณีใดๆทั้งสิ้น อีกทั้งห้ามมิให้ตัดแปลงเนื้อหา และต้องอ้างอิงถึงเจ้าของเอกสารทุกครั้งที่มีการนำไปใช้

## ตู้อบไฟฟ้าควบคุมด้วยเทคนิคควบคุมไซเคิล Electric Oven Controlled by Cycle Control Technique

โกวิท ภูอลาด<sup>1\*</sup>, นาวี รุจิตามพ์<sup>1</sup>, ศุภณัฐ สบาย<sup>1</sup>, ปิยพร จำริญพานิช<sup>1</sup>, พรนภัส ศรีศตสุข<sup>1</sup>, เฉลิมชาติ มานพ<sup>1</sup> และ วิจิตร กิณเรศ<sup>1</sup>

<sup>1</sup> ภาควิชาวิศวกรรมไฟฟ้า คณะวิศวกรรมศาสตร์ สถาบันเทคโนโลยีพระจอมเกล้าเจ้าคุณทหารลาดกระบัง เลขที่ 1 หมู่ 2 ซอยฉลองกรุง 1 ถนนฉลองกรุง แขวงลาดกระบัง เขตลาดกระบัง จังหวัดกรุงเทพมหานคร 10520

\*ผู้ติดต่อ: E-mail: Hikowitz@gmail.com, เบอร์โทรศัพท์: 08-9994-2005, เบอร์โทรสาร: 0-3242-6084

### บทคัดย่อ

บทความวิจัยฉบับนี้ได้นำเสนอตู้อบไฟฟ้าควบคุมด้วยเทคนิคควบคุมไซเคิล โดยวิธีการปรับเปอร์เซ็นต์ ON และ OFF ของคลื่นแรงดันไฟฟ้ากระแสสลับ 1 เฟส 50 เฮิร์ตซ์ ที่ป้อนให้กับหลอดไฟอินฟราเรดภายในตู้อบไฟฟ้า โดยบทความวิจัยนี้ได้ นำเสนอหลักการควบคุมด้วยทั้งสองวิธีคือ การควบคุมแบบวงเปิดและการควบคุมแบบมีตัวป้อนกลับอุณหภูมิโดยใช้เทอร์โมคัปเปิล ชนิด K ซึ่งเป็นตัวเซนเซอร์อุณหภูมิภายในตู้อบไฟฟ้า ส่วนสองวิธีการที่นำเสนอ คือวิธีการที่หนึ่งใช้เพื่อหาความสัมพันธ์ระหว่างความถี่ไซเคิลต่างๆกับค่ากำลังไฟฟ้าขาออก และวิธีการที่สองใช้รักษาระดับอุณหภูมิเพื่อเพิ่มจำนวนลูกคลื่นให้อุณหภูมิเข้าใกล้ค่าที่ตั้งไว้ และลดจำนวนลูกคลื่นเมื่อค่าของอุณหภูมิเสถียรค่าที่ตั้งไว้ บทความวิจัยนี้นำเสนอในรูปแบบของผลการทดลองและผลการจำลองโดยใช้โปรแกรม MATLAB/Simulink R2014a พบว่าผลที่ได้มีความสอดคล้องและจากผลการทดลองของการควบคุมแบบมีตัวป้อนกลับอุณหภูมิที่ 80 – 120 องศาเซลเซียส ที่ค่ากำลังไฟฟ้าสูงสุด 600 วัตต์ และเมื่อปรับค่าเปอร์เซ็นต์ ON ให้จะมีค่าเพิ่มขึ้นทำให้ได้กำลังไฟฟ้าที่สูงขึ้น พบว่าอุณหภูมิมีค่าเข้าสู่ค่าอุณหภูมิที่ตั้งไว้ ดังนั้นผลการทดลองจึงเป็นที่น่าพอใจ

**คำหลัก:** เทคนิคควบคุมไซเคิล, ตู้อบไฟฟ้า, ไมโครคอนโทรลเลอร์, เทอร์โมคัปเปิล, การควบคุมอุณหภูมิ

### Abstract

This research paper is presents an electric oven controlled by cycle control technique with adjustable ON and OFF percentage of single-phase sinusoidal waveform at 50 Hz which feed infrared bulb in the oven. This research paper is presents control with two methods are namely first method is used for determined relationship of duty cycle versus output power second method is used for fixed temperature is nearly setpoint value and decreasing amount sinusoidal waveform. When over value of temperature setpoint value. This paper is presents implementation results and simulation results by using program MATLAB/Simulink R2014a. Which is found that corresponding results from this now implementation result of feedback temperature control, we can vary between 80 and 120 celsius degree at the maximum wattage of 600 watts and when ON percent is increased, output power will increase, is found that the temperature is approached setpoint value temperature, there fore implementation result is satisfied.

**Keywords:** Cycle control technique, Electric oven, Microcontroller, Thermocouple, Temperature control.

### 1. บทนำ

การควบคุมแรงดันไฟฟ้ากระแสสลับจากแหล่งจ่ายไฟ สลับ 1 เฟส 50 เฮิร์ตซ์ ไปยังต้านโหลดหรืออุปกรณ์ไฟฟ้าต่างๆ สามารถทำได้ 2 วิธี คือการควบคุมโดยวิธีแบบเฟสคอนโทรล และวิธีแบบไซเคิลคอนโทรล ในบทความนี้ได้นำเสนอวิธีการ ควบคุมกำลังไฟฟ้าวิธีแบบไซเคิลคอนโทรลซึ่งจะให้ข้อดีในแง่ ของการปรับได้ต่อเนื่องเหมาะสมสำหรับโหลดความร้อนเนื่องจาก

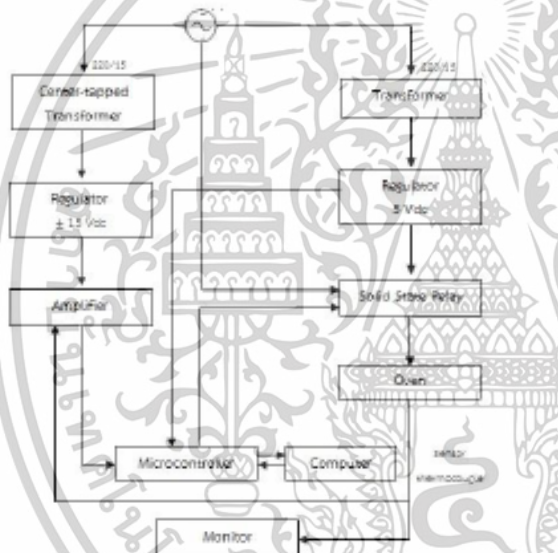
ไม่ต้องมีการต่อสวิตช์ที่เร็ว ส่วนข้อเสียคือไม่มีความต่อเนื่อง ของสัญญาณรูปคลื่นที่ขาดไปจึงไม่เหมาะกับระบบที่ตอบสนอง ไม่ว่ากรณีใดๆทั้งสิ้น อีกทั้งห้ามเปลี่ยนแปลงเนื้อหา และต้องอ้างอิงถึงเจ้าของเอกสารทุกครั้งหากมีการนำไปใช้

เร็ว เช่น ระบบทางไฟฟ้า เป็นต้น โดยในที่นี้จะใช้หลอดเป็นตู้อบ ซึ่งมีหลอดไฟอินฟราเรดซึ่งเป็นอุปกรณ์ให้ความร้อนภายในตู้อบ จะใช้ไมโครคอนโทรลเลอร์ตระกูล C2000 เบอร์ TMS320F28335 เป็นตัวทำหน้าที่ควบคุมติดต่อสื่อสารข้อมูล ระหว่างคอมพิวเตอร์กับโหลด โดยจะทำการสร้างคลื่นแรงดัน เอาต์พุตวิธีแบบไซเคิลคอนโทรล ซึ่งจะจำลองคลื่นแรงดัน เอาต์พุตด้วยแบบวิธีไซเคิลคอนโทรลแบบวงเปิด (Open Loop) และแบบที่มีตัวป้อนกลับอุณหภูมิ (Close Loop) โดยใช้เทอร์โมคัปเปิลชนิด K ซึ่งเป็น

ตัวเซนเซอร์อุณหภูมิภายในตู้อบไฟฟ้า เพื่อเปรียบเทียบค่าแรงดันระหว่างผลจากการจำลองและผลจากการทดลอง และนำไปควบคุมอุณหภูมิภายในตู้อบที่กำลังไฟฟ้าสูงสุด 600 วัตต์ ซึ่งปรากฏว่าสามารถควบคุมอุณหภูมิได้ในช่วง 80-120 องศาเซลเซียส และสามารถนำค่าที่ได้จากการทดลองตามมาบันทึกค่าและทำการเปรียบเทียบโดยพล็อตกราฟพบว่าอุณหภูมิที่ได้นั้นที่ค่ามีความใกล้เคียงเข้าสู่ค่าอุณหภูมิที่ตั้งไว้ [1-6]

2. การออกแบบส่วนการควบคุมอุณหภูมิ

การออกแบบในส่วนของการสร้างสัญญาณควบคุมอุณหภูมิโดยใช้วิธีไซเคิลคอนโทรลสามารถแสดงด้วยบล็อกไดอะแกรมได้ดังรูปที่ 1 ด้านล่าง



รูปที่ 1 บล็อกไดอะแกรมหลักการสร้างสัญญาณควบคุมวิธีไซเคิลคอนโทรลแบบดิจิทัล

ซึ่งแบ่งได้เป็นส่วนประกอบหลักๆ ดังนี้

1. ส่วนของคอมพิวเตอร์: ทำหน้าที่สร้างสัญญาณแรงดันแบบไซเคิลคอนโทรลโดยใช้ MATLAB/Simulink และยังเป็นส่วนที่ใช้เก็บโปรแกรมควบคุมการทำงานของอุณหภูมิภายในตู้อบไฟฟ้า
2. ส่วนของไมโครคอนโทรลเลอร์: ทำหน้าที่รับคำสั่งจากคอมพิวเตอร์เพื่อไปควบคุมอุปกรณ์ต่างๆ ที่เชื่อมต่ออยู่กับตัวไมโครคอนโทรลเลอร์ในการส่งข้อมูลระหว่างคอมพิวเตอร์และอุปกรณ์ที่เชื่อมต่ออยู่กับไมโครคอนโทรลเลอร์ที่เป็นส่วนเก็บโปรแกรมและสร้างแรงดันไฟฟ้ากระแสสลับแบบไซเคิลคอนโทรล
3. ส่วนของวงจรขับและการควบคุมแรงดันไฟสลับ: ซึ่ง

แรงดันไฟฟ้ากระแสสลับ วงจรขับ และวงจรตรวจจับจุดตัดศูนย์ ดังนั้นไซคลิสเตตรีเลย์จึงทำหน้าที่รับคำสั่งจากไมโครคอนโทรลเลอร์แล้วนำคำสั่งที่ได้รับไปควบคุมการทำงานของไดรแอกให้ ON หรือ OFF ตามจังหวะที่ได้กำหนดไว้ และใช้วงจรตรวจจับจุดตัดศูนย์เป็นจุดอ้างอิงในการกำหนดตำแหน่งเริ่มต้น ON หรือ OFF คลื่นแรงดันไฟฟ้ากระแสสลับ

4. ส่วนของหลอดอินฟราเรดในตู้อบไฟฟ้า: เป็นตัวกำเนิดความร้อนภายในตู้อบไฟฟ้า ซึ่งจะให้ความร้อนในระดับต่างๆ ตามค่าเปอร์เซ็นต์ ON ที่กำหนด โดยระดับของความร้อนจะมีค่าเพิ่มขึ้นตามค่าของเปอร์เซ็นต์ ON ที่เพิ่มขึ้น ซึ่งในงานวิจัยนี้ใช้หลอดอินฟราเรดขนาด 600 วัตต์

5. ส่วนของเซ็นเซอร์ตรวจจับอุณหภูมิภายในตู้อบไฟฟ้า: ทำหน้าที่วัดอุณหภูมิภายในตู้อบไฟฟ้าโดยใช้เทอร์โมคัปเปิลชนิด K ซึ่งเทอร์โมคัปเปิลจะสร้างแรงดันไฟฟ้าขึ้นทางด้านเอาต์พุตจากค่าของอุณหภูมิที่วัดได้ภายในตู้อบไฟฟ้า ซึ่งค่าแรงดันไฟฟ้าที่ได้จะอยู่ในย่านมิลลิโวลต์จึงต้องนำเข้าส่วนขยายแรงดันและนำค่าที่ได้เข้าไปไมโครคอนโทรลเลอร์

2.1 การคำนวณวิเคราะห์ค่ากำลังไฟฟ้าประสิทธิภาพ และเพาเวอร์แฟคเตอร์

ในการออกแบบการควบคุมตู้อบไฟฟ้าควบคุมด้วยไซเคิลคอนโทรลนั้นต้องทราบค่าของกำลังทางไฟฟ้าด้านเอาต์พุตโดยจะมีสมการที่เกี่ยวข้องที่สามารถหาค่าแรงดันเอาต์พุต RMS ได้จากสมการ [1, 3, 4]

$$V_{O,RMS} = \left[ \frac{1}{T} \int_0^T v^2(t) dt \right]^{1/2} \tag{1}$$

โดยที่

$$v(t) = v_m \sin \omega t \tag{2}$$

$$V_{O,RMS} = \left[ \frac{n}{2\pi(n+m)} \int_0^{2\pi} 2V_s^2 \sin^2 \omega t d(\omega t) \right]^{1/2} \tag{3}$$

ดังนั้น

$$V_{O,RMS} = V_s \sqrt{\frac{n}{n+m}} = V_s \sqrt{K} \tag{4}$$

สามารถหาค่ากำลังไฟฟ้าเอาต์พุตได้จากสมการ

$$P_o = \frac{V_{O,RMS}^2}{R} \tag{5}$$

และสามารถหาค่าประสิทธิภาพได้จากสมการ

$$\eta = \frac{P_o}{P_i} \times 100 \tag{6}$$

โดยที่ n คือ จำนวนไซเคิลที่ ON

m คือ จำนวนไซเคิลที่ OFF

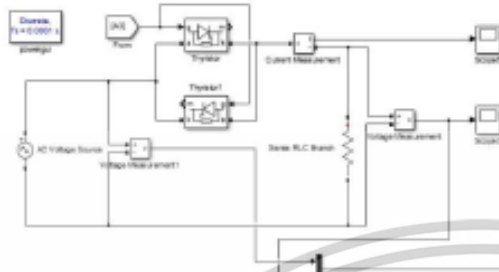
n+m คือ จำนวนไซเคิลทั้งหมดใน 1 คาบเวลา

K คือ ค่าตัวดีไซเคิล

3. หลักการจำลองและการทดสอบของวงจร

เอกสารนี้เป็นเอกสารที่สงวนไว้ซึ่งลิขสิทธิ์ในการใช้งานเท่านั้น ไม่อนุญาตให้นำไปใช้ประโยชน์ในการค้า Open Loop และ Close Loop แบบไซเคิลคอนโทรลจะใช้ไม่ว่ากรณีใดๆทั้งสิ้น อีกทั้งห้ามมิให้ดัดแปลงเนื้อหา และต้องอ้างอิงถึงเจ้าของเอกสารทุกครั้งที่มีการนำไปใช้

หลักการควบคุมการทำงานแบบดิจิทัลโดยการใช้โปรแกรม  
MATLAB/Simulink สำหรับการจำลองและการออกแบบ



รูปที่ 2 การจำลองวงจรกำลัง



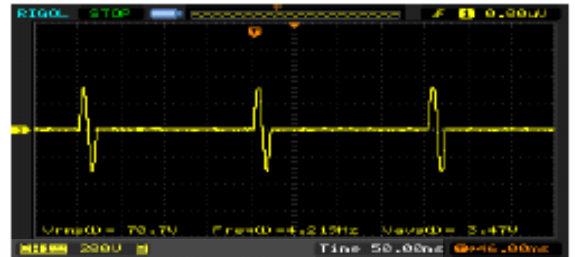
รูปที่ 3 การจำลองสัญญาณแรงดันแบบ Open Loop

รูปที่ 4 การจำลองสัญญาณแรงดันแบบ Close Loop

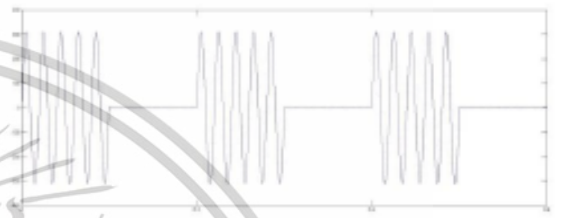
เมื่อทำการจำลองและการทดสอบสร้างรูป  
คลื่นสัญญาณแรงดันแบบ Open Loop ที่มีค่าปรับค่าตัวดี  
ไซน์คลื่นต่างๆ (Duty Cycle) ด้วยวิธีไซน์คลื่นคอนโทรลจะได้รูป  
คลื่นสัญญาณแรงดันตามรูปที่ 5



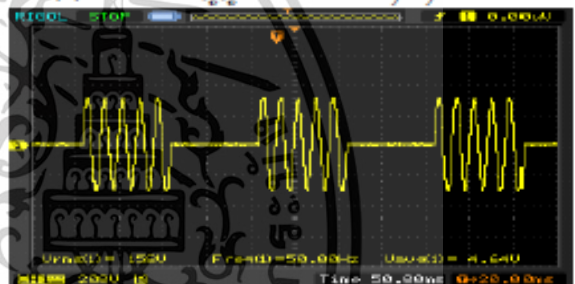
(ก) การจำลองสัญญาณแรงดันที่ Duty Cycle - 0.1



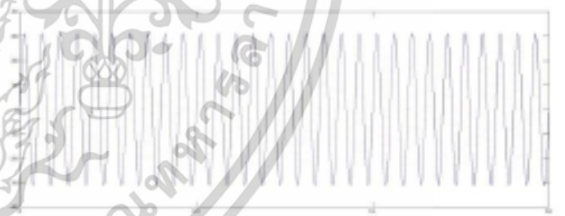
(ข) การทดสอบสัญญาณแรงดันที่ Duty Cycle - 0.1



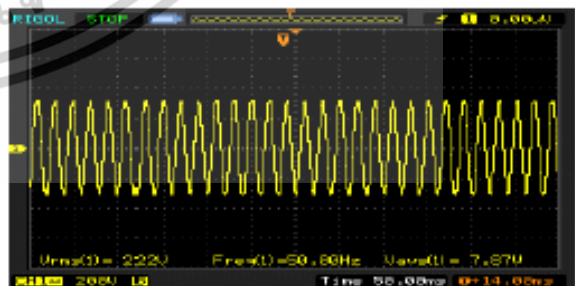
(ค) การจำลองสัญญาณแรงดันที่ Duty Cycle - 0.5



(ง) การทดสอบสัญญาณแรงดันที่ Duty Cycle - 0.5



(จ) การจำลองสัญญาณแรงดันที่ Duty Cycle - 1



(ฉ) การทดสอบสัญญาณแรงดันที่ Duty Cycle - 1

รูปที่ 5 ผลจากการจำลองรูป (ก), (ค), (จ) และการทดสอบรูป  
(ข), (ง), (ฉ) สัญญาณแรงดันแบบ Open Loop ที่ค่าตัวดีไซน์  
ต่างๆ

เอกสารนี้เป็นเอกสารที่สงวนไว้สำหรับการใช้งานเพื่อการศึกษาเท่านั้น ไม่อนุญาตให้นำไปใช้ประโยชน์ด้านการค้า  
ไม่ว่ากรณีใดๆทั้งสิ้น อีกทั้งห้ามมิให้ดัดแปลงเนื้อหา และต้องอ้างอิงถึงเจ้าของเอกสารทุกครั้งที่มีการนำไปใช้



รูปที่ 6 ผลจากการจำลองสัญญาณแรงดันวีซีเคิลคอนโทรลแบบ Close Loop

จากรูปที่ 6 จะสังเกตได้ว่าลักษณะรูปคลื่นแรงดันจะมีการเพิ่มจำนวนไซเคิลขึ้นและลดลง คือเมื่อทำการกำหนดอุณหภูมิเป้าหมาย จะมีการเพิ่มขึ้นของเปอร์เซ็นต์การ ON ของสวิตช์แรงดันจนเมื่อถึงอุณหภูมิเป้าหมายจะทำให้การลดเปอร์เซ็นต์การ ON ของสวิตช์แรงดันลงเพื่อรักษาระดับของอุณหภูมิไม่ให้เกินค่าอุณหภูมิเป้าหมาย

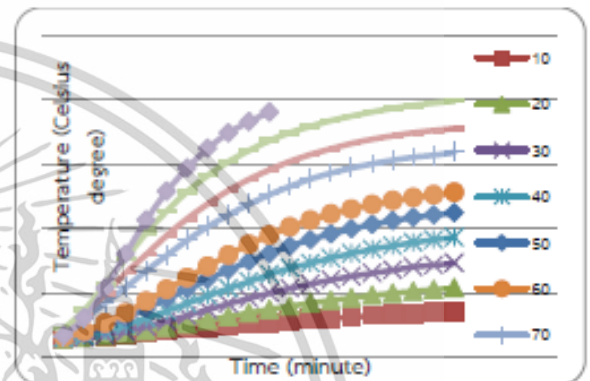
เราสามารถหาค่าพารามิเตอร์ต่างๆ ที่ได้จากกราฟแสดงเมื่อปรับค่า duty cycle (Duty Cycle) ตั้งแต่ 0.1 – 1 ได้ดังตารางที่ 1 ด้านล่าง โดยวงจรป้อนแรงดันอินพุตที่ 220 โวลต์ให้กับหลอดคอนฟิราเรตขนาด 600 วัตต์ ซึ่งจะมีค่าความต้านทานที่ 80.67 โอห์ม และคำนวณหาค่าต่างๆ พบว่าค่าประสิทธิภาพสูงสุดจะเพิ่มขึ้นตามการปรับค่า duty cycle สูงสุดนั่นเอง

ตารางที่ 1 ค่าพารามิเตอร์ต่างๆ ที่ได้จากกราฟแสดงด้วยการปรับค่า duty cycle

Duty Cycle	$V_{RM}$ (V)	$I_{ORM}$ (A)	$V_{ORM}$ (V)	$P_i$ (W)	$P_o$ (W)	Eff (%)
0.1	220	0.95	70.70	209.00	72.80	34.83
0.2	220	1.25	99.60	275.00	126.04	45.83
0.3	220	1.48	122	325.60	176.69	54.26
0.4	220	1.66	141	365.20	222.29	60.86
0.5	220	1.83	158	402.60	270.15	67.10
0.6	220	2.02	173	444.40	329.16	74.06
0.7	220	2.16	187	475.20	376.37	79.20
0.8	220	2.27	199	499.40	415.68	83.23

0.9	220	2.40	211	528.00	464.65	88.00
1.0	220	2.53	217	556.60	516.36	92.81

เมื่อป้อนแรงดันที่ค่า duty cycle ต่างๆ สังเกตแนวโน้มความสัมพันธ์ระหว่างอุณหภูมิและเวลาจะดังรูปที่ 7 ด้านล่าง



รูปที่ 7 ความสัมพันธ์ระหว่างอุณหภูมิและเวลาที่ค่า duty cycle ต่างๆ

#### 4. การควบคุมอุณหภูมิ

การควบคุมอุณหภูมิโดยวิธีการปรับค่าเปอร์เซ็นต์ ON ของสวิตช์แรงดันไฟฟ้ากระแสสลับที่ป้อนให้กับหลอดคอนฟิราเรตเป็นการควบคุมที่มีการอ่านค่าของอุณหภูมิภายในตู้อบไฟฟ้าเข้ามาเพื่อเปรียบเทียบกับค่าอุณหภูมิเป้าหมายเพื่อคำนวณค่าความผิดพลาดของอุณหภูมิที่เกิดขึ้น แล้วนำค่าความผิดพลาดนี้มาตัดสินใจในการปรับเปลี่ยนค่าเปอร์เซ็นต์ ON โดยหากอุณหภูมิภายในตู้อบไฟฟ้ามากกว่าค่าอุณหภูมิเป้าหมายที่ได้กำหนดไว้จะต้องทำการลดค่าเปอร์เซ็นต์ ON ลงตามค่าความผิดพลาดที่เกิดขึ้น และหากค่าของอุณหภูมิภายในตู้อบไฟฟ้าน้อยกว่าค่าอุณหภูมิเป้าหมายที่ได้กำหนดไว้จะต้องทำการเพิ่มค่าเปอร์เซ็นต์ ON ขึ้นตามค่าความผิดพลาดที่เกิดขึ้นซึ่งเป็นไปตามโพลัวซาร์ตการทำงานของโปรแกรมดังรูปที่ 8 ด้านล่าง

เอกสารนี้เป็นเอกสารที่สงวนลิขสิทธิ์สำหรับการใช้งานเพื่อการศึกษาเท่านั้น ไม่อนุญาตให้นำไปใช้ประโยชน์ด้านการค้า ไม่ว่าจะกรณีใดๆทั้งสิ้น อีกทั้งยังมีให้ดัดแปลงเนื้อหา และต้องอ้างอิงถึงเจ้าของเอกสารทุกครั้งที่มีการนำไปใช้



## 5. สรุปผล

บทความวิจัยนี้ได้นำเสนอตัวไฟฟ้าควบคุมด้วยเทคนิคควบคุมไซเคิล ซึ่งจะใช้หลักการควบคุมด้วยเทคนิคไซเคิลแบบดิจิทัลที่สามารถปรับค่าตัวไซเคิลตามค่าที่ตั้งไว้เหมาะสมกับโหลดที่ใช้ประเภทความร้อนหรือเป็นโหลดต่อเนื่องที่ไม่ต้องการผลตอบสนองที่เร็ว จากผลการจำลองและผลการทดสอบพบว่าระบบสามารถควบคุมตามอุณหภูมิที่ต้องการได้ตามค่าอุณหภูมิที่กำหนดไว้ โดยใช้การปรับค่า ON และ OFF เพื่อรักษาระดับอุณหภูมิให้มีประสิทธิภาพได้ตามการปรับค่าตัวไซเคิลนั่นเอง ซึ่งจากผลการทดลองที่ได้มีความสอดคล้องกันและเป็นที่น่าพอใจ

## 6. เอกสารอ้างอิง

- [1] M.Syed Jamil Asghar, "Smooth Speed Control of Single-Phase Induction Motors by Integral-Cycle Switching," IEEE Trans. Energy Conversion, Vol.14, No.4, December 1999, PP:1094-1099.
- [2] จริญญา เตชกฤษ (2543). เอกสารประกอบการเรียนเรื่อง เครื่องมือและอุปกรณ์ในการทำขนมอบ. วารสารยูนิเคิต. ปีที่ 12, ฉบับที่ 19, พฤศจิกายน 2543.
- [3] วีระเชษฐ์ ชันเงิน และ วุฒิพล ชาราธิ์เสนา, พิมพ์ครั้งที่ 14 ฉบับปรับปรุงแก้ไข (2557). อิเล็กทรอนิกส์กำลัง (Power Electronics), กรุงเทพมหานคร: ห้างหุ้นส่วนจำกัด วี.เจ. พรินต์ติ้ง.
- [4] ชัยยงค์ แก้วมงคล และ นภัทร วัจนเทพินทร์ พิมพ์ครั้งที่ 2 (2540). อิเล็กทรอนิกส์กำลัง 1 (วงจรคอนเวอร์เตอร์), กรุงเทพมหานคร: สกายบุ๊กส์.
- [5] รักศักดิ์ ยี่ร้อสา, "ตัวไฟฟ้า 50 Hz ควบคุมด้วยคอมพิวเตอร์โดยอาศัยหลักการเฟสและไซเคิลคอนโทรล," วิทยานิพนธ์วิศวกรรมศาสตรมหาบัณฑิต, ภาควิชาวิศวกรรมไฟฟ้า, บัณฑิตวิทยาลัย, สถาบันเทคโนโลยีพระจอมเกล้าเจ้าคุณทหารลาดกระบัง, 2551.
- [6] นวภัทรา หนูนาค และ ทวีพล ชื้อสัดย์, การวัดและเครื่องมือวัดการประยุกต์ในอุตสาหกรรมอาหาร (Measurement and Instrumentation, กรุงเทพมหานคร: สาขาวิชาวิศวกรรมอาหาร, คณะวิศวกรรมศาสตร์, สถาบันเทคโนโลยีพระจอมเกล้าเจ้าคุณทหารลาดกระบัง, 2555.

เอกสารนี้เป็นเอกสารที่สงวนไว้สำหรับการใช้งานเพื่อการศึกษาเท่านั้น ไม่อนุญาตให้นำไปใช้ประโยชน์ด้านการค้า ไม่ว่าจะกรณีใดๆทั้งสิ้น อีกทั้งห้ามมิให้ดัดแปลงเนื้อหา และต้องอ้างอิงถึงเจ้าของเอกสารทุกครั้งที่มีการนำไปใช้





**การประชุมวิชาการเครือข่ายวิศวกรรมไฟฟ้า ครั้งที่ 10**

**The 10<sup>th</sup> Conference of Electrical Engineering Network 2018**

วันที่ 1 - 3 พฤษภาคม พ.ศ. 2561  
ณ โรงแรมราชศุภมิตร-อาร์.เอส. โฮเต็ล (R.S. Hotel) อำเภอเมือง จังหวัดกาญจนบุรี

**วิศวกรรมไฟฟ้า เพื่อการพัฒนา ให้ชาติก้าวหน้า  
สู่ความมั่นคง มั่งคั่ง ยั่งยืน**

**ELECTRICAL ENGINEERING FOR NATIONAL DEVELOPMENT  
TO STABILITY, WEALTHIEST AND SUSTAINABILITY**

**Conference Topics**

1) Electrical Power (PW)	๑) ไฟฟ้ากำลัง
2) Power Electronics (PE)	๒) อิเล็กทรอนิกส์กำลัง
3) Electronics (EL)	๓) อิเล็กทรอนิกส์
4) Electric Communication (CM)	๔) ไฟฟ้าสื่อสาร
5) Control Systems and Instrumentation (CT)	๕) ระบบควบคุมและการวัด
6) Computer and Information Technology (CP)	๖) คอมพิวเตอร์และเทคโนโลยีสารสนเทศ
7) Digital Signal Processing (DS)	๗) การประมวลผลสัญญาณดิจิทัล
8) Energy and Energy Saving (ES)	๘) พลังงานและการอนุรักษ์พลังงาน
9) Innovation and Invention (IN)	๙) นวัตกรรมและสิ่งประดิษฐ์
10) General Electrical Engineering (GN)	๑๐) งานวิจัยที่เกี่ยวข้องกับวิศวกรรมไฟฟ้า

เอกสารนี้เป็นเอกสารที่สงวนไว้สำหรับการใช้งานเพื่อการศึกษาเท่านั้น ไม่อนุญาตให้นำไปใช้ประโยชน์ด้านการค้า  
ไม่ว่ากรณีใดๆทั้งสิ้น อีกทั้งห้ามมิให้ดัดแปลงเนื้อหา และต้องอ้างอิงถึงเจ้าของเอกสารทุกครั้งที่มีการนำไปใช้



ที่ ศธ ๐๕๗๔/ว.๐๔๔๖

สถาบันเทคโนโลยีปทุมวัน  
๘๓๓ ถนนพระรามที่ ๑  
แขวงวังใหม่ เขตปทุมวัน  
กรุงเทพมหานคร ๑๐๓๓๐

๑๕ มีนาคม ๒๕๖๑

เรื่อง ขอแจ้งผลการพิจารณาบทความการประชุมวิชาการเครือข่ายวิศวกรรมไฟฟ้า ครั้งที่ ๑๐

เรียน โกวิน ภูธสาค พิสิทธิ์ บุญรอด ประหยัด กองสุข พูนศรี วรรณการ และ วิจิตร กิณเรศ

ตามที่ท่านได้ส่งบทความเพื่อเข้าร่วมงาน การประชุมวิชาการเครือข่ายวิศวกรรมไฟฟ้า ครั้งที่ ๑๐ (The 10th Conference of Electrical Engineering Network : EENET 2018) ซึ่งจะจัดขึ้นระหว่างวันที่ ๑ ถึง ๓ พฤษภาคม ๒๕๖๑ ณ โรงแรม ราชศุภมิตร (อาร์ เอส ไฮเดิล) ตำบลท่ามะขาม อำเภอเมืองกาญจนบุรี จังหวัดกาญจนบุรี ในหัวข้อเรื่อง

" การขับเคลื่อนมอเตอร์กระแสตรงไร้แปรงถ่านโดยปราศจากตัวตรวจจับ "

ในการนี้ คณะกรรมการดำเนินงานการประชุมวิชาการเครือข่ายวิศวกรรมไฟฟ้า ครั้งที่ ๑๐ มีความยินดีที่จะเรียนให้ท่านทราบว่า บทความเรื่องดังกล่าวได้ ผ่านการพิจารณา โดยผู้ทรงคุณวุฒิให้นำเสนอแบบปากเปล่า (Oral Presentation) ในการการประชุมวิชาการเครือข่ายวิศวกรรมไฟฟ้า ครั้งที่ ๑๐

จึงเรียนมาเพื่อโปรดทราบ และขอขอบคุณมา ณ โอกาสนี้

ขอแสดงความนับถือ

(รองศาสตราจารย์ ดร.สันติ หวังนิพนานโด)  
ประธานกรรมการดำเนินงานการประชุมวิชาการ  
เครือข่ายวิศวกรรมไฟฟ้าครั้งที่ 10

เอกสารนี้เป็นเอกสารที่สงวนไว้สำหรับการใช้งานเพื่อการศึกษาเท่านั้น เมื่อผู้ยึดใช้เกินขอบเขตนี้เป็นการค้า

ไม่ว่ากรณีใดๆทั้งสิ้น อีกทั้งห้ามมิให้ตัดแปลงเนื้อหา และต้องอ้างอิงถึงเจ้าของเอกสารทุกครั้งที่มีการนำไปใช้

สถาบันเทคโนโลยีปทุมวัน

โทร. ๐-๒๑๐๔-๙๐๙๙ ต่อ ๘๐๐๓

โทรสาร ๐-๒๑๐๔-๙๐๙๘

## บทความวิจัย

การประชุมวิชาการเครือข่ายวิศวกรรมไฟฟ้า ครั้งที่ 10

Proceedings of the 10<sup>th</sup> Conference of Electrical Engineering Network 2018 (EENET 2018)

## การขับเคลื่อนมอเตอร์กระแสตรงไร้แปรงถ่านโดยปราศจากตัวตรวจจับ

## SENSORLESS BRUSHLESS DC MOTOR DRIVE

โกวิท กุลลาล<sup>1</sup> พิสิทธิ์ บุญรอด<sup>1</sup> ประยัด กองสุข<sup>1</sup> พูนศรี วรรณการ<sup>1</sup> และ วิจิตร กิมรต<sup>2</sup><sup>1,2,3</sup>สาขาวิชาวิศวกรรมไฟฟ้า คณะวิศวกรรมศาสตร์ สถาบันเทคโนโลยีพระจอมเกล้าเจ้าคุณทหารลาดกระบัง เลขที่ 1 หมู่ 2

ซอยฉลองกรุง 1 ถนนฉลองกรุง แขวงลาดกระบัง เขตลาดกระบัง จังหวัดกรุงเทพมหานคร 10520 โทรศัพท์ 089-994-2005

E-mail: hikowitz@gmail.com

<sup>1</sup>สาขาวิชาวิศวกรรมไฟฟ้า คณะเทคโนโลยีอุตสาหกรรมการเกษตร มหาวิทยาลัยเทคโนโลยีราชมงคลตะวันออก วิทยาเขตจันทบุรี เลขที่ 131 หมู่ 10

ถนนบ่อวินนาคร ตำบลพลวง อำเภอเขาฉกรรจ์ จังหวัดจันทบุรี 22210 โทรศัพท์ 084-976-6622

<sup>2</sup>สาขาวิชาวิศวกรรมไฟฟ้า คณะวิศวกรรมศาสตร์ มหาวิทยาลัยเทคโนโลยีราชมงคลพระนคร เลขที่ 1381 ถนนประชาราษฎร์ 1 แขวงวงศ์สว่าง

เขตบางซื่อ จังหวัดกรุงเทพมหานคร 10500 โทรศัพท์ 086-004-9952

## บทคัดย่อ

บทความนี้ได้ศึกษาเกี่ยวกับการขับเคลื่อนมอเตอร์กระแสตรงไร้แปรงถ่าน โดยปราศจากตัวตรวจจับเนื่องจากมอเตอร์ชนิดนี้มีคุณสมบัติที่หลากหลายเมื่อเทียบกับมอเตอร์กระแสตรงทั่วไป เช่นการบำรุงรักษาที่น้อยกว่า ประสิทธิภาพที่สูงกว่า โมเมนต์ความเฉื่อยต่ำกว่า ดังนั้นผู้วิจัยจึงมีความสนใจที่จะศึกษาและออกแบบระบบขับเคลื่อนมอเตอร์นี้ ที่ปราศจากตัวตรวจจับตำแหน่ง โดยอาศัยวิธีการค้นหาแรงเคลื่อนไฟฟ้าที่ผันกลับในลักษณะสี่เหลี่ยมคางหมูและใช้วิธีการค้นหาตำแหน่งของโรเตอร์ในขณะที่เริ่มต้นแทนการใช้ฮอลล์เอฟเฟกต์เซ็นเซอร์ (Hall effect sensors) ในงานวิจัยนี้ได้ใช้มอเตอร์กระแสตรงไร้แปรงถ่านที่กักกำลัง 350 วัตต์ 24 โวลต์ 46 ขั้วแม่เหล็ก

คำสำคัญ: มอเตอร์กระแสตรงไร้แปรงถ่าน, ตัวตรวจจับ, ไมโครคอนโทรลเลอร์, อินเวอร์เตอร์สามเฟส

## Abstract

This paper proposes a sensorless brushless DC motor drive because there are a lot of advantages compared with a conventional dc motor such as less maintenance, higher efficiency low moment of inertia and so on. Therefore, we are interested in study and design of this motor drive system with sensorless position by a trapezoidal back emf search method and an initial rotor position search method instead of Hall effect sensors. In this research, a 350 watt, 24 volt and 46 pole brushless DC motor is used.

Keywords: brushless dc motor, sensorless, microcontroller, three phase inverter

## 1. บทนำ

ในปัจจุบันมอเตอร์กระแสตรงมีบทบาทอย่างมากในวงการอุตสาหกรรมอันเนื่องมาจาก คุณสมบัติต่างๆของมอเตอร์ที่สามารถควบคุมความเร็วได้ตามที่ต้องการ และมีแรงบิดเริ่มต้นที่ตีมาก แต่มอเตอร์กระแสตรงก็ยังมีข้อเสีย เรื่องการมีแปรงถ่านที่ต้องเลือกสลับคอมมิวเตเตอร์ ซึ่งทำให้เกิดประกายไฟและเกิดการสูญเสียพลังงานไป และข้อเสียอีกอย่างหนึ่งคือ เกิดเสียงดังขณะมอเตอร์ทำงาน ด้วยข้อเสียต่างๆที่เกิดขึ้นจึงทำให้มีการคิดแปรงถ่านมอเตอร์กระแสตรงใหม่ ด้วยวิธีการกำจัดแปรงถ่าน โดยมีการพัฒนาและปรับปรุงมอเตอร์กระแสตรงนี้มาตลอดจนเป็นมอเตอร์กระแสตรงไร้แปรงถ่าน โดยมอเตอร์ชนิดนี้จะมีชิ้นส่วนหลักๆ คือ สเตเตอร์โรเตอร์, ฮอลล์เซ็นเซอร์

วิธีการควบคุมมอเตอร์กระแสตรงไร้แปรงถ่านแบบปราศจากตัวตรวจจับตำแหน่งของโรเตอร์จะอยู่บนพื้นฐานของการตรวจจับแรงเคลื่อนไฟฟ้าย้อนกลับลักษณะสี่เหลี่ยมคางหมูหลังจากนั้นขับเคลื่อนมอเตอร์แบบวงรอบเปิดเพื่อให้ตรวจจับแรงเคลื่อนไฟฟ้าย้อนกลับได้ไปคำนวณสัญญาณเพื่อใช้ในการขับเคลื่อนมอเตอร์ การประมวลผลทางดิจิทัลในการขับเคลื่อนมอเตอร์กระแสตรงไร้แปรงถ่านนี้จะใช้ (C2000) ไมโครคอนโทรลเลอร์ [1]

## 2. ทฤษฎีและวิธีการตรวจจับแรงเคลื่อนไฟฟ้าย้อนกลับ

การตรวจจับสัญญาณผ่านศูนย์ของแรงดันไฟฟ้าย้อนกลับจากผลต่างแรงดันระหว่างขั้ว เมื่อพิจารณามอเตอร์กระแสตรงไร้แปรงถ่านซึ่งมีขดลวดสามเฟสต่อแบบสตาร์ และมีแม่เหล็กถาวรยึดอยู่กับโรเตอร์ มอเตอร์ชนิดนี้ถูกขับด้วยอินเวอร์เตอร์สามเฟสซึ่งถูกกำหนดลำดับในการทำงานจากตำแหน่งของโรเตอร์ซึ่งถูกแสดงในรูปที่ 1

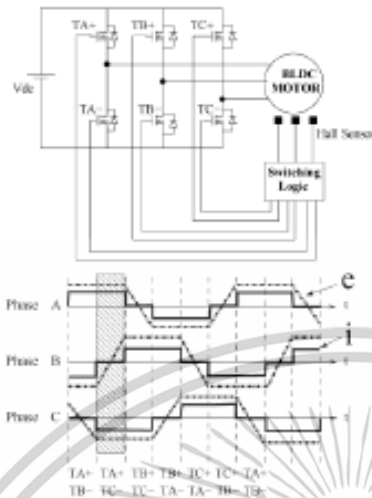
เอกสารนี้เป็นเอกสารที่สงวนไว้สำหรับการใช้งานเพื่อการศึกษาเท่านั้น ไม่อนุญาตให้นำไปใช้ประโยชน์ด้านการค้า

ไม่ว่ากรณีใดๆทั้งสิ้น อีกทั้งห้ามมิให้ตัดแปลงเนื้อหา และต้องอ้างอิงถึงเจ้าของเอกสารทุกครั้งที่มีกรณนำไปใช้  
1-3 พฤษภาคม พ.ศ. 2561 โรงแรมราชศุภมิตร อารี.เอส. โฮเทล (R.S. Hotel) อำเภอเมือง จังหวัดกาญจนบุรี

**บทความวิจัย**

การประชุมวิชาการเครือข่ายวิศวกรรมไฟฟ้า ครั้งที่ 10

Proceedings of the 10<sup>th</sup> Conference of Electrical Engineering Network 2018 (EENET 2018)



รูปที่ 1 การทำงานของวงจรควบคุมมอเตอร์กระแสตรงไร้แปรงถ่านและกระแสและแรงดันไฟฟ้าด้านกลับ

โดยสมการของแรงดันเฟส A เมื่อเทียบกับจุดศูนย์กลางขดลวด

ลวดลวดเตอร์ถูกแสดงในสมการที่ 1

$$V_{an} = R_a i_a + L_a \frac{di_a}{dt} + e_{an} \quad (1)$$

โดย  $R_a$  คือค่าความต้านทานสเตเตอร์,  $L_a$  คือค่าความเหนี่ยวนำเฟส,  $e_{an}$  คือแรงดันไฟฟ้าด้านกลับและ  $i_a$  คือกระแสที่ไหลในเฟส A ในทำนองเดียวกัน สมการของแรงดันเฟส B และเฟส C สามารถแสดงในสมการที่ (2), (3)

$$V_{bn} = R_b i_b + L_b \frac{di_b}{dt} + e_{bn} \quad (2)$$

$$V_{cn} = R_c i_c + L_c \frac{di_c}{dt} + e_{cn} \quad (3)$$

$$V_{ab} = V_{an} - V_{bn} = R(i_a - i_b) + L \frac{d(i_a - i_b)}{dt} + e_{an} - e_{bn} \quad (4)$$

ในทำนองเดียวกัน

$$V_{bc} = R(i_b - i_c) + L \frac{d(i_b - i_c)}{dt} + e_{bn} - e_{cn} \quad (5)$$

$$V_{ca} = R(i_c - i_a) + L \frac{d(i_c - i_a)}{dt} + e_{cn} - e_{an} \quad (6)$$

แรงดันระหว่างขั้วเหล่านี้สามารถหาได้โดยไม่ต้องจำเป็นต้องวัดค่าแรงดันเทียบกับจุดศูนย์กลางขดลวดด้วยการวัดผลต่างของแรงดันระหว่างขั้ว

เมื่อนำแรงดันระหว่างขั้วในสมการที่ (4) ลบออกจากสมการที่ (5) จะได้

$$V_{abbc} = R(i_a - 2i_b + i_c) + L \frac{d(i_a - 2i_b + i_c)}{dt} + e_{an} - 2e_{bn} + e_{cn} \quad (7)$$

เมื่อพิจารณาในช่วงที่เฟส A และเฟส C นำกระแส และเฟส B นั้นเปิดวงจรตามส่วนที่แรงในรูปที่ 1 ในช่วงเวลานี้ขดลวดเฟส A ถูกต่อกับบัสแรงดันด้านบวกของแหล่งจ่ายกระแสตรง เฟส C ถูกต่อกับบัส

แรงดันด้านลบ และเฟส B ถูกเปิดวงจร ดังนั้น  $i_a = -i_c$  และ  $i_b = 0$  จากส่วนที่แรงในรูปที่ 1 จะเห็นได้ว่าแรงดันไฟฟ้าด้านกลับของเฟส A และเฟส C มีขนาดเท่ากัน แต่ทิศตรงข้ามกัน ดังนั้นสมการของผลต่างแรงดันระหว่างขั้วในช่วงเวลานี้สามารถแสดงได้ดังนี้

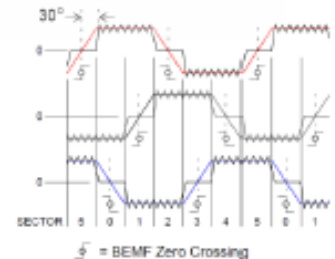
$$V_{abbc} = V_{ab} - V_{bc} = e_{an} - 2e_{bn} + e_{cn} = -2e_{bn} \quad (8)$$

รูปคลื่นผลต่างแรงดันระหว่างขั้วนั้นจะกลับด้านกับรูปคลื่นของแรงดันด้านกลับและมีขนาดเป็นสองเท่า จากรูปที่ 1 ในช่วงที่แรงแรงดันด้านกลับ  $e_{bn}$  เปลี่ยนจากด้านลบไปยังด้านบวกเกิดสัญญาณผ่านศูนย์ซีโรครอสซิง (Zero Crossing) ดังนั้นจะได้ว่าผลต่างแรงดันระหว่างขั้ว  $V_{ab} - V_{bc} = (V_{abbc})$  สามารถนำมาใช้ตรวจจับสัญญาณผ่านศูนย์ของแรงดันด้านกลับเฟส B ได้ และในทำนองเดียวกัน  $V_{bcca}$  และ  $V_{ccaa}$  ก็สามารถนำมาใช้ตรวจจับสัญญาณผ่านศูนย์ของแรงดันด้านกลับของเฟส C และเฟส A ได้ตามลำดับ [2]

**3. วิธีการทำงานและวิเคราะห์แรงเคลื่อนไฟฟ้าย้อนกลับ**

พิจารณามอเตอร์กระแสตรงไร้แปรงถ่าน (BLDC) มีโครงสร้างหลักๆ สามส่วนคือ ส่วนที่หนึ่ง สเตเตอร์ (Stator) ประกอบด้วยขดลวดความถี่ที่ต่ออยู่แบบสตาร์ ส่วนที่สองโรเตอร์ (Rotor) ประกอบด้วยแม่เหล็กถาวรและส่วนสุดท้ายคือ ตัวตรวจจับตำแหน่งขั้วแม่เหล็กฮอลล์เซ็นเซอร์ (Hall sensor) ซึ่งการขับเคลื่อนจะใช้อินเวอร์เตอร์สามเฟสร่วมกับอุปกรณ์ตรวจจับตำแหน่งขั้วแม่เหล็ก โดยใช้เทคนิคแบบสัญญาณสี่เหลี่ยม 120 องศา เพื่อให้เกิดแรงเคลื่อนไฟฟ้าย้อนกลับแล้วนำสัญญาณแรงเคลื่อนไฟฟ้าย้อนกลับตรวจสอบตำแหน่งจุดซีโรครอสซิง (Zero Crossing) สำหรับใช้คำนวณหาตำแหน่งโรเตอร์และความเร็วมอเตอร์

วิธีการเปรียบเทียบแรงเคลื่อนไฟฟ้าย้อนกลับและแรงดันครึ่งหนึ่งของแรงดันดีซีบัส (DC/2) ในหนึ่งลูกคลื่นทางไฟฟ้าบริเวณจุดตัดผ่านศูนย์ของแรงเคลื่อนไฟฟ้าย้อนกลับจะมีตำแหน่งเวลาที่เกิดก่อน 30 องศา ทางไฟฟ้าก่อนที่จะเกิดการสับสวิตช์เรียงกระแสจากจุดตำแหน่งการตรวจจับโรเตอร์จริง ทำให้การควบคุมมอเตอร์ด้วยวิธีการปราศจากตัวตรวจจับจะต้องอาศัยการกำหนดความสัมพันธ์ของเวลาการเรียงกระแสให้ตรงกับสัญญาณตรวจจับตำแหน่งโรเตอร์จริง ดังรูปที่ 2



รูปที่ 2 จุดตัดสัญญาณซีโรครอสซิง (Zero Crossing) ของแรงเคลื่อนไฟฟ้าย้อนกลับของมอเตอร์

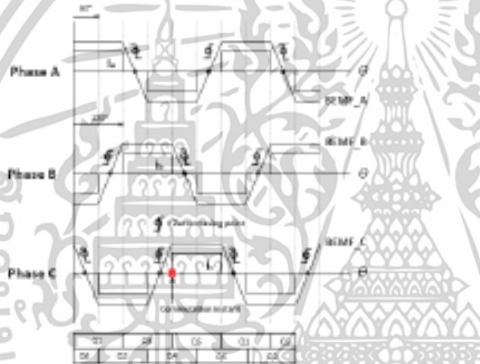
เอกสารนี้เป็นเอกสารที่สงวนไว้สำหรับการใช้งานเพื่อการศึกษาเท่านั้น ไม่อนุญาตให้นำไปใช้ประโยชน์ด้านการค้า  
1-3 พฤษภาคม พ.ศ. 2561 โรงแรมรามาภิวัตน์ อารี.เอส. โฮเทล (R.S. Hotel) อำเภอเมือง จังหวัดกาญจนบุรี  
ไม่ว่ากรณีใดๆทั้งสิ้น อีกทั้งห้ามเผยแพร่ต่อผู้อื่น และต้องอ้างอิงถึงเจ้าของเอกสารทุกครั้งหากนำไปใช้

**บทความวิจัย**

การประชุมวิชาการเครือข่ายวิศวกรรมไฟฟ้า ครั้งที่ 10

*Proceedings of the 10<sup>th</sup> Conference of Electrical Engineering Network 2018 (EENET 2018)*

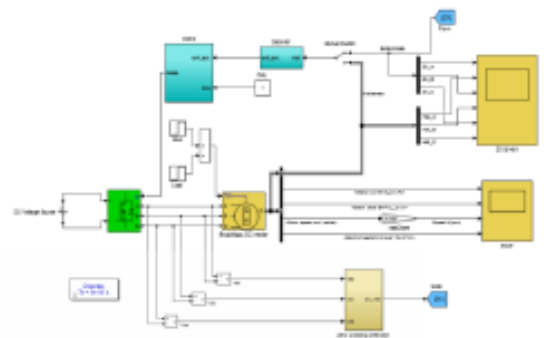
ในรูปที่ 2 การประมาณค่าแรงเคลื่อนไฟฟ้าย้อนกลับกับตำแหน่งการสวิตช์ของกระแส โดยทั่วไปจะใช้การตรวจสอบแรงดันตัดผ่านศูนย์ซีโรครอสซิง (Zero Crossing) ของรูปคลื่น แรงเคลื่อนไฟฟ้าย้อนกลับ ที่มีองค์ประกอบของฮาร์มอนิกที่สาม แรงดันฮาร์มอนิกจะมีข้อจำกัดของแอมพลิจูดและเฟสที่เปลี่ยนไปตามความถี่ของแม่เหล็ก ซึ่งจะไม่เหมาะสมกับย่านความเร็วต่ำ เนื่องจากมีแอมพลิจูดของแรงเคลื่อนไฟฟ้าย้อนกลับมีค่าต่ำ การขับเคลื่อนมอเตอร์ด้วยอินเวอร์เตอร์หกขั้วแบบมุมกระแส 120 องศา แต่ละระดับการสวิตช์จะมีค่า 60 องศา ดังรูปที่ 3 แรงเคลื่อนไฟฟ้าย้อนกลับที่ตัดผ่านศูนย์จะมีความสัมพันธ์กับตำแหน่งการสวิตช์ของกระแส โดยจุดตัดผ่านศูนย์จะเปรียบเทียบกับแรงดันครึ่งหนึ่งของดิซิบิล (DC2) มีค่าที่ตรงกับตำแหน่งของจุดซีโรครอสซิง (Zero Crossing) โดยมีค่ามุมทางไฟฟ้านำอยู่ 30 องศา จากจุดสัญญาณตรวจจับตำแหน่งโรเตอร์



รูปที่ 3 เปรียบเทียบแรงเคลื่อนไฟฟ้าย้อนกลับกับตำแหน่งการสวิตช์ของกระแส

**4. การออกแบบและการจำลองผล**

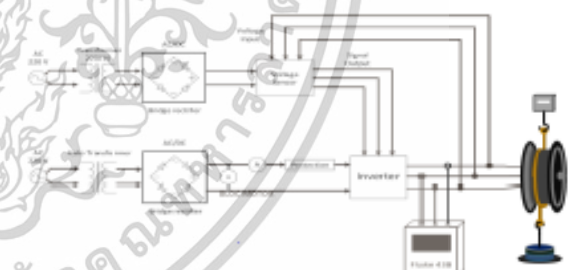
จากการจำลองการทำงานของวงจรควบคุมมอเตอร์กระแสตรงไร้แปรงถ่าน โดยใช้โปรแกรม MATLAB/Simulink ซึ่งกำหนดค่าเงื่อนไขและพารามิเตอร์ของมอเตอร์ ให้ใกล้เคียงกับอุปกรณ์จริงมีแหล่งจ่ายไฟกระแสตรง 24 โวลต์ จ่ายให้กับอินเวอร์เตอร์ 3 เฟส โดยใช้อุปกรณ์สวิตช์ซึ่งมอสเฟตกำลังความถี่สวิตช์ 5 kHz ใช้สัญญาณ PWM ควบคุม โดยใช้ค่าดีวตี 0% - 100% ขับเคลื่อนมอเตอร์กระแสตรงไร้แปรงถ่าน 46 ขั้วแม่เหล็ก โดยใช้วิธีผลต่างแรงดันระหว่างขั้วในการตรวจหาจุดตัดผ่านศูนย์ของแรงเคลื่อนไฟฟ้าย้อนกลับ และนำสัญญาณที่ได้มาใช้ในการขับเคลื่อนแทนสัญญาณที่ได้จากฮอลล์เซ็นเซอร์ (Hall sensor) โดยผลการจำลองได้แสดงในรูปที่ 4 ซึ่งจะนำไปใช้ในการสร้างชุดควบคุมมอเตอร์กระแสตรงไร้แปรงถ่านต่อไป



รูปที่ 4 โค้ดแอมรวมวงจรควบคุมมอเตอร์กระแสตรงไร้แปรงถ่าน  
ปราศจากตัวตรวจจับตำแหน่ง  
ตารางที่ 1 ค่าพารามิเตอร์และข้อมูล โครงสร้างของมอเตอร์

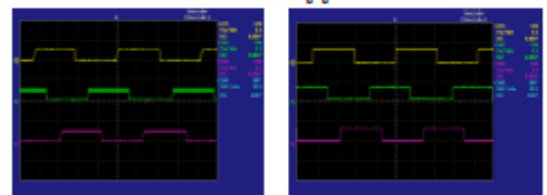
รายการ	ขนาด	หน่วย
1. แรงดัน	24	โวลต์
2. พิกัดกำลัง	350	วัตต์
3. ความเร็วรอบสูงสุด	310	รอบต่อนาที
4. จำนวนขั้วแม่เหล็ก	46	โพล
5. น้ำหนัก	5.8	กิโลกรัม
6. ความยาว	12.4	มิลลิเมตร
7. เส้นผ่านศูนย์กลาง	243	มิลลิเมตร

**5. การทดลองและผลการทดลอง**



รูปที่ 5 การต่อเครื่องมื่อวัดที่ใช้ในการทดลอง

จากรูปที่ 6 (ก) สัญญาณตรวจจับตำแหน่งโรเตอร์ทั้ง 3 เฟส เป็นสัญญาณจริงที่ได้จากฮอลล์เซ็นเซอร์ (Hall sensor) และรูปที่ 6 (ข) จะเป็นสัญญาณตัดผ่านศูนย์ที่ได้จากการประมวลผลภายในตัวไมโครคอนโทรลเลอร์ (C2000) ซึ่งสัญญาณทั้งสองจะมีความใกล้เคียงกัน



(ก)

(ข)

รูปที่ 6 (ก) สัญญาณตรวจจับตำแหน่งโรเตอร์ทั้ง 3 เฟส และ (ข) สัญญาณตัดผ่านศูนย์ทั้ง 3 เฟส

เอกสารนี้เป็นเอกสารที่สวอนไว้สำหรับการใช้งานเพื่อการศึกษาเท่านั้น ไม่อนุญาตให้นำไปใช้ประโยชน์ด้านการค้า ไม่ว่าจะกรณีใดๆทั้งสิ้น อีกทั้งห้ามเผยแพร่ต่อผู้อื่นโดยไม่ได้รับอนุญาต และต้องอ้างอิงถึงเจ้าของเอกสารทุกครั้งที่มีการนำไปใช้

**บทความวิจัย**

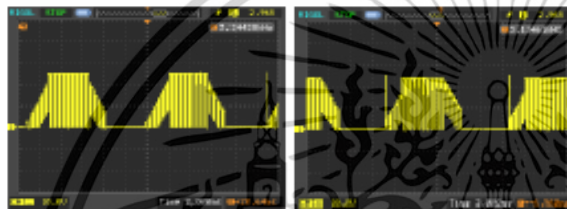
การประชุมวิชาการเครือข่ายวิศวกรรมไฟฟ้า ครั้งที่ 10

*Proceedings of the 10<sup>th</sup> Conference of Electrical Engineering Network 2018 (EENET 2018)*

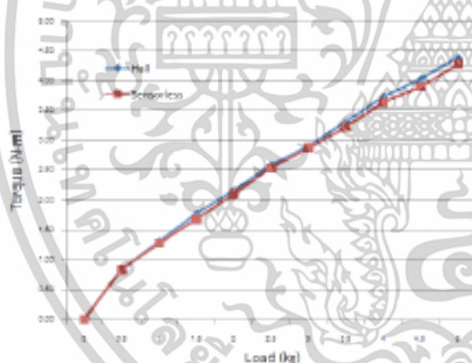
รูปที่ 7 และ รูปที่ 8 แสดงแรงดันเฟสที่ขับเคลื่อนแบบมีตัวตรวจจับตำแหน่งโรเตอร์กับปราศจากตัวตรวจจับที่ตัว 1 และ 0.6 โดยสัญญาณแรงดันไฟฟ้าฟลอมอเตอร์ที่ลำดับตัวที่ต่างๆ มีความใกล้เคียงกัน



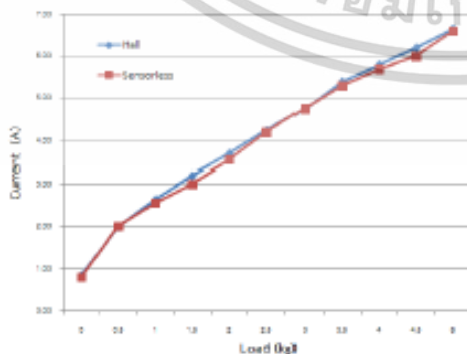
รูปที่ 7 (ก) มีตัวตรวจจับ และ (ข) ปราศจากตัวตรวจจับ แรงดันเฟสแบบมีตัวตรวจจับกับปราศจากตัวตรวจจับที่ตัวที่ 1



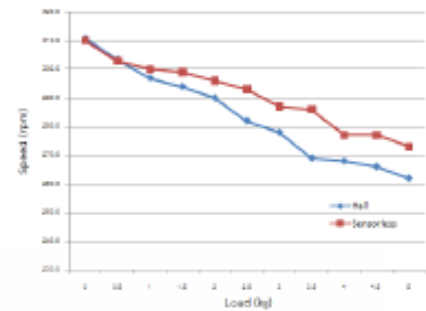
รูปที่ 8 (ก) มีตัวตรวจจับ และ (ข) ปราศจากตัวตรวจจับ แรงดันเฟสแบบมีตัวตรวจจับกับปราศจากตัวตรวจจับที่ตัวที่ 0.6



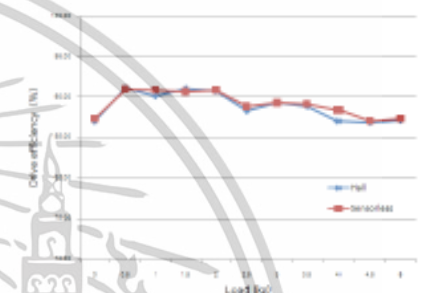
รูปที่ 9 กราฟเปรียบเทียบแรงบิดระหว่างมีตัวตรวจจับกับปราศจากตัวตรวจจับ



รูปที่ 10 กราฟเปรียบเทียบกระแสระหว่างมีตัวตรวจจับกับปราศจากตัวตรวจจับ



รูปที่ 11 กราฟเปรียบเทียบความเร็วรอบระหว่างมีตัวตรวจจับกับปราศจากตัวตรวจจับ



รูปที่ 12 กราฟเปรียบเทียบประสิทธิภาพไคร์ระหว่างมีตัวตรวจจับกับปราศจากตัวตรวจจับ

**6. สรุป**

จากผลการทดสอบการควบคุมมอเตอร์กระแสตรงไร้แปรงถ่านแบบปราศจากตัวตรวจจับตำแหน่งโรเตอร์ ให้ประสิทธิภาพของระบบสูงขึ้นเมื่อเทียบกับการควบคุมมอเตอร์แบบมีตัวตรวจจับตำแหน่งโรเตอร์เนื่องจากมีกำลังทางกลมากกว่าเพราะเมื่อเพิ่มภาระทางกลความเร็วรอบจะตกน้อยกว่ในขณะที แรงดันเฟส แรงบิดและกระแสของมอเตอร์สำหรับกรณีปราศจากตัวตรวจจับมีค่าใกล้เคียงกับกรณีมีตัวตรวจจับเมื่อเปลี่ยนค่าภาระทางกลค่าต่างๆ

**เอกสารอ้างอิง**

- [1] ทวีทวี วีระศิลป์ ทิทยุคม์ ทวีทรัพย์สมบุรณ์ ทิสิทธิ์ บุญรอด และ ยัวร์ณัม สัมภาวะคุปต์, "การขับเคลื่อนมอเตอร์กระแสตรงไร้แปรงถ่านโดยปราศจากตัวตรวจจับ", ปริญญาานิพนธ์วิศวกรรมศาสตรบัณฑิต, สาขาวิชาวิศวกรรมไฟฟ้า, คณะวิศวกรรมศาสตร์, สถาบันเทคโนโลยีพระจอมเกล้าเจ้าคุณทหารลาดกระบัง, 2559
- [2] P. Damodharan and Krishna Vasudevan, "Sensorless Brushless DC Motor Drive Based on the Zero-Crossing Detection of Back Electromotive Force (EMF) From the Line Voltage Difference", IEEE Transactions on Energy Conversion, Vol.25 No.3, 2010, pp. 661 - 668

เอกสารนี้เป็นเอกสารที่สงวนไว้สำหรับการใช้งานเพื่อการศึกษาเท่านั้น ไม่อนุญาตให้นำไปใช้ประโยชน์ด้านการค้า  
1-3 พฤษภาคม พ.ศ. 2561 โรงแรมราชศุภมิตร อารี.เอส. โฮเทล (R.S. Hotel) อำเภอเมือง จังหวัดกาญจนบุรี  
ไม่ว่ากรณีใดๆทั้งสิ้น อีกทั้งห้ามมิให้ดัดแปลงเนื้อหา และต้องอ้างอิงถึงเจ้าของเอกสารทุกครั้งที่มีการนำไปใช้



## ประวัติผู้เขียนวิทยานิพนธ์

- ชื่อ - นามสกุล : ว่าที่ร้อยเอกโกวิท ภูฉลาด
- วัน/เดือน/ปีเกิด : วันอาทิตย์ที่ 17 กุมภาพันธ์ พ.ศ. 2528 ที่จังหวัดขอนแก่น
- ที่อยู่ : บ้านเลขที่ 45 หมู่ 13 บ้านเหล่า ตำบลโคกพระ อำเภอกันทรวิชัย  
จังหวัดมหาสารคาม รหัสไปรษณีย์ 44150
- E - MAIL : Hikowit@gmail.com
- ประวัติการศึกษา :
1. จบการศึกษาระดับประถมศึกษาชั้นปีที่ 6 (ป.6) โรงเรียนบ้านสมศรีมะแปบประชาบำรุง ตำบลโคกพระ อำเภอกันทรวิชัย จังหวัดมหาสารคาม
  2. จบการศึกษาระดับมัธยมศึกษาตอนต้น (ม.3) โรงเรียนเชียงแสนวิทยาคม ตำบลเวียง อำเภอเชียงแสน จังหวัดเชียงราย
  3. จบการศึกษาระดับประกาศนียบัตรวิชาชีพ (ปวช.) สาขาวิชาช่างไฟฟ้ากำลัง วิทยาลัยเทคนิคมหาสารคาม จังหวัดมหาสารคาม
  4. จบการศึกษาระดับประกาศนียบัตรวิชาชีพชั้นสูง (ปวส.) สาขาวิชาไฟฟ้า มหาวิทยาลัยเทคโนโลยีราชมงคลธัญบุรี วิทยาเขตขอนแก่น จังหวัดขอนแก่น
  5. จบการศึกษาระดับประกาศนียบัตรวิชาชีพชั้นสูง (ปวส.) สาขาวิชาไฟฟ้ากำลัง สาขางานเครื่องกลไฟฟ้า วิทยาลัยการอาชีพกาญจนาภิเษกหนองจอก จังหวัดกรุงเทพมหานคร
  6. จบการศึกษาระดับปริญญาตรี วิศวกรรมศาสตรบัณฑิต (วศ.บ.) สาขาวิศวกรรมไฟฟ้า มหาวิทยาลัยเทคโนโลยีมหานคร กรุงเทพมหานคร

เอกสารนี้เป็นเอกสารที่สงวนไว้สำหรับการใช้งานเพื่อการศึกษาเท่านั้น ไม่อนุญาตให้นำไปใช้ประโยชน์ด้านการค้า ไม่ว่าจะกรณีใดๆทั้งสิ้น อีกทั้งห้ามมิให้ดัดแปลงเนื้อหา และต้องอ้างอิงถึงเจ้าของเอกสารทุกครั้งที่มีการนำไปใช้

7. จบการศึกษาระดับปริญญาตรี วิทยาศาสตร์บัณฑิต (วท.บ.) สาขาอาชีวอนามัยและความปลอดภัย มหาวิทยาลัยสุโขทัยธรรมาธิราช จังหวัดนนทบุรี
8. จบการศึกษาระดับปริญญาตรี รัฐศาสตรบัณฑิต (ร.บ.) สาขาการเมืองการปกครอง มหาวิทยาลัยสุโขทัยธรรมาธิราช จังหวัดนนทบุรี
9. ปัจจุบันกำลังศึกษาระดับปริญญาโท วิศวกรรมศาสตรมหาบัณฑิต (วศ.ม.) สาขาวิศวกรรมไฟฟ้า สถาบันเทคโนโลยีพระจอมเกล้าเจ้าคุณทหารลาดกระบัง จังหวัดกรุงเทพมหานคร

- ใบวิชาชีพ/ใบอนุญาต :**
1. ได้รับใบอนุญาตประกอบวิชาชีพวิศวกรรมควบคุม ตามพระราชบัญญัติวิศวกร พ.ศ. 2542 จากสภาวิศวกร ระดับภาคีวิศวกร สาขาวิศวกรรมไฟฟ้า งานไฟฟ้ากำลัง ตามใบอนุญาตเลขทะเบียน ฝพก.41195 เลขที่สมาชิกสามัญ 215509
  2. ได้รับใบอนุญาตการขึ้นทะเบียนเป็นผู้ให้บริการการตรวจสอบและรับรองไฟฟ้าและบริภัณฑ์ไฟฟ้า ตามข้อ 12 ตามกฎกระทรวงการขึ้นทะเบียนและการอนุญาตให้บริการเพื่อส่งเสริมความปลอดภัย อาชีวอนามัย และสภาพแวดล้อมในการทำงาน พ.ศ.2564 ตามมาตรา 9 เลขที่ใบสำคัญ 0302-01-2566-1943
  3. ได้รับใบอนุญาตการขึ้นทะเบียนเป็นผู้ให้บริการการทดสอบเครื่องจักร (ลิฟต์ เครื่องจักรสำหรับยกคนขึ้นทำงานบนที่สูง และรอก) บันจัน และหม้อน้ำ หม้อต้มที่ใช้ของเหลวเป็นสื่อ นำความร้อน และภาชนะรับความดัน ตามกฎกระทรวงกำหนดมาตรฐานในการบริหาร จัดการ และดำเนินการด้านความปลอดภัย อาชีวอนามัยและสภาพแวดล้อมในการทำงานเกี่ยวกับเครื่องจักร บันจัน และหม้อน้ำ พ.ศ.2564 ข้อ 121 ตามมาตรา 9 เลขที่ใบสำคัญ 0604-01-2567-0073
  4. ได้รับใบอนุญาตคณะกรรมการความปลอดภัยอาชีวอนามัยและสภาพแวดล้อมในการทำงานของสถานประกอบกิจการ (คปอ.) ได้รับการขึ้นทะเบียนจากกรมสวัสดิการและคุ้มครองแรงงานเลขทะเบียนที่ จป.65-101 สังกัดการไฟฟ้าส่วนภูมิภาคสาขาเมืองเพชรบุรี จังหวัดเพชรบุรี
- ประวัติการทำงาน :**
- ปี 2555 – 2559 บรรจุเข้าทำงานในตำแหน่งพนักงานช่างระดับ 4 การไฟฟ้าส่วนภูมิภาคอำเภอบางสะพาน จังหวัดประจวบคีรีขันธ์
  - ปี 2559 – 2568 บรรจุเข้าทำงานในตำแหน่งวิศวกรระดับ 6 การไฟฟ้าส่วนภูมิภาคสาขาเมืองเพชรบุรี จังหวัดเพชรบุรี

เอกสารนี้เป็นเอกสารที่สงวนไว้สำหรับการใช้งานเพื่อการศึกษาเท่านั้น ไม่อนุญาตให้นำไปใช้ประโยชน์ด้านการค้า ไม่ว่าจะกรณีใดๆทั้งสิ้น อีกทั้งห้ามมิให้ตัดแปลงเนื้อหา และต้องอ้างอิงถึงเจ้าของเอกสารทุกครั้งที่มีการนำไปใช้

ปี 2568 – ปัจจุบัน บรรจุเข้าทำงานในตำแหน่งวิศวกรระดับ 7  
การไฟฟ้าส่วนภูมิภาคสาขาท่าเรือ อำเภอท่ามะกา จังหวัดกาญจนบุรี

**ประวัติการเป็นวิทยากร :** 1. คณะกรรมการสอบโครงการสำหรับนักศึกษาระดับปริญญาตรี สาขาวิชา  
เทคโนโลยีไฟฟ้า นักศึกษาชั้นปีที่ 2 สถาบันการอาชีวศึกษาภาคกลาง 5  
วิทยาลัยเทคนิคเพชรบุรี อำเภอเมืองเพชรบุรี จังหวัดเพชรบุรี  
2. วิทยากรบรรยายให้กับหน่วยงานภาครัฐและภาคเอกชนอื่นๆ ตลอดจน  
สถาบันการศึกษาต่างๆ

**ประวัติผลงานวิจัย :** 1. โกวิท ภูฉลาด และคณะ. 2555. “เทคนิคการปรับแรงดันไฟฟ้า  
กระแสสลับด้วยพัลส์วิดมอดูเลตชั่น เอซี ซ็อบเปอร์ สำหรับการประหยัด  
พลังงานในมอเตอร์เหนี่ยวนำหนึ่งเฟส.” หน้า 88 EC34. ใน **การประชุม  
วิชาการเครือข่ายพลังงานแห่งประเทศไทย ครั้งที่ 8.** มหาสารคาม :  
คณะวิศวกรรมศาสตร์ มหาวิทยาลัยมหาสารคาม.

2. โกวิท ภูฉลาด และคณะ. 2558. “การควบคุมพัลส์วิดมอดูเลตชั่น เอซี  
ซ็อบเปอร์ ด้วยไมโครคอนโทรลเลอร์สำหรับการประหยัดพลังงานใน  
มอเตอร์เหนี่ยวนำหนึ่งเฟส.” หน้า 774-777 PW32. ใน **การประชุม  
วิชาการเครือข่ายวิศวกรรมไฟฟ้า กลุ่มมหาวิทยาลัยเทคโนโลยีราชมงคล  
และสถาบันเทคโนโลยีปทุมวัน ครั้งที่ 7.** กรุงเทพฯ : คณะวิศวกรรมศาสตร์  
มหาวิทยาลัยเทคโนโลยีราชมงคลกรุงเทพ.

3. โกวิท ภูฉลาด และคณะ. 2560. “การประเมินสมรรถนะมอเตอร์  
เหนี่ยวนำสามเฟสถูกขับเคลื่อนด้วยพัลส์วิดมอดูเลตชั่น เอซี ซ็อบเปอร์หนึ่ง  
เฟส.” หน้า 44-47 PW13. ใน **การประชุมวิชาการเครือข่ายวิศวกรรม  
ไฟฟ้ากลุ่มมหาวิทยาลัยเทคโนโลยีราชมงคลและสถาบันเทคโนโลยี  
ปทุมวัน ครั้งที่ 9.** จันทบุรี : คณะเทคโนโลยีอุตสาหกรรมการเกษตร  
มหาวิทยาลัยเทคโนโลยีราชมงคลตะวันออก วิทยาเขตจันทบุรี.

4. โกวิท ภูฉลาด และคณะ. 2560. “ตู้อบไฟฟ้าควบคุมด้วยเทคนิคควบคุม  
ไซเคิล.” หน้า 474-479 ENETT13-CE-265. ใน **การประชุมวิชาการ  
เครือข่ายพลังงานแห่งประเทศไทย ครั้งที่ 13.** เชียงใหม่ : วิทยาลัย  
พลังงานทดแทน มหาวิทยาลัยแม่โจ้.

5. โกวิท ภูฉลาด และคณะ. 2561. “การขับเคลื่อนมอเตอร์กระแสตรงไร้  
แปรงถ่านโดยปราศจากตัวตรวจจับ.” หน้า 174-177 PE09. ใน **การ  
ประชุมวิชาการเครือข่ายวิศวกรรมไฟฟ้า ครั้งที่ 10.** กรุงเทพฯ :  
คณะวิศวกรรมศาสตร์ สถาบันเทคโนโลยีปทุมวัน.

เอกสารนี้เป็นเอกสารที่สงวนไว้สำหรับการใช้งานเพื่อการศึกษาเท่านั้น ไม่อนุญาตให้นำไปใช้ประโยชน์ด้านการค้า  
ไม่ว่ากรณีใดๆทั้งสิ้น อีกทั้งห้ามมิให้ดัดแปลงเนื้อหา และต้องอ้างอิงถึงเจ้าของเอกสารทุกครั้งที่มีการนำไปใช้